

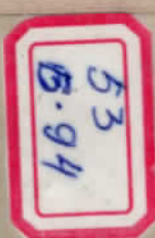
Б.Б.БУХОВЦЕВ
В.Д.КРИВЧЕНКОВ
Г.Я.МЯКИШЕВ
В.П.ШАЛЬНОВ



СБОРНИК ЗАДАЧ ПО ЭЛЕМЕНТАРНОЙ ФИЗИКЕ



Б.Б.БУХОВЦЕВ
В.Д.КРИВЧЕНКОВ
Г.Я.МЯКИШЕВ
В.П.ШАЛЬНОВ



СБОРНИК ЗАДАЧ
ПО ЭЛЕМЕНТАРНОЙ
ФИЗИКЕ



Б. Б. БУХОВЦЕВ, В. Д. КРИВЧЕНКОВ,
Г. Я. МЯКИШЕВ, В. П. ШАЛЬНОВ

К
ВО
УКЕ
КОЛ
ВЛ

53
С 23

СБОРНИК ЗАДАЧ ПО ЭЛЕМЕНТАРНОЙ ФИЗИКЕ

ПОСОБИЕ
ДЛЯ САМООБРАЗОВАНИЯ

издание третье,
исправленное



1019
20/5

70-77-385
Гашено

ИЗДАТЕЛЬСТВО «НАУКА»
ГЛАВНАЯ РЕДАКЦИЯ
ФИЗИКО-МАТЕМАТИЧЕСКОЙ ЛИТЕРАТУРЫ
МОСКВА 1968

530.1
Б 94
УДК 530.10 (075.4)

АННОТАЦИЯ

Настоящий сборник задач по физике составлен в соответствии с материалом, изложенным в «Элементарном учебнике физики» под редакцией академика Г. С. Ланкберга. Большинство задач значительно пре-
восходит по трудности задачи, предлагаемые обычно учащимся средних школ. Все они снабжены подробными решениями. Часть задач сборника составляют пере-
работанные задачи школьных олимпиад последних лет, которые проводились на физическом факультете Мо-
сковского университета.

Задачник может быть рекомендован для самообра-
зования учащимся старших классов средних общеобразо-
вательных школ, техникумов и специальных средних
школ. Ряд задач может быть полезен для студентов
первых курсов высших учебных заведений.

ОГЛАВЛЕНИЕ

Приветствие к второму изданию	5
Предисловие к первому изданию	5
Задачи	
Г л а в а I. Механика	7
§ 1. Кинематика равномерного прямолинейного движения	7
§ 2. Кинематика неравномерного и равнопере- менного прямолинейного движения	11
§ 3. Динамика прямолинейного движения	15
§ 4. Закон сохранения количества движения	23
§ 5. Статика	25
§ 6. Работа и энергия	31
§ 7. Кинематика криволинейного движения	38
§ 8. Динамика криволинейного движения	44
§ 9. Закон всемирного тяготения	53
§ 10. Гидро- и аэродинамика	55
§ 11. Гидро- и аэродинамика	62
Г л а в а II. Термология. Молекулярная физика	67
§ 12. Тепловое расширение твердых и жидкых тел	67
§ 13. Закон сохранения энергии. Теплопровод- ность	68
§ 14. Свойства газов	70
§ 15. Свойства жидкостей	75
§ 16. Взаимные превращения жидких и твердых тел	79
§ 17. Упругость и прочность	80
§ 18. Свойства паров	83
Г л а в а III. Электричество и магнетизм	86
§ 19. Электростатика	86
§ 20. Постоянный электрический ток	96
§ 21. Электрический ток в газах и вакууме	107
§ 22. Магнитное поле тока. Действие магнит- ного поля на ток и движущиеся заряды ток	112
§ 23. Электромагнитная индукция. Переменный ток	117
§ 24. Электрические машины	124

2-3-1
54-65

	Задачи	Ответы и решения
Г л а в а IV. Колебания и волны	128	365
§ 25. Механические колебания	128	365
§ 26. Электрические колебания	132	374
§ 27. Волны	134	376
Г л а в а V. Геометрическая оптика	136	380
§ 28. Фотометрия	136	380
§ 29. Основные законы оптики	137	382
§ 30. Линзы и сферические зеркала	143	395
§ 31. Оптические системы и оптические при- боры	147	403
Г л а в а VI. Физическая оптика	153	422
§ 32. Интерференция света	153	422
§ 33. Дифракция света	158	431
§ 34. Дисперсия света и цвета тел	161	436

ПРЕДИСЛОВИЕ К ВТОРОМУ ИЗДАНИЮ

Второе издание печатается с матриц первого. В текст внесены исправления всех обнаруженных в первом издании погрешностей.

Авторы глубоко признателны Б. Ю. Когану, В. И. Иао-
тову и всем другим читателям, сообщившим свои замечания
по тексту первого издания.

Авторы

Москва,
июль 1965 г.

ПРЕДИСЛОВИЕ К ПЕРВОМУ ИЗДАНИЮ

Настоящий сборник задач по физике составлен на основе материала, изложенного в «Элементарном учебнике физики» под редакцией академика Г. С. Ландсберга. Поэтому содержание, уровень задач и характер расположения материала в основном соответствуют указанному учебнику. В сборник не включен раздел «Атомная физика», так как упражнения по этому разделу в учебнике Ландсberга достаточно полно иллюстрируют изложенный материал. Отдельные задачи на данную тему включены в другие главы сборника.

При составлении сборника авторы уделяли большое внимание задачам повышенной трудности, требующим глубокого понимания основных физических законов и умения использовать их при самых разнообразных условиях. Все трудные задачи снабжены подробными решениями. Кроме того, в целях

развития навыков и культуры решения физических задач некоторые более простые задачи также снабжены решениями.

Часть задач сборника составляют переработанные задачи школьных олимпиад последних лет, которые проводились на физическом факультете Московского университета. В переработанном виде включено некоторое количество задач из сборников для высшей школы. Большинство задач являются оригинальными.

Труд между авторами сборника распределился следующим образом. Б. Б. Буховцев и Г. Я. Мякишев принимали участие в составлении всех разделов заданий. В. Д. Кривченкову принадлежат наиболее сложные задачи по механике и электромагнетизму. В. П. Шальгин участвовал в составлении задач по механике и геометрической оптике. Все задачи обсуждались авторским коллективом.

Авторы с благодарностью отмечают большую и исключительно плодотворную работу Е. М. Новодворской по редактированию рукописи.

Авторы

ЗАДАЧИ

ГЛАВА I МЕХАНИКА

§ 1. Кинематика равномерного прямолинейного движения

1. Используя вверх по реке моторная лодка встретила сплавляемые по течению реки плоты. Через 1 час после встречи лодочный мотор заглох. Ремонт мотора продолжался 30 мин. В течение этого времени лодка свободно плыла по течению реки. После ремонта лодка поплыла вниз по течению с прежней относительной скоростью и нагнала плоты на расстоянии $S = 7,5 \text{ км}$ от места их первой встречи. Определить скорость течения реки, считая ее постоянной.

2. Человек, идущий с постоянной по величине и направлению скоростью v , проходит под фонарем, висящим на высоте H над землей. Найти скорость перемещения по земле края тени от головы человека, если его высота h .

3. Расстояние между городом и заводом 30 км. В 6 час 30 мин с завода в город вышел пешеход, а в 6 час 40 мин из города на завод выехал со скоростью 18 км/час велосипедист. Пройдя 6 км, пешеход встретил велосипедиста. Определить время их встречи и скорость движения пешехода.

Определить, где был пешеход, когда он встретил 12-й идущий из города автобус, и число автобусов, обогнавших велосипедиста, если автобусное движение начинается в 6 час утра; автобусы отправляются от конечных пунктов через каждые 15 мин, скорость каждого автобуса 45 км/час.

4. Из Москвы в Пушкино с интервалом $t = 10 \text{ мин}$ вышли два электропоезда со скоростями $v = 30 \text{ км/час}$. С какой скоростью и двигался поезд, идущий в Москву, если он попстречал эти электропоезда через $\tau = 4 \text{ мин}$ один после другого?

5. Завод, на котором работает инженер, находится за городом. Каждый раз к приходу поезда на станцию приезжает заводская автомашиня, которая доставляет инженера на место работы. Однажды инженер приехал на станцию на 1 час раньше обычного и, не дождавшись машины, пошел на завод пешком. По дороге он встретил автомашину и приехал на завод на 10 мин раньше обычного. Сколько времени шел инженер до встречи с заводской автомашиной? Решить задачу графически.

6. Между двумя речными пристанями M и K курсируют катера. Скорости всех катеров относительно воды одинаковы. Расстояние между пристанями равно 20 км. От пристани M до пристани K каждый катер плывет 1 час. От пристани K до пристани M — 2 часа. Катера отходят от обеих пристаней одновременно с интервалами 20 мин и стоят на каждой пристани также 20 мин.

Определить: 1) сколько катеров обслуживает линию; 2) сколько катеров встречает в пути катер, плавающий из M в K ; 3) сколько катеров встречает в пути катер, плавающий из K в M .

7. Двое туристов, находясь на расстоянии 40 км от базы, должны прибыть на нее одновременно и в кратчайший срок. В распоряжении туристов имеется один велосипед, которым они решли воспользоваться по очереди. Покинув исходный пункт, один из туристов пошел пешком со скоростью $v_1 = 5 \text{ км/час}$, другой поехал на велосипеде со скоростью $v_2 = 15 \text{ км/час}$. Туристы условились оставлять велосипед в промежуточных пунктах, между которыми один идет пешком, а другой едет на велосипеде. С какой средней скоростью будут двигаться туристы? Сколько времени велосипед остается не использованным?



Рис. 1.

находятся на расстоянии a друг от друга. Расстояние между каждой свечой и ближайшей к ней стеной также равно a (рис. 1). С какой скоростью движутся тени от свечей по стенам, если одна свеча горает за время t_1 , а другая за t_2 ?

9. По шоссе со скоростью $v_1 = 16 \text{ м/сек}$ движется автобус. Человек находится на расстоянии $a = 60 \text{ м}$ от шоссе и $b = 400 \text{ м}$ от автобуса. В каком направлении должен бежать человек, чтобы выйти к какой-либо точке шоссе одновременно с автобусом или раньше его? Человек может бежать со скоростью $v_2 = 4 \text{ м/сек}$.

10. Какую наименьшую скорость должен иметь человек (см. задачу 9), чтобы встретить автобус? В каком направлении должен при этом бежать человек?

11. Человек находится на берегу озера в точке A . Ему необходимо в кратчайшее время попасть в точку B , находящуюся на озере (рис. 2). Расстояние от точки B до берега $BC = d$, а расстояние $AC = S$. Скорость движения человека в воде v_1 , по берегу v_2 ($v_2 > v_1$). Каким путем должен двигаться человек: плыть ли из точки A по прямой AB или пробежать по берегу некоторое расстояние и после этого плыть по направлению к точке B ?

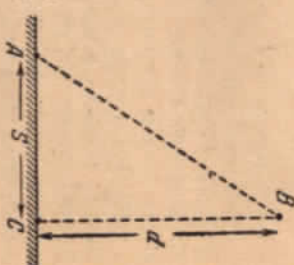


Рис. 2.

12. Иллюзия против течения реки теплоход встречает ставляемые по реке плоты. Через $t_1 = 45 \text{ мин}$ после встречи с плотами теплоход приближает к пристани, стоянка на которой продолжается $t_2 = 1 \text{ час}$. После этого теплоход поплыл по течению реки и через $t_3 = 1 \text{ час}$ обогнал те же плоты. Скорость теплохода относительно воды постоянна и равна $v_1 = 10 \text{ км/час}$. Определить скорость течения реки v_2 , считая ее постоянной. Рассмотреть два способа решения задачи: графический и аналитический.

13. Почтовая связь между речными пристанями M и K осуществляется двумя катерами. В установленное время катера отплывают от своих пристаней, встречаются, обмениваются почтой и возвращаются обратно. Если катера отплывают от своих пристаней одновременно, то катер, выехавший из M , пройдет путь в оба конца 3 часа, а катер из K — 1,5 часа.

Скорости обоих катеров относительно воды одинаковы. Определить графически, поскольку позже должен отплывать катер из M после отплытия катера из K , чтобы оба катера находились в пути одно и то же время.

14. Используя условия предыдущей задачи, определить скорость катеров относительно воды, скорость течения реки

и место встречи катеров в случае, если они отплывают от своих пристаней одновременно. Расстояние между пристанями равно 30 км.

15. От пристани C к пристани T по реке плавает со скоростью $v_1 = 3 \text{ км/час}$ относительно воды весельная лодка.

От пристани T к пристани C одновременно с лодкой отходит катер, скорость которого относительно воды $v_2 = 10 \text{ км/час}$.

Сколько времени потребуется самолету, чтобы облететь квадрат со стороны a при ветре, дующем со скоростью u , и

в двух случаях: 1) направление ветра совпадает с одной из сторон квадрата, 2) направление ветра совпадает с диагональю квадрата? Скорость самолета в отсутствие ветра v ($v > u$).

16. Человек на лодке должен попасть из точки A в точку B , находящуюся на противоположном берегу реки

(рис. 3). Расстояние $BC = a$. Ширина реки $AC = b$. С какой наименьшей скоростью u относительно воды должна плыть лодка, чтобы приплыть в точку B ? Скорость течения реки v_0 ,

из пункта A , расположенного на берегу реки, необходимо попасть в пункт B , двигаясь по прямой AB (рис. 4). Ширина реки $AC = 1 \text{ км}$, расстояние $BC = 2 \text{ км}$, максимальная скорость лодки относительно воды $u = 5 \text{ км/час}$, а скорость течения реки $v = 2 \text{ км/час}$. Можно ли проплыть расстояние AB за 30 минут?



Рис. 3.

Рис. 4.

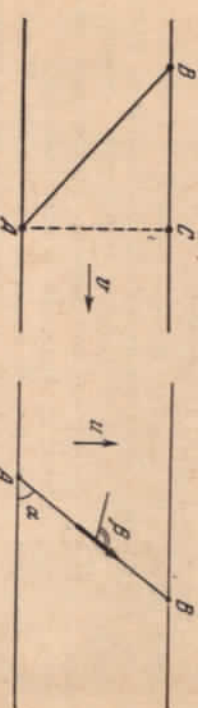


Рис. 5.

18. По реке из точки A в точку B , находящуюся на противоположном берегу, вдоль прямой AB , образующей с линией берега угол α , плывет катер (рис. 5). Пол прямым углом к берегу дует ветер со скоростью u , флаг на мачте катера образует угол β с направлением движения катера.

Определить скорость катера относительно берега. Можно ли по данным, приведенным в условии задачи, определить скорость течения реки?

10

19. Для нахождения скорости самолета определяют время «облета» им замкнутого контура, длина которого известна.

Сколько времени потребуется самолету, чтобы облететь квадрат со стороны a при ветре, дующем со скоростью u , и

в двух случаях: 1) направление ветра совпадает с одной из сторон квадрата, 2) направление ветра совпадает с диагональю квадрата? Скорость самолета в отсутствие ветра v ($v > u$).

20. По пересекающимся под углом α шоссейным дорогам движутся две автомашины с постоянными скоростями v_1 и v_2 . Определить величину u направление скорости одного автомобиля относительно другого. Через какое время после встречи на перекрестке расстояние между машинами будет равно S ?

21. Две пересекающиеся прямые движутся поступательно в разные стороны со скоростями v_1 и v_2 , перпендикулярными соответствующим прямым. Угол между прямыми равен α . Определить скорость точки пересечения этих прямых.

§ 2. Кинематика первоначального и равнопеременного прямолинейного движения

22. Первую треть пути автомобиль проехал со скоростью $v_1 = 10 \text{ км/час}$, вторую третью — со скоростью $v_2 = 20 \text{ км/час}$ и последнюю третью — со скоростью $v_3 = 60 \text{ км/час}$. Определить среднюю скорость движения автомобиля на всем пути S .

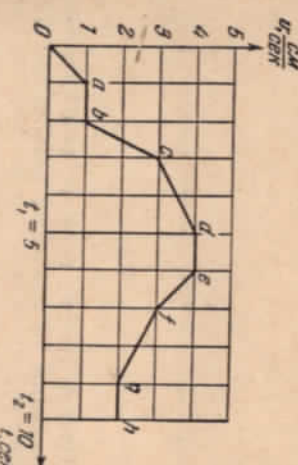


Рис. 6.

23. Определить среднюю скорость u и среднее ускорение точки за 5 и 10 секунд, если движение ее задано графиком скорости (рис. 6).

11

24. Человек, стоящий на крутом берегу озера, тянет за веревку находящуюся на воде лодку. Скорость, с которой человек выбирает веревку, постоянна и равна v . Какую скорость будет иметь лодка в момент, когда угол между веревкой и поверхностью воды равен α ?

25. Точечный источник света S находится на расстоянии l от вертикального экрана AB . От источника к экрану по прямой SA движется поступательно, с постоянной скоростью v непрозрачный предмет высоты h . Определить мгновенную скорость перемещения верхнего края тени предмета по экрану (рис. 7).

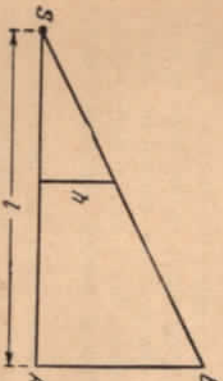


Рис. 7.

26. Координата точки, движущейся прямолинейно вдоль оси x , меняется со временем по закону: $x = 11 + 35t + 41t^2$ (x измеряется в см., а t в сек). Определить скорость и ускорение точки.

27. На рис. 8 и 9 изображены: график скорости тела и график изменения координаты тела (парабола) в зависимости

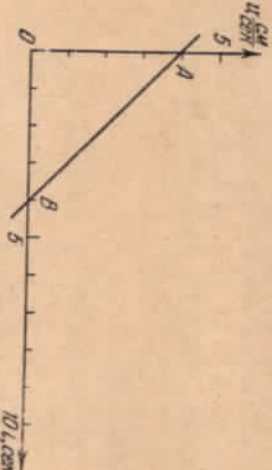


Рис. 8.

от времени. Начало отсчета времени на обоих графиках совпадает. Однократные ли движения изображены на этих графиках?

28. Две автомашины одновременно выехали из пункта A и через $t_0 = 2$ час прибыли в пункт B . Первая машина прошла половину пути со скоростью $v_1 = 30$ км/час, другую половину — со скоростью $v_2 = 45$ км/час. Вторая машина прошла весь путь с постоянным ускорением. В какой момент

времени скорости машин были одинаковы? Обгонят ли в пути одна из машин другую?

29. С высоты H на упругую горизонтальную подставку свободно падает шарик. Построить графики изменения координаты и скорости шарика в зависимости от времени, считая, что временем соударения можно пренебречь. Удар абсолютно упругий.

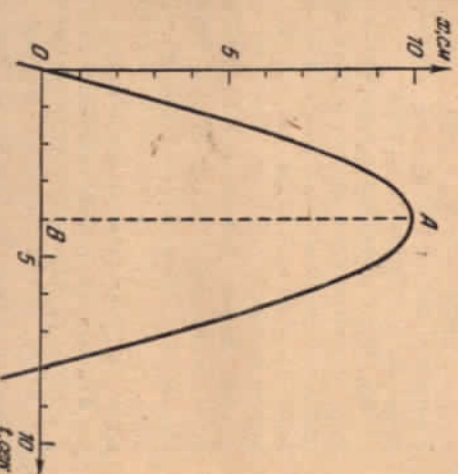


Рис. 9.

30. На упругую плиту свободно падают стальные шарики. Первый с высоты $h_1 = 44$ см, второй спустя $\tau > 0$ сек после первого, с высоты $h_2 = 11$ см. Через некоторое время скорости шариков совпадают по величине и направлению. Определить время τ и промежуток времени, в течение которого скорости обоих шариков равны. Шарики между собой не соударяются.

31. За какое время тело, свободно падающее без начальной скорости, проходит n -й сантиметр своего пути?

32. С высокой башни друг за другом бросают два тела с одинаковыми по величине скоростями v_0 . Первое тело бросают вертикально вверх; спустя время τ бросают второе — вертикально вниз. Определить скорость тел друг относительно друга и расстояние между ними в момент времени $t > \tau$.

33. Три точки A , B и C в начальный момент расположены на одной горизонтальной прямой, на разных расстояниях

друг от друга. Точка A начала двигаться вертикально вверх с постоянной скоростью v , а точка C без начальной скорости — вертикально вниз с постоянным ускорением a . Как должна двигаться по вертикали точка B , чтобы все три точки находились все время на одной прямой?

Точки начинают двигаться одновременно.

34. Две автомашины тянут третью с помощью привязанного к ней блока (рис. 10).

Ускорения автомашин a_1 и a_2 . Определить ускорение a_3 буксируемой машины.

35. Лифт движется с ускорением a . Пассажир, находящийся в лифте, роняет книгу. Чему равно ускорение книги относительно пола лифта, если 1) лифт движется вверх? 2) лифт движется вниз?

36. Вагон движется по горизонтальному прямолинейному участку пути с ускорением a . Пассажир, находящийся в вагоне, бросает камень. Чему равно ускорение камня относительно вагона и относительно Земли?

37. В лифте, движущемся с ускорением a , с высоты H над полом человека роняет шарик. Через τ секунд после начала падения шарика ускорение лифта меняет знак, а через 2τ секунд становится равным нулю. После этого шарик касается пола. На какую высоту от пола лифта подскочит шарик после удара? Удар считать абсолютно упругим.

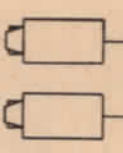


Рис. 10.

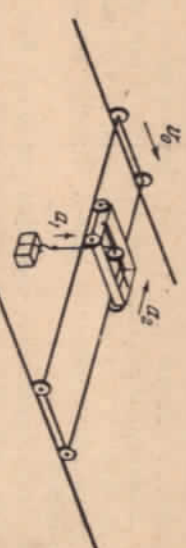


Рис. 11.

38. Мостовой кран поднимает с земли груз с ускорением a_1 , направленным вверх. Одновременно крюк крана, на котором укреплен груз, перемещается относительно крана в горизонтальном направлении с ускорением a_2 . Кроме того, сам кран движется по рельсам с постоянной скоростью v_0 (рис. 11). Начальная скорость крюка относительно

края равна нулю. Определить скорость груза относительно земли в тот момент, когда он поднят над землей на высоту h .

39. На клин, плоскость которого составляет угол α с горизонтом, положили тело A (рис. 12). Какое ускорение

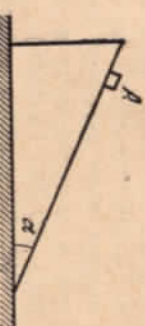


Рис. 12.

необходимо сообщить клину в горизонтальном направлении, чтобы тело A свободно падало вертикально вниз?

§ 3. Динамика прямолинейного движения

40. К центру одиородного шара приложена сила F (рис. 13). В каком направлении движется шар?

41. К центру одиородного шара массы $m = 4 \text{ кг}$ приложено шесть сил, лежащих в одной плоскости и составляющих друг с другом углы в 60° . Силы последовательно равны: 1, 2, 3, 4, 5 и 6 кН (рис. 14). В какую сторону и с каким ускорением движется шар?

42. Сколько весит тело, имеющее массу, равную одному килограмму?



Рис. 13.

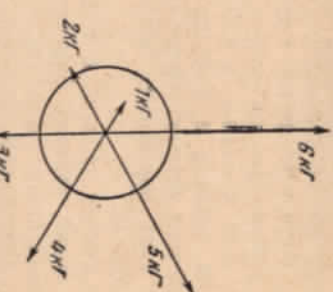


Рис. 14.

43. Тело, брошенное под некоторым углом к горизонту, вследствие сопротивления воздуха летит по баллистической кривой. Под каким углом к горизонту направлено ускорение

тела в наивысшей точке траектории A , если масса тела m , а сила сопротивления воздуха в этой точке равна F ?

44. Диск, расположенный в вертикальной плоскости, имеет несколько желобов, которые направлены вдоль хорд, проведенных из точки A (рис. 15). Одновременно из точки A по всем желобам начинают скользить несколько тел, каждое по своему желобу. Через какое время каждое тело достигнет края диска? Трение и сопротивление воздуха не учитывать. (Задача Галиля.)

45. Чему равна минимальная сила сопротивления воздуха, действующая на парашютиста и парашют, при полностью раскрытом парашюте? Вес парашютиста с парашютом равен 75 кг .

46. Какова сила давления N груза весом $P \text{ кг}$ на пол лифта, если ускорение лифта равно a^2 ? Чему равна эта сила при свободном падении лифта?

47. Хоккейная шайба, имея начальную скорость 5 м/сек , прошла расстояние, равное 10 м , и ударилась о бортик. После удара, который можно считать абсолютно упругим, шайба прошла еще 2.5 м и остановилась. Определить коэффициент трения шайбы о лед. Силу трения скольжения в данной и последующих задачах считать равной максимальной силе трения покоя.

48. Тормозным путем называют расстояние, которое проходит автомобиль от начала торможения до полной остановки. Для принятых в СССР типов шин при нормальном давлении воздуха в камерах зависимость пути торможения от скорости автомобиля в начале торможения и от состояния и типа дорожного покрытия можно свести в таблицу (см. табл. I).

По данным таблицы с точностью до первого десятичного знака после запятой определить коэффициент трения для различных видов покрытия.

49. Определить разность давлений бензина на противоположные стенки бензобака во время движения автомобиля по горизонтальной дороге, если за $t \text{ сек}$ скорость автомобиля равномерно увеличивается от $v_0 = 0$ до v . Расстояние между стенками бака l . Бак имеет форму параллелепипеда и боковые стены его вертикальны. Бак целиком заполнен бензином. Плотность бензина ρ .

Тормозной путь, в метрах

Таблица I

Составление дороги	Скорость движения автомобиля в км/час									
	10	20	30	40	50	60	70	80	90	100
Лед . .	3,9	15,6	35,3	62,9	98,1	141,4	192,6	251,6	318,2	393,0
Сухой асфальт	1,9	7,8	17,6	31,4	49,0	70,7	96,3	125,8	159,1	196,6
Мокрый асфальт	1,3	5,2	11,7	20,9	32,7	47,1	64,2	83,8	106,0	131,0
Сухой бетон	0,78	3,1	7,0	12,5	19,6	28,2	38,5	50,3	63,6	78,6
Мокрый асфальт	0,97	3,9	8,8	15,7	24,5	35,3	48,1	62,9	79,5	98,2
Сухой асфальт	0,65	2,6	5,8	10,4	16,3	23,5	32,1	41,9	53,0	65,5
Сухой бетон	0,56	2,2	5,0	9,0	14,0	20,2	27,5	35,9	45,4	56,1

50. На однородный стержень длины L действуют две силы F_1 и F_2 , приложенные к его концам и направленные в противоположные стороны (рис. 16). С какой силой F растянут стержень в сечении, находящемся на расстоянии l от одного из его концов?

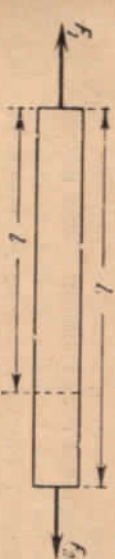


Рис. 16.

51. Исследуется падение легкого шарика в воздухе. После того как шарик пролетел 20 м , его фотографируют. Фотоаппарат, имеющий фокусное расстояние 10 см , расположен на расстоянии 15 м от плоскости падения шарика. Перед открытым объективом фотоаппарата вращается со скоростью 3 об/сек диск с восемью отверстиями, расположенным по окружности на равных расстояниях друг от друга.

В результате на фотопленке получается ряд изображений шарика на расстоянии 3 м от другого. Какой характер имеет движение шарика? Какова будет конечная скорость шарика такого же радиуса, но имеющего массу в четыре раза большую первого шарика?

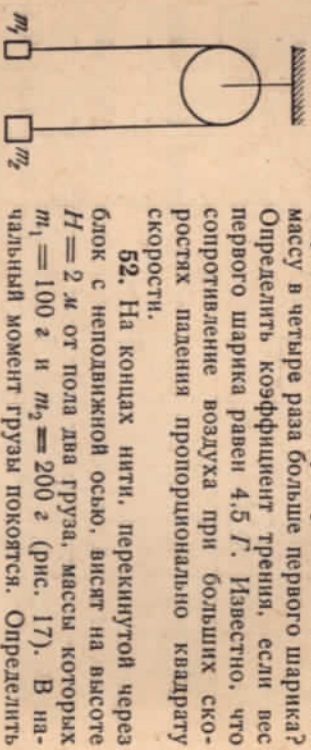


Рис. 17.

52. На концах нити, перекинутой через блок с неподвижной осью, висят на высоте $H = 2 \text{ м}$ от пола два груза, массы которых $m_1 = 100 \text{ г}$ и $m_2 = 200 \text{ г}$ (рис. 17). В начальный момент грузы покоятся. Определить натяжение нити при движении грузов и

время, за которое груз массы m_2 достигнет пола. Массу блока и нити не учитывать.

53. К оси подвижного блока прикреплен груз весом P (рис. 18). С какой силой F нужно тянуть конец нити, перекинутой через второй блок, чтобы груз P двигался вверх с ускорением a ? чтобы груз покончился? Массой блоков и нити пренебречь.

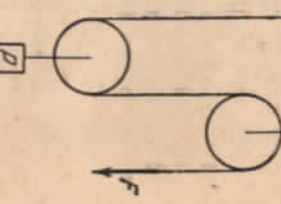


Рис. 18.

54. Два груза висят на нити, перекинутой через блок с неподвижной осью. Масса одного из грузов равна 200 г . Известно, что нить не обрывается, если к другому ее концу прикрепить очень тяжелый груз. На какое натяжение рассчитана нить? Массой блока и нити можно пренебречь.

55. Через два неподвижных блока перекинута нить, к концам которой подвешены чашки с гирями весом по $P = 3 \text{ кг}$ на каждой. Нить между блоками разрезали и присоединили к динамометру (рис. 19). Что покажет динамометр? Какой груз P_1 нужно добавить на одну из чашек для того, чтобы показание динамометра не изменилось после того, как с другой чашки была снята гири весом $P_2 = 1 \text{ кг}$? Массами чашек, блоков, нити и динамометра пренебречь.

56. Тяжелый шар массы m подведен на тонкой нити. В нижней части шара к нему прикреплена другая нить,

такой же прочности, что и первая. При резком рывке за нижнюю нить она обрывается. Какое ускорение сообщается при этом шару?

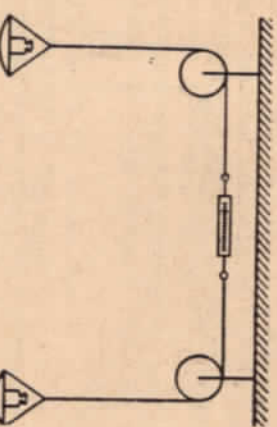


Рис. 19.

57. Два груза с массами m_1 и m_2 связаны между собой нитью, перекинутой через блок. Плоскости, на которых лежат грузы, составляют с горизонтом углы α и β (рис. 20). Гравийный груз находится ниже левого на $h \text{ м}$. Через $\tau \text{ сек}$ после начала движения оба груза оказались на одной высоте.

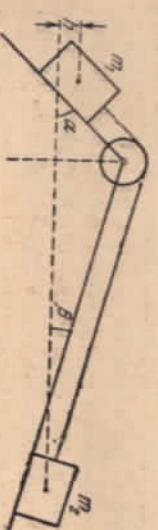


Рис. 20.

Коэффициенты трения между грузами и плоскостями равны k . Определить отношение масс грузов,

58. Ледяная гора составляет с горизонтом угол $\alpha = 30^\circ$. По ней пускают снизу вверх камень, который в течение $t_1 = 2 \text{ сек}$ проходит расстояние $l = 16 \text{ м}$, после чего скользится вниз.

Какой промежуток времени t_2 длится скольжение камня вниз? Какой коэффициент трения между горой и камнем?

59. Тележка массы $M = 500 \text{ г}$ скреплена нитью с грузом массы $m = 200 \text{ г}$. В начальный момент тележка имела скорость $v_0 = 7 \text{ м/сек}$ и двигалась влево по горизонтальной

плоскости (рис. 21). Определить величину и направление скорости тележки, место, где она будет находиться, и путь, проходимый ею через $t = 5$ сек.

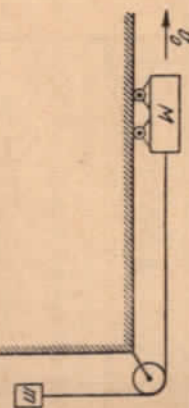


Рис. 21.

60. Может ли буфер (платформа на коньках, снабженная парусом) под действием ветра двигаться по горизонтальной поверхности льда со скоростью, превышающей скорость ветра?

61. Ракета имеет запас топлива $m = 8$ м. Масса ракеты (включая топливо) $M = 15$ м. Топливо сгорает за 40 сек. Расход топлива и сила тяги $F = 20\,000$ кг постоянна.

1) Ракета установлена горизонтально на тележке. Определить ускорение, которое имеет ракета в момент запуска. Найти зависимость ускорения от времени движения ракеты и изобразить эту зависимость графически. По графику оценить величину скорости, которую приобретет ракета через 20 сек после начала движения. Трения не учитывать.

2) Ракета запускается вертикально вверх. Измерения показали, что через 20 сек ускорение ракеты было равно $0.8g$. Рассчитать силу сопротивления воздуха, которая действовала на ракету в этот момент. Ускорение g считать постоянным.

3) Для измерения ускорения ракеты на ней помещен прибор, представляющий собой пружину, закрепленную в вертикальной трубке. В покое пружина растянута прикрепленным на ее конце грузом на $l_0 = 1$ см. Определить зависимость растяжения пружины от ускорения ракеты. Начертить шкалу прибора.

62. На стержень, длина которого $2l$, надета бусинка массы m . Бусинка может перемещаться по стержню без трения. В начальный момент бусинка находилась на середине стержня. Стержень поступательно передвигается в горизонтальной плоскости с ускорением a в направлении, соста-

вляющим угол α со стержнем (рис. 22). Определить ускорение бусинки относительно стержня, силу реакции со стороны стержня на бусинку и время, через которое бусинка покинет стержень.

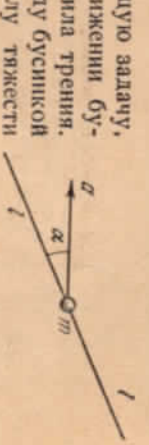


Рис. 22.

63. Решить предыдущую задачу, предполагая, что при движении бусинки на нее действует сила трения. Коэффициент трения между бусинкой и стержнем равен k . Силу тяжести не учитывать.

64. Брускок массы M лежит на гладкой горизонтальной плоскости, по которой он может двигаться без трения. На бруске лежит тело массы m (рис. 23). Коэффициент трения между телом и бруском равен k . При каком значении силы F , приложенной к бруsku в горизонтальном направлении, тело начнет скользить по бруsku? Через сколько времени тело упадет с бруска, если длина бруска l ?

Рис. 23.

65. Тележка массы M движется без трения по горизонтальным рельсам со скоростью v_0 . На передний край тележки кладется тело массы m . Его начальная скорость равна нулю. При какой длине тележки тело не скользит с нее? Размерами тела по сравнению с длиной тележки l пренебречь. Коэффициент трения между телом и тележкой k .

66. Невесомая нить, перекинутая через блок с неподвижной осью, пропущена через шель (рис. 24). При движении нити на нее со стороны шели действует постоянная сила трения F . На концах нити подвешены грузы, массы которых m_1 и m_2 . Определить ускорение грузов a .

67. На конце очень легкой штанги укреплен блок с неподвижной осью. Штанга помещена на чашку весов и закреплена в вертикальном положении. Через блок перекинута нить, на концах которой находятся различные грузы. Один из грузов скользят по штанге с трением, вследствие чего грузы движутся равномерно (рис. 25). Определить силу, с которой действует на

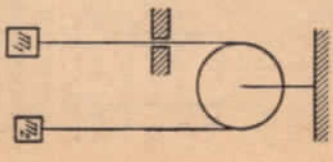


Рис. 24.

штангу блок, и начните показания весов при движении грузов. Массами блока, штанги, нити и трением в оси блока пренебречь. Рассмотреть два случая: 1) $m_1 = 1 \text{ кг}$, $m_2 = 3 \text{ кг}$; 2) $m_1 = 3 \text{ кг}$, $m_2 = 1 \text{ кг}$.

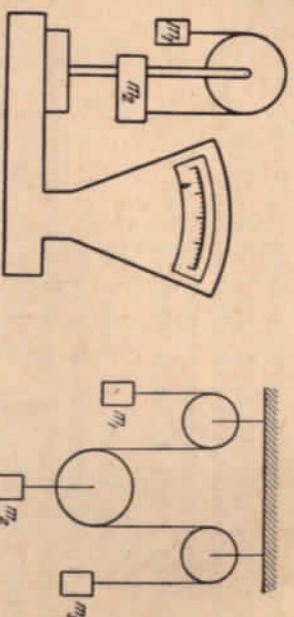


Рис. 25.

68. Система состоит из двух блоков с неподвижными осями и одного подвижного блока (рис. 26). Через блоки перекинута нить, на концах которой подвешены грузы с массами m_1 и m_3 , а к оси подвижного блока подвешен груз массы m_2 . Участки нити, не лежащие на блоках, вертикальны. Определить ускорения каждого из грузов, если массами блоков и нити, а также трением можно пренебречь.

69. На концах веревки, перекинутой через блок с неподвижной осью, висят две одинакового веса обезьяны. Одна из обезьян начинает подниматься вверх по веревке, другая висит, не перемещаясь относительно веревки. Где будет находиться вторая обезьяна, когда первая обезьяна доберется до блока? В начальный момент обе обезьяны были на одной высоте от пола. Массу блока, веревки и трение не учитывать.

Рис. 27.

70. Определить ускорения грузов в системе, изображенной на рис. 27. Массами блоков, нити и трением пренебречь. В какую сторону будут вращаться блоки при движении грузов?

71. Стол весом $P_1 = 15 \text{ кг}$ может без трения перемещаться по горизонтальному полу. На столе лежит груз

Рис. 26.

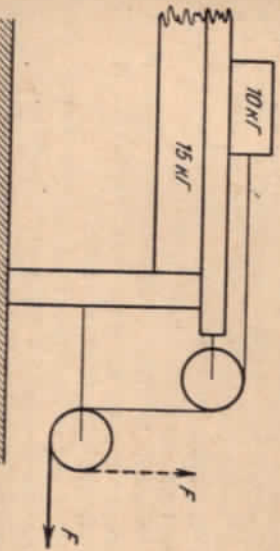


Рис. 28.

веревки приложить постоянную силу, равную 8 кг ? Рассмотреть два случая: 1) сила направлена горизонтально, 2) сила направлена вертикально вверх.

72. Старинная пушка, не имеющая противооткатного устройства, стоит на горизонтальной площадке. Пушка стреляет под углом α к горизонту ядром, масса которого m , а начальная скорость v_0 . Какую скорость v_1 будет иметь пушка непосредственно после выстрела, если масса пушки M , а ускорение снаряда в канале ствола значительно больше ускорения свободного падения? Коэффициент трения между пушкой и площадкой равен k .

§ 4. Закон сохранения количества движения

73. Метеорит сгорает в атмосфере, не достигая поверхности Земли. Куда девается при этом его количество движения?

74. Обладает ли количеством движения однородный диск, врачающийся вокруг своей оси? Ось диска неподвижна.

75. Горизонтальный винт вертолета может приводиться вращение с помощью мотора, установленного внутри фюзеляжа, или реактивной струей газов, вытекающих из специальных насадок на концах лопастей винта. Почему винтомоторному вертолету хвостовой винт не нужен?

весом $P_2 = 10 \text{ кг}$. К грузу прикреплена веревка, перекинутая через два блока, закрепленных на столе (рис. 28). Коэффициент трения между грузом и столом $k = 0.6$. С каким ускорением будет двигаться стол, если к свободному концу

76. Охотник стреляет с легкой надувной лодки. Какую скорость приобретет лодка в момент выстрела, если масса охотника с лодкой $M = 70 \text{ кг}$, масса дроби $m = 35 \text{ г}$ и средняя начальная скорость дроби $v_0 = 320 \text{ м/сек}$? Ствол ружья во время выстрела направлен под углом $\alpha = 60^\circ$ к горизонту.

77. Ракета, запущенная вертикально вверх, врывается в высшей точке своего полета. При взрыве образуется три осколка. Докажите, что векторы начальных скоростей всех трех осколков лежат в одной плоскости.

78. Человек в лодке, обращенной к берегу, переходит с кормы на нос. Как изменится при этом расположение между человеком и берегом?

79. На поверхности озера находится лодка. Она переплыла линии берега и обращена к нему носом. Расстояние между носом лодки и берегом равно 0.75 м . В начальный момент лодка была неподвижна. Человек, находящийся в лодке, переходит с носа лодки на корму. Причалил ли лодка к берегу, если ее длина 2 м ? Масса лодки $M = 140 \text{ кг}$, масса человека $m = 60 \text{ кг}$.

80. Два одинаковых груза соединены с пружиной. В начальный момент пружина ската так, что первый груз вплотную прикат к стенке (рис. 29), а второй груз удерживается упором. Как будут двигаться грузы, если освободить упор, удерживающий второй груз?

81. На тележке, стоящей на гладкой горизонтальной

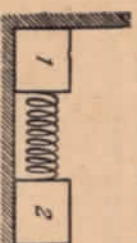


Рис. 29.

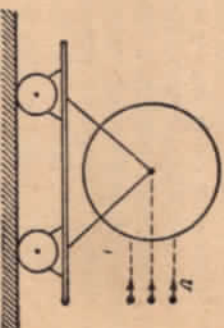


Рис. 30.

поверхности, укреплен массивный однородный цилиндр, который может без трения вращаться вокруг горизонтальной оси (рис. 30). В цилиндр попадает пуля, летящая горизонтально со скоростью v , и после удара о цилиндр падает на тележку. Зависит ли скорость тележки, которую она приобретет после удара пули, от того, в какую часть цилиндра попадает пуля?

82. В начальный момент ракета массы M имела скорость v_0 . В конце каждой секунды из ракеты выбрасывается

порция газа массы m . Скорость порции газа отличается от скорости ракеты до сгорания данной массы газа на постоянную величину a , т. е. скорость истечения газа постоянна. Пренебрегая действием силы тяжести, определить скорость ракеты через n сек.

83. Будет ли увеличиваться скорость ракеты, если скорость истечения газов относительно ракеты меньше скорости самой ракеты, так что вытекающие из сопла ракеты газы летят вслед за ракетой?

84. Две лодки идут параллельными курсами навстречу друг другу с одинаковыми скоростями. Когда лодки встречаются, с одной лодки на другую перебрасывают такой же груз. В другой раз грузы перекидывают из лодки в лодку одновременно. В каком случае скорость лодок после перебрасывания грузов будет больше?

85. На абсолютно гладкой горизонтальной плоскости лежит обруч. На обруче находится жук. Какую траекторию будут описывать жук и центр обруча, если жук начнет двигаться вдоль обруча? Масса обруча M , радиус R , масса жука m .

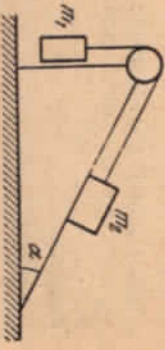


Рис. 31.

86. Клин с углом при основании α может без трения перемещаться по гладкой горизонтальной поверхности (рис. 31). При каком отношении масс m_1 и m_2 грузов, связанных шнуром, перекинутой через блок, клин будет неподвижен, а при каком соотношении масс клин начнет перемещаться вправо или влево? Коэффициент трения между грузом массы m_2 и клином равен k .

§ 5. Статика

87. На столе лежит однородная цепочка длины l . Какова максимальная длина l_1 спешивающейся со стола части цепочки, если коэффициент трения между цепочкой и столом равен k ?

88. На концах нити, перекинутой через два блока, висят два одинаковых груза (рис. 32). На какое расстояние опустится третий груз той же массы, если его прикрепить к середине нити? Расстояние между осями блоков равно $2l$. Трение в осях блоков существует, но очень мало.

89. Равнобедренный клин с острым углом α забит в щель. При каком значении угла α клин не будет вытолкнут из щели, если коэффициент трения между клином и материалом щели равен k ?

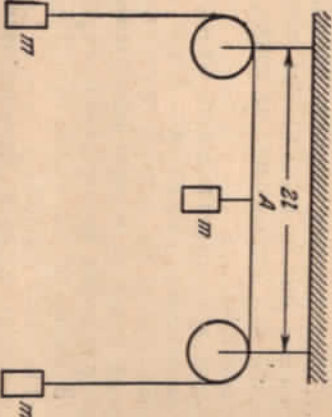


Рис. 32.

90. Каково соотношение между грузами P и Q , если известно, что система, изображенная на рис. 33, находится в равновесии. Длины стержней AD , BC , CH , DT и длина плеча рычага OO_1 в два раза больше длины стержней AE , EB , TS , SH и длины плеча рычага KO соответственно. Весом стержней и рычага пренебречь.

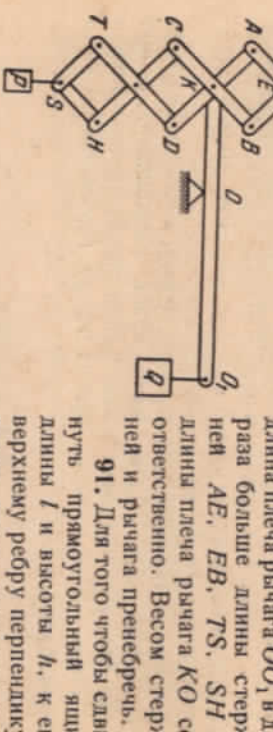


Рис. 33.

коэффициент k трения между ящиком и полом, чтобы ящик слвинулся не опрокидываясь?

92. Однородная балка, вес которой P , лежит на полу. Коэффициент трения балки о пол равен k . Что легче: повернуть балку в горизонтальной плоскости относительно ее центра, или перемещать балку поступательно? В обоих случаях балкудвигают два человека.

26

93. Мостовой кран, вес которого $P = 2T$, имеет пролет $L = 26 \text{ м}$ (см. рис. 11). Трос, на котором подведен груз, находится на расстоянии $l = 10 \text{ м}$ от одного из рельсов. Определить силы давления крана на рельсы, если он поднимает груз весом $P_0 = 17 \text{ т}$ с ускорением $a = 9,8 \text{ м/сек}^2$.

94. Рычаг изогнут так, что стороны его AB , BC и CD равны между собой и образуют друг с другом прямые углы (рис. 34). Ось рычага — в точке B . Перпендикулярно плечу рычага AB в точке A приложена сила $P = 1 \text{ кг}$. Определить минимальное значение силы, которую нужно приложить в точке D , чтобы рычаг находился в равновесии. Весом рычага пренебречь.



Рис. 34.

Рис. 35.

95. Между двумя одинаковыми ящиками, стоящими на полу, вставлены палки, немного не доходящие до пола (рис. 35). К верхнему концу палки приложена горизонтальная сила. Какой из ящиков слвинется раньше?

96. Тяжелый однородный шар подведен на нити, конец которой закреплен на вертикальной стене. Точка прикрепления нити к шару находится на одной вертикали с центром шара. Какую величину должен иметь коэффициент трения между шаром и стеной, чтобы шар находился в равновесии?

97. Однородный прямоугольный кирпич лежит на наклонной плоскости (рис. 36). Какая половина кирпича, правая или левая, оказывает большее давление на наклонную плоскость?

98. Для подъема тяжелого цилиндрического катка радиуса R на прямоугольную ступеньку пришлось приложить

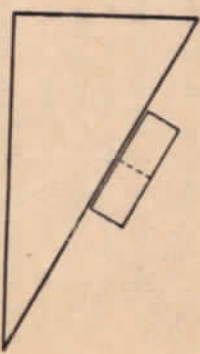


Рис. 36.

к его оси горизонтально направленную силу, равную весу ящика. Определить максимальную высоту ступеньки.

99. На двух наклонных плоскостях, образующих с горизонтом углы $\alpha_1 = 30^\circ$ и $\alpha_2 = 60^\circ$, лежит шар весом $P = 3 \text{ кг}$. Определить силы давления шара на каждую из плоскостей, если трение между шаром и одной из плоскостей отсутствует.

100. На передней стенке ящика шкафа имеются две симметрично расположенные ручки. Расстояние между ручками l , длина ящика a . Коэффициент трения между ящиком и шкафом равен k . Всегда ли можно выдвинуть ящик из шкафа, прикладывая только к одной ручке силу, перпендикулярную стенке ящика?

101. На шероховатом, горизонтально расположенным бревне уравновешена однородная доска (рис. 37). После того, как утягелили один из ее концов обнаружилось, что равновесиеlostится, когда доска составляет угол α с горизонтом. Какой коэффициент трения между доской и бревном?

102. Верхний конец лестницы опирается на гладкую вертикальную стену, а нижний конец лестницы стоит на шероховатом полу. Коэффициент трения между лестницей и полом равен k . Определить, при каком значении угла α между лестницей и стеной лестница будет находиться в равновесии.

103. Решить предыдущую задачу в предположении, что стена не гладкая и коэффициент трения между лестницей и сте-
ной также равен k .

104. Однородная тонкая палочка AB длиной l лежит на горизонтальной поверхности стола. К концу B палочки прикреплена нить длиной $2l$ (рис. 38). Как будет двигаться палочка, если другой конец нити C медленно поднимать вдоль неподвижной вертикальной прямой DO , проходящей через конец A палочки. Весом нити пренебречь.



Рис. 37.

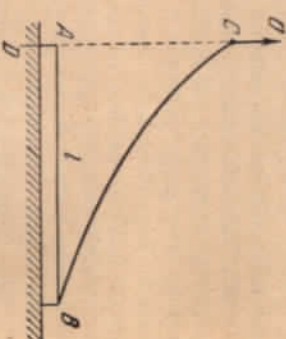


Рис. 37.

105. При каком значении коэффициента трения человека, бегущий по прямой твердой дорожке, не может поскользнуться? Максимальный угол между вертикалью и линией, соединяющей центр тяжести бегуна с точкой опоры, равен α .

106. К гладкой вертикальной стене дома прислонена лестница. Угол между лестницей и горизонтальной поверхностью Земли $\alpha = 60^\circ$. Длина лестницы l . Центр тяжести ее находится посередине. Как направлена сила, действующая на лестницу со стороны Земли?

107. Лестница, центр тяжести которой находится посередине, опирается на абсолютно гладкие пол и стены (рис. 39).

Каким должно быть быть натяжение веревки, привязанной к середине лестницы, чтобы удержать ее от падения?

108. По лестнице, прислоненной к гладкой вертикальной стене, поднимается человек. Лестница начинает скользить лишь тогда, когда человек поднялся на определенную высоту. Почему?

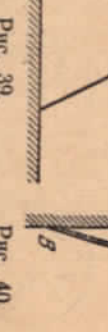


Рис. 39.

109. Картина подвешена к вертикальной стене с помощью шнурка AC длины l , образующего со стеной угол α . Высота картины $BC = d$ (рис. 40). Нижняя часть картины не за-креплена. При каком значении коэффициента трения между картиной и стеной картина будет в равновесии?

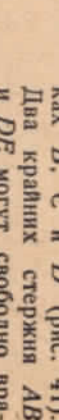


Рис. 40.

110. Четыре однородных стержня шарниро скреплены друг с другом в точках B , C и D (рис. 41). Два крайних стержня AB и DE могут свободно вра-щаться относительно непо-

дложных точек A и E , расположенных на горизонтальной прямой. Длины стержней попарно равны $AB = ED$ и $BC = CD$. Массы стержней одинаковы. Показать, что при равновесии углы α и β связаны соотношением $\operatorname{tg} \alpha = 3 \operatorname{tg} \beta$.

111. Чему равен коэффициент трения между полом и ящиком весом в 1 кг , если наименьшая сила, необходимая для того, чтобы свинуть ящик с места, составляет $600\text{ кг}?$

112. На цилиндр массы m намотана невесомая нерастяжимая нить (рис. 42).

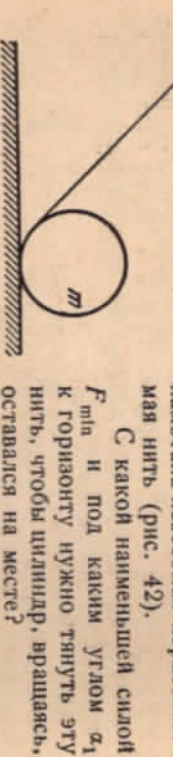


Рис. 42.

113. На рис. 43 изображена упрощенная схема паровой машины и кривошипно-шатунного механизма паровоза. Рис. 43, a и δ соответствуют моментам, когда пар находится в левой и правой частях цилиндра соответственно. Рассчитать

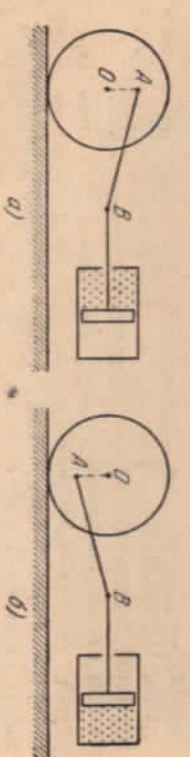


Рис. 43.

силу тяги для этих случаев в момент, когда точка A лежит на одной вертикали с осью ведущего колеса. Давление пара в цилиндре p , площадь поршня S , радиус ведущего колеса R , а расстояние $OA = r$. Массой кривошипно-шатунного механизма, поршня и ведущего колеса пренебречь.

114. Кирпичи укладывают друг на друга без связующего вещества так, что часть каждого последующего кирпича выступает над нижне лежащим (рис. 44).

На какое максимальное расстояние прямой край верхнего кирпича может выступать над правым краем самого нижнего кирпича, служащего основанием всей кладки? Длина каждого кирпича L .

115. Найти центр тяжести тонкой однородной проволоки, согнутой в виде полуокружности радиуса r .

116. Определить положение центра тяжести однородного тонкого полукруга радиуса r .

117. Определить положение центра тяжести тонкой однородной проволоки, изогнутой по дуге радиуса r (рис. 45).

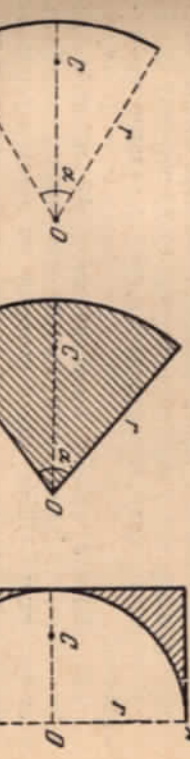


Рис. 45.

Рис. 46.

Рис. 47.

118. Определить положение центра тяжести тонкой однородной пластиинки, вырезанной в виде сектора радиуса r , имеющего центральный угол α (рис. 46).

119. Определить положение центра тяжести тонкой однородной пластиинки, представляющей собой прямоугольник со сторонами r и $2r$, из которого вырезан полукруг радиуса r (рис. 47).

§ 6. Работа и энергия

120. Какая работа будет совершена, если силой 3 кг поднять груз весом 1 кг на высоту $5\text{ м}?$

121. В формуле для работы $A = kFs$ коэффициент $k = 1$, если все величины выражены в одной и той же системе единиц. Чему равен коэффициент k , если работу измерять в дюймах, силу в kG , а путь в сантиметрах.

122. Опыт Герике с «магдебургскими полушариями» состоял в том, что две малые полусфера плотно соединились основаниями и из получившегося полого шара выкачивался воздух. Атмосферное давление настолько плотно прижало полушария друг к другу, что их могли разъединить только с помощью нескольких лошадей.

Определить, сколько лошадей нужно для отрыва полушарий, если каждая лошадь тянет с силой F ? Радиус полусферы R , атмосферное давление равно p .

123. Как вы объясните тот факт, что при падении камня на Землю изменение количества движения Земли равно изменению количества движения камня, а изменение кинетической энергии Земли не учитывается?

124. Снаряд весом в 100 кг забивают в грунт копром, вес которого 400 кг. Копир свободно падает с высоты 5 м и при каждом его ударе свая опускается на глубину 5 см. Определить силу сопротивления грунта, считая ее постоянной.

125. Ящик с песком, имеющий массу M , подвешен на тросе длины L . Длина троса значительно больше линейных размеров ящика. Пуля, масса которой m , летит в горизонтальном направлении, попадает в ящик и застревает в нем. Трос после попадания пули отклоняется на угол α от вертикали.

Определить скорость пули.

126. Две тележки расталкиваются взрывом порохового заряда Q , помещенного между ними (рис. 48). Тележки весом 100 г проходит путь 18 м и останавливаются. Какой

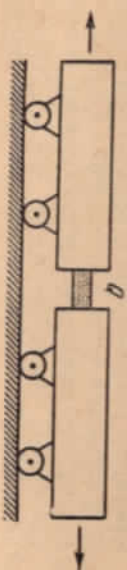


Рис. 48.

путь проходит вторая тележка весом 300 г? Коэффициенты трения k между землей и тележками одинаковы.

127. Решить задачу 65, применяя закон сохранения количества движения и рассматривая изменение кинетической энергии тележки и тела.

128. Ракета взлетает вертикально вверх, выбрасывая раскаленные газы последовательно двумя равными порциями. Скорость истечения газов относительно ракеты постоянна и равна v .

Каким должен быть промежуток времени между сгоранием порций, чтобы ракета достигла наибольшей высоты?

Сгорание топлива происходит мгновенно. Сопротивлением воздуха пренебречь.

129. Горючее в ракете сгорает равными порциями массы m . Сгорание происходит мгновенно. Будет ли скорость истечения газов относительно ракеты постоянна, если при сгорании

каждой порции механическая энергия системы меняется на одинаковую величину.

130. Тело поднимают на вершину горы один раз по пути ADC и другой раз — по ABC (рис. 49). Доказать, что при медленном подъеме совершенная работа будет одинаковой на обоих склонах одинаков.

131. Какую силу следует приложить к рукоятке винтового домкрата, чтобы удержать в равновесии поднятый домкратом груз P ? Шаг винта равен h , длина рукоятки R . Трение отсутствует.

132. Найти максимальный коэффициент полеаного действия винтового домкрата без специального приспособления, не допускающего обратного хода.

Рис. 49.

133. К корзине воздушного шара массы M привязана первоначальная лестница длины l , на конце которой стоит человек массы m . Вся система находится в воздухе в положении равновесия. Определить, какую работу должен совершить человек, чтобы подняться в корзину.

Какова будет скорость воздушного шара, если человек перемещается по лестнице со скоростью v относительно нее?

134. Как должна измениться мощность мотора насоса, чтобы он стал перегонять через узкос отверстие вдвое большее количество воды в единицу времени? Трение не учитывать.

135. Прямоугольная яма, площадь основания которой S и глубина H , наполовину заполнена водой. Насос выкачивает воду и подает ее на поверхность земли через цилиндрическую трубу радиуса R .

1) Какую работу совершил насос, если он выкачал всю воду за время t ?

2) Какую работу совершил насос за то же время, если на дне ямы лежит каменная плита прямоугольной формы, площадь основания которой S_1 и высота h ? Глубина воды и яме по-прежнему равна $H/2$.

136. Какую работу нужно совершить, чтобы за время t поднять вверх по движущемуся вниз эскалатору метро? Высота подъема h , скорость эскалатора постоянна и равна v , угол наклона эскалатора — к горизонту α .

137. Считая, что упругая сила деформированной пружины $F = kx$, где k — коэффициент упругости пружины, а x — величина деформации, вычислить потенциальную энергию деформированной пружины.

138. В вагоне равномерно движущегося поезда стоит человек, действующий силой F на растянутую пружину (рис. 50). Поезд прошел путь L .

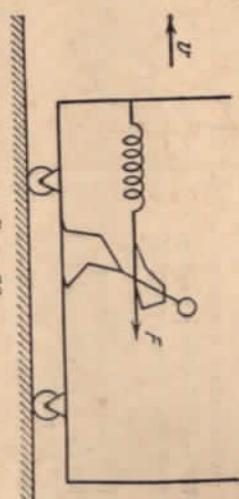


Рис. 50.

Какую работу совершил человек в системе координат, связанной с Землей?

139. В вагоне равномерно движущегося поезда человек растянул пружину, прикрепленную к передней стенке вагона, на длину l . За это время поезд прошел путь L . Какую работу совершил человек в системе координат, связанной с Землей? Чему равна эта работа в системе, связанной с поездом?

Растянутая пружина, человек идет против движения поезда.

140. Происходит соударение двух абсолютно упругих шаров с массами m_1 и m_2 . Их начальные скорости v_1 и v_2 . Найти скорости шаров после удара.

Удар считать центральным: скорости шаров направлены вдоль линии, соединяющей их центры. Проанализировать два случая: 1) скорость второго шара до удара равна нулю, 2) массы шаров равны.

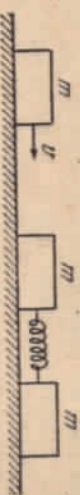


Рис. 51.

141. На абсолютно гладкой горизонтальной плоскости покоятся два упругих бруска равной массы m , скрепленных пружиной длины l (рис. 51). Коэффициент упругости пружины равен k . На один из брусков, например на левый, налетает

34

со скоростью v третий брускок, имеющий также массу m . Показать, что связанные пружиной бруски всегда будут двигаться в одну сторону.

Определить скорости брусков в момент, когда пружина максимально растянута.

142. Две пластины, массы которых равны m_1 и m_2 , скреплены между собой пружиной (рис. 52).

С какой силой необходимо наложить на верхнюю пластину, чтобы, двигаясь вверх после прекращения действия силы, верхняя пластина приподняла нижнюю? Массой пружины пренебречь.

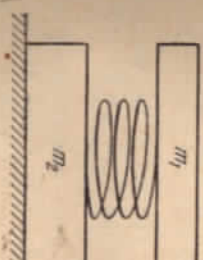


Рис. 52.

143. Шарик, движущийся со скоростью v , налетает на стенку, которая движется навстречу шарнику со скоростью u (рис. 53). Происходит упругий удар.

Определить скорость шарика после удара. За счет чего изменяется кинетическая энергия шарика?

Массу стеки считать бесконечно большой.

144. С высоты $h = 73,5 \text{ м}$ сбрасывают два одинаковых по массе камни, связанных нерважкой, длина которой $l = 39,2 \text{ м}$. Первый камень начинает падать на $\tau = 2 \text{ сек}$ раньше второго. Через какое время после начала падения камни упадут на землю?

- 1) Веревку считать абсолютно упругой.
- 2) Веревку считать абсолютно неупругой.

145. Несколько одинаковых упругих шаров подвещены rigidom на нитях равной длины (рис. 54) так, что расстояния

3*

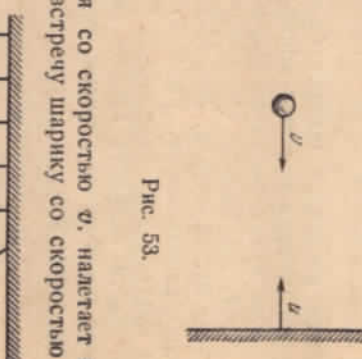


Рис. 54.

между соседними шарами чрезвычайно мало. Как будут вести себя шары, если отклонить крайний шар и отпустить, отклонить одновременно два шара, отклонить три шара и т. д.?

146. На плоскости лежат в ряд (с небольшими промежутками) шарики одинакового размера (рис. 55). Одни из средних шариков сделаны из стали, остальные из склоновой кости



Рис. 55.

(масса стального шарика больше). На шари справа вдоль линии центров налетает костяной шарик (той же массы). Как будут двигаться шарики после удара?

147. На концах очень длинной нити подвешены равные грузы массы m (рис. 56). Нить перекинута через два малых неподвижных блока, расположенных на расстоянии $2l$ друг от друга.

Найти скорость грузов по истечении достаточно большого промежутка времени, если к середине нити прикреплен груз массы $2m$.

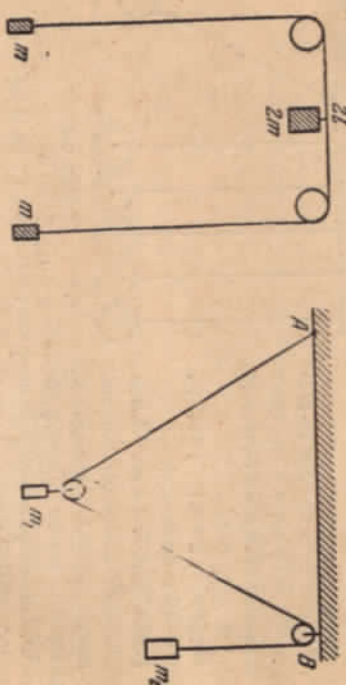


Рис. 56.

Рис. 57.

148. Груз массы $m_1 = 536$ г, удерживаемый первоначально у потолка, посередине между точками A и B , начинает опускаться вниз (рис. 57).

36

При каком значении угла AB его скорость по абсолютной величине станет равной скорости груза массы $m_2 = 1000$ г?

Как будут двигаться грузы в дальнейшем?

149. На двух катках разных радиусов лежит тяжелая доска, образующая угол α с горизонтом. Определить, как будет двигаться доска. Прокалывание отсутствует. Массой катков пренебречь.

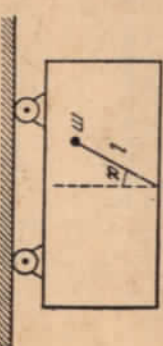


Рис. 58.

При каком значении угла AB его скорость по абсолютной величине станет равной скорости груза массы $m_2 = 1000$ г?

Какова скорость тележки в тот момент, когда нить маятника будет составлять с вертикалью угол β ($\beta < \alpha$)?

152. Клины, масса которого M , находятся на абсолютно гладкой горизонтальной плоскости. На клине лежит бруск массы m . Бруск, под действием силы тяжести, может скользить по клину без трения. Считая, что в начальный момент времени система находилась в покое, определить скорость клина в тот момент времени, когда бруск опустится по вертикали на высоту h .

153. Стержень, закрепленный между двумя муфтами, может свободно перемещаться в вертикальном направлении (рис. 59). Нижний конец стержня опирается на гладкий клин, лежащий на горизонтальной плоскости. Масса стержня m , клина M . Трение отсутствует. В начальный момент стержень и клин покоялись.

Определить: скорость v клина в момент, когда стержень опустится на высоту h ; скорость u от стержня относительно движущегося клина; ускорение a стержня.

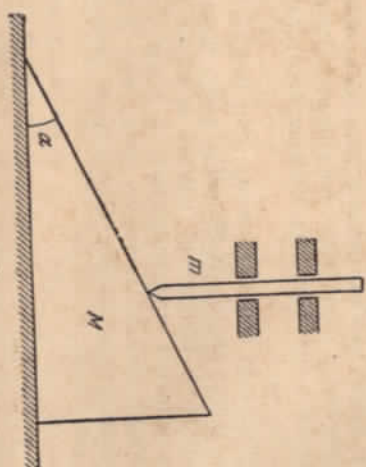


Рис. 59.

§ 7. Кинематика криволинейного движения

154. Два вала A и B соединены бесконечным ремнем, передающим вращение от A к B . Ведущий вал делает $n_1 = 3000 \text{ об/мин}$. На ведомом валу, который должен делать $n_2 = 600 \text{ об/мин}$, насажен шкив диаметром $D_2 = 500 \text{ м.м.}$ Какого диаметра шкив должен быть насажен на ведущий вал?

155. Гусеница трактора состоит из n звеньев. Длина каждого звена a . Радиусы колес, на которые надета гусеница, R . Трактор движется со скоростью v . Прелюбопытствуйте, что гусеница не провисает.

1) Какое число звеньев гусеницы движется в данный момент поступательно, какое число звеньев покоятся (относительно Земли) и какое число звеньев участвует во вращательном движении?

2) Трактор прошел путь $S \gg na$. Сколько времени каждое звено гусеницы двигалось поступательно, покоялось и участвовало во вращательном движении?

156. Для определения скоростей молекул применяется следующее устройство. Накаливаемая током посеребренная проволочка располагается на общей оси двух цилиндров, скрепленных друг с другом и вращающихся с угловой скоростью ω (рис. 60). Во внутреннем цилиндре сделана щель,

в которую пролетают испаряющиеся с проволочки молекулы. Все устройство помещено в вакум. Если цилинды покоятся, след от осевых молекул серебра получается в точке A . Если цилинды вращаются, след получается в точке B , отстоящей на расстояние l .

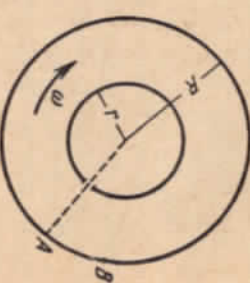


Рис. 60.

Найти скорость молекул. Радиусы цилиндров r и R .

157. Для того чтобы повернуть трактор, движущийся со скоростью $v_0 = 18 \text{ км/час}$, тракторист притормаживает одну из гусениц так, что ось ее переднего колеса начинает двигаться вперед со скоростью $v_1 = 14 \text{ км/час}$. Расстояние между гусеницами $d = 1,5 \text{ м}$. Дугу какого радиуса описывает центр трактора?

158. Можно наблюдать в горах следующее явление: архела «на глазах» быстро скрывается за отдаленной вершиной. (То же явление можно, конечно, наблюдать на равнине, если имеется достаточно удаленное высокое сооружение.) С какой скоростью нужно бежать, чтобы все время видеть звезду на одном и том же угловом расстоянии от горы? Расстояние от наблюдателя до вершины 10 км. Наблюдение ведется на полосе.

159. Скорость течения реки возрастает пропорционально расстоянию от берега, достигая своего максимального значения v_0 на середине реки. У берегов скорость течения равна нулю. Лодка движется по реке таким образом, что ее скорость v относительно воды постоянна и перпендикулярна течению. Найти расстояние, на которое будет сплесну течением лодка при переправе, если ширина реки s . Определить также траекторию лодки.

160. Четыре черепахи находятся в углах квадрата со стороной a . Одновременно они начинают двигаться с постоянной по величине скоростью v , причем первая черепаха все время держит курс на вторую, вторая на третью, третья на четвертую, четвертая на первую. Встречаются ли черепахи, и если встречаются, то через какое время?

161. От прямолинейного участка берега одновременно отошли два корабля A и B , находившиеся первоначально на расстоянии $a = 3 \text{ км}$ друг от друга.

Корабль *A* двигался по прямой, перпендикулярной берегу. Корабль *B* держал непрерывно курс на корабль *A*, имея в каждый момент одинаковую с ним скорость. Очевидно, что через достаточно большое время второй корабль будет следовать за первым, находясь от него на некотором расстоянии. Найти это расстояние.

162. Тело брошено с начальной скоростью v_0 под углом α к горизонту. Сколько времени длится полет? На каком расстоянии от места бросания упадет тело? При каком значении угла α дальность полета тела будет максимальной?

На какой высоте будет тело через промежуток времени τ после начала движения? Какую скорость будет иметь тело по величине и направлению в данный момент времени?

Считать τ большим, чем время полета тела до максимальной высоты. Сопротивлением воздуха пренебречь.

163. Найти траекторию движения тела, брошенного под углом α к горизонту (см. задачу 162).

164. Необходимо с земли перебросить мяч через вертикальную стенку высоты H , находящуюся на расстоянии S (рис. 61).

При какой наименьшей начальной скорости это возможно? Под каким углом α к горизонту должна быть в этом случае направлена скорость?

165. Тело брошено в воду с кругого обрыва высотой H . Начальная скорость тела составляет угол α с горизонтом и равна v_0 . На каком расстоянии от берега упадет тело? Через сколько секунд после начала движения тело окажется на высоте h над водой? Какова скорость тела в момент падения в воду?

166. Под каким углом к горизонту необходимо бросить камень с обрывистого берега реки, чтобы он упал в воду возможно дальше от берега?

Высота обрыва $h_0 = 20 \text{ м}$, начальная скорость камня $v_0 = 14 \text{ м/сек}$.

167. Из точки $x = y = 0$ (рис. 62) одновременно выброшены два тела с одинаковой начальной скоростью v_0 , под разными углами к горизонту α_1 и α_2 . Чему равна скорость движения тел друг относительно друга?

Чему равно расстояние между телами по прошествии времени τ ?

168. Пикирующий бомбардировщик сбрасывает бомбу с высоты H , находясь на расстоянии L от цели. Скорость бомбардировщика v .

Под каким углом к горизонту он должен пикировать? Положение грузовика. Между двойными шинами задних колес грузовика застрял камень.

На каком расстоянии от грузовика должна ехать легковая машина, чтобы камень, вырвавшийся из колес грузовика, не попал в нее? Машина движется со скоростью 50 км/час . Плоскость, составляющую с горизонтом угол α (рис. 63).

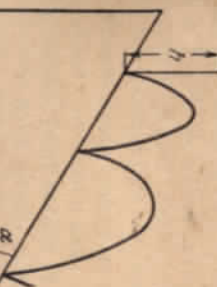


Рис. 63.



Рис. 64.

Найти отношение расстояний между точками, в которых подымающий шарик касается наклонной плоскости. Сматривать как абсолютно упругое.

171. Найти величину ускорения тела *A*, соскальзывающего без начальной скорости по винтовому желобу с шагом h и радиусом R в конце n -го витка (рис. 64).

Трением пренебречь.

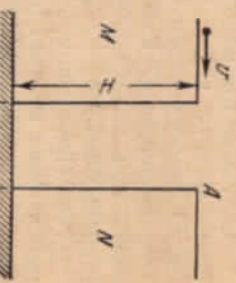


Рис. 65.

На песке покоятся две стальные плиты *M* и *N* высоты H (рис. 66). Расстояние между плитами $l = 20 \text{ см}$. По плате *M* равномерно движется шарик, скорость которого точно не определена. Известно только, что она лежит в интервале от 200 см/сек до 267 см/сек .

1) При какой высоте H нельзя предсказать направление скорости шарика по горизонтали в момент падения его на песок? (До падения на песок шарик успевает удариться о плиту N по крайней мере один раз.)

2) При какой наименьшей высоте плит нельзя будет предсказать, на каком участке отрезка l упадет шарик?

Временем соударения шарика с плитой пренебречь. Удар считать абсолютно упругим.

173. Сплошной однородный диск катится без скольжения по горизонтальному участку пути с постоянной скоростью v (рис. 66).

1) Доказать, что линейная скорость вращения относительно центра O любой точки диска, лежащей на его ободе, равна скорости поступательного движения диска.

2) Определить величину и направление скорости точек A , B , C и D , лежащих на ободе диска, относительно неподвижного наблюдателя.

3) Какие точки диска имеют, относительно неподвижного наблюдателя, ту же по абсолютной величине скорость, что и центр диска?

174. На киноэкране демонстрируется движущаяся повозка. Радиус передних колес повозки $r = 0,35$ м, задних $R = 1,5$ м. Передние колеса имеют $N_1 = 6$ спиц. Съемочная кинокамера перемещает плёнку со скоростью 24 кадра в секунду.

Считая, что колеса повозки катятся без скольжения, определить, с какой минимальной скоростью должна двигаться повозка, чтобы передние колеса ее казались на экране невращающимися? Какое наименьшее число спиц N_2 должны иметь при этом задние колеса, чтобы они также казались невращающимися?

175. При каких скоростях движения повозки, движущейся слева направо (см. условие задачи 174), кинорежиссёрам будет казаться, что 1) спицы колес вращаются против часовой стрелки? 2) спицы передних и задних колес вращаются в противоположные стороны? Число спиц передних и задних колес одинаково и равно 6.

176. Катушка, состоящая из цилиндрической части и двух одинаковых сплошных дисков, катится своей цилиндрической частью без скольжения по шероховатому бруsku, расположенному горизонтально, с постоянной скоростью v (рис. 67).

Радиус цилиндрической части r , дисков R . Какую мгновенную скорость имеют точки A и B , находящиеся на ободе одного из дисков? Какие точки дисков имеют мгновенную скорость, равную по величине скорости оси катушки?

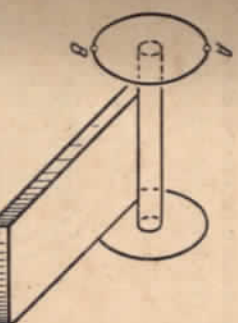


Рис. 67.

177. Начертить траектории точек A , B и C катушки (рис. 68), которая катится по бруски без скольжения своей цилиндрической частью (см. задачу 176).

178. Шарикоподшипник поддерживает конец оси вала, врашающегося с угловой скоростью ω . Диаметр оси вала d (рис. 69), диаметр обоймы шарикоподшипника D . Найти линейную скорость движения центра одного из шариков, если обойма не подвижна и если обойма вращается с угловой скоростью Ω . Считать, что в обоих случаях шарики катятся по валу и обойме без скольжения.

179. По плоскости без скольжения катится конус. Ось конуса вращается со скоростью ω вокруг вертикальной оси a .

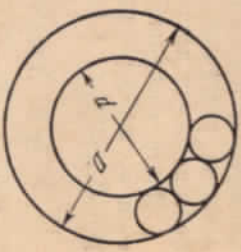


Рис. 69.

Чему равна угловая скорость вращения конуса вокруг своей оси? Определить линейную скорость произвольной точки диаметра основания конуса, лежащего в вертикальной плоскости.

180. На рис. 70 схематически изображена лифтеринговая передача автомобиля, которая применяется для того, чтобы ведущие колеса автомобиля не скользили при

прохождении ими криволинейного участка пути. (При этом они должны вращаться с различными скоростями.)

Двигатель приводит колесо B , с которым жестко скреплена ось A . Вокруг нее может свободно вращаться пара конических шестерен E . Эта пара шестерен спаяна зубьями с другой парой конических шестерен, по которым она катится при вращении оси A . Ось ведущих колес автомобиля (обычно задних) разрезана пополам и на концах оси сидят

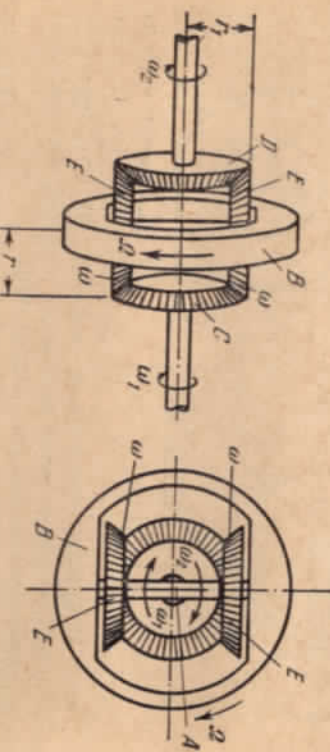


Рис. 70.

шестерни C и D . Эти половники оси могут вращаться с различными угловыми скоростями, оставаясь связанными дифференциальной передачей.

Найти соотношение между угловыми скоростями Ω , ω , ω_1 и ω_2 дифференциальной передачи, если радиусы шестерен E равны r , а радиусы шестерен D и C равны r_1 .

§ 8. Динамика криволинейного движения

181. Определить натяжение троса баллистического маятника (см. задачу 125) в первый момент после попадания в него пули.

182. На гибкой нерастяжимой нити, весом которой можно пренебречь, укреплены, как показано на рис. 71, четыре одинаковых груза. Вся система вращается с угловой скоростью ω вокруг вертикальной оси, проходящей через точку O . Грузы движутся по гладкой горизонтальной поверхности. Определить натяжение нити в различных участках,

44

и с какой угловой скоростью вращается стержень относительно оси, проходящей через центр тяжести.

184. В центре платформы, свободно вращающейся вокруг вертикальной оси, стоит пушка. Ось вращения проходит через ее казенную часть. В горизонтальном направлении подъять радиуса платформы сделали выстрел. Изменился ли при этом скорость вращения платформы?

185. Небольшое тело начинает скользить без начальной скорости с наклонной плоскости высоты H (рис. 73).

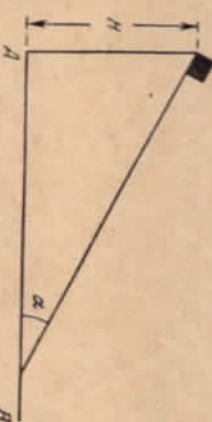


Рис. 73.

Считая, что трение отсутствует и удар тела о горизонтальную плоскость AB абсолютно упругий, определить характер движения тела после того, как оно покинет наклонную плоскость.

Ответить на тот же вопрос, если удар абсолютно неупругий.

186. Чему равен минимальный радиус дуги, которую может отписать мотоциклист, если его скорость $v = 21 \text{ м/сек.}$ и коэффициент трения резины о землю $k = 0,3^2$?

Под каким углом α к горизонту должен быть при этом наклонен мотоцикл?

183. На концах невесомого стержня длины l закреплены массы m_1 и m_2 . Скорости масс m_1 и m_2 лежат в одной плоскости и равны соответственно v_1 и v_2 (рис. 72). Определить, с какой скоростью движется центр тяжести системы



Рис. 71.

Рис. 72.

187. На легкий стержень наложен массивный шар (рис. 74). В каком случае стержень упадет быстрее: если его поставить вертикально на конец *A* или на конец *B*?

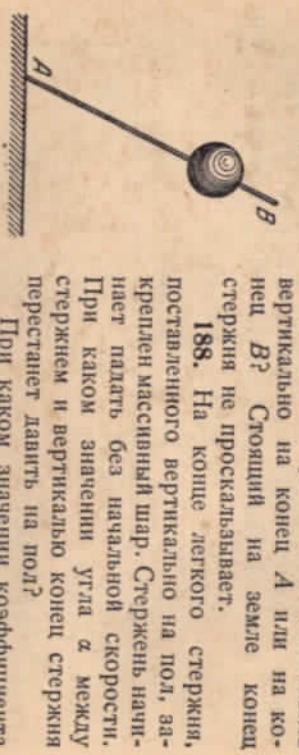


Рис. 74.

188. На конце легкого стержня, поставленного вертикально на пол, закреплен массивный шар. Стержень начинает падать без начальной скорости. При каком значении угла α между стержнем и вертикалью конец стержня перестанет давить на пол?

При каком значении коэффициента трения конец стержня не проскользнет до этого момента?

189. На каком расстоянии от основания стержня упадет шар (см. задачу 188), если коэффициент трения $k > \frac{\sqrt{5}}{2}$.

190. Проволока изогнута по дуге окружности радиуса R (рис. 75). На проволоку налетела бусинка, которая может без трения перемещаться вдоль проволоки. В начальный момент времени бусинка находилась в точке *O*. Какую горизонтальную скорость надо сообщить бусинке, чтобы, пройдя часть пути в воздухе, в точке *B* она попала вновь на проволоку?

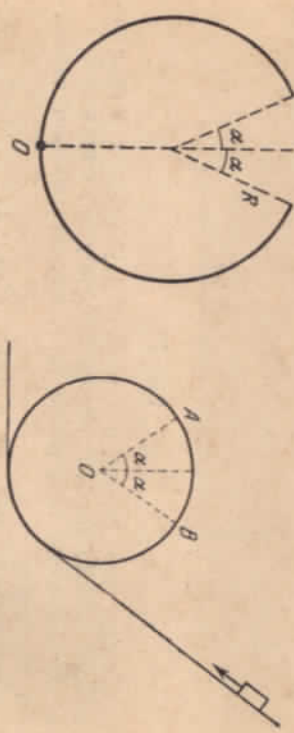


Рис. 75.

191. Небольшое тело соскальзывает по наклонной поверхности, переходящей в мертвую петлю, с минимальной высоты, при которой оно не отрывается от поверхности петли (рис. 76).

46

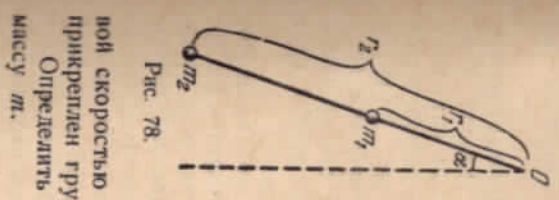


Рис. 76.

192. К концам нити, переброшенной через два гвоздя, прикреплены движущиеся по окружностям грузы (рис. 77). Слева висят два груза массой m каждый, справа один груз массы $2m$. Будет ли система в равновесии?

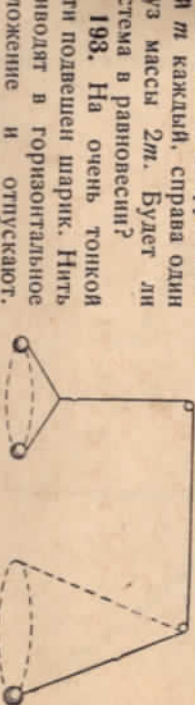


Рис. 77.

193. На очень тонкой нити подвешен шарик. Нить приводят в горизонтальное положение и отпускают.

В каких точках траектории ускорение шарика направлено вертикально вниз, в каких вертикально вверх и в каких горизонтально?

В начальный момент нить не растянута.

194. Невесомый стержень может вращаться в вертикальной плоскости относительно точки *O*. На стержне укреплены массы m_1 и m_2 на расстояниях r_1 и r_2 от *O* (рис. 78).

Стержень отпущен без начальной скорости из положения, составляющего угол α с вертикалью.

Определить линейные скорости масс m_1 и m_2 в тот момент, когда стержень занимает вертикальное положение.

195. На оси центробежной машины укреплен отвес, к которому привязан маленький шарик на нити длиной $l = 12,5$ см.

Найти угол α отклонения нити от вертикали, если машина делает 1 оборот в секунду, 2 оборота в секунду.

196. Жесткий стержень, изогнутый, как показано на рис. 79, вращается с угловой скоростью ω относительно оси OO' . К концу стержня прикреплен груз массы m .

Определить силу, с которой стержень действует на массу m .

Какой симметричный вырез, характеризуемый углом $\alpha < 90^\circ$, можно сделать в петле, чтобы тело, проделав часть пути в воздухе, попало в точку *B* петли?

Как будет двигаться тело, если угол α будет больше или меньше найденного? Трением и сопротивлением воздуха пренебречь.

192. К концам нити, переброшенной через два гвоздя, прикреплены движущиеся по окружностям грузы (рис. 77). Слева висят два груза массой m каждый, справа один груз массы $2m$. Будет ли система в равновесии?

193. На очень тонкой нити подвешен шарик. Нить приводят в горизонтальное положение и отпускают.

В каких точках траектории ускорение шарика направлено вертикально вниз, в каких вертикально вверх и в каких горизонтально?

В начальный момент нить не растянута.

194. Невесомый стержень может вращаться в вертикальной плоскости относительно точки *O*. На стержне укреплены массы m_1 и m_2 на расстояниях r_1 и r_2 от *O* (рис. 78).

Стержень отпущен без начальной скорости из положения, составляющего угол α с вертикалью.

Определить линейные скорости масс m_1 и m_2 в тот момент, когда стержень занимает вертикальное положение.

195. На оси центробежной машины укреплен отвес, к которому привязан маленький шарик на нити длиной $l = 12,5$ см.

Найти угол α отклонения нити от вертикали, если машина делает 1 оборот в секунду, 2 оборота в секунду.

196. Жесткий стержень, изогнутый, как показано на рис. 79, вращается с угловой скоростью ω относительно оси OO' . К концу стержня прикреплен груз массы m .

Определить силу, с которой стержень действует на массу m .

197. Жесткий стержень AOO' , изогнутый, как показано на рис. 80, вращается с угловой скоростью ω относительно оси OO' . На стержень падет бусинка.

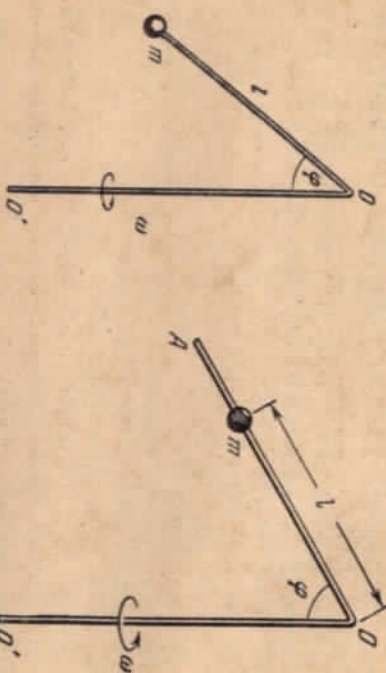


Рис. 79.

Определить, на каком расстоянии l от точки O бусинка будет находиться в равновесии, если коэффициент трения между бусинкой и стержнем равен k .

198. К вертикальному стержню, вращающемуся с угловой скоростью ω , прикреплена нить длиной l , на конце которой находится груз массы m . К грузу в свою очередь прикреплена другая нить такой же длины, несущая на своем конце второй груз массы m .

Показать, что при вращении стержня углом между первой нитью и вертикалью будет меньше угла между вертикалью и второй нитью.

199. На несесомом стержне укреплены два груза массы m и M . Стержень шарнирно связан с вертикальной осью OO' (рис. 81). Ось OO' вращается с угловой скоростью ω .

Определить угол φ , образуемый стержнем и вертикалью.

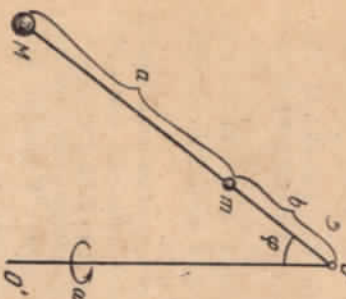


Рис. 80.

Рис. 80.

Что происходит с телом, если сообщить ему начальную скорость вдоль штанги? В нерастянутом состоянии длинной пружины можно пренебречь.

201. Металлическая цепочка длины $l = 62,8$ см, концы которой соединены, наасажена на деревянный диск (рис. 83). Диск вращается, делая $n = 60$ об/сек.

Определить напряжение цепочки T , если ее масса $m = 40$ г.

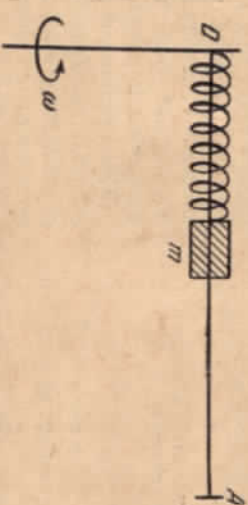


Рис. 82.

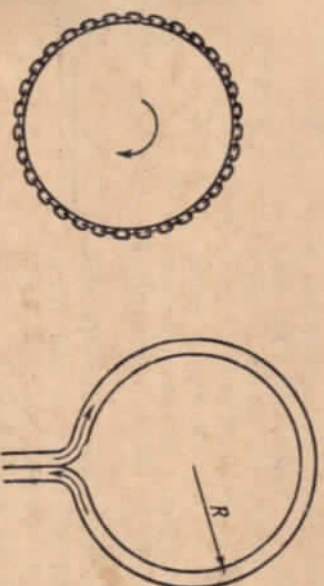


Рис. 83.

Рис. 84.

202. По резиновой трубке, свернутой в виде кольца, ширкулирует вода со скоростью v (рис. 84). Радиус кольца R , диаметр трубы $d \ll R$. С какой силой растянута резиновая трубка?

203. Однородный стержень, длина которого l , а масса m , вращается с угловой скоростью ω в горизонтальной

находящейся в положении равновесия пружиной (рис. 82).

плоскости вокруг оси, проходящей через его конец. Найди напряжение стержня на расстоянии x от оси вращения.

204. Шарик массы m , укрепленный на невесомом стержне, вращается с постоянной скоростью ϑ в горизонтальной плоскости (рис. 85). Его кинетическая энергия в системе координат, неподвижной относительно оси вращения, постоянна и равна $m\vartheta^2/2$.



Рис. 85.

По отношению к системе отсчета, движущейся в горизонтальной плоскости прямолинейно со скоростью ϑ относительно оси, кинетическая энергия меняется с течением времени от нуля до $4m\vartheta^2/2$. Какая причина вызывает это изменение энергии?

205. Тонкий однородный обруч катится по горизонтальной поверхности с постоянной скоростью v . Как и под действием каких сил меняется полная энергия небольшого участка AB , находящегося в данный момент в наивысшей точке обруча?

206. Тяжелая катушка, с намотанной на нее нитью, лежит на горизонтальной шероховатой поверхности, по которой может катиться без скольжения. Если пытаться в горизонтальном направлении влево, то катушка будет катиться также влево. Если же менять направление нити (рис. 86), то при некотором значении угла α между направлением нити и вертикалью катушка покатится вправо.

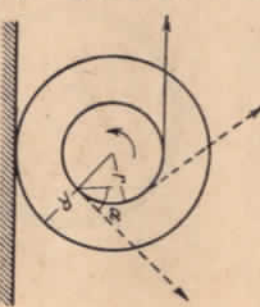


Рис. 86.

Определить этот угол. Что будет с катушкой при данном значении угла? Радиус внешней части катушки R , внутренней r .

207. Найти кинетическую энергию обруча массы M и радиуса R , если он движется равномерно со скоростью v и вращается с угловой скоростью ω вокруг оси, проходящей через центр.

208. Определить кинетическую энергию гусеницы трактора, движущегося со скоростью v . Расстояние между осями колес, на которые налела гусеница, равно l ; радиус колес r . Единица длины гусеницы весит P .

209. Как узнать, какой из двух одинаковых по величине цилиндров полый, если они сделаны из неизвестных материалов разной плотности? Массы цилиндров равны.

210. На катушку радиуса R в один ряд намотан гибкий кабель (рис. 87). Вес единицы длины кабеля p . Вес всего кабеля P . Катушка без проскальзывания движется по инерции вдоль горизонтальной пло-

скости. Кабель разматывается и ложится на плоскость.

Вначале, когда весь кабель был намотан на катушку, скорость центра катушки была равна v .

Пренебрегая радиусом по-

перечного сечения кабеля (по сравнению с R) и массой самой катушки, оценить скорость центра катушки в тот момент времени, когда на плоскости будет лежать часть кабеля длиной x .

За счет действия какой силы изменяется количество движения кабеля?

211. К шкиву радиуса r , вращающемуся вокруг неподвижной оси, приложена сила трения f (рис. 88). Определить изменение угловой скорости шкива со временем, если в начальный момент времени угловая скорость равна ω_0 . Масса шкива равна m ; массой спиц можно пренебречь.

212. Вращающийся с угловой скоростью ω_0 обруч радиуса r поставили на горизонтальную шероховатую плоскость. Определить скорость ϑ центра обруча после того, как прекратилось его проскальзывание. В начальный момент скорость центра обруча равна нулю.

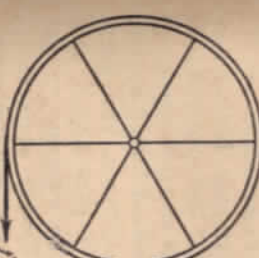


Рис. 88.

213. Обручу радиуса r , поставленному на горизонтальную шероховатую плоскость, сообщили в горизонтальном направлении поступательную скорость v_0 .

Определить угловую скорость вращения обруча ω после того, как проскальзывание обруча прекратилось.

214. Вращающийся с угловой скоростью ω_0 обруч радиуса r поставлен на горизонтальную шероховатую плоскость. Обруч сообщена поступательная скорость v_0 (рис. 89).

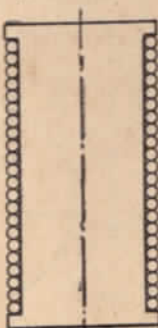


Рис. 89.

Считая, что сила трения скольжения равна f , определить характер движения обруча.

215. Цилиндрическая трубка радиуса r скреплена с помощью стяг с двумя обручами радиуса R . Масса обоих обручей равна M . Массы трубки и стяг, по сравнению с массой обруча M , можно пренебречь. На трубку намотана нить, перекинутая через невесомый блок. К концу нити прикреплен груз массы m (рис. 90).

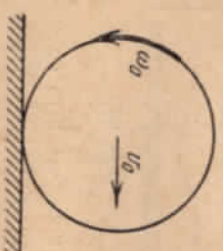


Рис. 89.

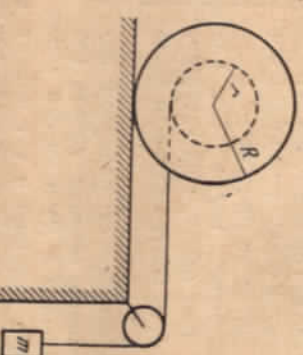


Рис. 90.

Найти ускорение груза, натяжение нити и силу трения, действующую между обручами и плоскостью. (Считать, что обрут не проскальзывают.) Определить, при каком значении коэффициента трения обручи будут проскальзывать.

216. На наклонной плоскости намотана нить, свободный конец которой с прикрепленным к нему грузом массы m перекинут через невесомый блок (рис. 91).

Предполагается, что масса катушки M равномерно распределена по окружности радиуса R . Трение отсутствует. Определить, при каком значении угла наклона α центр тяжести катушки будет оставаться в покое.

Рис. 91.

217. Доска массы M полодических катка радиуса R . Катки лежат на горизонтальной плоскости. В начальный момент времени система находилась в покое. Затем к доске приложили в горизонтальном направлении силу Q . Найти ускорение доски и величину силы трения, действующих между катками и доской, а также между

52

катками и горизонтальной плоскостью. Считать, что проскальзывание отсутствует. Катки представляют собой тонко-стенные цилиндры массы m каждый.

218. Двухступенчатый блок состоит из двух, жестко скрепленных между собой тонких обруча, радиусы которых R и r , а массы соответственно M_1 и M_2 . На каждую из ступеней блока намотаны нити, к концам которых прикреплены грузы массой m_1 и m_2 (рис. 92).

Найти ускорение грузов m_1 и m_2 , натяжение нитей и силу, с которой система действует на ось блока.

219. Однородный тонкостенный цилиндр радиуса R и массы M без скольжения скользит под действием силы тяжести с наклонной плоскости, образующей угол α с горизонтом.

Используя закон сохранения энергии, определить:

скорость центра тяжести и угловую скорость вращения цилиндра, спустя время t после начала движения. (Предполагается, что цилиндр в начале момента находился в покое.)

Ускорение центра тяжести цилиндра.

§ 9. Закон всемирного тяготения

220. Почему Земля сообщает всем телам одно и то же ускорение, независимо от их масс?

221. Найти величину и размерность в системе СГС гравитационной постоянной, принимая во внимание, что средний радиус Земли $R = 6,4 \cdot 10^6$ см, а масса Земли $M = 6 \cdot 10^{27}$ з.

222. При каких условиях тела внутри космического корабля будут находиться в так называемом состоянии невесомости, т. е. не рестранут оказывать давление на стены кабинки корабля?

223. Легкий маятник, состоящий из стержня и диска (рис. 93), укреплен на деревянной рамке, которая может свободно падать вдоль направляющих проволок.

Маятник отклонили от положения равновесия на угол α и отпустили. В момент, когда маятник проходит крайнее

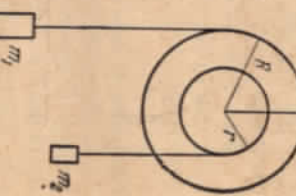


Рис. 93.

53

шкое положение: рамку перестали удерживать, и она начала свободно падать. Как будет двигаться маятник относительно рамки? Треним и сопротивлением воздуха пренебречь.

224. Планета движется по эллипсу, в фокусе которого расположено Солнце. Принимая во внимание работу силы тяготения, указать, в какой точке траектории скорость планеты будет максимальной, и в какой — минимальной?

225. Искусственный спутник Земли движется на высоте $h = 670 \text{ км}$ по круговой орбите. Найти скорость движения спутника.

226. Как изменяется со временем скорость искусственного спутника Земли при движении его в верхних слоях атмосферы?

227. По круговой орбите на небольшом расстоянии друг от друга в одном направлении движутся два спутника.

С первого спутника на второй нужно перебросить контейнер. В каком случае контейнер быстрее достигнет второго спутника? если его бросить по движению первого спутника или против движения? Скорость контейнера относительно спутника и много меньше скорости спутника v .

228. Оценить массу Солнца M , зная, что средний радиус орбиты Земли $R = 149 \cdot 10^6 \text{ км}$.

229. Определить минимальное удаление h от поверхности Земли первого искусственного спутника, запущенного в СССР 4 октября 1957 г., если известны следующие данные: максимальное удаление спутника от поверхности Земли $H = 900 \text{ км}$; период обращения спутника вокруг Земли $T = 96 \text{ мин}$; большая полусось лунной орбиты $R = 384\,400 \text{ км}$; период движения Луны вокруг Земли $T = 27,3 \text{ суток}$ и радиус Земли $R_0 = 6370 \text{ км}$.

230. В воде имеется пузырек воздуха радиуса r и железный шарик того же радиуса. Будут ли они притягиваться друг к другу или отталкиваться? Какова величина силы взаимодействия между ними? Расстояние между центрами шарика и пузырька равно R .

231. В воде имеются два пузырька воздуха радиуса r . Притягиваются или отталкиваются пузырьки? Какова величина силы взаимодействия? Расстояние между пузырьками R .

232. Свинцовый шар радиуса $R = 50 \text{ см}$ имеет внутри сферическую полость радиуса $r = 5 \text{ см}$, центр которой находится на расстоянии $d = 40 \text{ см}$ от центра шара (рис. 94).

С какой силой будет притягиваться к шару материальная точка массы $m = 10 \text{ г}$, находящаяся на расстоянии $l = 80 \text{ см}$

от центра шара, если линия, соединяющая центры шара и полости, составляет угол $\alpha = 60^\circ$ с линией, соединяющей центр шара с материальную точкой?

233. Тело, размерами

которого можно пренебречь, помещено внутрь тонкой однородной сферы.

Доказать, что сила притяжения, действующая со стороны сферы на тело, равна пулю при любом положении тела вне-

три сферы.

234. С какой силой притягивается к центру Земли тело массы m , находящееся в глубокой шахте, если расстояние от тела до центра Земли равно r ? Плотность Земли считать всюду одинаковой и равной ρ .

§ 10. Гидро- и аэростатика

235. В стакане с водой плавает в вертикальном положении брусков. Как изменится уровень воды в стакане, если бруск перейдет в горизонтальное положение?

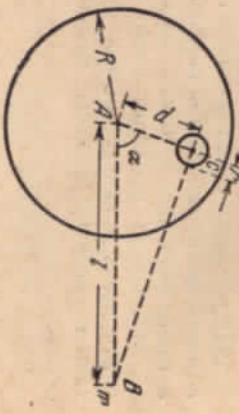
236. Сосуд с водой установлен на ребре лоски (рис. 95). Нарушится ли равновесие, если на поверхность воды положить ложечку и на нее поставить гирю так, что ложечка с гирей будет плавать на поверхности воды?

237. В стакане с водой плавает кусок льда. Как изменится уровень воды в стакане, когда лед растает?

Рассмотреть случаи:

- 1) лед совершенно однородный, камень,
- 2) льду находится вмешанный

Рис. 95.



238. Сплошное однородное тело, будучи погружено в жидкость с удельным весом d_1 , весит P_1 , а в жидкости с удельным весом d_2 весит P_2 . Определить удельный вес d тела.

239. Посредине большого озера прорубили прорубь. Толшина льда оказалась равной 10 м. Какой длины нужно ведерка, чтобы зачерпнуть ведро воды?

240. В чаше с водой плавает спичечная коробка, на дне которой лежит небольшой камень. Изменился ли уровень воды в чаше, если камень вынуть из коробки и опустить в воду?

241. Судно проходит шлюз, поднимаясь на более высокий уровень в камере шлюза, куда вода накачивается насосами со стороны нижнего уровня (рис. 96).

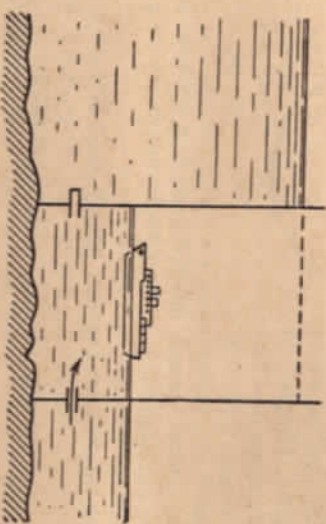


Рис. 96.

В каком случае насосы совершают большую работу: когда в камере находится большой теплоход или маленькая лодка?

242. Из двух пластин одинаковой толщины с удельными весами 3,5 $\text{г}/\text{см}^3$ и 2 $\text{г}/\text{см}^3$ вырезаны квадрат со стороной a и право-

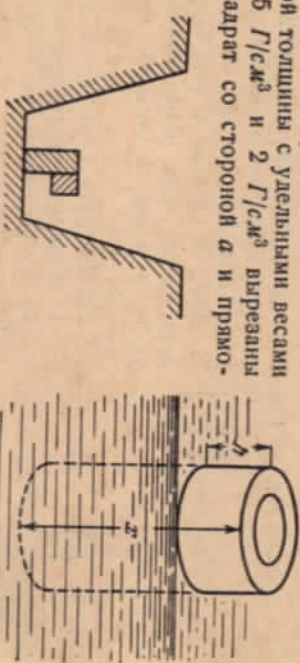


Рис. 98.

угольник со сторонами a и $2a$, причем квадрат вырезан из более тяжелого материала. Квадрат и прямоугольник скреплены в виде буквы Г и поставлены на дно пустого судна (рис. 97).

Что произойдет, если судно заполнить водой?

16

Рис. 97.

243. В воде плавает в вертикальном положении труба (рис. 98). Высота выступающей из воды части трубы $h = 5 \text{ см}$. Внутри трубы наливают масло удельного веса $d = 0,9 \text{ г}/\text{см}^3$. Какой длины должна быть труба для того, чтобы ее можно было заполнить маслом целиком?

244. Сосуд с водой падает с ускорением $a < g$. Как меняется давление p в сосуде с глубиной?

245. Сосуд с плавающим в нем телом падает с ускорением $a < g$. Всплынет ли при этом тело?

246. На тележке стоит бак кубической формы, целиком заполненный водой (рис. 99). Тележка движется с постоянным ускорением a .

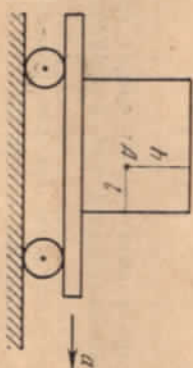


Рис. 99.

Определить давление на глубине h в точке A , отстоящей от передней стенки на расстояние l , если бак сверху плотно закрыт крышкой.

При равномерном движении крышка не оказывает давления на воду.

247. Резиновый мяч массы m и радиуса R погружают под воду на глубину h и отпускают. На какую высоту, считая от поверхности воды, подпрыгнет мяч? Сопротивление воды и воздуха при движении не учитывать.

248. В двух шарообразных сообщающихся сосудах находятся ртуть, а поверх нее вода. Уровень воды в обоих судах одинаков. Будет ли одинаков уровень в эфире и ртути, если в один из сосудов опустить кусочек лерена, а в другой долить равное ему по весу количество воды? Рассмотреть случаи одинаковых и разных сечений сосудов.

249. В сообщающиеся цилиндрические сосуды с различными площадями поперечных сечений налили ртуть. В широкий сосуд опустили железный кубик объемом V_0 . вследствие этого уровень ртути в этом сосуде повысился. Затем в этот же

сосуд наполняют воду до тех пор, пока уровень ртути в нем не примет прежнего положения. Найди высоту столба воды h , если площадь поперечного сечения узкого сосуда равна S .

250. На камень, выступающий над поверхностью воды, верхним своим концом опирается доска длины L . Часть доски

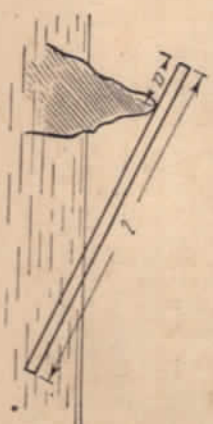


Рис. 100.

длины a находится выше точки опоры (рис. 100). Какая часть доски находится под водой, если удельный вес древесины d ?

251. Конический сосуд без дна стоит на столе. Края сосуда плотно прилегают к поверхности стола. После того как уровень жидкости в сосуде достигает высоты h , давление жидкости приподнимает сосуд. Радиус нижнего большего основания сосуда R , угол между образующей конуса и вертикалью α , вес сосуда P . Какова плотность налитой жидкости?

252. Можно ли с помощью сифона перекачивать воду через стенку высотой 20 м^2 ?

253. Сосуд, изображенный на рис. 101, целиком заполнен водой.

Что произойдет, если вынуть пробку A ? Радиус отверстия около $0,5 \text{ см}$.

254. Четыре поршневых насоса сделаны из отрезков труб большого и малого диаметров. Насосы полняли воду на одинаковую высоту $H + h$ (рис. 102). Какой из поршней необходимо тянуть с большей силой, чтобы удержать его в равновесии? Весом поршней пренебречь.

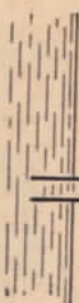


Рис. 101.

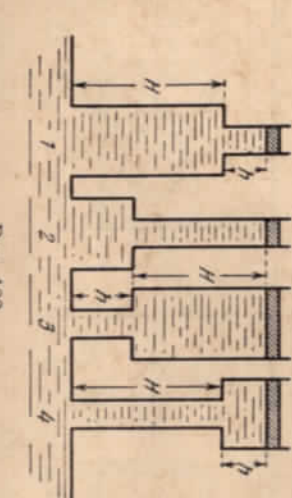


Рис. 102.

может плотно и без трения входить в стакан и сначала лежит на дне стакана. На какую высоту H поднимется поршень, если влить в трубку $m = 700 \text{ г}$ воды?

256. Сосуд с отверстием в дне укреплен на тележке. Масса сосуда с тележкой M ; площадь основания сосуда S . С какой силой F надо тянуть тележку, чтобы в сосуде осталось максимальное количество воды? Размеры сосуда указаны на рис. 103. Трение отсутствует.

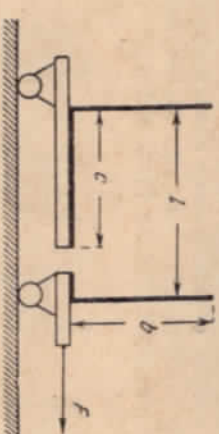


Рис. 103.

257. Предложен следующий проект вечного двигателя (рис. 104). Герметичный сосуд разделен на две половины герметической же перегородкой, сквозь которую пропущена трубка и волнила турбина особого устройства. Турбина имеет камеры с автоматически закрывающимися и открывающимися крышками. Давление p_1 в нижней части сосуда больше, чем давление p_2 в верхней части, и вода поднимается по трубке, наполняя открытую камеру турбины. После

этого камера закрывается, и колесо поворачивается. В нижней части сосуда камера автоматически открывается, возвращая воду. После этого камера герметически закрывается и т. д.

Почему данная машина не будет работать вечно?

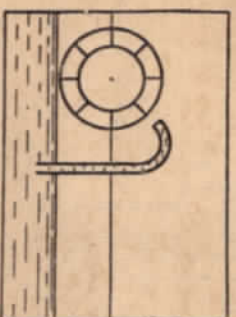


Рис. 104.

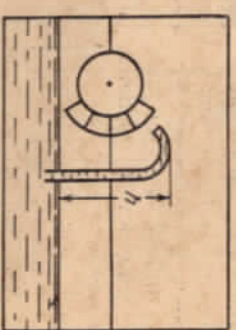


Рис. 105.

258. Предложен следующий вариант двигателя, описанного в задаче 257. Герметические камеры (рис. 105) заполняются водой в правой части колеса и опускаются вниз. Внизу камеры открываются и в отличие от двигателя, описанного в задаче 257, стеки камер автоматически заливаются внутрь колеса. В верхней части сосуда стеки автоматически выливаются и заполняются водой. В остальном вечный двигатель устроен так же, как и описанный ранее. Почему он также не будет работать?

259. Три сосуда с приставным дном погружены в воду на одинаковую глубину. Дно каждого из сосудов (рис. 106) отпадает, если налить в них по 1 кг воды.

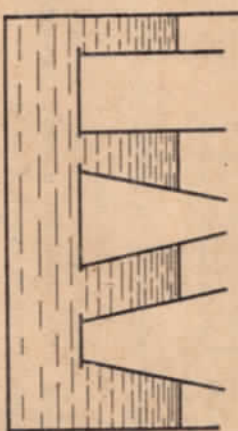


Рис. 106.

Отпадет ли дно, если налить в сосуды по 1 кг масла? Налить в сосуды по 1 кг ртути? положить в каждый сосуд по гире весом в 1 кг ?

60

260. На точных аналитических весах, находящихся под стеклянным колпаком, взвешивают тело. Изменятся ли показания весов, если выкачать из-под колпака воздух?

261. Человек, который нес автомобильную камеру, решил облегчить свою ношу, использовав выталкивающую силу воздуха (по закону Архимеда). Для этого человек накачал камеру, увеличив тем самым ее объем.

Достиг ли этим человек своей цели?

262. Какая ошибка допущена при взвешивании тела объемом $V = 1 \text{ л}$, если при взвешивании в воздухе тело было уравновешено на весах мелкими гирями весом $P_1 = 800 \text{ Г}?$

Удельный вес меди $d_1 = 8,8 \text{ Г/см}^3$, воздуха $d_0 = 1,29 \text{ Г/л}$.

263. На весьма чувствительных весах уравновешены два ртутных барометра: чашечный (с широкой чашкой) и U-образный (рис. 107). Барометрия изготовлена из одного и того же материала.

Имеют одинаковый диаметр трубок и содержат одинаковое количество ртути. Расстояния между занятыми концами трубок и верхними уровнями ртути в них также одинаковы.

Как изменится равновесие весов при повышении атмосферного давления?

264. Оценить вес атмо-

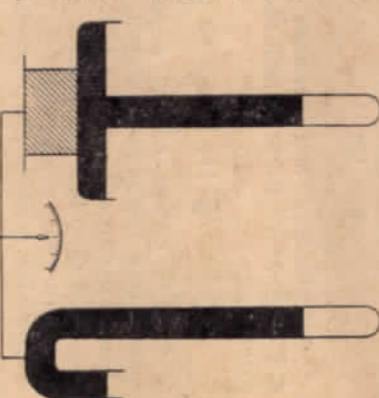


Рис. 107.

265. Надувной матрас заполнен воздухом до некоторого давления, превышающего атмосферное. В каком случае давление воздуха в матрасе будет больше: когда человек станет на него или когда ляжет?

266. Колесо автомобиля устроено следующим образом: на металлический обод колеса надевается резиновая камера, заключенная в покрышку. Камера затем накачивается воздухом. Давление воздуха в нижней и верхней частях камеры одинаково. Кроме давления воздуха на обод действует сила тяжести (рис. 108). Почему же обод не опускается вниз?

Что его удерживает в состоянии равновесия?

267. Паровой котел состоит из цилиндрической части и двух полусферических днищ (рис. 109). Радиусы цилиндри-

ческой части котла и обоих его днищ одинаковы. Толщина стенки цилиндрической части 0,5 см. Все части котла сланы из одного материала. Какой толщины должны быть стеки днищ, чтобы прочность всех частей котла была одинакова?

268. Какую форму должен иметь паровой котел, чтобы при данной толщине стенок прочность котла была наибольшей?

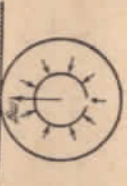


Рис. 108.

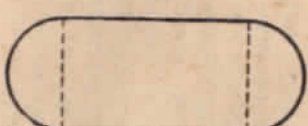


Рис. 109.

269. Почему при погружении на стратостате обязательно берут балласт? Ведь лишний вес уменьшает «потолок» стратостата.

§ 11. Гидро- и аэродинамика

270. В стекне сосуда с водой просверлены одно над другим два отверстия площадью $S = 0,2 \text{ см}^2$ каждое. Расстояние между отверстиями $H = 50 \text{ см}$. В сосуд ежесекундно вливается $Q = 140 \text{ см}^3$ воды.

Найти точку пересечения струй, вытекающих из отверстий.

271. На гладкой поверхности стоит широкий сосуд с водой. Уровень воды в сосуде h , вес сосуда вместе с водой Q .

В боковой стенке сосуда у дна имеется закрытое пробкой отверстие (с закругленными краями) площади S .

При каком значении коэффициента трения между дном и поверхностью стола сосуд придет в движение, если вынуть пробку?

272. При истечении струи жидкости из сосуда через отверстие в стенке с площадью S_0 сила, действующая на противоположную стенку (см. задачу 271).

Если в отверстие вставить трубку, как показано на рис. 110, то разность сил, действующих на противоположные

стенки, станет равной примерно ρS_0 , так как благодаря трубке движения жидкости у стекки не будет.

С другой стороны, изменение количества движения жидкости за единицу времени при истечении из сосуда всегда равно $2\rho S$, где S — площадь поперечного сечения струи.

Как согласовать между собой эти факты?

273. Струя воды, вытекающая из трубы диаметром $d = 1 \text{ см}$ со скоростью $v = 1 \text{ м/сек}$, ударяется о вертикальную стенку. Определить действующую на стенку силу, считая, что трубка перпендикулярна стенке, и пренебрегая разбрызгиванием воды.

274. По изогнутой полной трубе поперечного сечения S со скоростью v течет газ. Плотность газа ρ . С какой силой газ действует на трубу? Сжатием газа и трением пренебречь.

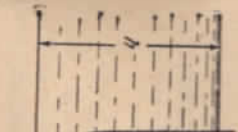


Рис. 111.

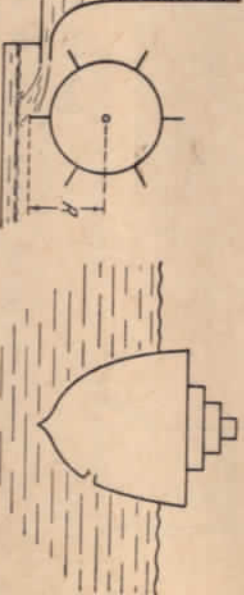


Рис. 112.

275. Найти силу, действующую на лопасть нижнеборного колеса (рис. 111), считая, что струя после удара о лопасть продолжает движение со скоростью l лопасти.

Высота напора воды h , радиус колеса R , угловая скорость вращения колеса ω и площадь поперечного сечения струи S .

276. Судно получило большую пробоину в подводной части (рис. 112). В какую сторону оно начнет перемещаться вследствие этого?

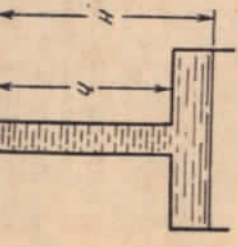


Рис. 113.

277. Из широкого сосуда через узкую трубку вытекает жидкость (рис. 113). Как распределены по вертикали давление и скорость жидкости в сосуде и в трубке?

278. Сосуд с водой, описанный в предыдущей задаче, подвешен на пружинных весах. Нижний конец трубы закрыт пробкой. Как изменятся показания весов в первый момент, когда вынута пробка и началось вытекание жидкости?

279. На одной из чашек весов стоит сосуд с водой (рис. 114). Весы уравновешены. Изменится ли равновесие, если открыть кран? Вытекающая вода попадает на ту же чашку весов, на которой стоит сосуд.

280. На рис. 115 изображен гидравлический таран — самодействующее водоподъемное устройство. Принцип его работы основан

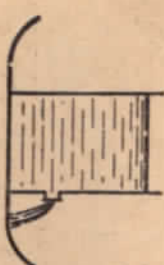


Рис. 114.

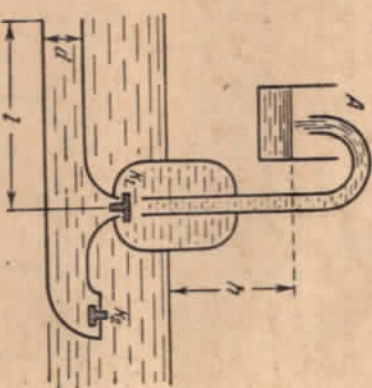


Рис. 115.

на явление гидравлического удара — резком возрастании давления в жидкости, текущей по трубе, при ее внезапной остановке, например при закрытии клапана, выпускающего из трубы воду.

Труба длиной $l = 2$ м, диаметром $d = 20$ см опущена в ручей, скорость течения воды в котором $v = 400$ см/сек. Пусть вначале клапан K_2 открыт, а K_1 закрыт. Резкое увеличение давления заставит клапан K_1 открыться (клапан K_2 при этом закроется), и вода устремится вверх в сосуд A . Давление падает, клапан K_1 закрывается, а K_2 открывается. Вода в трубе приходит в движение, и явление повторяется в прежней последовательности.

Определить количество воды, поднимаемое тараном за 1 час на высоту $h = 30$ м, если известно, что каждый клапан открывается 30 раз в минуту.

281. Во время бурь, когда скорость ветра достигает значительной величины, ветер срывает крыши построек. Наблюдаются два вида срыва крыши: 1. Если крыша прочнее укреплена в точках A и B , чем в коньке C , то воздушный поток как бы раскирывает крышу, ломая ее по линии конька

(рис. 116, а). 2. Если крыша прочно укреплена в коньке и менее прочно в точках A и B , то воздушный поток сначала приподнимает крышу вверх, а потом уже относит в сторону (рис. 116, б).

Как объяснить это явление?

282. Почему легкий цилиндрический шарик, помещенный в струю воздуха или воды,

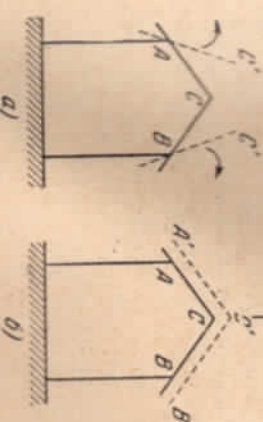


Рис. 116.

вытекающую с большой скоростью из трубы с узким отверстием, будет свободно парить в этой струе (рис. 117)?

283. Демонстрационный прибор, изображенный на рис. 118, состоит из двух дисков A и B . В центре диска A имеется отверстие, соединенное трубкой с баллоном скатого воздуха. Диск B висит на трех стержнях, вдоль которых он может свободно перемещаться по вертикали.

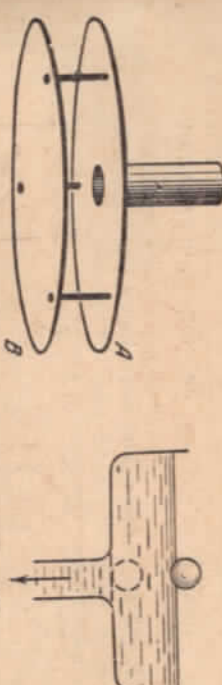


Рис. 118.

Если по трубке пропустить струю скатого воздуха, то нижний диск начнет стучать по верхнему. Объяснить причину этого явления.

284. В дне широкого сосуда имеется узкая трубка, по которой вода, заполнившая сосуд, может из него вытекать (рис. 119). Между сосудом и трубкой помещена сетка,

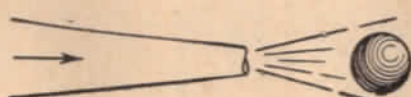


Рис. 117.

Если легкий шарик погрузить на дно сосуда в момент, когда вода из него вытекает, то шарик не всплывает.

Если вытекание воды из трубы прекратить, шарик немедленно всплывает. Почему?

(Этот опыт можно проделать в водопроводной раковине с мячиком от настоящего тенниса.)

285. Насос представляет собой расположенный горизонтально цилиндр с поршинем площади S и выходным отверстием площиной s , расположенным у оси цилиндра. Определить скорость истечения струи из насоса, если поршень под действием силы F перемещается с постоянной скоростью.

Плотность жидкости ρ .

286. В задаче 285 при $s \rightarrow S$ скорость v становится сколь угодно большой даже при малой силе F . Объяснить, с чем связано появление этого парадоксального результата.

287. Древнегреческие водяные часы (клепсидра) представляют собой сосуд с небольшим отверстием O (рис. 120).

Время отсчитывается по уровню воды в со-

суде.

Какова должна быть

форма сосуда, чтобы

шкала времени была

равномерной?

288. Цилиндрический сосуд с жидкостью вращается с угловой скоростью ω вокруг вертикальной оси

(рис. 121).

Определить изменение давления в горизонтальном сечении сосуда в зависимости от расстояния до оси вращения.

Указание. Применить метод, изложенный при решении задачи 203.

289. Найти форму поверхности жидкости в цилиндрическом сосуде, врашающемся с угловой скоростью ω вокруг вертикальной оси (т. е. найти высоту уровня жидкости в зависимости от расстояния до оси вращения).

290. Почему после размешивания чая ложкой чашки собираются в середине стакана?

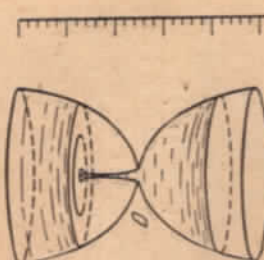


Рис. 120.

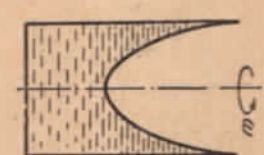


Рис. 121.

§ 12. ТЕПЛОВОЕ РАСШИРЕНИЕ ТВЕРДЫХ И ЖИДКИХ ТЕЛ

291. На деревянное колесо, имеющее диаметр 100 см, требуется настегнуть железную шину, диаметр которой на 5 мм меньше диаметра колеса. На сколько следует для этого пополнить температуру шины? Коэффициент линейного расширения железа $\alpha_1 = 12 \cdot 10^{-6} \frac{1}{\text{град}}$.

292. Почему в бетонных конструкциях в качестве арматуры используется только железо (железобетон), а другие металлы, например люрдальминий, не применяются?

293. Для того чтобы измерить температуру человеческого тела, приходится держать термометр под мышкой в течение 5—8 мин. В то же время «стражику» его можно практически сразу после измерения температуры. Почему?

294. При температуре t_1 пасста ртути столба, измеренная по латунной шкале, равна H_1 . Какую высоту H_0 будет иметь столб ртути при $t_0 = 0^\circ\text{C}$? Коэффициент линейного расширения латуни α и объемного расширения ртути β известны.

295. Как измерить медицинским термометром температуру тела человека, если температура окружающего воздуха $+42^\circ\text{C}$?

296. Определить длины железной и медной линеек l'_0 и l''_0 при $t = 0^\circ\text{C}$, если разности их длин при $t_1 = 50^\circ\text{C}$ и $t_2 = 450^\circ\text{C}$ одинаковы по модулю и равны $l = 2 \text{ см}$. Коэффициент линейного расширения железа $\alpha_1 = 12 \cdot 10^{-6} \frac{1}{\text{град}}$, а для меди $\alpha_2 = 17 \cdot 10^{-6} \frac{1}{\text{град}}$.

297. Период колебаний маятника зависит от длины, которая меняется с температурой. Каким образом может быть осуществлен подвес маятника, чтобы его длина не менялась с температурой?

ГЛАВА II

ТЕПЛОТА. МОЛЕКУЛЯРНАЯ ФИЗИКА

298. При температуре $t_0 = 0^\circ\text{C}$ стеклянный баллон имеет $m_0 = 100 \text{ г}$ ртути. При $t_1 = 20^\circ\text{C}$ баллон вмещает $m_1 = 99,7 \text{ г}$ ртути. В обоих случаях температуру ртути считать равной температуре баллона.

Найти по этим данным коэффициент линейного расширения стекла α , учитывая, что коэффициент объемного расширения ртути $\beta_1 = 18 \cdot 10^{-5} \frac{1}{\text{град}}$.

299. Часы с металлическим маятником спешат на $\tau_1 = 5 \text{ сек}$ в сутки при температуре $t_1 = +15^\circ\text{C}$ и отстают на $\tau_2 = 10 \text{ сек}$ в сутки при температуре $t_2 = +30^\circ\text{C}$.

Найти коэффициент α теплового расширения металлического маятника, учитывая, что период колебаний маятника $T = 2\pi\sqrt{\frac{l}{g}} (l — \text{длина маятника}, g — \text{ускорение силы тяжести})$.

§ 13. Закон сохранения энергии. Теплопроводность

300. На тележку массы M , движущуюся по прямой с постоянной скоростью v_0 , опускают сверху кирпич массы m . Определить, сколько при этом выделяется тепла?

301. Вдоль невесомого резинового шнуря длины l_0 (рис. 122) соскальзывает железная шайба. Сила трения, действующая между шайбой и шнуром f , известна. Коэффициент упругости шнурка k известен.

Найти выделившееся при этом количество тепла Q .

Какая часть работы силы трения, действующей на шнур, превратится в тепло?

302. Холодильник, потребляющий w ватт, за τ минут превратил в лед q литров воды при температуре t градусов.

Какое количество тепла выделит холодильник в комнате за это время при условии, что теплоемкость холодильника можно пренебречь?

303. Понизится ли температура в комнате, если открыть дверцу работающего холодильника?

304. Проще всего отапливать помещения за счет энергии электрического тока, используя электронагревательные приборы. Является ли этот способ энергетически наиболее выгодным?

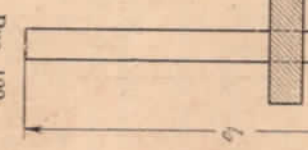


Рис. 122.

305. Равные количества соли растворяют в двух одинаковых сосудах с водой. В одном случае соль берут в виде одного большого кристалла, а в другом в виде порошка.

В каком случае температура раствора после полного растворения соли будет выше, если до растворения соль и вода находились в обоих случаях при одинаковых температурах?

306. Известно, что если нагревать или охлаждать воду с соблюдением некоторых мер предосторожности, то можно получить ее в жидком состоянии при температурах меньших 0°C и больших $+100^\circ\text{C}$.

В калориметре, теплоемкость которого $q = 400 \text{ кал/град}$, находится $m_1 = 1 \text{ кг}$ воды, охлажденной до $t_1 = -10^\circ\text{C}$. Туда же помещают $m_2 = 100 \text{ г}$ воды, перегретой до $t_2 = +120^\circ\text{C}$.

Какова уставившаяся температура в калориметре?

307. Лампочка накаливания, расходуемая $N = 54 \text{ вт}$, погружена в прозрачный калориметр, содержащий $V = 650 \text{ см}^3$ воды. За $\tau = 3 \text{ мин}$ вода нагревается на $t = 3,4^\circ\text{C}$.

Какая часть Q расходуемой лампочкой энергии пропускается калориметром наружу в виде лучистой энергии?

308. Площадь кирпичной стены, выходящей на улицу, $S = 12 \text{ м}^2$, а толщина $d = 1 \text{ м}$. Температура наружного воздуха $T_0 = -15^\circ\text{C}$, а температура воздуха в комнате $T = +15^\circ\text{C}$. Чему равно количество тепла, вышедшего из комнаты в течение 24 часов?

Коэффициент теплопроводности кирпича $k = 0,003 \text{ кал/см} \cdot \text{сек} \cdot \text{град}$.

309. Стенка состоит из двух соединенных между собой пластин, сделанных из различных материалов. Коэффициенты теплопроводности и толщины пластин равны k_1 , d_1 и k_2 , d_2 соответственно (рис. 123). Температуры внешних поверхностей стенки равны T_1 и T_0 ($T_0 > T_1$) и поддерживаются постоянными.

Определить температуру T_2 на поверхности раздела пластин.

310. Преложая в задаче 309, что пластины имеют одинаковую толщину d , определить коэффициент теплопроводности стеки.

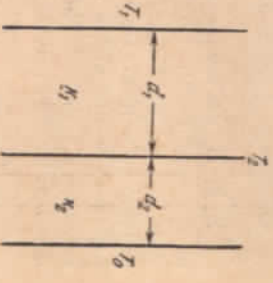


Рис. 123.

311. Стенка состоит из чередующихся брусков длины d с коэффициентами теплопроводности k_1 и k_2 (рис. 124). Площади поперечного сечения брусков одинаковы. Определить коэффициент теплопроводности стенки.

312. Две стеклянныи *A* и *B* одинарной толщины составлены из различных металлов так, как это указано на рис. 125 и 126.

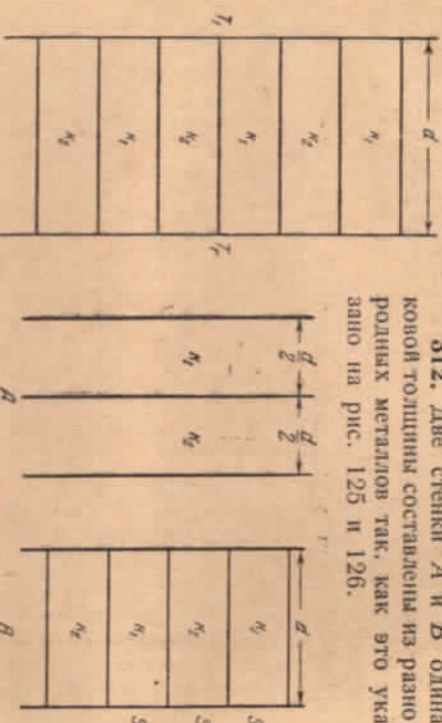


Рис. 124.

Рис. 125.

Рис. 126.

В каком случае коэффициент теплопроводности стенки больше?

313. В кастрюле с кипящей водой за 1 сек выкипает m граммов воды. Считая, что тепло передается воде только через дно кастрюли, и пренебрегая отдачей тепла стенками кастрюли и поверхностью воды окружающему воздуху, определить температуру T поверхности дна кастрюли, соприкасающейся с нагревателем. Площадь дна кастрюли S , его толщина d и коэффициент теплопроводности k .

§ 14. Свойства газов

314. В колячке автоматической ручки обычно делается маленькое отверстие. Если оно засорится, то ручка начинает течь; чернила вытекают из-под пера.

В чем причина этого явления?

315. Барометр дает неверные показания вследствие присутствия небольшого количества воздуха над столбиком ртуты. При давлении $p_{01} = 755$ ми рт. ст. барометр показывает $p_1 = 748$ ми, а при $p_{02} = 740$ ми — $p_2 = 736$ ми. Найти длину l трубки барометра (рис. 127).

70

316. Стеклянная трубка, имеющая длину $L = 50$ см и поперечное сечение $S = 0.5$ см², запаяна с одного конца. Трубку погружают в воду, как показано на рис. 128.

Какую силу F нужно приложить, чтобы удержать трубку под водой, если расстояние от поверхности воды до запаянного конца равно $h = 10$ см, а атмосферное давление $p_0 = 760$ ми рт. ст.?

Вес трубки $P = 15$ г.

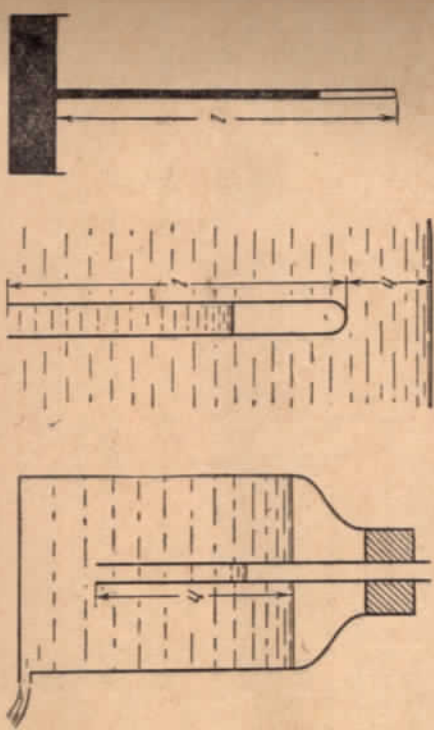


Рис. 127.

Рис. 128.

Рис. 129.

317. Через трубку сосуда с водой пропущена открытая с обеих сторон узкая трубка, не доходящая до дна сосуда. (Сосуд Маринотта, изображенный на рис. 129.) Начертить график зависимости давления p воздуха в сосуде от количества Q выпущенной воды.

318. Поршневой насос при каждом качании захватывает объем v_0 воздуха. При откачке этим насосом воздуха из сосуда объема V насос совершил n качаний. Начальное давление внутри сосуда p_0 равно атмосферному. Затем другой насос с тем же рабочим объемом v_0 начал нагнетать воздух из атмосферы, совершив также n качаний. Какое давление установится в сосуде?

319. Посередине горизонтальной закрытой с обоих концов трубки длины L находится столбик ртути длины l . Если трубку поставить вертикально, то столбик ртути переместится на расстояние Δl от своего первоначального положения.

71

На каком расстоянии от середины трубы будет центр столбика, если открыть один из концов трубы в горизонтальном положении? открыть верхний конец трубы в вертикальном положении?

Атмосферное давление равно H см рт. ст. Температура остается неизменной.

320. Учитывая, что по закону Авогадро объем одной грамм-молекулы любого газа при нормальных условиях (температура 0°C и давление 1 атм) равен 22,4 л, определить постоянную в уравнении состояния идеального газа (уравнении Капельфона — Менделеева) для количества газа, равного одному молю, и показать, что эта постоянная одинакова для всех газов.

321. Записать уравнение состояния для проницаемой массы идеального газа, молекулярный вес которого известен.

322. Как изменилось бы давление внутри газа или жидкости, если бы силы притяжения между молекулами плавильно исчезли?

323. В сосуде находится 1 литр воды при температуре 27°C .

Чему стало бы равным давление внутри сосуда, если бы силы взаимодействия между молекулами воды плавильно исчезли?

324. Однаково ли давление внутри газа и у стекки сосуда, содержащего газ?

325. Однакова ли концентрация молекул газа внутри сосуда и у его стекки?

326. Определить температуру газа, находящегося в закрытом сосуде, если давление газа увеличивается на 0,4% первоначального давления при нагревании газа на 1°C .

327. Тонкостенный резиновый шар весом $P = 50$ г наполнен азотом и погружен в озеро на глубину $h = 100$ м.

Найти массу азота m , если шар находится в положении равновесия. Будет ли равновесие устойчивым? Атмосферное давление $p_0 = 760$ мм рт. ст. Температура в глубине озера $t = +4^\circ\text{C}$. Напряжением резины пренебречь.

328. Для полых стеклянных шариков соединены трубкой, посередине которой находится капелка ртути.

Можно ли по положению капельки судить о температуре окружающего воздуха?

329. Закрытый с обеих сторон цилиндр разделен на две равные (по 42 см) части теплопроводящим поршнем. В обеих половинах находятся одинаковые массы газа при температуре 27°C и давлении в 1 атм.

Насколько надо нагреть газ в одной части цилиндра, чтобы поршень сместился на 2 см? Найти давление p газа после смещения.

330. Сухой атмосферный воздух состоит из азота (78,09% по объему), кислорода (20,95%), аргона (0,93%) и углекислого газа (0,03%). Пренебрегая ничтожными примесями других газов (гелия, неона, криптона, ксенона), определить (в процентах) весовой состав воздуха.

331. Найти средний (эффективный) молекулярный вес сухого атмосферного воздуха, предполагая известным процентный состав воздуха (см. задачу 330).

332. Плотность пары некоторого соединения углерода с водородом равна $3 \frac{\text{г}}{\text{л}}$ при 43°C и 820 мм рт. ст.

Кикова молекулярная формула этого соединения?

333. В каком случае изменение давления газа будет большим: при сжатии его на определенную величину в теплонепроницаемой оболочке или же при изотермическом сжатии?

334. Газ, занимающий объем $V_1 = 1$ л при давлении $p_1 = 1$ атм, расширился изотермически до объема $V_2 = 2$ л. Затем при этом объеме давление газа было уменьшено в два раза. В дальнейшем газ расширялся при постоянном давлении до объема $V_4 = 4$ л.

Начертить график зависимости p от V и, используя его, установить, при каком из перечисленных процессов газ совершил наибольшую работу. Как менялась температура?

335. С некоторым количеством идеального газа совершил круговой процесс (цикл) $1-2-3-1$, изображенный на графике зависимости давления от температуры (рис. 130). Изобразить тот же процесс на графике зависимости давления от объема и указать, на каких стадиях процесса газ получал, и на каких отдавал тепло.

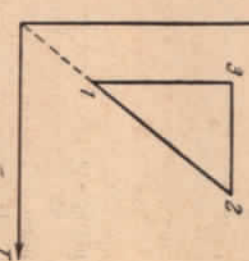


Рис. 130.

336. Газовая нагревательная колонка потребляет $V_0 = 1,8 \text{ м}^3$ метана (CH_4) в час. Найти температуру t_2 воды, подогреваемой этой колонкой, если вытекающая струя имеет скорость $v = 50 \text{ см/сек}$. Диаметр струи $D = 1 \text{ см}$, начальная температура воды и газа $t_1 = 11^\circ\text{C}$, теплопроводная способность метана $r = 13\ 000 \text{ ккал/г}$. Газ в трубе находится под давлением $p = 1,2$ атм. К. п. д. нагревателя $\eta = 60\%$.

337. В закрытом теплоизолированном сосуде находится озон (O_3) при температуре $t_1 = 527^\circ C$. Через некоторое время озон полностью превращается в кислород (O_2).

Определить, во сколько раз возрастет при этом давление в сосуде, если на образование одной грамм-молекулы озона из кислорода нужно затратить $q = 34\,000\text{ кал}$.

338. Теплоемкость одной грамм-молекулы кислорода при постоянном объеме считать равной $C_V = 5\text{ кал/град. - моль}$.

339. Увеличится ли энергия воздуха в комнате, если в ней пропечь печь?

Указание. Энергию единицы массы воздуха и считать пропорциональной абсолютной температуре: $u = cT$.

340. В комнате объемом в 30 м^3 температура с $15^\circ C$ поднялась до $25^\circ C$. На сколько при этом изменилась масса воздуха в комнате, если атмосферное давление $p = 1\text{ атм.}$

Молекулярный вес воздуха (средний) принять равным $\mu = 28,9\text{ г/моль}$.

341. В наполненном водой открытом сосуде с сеткой сверху находятся маленькая, заполненная воздухом и открытая снизу непереворачивающаяся пробирка (рис. 132).

Начертить график зависимости глубины погружения пробирки от температуры воды при условии, что температура первоначально медленно повышается, а затем начинает медленно понижаться.

Рис. 131.

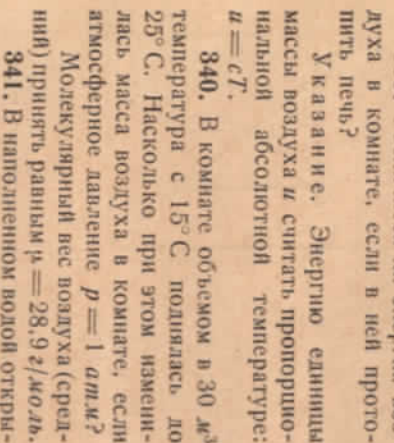


Рис. 131.

Какой наибольшей температуры достигает газ при этом процессе, если на графике зависимости давления газа от объема процесс изображается прямой линией (рис. 131)?

342. В цилиндре под поршнем, бесконечно медленно переводится из состояния с объемом $V_1 = 32\text{ л}$ и давлением $p_1 = 4,1\text{ атм}$ в состояниe с $V_2 = 9\text{ л}$ и $p_2 = 15,5\text{ атм}$.

343. Какое количество тепла должно быть сообщено углекислому газу (см. условие задачи 342), расширяющемуся при постоянном давлении вследствие нагревания?

344. Что «струулее» сжать до трех атмосфер: лягушка или лягушка воды?

345. Каким образом, используя явления смачивания и несмачивания, можно осуществить минимальный и максимальный термометры?

346. Поверхностный слой жидкости часто употребляют растянутой резиновой пленкой. В каком отношении эта анатомия не соответствует действительности?

347. При удалении с поверхности ткани жирного пятна рекомендуется смачивать пропитанной бензином ваткой края пятна. Смачивать бензином сразу само пятно не следует. Почему?

348. Почему разрывление почвы при бороновании способствует сохранению в ней влаги?

349. Для того чтобы мазь лучше шла на лыжные ботинки, их нагревают.

Как нужно нагревать ботинки: спаружи или изнутри?

350. Почему с помощью утюга можно выводить пятна жира с костюма?

351. Почему при сушке дров на солнце на конце полена, обращенном в тень, выступают капельки воды?

352. Сосуд, дно которого имеет круглые отверстия диаметром $d = 0,1\text{ м.м.}$, наполняется водой.

На фиг. максимальную высоту уровня воды h , при которой она еще не выпадает. Вода не смачивает дно сосуда.

353. На прямоугольную проволочную рамку, расположенную вертикально, наянута мыльная пленка (рис. 133).

§ 15. Свойства жидкостей

342. В цилиндре под тяжелым поршнем находится $m = 20\text{ г}$ углекислого газа. Газ нагревается от температуры $t_1 = 20^\circ C$ до $t_2 = 108^\circ C$. Какую работу он при этом совершил?

343. Какое количество тепла должно быть сообщено углекислому газу (см. условие задачи 342), расширяющемуся при постоянном давлении вследствие нагревания?

Молярная теплоемкость углекислого газа (теплоемкость одной грамм-молекулы) при постоянном объеме $C_V = 6,864\text{ кал/моль·град.}$

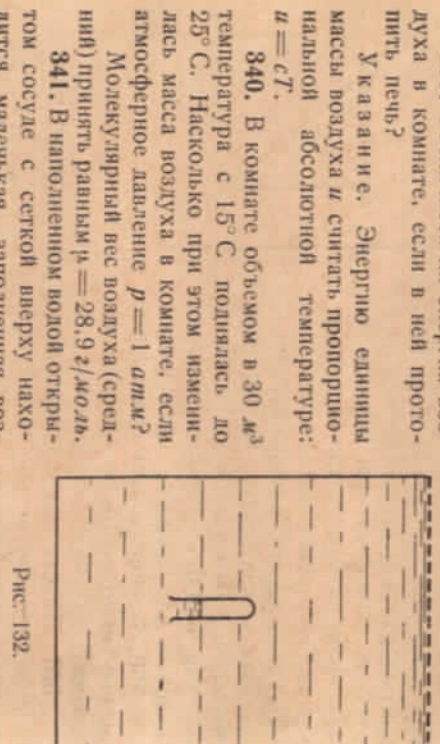


Рис. 132.

344. Начертить график зависимости глубины погружения пробирки от температуры воды при условии, что температура первоначально медленно повышается, а затем начинает медленно понижаться.

Рис. 133.

Какие силы удерживают участок плёнки $abcd$ в равновесии?

354. Смачиваемый водою кубик массы $m = 20 \text{ г}$ плавает по поверхности воды. Ребро кубика имеет длину $a = 3 \text{ см}$. На каком расстоянии от поверхности воды будет находиться нижняя грань кубика?

355. Конец капиллярной трубы радиуса r опущен в воду. Какое количество тепла выделяется при поднятии жидкости по капилляру?

356. Капилляр опущен в сосуд с жидкостью, давлением которой можно пренебречь. Плотность жидкости ρ .

Сосуд с капилляром находится в вакууме под колоколом воздушного насоса (рис. 134).

Найти давление внутри жидкости в капилляре на высоте h от уровня жидкости в сосуде.

357. Для доказательства существования избыточной потенциальной энергии у молекул поверхностного слоя жидкости обычно рассуждают следующим образом. На молекулу, находящуюся внутри жидкости, действуют силы притяжения со стороны других молекул, которые в среднем компенсируют друг друга. Если же выделить молекулу на поверхности, то результатирующая сила притяжения со стороны других молекул направлена внутрь жидкости. Поэтому молекула стремится внутрь жидкости, и нужно затратить определенную работу, чтобы извлечь ее на поверхность. Следовательно, каждая молекула поверхностного слоя обладает избытком потенциальной энергии, равной этой работе.

Однако средняя сила, действующая на любую молекулу со стороны всех остальных, обязательно равна нулю при равнотеине жидкости. Поэтому и работа по перемещению жидкости из глубины на поверхность должна равняться нулю. Откуда же в таком случае появляется поверхностная энергия?

358. Конец стеклянной капиллярной трубы радиуса $r = 0,05 \text{ см}$ опущен в воду на глубину $h = 2 \text{ см}$. Какое давление необходимо, чтобы вынуть пузырек воздуха через нижний конец трубы?

76

359. Стеклянная капиллярная трубка, внутренний диаметр которой $0,5 \text{ мм}$, погружена в воду. Верхний конец трубы выступает на 2 см над поверхностью воды. Какую форму будет иметь мениск?

360. В капиллярной трубке, опущенной вертикально в воду на глубину l , вода поднялась на высоту h (рис. 135). Нижний конец трубы закрывают, вынимают ее из воды и снова открывают.

Определить длину столбика воды, оставшегося в трубке.

Рис. 134.

Diagram illustrating problem 356. A glass bell jar (represented by a trapezoid) covers a beaker containing liquid. A vertical capillary tube is immersed in the liquid. The height of the liquid column in the capillary above the beaker level is labeled h .

Рис. 134.

Рис. 135.

Diagram illustrating problem 360. A beaker contains liquid. A vertical capillary tube is partially submerged in the liquid. The liquid level in the capillary is labeled h . The beaker has a horizontal base line.

Рис. 135.

361. В сосуд с водой опущены два капилляра одинакового сечения (рис. 136). Вода в прямом капилляре поднимается на высоту h .

На каком уровне установится вода в изогнутом капилляре и какую форму примет в нем мениск?

Нижний конец изогнутого капилляра расположен ниже уровня воды в сосуде на расстояние H .

Рассмотреть пять случаев:

- 1) $H > h$,
- 2) $H = h$,
- 3) $0 < H < h$,
- 4) $H = 0$,
- 5) $H < 0$ (конец изогнутого капилляра выше уровня воды в сосуде).

77

362. На мыльный пузырь радиуса R посажен другой пузырь радиуса r (рис. 137). Какую форму примет мыльная пленка, разделяющая оба пузыря? Какие углы образуются между пленками в местах их соприкосновения?

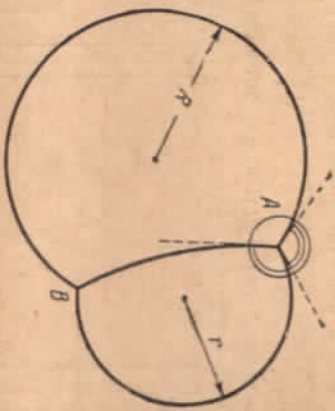


Рис. 137.

363. В воде плавает деревянный крест. Каждая лопасть креста покрыта с одной стороны лаком (рис. 138). Вследствие различного смачивания дерева и лака вода с двух сторон каждой лопасти поднимается на разную высоту; краевой угол будет различен, и следовательно, горизонтальная

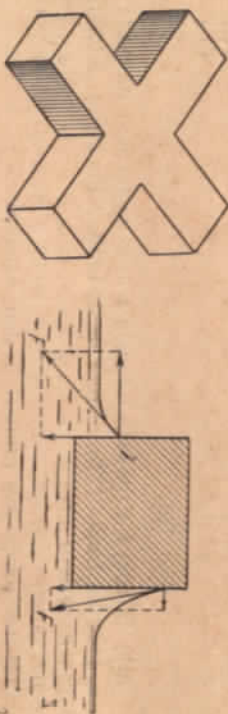


Рис. 138.

Рис. 139.

составляющая сила поверхностного натяжения F будет различна с обеих сторон каждой лопасти (рис. 139).

Будет ли крест вследствие этого вращаться?

364. Легкие тела, смачиваемые водою (например, две спички), плавая на поверхности воды, притягиваются друг к другу. То же самое наблюдается, если тела не смачиваются (например, спички, покрытые тонким слоем парафина).

Если же одно тело смачивается водой, а другое не смачивается, то тела будут отталкиваться.

Как объяснить эти явления?

§ 16. Взаимные превращения жидких и твердых тел

365. Вода в стакане замерзает при 0°C . Если же эту воду расчленить на маленькие капельки, то вода в них может быть переохлаждена до -40°C .

Так, например, капельки воды, из которых состоят облака, обычно начинают замерзать при температуре ниже -17°C .

Как объяснить эти факты?

366. Сосуд со $100\text{-}g$ воды при температуре 0°C был подведен посередине комнаты. Через 15 минут температура воды поднялась до 2°C . Когда же в сосуде находилось равное по весу количество льда, то он растаял за 10 часов. Можно ли по этим данным оценить удельную теплоту плавления льда λ ?

367. Два одинаковых кусочка льда лежат навстречу друг другу с равными скоростями и при ударе обращаются в пар. Оценить минимально возможные скорости льдинок перед ударом, если их температура равна -12°C .

368. В калориметре находится лед. Определить теплоемкость калориметра, если для нагревания его вместе с содержимым от 270 до 272°K требуется $Q_1 = 500 \text{ кал}$, а от 272 до 274°K требуется $Q_2 = 16\,600 \text{ кал}$.

369. В калориметре находилась 400 g воды при температуре $+5^{\circ}\text{C}$. К ней долили еще 200 g воды при температуре $+10^{\circ}\text{C}$ и положили 400 g льда при температуре -60°C . Какая температура установится в калориметре?

370. В медный сосуд, нагретый до температуры $t_1 = 350^{\circ}\text{C}$, положили $m_2 = 600 \text{ g}$ льда при температуре $t_2 = -10^{\circ}\text{C}$. В результате в сосуде оказалось $m_3 = 550 \text{ g}$ льда, смешанного с водой.

Найти массу сосуда. Удельная теплоемкость мели $c_1 = 0.1 \text{ кал/град} \cdot \text{г}$.

371. При помещении в переохлажденную воду небольшого кристаллика льда вода немедленно начинает замерзать.

- 1) Какое количество льда образуется из $M = 1 \text{ кг}$ воды, переохлажденной до температуры $t = -8^{\circ}\text{C}$?
- 2) Какую температуру должна была бы иметь переохлажденная вода для того, чтобы целиком превратиться в лед?

Зависимость теплоемкости воды от температуры не учитывать.

372. 100 г льда при температуре 0°С заключены в теплоизолированную оболочку и подвернуты скручено до давления $p = 1200$ атм. Найти массу растянутой части льда, если понижение температуры плавления происходит прямо пропорционально давлению и при увеличении давления на 138 атм температура плавления понижается на 1°С.

§ 17. Упругость и прочность

373. На стальной стержень радиуса $R = 100,125$ см надето медное кольцо, имеющее радиус $r = 100$ см и площадь поперечного сечения $S = 4$ м μ^2 .

С какой силой F будет растянуто кольцо, если модуль упругости меди $E = 12\,000$ кГ/мм 2 ?

Деформацией стержня пренебречь.

374. Какую работу может совершить стальной стержень длины l и площади поперечного сечения S при нагревании на t градусов?

375. Между двумя столбами натянута проволока длины $2l$. К проволоке, точно посередине, подведен фонарь массы M .

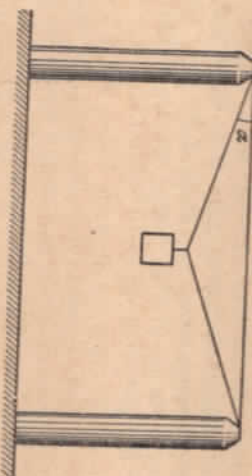


Рис. 140.

Площадь поперечного сечения проволоки S , модуль упругости E .

Определить угол α провисания проволоки, считая его малым (рис. 140).

376. Между двумя неподвижными, абсолютно жесткими стенками вставлен без зазора стальной стержень сечением $S = 1$ см 2 .

С какой силой F стержень будет действовать на стеки, если его нагреть на $\Delta t = 5^\circ\text{C}$?

Коэффициент линейного расширения стали $\alpha = 1,1 \cdot 10^{-5} \frac{1}{\text{град}}$, модуль упругости $E = 20\,000$ кГ/мм 2 .

80

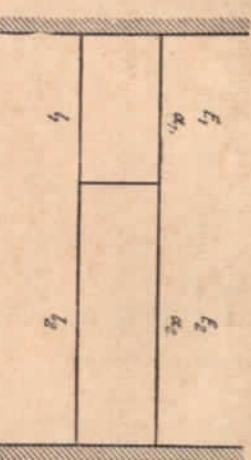


Рис. 141.

Найти силу, с которой стержни действуют друг на друга, если коэффициенты теплового расширения стержней α_1 и α_2 и модули упругости материала стержней E_1 и E_2 известны. Деформации стеков пренебречь.

378. Однородный брускок массой $m = 100$ кг висит на трех вертикальных проволоках равной длины, расположенных симметрично (рис. 142).



Рис. 142.

Определить напряжения проволок, если средняя проволока стальная, а две другие медные. Площади поперечного сечения всех проволок одинаковы. Модуль Юнга стали считать в два раза большим модуля Юнга меди.

379. Железобетонная колонна сжимается силой P . Полагая, что модуль Юнга бетона E_b составляет $\frac{1}{10}$ модуля Юнга

стержня из разных материалов (рис. 141). Сечение стержней S . Их длины l_1 и l_2 . Стержни нагреваются на t градусов.

железа $E_{ж}$, а площадь поперечного сечения железа составляет $\frac{1}{20}$ площади поперечного сечения бетона, найти, какая часть нагрузки приходится на бетон.

380. Стальной болт вставлен в мелкую трубку, как показано на рис. 143. Найти силы, возникающие в болте и

трубке при повороте гаек на один оборот, если длина трубы l , шаг нарезки болта h , а площади поперечного сечения болта и трубы равны S_e и S_u соответственно.

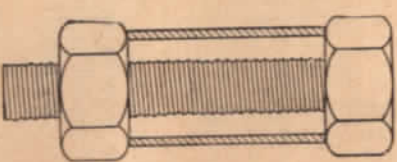


Рис. 143.

381. Мелкая пластина сварена с двумя стальными пластинами так, как изображено на рис. 144. Какие напряжения возникнут в пластинках при повышении температуры на $t^\circ\text{C}$? Площади поперечного сечения всех трех пластинок одинаковы.

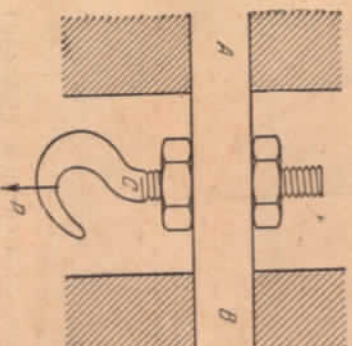


Рис. 145.

382. Определить максимальное допустимое значение линейной скорости при вращении тонкого свинцового кольца, если предел прочности свинца $P = 200 \text{ кг/см}^2$, а его плотность $\rho = 11,3 \text{ г/см}^3$.

383. Железный бруск AB закреплен неподвижно обоими концами. В середине бруска имеется отверстие, в котором укрепляется с помощью двух гаек крюк C (рис. 145). Бруск стянут гайками с силой F_0 .

трубке при повороте гаек на один оборот, если длина трубы l , шаг нарезки болта h , а площади поперечного сечения болта и трубы равны S_e и S_u соответственно.

Сталь	S
Медь	S
Сталь	S

Рис. 144.

Какие по величине силы будут действовать на верхнюю и нижнюю гайки со стороны бруска, если на крюк подвесить груз, вес которого может изменяться от нуля до $P = 2F_0$? Прогибом бруска и весом крюка пренебречь.

§ 18. Свойства паров

384. В калориметр, содержащий 100 г льда при температуре -20°C , выпускают 150 г водяного пара, имеющего температуру $+100^\circ\text{C}$.

Какую температуру примет содержимое калориметра, если его теплоемкость 75 ккал/град ? 385. Почему в момент выключения газовой горелки из кипящего чайника сразу же вырывается сильная струя пара, хотя до этого пара не было видно?

386. Показать, что плотность водяного пара при температурах, близких к комнатным, выраженная в $\text{г}/\text{м}^3$, приближенно равна давлению водяного пара, выраженному в миллиметрах ртутного столба.

387. Давление насыщенных паров воды в герметически закрытом сосуде возрастает с температурой так, как показано на рис. 146. Давление же идеального газа при постоянном объеме прямо пропорционально температуре.

Используя таблицу свойств насыщающего водяного пара (см. табл. II), выяснить, пригодно ли уравнение состояния идеального газа для вычисления плотности или удельного объема насыщенных паров. Объяснить полученный результат.

388. В цилиндре под поршнем изотермически сжимают 9 г водяного пара при температуре 30°C . При каком объеме пар начнет конденсироваться?

389. В комнате при температуре 15°C относительная влажность равнялась 10%. Как изменится относительная

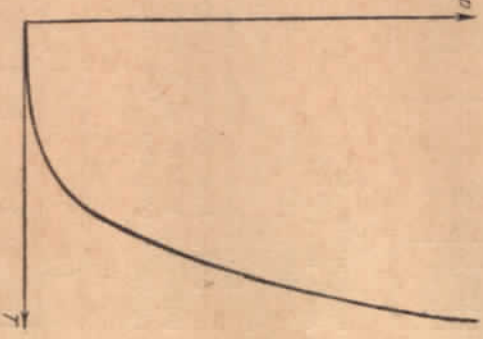


Рис. 146.

Таблица II

Свойства насыщающего водяного пара (по Шюле)

t (°C)	Давление (в кг/см^2)	Удельный объем пара ($\text{в м}^3/\text{кг}$)	t (°C)	Давление (в кг/см^2)	Удельный объем пара ($\text{в м}^3/\text{кг}$)
17,2	0,02	68,3	151,1	5	0,3818
45,4	0,1	14,96	158,1	6	0,3214
59,7	0,2	7,80	164,2	7	0,2778
75,4	0,4	4,071	169,6	8	0,2448
85,45	0,6	2,785	174,5	9	0,2189
93,0	0,8	2,127	179,0	10	0,1980
96,2	0,9	1,905	187,1	12	0,1663
99,1	1	1,726	194,1	14	0,1434
100	1,033	1,674	209,4	16	0,1261
116,3	1,8	0,996	206,2	18	0,1125
119,6	2	0,902	211,4	20	0,1015
132,9	3	0,617	232,8	30	0,0679
142,9	4	0,4708	249,2	40	0,0506

влажности, если температура в комнате постепенно увеличилась на 10°C ?

390. На улице целый день морозит холодный осенний дождь. В комнате развесено выстираное белье.

Высохнет ли белье быстрее, если открыть форточку?

391. Два сосуда, соединенные трубками с кранами, наполнены водой до разных уровней (рис. 147). Воздух из сосудов откачен. Что произойдет, если соединить сосуды,

- 1) открав кран в нижней трубке, 2) открав кран в верхней трубке?

392. Чему равна относительная влажность воздуха при температуре $t_1 = 10^\circ\text{C}$, если конденсация влаги из этого воздуха, нагретого предварительно до $t_2 = 30^\circ\text{C}$, началась после его изотермического сжатия от давления 1 ат до давления 10 ат.

Указание. Воспользоваться данными таблицы II.

393. Пористое тело было помещено для просушки под колокол вакуумного насоса. Давление под колоколом дер-

жалось на уровне 6,5 мм рт. ст. в течение часа, после чего резко упало. Производительность насоса 60 л/мин. Установившись под колоколом насоса температура $t = 5^\circ\text{C}$.

Какое количество воды содержало тело?

394. В теплоизолированном цилиндре под невесомым поршнем находится $m = 30$ г воды при температуре 0°C . Площадь поршия $S = 512 \text{ см}^2$, внешнее давление $\rho = 1 \text{ атм}$.

На какую высоту поднимется поршень, если находящийся в цилиндре электрический нагреватель выделит $Q = 5760 \text{ кал}$?

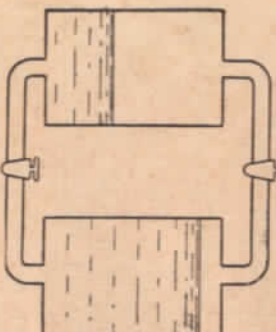


Рис. 147.

зонтальными пластинами плоского конденсатора. Под действием электростатического поля капелька радиометра двигалась вперх, проходя некоторое расстояние за время t_1 или, при изменении знака заряда на обкладках, вниз, проходя то же расстояние за время t_2 .

Считая силу трения капельки о воздух пропорциональной скорости капельки, определить, за какое время t капелька пройдет это же расстояние после выключения поля.

400. Можно ли, имея в своем распоряжении один заряженное тело, получить с его помощью заряд, во много раз превышающий данный по абсолютному значению?

ЭЛЕКТРИЧЕСТВО И МАГНЕТИЗМ

§ 19. Электростатика

395. С какой силой взаимодействовали бы точечные заряды в один кулон, находясь на расстоянии 1 км друг от друга?

Может ли тело малых (порядка нескольких сантиметров) размеров иметь электростатический заряд в один кулон?

396. Три одинаковых маленьких шарика весом по 0,1 г подвешены в одной точке на шелковых нитях длиной $l = 20$ см.

Какие заряды следует сообщить шарикам, чтобы каждая из них составляла с вертикалью угол $\alpha = 30^\circ$?

397. Два одинаковых шарика висят на нитях на некотором расстоянии друг от друга. Шарикам сообщают одинаковые заряды и погружают их в керосин.

Определить плотность материала шариков, если они в пустоте, ни в керосине ни в масле не отклоняются от вертикали.

Плотность керосина $\rho_0 = 0,8 \text{ г/см}^3$.

Диэлектрическая проницаемость керосина $\varepsilon = 2$.

398. Два маленьких шарика, заряженные равными, но разноименными зарядами, закреплены в горизонтальной пло-

щади на некотором расстоянии a друг от друга. Третий заряженный шарик подвешен на нити. Точку подвеса один раз перемещают так, что этот шарик в состоянии равновесия оказывается точно над первым закрепленным шариком, на расстоянии a от него, а другой раз — над вторым.

Найти углы отклонения нити от вертикали, если известно, что над одним из шариков угол отклонения в два раза больше, чем над другим.

399. В классических опытах по измерению заряда электрона заряженная капелька масла помещалась между гори-

зящимися друг к другу?

403. Тонкое проволочное кольцо радиуса R несет электрический заряд q . В центре кольца расположены однознаковые заряды Q , причем $Q \gg q$. Определить силу, с которой растянутое кольцо.

404. Два точечных заряда q_1 и q_2 расположены на расстоянии d друг от друга.

Найти напряженность электрического поля в точке, находящейся на расстоянии r_1 от заряда q_1 и r_2 от заряда q_2 .

405. Три одинаковых положительных заряда q расположены в вершинах равностороннего треугольника. Сторона треугольника равна a .

Найти напряженность поля в вершине правильного четырехугольника, для которого этот треугольник служит основанием.

406. Положительный заряд Q равномерно распределен по тонкому проволочному кольцу радиуса R .

Найти напряженность электрического поля на оси кольца в точках, отстоящих от центра кольца на расстояние r .

407. Найти точки на оси заряженного кольца (см. задачу 406), в которых напряженность электрического поля имеет наибольшее значение. Определить напряженность поля в этих точках.

408. Две параллельные металлические пластины, площадь каждой из которых равна S , несут заряды Q_1 и Q_2 . Расстояние между пластинами много меньше их линейных раз-

Определить напряженность электрического поля в точках A , B , C (рис. 148).

409. Две большие проводящие пластины расположены параллельно друг другу. Расстояние между пластинами много меньше их размеров. Одной из пластин сообщен

меньше их размеров. Одной из пластин сообщен заряд $+Q$.

Чему равны заряды, инициированные на по-

верхностях другой пластины?

410. Молекула находится на расстоянии r от оси заряженного бесконечно длинного металлического цилиндра.

Определить силу, действующую на молекулу, если напряженность поля цилиндра выражается

формулой $E = \frac{2k}{r}$ (k — заряд, приходящийся на единицу длины цилиндра), а молекула представляет собой статическую линию λ , на концах которой находятся заряды $+q$, $-q$.

411. На некотором расстоянии от оси заряженного цилиндра находятся две молекулы равной массы. Одна молекула имеет постоянный электрический момент $p = qk$ (см. задачу 410). Между зарядами другой молекулы действует «упругая» сила, т. е. расстояние λ определяется соотношением $qE = k\lambda$, где E — средняя напряженность поля, действующего на молекулу, k — коэффициент пропорциональности.

Вначале электрические моменты молекул одинаковы, а их скорости равны нулю. Каким молекула под действием силы притяжения быстрее достигнет поверхности цилиндра?

412. Прямоугольной металлической пластинке со сторонами a и b сообщен заряд $+q$. Толщина пластины с много меньшие a и b .

Определить напряженность поля, создаваемого этой за-

ряженной пластинкой в точках пространства, близких к центру пластины.

413. На расстоянии d от большой проводящей пластины находится точечный электрический заряд $+q$.

Определить, с какой силой действует пластина на точечный заряд.

414. К центру металлической пластины, описанной в за-
даче 412, на расстояние d подносится точечный заряд $+Q$.
Расстояние d много меньше сторон пластины a и b . Опре-

делить силу, с которой действует пластина на заряд $+Q$. В каком случае положительный заряженная пластина будет прятывать положительный точечный заряд?

415. До какого потенциала можно зарядить находящийся в воздухе увеличенный металлический шар радиуса R , если напряженность электрического поля, при которой происходит пробой в воздухе, равна $E_0 = 30\,000\text{ в/с.м.}$?

416. Внутрь полой проводящей сферы радиуса r , несущей заряд $+Q$, через маленькое отверстие внесли тело, имеющее заряд $-q$.

Чему равен потенциал точки пространства, находящейся на расстоянии $R > r$ от центра сферы?

417. К внутренней стенке изолированного от земли электрометра прикреплен металлический листочек (рис. 149). Стержень и корпус электрометра соединены проводом и после этого сообщили корпусу некоторый заряд.

Отклоняются ли при этом листочки электрометра? Что происходит с листочками, если провод убрать и после этого стержень соединить с землей?

418. Корпусу электрометра, описанного в задаче 417, сообщен заряд (соединительный провод отсутствует). Будут ли при этом его листочки отклоняться?

Изменится ли угол отклонения листочек, если стержень заменить?

419. Касаясь пробонам шариком, соединенным проводом с заземленным электрометром (рис. 150), различных точек металлического ведерка с узким диаметром, мы будем наблюдать одинаковое отклонение листочек электрометра при любом положении шарика. Если же соединительный провод убрать, то отклонение листочек

электрометра, к стержню которого подносится шарик, будет зависеть от того, какой точки поверхности ведерка (внутренней или внешней) мы предварительно коснулись. Почему?

420. Помечу электрометр, соединенный проволокой с металлическим телом, изображенным на рис. 151, позволяет

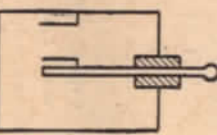


Рис. 150.

измерить потенциал тела, а при переносе заряда с тела на электрометр с помощью изолированного проводящего шарика отклонение листочек пропорционально плотности заряда на отдельных участках тела?



Рис. 151.

421. На расстоянии d от точечного заряда q расположены незаряженный проводящий шар радиуса R .

Чему равен потенциал шара?

422. Челленный проводящий шар радиуса R несет заряд $+Q$. Какой энергией обладает шар?

423. Металлический шар диаметром 2 см расположен в центре большого помещения и заряжен до потенциала $100\,000 \text{ в}$. Какое количество тепла выделяется, если шар соединить проводником с землей?

424. Два металлических шарика радиусов $r_1 = 1 \text{ см}$ и $r_2 = 2 \text{ см}$, находящиеся на расстоянии $R = 100 \text{ см}$ друг от друга, присоединены к батарее с электродвижущей силой $\mathcal{E} = 3000 \text{ в}$.

Найти силу взаимодействия шариков. Взаимодействием соединительных проводников пренебречь.

425. Два маленьких шарика несут заряды, различные по величине, но одинаковые по знаку. Один из шариков закреплен. Если освободить второй шарик, то, удаляясь под действием электростатических сил отталкивания, он может совершить механическую работу A_1 .

Если же перед освобождением второго шарика на некоторое время соединить шарик проводником, то второй шарик, удаляясь, сможет совершить механическую работу A_2 .

Подсчитать количество тепла, выделившееся в проводнике при соединении шариков, и выяснить, за счет какой энергии выделяется это тепло и изменяется механическая работа.

426. Сферическая оболочка радиуса R заряжена равномерно зарядом Q . Найти растягивающую силу, приходящуюся на единицу площади оболочки.

427. На одной прямой находятся три заряда: положительный q и два отрицательных $-Q$. При каком значении отношения зарядов их можно расположить таким образом, чтобы вся система находилась в равновесии? Будет ли равновесие устойчивым?

Начертить зависимость потенциальной энергии для каждого заряда от его положения на прямой при условии, что два других заряда неподвижны.

428. Из бесконечности к металлической пластинке движется электрический заряд q .

Определить кинетическую энергию заряда в тот момент, когда он будет находиться на расстоянии d от пластины. Начальная скорость заряда равна нулю. Размеры пластины пределены зарядами таким образом, что правая половина поверхности цилиндра от сечения OO' заряжена положительным электричеством, а левая отрицательным (рис. 152).

В обоих направлениях плотность зарядов увеличивается прямо пропорционально расстоянию от сечения OO' . Показать, что во всех точках внутри цилиндра напряженность электрического поля будет всегда одинакова и направлена вдоль оси цилиндра, как это указано на рисунке стрелкой.

430. Часто проводят аналогию между электропроводностью и емкостью сосуда.

Какую форму должен иметь сосуд, чтобы такая аналогия была справедлива?

431. Оценить по порядку величины электропроводность человеческого тела.

432. Изменятся ли показания электрометра, соединенного с гальваническим элементом, если параллельно с ним включить конденсатор?

Будет ли иметь значение емкость конденсатора?

433. Четыре одинаковых плоских конденсатора с воздушным диэлектриком соединены последовательно. Напряженность поля, при которой в воздухе наступает электрический пробой, равна $E_b = 3 \cdot 10^4 \text{ в/см}$. Расстояние между пластинами $d = 0,7 \text{ см}$.

1) Какое наибольшее напряжение можно подать на эту батарею конденсаторов?

2) Каким будет это наибольшее напряжение, если один из конденсаторов заменить таким же, но в котором в качестве диэлектрика применено стекло?

Диэлектрическая проницаемость стекла $\epsilon = 7$, пробойная напряженность поля для стекла $E_{cr} = 9 \cdot 10^4 \text{ в/см}$.

434. Определить напряжения U_1 и U_2 на конденсаторах (рис. 153), если $\epsilon_1 = 12 \text{ кв}$, $\epsilon_2 = 13 \text{ кв}$, $C_1 = 3 \mu\text{кв}$, $C_2 = 7 \mu\text{кв}$. Проводимость диэлектриков пренебречь.

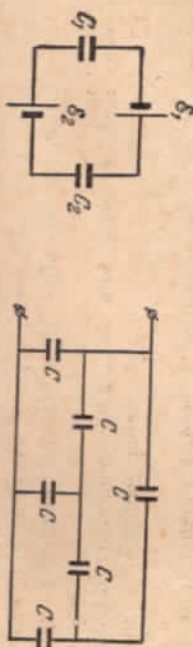


Рис. 153.

435. Найти емкость C_0 батареи одинаковых конденсаторов (рис. 154).

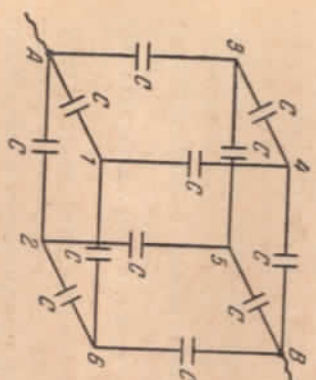


Рис. 154.

436. Из проволок сделан куб, в каждое ребро которого включено по одному конденсатору емкости C (рис. 155). Найти емкость полуцишеста батареи конденсаторов, если эта батарея включается в цепь проводниками, присоединенными к противоположным вершинам A и B куба.

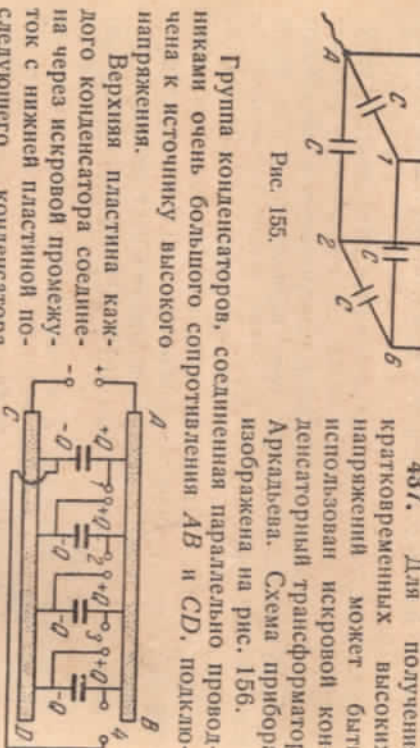


Рис. 155.

437. Для получения кратковременных высоких напряжений может быть использован искровой конденсаторный трансформатор Аркальева. Схема прибора изображена на рис. 156.

Группа конденсаторов, соединенная параллельно проводниками очень большого сопротивления AB и CD , подключена к источнику высокого напряжения.

Верхняя пластина каждого конденсатора соединена через искровой промежуток с нижней пластиной последующего конденсатора (промежутки $1, 2, 3, 4$). Каждый последующий промежуток больше предыдущего. В момент, когда разность потенциалов между обкладками достигает пробивного напряжения первого промежутка, про-

изойдет разряд. Вслед за этим будут пробиты второй, третий и т. д. промежутки. Какой величины должна быть разность потенциалов при пробое последнего промежутка, если имеется n конденсаторов и приложенное напряжение равно V_0 ?

438. Плоский конденсатор заряжается до перемеженно заземляют. Будет ли при этом конденсатор разряжаться?

439. Плоский конденсатор заряжается до разности потенциалов U . Обе пластины симметрично расположены по отношению к земле, так что их потенциалы относительно земли равны соответственно $+U/2$ и $-U/2$.

Как будет изменяться потенциалы пластин относительно земли, если после заземления первой пластины заземлить вторую, предварительно отсоединив первую от земли?

440. Одна из пластин конденсатора, присоединенного к батарее с электродвижущей силой δ , заземлена (рис. 157).

Изменятся ли потенциалы пластин конденсатора относительно земли, если заземление убрать?

441. Два плоских конденсатора емкостью C_1 и C_2 заряжены до разности потенциалов U_1 и U_2 соответственно ($U_1 \neq U_2$).

Показать, что при параллельном соединении этих конденсаторов их общая электростатическая энергия уменьшается.

Почему происходит уменьшение энергии?

442. В одиородное электрическое поле вносится диэлектрик, имеющий форму шара.

Указать, как изменится напряженность поля в точках A, B, C (рис. 158).

443. Одна из пластин плоского конденсатора со слоями

диэлектриком несет положительный заряд $Q = 1.4 \cdot 10^{-5}$ единиц СГСЭ заряда. Другая пластина, изолированная от земли, остается незаряженной. Площадь каждой пластины $S = 2500 \text{ см}^2$. Диэлектрическая проницаемость слоев $\epsilon = 7$. Найти напряженность поля в пространстве между пла-

444. Чему равна сила взаимодействия присоединенных к батарее шариков (задача 424), если они погружены в керосин? Диэлектрическая проницаемость керосина $\epsilon = 2$.

445. Пластины плоского конденсатора присоединены к батарее, э. д. с. которой равна E . Подсчитать механическую работу, совершенную электрическим полем при перемещении пластин, если вначале расстояние между пластинами равно d_1 , а в конце d_2 , причем $d_2 < d_1$.

Выделением тепла в батарее и подводящих проводах пренебречь.

446. Как известно, продольоватые кусочки диэлектрика устанавливаются вдоль силовых линий электрического поля. Но ведь отдельные молекулы неполярного диэлектрика, казалось бы, должны только растягиваться вдоль поля, но не поворачиваться. В диэлектрике, состоящем из дипольных молекул, срелие число молекул, поворачивающихся при включении поля по часовой стрелке, равно числу молекул, поворачивающихся в противоположную сторону.

Почему же весь кусочек диэлектрика будет поворачиваться?

447. Пространство между обкладками плоского конденсатора заполнено диэлектриком, как показано на рис. 159.

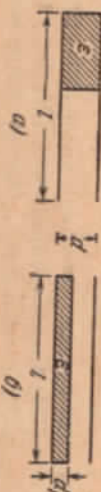


Рис. 159.

Площадь пластины в обоих случаях S . Диэлектрическая проницаемость диэлектрика ϵ .

Определить ѹмкость конденсатора в обоих случаях.

448. Определить энергию плоского конденсатора, пространство между пластинами которого заполнено диэлектриком.

449. Плоский конденсатор заполнен диэлектриком, диэлектрическая постоянная которого ϵ . Напряженность поля в диэлектрике равна E .

Какова будет напряженность поля в полости, сделанной внутри диэлектрика, если полость имеет вид длинного тонкого цилиндра, направленного вдоль поля; полость имеет вид параллелепипеда, одна сторона которого много

меньше двух других? Вдоль поля направлена меньшая сторона.

450. Две прямоугольные пластины длины l и площади S расположены параллельно друг другу на расстоянии d . Они заряжены до разности потенциалов U (плоский конденсатор). В пространство между пластинами втягивается диэлектрик с диэлектрической проницаемостью ϵ , толщина которого равна d , а ширина равна ширине пластин. Длина диэлектрика больше l (рис. 160).

Найти результатирующую силу F , действующую на диэлектрик со стороны поля в зависимости от расстояния x .

451. Решить задачу 450 в случае, если конденсатор присоединен к батарее, э. д. с. которой равна U . Сопротивлением соединительных проводов пренебречь.

452. Одним изобретателем предложен следующий проект вечного двигателя.

В сообщающиеся сосуды налит керосин (рис. 161). Одно колено сосуда помещено в сильное электрическое поле между обкладками конденсатора, за счет чего уровень керосина в этом колене выше, чем в другом. Через два блока перекинута цепочка из шариков, удельный вес материала которых меньше удельного веса керосина.

Подъемная сила, действующая на шарики, будет больше в левом колене, чем в правом, поскольку в левом колене больше шариков погружено в керосин. Цепочка вследствие этого, по мысли изобретателя, должна начать вращаться по часовой стрелке. Почему в действительности вращения не возникает?

453. Пространство между пластинами плоского конденсатора заполнено диэлектриком с диэлектрической проницаемостью ϵ . Одной пластине сообщен заряд $+Q$, другой $-Q$.

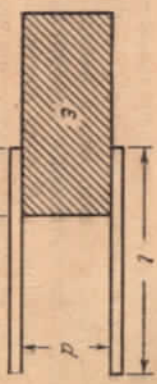


Рис. 161.

Определить плотность связанных электрических зарядов, появляющихся на поверхности диэлектрика, и силы, действующие со стороны поля на диэлектрик.

454. Пространство между пластинами плоского конденсатора заполняется диэлектриком. Каждую молекулу диэлектрика схематически представим в виде «гантеля» длины λ , на концах которой находятся заряды $+q$, $-q$. Число молекул в единице объема (1 см^3) равно n .

Предположим, что в результате действия электрического поля все молекулы повернулись вдоль поля. Определить напряженность E поля внутри конденсатора в случае заполнения его таким диэлектриком, если до заполнения напряженность поля была равна E_0 .

455. Диэлектрик состоит из молекул, причем каждую молекулу можно представить в виде двух зарядов $+q$ и $-q$, между которыми действует «упругая сила». Термин «упругая сила» надо понимать в том смысле, что x , расстояние между зарядами $+q$ и $-q$, определяется из соотношения $kx = qE$, где E — напряженность поля, действующего на заряды, а k — коэффициент пропорциональности.

Пусть в единице объема (1 см^3) диэлектрика содержится n молекул. Решить задачу 454, предполагая, что пространство между пластинами плоского конденсатора заполнится диэлектриком подобного типа. Определить диэлектрическую проницаемость диэлектрика.

456. Конденсатор заполнен диэлектриком, свойства которого указаны в условии задачи 455. Найти энергию, запасенную в диэлектрике вследствие его поляризации.

§ 20. Постоянный электрический ток

457. Имеется ли вблизи поверхности проводника, по которому течет постоянный ток, электрическое поле?

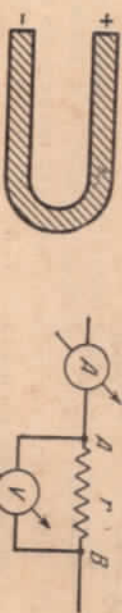


Рис. 162.

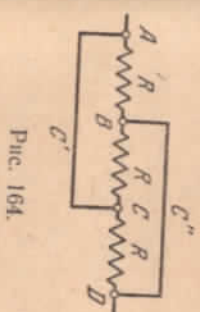


Рис. 164.

Рис. 165.

458. Начертить примерное расположение силовых линий электрического поля вокруг однородного проводника, состоящего в форме дуги (рис. 162). По проводнику течет постоянный ток.

96

459. Определить сопротивление r , если амперметр показывает ток $I = 5 \text{ а}$, а вольтметр $V = 100 \text{ в}$ (рис. 163).

Внутреннее сопротивление вольтметра $R = 2500 \text{ ом}$.

460. Каким сопротивлением r нужно зашунтировать гальванометр, внутреннее сопротивление которого $R = 10\,000 \text{ ом}$, чтобы уменьшить его чувствительность в $n = 50$ раз?

461. Требуется определить напряжение на сопротивлении R . Для этого к концам сопротивления подключают вольтметр. Какая относительная ошибка будет допущена, если показания вольтметра принять за то напряжение, которое имело место до его включения?

Сила тока в цепи поддерживается постоянной.

462. Для измерения силы тока в цепи, имеющей сопротивление R , включен амперметр. Какая относительная ошибка неизменяет силу тока в цепи?

463. Два проводника с температурными коэффициентами α_1 и α_2 имеют при 0°C сопротивления R_{01} и R_{02} .

Найти температурный коэффициент цепи, состоящей из этих проводников, если проводники соединены последовательно и проводники соединены параллельно.

464. Найти сопротивление цепи, изображенной на рис. 164. Сопротивлением соединительных проводов $AC'C'$ и $BC'D$ пренебречь.

465. Найти сопротивление шестигранника, изображенного на рис. 165, если

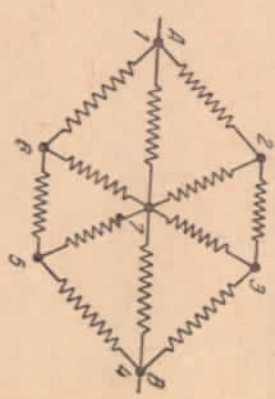


Рис. 164.

Рис. 165.

он включен в цепь между точками A и B . Сопротивление каждого проводника схемы равно R .

466. Найти сопротивление проволочного куба при включении его в цепь между точками A и B (рис. 166). Сопротивление каждого ребра куба равно R .

467. Сопротивления R_1 и R_2 по 60 о.м каждое соединены последовательно (рис. 167). Разность потенциалов между точками A и B равна $U = 120$ в.

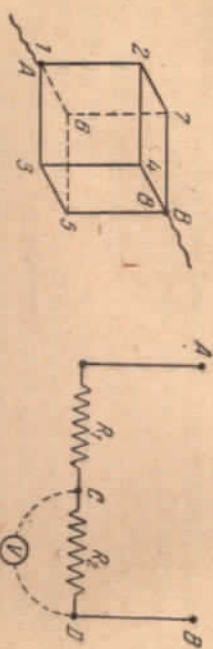


Рис. 166.

Найти показание U_1 вольтметра, подключенного к точкам C и D , если его внутреннее сопротивление $r = 120$ о.м.

468. Из однородных по сечению S и удельному сопротивлению ρ проволок сплюснутый прямоугольник $ADBC$ с диагональю AB , сделанный из проволоки такого же сечения и материала (рис. 168).

Найти сопротивление между точками A и B и сопротивление между точками C и D , если $AD = BC = a$, $AC = BD = b$.

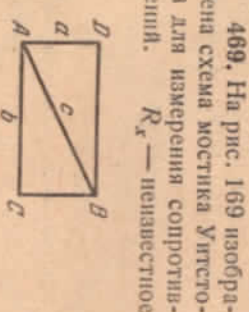


Рис. 168.

Рис. 169.

сопротивление; R_0 — эталонное сопротивление, G — гальванометр, соединенный скользящим контактом D с однородным проводом большого сопротивления AB (реохорд).

Показать, что при отсутствии тока через гальванометр имеет место соотношение $\frac{R_x}{R_0} = \frac{l_1}{l_2}$. Сопротивлением соединительных проводов можно пренебречь.

470. Какое сопротивление необходимо включить между точками C и D (рис. 170), чтобы сопротивление всей цепочки

Рис. 167.

между точками A и B не зависело от числа элементарных щелей?

471. В выходных цепях генераторов для уменьшения выходного напряжения в желаемое число раз применяется устройство, называемое аттенюатором.

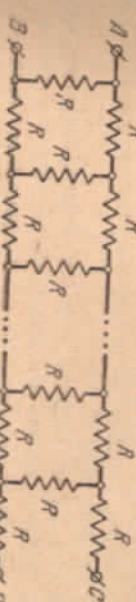


Рис. 170.

Аттенюатор представляет собой делитель напряжения, собиравший по схеме, изображенной на рис. 171.

Специальный переключатель дает возможность соединять с выходной клеммой или точкой с потенциалом U_0 , которыйрабатывается генератором, или любую из следующих точек U_1, U_2, \dots, U_n , потенциал каждой из которых меньше потенциала предыдущей в k раз ($k > 1$). Вторая выходная клемма и нижние концы сопротивлений заземлены.

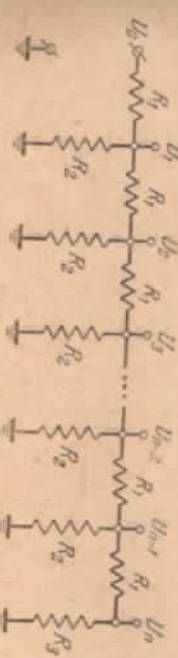


Рис. 171.

Найти отношение сопротивлений $R_1 : R_2 : R_3$, если число ячеек аттенюатора может быть любым.

472. Какими приборами нужно располагать, чтобы осуществить экспериментально проверку закона Ома, т. е. показать, что сила тока прямо пропорциональна разности потенциалов?

473. Дваум плоским одинаковым конденсаторам, соединенным параллельно, сообщен заряд Q . В момент времени $t = 0$ расстояние между пластинами первого конденсатора начинает равномерно увеличиваться по закону $d_1 = d_0 + vt$, а расстояние между пластинами второго конденсатора равномерно уменьшается по закону

$d_2 = d_0 - \sigma t$. Пренебрегая сопротивлением подводящих проводов, найти силу тока в цепи во время движения пластин конденсаторов.

474. Найти работу, совершающую электростатическим полем (см. условие задачи 473) при одновременном увеличении расстояния между пластинами первого конденсатора и уменьшении расстояния между пластинами второго конденсатора на величину a .

475. Во время работы с очень чувствительным гальванометром экспериментатор, сидящий на стуле у стола, обнаружил любопытное явление. (Гальванометр был укреплен на стене, а концы его обмотки подведены к разомкнутому ключу, расположенному на столе.) Присев со стула и коснувшись стола рукой, экспериментатор наблюдал заметный отброс гальванометра. Если же экспериментатор садился стола, сидя на стуле, то отброса не наблюдалось. Точно так же заряд гальванометра не смешался и в том случае, когда экспериментатор касался стола, не садясь предварительно на стул.

Как можно объяснить это явление?

476. У огнем чувствительного гальванометра при разомкнутой цепи обнаружена следующая эффект. Если поднести к одному из концов обмотки гальванометра заряженное тело, то гальванометр даст отброс. Если же поднести это тело к другому концу обмотки, то отброс получается в ту же сторону.

Как объяснить это явление?

477. Как распределен потенциал в элементе Даниэля при незамкнутой цепи?

Рис. 172.

изображенной на рис. 172, и, используя это распределение, вывести закон Ома для замкнутой цепи.

478. Изобразить графически примерный ход потенциала вдоль замкнутых цепей, изображенных на рис. 173.

Определить силу тока для каждой цепи и разность потенциалов между точками А и В. Сопротивлением соединительных проводов пренебречь.

479. Показать, что электродвижущая сила в цепи, содержащей гальванический элемент, равна работе сил неэлектростатического происхождения при перемещении единичного положительного заряда вдоль замкнутой цепи.

100

481. При соединении одног о моля цинка с серной кислотой выделяется около 106 000 кал, а при выделении моли из мелкого купороса потребляется примерно 56 000 кал.

Найти по этим данным э. д. с. элемента Даниэля.

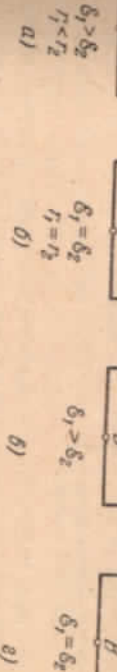
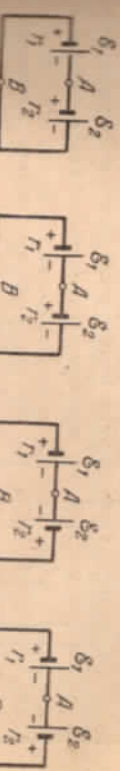


Рис. 173.

482. Для элемента Даниэля с внутренними сопротивлениями $r_1 = 0,8 \text{ ом}$ и $r_2 = 1,3 \text{ ом}$ и одинаковыми э. д. с. соединены параллельно и замкнуты на внешнее сопротивление R .

Найти отношение количеств цинка, растворившихся в этих элементах за определенный промежуток времени.

483. Элемент Даниэля составлен из абсолютно чистых материалов. Найти расход цинка и кристаллов медного купороса $\text{CuSO}_4 \cdot 5\text{H}_2\text{O}$, если элемент дает ток $0,1 \text{ а}$ в течение 8 часов.

484. В элементе Даниэля медь заменили воском, покрытым слоем графита.

Описать явления, которые будут происходить в таком элементе, если соединить проволокой цинк с графитовым слоем.

485. Как изменится э. д. с. батареи, изображенной на рис. 174, если убрать перегородку между сосудами?

Электролитом служит раствор серной кислоты.

486. Однородный угольный стержень лежит на дне сосуда с электролитом. К концам стержня подключен вольтметр, обладающий большим сопротивлением. В середину угольного стержня упирается цинковый стержень (рис. 175).

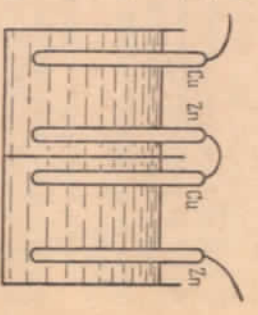


Рис. 174.

Что будет показывать вольтметр, если цинковый стержень на-
жечь стоит вертикально? Как изменятся показания вольт-
метра, если цинковый стержень на-
клонить вправо или влево?

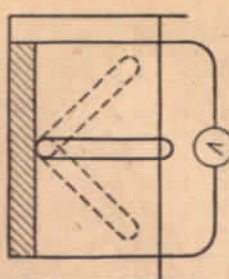


Рис. 175.

487. Пустотелая проводящая сфера радиуса $R = 5 \text{ см}$ помещена в электролитическую ванну, наполненную раствором медного купороса. В поверхности сферы имеется отверстие радиуса $r = 0.5 \text{ м.м.}$

На сколько увеличится вес сферы, если отложение меди длился $t = 30 \text{ мин}$ при плотности тока в электролите $J = 0.01 \text{ а/см}^2$.

488. Если конденсатор, пущенный на себе заряд Q , разрядить через электролитическую ванну с подкисленной водой, то выделяется m граммов гремучего газа. По закону Фарadays количества выделяющегося при электролизе вещества зависят только от количества прошедшего электричества. Значит, если разряжать конденсатор через N последовательно соп-
диненных ванн, то выделяется mN граммов гремучего газа. N можно сделать сколь угодно большим и получить любое количество газа. Скажи этот газ, получим любое количество энергии, что явно противоречит закону сохранения энергии, так как начальная энергия заряженного конденсатора не бес-
конечно велика.

В чем здесь дело?

489. При взрыве гремучего газа на каждый грамм про-
реагировавшего водорода выделяется 34 500 калорий.

Используя эти данные, найти, при каком наименьшем значении ϱ д. с. батареи может происходить электролиз воды?

490. При электролизе положительные и отрицательные ионы непрерывно нейтрализуются на соответствующих элек-
тродах.

Какие причины поддерживают концентрацию ионов в элек-
тролитах на постоянном уровне?

В каких участках электролита происходит пополнение убыли ионов?

491. Полная плотность тока в электролитах определяется как сумма двух токов — тока положительных ионов и тока отрицательных ионов:

$$J = e(n_+v_+ + n_-v_-).$$

e — заряд иона, n и v — концентрации и скорости положительных и отрицательных ионов.

Почему количество вещества, выделившегося, к примеру, на катоде, считается пропорциональным полному току, а не току en_+v_+ ?

492. Какое минимальное изменение температуры можно определить с помощью термопары железо — константан, если измерительный прибор (галванометр) имеет чувствительность 10^{-9} а и сопротивление $R = 20 \text{ ом}$? Э. д. с. термо-пары равна 50 микровольт ($50 \cdot 10^{-6} \text{ в}$) на градус, а ее со-
противление $r = 5 \text{ ом}$.

493. Температура горячих сплав термобатареи $t_1 = 127^\circ\text{C}$, холодных $t_2 = 27^\circ\text{C}$, э. д. с. батареи $\varrho = 4 \text{ в}$. Для поддер-
жания постоянной температуры нагретых сплав к ним в единицу времени подводится две калории тепла.

К батарее подключена электролитическая ванна с раствором медного купороса. Какое наибольшее (теоретически) количество меди может отлагаться на катоде в единицу времени?

494. Через аккумулятор с внутренним сопротивлением r и э. д. с. ϱ течет ток силой I . Чему равна разность потенциалов на клеммах аккумулятора?

495. Вольтметр с сопротивлением $R_1 = 100 \text{ ом}$, подклю-
ченный к клеммам элемента, показывает разность потенци-
алов $V = 2 \text{ в}$. При замыкании этого же элемента на со-
противление $R = 15 \text{ ом}$ включеный в цепь амперметр по-
качивает силу тока $I = 0.1 \text{ а}$. Найти э. д. с. элемента, если сопротивление амперметра $R_2 = 1 \text{ ом}$.

496. Почему гальванический элемент с э. д. с. в несколько вольт может дать значительный ток, а электростатическая машина с э. д. с. в десятки тысяч вольт дает ток ничтожной силы?

497. Составлена цепь, изображенная на рис. 176. Конденсатор C_2 пробит и сопро-
тивление между его пластинами конечно.

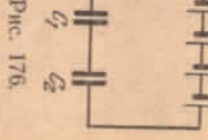


Рис. 176.

Чему будет равна разность потенциалов между пластинами каждого из конденсаторов, если замкнуть ключ K_2 ?
498. В каком случае для последовательно соединенных гальванических элементов, замкнутых на внешнее сопротивление, дадут меньший ток, чем один из этих элементов, вклю-
ченный на то же сопротивление?

499. Для определения места повреждения изоляции между проводами двухпроводной телефонной линии длиной $L=5,6 \text{ км}$ к одному ее концу присоединили батарею с э. д. с. $\mathcal{E}=24 \text{ в}$.

При этом оказалось, что если провода у другого конца линии разомкнуть, ток через батарею равен $I_1=1,5 \text{ а}$, а если замкнуть накоротко, то ток через батарею равен $I_2=2 \text{ а}$. Ток короткого замыкания батареи $I_3=96 \text{ а}$. Сопротивление каждого провода линии $r=7 \text{ ом}$.

Найти сопротивление изоляции R в месте повреждения.

500. Гальванические элементы с э. д. с. $\mathcal{E}_1=2 \text{ в}$ и $\mathcal{E}_2=1,5 \text{ в}$ соединены по схеме, указанной на рис. 177, a .

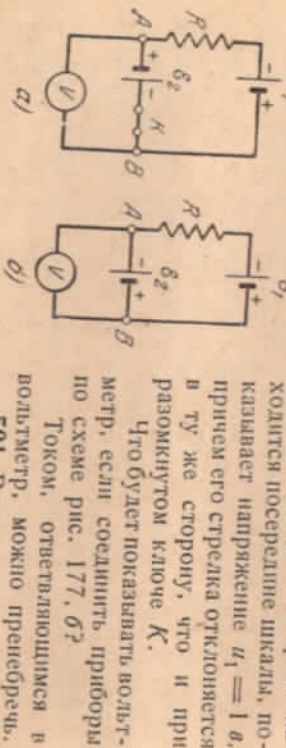


Рис. 177.

Вольтметр, пуль которого находится посередине шкалы, показывает напряжение $U_1=1 \text{ в}$, причем его стрелка отклоняется в ту же сторону, что и при разомкнутом ключе K .

Что будет показывать вольтметр, если соединить приборы по схеме рис. 177, b ? Током, отвечающимся вольтметру, можно претебречь, условив, что при замкнутом ключе K (рис. 177, a) стрелка отклоняется в сторону, противоположную той,

502. Для элемента с э. д. с. $\mathcal{E}_1=2 \text{ в}$ и $\mathcal{E}_2=1 \text{ в}$ соединены по схеме, указанной на рис. 178. Сопротивление цепи одинаково и равно 1 ом каждое.

Определить силы токов, протекающих через элементы и сопротивление R . Сопротивление подводящих проводов не учитывать.

503. При каком значении сопротивления R в схеме задачи 502 ток через гальванический элемент с э. д. с. \mathcal{E}_2 не пойдет?

При каких R ток через этот элемент будет направлен против э. д. с. элемента?

504. Можно ли с помощью 24 аккумуляторов, каждой из которых имеет э. д. с. $\mathcal{E}_0=2 \text{ в}$ и внутреннее сопротивление $r=0,3 \text{ ом}$, соединяя их в отдельные одинаковые

группы, получить во внешней цепи сопротивлением $R=0,2 \text{ ом}$ и ток $I=21 \text{ а}?$

505. Электрическую плитку, рассчитанную на напряжение 220 в, требуется переделать, не меняя и не укорачивая спиралей, на 110 в так, чтобы ее мощность осталась прежней.

Что нужно для этого сделать?

506. Лампочка накаливания, сопротивление нити которой содержавший спесь воды со льдом.

Через сколько времени количество воды в калориметре увеличивается на $m=15 \text{ г}$, если включить лампочку в сеть с напряжением $u=220 \text{ в}?$ Удельная теплота плавления льда $\lambda=80 \text{ ккал/г}$.

507. Электрическая лампочка с вольфрамовой нитью потребляет мощность 50 вт. Температура нити при горении лампочки 2500°C .

Какую мощность будет потреблять лампочка в первый момент после включения ее в сеть? Температурный коэффициент сопротивления вольфрама $\alpha=4,5 \cdot 10^{-3} \frac{1}{\text{град}}$.

508. Почему при включении в сеть нагревательного прибора большой мощности (например, электроплиты) накал лампочек в квартире сразу же заметно падает, а через некоторый промежуток времени возрастает, достигая примерно прежней величины?

509. Проводка из магистралей в здание осуществлена проводом сопротивлением $R_0=0,5 \text{ ом}$. Напряжение в магистрале постоянно и равно $U_0=127 \text{ в}$.

Какова максимальная допустимая мощность потребляемой в здании электроэнергии, если напряжение на включаемых в сеть приборах не должно падать ниже $U=120 \text{ в}?$

510. Электрический чайник имеет две обмотки. При включении одной из них он закипает через t_1 минут, при включении другой — через t_2 минут.

Через сколько времени закипит чайник, если обе обмотки включены параллельно?

511. Электрический кипятильник имеет три обмотки. Если соединить две обмотки параллельно, подключив к ним串ь последовательно, то при различных комбинациях обмоток вода в баке закипает соответственно за 20, 40, 16 мин.

За сколько времени закипят вода, если все обмотки соединить 1) последовательно? 2) параллельно?

512. Почему при прохождении по проводнику постоянного тока количество выделенной энергии равно QU , где Q — протекший заряд, а U — разность потенциалов, а при разряде конденсатора выделяется энергия, равная $QU/2$?

513. При передаче электрической энергии на большие расстояния с помощью трансформатора повышают напряжение так, чтобы при той же мощности сила тока стала меньше. По закону Джоуля — Ленца количество выделенного в проводах тепла $Q = 0.24 I^2 R t$ и, следовательно, потеря на выделение тепла будут мала при малых токах.

Но ведь, с другой стороны, $Q = 0.24 \frac{U^2}{R} t$, т. е. количество выделенного тепла растет с ростом напряжения.

Разъяснить, почему же увеличение напряжения ведет к экономии электроэнергии при передаче ее на большие расстояния.

514. При последовательном включении в цепь батарей двух одинаковых лампочек падение напряжения на внутреннем сопротивлении батарей составляет $p\%$ от э. д. с. Номинальное напряжение питания лампочки U_b , а номинальная мощность W_{bm} .

Определить внутреннее сопротивление r батарей. **515.** Аккумулятор с э. д. с. $\mathcal{E} = 10 \text{ в}$ и внутренним сопротивлением $r = 1 \text{ ом}$ замкнут на внешнее сопротивление R и падает на нем мощность $W = 9 \text{ вт}$.

Определить рабочую потребляемую U на клеммах аккумулятора. В чём причина неоднозначности результата?

516. Какую максимальную полезную мощность (мощность, выделяемую на вишенем сопротивлении) может выделять аккумулятор с э. д. с. $\mathcal{E} = 10 \text{ в}$ и внутренним сопротивлением $r = 1 \text{ ом}$?

Каково при этом сопротивление внешней цепи?

517. Определить коэффициент полезного действия η аккумулятора в задачах 515 и 516.

Как зависит коэффициент полезного действия от внешнего сопротивления при изменением внутренним сопротивлением?

Как при этом меняется полезная мощность?

Может ли η равняться единице? **518.** К. п. д. источника тока, замкнутого на внешнее сопротивление R , $\eta_1 = 60\%$.

Каков будет к. п. д. η_2 , если увеличить внешнее сопротивление в шесть раз?

519. Зарядка аккумулятора с начальной электродвижущей силой \mathcal{E}_0 осуществляется зарядной станцией, напряжение в сети которой равно U .

Определить полезную мощность, расходуемую на зарядку аккумулятора, и мощность, расходуемую на выделение тепла в аккумуляторе.

520. Превышает ли полезная мощность, расходуемая при зарядке аккумулятора, выделяемое в нем тепло?

521. По проводнику течет ток, сила которого $I = 10 \text{ а.}$ Площадь поперечного сечения проводника $S = 5 \text{ см}^2$, а число свободных электронов в 1 см 3 проводника $n = 10^{23}$.

Определить направленную скорость электронов v , считая ее одинаковой для всех электронов.

522. Металлический прямоугольный параллелепипед с размерами сторон d , b , c ($d \gg c$; $b \gg c$) движется с ускорением a в направлении меньшей стороны (рис. 179). Найти напряженность электрического поля, возникающего вследствие ускоренного движения металлического бруска, а также плотность электрических зарядов на боковых поверхностях бруска, перпендикулярных направлению движения.

523. Сплошной металлический цилиндр радиуса R вращается с постоянной угловой скоростью ω .

Найти зависимость напряженности поля от расстояния до оси цилиндра и разность потенциалов между поверхностью цилиндра и осью.

§ 21. Электрический ток в газах и вакууме

524. Будет ли происходить тлеющий разряд, если поместить ион H^+ в область тангенциального катодного пространства (область катодного падения потенциала)?

525. На рис. 180 изображена схема рентгеновской трубы с холодным катодом. K — катод, A — анод, A_k — антикатод. Между анодом и катодом создается высокое напряжение. Электроны, ускоренные вблизи катода (в области катодного падения потенциала), с большой скоростью бомбардируют антикатод и дают начало рентгеновским лучам.

Для чего в трубку введены два электрода: анод и антикатод, вместо одного?

526. Почему анод и антикатод рентгеновской трубы соединены проволоком (см. задачу 525)? Что произойдет, если антикатод будет изолирован?

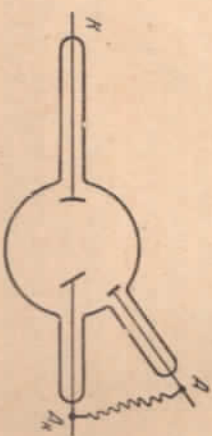


Рис. 180.

527. На рис. 181 изображен счетчик Гейгера — Мюллера элементарных частиц. Между корпусом трубы *A* и тонкой проволокой *ab* создается высокое напряжение, лишь немногим меньшее критического, необходимого для зажигания разряда.

При попадании в счетчик быстрой заряженной частицы происходит ионизация молекул газа и начинается разряд. Прожхождение по цепи тока сопровождается падением напряжения на большом сопротивлении *R*.

Рис. 181.

Это падение напряжения регистрируется после усиления соответствующими устройствами.

Для того чтобы счетчик отвечал своему назначению, необходимо быстрое гашение вызванного частицей разряда. Вследствие какой причины происходит гашение разряда в схеме рис. 181?

528. К источнику высокого напряжения через сопротивление $R = 10^3$ ом подключен конденсатор емкостью $C = 8 \text{ см}^2$ с расстоянием между пластинами $d = 3 \text{ мм}$ (рис. 182).

Воздух в пространстве между пластинами конденсатора ионизируется рентгеновскими лучами так, что в 1 см^3 образуется $n = 10^4$ пар ионов в секунду. Заряд каждого иона равен заряду электрона.

Найти падение напряжения на сопротивлении *R*, считая, что все ионы достигают пластин конденсатора, не успевая рекомбинировать.

529. Что произойдет с горящей электрической дугой, если сильно охладить отрицательный угол? Что будет при охлаждении положительного угла?

530. Почему на электрическом угле с терморегулятором имеется надпись: «только для переменного тока»?

531. Какую энергию в эргах приобретет электрон, профли в вакуме разность потенциалов $V = 1 \text{ в}$? (В атомной физике эта энергия принимается за единицу электрон-вольт.)

532. Сошпадает ли траектория движения заряженной частицы в электростатическом поле с силовой линией? Нарисовать (приблизительно) график зависимости тока через гальванометр от времени.

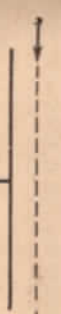


Рис. 183.

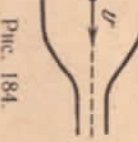


Рис. 184.

534. По металлической трубе переменного сечения движется электрон (рис. 184). Как будет меняться его скорость при приближении к сужению трубы?

535. Между пятью накала, испускающей электроны, и проводящим кольцом создана разность потенциалов U (рис. 185). Электроны движутся ускоренно вдоль оси кольца. При этом их кинетическая энергия увеличивается, в то время как батарея, созданная разностью потенциалов U , не совершает работы, так как ток в цепи не идет. (Предполагается, что электроны не попадают на кольцо.)

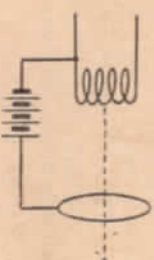


Рис. 185.

Как это согласовать с законом сохранения энергии?

536. По тонкому кольцу радиуса R равномерно распределен заряд $+q$. Найти скорость отрицательного точечного

заряда $-q$ в момент прохождения через центр O кольца, если заряд $-q$ первоначально находился в состоянии покоя в достаточно удаленной от кольца точке A на его оси (рис. 186). Масса заряда $-q$ равна m . Кольцо неподвижно.

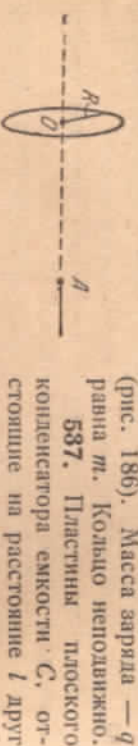


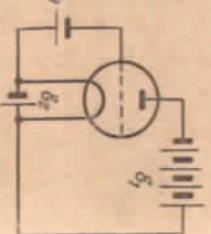
Рис. 186.

Электрон влетел в середину конденсатора со скоростью v_0 , направленной параллельно пластинам. Чему равна скорость электрона на достаточно большом расстоянии от конденсатора?

Каков характер изменения скорости электрона (по абсолютной величине) при его движении внутри и вне конденсатора? Рассмотреть три случая:

- 1) электрон в начальный момент находится на равном расстоянии от пластин конденсатора;
- 2) электрон находится в начальный момент на расстоянии $l/4$ от положительной пластины;
- 3) на расстоянии $l/4$ от отрицательной пластины.

538. Триод прямого накала включен в цепь, изображенную на рис. 187. Э. д. с. анодной батареи $\mathcal{E}_1 = 80 \text{ в}$, батареи накала $\mathcal{E}_2 = 6 \text{ в}$ и сеточной батареи $\mathcal{E}_3 = 2 \text{ в}$.



С какими энергиями будут электрона достичь анода лампы? Как изменится энергия электронов, достигающих анода, если э. д. с. \mathcal{E}_3 будет изменяться по величине или даже переменят знак?

Анодный ток считать малым по сравнению с током накала.

539. Анодный ток некоторой двухэлектродной лампы в определенном интервале напряжения может быть связан с разностью потенциалов U_a между электродами уравнением $I_a = AU_a + BU_a^2$. Найди анодный ток, если такая лампа включена последовательно с сопротивлением $R_a = 20 \text{ к}\Omega$ в цепь батареи с э. д. с. $\mathcal{E} = 120 \text{ в}$. Для данной лампы $A = 0,15 \text{ мв/в}$, $B = 0,005 \text{ мв/в}^2$. Внутренним сопротивлением батареи пренебречь.

540. Две электронные лампы соединены параллельно и включены в цепь батареи с э. д. с. $\mathcal{E} = 300 \text{ в}$ последовательно с сопротивлением $R = 4 \text{ к}\Omega$ (рис. 188). Зависимость анидного тока I от анодного напряжения U_a для каждой из ламп может быть приближенно представлена в виде $I = AU_a + BU_a^2$, где для одной лампы $A_1 = 0,07 \text{ мв/в}$, $B_1 = 0,005 \text{ мв/в}^2$. Для другой лампы $A_2 = 0,03 \text{ мв/в}$, $B_2 = 0,01 \text{ мв/в}^2$.

Определить анодные токи ламп. Внутренним сопротивлением батареи можно пренебречь.

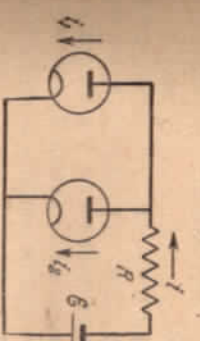


Рис. 188.

541. Электронная лампа (один из триодов БН8С) включена в цепь батареи с э. д. с. $\mathcal{E} = 250 \text{ в}$ последовательно с сопротивлением $R = 10^4 \text{ ом}$ (рис. 189).

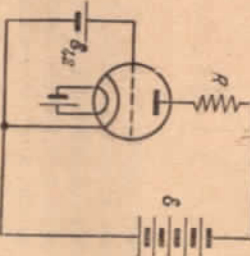


Рис. 189.

Сетка лампы соединена с отрицательным полюсом батареи ($\mathcal{E}_1 = 3 \text{ в}$), а катод с положительным ее полюсом. Падение напряжения на сопротивлении R при этом достигает $U_1 = 95 \text{ в}$.

Если же в цепи сетки стоит батарейка с $\mathcal{E}_2 = 6 \text{ в}$, то разность потенциалов на сопротивлении R будет $U_2 = 60 \text{ в}$. Какова будет разность потенциалов между анодом и катодом лампы, если замкнуть накоротко сетку и катод?

В рассматриваемой области изменения потенциала сетки считать сеточную характеристику лампы прямой линией.

542. Три одинаковых диода, анодные характеристики которых могут быть приближенно представлены отрезками прямых:

$$I_a = 0 \text{ при } U_a < 0,$$

$$I_a = kU_a \text{ при } U_a > 0,$$

где $k = 0,12 \text{ мв/в}$, включены в цепь, как показано на рис. 190.

Начертить график зависимости тока I в цепи от напряжения V , если $\xi_1 = 2 \text{ в}$, $\xi_2 = 5 \text{ в}$, $\xi_3 = 7 \text{ в}$, а V может меняться от -10 в до $+10 \text{ в}$.

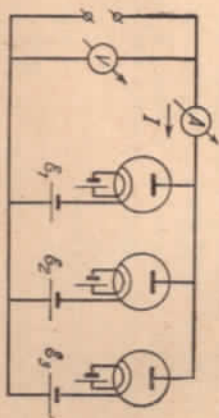


Рис. 190.

543. Вычислить чувствительность электронно-лучевой трубки к напряжению, т. е. величину отклонения пяты на экране, вызванного разностью потенциалов $V = 1 \text{ в}$ на управляющих пластинках. Длина управляющих пластин l , расстояние между ними d , расстояние от конца пластины до экрана L и ускоряющая разность потенциалов U_0 .

§ 22. Магнитное поле тока. Действие магнитного поля на ток и движущиеся заряды

544. Определить размерность и величину коэффициента k выражении для напряженности магнитного поля соленоида

$$H = k \cdot 4\pi l \frac{n}{l}, \text{ если } H \text{ измерено}$$

в эрстедах, а I в системе единиц СГСЭ.

Размерность эрстеда совпадает с размерностью напряженности электрического поля в системе СГСЭ.

545. На тонкое железное кольцо радиуса $R = 10 \text{ см}$ намотаны две обмотки, которые соединены так, как показано на рис. 191. Первая обмотка имеет 2000 витков, а вторая 1000 витков. Найти напряженность магнитного поля внутри кольца, если по обмоткам течет ток $I = 10 \text{ а}$.

546. По бесконечно длинному проводнику ABC , изогнутому под прямым углом, течет ток I (рис. 192),

112

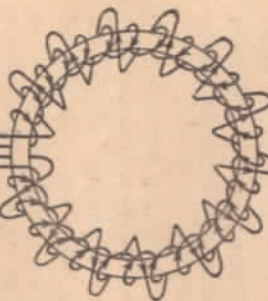


Рис. 191.

Во сколько раз изменится напряженность магнитного поля в точке M , если к точке B присоединить бесконечно длинный прямой провод BD так, чтобы ток I разветвлялся в точке B на две равные части, а ток в проводнике AB остался бы прежним?

Указание. Принять во внимание, что напряженность магнитного поля, созданного в некоторой точке малым элементом тока, перпендикулярна плоскости, содержащей этот

элемент и радиус-вектор, проходящий от элемента тока в данную точку.

547. По проводнику, расположенному в однородной плоскости, как изображено на рис. 193, течет ток. Найти напряженность магнитного поля в произвольной точке линии AB , являющейся осью симметрии проводника.

548. Как расположится магнитная стрелка, помещенная в центре однослоистого торOIDального соленоида, по которому течет постоянный ток?

549. По бесконечной прямолинейной тонкостенной трубе течет ток I . Учитывая, что напряженность магнитного поля бесконечного прямого провода на расстоянии r от него пропорциональна величине I/r , определить напряженность магнитного поля в произвольной точке внутри трубы.

550. Учитывая, что напряженность магнитного поля внутри длинного цилиндрического проводника $H = k \cdot 2\pi J r$, где J — плотность тока, а r — расстояние от оси проводника, определить напряженность поля в проводильной точке длинной цилиндрической полости внутри проводника (рис. 194), по которой течет ток плотности J . Ось полости параллельна оси проводника и находится на расстоянии d от нее.

8 Б. Б. Бухштаб и др.

113

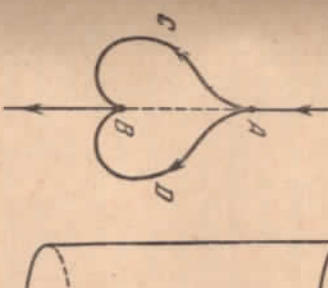


Рис. 193.

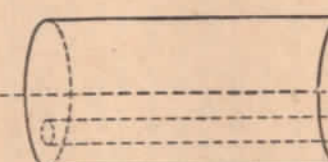


Рис. 194.

551. Начертить распределение силовых линий магнитного поля в полости цилиндрического проводника, описанного в задаче 550.

552. Определить размерность и величину коэффициента k в выражении для силы, действующей со стороны магнитного поля на ток $F = kHIl \sin \varphi$, если H измерено в эрстедах, а I — в системе единиц СГСЭ.

553. Будет ли плотность постоянного тока, текущего по цилиндрическому проводнику, постоянной по всему сечению проводника?

554. Громотоул был соединен с землей круглой медной трубочкой. После удара молнии было обнаружено, что трубочка превратилась в круглый стержень. Объяснить, в чем причина этого явления.

555. По толстой обмотке соленоида кратковременно пропускают очень большой ток. Описать качественно характер деформации обмотки.

556. Магнитная система гальванометра состоит из магнита, полюсных наконечников A , B и цилиндра из мягкого железа (рис. 195). Магнитные силовые линии в зазоре между наконечниками и цилиндром перпендикулярны поверхности цилиндра. Напряженность магнитного поля

равна H . В зазоре на оси O помещена прямоугольная катушка, имеющая n витков. Стороны катушки параллельны диаметру и образующей цилиндра. Площадь каждого витка S . Коси катушки прикреплен конец спиральной пружины, так что при повороте катушки на угол α пружина вследствие деформации создает прашащий момент ka , стремящийся повернуть катушку в положение равновесия. Определить, на какой угол повернется катушка, если по ней течет ток I .

557. По проволочному кольцу радиуса $R = 5$ см, подвешенному на двух гибких проводниках, течет ток $I = 1$ а. Кольцо помещено в однородное магнитное поле напряженности $H = 10$ э, силовые линии которого горизонтальны. С какой силой будет растянуто кольцо?

114

558. Прямоугольное кольцо радиуса $R = 4$ см находится в неоднородном магнитном поле, силовые линии которого в точках пересечения с кольцом образуют угол $\alpha = 10^\circ$ с нормалью к плоскости кольца (рис. 196). Напряженность магнитного поля, действующего на кольцо, $H = 100$ э. По кольцу течет ток силой $I = 5$ а. С какой силой магнитное поле действует на кольцо?

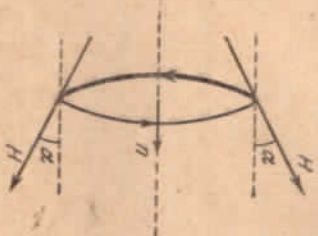


Рис. 196.

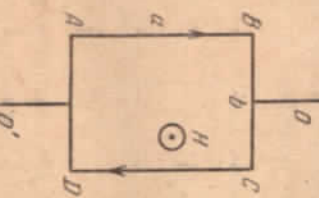


Рис. 197.

559. Прямоугольный контур $ABCD$ со сторонами a и b , находящийся в однородном магнитном поле напряженности H , может вращаться вокруг оси OO' (рис. 197). По контуру все время течет постоянный ток I .

Определить работу, совершаемую магнитным полем при повороте контура на 180° , если в начале плоскость контура была перпендикулярна магнитному полю и расположена так, как показано на рис. 197.

560. Проводник находится в магнитном поле, напряженность которого H составляет угол α с проводником. На участок проводника длины l , когда по нему течет ток силы I , как известно, действует сила $F = kHIl \sin \alpha$. Если F выражать в динах, H в эрстедах, I в амперах, l в сантиметрах, то $k = 0,1$.

Эта сила представляет собой разуливающую всех сил, действующих на движущиеся электроны, которые в данный момент времени находятся в объеме участка проводника длины l . Найти величину силы, с которой магнитное поле действует на один электрон.

5*

115

561. Может ли не зависящее от времени магнитное поле изменить величину скорости заряженной частицы?

562. Как будет двигаться в однородном магнитном поле электрон, если в начальный момент его скорость перпендикулярна силовым линиям поля?

563. Как будет двигаться в однородном магнитном поле электрон, если в начальный момент его скорость составляет угол α с силовыми линиями поля?

564. По металлической ленте ширины $AB = a$ течет ток I . Лента помещена в магнитное поле, напряженность H которого перпендикулярна ленте (рис. 198).

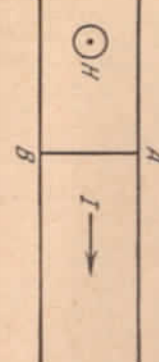


Рис. 198.

если $H = 10\ 000$ э, ширина ленты $a = 1$ см, толщина ленты $d = 0,1$ мм и сила тока $I = 10$ а. Число электропроводов в единице объема $n = 9 \cdot 10^{21} \frac{1}{cm^3}$.

565. Определить численное значение разности потенциалов между точками A и B ленты.

566. Незаряженный металлический брускок представляет собой прямоугольный параллелепипед со сторонами a , b , c ($a \gg c$, $b \gg c$). Брускок движется в магнитном поле в направлении сторон a со скоростью v . Напряженность магнитного поля H перпендикулярия основанию бруска со сторонами a , c (рис. 199).

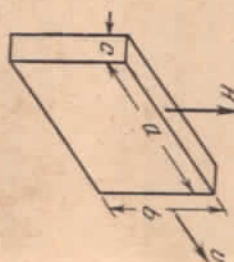


Рис. 199.

Определить напряженность электрического поля в бруске и плотность электрических зарядов на боковых поверхностях параллелепипеда, образованных сторонами a , b .

567. Незаряженный металлический цилиндр радиуса r вращается в магнитном поле с угловой скоростью ω вокруг своей оси. Напряженность магнитного поля направлена вдоль оси цилиндра.

Каково должно быть значение напряженности магнитного поля, чтобы в цилиндре не возникало электростатическое поле?

§ 23. Электромагнитная индукция. Переменный ток

568. Определить направление напряженности электрического поля в витке, помещенном в магнитном поле (рис. 200), которое направлено от нас перпендикулярно плоскости витка. Напряженность магнитного поля с течением времени увеличивается.

569. Прямоугольный контур $ABCD$ перемещается поступательно в магнитном поле тока, текущего по прямолинейному длинному проводнику OQ' (рис. 201).

Определить направление тока, индуцированного в контуре, если виток удаляется от провода.

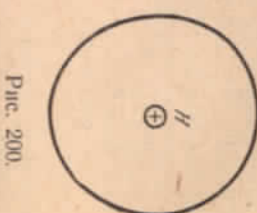


Рис. 200.

570. Через катушку, соединенную с батареей и амперметром, пролетает немагнитичный железный стержень (рис. 202).

Начертить примерный график изменения тока в катушке со временем при пролете стержня.

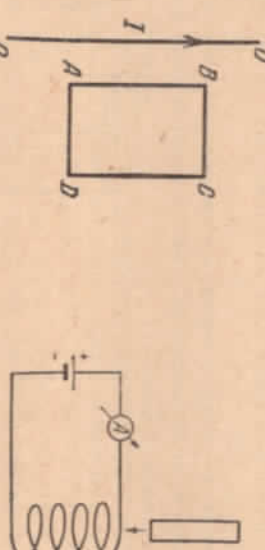


Рис. 201.

Рис. 202.

571. Ток в катушке нарастает прямо пропорционально времени.

Каков характер зависимости тока от времени в другой катушке, индуктивно связанной с первой?

572. Изменится ли результат задачи 571, если во вторую катушку вставить железный сердечник?

573. Проволочное кольцо радиуса r находится в однородном магнитном поле, напряженность которого перпендикулярия плоскости кольца и меняется с течением времени по закону $H = kt$. Определить напряженность электрического поля в витке.

574. Кольцо прямоугольного сечения (рис. 203) сделано из материала, удельное сопротивление которого ρ . Это кольцо находится в однородном магнитном поле. Напряженность магнитного поля направлена по оси кольца и увеличивается прямо пропорционально времени, $H = kt$.

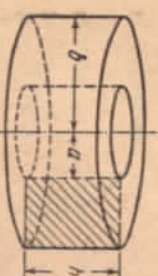


Рис. 203.

Найти силу тока, индуцируемого в кольце,

575. Катушка из n витков, площадь каждого из которых равна S , присоединена к баллистическому гальванометру. (Баллистический гальваниометр измеряет количество прошедшего через него электричества.) Сопротивление всей цепи R . Вначале катушка находилась между полюсами магнита в области, где магнитное поле H однородно и напряженность его перпендикулярна плоскости витков. Затем катушку переместили в пространство, где магнитное поле отсутствует. Чему равно количество электричества, прошедшего через гальванометр? (Ответ выразить в кулонах.)

576. Определить силу тока в проводниках цепи, изображенной на рис. 204, если напряженность однородного магнитного поля перпендикулярна плоскости чертежа и изменяется во времени по закону $H = kt$. Сопротивление единицы длины проводников равно r .

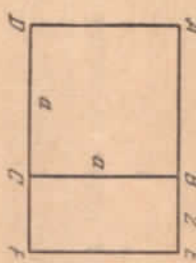


Рис. 204.

577. Обмотка лабораторного регулировочного ампертескофера-



Рис. 205.

Чему равна разность потенциалов между точками A и B ? Чему будет показывать электрометр, присоединенный к этим точкам?

579. Переменное магнитное поле создает в колпаком проводнике $ADBKA$ постоянную электродвижущую силу E (см. задачу 578). Сопротивления проводников ADB , AKB и ACB (рис. 207) равны соответственно R_1 , R_2 и R_3 .

Какую силу тока будет показывать амперметр C ? Магнитное поле сосредоточено у оси колпачевого проводника.

580. Сопротивление проводника ACB (см. задачу 579) $R_3 = 0$. Найти силы токов I_1 , I_2 и I_3 и разность потенциолов $U^A - U^B$.

581. Медицинский прибор для извлечения ионородных тел из глаза представляет собой стационарный постоянный магнит или электромагнит. Он позволяет не прикасаясь к глазу, удалять из него железные и стальные частицы (опилки, стружки и т. п.).

Какого рода ток должен протекать по электромагниту, чтобы, не прикасаясь к глазу, извлекать из него металлические предметы из неферромагнитных материалов (алюминия, меди и т. д.).

- 1) набирая сердечник из тонких колец, положенных стопкой одно на другое;
- 2) свертывая в рулон длинную ленту, имеющую ширину h ;
- 3) собирая сердечник из прямоугольных пластин размером $l \times h$, расположив их вдоль радиусов цилиндра. Какой способ лучше?

578. В однородном круглом проволочном кольце создан постоянный индукционный ток I . Переменное магнитное поле, создающее этот ток, перпендикулярно плоскости кольца, сосредоточено вблизи его оси и имеет ось симметрии, проходящую через центр кольца (рис. 206).

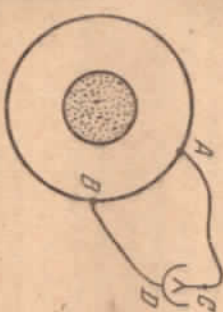


Рис. 206.

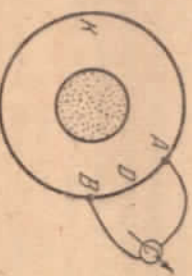


Рис. 207.

тора (ЛАТР) намотана на железном сердечнике, имеющем форму прямоугольного торона (рис. 205). Для защиты от вихревых токов (токов Фуко) сердечник набирают из тонких железных пластин, изолированных друг от друга слоем лака. Это можно сделать различными способами:

582. В однородном магнитном поле находится проволочное кольцо, закрепленное на оси, проходящей через его центр и перпендикулярной силовым линиям поля (рис. 208). Напряженность поля начинает возрастать.

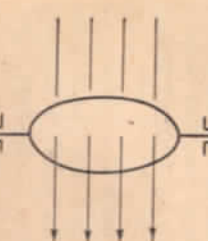


Рис. 208.

На фиг. возможные положения равновесия кольца и указать положение устойчивого равновесия.

Что изменится, если напряженность поля будет убывать?

583. По двум вертикальным рейкам AB и CD , соединенным сопротивлением R , может без трения скользить проводник, длина которого l и масса m . Система находится в однородном магнитном поле, напряженность которого H перпендикулярна плоскости рисунка (рис. 209).

Как будет двигаться подвижный проводник в поле сил тяжести, если преобречь сопротивлением самого проводника и реек?

584. По двум металлическим параллельным рейкам, расположенным в горизонтальной плоскости и замкнутым на конденсатор C , может без трения двигаться проводник массы m и длины l . Вся система находится в однородном магнитном поле, направленность которого H направлена вверх. К середине проводника перпендикулярно к нему и параллельно рейкам приложена сила F (рис. 210).

Определить ускорение подвижного проводника, если сопротивление реек, подводящих проводов и подвижного проводника равно нулю. В какие виды энергии превращается работа силы F ?

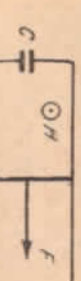


Рис. 210.

Считать, что в начальный момент скорости проводника равна нулю.

585. Рассматривая перемещение

перпендикулярной к проводу, и используя закон сохранения энергии, показать, что поле длинного прямого тока убывает с расстоянием от провода, как $1/R$.

586. На цилиндр из немагнитного материала намотано N витков проволоки (соленоид). Радиус цилиндра r , а длина l ($r \ll l$). Сопротивление проволоки R .

Каково должно быть напряжение на концах соленоида, чтобы токущий через соленоид ток возрастал прямо пропорционально времени, т. е. $I = kt$?

587. Соленоид (см. задачу 586) присоединен к батарее, э. д. с. которой равна \mathcal{E} . В момент времени $t = 0$ замыкают ключ.

Чему будет равна сила тока, текущего в цепи соленоида, если преобречь сопротивлением R соленоида, батареи и полюсах проподов?

588. Подсчитать работу батареи (см. задачу 587) за время τ . В какой вид энергии превращается эта работа?

589. Кольцо из сверхпроводника помещено в однородное магнитное поле, напряженность которого нарастает от нуля до H_0 . Плоскость кольца перпендикулярна силовым линиям поля.

Определить силу индукционного тока, возникающего в кольце. Радиус кольца r , индуктивность L .

590. В однородном магнитном поле напряженностью H находится сверхпроводящее кольцо радиуса r . Силовые линии поля перпендикулярны плоскости кольца. Тока в кольце нет.

На фиг. магнитный поток, пронизывающий кольцо, после того, как магнитное поле будет выключено.

591. На фиг. индуктивность катушки, падающей на железный сердечник, изображенный на рис. 211. Число витков катушки N , площадь поперечного сечения S , периметр сердечника (средняя линия) l и магнитная проницаемость сердечника μ известны.

Указание. Учсть, что напряженность магнитного поля

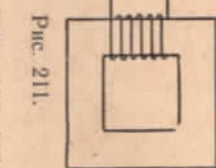


Рис. 211.

погружена в сердечник примерно постоянна и приближенно может быть выражена формулой $H = 0.4\pi \frac{N}{l} I$.

592. Оценить приближенно коэффициент взаимной индукции обмоток трансформатора. Обмотки рассматривать как катушки одинакового поперечного сечения. Рассеянием силовых линий магнитного поля преобречь.

Указание. Коэффициент взаимной индукции двух контуров называется отношение потока магнитной индукции Φ , созданного магнитным полем тока первого контура через площадь, ограниченную вторым контуром, к величине этого тока: $M = \frac{\Phi}{I}$.

593. Перел полосом электромагнита на длиной пяти подвешен легкий алюминиевый диск (рис. 212).

Что проходит с диском, если по обмотке электромагнита пропустить переменный ток? Сопротивление диска считать малым.

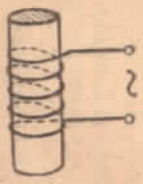


Рис. 212.

594. При параллельном соединении конденсатора, несущего заряд Q , с неизраженным конденсатором такой же ёмкости энергия электрического поля системы уменьшается в два раза (см. задачу 441).

Показать прямым расчетом, не прибегая к закону сохранения энергии, что количество выделенного в проводах тепла $W = \frac{W_0}{2}$, где $W_0 = \frac{Q^2}{2C}$ — начальная энергия системы.

595. Найти эффективную величину переменного тока, изменившегося по закону:

$$I = I_0 \quad \text{при } 0 < t < \frac{T}{8};$$

$$I = 0 \quad \text{при } \frac{T}{8} < t < \frac{T}{2};$$

$$I = -I_0 \quad \text{при } \frac{T}{2} < t < \frac{5}{8}T;$$

$$I = 0 \quad \text{при } \frac{5}{8}T < t < T;$$

$$I = I_0 \quad \text{при } T < t < \frac{9}{8}T$$

и т. д. (рис. 213).

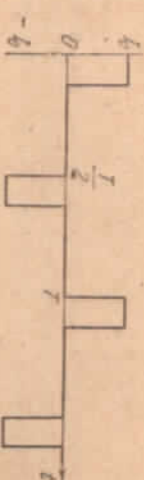


Рис. 213.

596. Амперметр постоянного тока и тепловой амперметр переменного тока включены в цепь последовательно. Когда по цепи пропускают постоянный ток, амперметр постоянного тока показывает $I_1 = 6 \text{ а}$. Когда по цепи пропускают пере-

менный синусоидальный ток, амперметр переменного тока показывает $I_2 = 8 \text{ а}$.

Что показет каждый из амперметров, если по цепи одновременно протекают и постоянный, и переменный токи?

597. По катушке, не имеющей омического сопротивления, протекает переменный синусоидальный ток. Начертить график изменения прохождения тока на напряжение (мгновенной мощности) в зависимости от времени. Объяснить характер кривой.

Чему равна средняя за период мощность, потребляемая катушкой?

598. Лампы дневного света, подобно электрической лампе, падающую вольтамперную характеристику, поэтому для устойчивого горения лампа последовательно с нею в качестве балластного сопротивления включают катушку с большой индуктивностью (дрессель).

Почему не применяют обратное сопротивление, более легкое, чем дроссель?

599. Почему в сетях переменного тока, содержащих большое число электроаппаратов значительной индуктивности (например, дросселей), параллельно этим приборам подключают конденсаторы?

600. а) От середины катушки с железным сердечником (обмотка — толстый медный провод с большим числом витков) сделан отвод C (рис. 214). Междуд точками B и C соединяется постоянная разность потенциалов U_1 .

Найти напряжение U_2 между точками A и B .

б) Между точками B и C приложена переменная разность потенциалов (например, от городской сети) с амплитудой U .

Найти амплитуду U_2 переменной разности потенциалов между точками A и B .

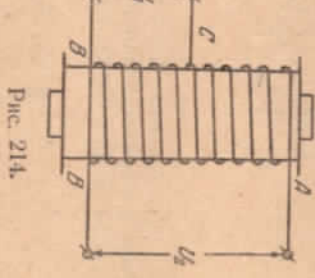


Рис. 214.

ричной обмотке повышающего трансформатора (см. задачу 513) не приводит к большим потерям энергии на выделение тепла в самой обмотке?

602. Показать, что при преобразовании током холостого хода трансформатора и омическим сопротивлением его

обмоток имеет место соотношение $\frac{I_1}{I_2} = \frac{N_2}{N_1}$, где I_1 и I_2 — токи в обмотках, а N_1 и N_2 — числа витков в них.

Обмотки рассматривать как катушки с одинаковыми первичным сечением.

603. На какие приблизительные напряжения должны быть расположены конденсатор C и диод L , если выпрямитель



Рис. 215.

Емкость конденсатора C так велика, что ток I_1 , текущий через сопротивление $R = 5 \text{ кОм}$, можно считать пренебрежимо постоянным ($I = 40 \text{ мА}$).

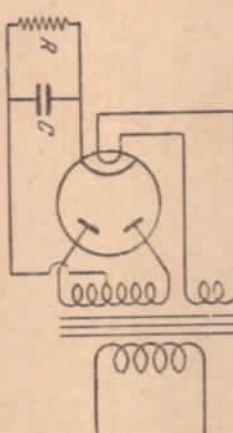


Рис. 216.

Считая, что каждый из диодов совершенно не пропускает ток в обратном направлении, определить, какую долю периода T ток через лампу не идет.

§ 24. Электрические машины

605. Сопротивление в цепи нагрузки генератора переменного тока увеличилось. Как должна измениться мощность двигателя, врашающего генератор, чтобы частота переменного тока осталась прежней?

606. Сила, действующая на движущуюся заряженную частицу со стороны магнитного поля (сила Лоренца), всегда

перпендикулярна скорости. Поэтому эта сила не совершает работы (см. задачу 561).

Почему же в таком случае работает электромотор? Ведь сила, действующая на проводник с током, возникает в результате действия поля на отдельные частицы, движение которых образует ток.

607. Может ли серийный мотор постоянного тока, включенный в сеть с напряжением $U = 120 \text{ в}$, развить мощность $W = 200 \text{ вт}$, если сопротивление его обмоток $R = 20 \text{ ом}$?

608. Определить коэффициент полезного действия серийного и шунтового моторов при условии, что развиваемая ими мощность максимальна.

Напряжение на зажимах U , сопротивления обмоток ротора R_1 и статора R_2 одинаковы у обоих моторов и предполагаются известными.

609. Ротор модели мотора постоянного тока состоит из одного витка, имеющего форму прямоугольника. Напряженность магнитного поля H , создаваемая постоянным

магнитом (слева — север, справа — юг), направлена по радиусу, так как зазор между полюсами наконечниками и железным цилиндром A очень мал (рис. 217).

* К витку, площадь которого S и сопротивление R , приложена разность потенциалов U .

Определить мощность

мотора, как функцию угловой скорости ω . При какой угловой скорости ω мощность будет максимальной? Чему будет равна при этом сила тока?

610. Используя условие предыдущей задачи, определить зависимость вращающего момента M от угловой скорости.

611. Определить характер зависимости мощности модели мотора постоянного тока (см. задачу 609) от напряженности магнитного поля H при заданном числе оборотов. При каком значении H мощность достигает максимального значения?

612. Определить напряженность магнитного поля в модели мотора постоянного тока (см. задачу 609), при которой

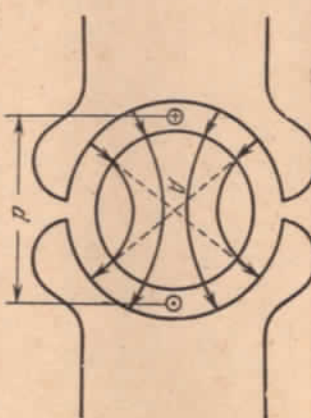


Рис. 217.

вращающий момент M максимален. Число оборотов якоря задано.

613. Шунтовый электромотор постоянного тока при напряжении на зажимах $U = 120 \text{ в}$ развивает механическую мощность $W = 160 \text{ вт}$. Число оборотов в секунду якоря мотора $a = 10 \text{ об/сек}$. Определить максимальное число оборотов мотора при данном напряжении. Сопротивление якоря $R = 20 \text{ ом}$.

614. Шунтовый мотор постоянного тока при напряжении на зажимах $U = 120 \text{ в}$ имеет угловую скорость вращения якоря $\omega = 100 \text{ рад/сек}$. Сопротивление обмотки якоря мотора $R = 20 \text{ ом}$. Какую электродвижущую силу разовьет этот мотор, используемый как генератор, если его вращать с той же угловой скоростью? Напряжение на обмотках статора поддерживается постоянным и равным 120 в .

Механический момент на валу двигателя при указанной скорости $M = 1,6 \cdot 10^7 \text{ дин} \cdot \text{см}$.

615. Как изменится число n оборотов шунтового мотора при увеличении силы тока в обмотках статора, если напряжение на якоре U и приложенный к оси якоря механический момент M остаются постоянными?

616. Какими параметрами сети определяется мощность серийного электромотора постоянного тока, включенного в эту сеть, если бы обмотка его была выполнена из сверхпроводника?

617. Доказать, что при соединении обмоток генератора трехфазного тока звезда (рис. 218) напряжения между линейными проводами U_{12}^L , U_{13}^L и U_{23}^L в $\sqrt{3}$ раз большие фазных напряжений U_{10} , U_{20} и U_{30} .

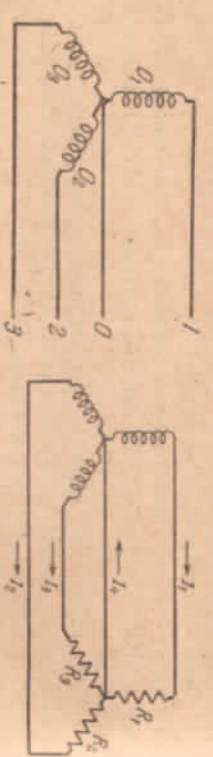


Рис. 218.

Рис. 219.

618. Доказать, что при соединении обмоток генератора трехфазного тока и сопротивлений нагрузки звезда (рис. 219) ток по нулевому проводу I_4 равен нулю, если $R_1 = R_2 = R_3 = R$.

619. Доказать, что если напряженности магнитного поля, создаваемые тремя парами электромагнитов, равны по амплитуде и смешены по фазе на $\frac{2}{3}\pi$ (рис. 220), то результатирующее магнитное поле можно изобразить вектором, вращающимся с постоянной угловой скоростью ω вокруг точки O .

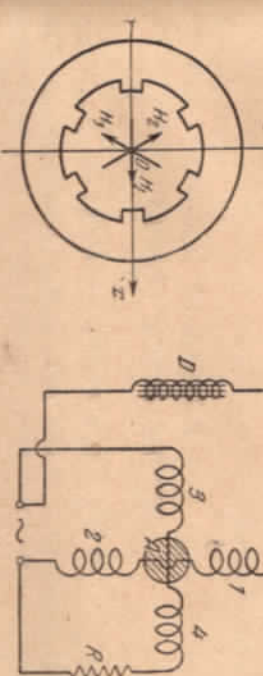


Рис. 220.

Рис. 221.

Каждая пара электромагнитов создает магнитные поля, направленные по соответствующим диаметрам колеса: H_1 , H_2 , H_3 . Электромагниты питаются переменным током частоты ω .

620. Две одинаковые катушки, расположенные взаимно перпендикулярно друг к другу, разделены пополам и включены в цепь по схеме, изображенной на рис. 221.

Индуктивность дросселя D и омическое сопротивление R подобраны так, что сила токов в катушках одинакова. Омические и индуктивные сопротивления катушек много меньше индуктивного сопротивления дросселя. Что произойдет, если в пространство между полосами катушек внести алюминиевый цилиндр A , закрепленный на

ния около вертикальной оси, проходящей через его середину. На одной прямой со стержнем укреплены два больших шара с массами $M = 20$ кг. Расстояние между центрами большого и малого шаров $L = 16$ см (рис. 222).

Вычислить период малых колебаний описанного кругового маятника.

624. Чему равен период колебаний математического маятника, находящегося в вагоне, движущемся горизонтально с ускорением a ?

ГЛАВА IV

КОЛЕБАНИЯ И ВОЛНЫ

§ 25. Механические колебания

621. Груз на длинной нити может совершать колебания в вертикальной плоскости, отклоняясь на угол α от вертикали (математический маятник). Этот же груз может вращаться по окружности, так что нить описывает конус (конический маятник).

В каком случае напряжение нити, отклоненной на угол α от вертикали, будет больше?

622. Часы, период колебаний маятника которых равен 1 сек., на поверхности земли идут точно.

В каком случае эти часы больше отстанут за сутки: если их поднять на высоту 200 м или же опустить в шахту на глубину 200 м?

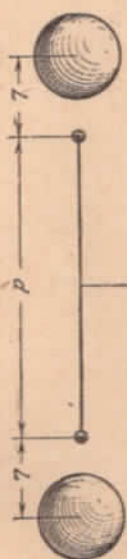


Рис. 222.

623. На концах невесомого стержня длиной $d = 1$ м укреплены два маленьких шарика с массами $m = 1$ г. Стержень подведен на шнуре так, что может вращаться без тре-

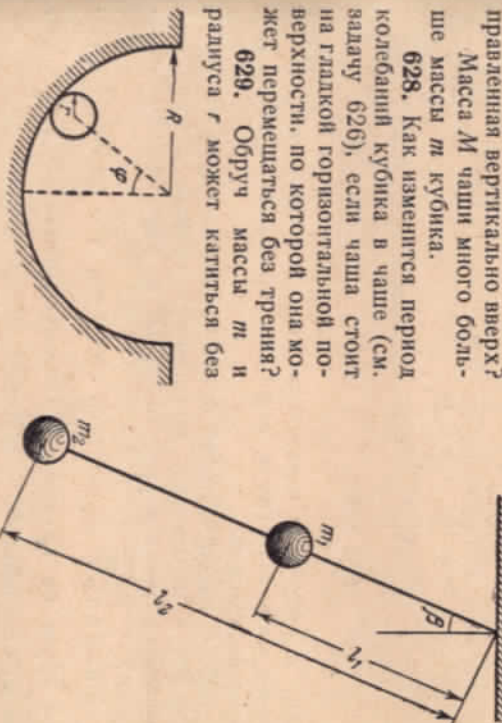


Рис. 224.

проскальзывания по внутренней поверхности цилиндра радиуса R (рис. 223). Определить период движения центра обруча, считая угол φ малым.

630. Найти период колебания маятника, изображенного на рис. 224. Стержень, на котором помещены массы m_1 и m_2 , считать невесомым.

631. Определить период колебаний маятника, состоящего из тонкого однородного полукольца радиуса r , подвешенного на невесомых нитях OA и OB , как показано на рис. 225.

632. На рис. 226 изображена механическая система, состоящая из груза массы m , пружины A с коэффициентом упругости k и блока массы M . Груз посредством

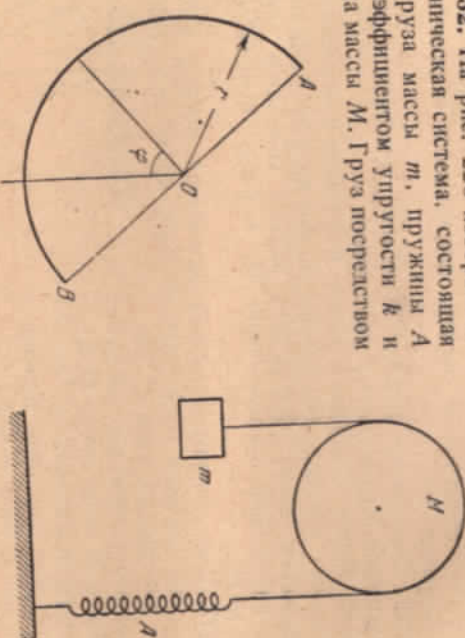


Рис. 226.

нити, перекинутой через блок, связан с пружиной. Найти период колебаний груза, если блок представляет собой тонкий стальной цилиндр.

633. С какой частотой будет колебаться бутылка массы $m = 200 \text{ г}$ и площасти поперечного сечения $S = 50 \text{ см}^2$, плавающая на поверхности воды в вертикальном положении?

Указание. Принять во внимание, что период колебаний груза на пружине дается выражением $T = 2\pi\sqrt{\frac{m}{k}}$,

где k — коэффициент упругости пружины.

634. В сообщающиеся сосуды цилиндрической формы налила ртуть. Найти период колебаний ртути, если площадь поперечного сечения каждого сосуда $S = 0,3 \text{ см}^2$, а масса ртути $m = 484 \text{ г}$. Удельный вес ртути $d = 13,6 \text{ Г/см}^3$.

635. Представим себе шахту, пронизывающую земной шар по одному из его диаметров,

За какое время тело, брошенное в эту шахту, достигнет центра Земли? Сопротивление движению отсутствует.

636. Закрепленная на концах струна растянута с силой f к середине струны прикреплен точечный груз массы m



Рис. 227.

(рис. 227). Определить период малых колебаний прикрепленного груза. Массой струны можно пренебречь, силу тяжести не учитывать.

637. Как изменится период вертикальных колебаний груза, пущенного на двух одинаковых пружинах, если последовательное соединение пружин заменить параллельным?

638. Два математических маятника длины l каждая связаны невесомой пружиной так, как указано на рис. 228.



Рис. 228.

Коэффициент упругости пружины k . При равновесии маятники занимают вертикальное положение, и пружина не деформирована. Определить частоты малых колебаний двух связанных маятников в случаях, когда маятники отклонены в одну плоскость на разные углы в одну сторону (动摇 in phase) и в разные стороны (动摇 in opposition).

639. Для того чтобы удержать в равновесии открытую дверь в вестибюле метро (дверь открывается в обе стороны и возвращается в положение равновесия пружинами), нужно приложить к ручке двери силу 5 кГ.

Можно ли открыть дверь силою в 10 Г, приложенной к той же ручке? Треним в петях двери можно пренебречь.

640. С невесомым блоком радиуса r жестко скреплен невесомый стержень длины L . На конце стержня находится масса m (рис. 229). На блок намотана нить, к свободному концу которой прикреплена масса M . При каком условии движение системы будет носить колебательный характер, если в начальный момент угол α между стержнем и вертикалью равен нулю?

§ 26. Электрические колебания

641. Для чего в телефонной трубке нужен постоянный магнит? Почему напряженность магнитного поля должна быть больше максимальной напряженности магнитного поля, создаваемого током, проходящим по обмотке катушки телефона?

642. Найти частоту собственных колебаний в контуре, состоящем из соленоида длины $l = 3 \text{ см}$, площади поперечного сечения $S_1 = 1 \text{ см}^2$ и плоского конденсатора с площадью пластин $S_2 = 30 \text{ см}^2$ и расстоянием между ними $d = 0,1 \text{ см}$. Число витков соленоида $N = 1000$.

643. Электрический контур состоит из конденсатора постоянной емкости и катушки, в которую может вливаться сердечник. Один сердечник спрессован из порошка магнитного соединения железа (феррита) и является изолитором. Другой сердечник изготовлен из меди.

Как изменится частота собственных колебаний контура, если в катушку ввинтить а) медный сердечник, б) сердечник из феррита?

644. Конденсаторы, о которых идет речь в задаче 594, соединены сверхпроводником. Выделения тепла не происходят.

дит. Как в этом случае качественно объяснить убыль энергии электрического поля?

645. На вертикально отклоняющие пластины осциллографа подано напряжение $V_1 = V_{10} \cos \omega t$, а на горизонтально отклоняющие — напряжение $V_2 = V_{20} \cos (\omega t - \varphi)$.

Найти траекторию электронного луча на экране осциллографа при разности фаз между напряжением на пластинах $\varphi_1 = \frac{\pi}{2}$ и $\varphi_2 = \pi$.

646. На рис. 230 изображена схема, состоящая из батареи E , неоновой лампы N , конденсатора C и сопротивления R . Характеристика неоновой лампы (зависимость тока I в лампе от напряжения) имеет вид, изображенный на

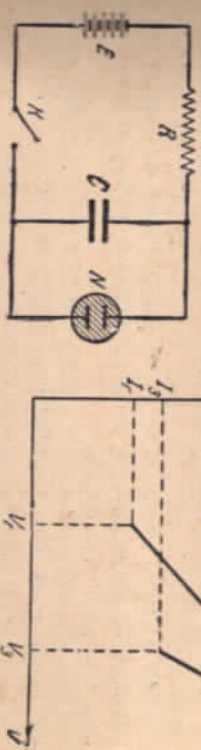


Рис. 230.

Рис. 231.

рис. 231. При малых напряжениях ток через лампу не идет. Когда потенциал на лампе достигает величины V_s (погешчала зажигания), лампа вспыхивает, ток скачком достигает конечной величины I_s и в дальнейшем растет пропорционально V . При уменьшении напряжения убывание тока происходит медленнее, чем происходило возрастание. Лампа гаснет при потенциале гашения V_g .

Начертить примерную зависимость изменения напряжения на конденсаторе от времени при замыкании ключа K .

647. Как будет изменяться период релаксационных колебаний в схеме с неоновой лампой (см. задачу 646) при изменении емкости конденсатора C и сопротивления R ?

648. Входящий в колебательный контур плоский конденсатор таков, что его пластины могут перемещаться друг относительно друга. Каким образом посредством перемещения пластин осуществить параметрическую раскачуку контура?

§ 27. Волны

649. Тонкую струну заменили струной из того же материала, но имеющей вдвое больший диаметр. Во сколько раз нужно изменить натяжение струны, чтобы частота колебаний струны не изменилась?

650. Найти собственные частоты колебаний стальной струны длины $l = 50 \text{ см}$, диаметра $d = 1 \text{ мм}$, если натяжение струны $T = 2450 \text{ дин}$. Плотность стали $\rho = 7,8 \text{ г/см}^3$.

651. Найти собственные частоты колебаний воздушного столба в закрытой с обеих концов трубе, имеющей длину $l = 3,4 \text{ м}$.

652. Над цилиндрическим сосудом высотой 1 м звучит камертон, имеющий собственную частоту колебаний $\nu = 340 \text{ сек}^{-1}$.

В сосуд медленно наливают воду. При каких положениях уровня воды в сосуде звучание камертона значительно усиливается?

653. Какую форму имеет фронт удающейся волны, волнующейся в воздухе при полете пули со скоростью, превышающей скорость звука?

654. Реактивный самолет пролетел со скоростью 500 м/сек на расстоянии 6 км от человека. На каком расстоянии от человека был самолет, когда человек услышал его звук?

655. Известно, что если источник звука и человек находятся примерно на одиной высоте, то в направлении ветра звук слышен лучше, чем в противоположном. Как объяснить это явление?

656. Почему устойчивый прием телевизионной передачи возможен только в пределах прямой видимости?

657. Радиолокатор работает в импульсном режиме. Частота повторения импульсов $f = 1700 \text{ герц}$, длительность импульса $\tau = 0,8 \text{ миксек}$. Найти максимальную и минимальную дальность обнаружения цели данным радиолокатором.

658. Антenna телевизора (пункт С на рис. 232) наряду с волной, идущей непосредственно от передающей станции (пункт А), принимает волну, отраженную от железной крыши здания (пункт В).

Вследствие этого изображение двоятся. На сколько сантиметров сдвигнуты изображения друг относительно друга, если антenna и крыша здания расположены на расстояниях, указанных на рис. 232?

Ширина экрана телевизора $l = 50 \text{ см}$.

Указание. Учесть, что изображение в телевизоре разлагается на 625 строк и в секунду передается 25 кадров.

659. Выбрасыватель, имеющий длину $l = 0,5 \text{ м}$, погружен в сосуд с керосином ($\epsilon = 2$). Чему равна в пустоте (по выходе из сосуда) длина электромагнитной волны, излученной выбрасывателем?

660. На рис. 233 изображена приемная антenna телевизора. Что можно сказать об ориентации плоскости колебаний магнитного вектора волны, идущей из телевизора?

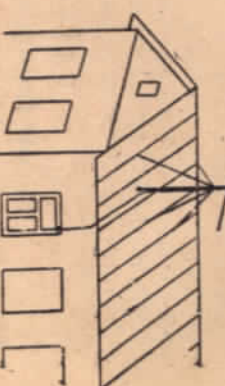


Рис. 233.

ГЛАВА V

ГЕОМЕТРИЧЕСКАЯ ОПТИКА

§ 28. Фотометрия

661. Круглый зал диаметром $D = 30$ м освещается лампой, укрепленной в центре потолка. Найти высоту h зала, если известно, что наименьшая освещенность стены зала в два раза больше наименьшей освещенности пола.

662. На высоте $H = 2$ м над серединой круглого стола диаметром $D = 3$ м висит лампа в $I_1 = 100$ свечей. Ее заменили лампой в $I_2 = 25$ свечей, изменив расстояние до стола так, что освещенность середины стола осталась прежней.

663. В вершинах равнобедренного прямоугольного треугольника расположены источники света S_1 и S_2 равной силы (рис. 234).

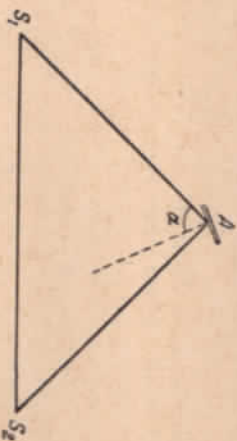


Рис. 234.

Как следует расположить маленькую пластинку A , чтобы освещенность ее была максимальна?

Сторона треугольника $AS_1 = AS_2 = a$.

664. При определении силы света некоторого источника попытка использовать фотометр не увенчалась успехом, так

как сила света была очень велика и уравнять освещенность полей фотометра с помощью эталонного источника не удалось даже при положении исследуемого источника на самом краю оптической скамьи. Тогда воспользовались третьим источником, сила света которого была меньше, чем у исследуемого. Эталонный источник давал ту же освещенность полей фотометра, что и третий, находясь на расстоянии $r_1 = 10$ см от фотометра, в то время как третий находился на расстоянии $r_2 = 50$ см. Затем эталонный источник заменили исследуемым и получили равенство освещеностей при расстояниях от фотометра $r_3 = 40$ см (исследуемый источник) и $r_4 = 10$ см (вспомогательный источник).

Найти, во сколько раз сила света исследуемого источника больше, чем эталонного.

665. Луч карманного фонаря, падая на стену дома, дает светлое пятно радиуса $r = 40$ см. Во сколько раз меньше будет освещенность стены далекого дома, если радиус пятна на ней равен 2 м?

666. Лампа, имеющая силу света $I = 100$ свечей, закреплена на потолке комнаты. Определить суммарный световой поток, падающий на все стены и пол комнаты.

667. Какая часть излученной Солнцем энергии попадает на Землю? Радиус Земли принять равным 6400 км; среднее расстояние от Земли до Солнца равно $149\,000\,000$ км.

668. На оси полого цилиндра радиуса R_1 помещена раскаленная проволочка, длина которой значительно больше высоты цилиндра. Во сколько раз изменится освещенность внутренней поверхности цилиндра, если его радиус станет равным R_2 ($R_2 < R_1$)?

669. На какой высоте следует поместить лампу над центром круглого стола, чтобы на краях стола получить наибольшую освещенность?

670. Почему сквозь папиросную бумагу можно прочесть текст только в том случае, если бумагу непосредственно наложить на страницу книги?

§ 29. Основные законы оптики

671. Почему тень ног на земле резко очерчена, а тень головы более расплывчата? При каких условиях тень всюду будет однаково отчетлива?

672. Как нужно держать карандаш над столом, чтобы получить резко очерченную тень, если источником света

служит закрепленная у потолка лампа левого света, имеющая форму длинной трубки?

673. Осенью, когда деревья потеряли всю листву, часто можно видеть тени от двух параллельных ветвей. Нижняя ветвь дает резкую темную тень, верхняя — более широкую и светлую. Если две такие тени случайно налагаются друг на друга, мы видим яркую светлую полосу посередине более темной тени, так что эта тень выглядит как бы двойной (рис. 235). Как объяснить это явление? (Миниатюр «Свет и цвет в природе».)

674. Лучи Солнца, проходя сквозь маленькое отверстие в листве на дереве, дают на Земле пятно в форме эллипса. Большая и малая оси эллипса равны соответственно $a = 12 \text{ см}$ и $b = 10 \text{ см}$. Какова высота дерева H ? Угловые размеры солнечного диска $\beta = 1/108 \text{ rad}$.

Рис. 235.

675. Перископ имеет две призмы полного внутреннего отражения. Определить отношение ширин этих призм, если расстояние между призмами $AB = L$, а расстояние от нижней призмы до глаза наблюдателя $BC = l$ (рис. 236). Рассматриваемые в перископ предметы находятся на большом от него расстоянии.

676. Какой наименьшей высоты должно быть плоское зеркало, укрепленное вертикально на стене, чтобы человек мог видеть свое отражение в нем во весь рост, не изменения положения головы?

На каком расстоянии от пола должен быть нижний край зеркала?

677. Солнечные лучи, отражаясь от горизонтально лежащего зеркала, падают на вертикальный экран.

На зеркале стоит продолговатый предмет (рис. 237). Описать характер тени на экране.

678. При каких условиях форма солнечного «зайчика» от небольшого зеркала не будет зависеть от формы зеркала?

679. Как отличить на фотографии реальный пейзаж от его отражения в спокойной воде?



Рис. 237.

680. Напиши графически, при каких положениях глаза наблюдатель может видеть в зеркале конечных размеров изображение отрезка прямой, расположенной относительно зеркала так, как указано на рис. 238.



Рис. 238.

681. Плоское зеркало расположено параллельно стеклу «зайчик». С какой скоростью будет двигаться «зайчик» по стеклу, если приближать к нему зеркало со скоростью v ? Как будут меняться размеры «зайчика»?

682. Используя условия задачи 681, определить, будет ли меняться при движении зеркала освещенность стены в том месте, где находится «зайчик».

683. Плоское зеркало вращается с постоянной угловой скоростью. Число оборотов в секунду $n = 0.5$. С какой скоростью будет перемещаться «зайчик» по сферическому экрану радиуса 10 м , если зеркало находится в центре кривизны экрана?

684. Опыты А. А. Белопольского по экспериментальному исследованию оптического явления Доплера состояли в наблюдении света, многократно отраженного от движущихся зеркал (рис. 239). Зеркала размещались на врачающихся в разные стороны дисках.

а) Зная угловую скорость ω вращения дисков, найти угловую скорость Ω поворота лука, испытавшего n последовательных отражений от зеркал.

б) Определить линейную скорость n -го изображения в момент, когда зеркала параллельны друг другу и их отражающие участки движутся со скоростью v в разные стороны.

685. Решить задачу 684 при условии, что диски врашаются в одну сторону.

686. Узкий пучок света S падает на двугранный угол $\alpha = 60^\circ$, образованный одинарными плоскими зеркалами OM и ON , закрепленными на оси O (рис. 240). После отражения от зеркал свет фокусируется линзой L и попадает в неподвижный приемник P . Зеркала вращаются с постоянной угловой скоростью.

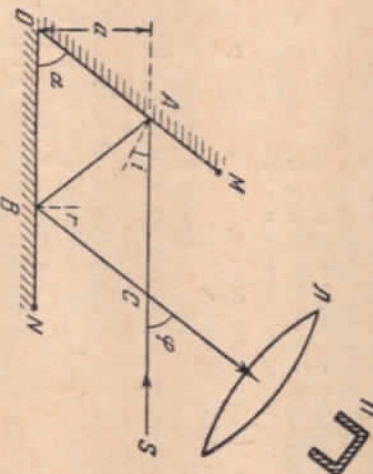


Рис. 239.

687. Можем ли вместо обычного экрана для показа кино использовать плоское зеркало?

688. Проекционный аппарат, стоящий у стены в комнате, дает на противоположной стене изображение площадью $S = 1 \text{ м}^2$,

Чему будет равна площадь изображения, если на стени против аппарата поместить плоское зеркало так, чтобы изображение получилось на стене, возле которой стоит аппарат?

689. Два плоских зеркала AO и OB образуют двугранный угол $\varphi = \frac{2\pi}{n}$, где n — целое число. Точечный источник света S находится между зеркалами на равном расстоянии от каждого из них.

Найти число изображений источника в зеркалах.

690. Две плоские зеркала AO и OB образуют произвольный двугранный угол $\varphi = \frac{2\pi}{a}$, где a — любое число, большее 2. Точечный источник света S находится между зеркалами на равном расстоянии от каждого из них.

Найти число изображений источника в зеркалах.

691. В каком направлении нужнопустить луч света из точки A (рис. 241), находящуюся внутри зеркального ящика, чтобы он попал в точку B , отразившись по одному разу от всех четырех стенок?

Точки A и B находятся в одной плоскости, перпендикулярной стенкам ящика (т. е. в плоскости рисунка).



Рис. 241.

692. Почему, если с самолета, летящего над морем, смотреть вниз, кажется, что вода гораздо темнее непосредственно внизу, чем на горизонте?

693. На какое расстояние следует проходить через плоскопараллельную пластинку, если толщина ее d , показатель преломления n , а угол падения луча i ?

Может ли смещение луча быть больше толщины пластиинки?

694. При каких значениях показателя преломления прямоугольной призмы возможен ход луча, изображенный на рис. 242? Сечение призмы — равнобедренный треугольник; луч падает на грань AB нормально.

695. В воду опущен прямоугольный стеклянный клин. Показатель преломления стекла $n_1 = 1,5$. При каких значениях угла α (рис. 243) луч света, падающий нормально на грань AB , целиком достигнет грани AC ?

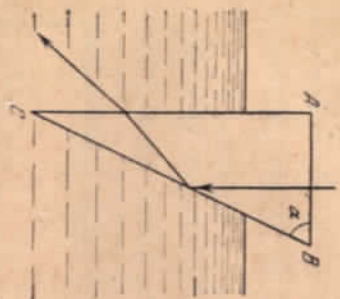


Рис. 243.

696. В ясные солнечные дни на загородных асфальтированных шоссе водители автомашин часто наблюдают такую картину: некоторые участки асфальта, находящиеся спереди автомашины на расстоянии около 80—100 м, кажутся покрытыми лужами. Когда водитель пользуется ближе к этому месту, лужи исчезают и снова появляются впереди на других местах, примерно на том же расстоянии.

Как объясняется это явление?

697. Толстая пластина сделана из прозрачного материала, показатель преломления которого изменяется от значения n_1 на верхней грани до значения n_2 на нижней грани.

Луч входит в пластину под углом α .

Под каким углом луч выйдет из пластины?

698. Кубический сосуд с непрозрачными стенками расположжен так, что глаз наблюдателя не видит его дна, но полностью видит стенку CD (рис. 244).

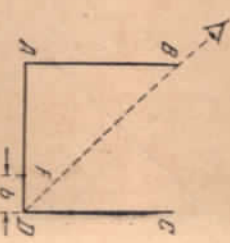


Рис. 244.

699. В ясные солнечные дни на загородных асфальтированных шоссе водители автомашин часто наблюдают такую картину: некоторые участки асфальта, находящиеся спереди автомашины на расстоянии около 80—100 м, кажутся покрытыми лужами. Когда водитель пользуется ближе к этому месту, лужи исчезают и снова появляются впереди на других местах, примерно на том же расстоянии.

701. Сечение стеклянной призмы имеет форму равнобедренного треугольника. Одна из равных граней посеребрена. Луч падает нормально на другую, не посеребренную грань и после двух отражений выходит через основание призмы перпендикулярно ей.

Найти углы призмы.

702. Падающий на грань призмы луч выходит после преломления через смежную грань. Каково максимально допустимое значение преломляющего угла призмы α , если она сделана из стекла с показателем преломления $n = 1,5$?

703. Луч света входит в стеклянную призму под углом α и выходит из призмы в воздух под углом β , причем, проходя прямую, отклоняется от первоначального направления на угол γ .

Найти преломляющий угол призмы φ и показатель преломления материала, из которого она сделана.

704. Сторона призмы $ABCD$, изготовленной из стекла с показателем преломления n , образует двугранные углы: $\angle A = 90^\circ$; $\angle B = 75^\circ$; $\angle C = 135^\circ$; $\angle D = 60^\circ$ (призма Аббе).

Луч света падает на грань AB и после полного внутреннего отражения от грани BC выходит через грань AD .

Найти угол падения α луча на грань AB , если известно, что луч, прошедший через призму, перпендикурен падающему лучу.

705. Если лист бумаги полить канифельским клеем или водой, то сквозь бумагу можно будет прочесть текст, напечатанный на другой стороне листа. Объясните, почему?

§ 30. Линзы и сферические зеркала

706. Какой показатель преломления должно иметь стекло, из которого сделана симметричная собирающая линза, если фокусное расстояние этой линзы равно радиусу кривизны ее поверхности?

707. Плоско-выпуклая собирающая линза изготовлена из стекла с показателем преломления $n = 1,5$. Определить соотношение между фокусным расстоянием этой линзы f и радиусом кривизны ее выпуклой поверхности R .

708. Определить радиус кривизны выпукло-вогнутой собирающей линзы из стекла с показателем преломления $n = 1,5$, имеющей фокусное расстояние $f = 24$ см. Известно, что один из радиусов кривизны вдвое больше другого.

709. Двояковыпуклая линза, сделанная из стекла с показателем преломления $n = 1.6$, имеет фокусное расстояние $f = 10 \text{ см}$.

Чему будет равно фокусное расстояние этой линзы, если ее поместить в прозрачную среду, имеющую показатель преломления $n_1 = 1.5$?

Найти фокусное расстояние этой линзы в среде с показателем преломления $n_2 = 1.7$.

710. Тонкая стеклянная линза имеет оптическую силу $D = 5$ диоптрий. Когда эту линзу погружают в жидкость с показателем преломления n_2 , она действует как рассеивающаяся с фокусным расстоянием $f = 100 \text{ см}$. Определить показатель преломления n_2 жидкости, если показатель преломления стекла линзы $n_1 = 1.5$.

711. Расстояние предмета до рассеивающей линзы в n раз больше фокусного расстояния линзы.

Во сколько раз изображение будет меньше предмета?

712. Накаленная лампочка и ее изображение, полученные с помощью линзы, оптическая сила которой четырехдиоптрий, равны по величине. На какое расстояние нужно отодвинуть лампочку от линзы, чтобы ее изображение уменьшилось в пять раз?

713. Расстояние между двумя точечными источниками света $l = 24 \text{ см}$.

Где между ними надо поместить собирающую линзу с фокусным расстоянием $f = 9 \text{ см}$, чтобы изображения обоих источников получились в одной и той же точке?

714. Высота пламени свечи 5 см . Линза дает на экране изображение этого пламени высотой 15 см . Не трогая линзы, свечу отодвинули на $l = 1.5 \text{ см}$ дальше от линзы и, передвинув экран, вновь получили резкое изображение пламени высотой 10 см .

Определить главное фокусное расстояние линзы.

715. Сходящийся луч падает на рассеивающую линзу таким образом, что продолжения всех лучей пересекаются в точке, лежащей на оптической оси линзы на расстоянии $b = 15 \text{ см}$ от нее.

Найти фокусное расстояние линзы в двух случаях:

- 1) после преломления в линзе лучи собираются в точке, находящейся на расстоянии $a_1 = 60 \text{ см}$ от линзы;
- 2) продолжения преломленных лучей пересекаются в точке, находящейся перед линзой на расстоянии $a_2 = 60 \text{ см}$ от нее.

716. Расстояние между электрической лампочкой и экраном $d = 1 \text{ м}$. При каких положениях собирающей линзы с фокусным расстоянием $f = 21 \text{ см}$ изображение нити лампочки будет отчетливым?

Можно ли получить изображение, если фокусное расстояние $f' = 26 \text{ см}$?

717. Тонкая собирающая линза дает изображение некоторого предмета на экране. Высота изображения равна h_1 . Не меняя расстояния между предметом и экраном, перемещают линзу и находят, что высота второго четкого изображения равна h_2 .

Определить высоту самого предмета H .

718. Каков радиус R волнового сферического зеркала, находящегося на расстоянии $a = 2 \text{ м}$ от лица, если человек видит в нем свое изображение в полтора раза большим,

чем в плоском зеркале, находящемся на том же расстоянии от лица?

719. На рис. 245 изображен луч AB , прошедший сквозь собирающую линзу.

Построить ход луча до линзы, если положение ее фокусов F известно.

720. На рис. 246 изображена светящаяся точка A и ее изображение, даваемое линзой, оптическая ось которой $N_1 N_2$. Найти положение линзы и ее фокусов.

* * *

Рис. 245.

Рис. 246.

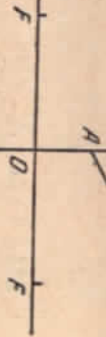


Рис. 245.

721. На заданной оптической оси $N_1 N_2$ линзы найти построением оптический центр линзы и ее главные фокусы, если известно положение источника S и положение изображения S' (рис. 247).

722. Дано положение оптической оси $N_1 N_2$, ход луча AB , падающего на линзу, и преломленный луч BC (рис. 248). Найти построением положение главных фокусов линзы.

723. Собирательная линза дает изображение источника в точке S' на главной оптической оси. Положение центра линзы O и ее фокусов F известно, причем $OF < OS'$. Найти построением положение источника S .

* S

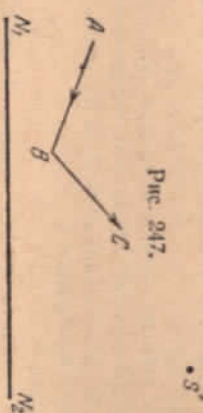


Рис. 247.

Рис. 248.

724. Точка S' есть изображение точечного источника света S в сферическом зеркале, оптическая ось которого N_1N_2 (рис. 249). Найти построением положение центра зеркала и его фокуса.

* S

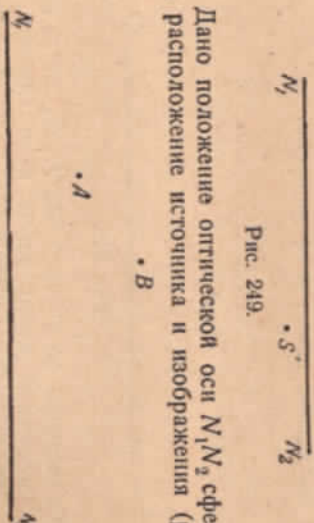


Рис. 249.

725. Дано положение оптической оси N_1N_2 сферического зеркала, расположение источника и изображения (рис. 250).

* B

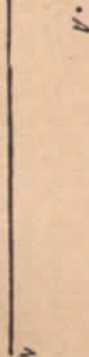


Рис. 250.

Найти построением положения центра зеркала, его фокуса и полосы для случаев: а) A — источник, B — изображение; б) B — источник, A — изображение.

146

726. Точечный источник света, помещенный на некотором расстоянии от экрана, создает в центре экрана освещенность 2,25 лк. Как изменится эта освещенность, если по другую сторону источника на таком же расстоянии поместить

- а) бесконечное плоское зеркало, параллельное экрану?
б) вогнутое зеркало, центр которого совпадает

с центром экрана?
в) выпуклое зеркало такого же радиуса кривизны, как и вогнутое?

727. Желая получить снимок зебры, фотограф снял белого осла, надел на объектив фотоаппарата стекло с черными полосками. Что получилось на снимке?

728. Из стекла двух сортов выполнена слоистая

линза, изображенная на рис. 251. Какое изображение даст эта линза в случае точечного источника, расположенного на оптической оси? Ограждение света на границе слоев не учитывать.



Рис. 251.

729. Видимые размеры дисков Солнца и Луны у горизонта кажутся увеличенными по сравнению с их видимыми размерами в зените. Как можно с помощью линзы экспериментально доказать, что это увеличение является кажущимся?

§ 31. Оптические системы и оптические приборы

730. Источник света расположен на диоптрии фокусном расстоянии от собирающей линзы. Фокусное расстояние линзы $f = 30$ см. На каком расстоянии от линзы нужно поместить плоское зеркало для того, чтобы лучи, отраженные от зеркала, вторично прошли линзу, стали параллельными?

731. На собирающую линзу с фокусным расстоянием 40 см падает параллельный пучок лучей. Где следует поместить рассеивающую линзу с фокусным расстоянием 15 см, чтобы пучок лучей после прохождения двух линз остался параллельным?

732. Преломет находится на расстоянии 40 см от выпуклого сферического зеркала с радиусом кривизны 20 см. На каком расстоянии от предмета нужно поместить стеклянную пластинку, чтобы изображения предмета в сферическом зеркале и пластинке оказались в одной плоскости?

10*

147

733. На каком расстоянии от двояковыпуклой линзы с фокусным расстоянием $f = 1 \text{ м}$ нужно поместить выпуклое сферическое зеркало, имеющее радиус кривизны $R = 1 \text{ м}$, чтобы луч, падающий на линзу параллельно главной оптической оси системы, после отражения от зеркала вышел из линзы, оставаясь параллельным оптической оси?

Найти изображения предмета, даваемые данной оптической системой.

734. Оптическая система состоит из двух собирательных линз с фокусными расстояниями $f_1 = 20 \text{ см}$ и $f_2 = 10 \text{ см}$. Расстояние между линзами $d = 30 \text{ см}$. Предмет находится на расстоянии $a_1 = 30 \text{ см}$ от первой линзы. На каком расстоянии от второй линзы получится изображение?

735. Определить фокусное расстояние оптической системы, состоящей из двух тонких линз: рассеивающей с фокусным расстоянием f_1 и собирающей с фокусным расстоянием f_2 . Линзы расположены вплотную друг к другу, так что расстояние между ними можно пренебречь. Оптические оси линз совпадают.

736. Параллельный пучок света падает на систему из трех тонких линз с общей оптической осью. Фокусные расстояния линз соответственно равны $f_1 = +10 \text{ см}$, $f_2 = -20 \text{ см}$ и $f_3 = +9 \text{ см}$. Расстояние между первой и второй линзами 15 см , между второй и третьей 5 см .

Определить положение точки схождения пучка по выходе из системы линз.

737. Линза с фокусным расстоянием $f = 30 \text{ см}$ дает на экране четкое изображение предмета, расположенного на расстоянии $a = 40 \text{ см}$ от линзы. Между линзой и предметом перпендикулярно оптической оси линзы поместили плоскопараллельную пластину толщиной $d = 9 \text{ см}$.

На какое расстояние нужно сместить экран, чтобы изображение предмета на нем осталось четким?

Показатель преломления стекла пластиинки $n = 1.8$.

738. Предмет AB находится на расстоянии $a = 36 \text{ см}$ от линзы с фокусным расстоянием $f = 30 \text{ см}$. На расстоянии $l = 1 \text{ м}$ за линзой расположено плоское зеркало, повернутое по отношению к оптической оси линзы на 45° (рис. 252).

На каком расстоянии H от оптической оси нужно поместить дно кюветы с водой, чтобы получить на нем отчетливое изображение предмета? Толщина слоя воды в кювете $d = 20 \text{ см}$.

739. Стеклянний клин с малым преломляющим углом α расположен на некотором расстоянии от собирательной линзы с фокусным расстоянием f , причем одна из поверхностей клина перпендикулярна оптической оси линзы. По другую сторону линзы в ее фокусе находится точечный источник света. Изображение от клина лучи дают после преломления в линзе два изображения источника, смещенные друг относительно друга на d . Найти показатель преломления стекла клина.

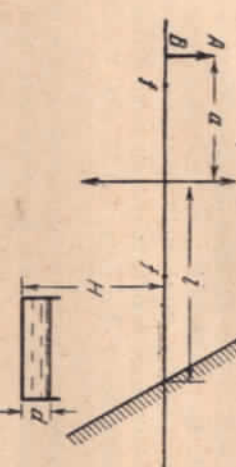


Рис. 252.

740. Вогнутое зеркало имеет форму полусфера радиусом $R = 55 \text{ см}$. В это зеркало падет тонкий слой неизвестной пресравенной жидкости. При этом оказалось, что данная оптическая система при некотором положении источника дает два действительных изображения, одно из которых совпадает с самим источником, а другое отстоит от него на расстояние $l = 30 \text{ см}$.

Найти показатель преломления n жидкости.

741. Двояковыпуклая линза имеет фокусное расстояние $f_1 = 10 \text{ см}$. Одна из поверхностей линзы, имеющая радиус кривизны $R = 10 \text{ см}$, посеребрена. Построить изображение предмета, данное данной оптической системой, и найти положение изображения, если предмет находится на расстоянии $a = 15 \text{ см}$ от линзы.

742. На плоской поверхности массивного куска стекла (показатель преломления n) вырезано углубление в виде полного сегмента. Вынутый из углубления кусок стекла представляет собой тонкую собирающую линзу с фокусным расстоянием f .

Найти фокусные расстояния f_1 и f_2 получившейся сферической поверхности.

743. На прозрачный шар, имеющий радиус R и показатель преломления n , падает в направлении одного из диаметров узкий параллельный пучок световых лучей.

На каком расстоянии f от центра шара лучи будут сфокусированы?

744. Найти положение главных плоскостей прозрачного

шара, используемого в качестве линзы.

745. Предмет находится на расстоянии $d = 2.5 \text{ см}$ от

поверхности стеклянного шара, имеющего радиус $R = 10 \text{ см}$.

Найти положение изображения, даваемого шаром.

Показатель преломления стекла $n = 1.5$.

746. Сферическая колба, толщина стенок которой ΔR значительно меньше ее радиуса R , изготовлена из стекла с показателем преломления n .

Считая эту колбу оптической системой и рассматривая лишь лучи, близкие к прямой, проходящей через центр сферы, определить положение фокусов и главных плоскостей системы.

747. На капельку воды сферической формы под углом ℓ падает луч света. Найти угол θ отклонения луча от первоначального направления в случае однократного отражения от внутренней поверхности капли.

748. На капельку воды сферической формы падает параллельный пучок лучей.

1) Вычислить значения углов θ отклонения лучей от первоначального направления для различных углов падения: $0; 20; 40; 50; 55; 60; 65; 70^\circ$.

2) Построить график зависимости θ от ℓ и по графику найти приближенное значение угла наименьшего отклонения θ_{\min} .

3) Определить, вблизи каких значений угла θ лучи, вышедшие из капли, идут приблизительно параллельно.

Показатель преломления воды считать равным $n = 1.333$.

(Это значение n имеет место для красных лучей.)

749. Какое увеличение можно получить при помощи проекционного фонаря, объектив которого имеет главное фокусное расстояние 40 см , если расстояние от объектива до экрана равно 10 м ?

750. Рассчитать конденсор проекционного фонаря, т. е. найти его диаметр D и фокусное расстояние f , если источник света имеет размеры порядка $d = 6 \text{ м.м.}$, диаметр объектива $D_0 = 2 \text{ см}$. Расстояние между источником света и объективом $L = 40 \text{ см}$. Размеры диапозитива $6 \times 9 \text{ см}$.

751. Почему в тех фотоаппаратах, в которых при наложке на резкость употребляется матовое стекло, не пользуются прозрачным стеклом?

752. Два фонаря олинаковой яркости находятся на разных расстояниях от наблюдателя.

1) Будут ли они казаться наблюдателю олинаково яркими?

2) Будут ли их изображения на фотографиях олинаково яркими, если фонари снимать фотографировать на разных кадрах, чтобы изображения были в фокусе?

753. Один и тот же объект фотографирует с небольшим расстояния двумя фотоаппаратами, имеющими олинаковую светосилу, но различные фокусные расстояния. Олинаковы ли должны быть выдержки?

754. Можно заметить, что освещеная заходящим Солнцем белая стена кажется ярче поверхности Луны, находящейся на той же высоте над горизонтом, что и Солнце. Означает ли это, что поверхность Луны состоит из темных пород? (Миниарт «Свет и цвет в природе».)

755. Почему, открыв глаза под водой, мы видим только туманные очертания предметов, а в маске для плавания предметы видны совершенно отчетливо?

756. Близорукий человек, пределы аккомодации глаза которого лежат между $a_1 = 12 \text{ см}$ и $a_2 = 60 \text{ см}$, носит очки, с помощью которых может хорошо видеть удаленные предметы.

Определить, на каком наименьшем расстоянии a_3 может этот человек читать книгу в очках.

757. Два человека, дальтонорукий и близорукий, налев свои очки, видят так же, как человек с нормальным зрением.

Однако они случайно поменялись очками. Надев очки близорукого, дальтонорукий обнаружил, что он может отчетливо видеть только бесконечно удаленные предметы.

На каком наименьшем расстоянии a сможет читать мелкий шрифт близорукий в очках дальтонорукого?

758. Предмет рассматривают невооруженным глазом с расстояния D . Каково будет угловое увеличение, если тот же предмет рассматривать в лупу, расположенную на расстоянии r от глаза и помещенную таким образом, что изображение находится на расстоянии L от глаза? Фокусное расстояние линзы равно f .

Рассмотреть случаи:

1) $L = \infty$,

2) $L = D$.

759. У оптической трубы, установленной на бесконечность, вынули объектив и заменили его диафрагмой диаметра D . При этом на некотором расстоянии от окуляра на

экране получилось действительное изображение диафрагмы, имеющее диаметр d . Чему было равно увеличение трубы?

760. При изготовлении двухлинзового объектива фотокамеры конструктор использовал рассеивающую линзу с фокусным расстоянием $f_1 = 5 \text{ см}$, поместив ее на расстоянии $l = 45 \text{ см}$ от пленки.

Где необходимо поместить собирающую линзу с фокусным расстоянием $f_2 = 8 \text{ см}$, чтобы на пленке получилось реальное изображение удаленных предметов?

761. Для трех различных расположений линз, найденных в задаче 760, рассчитать диаметр D изображения Луны на негативе.

Поперечник Луны виден с Земли в среднем под углом $\varphi = 31'5'' \approx 0,9 \cdot 10^{-2} \text{ rad}$.

762. Главное фокусное расстояние объектива микроскопа $f_{\text{об}} = 3 \text{ м.м.}$, окуляра $f_{\text{ок}} = 5 \text{ см.}$. Предмет находится от объектива на расстоянии $a = 3,1 \text{ м.м.}$. Найти увеличение микроскопа для нормального глаза.

ГЛАВА VI

ФИЗИЧЕСКАЯ ОПТИКА

§ 32. Интерференция света

763. Две световые волны, налагаюсь друг на друга в определенном участке пространства, взаимно погашаются. Означает ли это, что световая энергия превращается в другие формы?

764. Два когерентных источника света S_1 и S_2 расположены на расстоянии l друг от друга. На расстоянии $D \gg l$ от источников помещается экран (рис. 253).

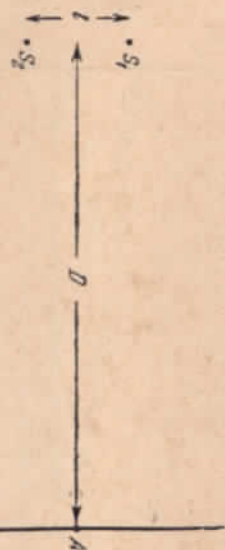


Рис. 253.

Найти расстояние между соседними интерференционными полосами вблизи середины экрана (точка A), если источники посыпают свет длины волны λ .

765. Два плоских зеркала образуют между собой угол, близкий к 180° (рис. 254). На равных расстояниях b от зеркал расположены источник света S . Определить интервал

между соседними интерференционными полосами на экране MN , расположенным на расстоянии $OA = a$ от точки пересечения зеркал. Длина световой волны известна и равна λ . Ширина C

до ближайшей светлой полосы, если расстояние между источниками $l = nl \gg \lambda$ (n — целое число)?

768. Найти радиус r_k k -го светового кольца (см. задачу 767) при условии, что $D = l = nl$, $n \gg l$, $k = n$, $n - 1, n - 2, \dots$

769. Как практически можно осуществить опыт, описанный в задаче 767?

770. На бипризму Френеля, изображенную на рис. 256, падает свет от источника S . Световые пучки, преломленные различными гранями призмы, частично перекрываются и дают на экране на участке AB интерференционную картину.

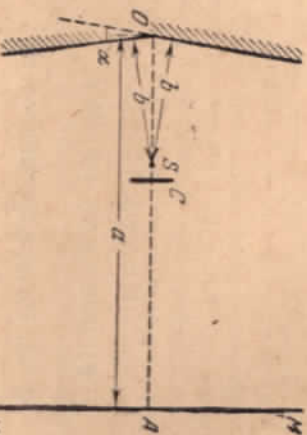


Рис. 254.

препятствует непосредственному попаданию света источника на экран.

766. Интерференционный опыт Лойда состоял в получении на экране картины от источника S и его минного изображения S' в зеркале AO (рис. 255).

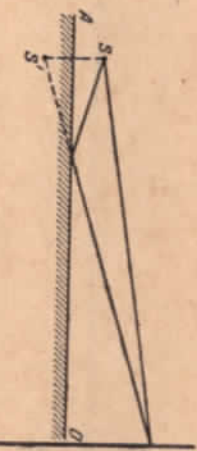


Рис. 255.

Чем будет отличаться интерференционная картина от источников S и S' по сравнению с картиной, рассмотренной в задаче 764?

767. Два точечных источника, фазы колебаний которых одинаковы, расположены на прямой, перпендикулярной экрану. Ближайший источник находится от экрана на расстоянии $D \gg \lambda$. Какой вид будет иметь интерференционные полосы на экране? Каково расстояние на экране от перпендикуляра

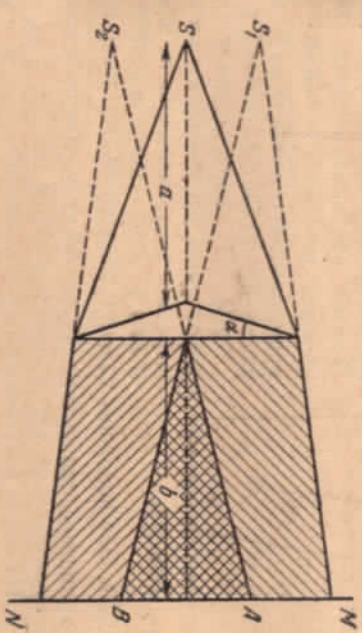


Рис. 256.

Найди расстояние между соседними интерференционными полосами, если расстояние от источника до призмы $a = 1$ м, а от призмы до экрана $b = 4$ м; преломляющий угол призмы $\alpha = 2 \cdot 10^{-3}$ rad.

Стекло, из которого изготовлена призма, имеет показатель преломления $n = 1.5$. Длина световой волны $\lambda = 6000 \text{ \AA}$. Экран в установке с бипризмой, описанной в предыдущей задаче?

772. Трудность изготовления бипризмы с углом, близким к 180° (см. задачу 770), заставляет прибегнуть к следующему приему. Бипризма с углом B , сильно отличающимся от 180° , помещается в сосуд, заполненный жидкостью с показателем преломления n_1 , или является одной из стенок этого сосуда (рис. 257).

Рассчитать угол δ эквивалентной бипризмы, находящейся в воздухе. Показатель преломления вещества призмы n_2 .

Произвести вычисления для пластинки толщины $d_2 = 0,1$ см? Показатель преломления стекла $n = 1,5$. Пластинки располагаются нормально к про-

$\beta = 170^\circ$.

773. Собирательная линза, имею-

щая фокусное расстояние $f = 10$ см, разрезана пополам, и половинки раздвинуты на расстояние $d = 0,5$ м. Имеется точечный источник монохроматического света ($\lambda = 5000 \text{ \AA}$), расположенный от нее на $a = 15$ см, $D = 60$ см, если перед линзой

вырезана центральная часть ширины $d = 0,5$ см, как показано на

рис. 257. Обе половины слинутия вплотную. На линзу падает монохроматический свет ($\lambda = 5000 \text{ \AA}$) от точечного источника, расположенного на расстоянии $a = 5$ см от линзы. На каком расстоянии с противоположной стороны линзы нужно поместить экран, чтобы на нем можно было наблюдать три интерференционные полосы?

Чему равно максимальное число

интерференционных полос, которое можно наблюдать в данной установке?

775. Найти расстояние между соседними полосами интерференционной картины, даваемой линзой радиуса $R = 1$ см, которая описана в задаче 774, при условии, что это расстояние не зависит от положения экрана.

При каком положении экрана число интерференционных полос будет максимальным?

Источник света дает монохроматический

свет длины волны $\lambda = 5000 \text{ \AA}$.
776. Что произойдет с интерференционной картиной в установке, описанной в задаче 775, если ввести в световой пучок, прошедший верхнюю половину линзы, плоскопарал-

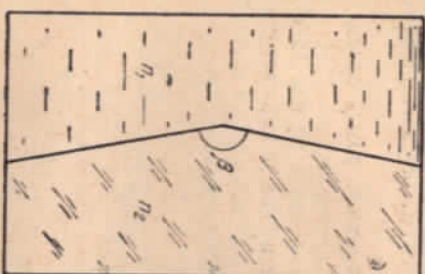


Рис. 257.

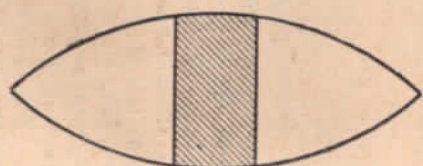


Рис. 258.

лельную стеклянную пластинку толщины $d_1 = 0,11$ см, а в световой пучок, прошедший нижнюю половину линзы, пластиинку толщиной $d_2 = 0,1$ см? Показатель преломления стекла $n = 1,5$. Пластиинки располагаются нормально к проходящим сквозь них световым пучкам.

777. Почему кольца Ньютона образуются только вследствие интерференции лучей 2 и 3, отраженных от граний полупрозрачной приставки между линзой и стеклом (рис. 259), а луч 4, отраженный от плоской грани линзы, не влияет на характер интерференционной картины?

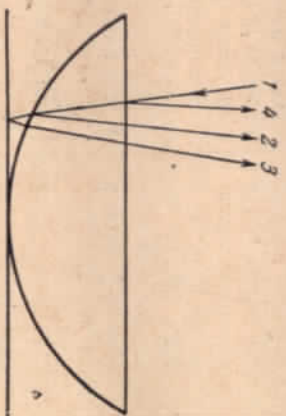


Рис. 259.

778. Изменился ли характер интерференционной картины в установке, которая описана в задаче 765, если ширину C убрать?

Расстояние a считать большим (равным 1 м). Излучаемые источником волны не являются монохроматическими.

779. В каком случае кольца Ньютона видны более отчетливо: в отраженном свете, или же в проходящем?

780. Контакт между плоско-выпуклой линзой и стеклянной пластинкой, на которую она положена, отсутствует вследствие попадания пыли. Радиус пятого темного кольца Ньютона равен при этом $r_1 = 0,08$ см.

Если пыль удалить, то радиус этого кольца увеличится до $r_2 = 0,1$ см. Найти толщину слоя пыли d , если радиус кривизны выпуклой поверхности линзы $R = 10$ см.

781. На поверхность двояковогнутой линзы, имеющую радиус кривизны R_1 , положена спереди выпуклой стороной плоско-выпуклая линза с радиусом кривизны поверхности $R_2 < R_1$.

Найти радиус колец Ньютона, возникающих вокруг точки соприкосновения линз, если на систему падает нормально монохроматический свет длины волны λ .

782. Чтобы уменьшить коэффициент отражения света от оптических стекол, на их поверхность наносят тонкий слой прозрачного вещества, показатель преломления которого n меньше, чем у стекла. (Так называемый «метод просветления оптики».)

Оцените толщину пачкиного слоя, считая, что световые лучи падают на оптическое стекло приблизительно нормально.

783. Нормальный глаз способен различать оттенки в цвете при разности длин волн в 100 \AA . Учитывая это, оценить максимальную толщину тонкого воздушного слоя, при которой можно наблюдать в белом свете интерференционную картину, вызванную наложением лучей, отраженных от границы этого слоя.

784. На тонкий стеклянный клин от удаленного источника почти нормально падает поток монохроматических волн длины волны λ . На расстоянии d от клина расположен экран, на который линза с фокусным расстоянием f проектирует возникающую в клине интерференционную картину. Расстояние между интерференционными полосами на экране M известно.

Найти угол α клина, если показатель преломления стекла равен n .

§ 33. Дифракция света

785. Вычислить радиусы зон Френеля сферической волны радиуса a для точки B , отстоящей от источника монохроматических волн длины волны λ на расстоянии $a+b$, учитывая, что $a \gg \lambda$ и $b \gg \lambda$.

786. Вычислить радиусы зон Френеля плоской волны для точки B , отстоящей от фронта волны на расстояние $b \gg \lambda$, где λ — длина волны источника.

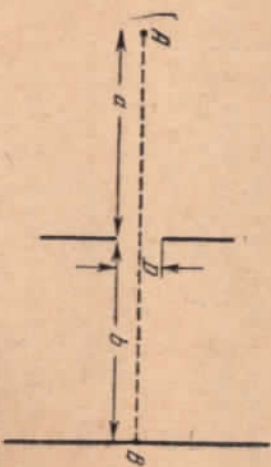


Рис. 260.

787. Точечный источник монохроматического света длины волны $\lambda = 5000 \text{ \AA}$ находится на расстоянии $a = 6,75 \text{ м}$ от щели ширины $D = 4,5 \text{ м.м.}$ На расстоянии $b = a$ от щели расположена экран (рис. 260). Как изменяется освещенность в точке B экрана, лежащей на оси пучка, если диаметр отверстия увеличить до $D_1 = 5,2 \text{ м.м.}$?

788. Как согласовать с законом сохранения энергии тот факт, что увеличение отверстия (см. условие задачи 787) может привести к уменьшению освещенности на оси пучка? Ведь при увеличении отверстия полный световой поток, проинкающий за ширму, возрастает.

789. Плоская световая волна ($\lambda = 6000 \text{ \AA}$) падает на ширму с круглой диафрагмой. На расстоянии $b = 2 \text{ м}$ за диафрагмой расположены экран. При каком диаметре D диафрагмы освещенность экрана в точке B , лежащей на оси светового пучка, будет максимальна?

790. Считая расстояния от источника до ширмы и от ширмы до экрана примерно одинаковыми и равными a , оценить, при каких условиях дифракция световых волн длины λ на отверстии в ширме будет выражена достаточно отчетливо (интерференция на оси пучка будет зависеть от диаметра отверстия). **791.** Показать, что за круглым экраном C в точке B (рис. 261) будет наблюдаться светлое пятно, если размеры экрана достаточно мали.

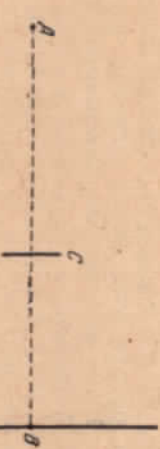


Рис. 261.

792. На каком расстоянии друг от друга должны находиться два человека для того, чтобы глаз смог различить их с расстояния около 11 км. ?

Разрешающая способность нормального глаза составляет примерно $1'$.

793. Плоская световая волна (длина волны λ) падает нормально на узкую щель шириной b . Определить направления на минимумы освещенности.

794. Определить оптимальные размеры отверстия «клиновидной камеры» в зависимости от длины волны, т. е., радиус отверстия r , при котором точечный источник изображается на стенке камеры кружком минимального диаметра, если

расстояние от источника света до камеры велико по сравнению с ее глубиной d .

Указание. Направления на минимумы освещенности по порядку величины определяются той же формулой, что и в случае шели (см. задачу 793), только вместо ширины b нужно взять диаметр отверстия $2r$.

795. На дифракционную решетку, имеющую период $d = 4 \cdot 10^{-4}$ см, нормально падает монохроматическая волна. Оценить длину волны λ , если угол между спектрами второго и третьего порядков $\alpha = 2^\circ 30'$. Углы отклонения считать малыми.

796. На дифракционную решетку, имеющую 500 штрихов на миллиметр, падает плоская монохроматическая волна ($\lambda = 5 \cdot 10^{-5}$ см). Определить наибольший порядок спектра k , который можно наблюдать при нормальном падении лучей на решетку.

Определить длину волны λ , если постоянную решетки d , способной анализировать инфракрасное излучение с длинами волн до $\lambda = 2 \cdot 10^{-2}$ см. Излучение падает на решетку нормально.

798. На дифракционную решетку, имеющую период $d = 4 \cdot 10^{-4}$ см, падает нормально монохроматическая волна. За решеткой расположена линза, имеющая фокусное расстояние $f = 40$ см, которая дает изображение дифракционной картины на экране.

Определить длину волны λ , если первый максимум получается на расстоянии $l = 5$ см от центрального.

799. Источник белого света, дифракционная решетка и экран помещены в воду. Какие изменения претерпит при этом дифракционная картина, если углы отклонения световых лучей решетки малы?

800. На дифракционную решетку, имеющую период $d = 2 \cdot 10^{-4}$ см, падает нормально свет, пропущенный сквозь светофильтр. Фильтр пропускает длину волны от $\lambda_1 = 5000$ Å до $\lambda_2 = 6000$ Å. Будут ли спектры различных порядков налагаться друг на друга?

801. Решить задачу 796 в предположении, что плоская волна ($\lambda = 5 \cdot 10^{-5}$ см) падает на решетку под углом 30° .

802. Решить задачу 797 в предположении, что падение лучей на решетку может быть наклонным.

803. Найти условие, определяющее направления на главные максимумы при наклонном падении световых волн на решетку, если период решетки $d \gg k\lambda$ (k — порядок спектра).

§ 34. Дисперсия света и цвета тел

804. Луч белого света падает под углом $\alpha = 30^\circ$ на призму, преломляющий угол которой равен $\varphi = 45^\circ$.

Определить угол θ между крайними лучами спектра по выходе из призмы, если показатели преломления стекла призмы для крайних лучей видимого спектра равны $n_k = 1,62$ и $n_\Phi = 1,67$.

805. На двояковыпуклую линзу, радиусы кривизны поверхности которой равны $R_1 = R_2 = 40$ см, падает белый свет от точечного источника, расположенного на оптической оси линзы на расстоянии $a = 50$ см от нее. В плоскую переднюю линзу расположена диафрагма диаметра $D = 1$ см, ограниченная поперечное сечение светового пучка. Показатели преломления для крайних лучей видимого спектра равны $n_k = 1,74$ и $n_\Phi = 1,8$. Какую картину можно будет наблюдать на экране, расположенным на расстоянии $b = 50$ см от линзы, перпендикулярно ее оптической оси?

806. Используя реультьи задачи 748, построить элементарную теорию радуги, т. е. показать, что центр радуги находится на прямой, проведенной от Солнца через глаз наблюдателя, и что дуга радуги представляет собой часть окружности, все точки которой видны под углом 42° (для красного света) по отношению к прямой, соединяющей глаз наблюдателя и центр радуги.

807. Объяснить качественно принцип появления двойной радуги. Каково чередование цветов в первой (основной) и второй радуге?

808. Можно ли в Москве во время летнего солнцестояния (22 июня) наблюдать радугу в полдень?

Указание. В это время Солнце в северном полушарии стоит наиболее высоко над горизонтом.

809. Длина волны в воде уменьшается в n раз, где n — показатель преломления. Означает ли это, что пыряльщик не может видеть окружающие предметы в естественном цвете?

810. На тетради написана красным карандашом «отлично» и зеленым «хорошо». Имеются два стекла — зеленое и красное.

Через какое стекло надо смотреть, чтобы увидеть оценку «отлично»?

811. Почему объективы с «просветленной оптикой» (см. задачу 782) имеют пурпурно-фиолетовый (сиреневый) оттенок?

ОТВЕТЫ И РЕШЕНИЯ

812. Цвета тонких пленок (например, пленки нефти на поде) и шета радуги имеют совершенно различные оттенки. Почему?

813. Тонкая мыльная пленка натянута на вертикальную рамку. При освещении белым светом на пленке наблюдаются три цветные полосы пурпурного (малинового), желтого и голубого (сине-зеленого) цветов. Найти расположение и порядок полос.

814. Почему диск Луны имеет чистый белый цвет, а после захода Солнца принимает желтоватый оттенок?

815. Почему столб дыма, поднимающегося над крышиами домов, на темном фоне окружающих предметов кажется синим, а на фоне светлого неба — желтым или даже красноватым?

816. Почему шета влажных предметов кажется более глубокими, более насыщенным, чем сухих?

§ 1. Кинематика равномерного прямолинейного движения

1. В течение 1 часа после встречи лодки с плотами лодка удалялась от плотов. В течение 30 мин, когда мотор ремонтировался, расстояние между лодкой и плотами не увеличивалось. Лодка догонит плоты через 1 час, так как скорость ее относительно воды, и следовательно и относительно плотов, постоянна:

$$v = \frac{S}{t} = \frac{7,5}{1 + 0,5 + 1} \frac{\text{км}}{\text{час}} = 3 \frac{\text{км}}{\text{час}}.$$

2. Как видно из рис. 262, $S = \frac{H}{H-h}s$. Так как человек движется равномерно, $s = vt$. Следовательно, $S = \frac{H}{H-h}vt$. Тень перемещается с постоянной скоростью $\frac{Hv}{H-h}$, большей скорости человека.

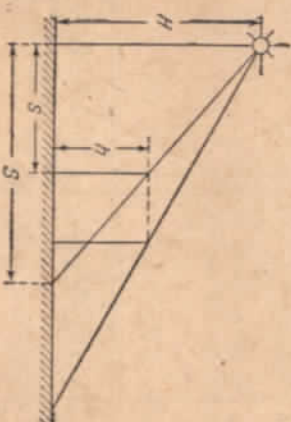


Рис. 262.

Поэтому график скорости имеет вид прямой, параллельной оси абсцисс.

3. Время встречи 8.00. Скорость пешехода 4 км/час.
На последующие вопросы проще всего ответить с помощью графика (рис. 263): пешеход встретил 12-й автобус на расстоянии 10,7 км от запора; велосипедист обогнал 4 автобуса.

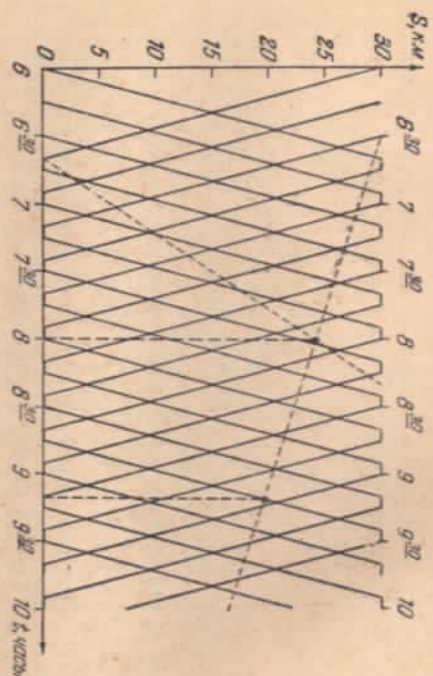


Рис. 263.

4. Расстояние между электропоездами $s = vt$; с другой стороны, $s = v_1t + u_1t$.
Отсюда $u_1 = \frac{v(t - \tau)}{\tau} = 45 \text{ км}$.

5. На рис. 264 AMN — график общего движения машины. CD — график пути инженера до встречи с машиной в точке D . DB — график движения машины после встречи с инженером.

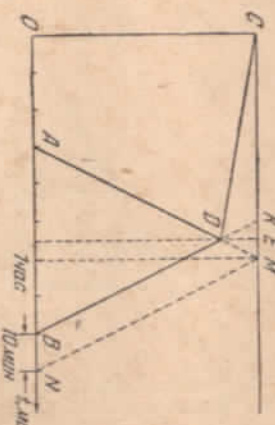


Рис. 264.

- Согласно условиям задачи $BN = KM = 10$ минут. Время движения инженера до встречи с машиной
- $$CE = CM - EM = CM - \frac{KM}{2} = 55 \text{ минут.}$$

6. График пути (рис. 265) изображает движение катеров между пристанищами M и K . Из этого графика очевидно, что линии обсаживаются 11 катеров. Катер, идущий из M в K , встречает в пути 8 катеров, столько же, сколько и катер, идущий из K в M .

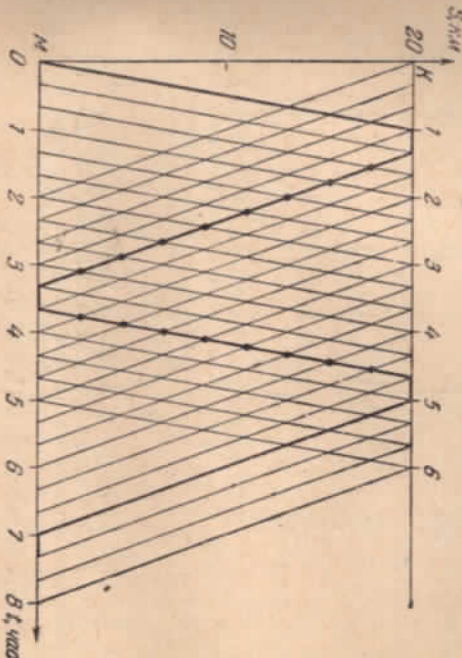


Рис. 265.

7. Полонину пути каждый турист проходит пешком, а половину пути проходит на велосипеде. Весь путь туриста преодолеют за время $\tau = \frac{s}{2v_1} + \frac{s}{2v_2} = 5 \text{ час } 20 \text{ мин.}$

Следовательно, их средняя скорость $v = \frac{s}{\tau} = 7,5 \text{ км/час}$. Велосипед остается неиспользованным в течение половины времени движения, т. е. в течение 2 час 40 мин.

8. Пусть за время Δt первая свеча сгорела на величину Δh_1 , а вторая свеча на Δh_2 (рис. 266). Тогда тень на левой стене (от первой свечи) опустится на расстояние

$$\Delta x = \Delta h_1 + (\Delta h_1 - \Delta h_2) = 2\Delta h_1 - \Delta h_2.$$

Тень на правой стене опустится на расстояние

$$\Delta y = \Delta h_2 - (\Delta h_1 - \Delta h_2) = 2\Delta h_2 - \Delta h_1.$$

Учитывая, что $\Delta h_1 = \frac{h}{t_1} \Delta t$, $\Delta h_2 = \frac{h}{t_2} \Delta t$, получим:

$$v_1 = \frac{\Delta x}{\Delta t} = \frac{2h}{t_1} - \frac{h}{t_2} = \frac{h}{t_1 t_2} (2t_2 - t_1),$$

$$v_2 = \frac{\Delta y}{\Delta t} = \frac{2h}{t_2} - \frac{h}{t_1} = \frac{h}{t_1 t_2} (2t_1 - t_2).$$

Если $t_2 > t_1$, то $v_1 > 0$, а v_2 может быть величиной отрицательной, т. е. на правой стене гейн может перемещаться вверх.

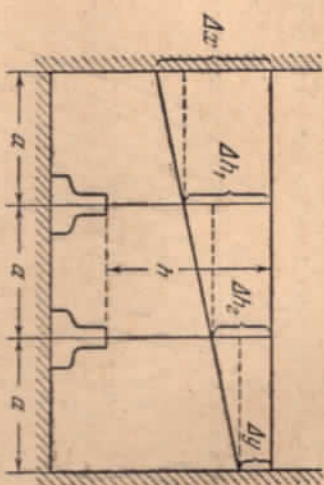


Рис. 266.

9. Автобус находится в точке A , человек в точке B (рис. 267). Точка C — место встречи человека с автобусом, α — угол между направлением на автобус и направлением, по которому должен бежать человек, $AC = v_1 t_1$, $BC = v_2 t_2$, где t_1 и t_2 — время движения автобуса и человека до точки C .

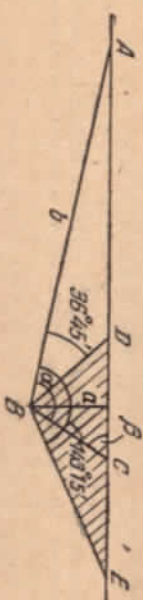


Рис. 267.

Из $\triangle ABC$ видно, что $AC = \frac{b \sin \alpha}{\sin \beta}$, где $\sin \beta = \frac{a}{BC}$. Следовательно, $\sin \alpha = \frac{a}{b} \frac{v_1 t_1}{v_2 t_2}$. По условию задачи $t_1 > t_2$, поэтому $\sin \alpha > \frac{av_1}{bv_2} = 0.6$. Отсюда $36^{\circ} 45' < \alpha < 143^{\circ} 15'$.

Направления, по которым может двигаться человек, заключены в прелках угла DCE . При движении вдоль BD или BE человек достигает шага одновременно с автобусом. В любую из точек D и E , находящуюся между точками D и E , человек прибежит раньше автобуса.

10. Наименьшую скорость можно определить из условий:

$$t_1 = t_2, \quad \sin \alpha = \frac{av_1}{bv_2} = 1,$$

$$\text{Отсюда } v_2 = \frac{a}{b} v_1 = 2.4 \frac{\text{м}}{\text{сек}}.$$

При этом $\alpha = 90^{\circ}$. Следовательно, направление, по которому должен бежать человек, перпендикулярно направлению на автобус.

11. Так как скорость движения в воде меньше скорости по берегу, то путь AB не обязательно займет минимальное время предположим, что траектория движения человека — ломаная линия ADB (рис. 268). Необходимо определить, при каком значении x время будет минимальным.

Время движения t равно

$$t = \frac{\sqrt{d^2 + x^2}}{v_1} + \frac{S - x}{v_2} = \frac{v_2 \sqrt{d^2 + x^2} - v_1 x + v_1 S}{v_1 v_2}.$$

Это время будет минимальным, если $y = v_2 \sqrt{d^2 + x^2} - v_1 x$ будет иметь наименьшее значение. Очевидно, что x , соответствующее минимальному времени t , не зависит от расстояния S . Для нахождения x , соответствующего минимальному значению y , выражим x через y и получим квадратное уравнение

$$x^2 - \frac{2yv_1}{v_2^2 - v_1^2} x + \frac{v_2^2 d^2 - y^2}{v_2^2 - v_1^2} = 0.$$

Решение его приводит к следующему выражению:

$$x = \frac{v_1 y \pm v_2 \sqrt{y^2 + d^2 v_1^2 - v_2^2 d^2}}{v_2^2 - v_1^2}.$$

Так как x не может быть комплексным, то $y^2 + d^2 v_1^2 > v_2^2 d^2$.

Минимальное значение y равно $y_{\min} = d \sqrt{v_2^2 - v_1^2}$. Этому значению y соответствует $x = \frac{dv_1}{v_2^2 - v_1^2}$.

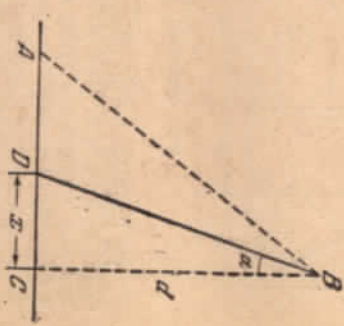


Рис. 268.

Если $S < \frac{dv_1}{\sqrt{v_2^2 - v_1^2}}$, то следует сразу плыть по прямой AB к точке B . В противном случае надо пробежать по берегу огорожек, равный $AD = S - \frac{dv_1}{\sqrt{v_2^2 - v_1^2}}$, а потом плыть к B .

Отметим, что для пути, соответствующего кратчайшему времени, $\sin \alpha = \frac{v_1}{v_2}$.

12. 1) Графически проще всего решать задачу в системе координат, связанной с водой. Скорость плота, равная скорости течения реки, в этой системе координат равна нулю. Скорость теплохода против течения и по течению будет одна и та же по величине. Поэтому на графике пути теплохода (рис. 269) $\tg \alpha_1 = \tg \alpha_2 = v_1$. Во время стоянки теплохода, скорость относительно воды будет равна скорости течения реки v_2 . Следовательно, $\tg \alpha = v_2$.

Из рис. 269 видно, что

$$v_2 = \lg a = \frac{BF}{AF} = \frac{\lg a_2 \cdot t_3 - \lg a_1 \cdot t_1}{t_2} = \frac{v_1(t_3 - t_1)}{t_2} = 2,5 \frac{\text{км}}{\text{час}},$$

2) За время от встречи теплохода с плотами, они проилянут путь, равный

$$S = v_2(t_1 + t_2 + t_3).$$

С другой стороны, это же расстояние равно разности проекций теплоходом по течению и против течения реки:

$$S = t_3(v_1 + v_2) - t_1(v_1 - v_2).$$

Следовательно,

$$\begin{aligned} v_2(t_1 + t_2 + t_3) &= t_3(v_1 + v_2) - t_1(v_1 - v_2), \\ t_3(v_1 + v_2) - t_1(v_1 - v_2) &= 2,5 \frac{\text{км}}{\text{час}}. \end{aligned}$$

13. Графики пути катеров, отыскивающих одновременно изображения ложами MEB и KEA , где E — точка их встречи (рис. 270). Так как скорость катеров относительно воды одинакова, то MA и KB — прямые линии.

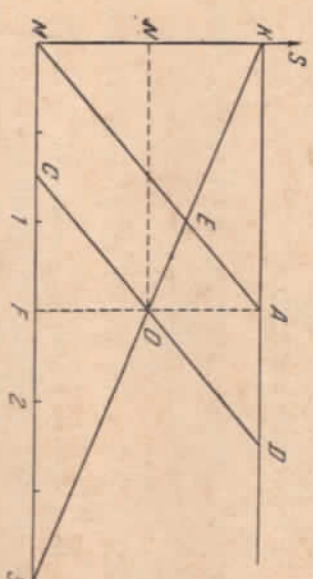


Рис. 269.

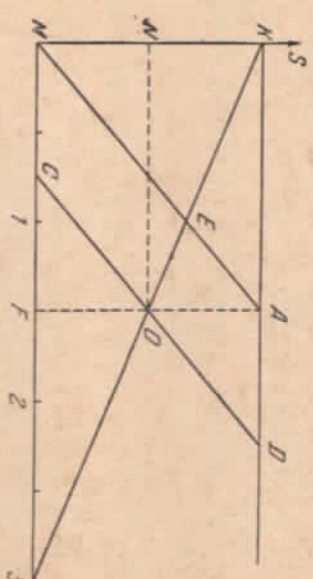


Рис. 270.

Оба катера будут находиться в пути одновременно, если они встретятся посередине между пристанями. Точка их встречи O лежит на пересечении линий KB с перпендикуляром, восстановленным из середины отрезка KM . Графики движения катеров изображаются линиями KOD и COB . Как видно из рис. 270, $\triangle MAF \sim \triangle COF$ и, следовательно, искомое время $MC = 45$ мин.

14. Скорость лодки относительно воды v_1 и скорость реки v_2 определяются из уравнений $S = t_1(v_1 + v_2)$ и $S = t_2(v_1 - v_2)$,

168

где t_1 и t_2 — время движения катеров по течению и против течения. Как следует из условия, $t_1 = 1,5$ час и $t_2 = 3$ час.

Отсюда

$$v_1 = \frac{S(t_1 + t_2)}{2t_1 t_2} = 15 \frac{\text{км}}{\text{час}},$$

$$v_2 = \frac{S(t_2 - t_1)}{2t_1 t_2} = 5 \frac{\text{км}}{\text{час}}.$$

Место встречи находится на расстоянии 20 км от пристани M . Учитывая, что время движения лодки и катера одинаково, можно написать уравнение

$$\frac{S}{v_1 + v_2} = 2 \left(\frac{S}{v_2 + v_0} + \frac{S}{v_2 - v_0} \right),$$

где S — расстояние между пристанями. Отсюда

$$v_0^2 + 4v_0 v_1 + 4v_1 v_2 - v_0^2 = 0.$$

Следовательно,

$$v_0 = -2v_2 \pm \sqrt{5v_2^2 - 4v_1 v_2} = -20 \pm 19,5.$$

Решение $v_0 = -39,5 \frac{\text{км}}{\text{час}}$ следует отбросить, так как при этой скорости лодка не может подняться против течения.

Следовательно, $v_0 = -0,5 \frac{\text{км}}{\text{час}}$, т. е. река течет от пристани T к пристани C .

15. Скорость лодки относительно берега v направлена по AB (рис. 271). Очевидно, $v = v_0 + u$. Известна: направление вектора v

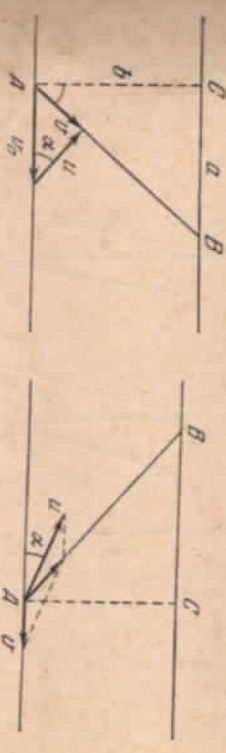


Рис. 271.

и величина и направление вектора v_0 . Вектор u будет иметь минимальное значение, как видно из чертежа, при $u \perp v$.

Следовательно,

$$u_{\min} = v_0 \cos \alpha, \quad \cos \alpha = \frac{b}{\sqrt{a^2 + b^2}}.$$

17. Пусть скорость u направлена под углом α к берегу (рис. 272). Тогда

$$(u \cos \alpha - v) = BC = a, \quad u \sin \alpha = AC = b,$$

где v — время движения лодки.

169

Исключив α из этих уравнений, будем иметь:

$$\frac{v^2}{2}(u^2 - v^2) - 2uvz - (a^2 + b^2) = 0.$$

Отсюда $z = 15/21$ часа. Следовательно, пролететь расстояние AB за 30 минут невозможно.

18. Пусть u_0 — скорость ветра относительно катера. Тогда на катере будет направлен вдоль u_0 . Если v — скорость флота по отношению к берегу, то $u = u_0 + v$ (рис. 273). В $\triangle FCD$

$$\angle DCF = \beta + \alpha - \frac{\pi}{2}, \text{ а } \angle FDC = \pi - \beta. \text{ По теореме синусов } \frac{\sin(\alpha + \beta - \frac{\pi}{2})}{v} = \frac{\sin(\pi - \beta)}{u}. \text{ Следовательно, } v = \frac{\sin(\alpha + \beta - \frac{\pi}{2})}{\sin(\pi - \beta)}.$$

Определив скорость течения реки по известной скорости катера относительно берега невозможно, так как неизвестно направление движущегося катера относительно поля.

19. 1) Если скорость самолета относительно воздуха постоянна и равна v , то скорость относительно земли при встречном ветре $v_{BC} = v + u$, при встречном ветре $v_{DA} = v - u$ и при боковом ветре $v_{AB} = v_{CD} = \sqrt{v^2 - u^2}$ (рис. 274, а и б).

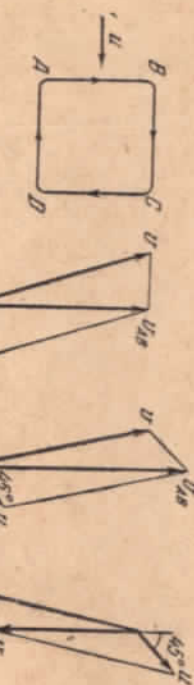


Рис. 273.

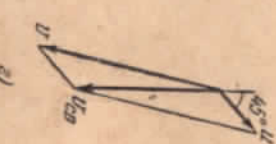


Рис. 274.

Следовательно, время, затраченное на облет квадрата, равно

$$t_1 = \frac{a}{v+u} + \frac{a}{v-u} + \frac{2a}{\sqrt{v^2 - u^2}} = 2a \frac{v + \sqrt{v^2 - u^2}}{v^2 - u^2}.$$

2) Если ветер дует вдоль диагонали квадрата от A к C , то (см. рис. 274, б)

$$v^2 = v_{AB}^2 + u^2 - 2uv_{AB} \cos 45^\circ.$$

Скорость на участках AB и BC равна

$$v_{AB} = v_{BC} = \frac{\sqrt{v^2 - u^2}}{2} u + \sqrt{v^2 - \frac{u^2}{2}},$$

Скорость на участках CD и AD (рис. 274, в)

$$v_{CD} = v_{DA} = -\frac{\sqrt{v^2 - u^2}}{2} u + \sqrt{v^2 - \frac{u^2}{2}}.$$

В обоих решениях оставляем только знак \pm перед корнем.

Чтобы сохранить направление «облета» по часовой стрелке, время, затраченное на облет квадрата, равно

$$t_2 = \frac{4a}{\frac{v^2 - u^2}{2}}.$$

20. Введем обозначения: u_{12} — скорость второй автомашины относительно первой; u_{21} — скорость первой автомашины относительно второй.

Очевидно, $u_{12} = u_{21}$ и $u_{12}^2 = v_1^2 + v_2^2 + 2v_1v_2 \cos \alpha$ (рис. 275).

Искомое время $t = \frac{s}{u_{12}}$.

21. За время Δt прямая AB переместится на расстояние $v_1 \Delta t$, а прямая CD на расстояние $v_2 \Delta t$. При этом точка пересечения

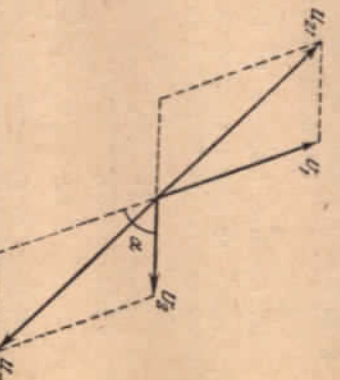


Рис. 275.

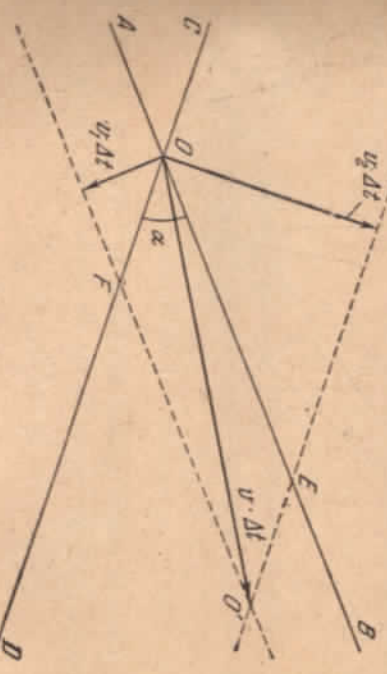


Рис. 276.

прямая AB перейдет в положение O' (рис. 276). Перемещение OO' точки пересечения прямых найдется из треугольника OOF

или OEO' , где $OF = \frac{v_1 \Delta t}{\sin \alpha} = EO'$ и $OE = \frac{v_2 \Delta t}{\sin \alpha} = FO'$:

$$OO' = \sqrt{OF^2 + OE^2 + 2OF \cdot OE \cos \alpha} = v \cdot \Delta t.$$

Отсюда

$$v = \frac{1}{\sin \alpha} \sqrt{v_1^2 + v_2^2 + 2v_1 v_2 \cos \alpha}.$$

§ 2. Кинематика неравномерного и равнопреременного

прямолинейного движения

22. Средняя скорость на всем пути $v_{cp} = \frac{S}{t_1 + t_2 + t_3}$, где t_1 — время движения автомобиля со скоростью v_1 , t_2 — со скоростью v_2 и t_3 — со скоростью v_3 . Очевидно,

$$t_1 = \frac{S}{3v_1}, \quad t_2 = \frac{S}{3v_2}, \quad t_3 = \frac{S}{3v_3}.$$

Следовательно,

$$v_{cp} = \frac{3v_1 v_2 v_3}{v_1 v_2 + v_1 v_3 + v_2 v_3} = 18 \frac{\text{км}}{\text{час}}.$$

23. Путь S , пройденной точкой за 5 сек, численно равен площади, заключенной между ломаной $Oabc$ и осью времени (см. рис. 6): $S_1 = 10,5 \text{ см}$.

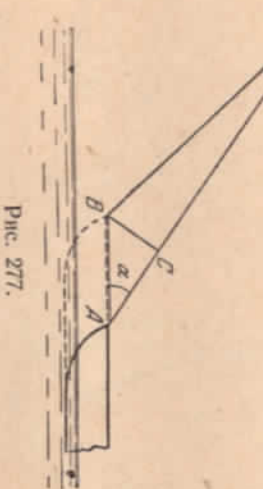


Рис. 277.

Средняя скорость движущей точки за 5 сек $v_1 = \frac{S_1}{t_1} = 2,1 \frac{\text{см}}{\text{сек}}$.

Среднее ускорение точки за тот же промежуток времени

$$a_1 = \frac{\Delta v}{t_1} = 0,8 \frac{\text{см}}{\text{сек}^2}.$$

Путь, проходимый за 10 сек, равен $S_2 = 25 \text{ см}$.

Следовательно, средняя скорость и среднее ускорение равны

$$v_2 = \frac{S_2}{t_2} = 2,5 \frac{\text{см}}{\text{сек}}, \quad a_2 = 0,2 \frac{\text{см}}{\text{сек}^2}.$$

24. За малый интервал времени Δt пос. лодки переместится из точки A в точку B (рис. 277). $AB = v_1 \Delta t$, где v_1 — скорость лодки. За это же время будет выбран отрезок веревки $OA - OB = \Delta S = v_1 \Delta t$. $\triangle ABC$ можно считать прямоугольным, так как $AC \ll OA$. Следовательно, $v_1 = \frac{v}{\cos \alpha}$.

25. Пусть в начальный момент времени $t = 0$ предмет находился в точке S (рис. 278), а в момент времени t занял положение C . Побудите $\triangle SCD$ и $\triangle SBA$ приводят к равенству

$$AB = \frac{ht}{SD} = \frac{ht}{v_1 t}.$$

Скорость точки B в данный момент времени $v_2 = \frac{ht}{BB'}$ при условии, что время Δt , за которое край BB' переместится на расстояние BB' , стремится к нулю.

Так как $BB' = AB - AB' = \frac{ht}{v_1} \left(\frac{1}{t} - \frac{1}{t+\Delta t} \right) = \frac{ht \Delta t}{t(t+\Delta t)}$, то $v_2 = \frac{ht}{v_1 t(t+\Delta t)}$, или, учитывая, что $\Delta t \ll t$, $v_2 = \frac{ht}{v_1 t^2}$.

26. Для равноускоренного движения $x = x_0 + v_0 t + \frac{at^2}{2}$. Следовательно, $v_0 = 35 \text{ см}/\text{сек}$, $a = 82 \text{ см}/\text{сек}^2$, $x_0 = 11 \text{ см}$ — начальная координата точки.

27. Из графика скорости (см. рис. 8) вытекает, что начальная скорость $v_0 = 4 \text{ см}/\text{сек}$ ($OA = 4 \text{ см}/\text{сек}$), Ускорение $a = \frac{OA}{OB} = 1 \frac{\text{см}}{\text{сек}^2}$. В начале скорость тела убывает. В момент $t_1 = 4 \text{ сек}$ скорость тела равна нулю, а затем возрастает по величине.

Второй график (см. рис. 9) изображает также равноускоренное движение. До остановки тело проходит путь $h = 10 \text{ см}$. Согласно же первому графику путь до остановки, равный площади $\triangle OAB$, есть 8 см. Следовательно, графики изображают разные движения.

Второму графику соответствует другая начальная скорость $v'_0 = \frac{2h}{t_1} = 5 \frac{\text{см}}{\text{сек}}$ и другое ускорение $a' = \frac{2h}{t_1^2} = 1,25 \frac{\text{см}}{\text{сек}^2}$.

28. Средние скорости обеих машин одинаковы и равны

$$v_{cp} = \frac{2v_1 v_2}{v_1 + v_2} = 36 \frac{\text{км}}{\text{час}}.$$

Следовательно, расстояние между пунктами A и B равно 72 км. Первая машина половину пути прошла за $t' = 6/5$ часа, другую

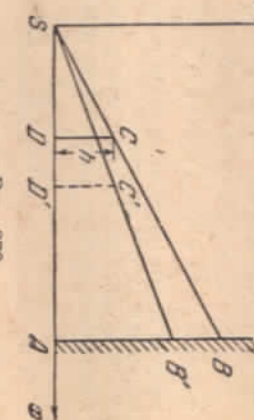


Рис. 278.

половину за $t'' = 4/5$ часа. Вторая машина шла все время с ускорением

$$a = \frac{2S}{t_0^2} = 36 \frac{\text{км}}{\text{час}^2}$$

и достигла скорости $v_b = at_0 = 72 \text{ км/час}$ в конце пути. Скорость 30 км/час второй машина приобрела через

$$t_1 = \frac{v_0}{a} = \frac{5}{6} \text{ часа.}$$

а скорость 45 км/час, спустя $t_2 = \frac{v_{45}}{a} = 5/4$ часа с момента отрыва. В эти моменты времени первая машина двигалась с той же скоростью, что и вторая.

В момент обгона пути, проходимые машинами, одинаковы. Следовательно, должны иметь место равенства

$$v_0 t = \frac{at^2}{2} \text{ для } t < \frac{6}{5} \text{ часа и}$$

$$v_0 t' + v_2 (t - t') = \frac{at^2}{2} \text{ для } \frac{6}{5} \text{ часа} < t < 2 \text{ часа.}$$

В первом случае: $t = 0$ (машины идут рядом в начальный момент) или $t = 5/3$ часа, что не отвечает условию $t < 6/5$ часа. Во втором случае: $t = 2$ часа (машины прибывают одновременно в пункт B) и $t = 1/2$ часа. Последнее не удовлетворяет условию $t > 6/5$ часа. Следовательно, в пути ни одна из машин не обогнула другую.

29. Наибольшая скорость, которую будет иметь шарик при соударении с подставкой, $v_{\max} = \sqrt{2gH}$.

При ударе скорость шарика изменяет направление на противоположное, оставаясь неизменной по абсолютной величине. График скорости имеет вид, изображенный на рис. 279, а.

На рис. 279, б представлена изменение координаты со временем.

30. Время падения первого шарика $t_1 = \sqrt{\frac{2h_1}{g}} = 0,3$ сек. Отношение максимальных скоростей шариков $\frac{v_2}{v_1} = \sqrt{\frac{h_2}{h_1}} = \frac{1}{2}$.

Как следует из графика скоростей (рис. 280), минимальное время $\tau = 0,3$ сек. Кроме того, второй шарик может начать падение

после 0,6; 0,9; 1,2 сек и т. д., после начала падения первого шарика.

Время t , в течение которого скорости обоих шариков совпадают, равно 0,3 сек. Процесс периодически повторяется через 0,6 сек.

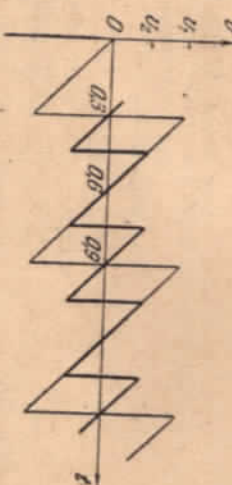


Рис. 280.

31. Исходными являются уравнения

$$\frac{g t^2}{2} = n, \quad \frac{g(t-\tau)^2}{2} = n-1,$$

где τ — время движения тела на n -м сантиметре пути.

$$\text{Отсюда } t = \sqrt{\frac{2n}{g}}, \quad t - \tau = \sqrt{\frac{2(n-1)}{g}},$$

$$\tau = \sqrt{\frac{2}{g}}(\sqrt{n} - \sqrt{n-1}).$$

32. Обозначая через x_1 и v_1 координату и скорость первого тела относительно башни, а через x_2 и v_2 — второго, можно написать следующие уравнения:

$$x_1 = v_0 t - \frac{gt^2}{2}, \quad v_1 = v_0 - gt,$$

$$x_2 = -v_0 (t - \tau) - \frac{g(t-\tau)^2}{2}, \quad v_2 = -v_0 - g(t-\tau).$$

(Направление вверх считается здесь положительным.)

Скорость первого тела относительно второго равна $u = v_1 - v_2 = 2v_0 - g\tau$ и не меняется с течением времени.

Расстояние между телами равно

$$S = x_1 - x_2 = (2v_0 - g\tau)t - v_0\tau + \frac{g\tau^2}{2}.$$

Друг относительно друга тела движутся равномерно, и следовательно, расстояние между ними изменяется пропорционально времени.

33. По условию задачи $AA' = vt$, $CC' = \frac{at^2}{2}$ (рис. 281). Из подобия треугольников $AA'O$, $BB'O$ и $CC'O$ имеем:

$$\frac{AA'}{AO} = \frac{BB'}{BO} = \frac{CC'}{CO}.$$

Как видно из рис. 281, $AO = AB + BO$, $CO = BC - BO$. Эти соотношения позволяют определить

$$BB' = \frac{AA' - CC'}{2} = \frac{vt}{2} - \frac{at^2}{4}.$$

Рис. 281.

Следовательно, точка B движется с начальной скоростью $\frac{v}{2}$, направлена вверх, и постоянным ускорением $\frac{a}{2}$, направленным вниз. Достигнув высоты $h = \frac{v^2}{4a}$, точка будет двигаться вниз.

34. Обозначим скорость левого автомобиля в некоторый момент времени v_1 , правого v_2 , букируемого v_3 . Тогда по прошествии времени t левый автомобиль пройдет путь

$$S_1 = v_1 t + \frac{a_1 t^2}{2},$$

правый

$$S_2 = v_2 t + \frac{a_2 t^2}{2},$$

букируемый

$$S_3 = v_3 t + \frac{a_3 t^2}{2}.$$

В то же время нетрудно видеть, что $S_3 = \frac{S_1 + S_2}{2}$. Так как это равенство должно выполняться при любом t , то

$$v_3 = \frac{v_1 + v_2}{2}, \quad a_3 = \frac{a_1 + a_2}{2}.$$

35. Величина ускорения книги относительно пола лифта зависит от направления движения лифта (направление его скорости), а от направления ускорения лифта.

Если ускорение лифта направлено вверх, то ускорение книги будет равно $g + a$. Если же его ускорение направлено вниз, то ускорение книги будет $g - a$.

36. Ускорение книги относительно Земли равно g , а относительно вагона $\sqrt{a^2 + g^2}$.

37. Если бы скорость лифта не изменилась, то шарик подскочил бы над его полом на высоту H .

В системе отсчета, имеющей постоянную скорость, равную скорости лифта в момент, когда шарик начал подниматься, за время t на высоту $h_1 = \frac{at^2}{2}$, а за следующий интервал времени t еще на высоту $h_2 = a\tau^2 - \frac{a\tau^2}{2}$. Полная высота подъема $h = h_1 + h_2 = a\tau^2$.

Искомая высота, на которую подскочит шарик над полом лифта, $x = H - h = H - a\tau^2$.

38. Время подъема груза на

высоту h равно $\tau = \sqrt{\frac{2h}{a_1}}$. Скорость груза относительно краана в этот момент $v_1 = a_1 \tau$. Скорость груза относительно краана по горизонтали $v_2 = a_2 \tau$.

Полная скорость груза по отношению к Земле равна

$$v = \sqrt{v_1^2 + v_2^2 + v_0^2}$$

39. При свободном падении за время t тело A пройдет по вертикали путь $S_1 = \frac{gt^2}{2}$. За это же время клин должен сместиться на

расстояние $S_2 = \frac{at^2}{2}$. Если тело все время соприкасается с клином, то, как видно из рис. 282, $\frac{S_2}{S_1} = ctg \alpha$.

Следовательно, искомое ускорение $a = g \operatorname{ctg} \alpha$.

Если ускорение клина в горизонтальном направлении будет больше $g \operatorname{ctg} \alpha$, то тело оторвется от клина.

§ 3. Динамика прямолинейного движения

40. Сила F , приложенная к шару, определяет по второму закону Ньютона величину и направление ускорения шара, но не определяет скорости. Поэтому о направлении движения шара ничего сказать нельзя; под действием силы F шар может двигаться в любом направлении, а также иметь скорость, равную нулю.

41. Равнодействующая всех сил равна 6 кг и совпадает по направлению с силой 5 кг . Следовательно, ускорение шара равно $a = \frac{F}{m} = 14,7 \text{ м/сек}^2$ и направлено в сторону силы 5 кг .

О направлении движения ничего сказать нельзя (см. решение задачи 40).

42. В системе МКС (или СИ) вес тела $P = mg = 9,8 \text{ кг}$. В технической системе за единицу силы принят 1 кг , т. е. сила, с которой Земля притягивает тело массой в 1 кг . В системе СГС вес тела равен $980\,000 \text{ дин}$. При использовании второго закона Ньютона

для нахождения силы в технической системе единиц не следует забывать, что масса должна быть выражена в технических единицах массы.

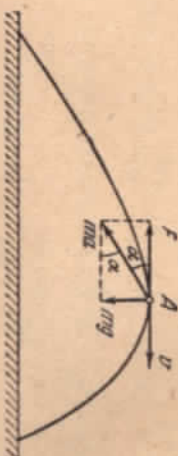


Рис. 283.

43. Искомый угол α определяется из соотношения (рис. 283)

$$\tan \alpha = \frac{mg}{F}.$$

44. Тело, скользящее по вертикальному диаметру AB , затратит на весь путь времени $t_{AB} = \sqrt{\frac{2AB}{g}}$. Для проницаемого желоба, расположенного под углом α к диаметру AB , время движения равно

$t_{AC} = \sqrt{\frac{2AC}{g \cos \alpha}}$. Так как $AC = AB \cos \alpha$, $t_{AC} = t_{AB}$. Все тела достигнут края диска одновременно.

45. Сила сопротивления воздуха F достигает минимального значения после того, как скорость парашютиста станет постоянной. При этом $F = mg = 75 \text{ кг}$.

46. По второму закону Ньютона $N - mg = \pm ma$. Следовательно, $N = mg + ma$, если ускорение лифта направлено вверх, и $N = mg - ma$, если ускорение направлено вниз независимо от направления скорости.

При $a = g$ $N = 0$. (Здесь, как и далее, N обозначает силу нормального давления, либо силу нормальной реакции.)

47. По второму закону Ньютона $ma = kmg$. Отсюда коэффициент трения $k = \frac{a}{g}$. Так как при упругом ударе независимо от угла меняется только направление скорости, то $a = \frac{v^2}{S}$, где $S = 12.5 \text{ м}$ — полный путь, проходимый шайбой до остановки. Следовательно, $k = \frac{v^2}{gS} = 0.102$.

48. Считая ускорение автомобиля постоянным, можно написать: $a = \frac{v^2}{2S}$. Так как максимальное значение силы трения при торможении равно kmg , то по второму закону Ньютона $m \frac{v^2}{2S} = kmg'$, где m — масса автомобиля.

Отсюда $k' = \frac{v^2}{2gS}$. Поставляя в полученную формулу значения v и S из таблицы, найдем значения коэффициента трения для различных дорог:

Для обделенной дороги	$k = 0.1$
« сухого снега	$k = 0.2$
« мокрого дерев. торса	$k = 0.3$
« сухого «	$k = 0.5$
« мокрого асфальта	$k = 0.4$
« сухого «	$k = 0.6$
бетона	$k = 0.7$

С точностью до первого десятичного знака коэффициент трения не зависит от скорости.

49. При ускорении автомобиля задняя стена бензобака сообщает бензину ускорение v/t . По второму закону Ньютона сила F , необходимая для этого ускорения, равна $S \frac{v}{t}$, где S — площадь задней стены бензобака. По третьему закону Ньютона с той же силой бензин будет действовать на стенку. Гидростатическое давление бензина на обе стени одинаково. Следовательно, разность давлений на стени $\Delta p = \frac{F}{S} = I_p \frac{v}{t}$.

50. Масса левой части стержня $m_1 = \frac{M}{L} l$, а правой $m_2 = \frac{M}{L} (L - l)$, где M — масса всего стержня. Под действием приложенных к нему сил каждая часть стержня движется с одним и тем же ускорением a . Поэтому

$$F_1 - F = m_1 a,$$

$$F - F_2 = m_2 a.$$

Отсюда сила напряжения

$$F = \frac{F_1 m_2 + F_2 m_1}{m_1 + m_2} =$$

$$= F_1 \frac{L - l}{L} + F_2 \frac{l}{L},$$

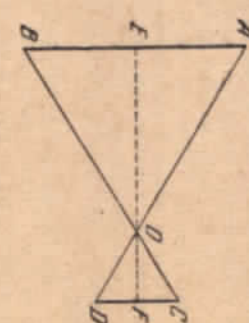


Рис. 284.

51. Движение шарика будет равновесным. Изображение шарика на пластинке возникает через

расстояние между положениями изображений C и D на пластинке, соответствующими положениям изображений C и D на пластинке, как видно из рис. 284, равно $AB = CD = \frac{OE}{OF}$. Фокусное расстояние объектива $OF = 10 \text{ см}$, $OE = 15 \text{ см}$, $CD = 3 \text{ см}$. Скорость парика $v_i = \frac{AB}{t} = 10.8 \text{ см/сек}$.

При равномерном движении шарика $mg = kv_1^2$. Во втором случае $4mg = kv_2^2$. Следовательно, $v_2^2 = 4v_1^2$ и $v_2 = 21,6 \frac{m}{сек}$.

$$k = \frac{P}{v_1^2} \approx 39 \cdot 10^{-5} \frac{kГ \cdot см^2}{m^2}.$$

52. На рис. 285 изображены силы, действующие на грузы. Уравнения движения для грузов записаны следующим образом:

$$m_1a = T - m_1g, \quad m_2a = m_2g - T,$$

T — натяжение нити, a — ускорение. (Ускорения грузов одинаковы, так как нить считается нерастяжимой. Непосредственность нити и блока определяет постоянство T .)

$$\begin{aligned} & T \\ & m_1g \downarrow \\ & m_2g \downarrow \\ & \text{Отсюда} \end{aligned}$$

$$\begin{aligned} a &= \frac{m_2 - m_1}{m_1 + m_2} g = 327 \frac{\text{см}}{\text{сек}^2}, \\ T &= m_1(a + g) = 130700 \text{ дин} = 133 Г. \end{aligned}$$

Рис. 285.

Время движения $t = \sqrt{\frac{2H}{a}} \approx 1 \text{ сек.}$

53. Если масса блоков и нити преисцрежимо мала, то (рис. 286)

$$2F - T = 0, \quad T - P = ma.$$

$$\text{Отсюда } F = \frac{P}{2} \left(1 + \frac{a}{g} \right). \quad \text{При } a = 0$$

$$F = \frac{P}{2}.$$

54. Если масса второго груза значительно больше $200 z$, то оба груза будут двигаться с ускорением, несколько меньшим g , причем ускорение более легкого груза будет направлено вверх. Чтобы заставить груз массы m двигаться вверх с ускорением g , необходимо приложить к нему силу $2mg$.

Следовательно, чтобы должна выдерживать натяжение, приближительно равное $400 Г$.

55. Показание динамометра начальное равно $F = 3 kГ$. Если показания динамометра не меняются, то на груз $2 kГ$ действует направлена вверх сила натяжения нити, равная $3 kГ$. Следовательно, этот груз движется вверх с ускорением $a = \frac{g}{2}$. С тем же ускорением движется вниз другой груз. Дополнительный груз на второй чашке находится из уравнения

$$\frac{P+P_1}{g} \cdot \frac{g}{2} = (P+P_1-F).$$

Отсюда $P_1 = 3 kГ$.

56. На шар действуют три силы: сила тяжести, сила натяжения верхней нити и сила, приложенная к нижней нити по прямая линия (рис. 287).

Ускорение, которое получает шар при движении, можно определить из уравнения $ma = F_1 + mg - F_2$.

Для того чтобы обворачивалась нитки, необходимо, чтобы сила, приложенная к нижней нити, была больше натяжения верхней нити, т. е. $F_1 > F_2$. При этом условии ускорение, полученное шаром, больше ускорения силы тяжести:

57. По второму закону Ньютона

$$(m_1 + m_2)a = m_1g \sin \alpha - m_2g \sin \beta - km_1g \cos \alpha - km_2g \cos \beta.$$

Шар окажется на одном уровне после прохождения пути S , удовлетворяющего следующим уравнениям:

$$S \sin \alpha = h - S \sin \beta \text{ и } S = \frac{a \tau^2}{2}.$$

Изменяя S и a из системы трех уравнений, получим:

$$\frac{m_1}{m_2} = \frac{g \tau^2 (\sin \alpha + \sin \beta)}{g \tau^2 (\sin \alpha + \sin \beta) (m_1 \sin \alpha - m_2 \sin \beta) - 2h}.$$

58. Уравнения движения дают для ускорения камня следующие выражения:

$$a_1 = g(\sin \alpha + k \cos \alpha) \text{ при движении вверх,}$$

$$a_2 = g(\sin \alpha - k \cos \alpha) \text{ при движении вниз.}$$

Кинематические уравнения записаны следующим образом:

$$I = v_0 t_1 - \frac{a_1 t_1^2}{2}, \quad I = \frac{a_2 t_2^2}{2},$$

$$v_0 - a_1 t_1 = 0.$$

Из этих пяти уравнений находим:

$$k = \frac{2I - gt_1^2 \sin \alpha}{gt_1^2 \cos \alpha} \approx 0,37.$$

$$t_2 = t_1 \sqrt{\frac{I}{gt_1^2 \sin \alpha - I}} = 4,2 \text{ сек.}$$

59. Для данного случая уравнения динамики записаны в виде

$$mg - T = ma, \quad T = Ma,$$

где T — натяжение нити,
Отсюда

$$a = \frac{m}{M+m} g = \frac{2}{7} g.$$

Уравнения кинематики дают: $x = v_0 t - \frac{at^2}{2}$; $v_t = v_0 - at$. Решая данную систему уравнений, найдем, что через 5 сек тележка будет

находиться на том же месте ($x=0$) и будет иметь скорость $v_f = \frac{7}{7} m/сек$, направленную вправо. Тележка пройдет путь

$$S = 2 \left\{ v_0 \frac{t}{2} - \frac{a \left(\frac{t}{2} \right)^2}{2} \right\} = 17.5 \text{ м.}$$

60. Буер может двигаться только по направлению полозов коньков. При скорости буера, превышающей скорость ветра, Скорость ветра относительно буера

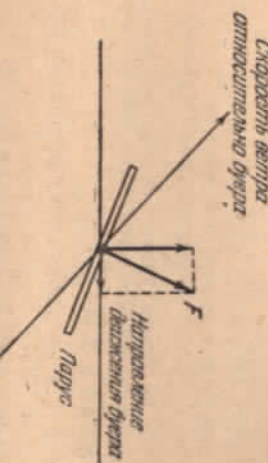


Рис. 288.

скорость ветра относительно буера имеет составляющую, направленную назад. Если при этом скорость ветра относительно буера имеет также составляющую, перпендикулярную движению, то можно расположить парус так, что сила F , действующая на парус, будет толкать буер вперед (рис. 288).

Следовательно, скорость буера может превышать скорость ветра. Практически скорость буера может быть больше скорости ветра в 2—3 раза.

61. 1) Ускорение в начальный момент $a_0 = \frac{F}{M} \approx 13.1 \frac{m}{сек^2}$. В зависимости от времени ускорение меняется по закону $a = \frac{F}{M - \mu t}$, где $\mu = 200 \text{ кг/сек}$ —

масса топлива, расходуемая ракетой в единицу времени. График ускорения имеет вид, изображенный на рис. 289. Скорость, спустя 20 сек, численно равна плюс или, запятой, запятой на четырех знаках, $v \approx 300 \text{ м/сек}$.

2) Второй закон Ньютона записывается так:

$$(M - \mu t) a = F - (M - \mu t) g - f.$$

По условию $t = 20 \text{ сек}$, $a = 0.8g$. Отсюда сила сопротивления воздуха

$$f = F - (M - \mu t) g - (M - \mu t) 0.8g = 12800 \text{ кН}$$

3) Уравнение Ньютона для груза дает: $m_a = kx - mg$, где m — масса груза на конце пружины, a — ускорение ракеты, k — коэффициент упругости пружины, x — удлинение пружины. По условию задачи $mg = kI_0$. Следовательно, $x = \frac{I_0}{g} (a + g)$. Шкала прибора должна быть равномерной (рис. 290). Делению и один сантиметр соответствует ускорение $\frac{g}{2}$.

62. Единственной силой, действующей на бусинку, является сила реакции стержня N , которая направлена перпендикулярно стержню. Абсолютное ускорение w_a бусинки (ускорение относительно неподвижного наблюдателя) будет направлено в сторону действия силы реакции N . Относительное ускорение w_0 направлено вдоль стержня (рис. 291)

$$w_0 = \mathbf{a} + \mathbf{w}_0.$$

Из треугольника ускорений следует: $w_0 = a \cos \alpha$,

На основании второго закона Ньютона сила реакции равна

$$N = ma \sin \alpha.$$

Время движения бусинки по стержню τ определяется из уравнения $\tau = \frac{a \cos \alpha \cdot \varphi^2}{2L}$. Отсюда $\tau = \sqrt{\frac{2L}{a \cos \alpha}}$.

63. При движении бусинки на нее действуют две силы: сила трения kN и сила реакции N .

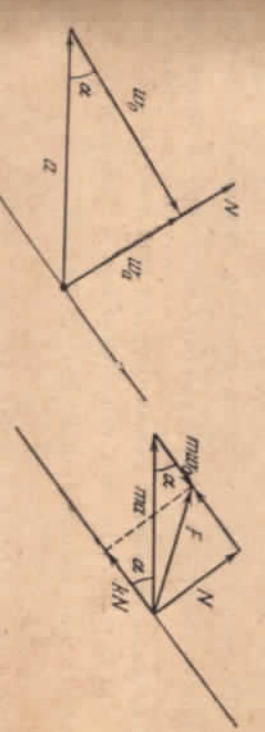


Рис. 291.

Рис. 292.

Абсолютное ускорение будет направлено по результатирующему силе F . Из рис. 292 следует:

$$N = ma \sin \alpha.$$

$$\omega_0 = a \cos \alpha - \frac{kN}{m} = a (\cos \alpha - k \sin \alpha).$$

Отсюда (см. задачу 62)

$$\tau = \sqrt{\frac{2L}{a (\cos \alpha - k \sin \alpha)}}.$$

Если $k \geq c g \alpha$, то бруска не будет двигаться относительно стержня, и в этом случае сила трения равна $ma \cos \alpha$.

64. Уравнения движения бруска и тела имеют вид:

$$ma = f,$$

$$Mb = F - f,$$

где f — сила трения; a и b — ускорения.

Предположим, что просталязывания нет, тогда $a = b$. Из уравнений движения можно определить ускорение и силу трения. Сила трения $f = m \frac{F}{M+m}$. Чтобы не было просталязывания, сила трения должна удовлетворять неравенству $f < kmg$, т. е. $\frac{F}{M+m} < kg$.

Если $F > k(M+m)g$, то возникает скольжение. Уравнения (1) и (2) в этом случае примут вид:

$$ma = kmg, \quad Mb = F - kmg.$$

Из этих уравнений находим a и b :

$$a = kg, \quad b = \frac{F - kmg}{M}.$$

Очевидно, что $b > a$. Ускорение тела относительно бруска будет направлено в сторону, противоположную движению, и по величине равно $\frac{F - kmg}{M} - kg$.

Время движения тела по бруsku $\tau = \sqrt{\frac{2M}{F - kg(M+m)}}$.

65. Тележка первоначально движется равнозамедленно. Скорость тележки равна $v = v_0 - \frac{f}{M}t$, где f — сила трения, равная kg .

Тело движется равноускоренно. Скорость тела $u = \frac{f}{m}t$.

Если тележка длиной a , то скорости тела и тележки могут сбиваться. Это происходит в момент времени $\tau = \frac{v_0}{\frac{f}{m} + \frac{f}{M}}$. После

этого и тело, и тележка начнут двигаться с постоянной скоростью, равной $\frac{Mv_0}{M+m}$. Тележка к этому моменту времени пройдет путь

$$S = v_0 \tau - \frac{f}{2M} \tau^2,$$

а тело — путь

$$s = \frac{f}{2m} \tau^2.$$

Путь, проходимый телом относительно тележки, равен $S - s$. Этот путь должен быть меньше a . Таким образом, тело не покинет тележку при условии, если $S - s < a$, т. е.

$$\frac{Mv_0^2}{2gk(M+m)} < a.$$

66. Рассмотрим элемент нити, находящийся в шели. Пусть нить лежится пин. Тогда на элемент нити действуют силы натяжения нити с обеих сторон и сила трения (рис. 293).

Так как массой рассматриваемого кусочка нити мы пренебрегаем, то $T_1 - F - T_2 = 0$.

Уравнения динамики записаны следующим образом:

$$m_1g - T_1 = m_1a,$$

$$m_2g - T_2 = -m_2a,$$

$$a = \frac{(m_1 - m_2)g - F}{m_1 + m_2},$$

Отсюда

$$T_1 = m_1a, \quad T_2 = m_2a, \quad a = \frac{(m_1 - m_2)g - F}{m_1 + m_2},$$

натяжение нити равно весу груза m_1 . Следовательно, сила давления блока на штангу равна $2m_1g$, т. е. в случае 1) 2 кг, в случае 2) 6 кг.

Весы будут в обоих случаях показывать сумму весов первого и второго грузов, т. е. 4 кг. Сила трения, равная $2kg$, приложена к штанге со стороны второго груза.

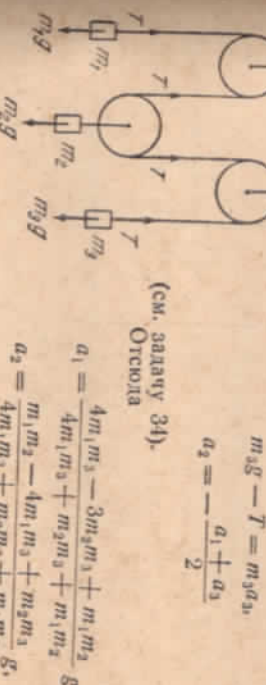
В случае 1) она складывается с силой давления блока на штангу, а в случае 2) вычитается из неё.

68. Так как массы блоков и нити мы пренебрегаем, натяжение нити будет всюду одинаково (рис. 294). Поэтому

Рис. 293.

Рис. 294.

Рис. 295.



(см. задачу 34).

$$m_1g - T = m_1a_1,$$

$$m_2g - T = m_2a_2,$$

$$a_1 = -\frac{a_1 + a_2}{2}$$

$$a_2 = -\frac{a_1 + a_2}{2}$$

$$a_1 = \frac{4m_1m_3 - 3m_2m_3 + m_1m_2}{4m_1m_3 + m_2m_3 + m_1m_2} g,$$

$$a_2 = \frac{m_1m_2 - 4m_1m_3 + m_2m_3}{4m_1m_3 + m_2m_3 + m_1m_2} g,$$

$$a_3 = \frac{4m_1m_3 - 3m_1m_2 + m_2m_3}{4m_1m_3 + m_2m_3} g.$$

Рис. 294.

Рис. 295.

69. Вторая обвязка будет на той же высоте, что и первая. Если массу блока и вес веревки не учитывать, то сила T натяжения обеих концов веревки будет одинакова, следовательно, обе обвязки имеют одинаковое по величине и направлению ускорение, поэтому они достигнут блока одновременно.

70. Так как масса блоков и нити пренебрежимо мала, натяже-

Поэтому

$$\begin{aligned} m_1 g - T &= m_1 a_1, \\ m_2 g - 2T &= m_2 a_2, \\ 2T - T &= 0. \end{aligned}$$

Отсюда $T = 0$ и $a_1 = a_2 = g$.
Оба груза свободно падают с ускорением g . Блоки B и C врашаются против часовой стрелки. Блок A — по часовой стрелке.

71. 1) Сила, действующая на стол и груз, изображена на рис. 295. Уравнения движения по горизонтали имеют следующий вид:
для стола с блоками

$$F - F_{\text{тр}} + F_{\text{тр}} = \frac{P_1}{g} a_1,$$

для груза

$$F - F_{\text{тр}} = \frac{P_2}{g} a_2.$$

Предположим, что сила F настолько мала, что груз не скользит по столу. Тогда $a_1 = a_2$ и $F_{\text{тр}} = F \frac{P_1}{P_1 + P_2}$.

Увеличивая постепенно силу F , мы тем самым будем постепенно увеличивать и силу трения $F_{\text{тр}}$. Однако если стол и груз

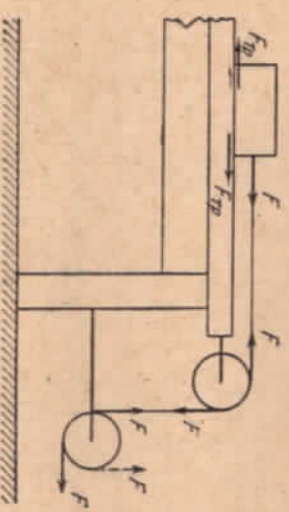


Рис. 295.

неподвижны друг относительно друга, то сила трения между ними не может превысить значения $F_{\text{тр}} \max = k P_2$. Поэтому скольжение груза по столу начнется при

$$F > F_{\text{тр}} \max \frac{P_1 + P_2}{P_1} = k \frac{P_2}{P_1} (P_1 + P_2) = 10 k F.$$

В нашем случае $F = 8 k F$, следовательно, груз проскальзывает и будет и

$$a_1 = a_2 = \frac{F}{P_1 + P_2} g = \frac{8}{25} g \approx 314 \frac{\text{см}}{\text{сек}^2}.$$

2) Уравнения движения для стола с блоками и груза в этом случае имеют вид:

$$-F + F_{\text{тр}} = \frac{P_1}{g} a_1,$$

$$F - F_{\text{тр}} = \frac{P_2}{g} a_2.$$

Ускорения стола и груза направлены в противоположные стороны; поэтому проскальзывание обязательство будет.

Следовательно, $F_{\text{тр}} = k P_2$.
Ускорение стола равно

$$a_1 = \frac{-F + k P_2}{P_1} g = -\frac{2}{15} g = -131 \frac{\text{см}}{\text{сек}^2},$$

Стол будет двигаться налево.

72. По второму закону Ньютона изменение количества движения системы пушки — ядро за время выстрела τ должно равняться импульсу действующих на систему сил.

По горизонтали

$$m v_0 \cos \alpha - M v_1 = F_{\text{тр}} \tau,$$

где $F_{\text{тр}} \tau$ — импульс сил трения.

По вертикали

$$m v_0 \sin \alpha = N \tau - (M g + m g) \tau,$$

где $N \tau$ — импульс си нормального давления (реакции горизонтальной площадки), $(M g + m g) \tau$ — импульс сил тяжести. Учитывая, что $F_{\text{тр}} = k N$, получим

$$v_1 = \frac{m}{M} v_0 \cos \alpha - k \frac{m}{M} v_0 \sin \alpha - k \frac{M+m}{M} g \tau$$

или, так как $g \tau \ll v_0$,

$$-v_1 \approx \frac{m}{M} v_0 (\cos \alpha - k \sin \alpha).$$

Данное решение пригодно для $k \ll \operatorname{ctg} \alpha$. При $k > \operatorname{ctg} \alpha$ пушка остается неподвижной.

§ 4. Закон сохранения количества движения

73. Количество движения метеорита передается молекулам воздуха n , в конечном итоге, земному шару.

74. Разобьем массу диска на пары одинаковых элементов, лежащих на одной прямой по радиусам расстояния от центра. Количества движения каждой пары равны нулю, так как количества движения обеих масс равны, но направлены в противоположные стороны. Следовательно, количество движения всего диска равно нулю.

75. Винт обычного вертолета вращается потому, что к нему

приложена сила со стороны мотора, укрепленного в фюзеляже.

приложены со стороны винта к мотору. Эти силы создают момент, стремящийся вращать корпус вертолета в сторону, противоположную вращению винта. Хвостовой винт служит для компенсации этого вращательного момента.

В реактивном вертолете сила со стороны винта приложена к вытекающим газам, и поэтому не создает вращательного момента.

76. Скорость лодки u находится с помощью закона сохранения количества движения. В горизонтальном направлении

$$Mu = mv \cos \alpha.$$

Отсюда $u = 8 \text{ см/сек.}$

77. В начальной точке полета скорость ракеты равна нулю. Изменение общего количества движения частей ракеты под действием внешних сил (силы тяжести) крайне незначительно, так как импульс этих сил весьма мал по сравнению с импульсом винта. Поэтому общее количество движения частей ракеты до и сразу после взрыва остается постоянным и равным пулю. Между тем три вектора $(m_1 v_1, m_2 v_2, m_3 v_3)$ могут в сумме дать пулю только тогда, когда они лежат в одной плоскости.

78. Пусть масса человека m , масса лодки M . Если человек двигался относительно лодки со скоростью v , то лодка двигалась относительно берега со скоростью $-u$, следовательно, человек относительно берега двигался со скоростью $v_1 = v - u$.

По закону сохранения количества движения

$$m(v - u) - Mu = 0.$$

Отсюда $u = \frac{m}{m + M} v$. Скорость человека относительно берега

$$v_1 = \frac{M}{m + M} v.$$

Так как знак v_1 совпадает со знаком v , то при любом соотношении масс m и M человека и лодки расстояние между человеком и берегом увеличится.

79. Скорость лодки относительно берега u связана со скоростью человека относительно лодки v соотношением $u = \frac{m}{m + M} v$ (см. задачу 78). Отношение скоростей во время движения остается постоянным. Поэтому отношение пройденных путей будет равно отношению скоростей

$$\frac{S}{l} = \frac{m}{m + M},$$

где S — путь, пройденный лодкой, а l — длина лодки (расстояние, проходимое человеком относительно лодки).

Следовательно, для того чтобы лодка приводила ее длину должна быть не менее $l = \frac{m + M}{m} S = 2.5$ м. Лодка не приводит.

80. Пружины, расправляясь, действуют на оба груза. Груз, стоящий у стены, спачала исподвижно, а второй груз начинает двигаться. Когда пружина полностью расправится (т. е. приведет

в неодеформированное состояние), второй груз будет иметь некоторую скорость. Следовательно, система приобретет некоторое количество движения в горизонтальном направлении, которое будет в дальнейшем сохраняться, так как внешние силы в этом направлении действовать не будут. Таким образом, система в целом будет двигаться от стены. (Грузы будут то сближаться, то расходиться.)

81. Скорость тележки не будет зависеть от того, в какую часть барабана попадет пуля. Количество движения вращающегося барабана независимо от направления и скорости его вращения равно пулю (см. задачу 74). Следовательно, пуля перенесет системе барабана был неподвижно закреплен на тележке.

82. Обозначим через v_k скорость ракеты в конце k -й секунды.

В конце $(k+1)$ -й секунды из ракеты выбрасывается газ массы m , который уходит с собой количество движения, равное

$$m(-u + v_k).$$

Из закона сохранения количества движения следует, что

$$(M - km)v_k = [M - (k+1)m]v_{k+1} + m(-u + v_k).$$

Изменение скорости ракеты за одну секунду равно

$$v_{k+1} - v_k = \frac{mv}{M - (k+1)m}.$$

Зная изменение скорости за одну секунду, можно написать выражение для скорости в конце n -й секунды:

$$v_n = v_0 + u \left(\frac{m}{M-m} + \frac{m}{M-2m} + \dots + \frac{m}{M-nm} \right).$$

83. Скорость ракеты будет увеличиваться. Это становится очевидным, если перейти к системе отсчета, относительной которой ракета в данный момент покончил движение вытекающих газов будет толкать ракету перед.

84. Пусть масса лодки M , масса мешка m , начальная скорость лодок v_0 . При набрасывании мешка из лодки на нее действует некоторая сила в направлении, перпендикулярно v_0 . Однако следует отметить, что изменения скорости лодки не происходят, так как сила сопротивления воли препятствует поперечному движению лодок. Скорость лодки изменяется только при попадании в нее мешка.

Применив закон сохранения количества движения к системе мешок — лодка, в первом случае можно написать:

$$(M+m)v_0 - mv_0 = (M+2m)v_1 \text{ для одной лодки,}$$

$$-Mv_0 + mv_1 = (M+m)v_2 \text{ для другой.}$$

Здесь v_1 и v_2 — конечные скорости лодок. Из данной системы уравнений имеем: $v_1 = -v_2 = \frac{M}{M+2m} v_0$.

В случае, когда мешки перебрасываются одновременно, конечные скорости лодок v'_1 и v'_2 определяются из уравнений:

$$Mv_0 - mv_0 = (M+m)v'_1 \quad -Mv_0 + mv_0 = (M+m)v'_2.$$

Отсюда $v'_1 = -v'_2 = \frac{M-m}{M+m} v_0$. Таким образом, конечная скорость лодок в первом случае будет больше.

85. На систему обруча — жук в горизонтальном направлении внешние силы не действуют. Поэтому центр тяжести системы (точка C на рис. 296) не будет передвигаться в горизонтальной плоскости. Расстояние от центра тяжести системы до центра обруча

$$\text{равно } CO = \frac{m}{m+M} R. \quad \text{Так как это расстояние постоянно, центр обруча } O \text{ будет описывать относительно неподвижной точки } C \text{ окружность радиуса } CO. \text{ Легко видеть, что траектория жука представляет собой окружность радиуса } AC = \frac{M}{m+M} R.$$

Взаимное расположение, а также направление движения жука и обруча указаны на рис. 296.

86. Так как внешние силы, действующие на систему по горизонтали, отсутствуют, проекции общего количества движения системы клин — грузы на горизонтальную ось следует, что клин начнет двигаться только в том случае, если будут двигаться грузы.

Чтобы груз m_2 двигался вправо, должно выполняться условие $m_2 g \sin \alpha > m_1 g + km_2 g \cos \alpha$.

Отсюда $\frac{m_1}{m_2} < \sin \alpha - k \cos \alpha$. При этом условии клин будет двигаться влево. Чтобы груз m_2 двигался влево, должно выполняться условие

$$m_1 g > m_2 g \sin \alpha + km_2 g \cos \alpha$$

$$\frac{m_1}{m_2} > \sin \alpha + k \cos \alpha.$$

Клип при этом будет двигаться вправо. Следовательно, для равновесия клина отношение масс грузов должно удовлетворять неравенству

$$\sin \alpha - k \cos \alpha < \frac{m_1}{m_2} < \sin \alpha + k \cos \alpha.$$

§ 5. Статика

$$87. I_1 = I \frac{k}{k+1}.$$

Следовательно, $\alpha = 60^\circ$. Искомое расстояние $h = l \operatorname{ctg} \alpha = \frac{l}{\sqrt{3}}$. Равновесие устанавливается после того, как затухнут колебания, возникшие при опускании груза.

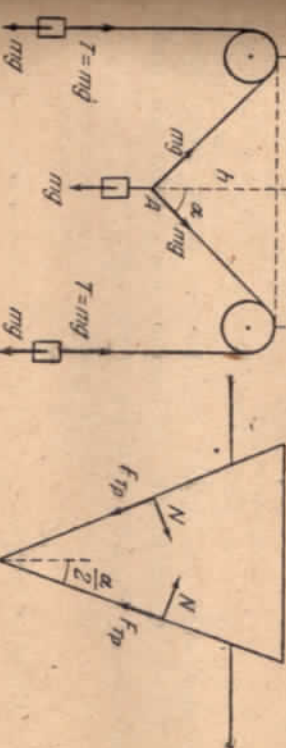
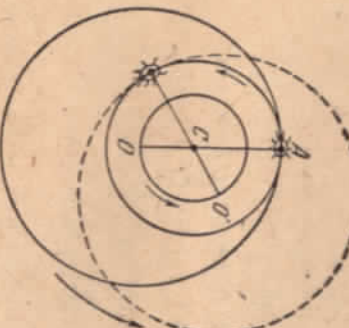


Рис. 297.

Рис. 298.

88. Равнение проекций сил на направление вертикали (рис. 298) приводит к уравнению

$$2N \sin \frac{\alpha}{2} - 2F_{\text{тр}} \cos \frac{\alpha}{2} = 0,$$

где N — сила нормального давления, а $F_{\text{тр}} \leq kN$ — сила трения. Весом клина обычно можно пренебречь.

Следовательно, $\lg \frac{\alpha}{2} \leq k$ и $\alpha \leq 2 \arctg k$.

90. Если груз P опустится на высоту h , то точка K опустится на $\frac{h}{3}$. Груз Q при этом поднимется на $\frac{2}{3}h$. Применим «золотое правило механики», имеем: $Rh = Q \frac{2}{3}h$.

$$\text{Отсюда } P = \frac{2}{3}Q.$$

91. Если ящик не опрокидывается, то момент силы F , врашающей его против часовой стрелки вокруг ребра при основании, меньше или равен моменту силы тяжести, врашающему ящик по часовой стрелке. Чтобы ящик скользил, сила должна быть больше максимальной силы трения, приложенной к ящику. Следовательно,

$$Fh < mg \frac{l}{2}, \quad F > kmg.$$

$$\text{Отсюда } k < \frac{l}{2h}.$$

92. Для поворота балки необходимо, чтобы момент сил, приложенных к концам балки, был больше момента сил трения, когда эти силы достигают своего максимального значения.

Силы трения распределены равномерно вдоль балки (рис. 299). Среднее плечо сил трения, действующих на левую или правую часть балки, равно $l/4$, если длину всей балки обозначить через l .

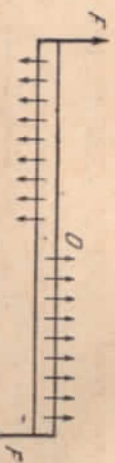


Рис. 299.

Момент всех сил трения относительно центра балки равен $\frac{2}{2} \cdot \frac{kP}{4} \cdot \frac{l}{4}$. Следовательно, для поворота балки необходимо, чтобы приложенное силы F удовлетворяло неравенству

$$2F \frac{l}{2} > \frac{kPl}{4}.$$

Отсюда $F > \frac{kP}{4}$.

Для поступательного перемещения балки необходимо, чтобы $2F > kP$. Следовательно, балку легче повернуть.

93. Уравнение движения груза имеет вид: $\frac{P_0}{g} \cdot a = F - P_0$ (рис. 300). Сумма сил, действующих на груз по вертикали, равна

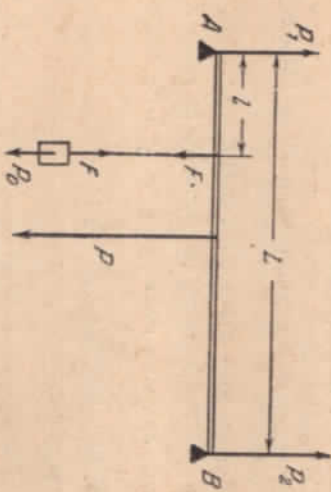


Рис. 300.

плю. Поэтому $P_1 + P_2 = P + F$. Равенство нулю суммы моментов сил относительно точки А дает уравнение $Fl + P \frac{l}{2} = LP_2$.

Решая данную систему уравнений, находим:

$$P_1 \approx 2,23 T, \quad P_2 \approx 1,77 T.$$

94. Для равновесия рычага приложенная к точке D сила должна создать момент, равный $P \cdot AB$. Сила будет минимальной при максимальном плече, равном BD .

Следовательно, $F = P \frac{AB}{BD} = \frac{P}{\sqrt{2}}$ и направлена перпендикулярно BD .

95. Если трение между полом и ящиками отсутствует, то ящики скатятся одновременно. Если же коэффициент трения не равен нулю, то раньше скатится правый ящик (см. рис. 35), так как сила, приложенная к нему со стороны палки, будет больше, чем сила, приложенная к левому ящику.

Действительно, со стороны правого ящика против F_1 а со стороны левого ящика — сила F_2 , направленная по F_1 . Сумма сил при равновесии равна нулю. Следовательно, $F_1 = F_2 + F_3$, и сила F_1 равна, чем F_2 , достигнет значения максимальной силы трения покоя.

96. Равенство нулю суммы моментов сил, действующих на шар, относительно точки А (рис. 301) приводит к уравнению

$$F_{tr}R - NR = 0.$$

Так как $F_{tr} < kN$, то $k > 1$.

97. Для того чтобы тело находилось в покое, необходимо, чтобы суммарный момент сил, стремящийся повернуть тело по часовой стрелке, был равен моменту сил, стремящимся повернуть тело против часовой стрелки (например, вокруг центра тяжести). В

данном случае момент сил трения, врачающий кирпич по часовой стрелке, должен быть равен моменту сил давления плоскости на кирпич. Отсюда следует, что сила давления плоскости на правую часть кирпича должна быть больше, чем на левую.

По третьему закону Ньютона и сила давления правой половины кирпича на плоскость должна быть больше, чем сила давления левой половины.

98. Для того чтобы каток поднялся на ступеньку, необходимо, чтобы момент сил, врачающих каток вокруг точки А (рис. 302) против часовой стрелки, был бы больше момента сил, действующих на каток по часовой стрелке:

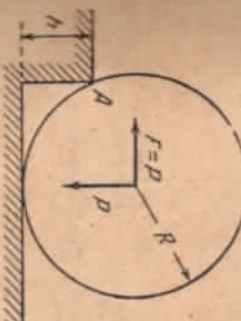


Рис. 302.

При часовой стрелки, был бы больше момента сил, действующих на каток по часовой стрелке:

$$P(R - h) = PV^2R^2 - (R - h)^2.$$

Отсюда $h = \frac{2 \pm \sqrt{2}}{2} R$. Так как $h < R$, то

$$h = \left(1 - \frac{\sqrt{2}}{2}\right) R \approx 0,29R.$$

99. Так как на один из плоскостей сила трения равна нулю, то она равна нулю и на другой плоскости. В противном случае шар прращался бы вокруг своего центра, ибо момент всех оставшихся сил относительно этого центра равен нулю (виду равенства нулю плеча каждой из этих сил относительно центра шара).

Суммы проекций сил на вертикальное и горизонтальное направления равны нулю (рис. 303). Поэтому

$$N_1 \cos \alpha_2 - N_2 \cos \alpha_1 = 0,$$

$$P - N_1 \sin \alpha_2 - N_2 \sin \alpha_1 = 0,$$

где N_1 и N_2 — искомые силы давления. Отсюда

$$N_1 = \frac{P}{\sin \alpha_2 + \cos \alpha_2 \cdot \operatorname{tg} \alpha_1} \approx 2,6 \text{ кГ},$$

$$N_2 = \frac{\sin \alpha_1 + \cos \alpha_2 \cdot \operatorname{tg} \alpha_2}{P} \approx 1,5 \text{ кГ}.$$

100. Обозначим через F силу, приложенную к одной ручке. Вследствие действия силы F происходит поворот ящика, при котором возникают в точках A и B упругие силы N_1 и N_2 (рис. 304). Действующие на ящик со стороны шкафа. Эти приложенные к ящику силы равны друг другу: $N_1 = N_2 = N$. Из условия равенства нулю момента всех действующих сил относительно центра ящика C следует, что $N = F \frac{l}{2a}$.

Ящик может быть выдвинут, если приложенная сила F больше максимальной силы трения покоя: $F > f_1 + f_2 = 2kN$.

Для того чтобы последнее неравенство выполнялось, необходимо, чтобы $k < \frac{a}{l}$.

101. Доска, отколовшаяся на угол α от горизонтального положения на перекатом деревце, аналогична телу, удерживаемому силами трения на наклонной плоскости с углом при основании α . Поэтому при равнодействующей $F_{\text{тр}} = mg \sin \alpha$. Учитывая, что $F_{\text{тр}} < kmg \cos \alpha$, имеем: $\operatorname{tg} \alpha < k$.

102. Силы, приложенные к лестнице, изображены на рис. 305. В случае равенства суммы проекций сил вдоль вертикали и горизонтали равны нулю.

Следовательно, $N_1 = F_{\text{тр}}$, $N_2 = mg$. Равенство нулю суммы моментов сил относительно точки B дает еще одно уравнение

$$N_1 \cos \alpha = mg \frac{\sin \alpha}{2}.$$

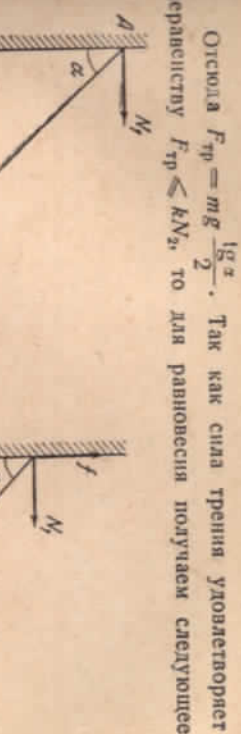


Рис. 305.

необходимое и достаточное условие:

$$\operatorname{tg} \alpha < 2k.$$

103. Применение к лестнице силы изображены на рис. 306. Из условия равенства нулю суммы сил и суммы моментов сил имеем:

$$f + N_2 = mg, \quad (1)$$

$$N_1 = F_{\text{тр}}, \quad (2)$$

$$f \sin \alpha + N_1 \cos \alpha = mg \frac{1}{2} \sin \alpha. \quad (3)$$

Сила трения f и $F_{\text{тр}}$ удовлетворяют неравенствам: $f < kN_1$ и $F_{\text{тр}} < kN_2$. Используя первое неравенство и уравнения (1) и (3), получаем: $\operatorname{clg} \alpha > \frac{N_2}{2N_1} - \frac{k}{2}$. Так как $k > \frac{N_1}{N_2}$, то $\operatorname{clg} \alpha > \frac{1-k^2}{2k}$. Введя обозначение $k = \operatorname{tg} \beta$, данному неравенству можно придать более удобную для вычислений форму:

$$\operatorname{clg} \alpha > \operatorname{clg} 2\beta \text{ или } \alpha < 2\beta.$$

104. Если в момент, когда конец палочки B начнет приподниматься, значение силы трения $F_{\text{тр}} < kN$ окажется достаточным для того, чтобы конец A не проскальзывал, то палочка начнет вращаться вокруг конца A . В противном случае конец A начнет скользить до тех

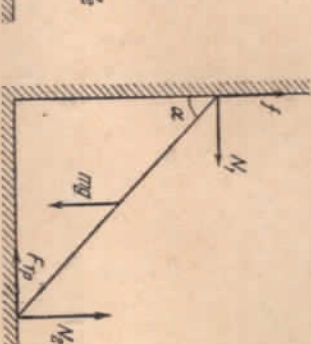


Рис. 306.

пор, пока сила трения $F_{\text{тр}} = kN$ не окажется способной удержать палочку в равновесии (рис. 307). После этого палочка начнет пролетать вокруг конца A .

Найдем, какие значения должен иметь коэффициент трения k , чтобы скольжение прекратилось при определенном угле α между палочкой и нитью.

Равенство сил в момент, когда палочка почти горизонтальна, приводит к уравнению:

$$P_{\text{тр}} = T \cos \alpha,$$

Для того чтобы палочка вообще не начала скользить, необходимо, чтобы $k > \operatorname{ctg} 60^\circ = \frac{1}{\sqrt{3}}$.

Используя данную систему уравнений, найдем:

$$k = \frac{F_{\text{тр}}}{N} = \operatorname{ctg} \alpha.$$

Для того чтобы палочка вообще не начала скользить, необходимо, чтобы $k > \operatorname{ctg} 60^\circ = \frac{1}{\sqrt{3}}$.

105. Сумма моментов сил, действующих на человека относительно его центра тяжести, равна нулю. Поэтому сила F , действующая со стороны Земли, обязательно направлена к центру тяжести человека C (рис. 308).

Горизонтальная составляющая этой силы не может быть больше максимальной силы трения покоя: $F \sin \alpha < kF \cos \alpha$. Отсюда $k > \operatorname{tg} \alpha$.

106. На лестницу действуют три силы: вес P , сила со стороны Земли F и реакция опоры N . Так как стена гладкая, сила N (рис. 309) перпендикулярна ей.

Направление силы F проще всего определить, если найти точку, относительно которой моменты сил P и N равны нулю. Такой точкой будет точка пересечения прямых ON и OP . Тогда и момент силы F относительно этой точки тоже должен быть равен нулю. Следовательно, сила должна быть направлена таким образом, чтобы ее продолжение прошло через точку O .

Как вытекает из рис. 309, направление силы F составляет с лестницей угол $\beta = 30^\circ - \arctg \frac{1}{2\sqrt{3}} \approx 14^\circ 10'$.

Сила, действующая на лестницу со стороны земли, будет направлена вдоль лестницы только в том случае, если все остальные силы будут приложены к центру масс лестницы или же будут действовать вдоль нее.

107. Лестницу нельзя удержать от падения с помощью веревки, привязанной к ее середине. Моменты силы реакции пола и стены, а также момент силы натяжения веревки относительно точки O равны нулю при любом натяжении T (рис. 310). Момент силы тяжести относительно той же точки отличен от нуля. Поэтому лестница обязательно упадет.

108. Со стороны стены на лестницу действует реакция опоры N_1 , перпендикулярная стени. На нижней конец лестницы действуют сила N_2 (реакция опоры) и $F_{\text{тр}}$ (сила трения) (рис. 311). Если для простоты не рассматривать вес лестницы, то кроме этих сил на нее действует еще вес человека P . Равнение проекций сил по горизонтали и вертикали дает: $N_2 = P + N_1 = F_{\text{тр}}$.

Пусть вначале человек находится в нижней части лестницы (точка A). Равенство моментов сил относительно точки O приводит к уравнению $N_1CB = P \cdot \cos \alpha \cdot AO$.

Следовательно, чем выше находится человек, тем большее значение будет иметь сила N_1 . Но $F_{\text{тр}} = N_1$. Поэтому и сила трения,

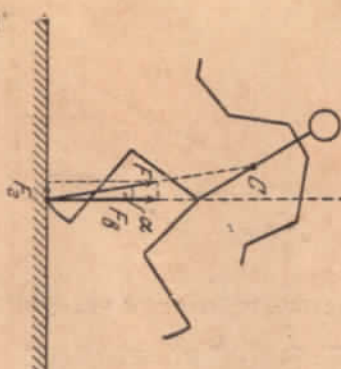


Рис. 308.

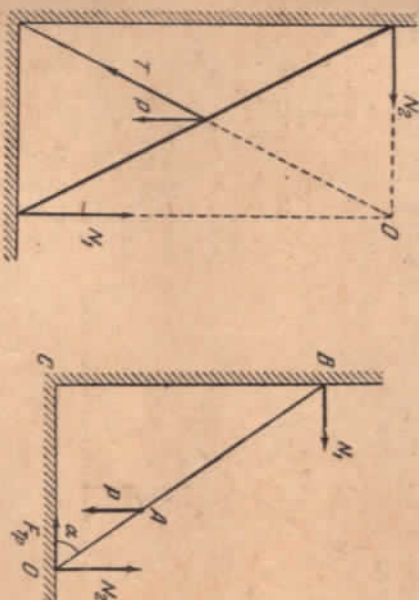


Рис. 309.

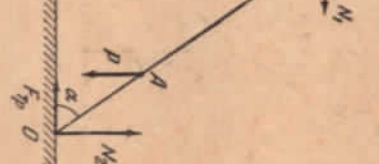


Рис. 310.

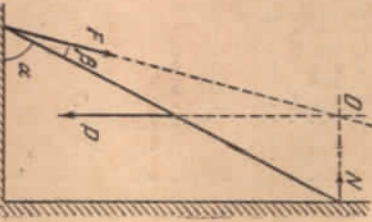


Рис. 311.

удерживающая лестницу, растет по мере того, как человек поднимается вверх. Когда $F_{\text{тр}}$ достигнет своего максимального значения, равного kP , лестница начнет скользить.

109. При равновесии сумма сил, действующих на картину (рис. 312), равна нулю. Следовательно, $P = F_{\text{тр}} + T \cos \alpha$, $N = T \sin \alpha$. Сила трения должна удовлетворять неравенству

$$F_{\text{тр}} < kN \text{ или } k > \frac{F_{\text{тр}}}{N}.$$

Равенство моментов относительно точки B дает уравнение

$$\frac{P}{2} l \sin \alpha = T(l \cos \alpha + \sqrt{d^2 - l^2 \sin^2 \alpha}) \sin \alpha.$$

Отсюда

$$\frac{F_{\text{тр}}}{N} = \frac{l \cos \alpha + 2\sqrt{d^2 - l^2 \sin^2 \alpha}}{l \sin \alpha}$$

Рис. 312.

110. Найдем первоначальное направление силы f , с которой стержень BC действует на стержень CD . Предположим, что у этой силы имеется вертикальная составляющая, направленная вверх. Тогда по третьему закону Ньютона стержень CD действует на стержень BC с силой, у которой вертикальная составляющая направлена вниз. Однако это противоречит симметрии задачи. Следовательно, вертикальная составляющая силы f должна быть равна нулю. Сила, действующая на стержень CD со стороны стержня DE , будет иметь и горизонтальную и вертикальную составляющие, как указано на рис. 313, а.

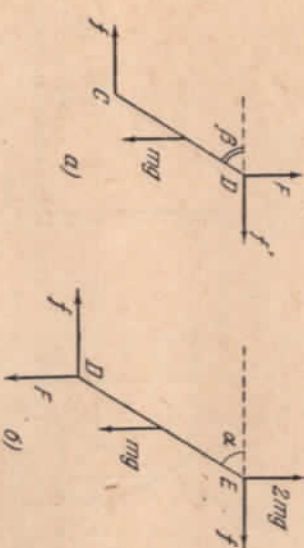


Рис. 313.

Из равенства нулю всех сил, действующих на CD , следует, что $f = mg$ и $f = f'$. Равенство нулю момента сил относительно D дает:

$$f \cdot \sin \beta \cdot CD = mg \frac{\cos \beta}{2} \cdot CD$$

$$\operatorname{tg} \beta = \frac{mg}{2f}.$$

На рис. 313, б изображены силы, действующие на стержень DE . Из условия равенства нулю момента сил относительно E получаем:

$$f \sin \alpha \cdot DE = F \cos \alpha \cdot DE +$$

$$+ mg \frac{\cos \alpha}{2} \cdot DE$$

или

$$\operatorname{tg} \alpha = \frac{3mg}{2f}.$$



Следовательно, $\operatorname{tg} \alpha = 3 \operatorname{tg} \beta$. Из условия равновесия имеют вид:

$$Q \cos \alpha = F_{\text{тр}} \text{ и } P = N + Q \sin \alpha.$$

В момент нарушения равновесия сила трения достигает максимальной величины $F_{\text{тр}} = kN$. Отсюда $Q = \frac{kP}{\cos \alpha + k \sin \alpha}$.

Величина Q будет минимальной при значении угла α , соответствующем максимуму знаменателя дроби. Для нахождения максимума преобразуем знаменатель, введя вместо k новую величину Φ , так что $\operatorname{tg} \Phi = k$. Тогда

$$\cos \alpha + k \sin \alpha = \frac{\cos(\alpha - \Phi)}{\cos \Phi}$$

или

$$\cos \alpha + k \sin \alpha = \sqrt{1+k^2} \cos(\alpha - \Phi).$$

Так как максимальное значение $\cos(\alpha - \Phi)$ равно 1, то

$$Q_{\text{мин}} = \frac{kP}{\sqrt{1+k^2}}.$$

Отсюда $k = \frac{Q}{\sqrt{P^2 - Q^2}} = 0,75$.

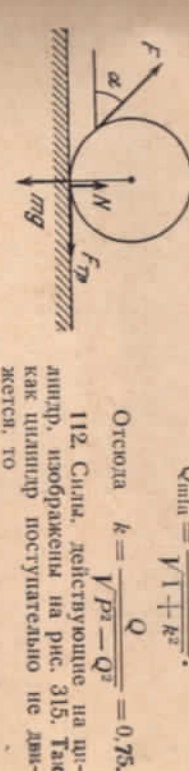


Рис. 315.

Сила трения $F_{\text{тр}} = kN$. Отсюда

$$F = \frac{kmg}{\cos \alpha + k \sin \alpha}.$$

Знаменатель этого выражения можно представить в виде $A \sin(\alpha + \Phi)$, где $A = \sqrt{1+k^2}$ (см. задачу 111).

Следовательно, минимальная сила, с которой нужно тянуть нить, $F_{\min} = \frac{kg}{\sqrt{1+k^2}}$.

Угол α_1 находит из уравнения $\cos \alpha_1 + k \sin \alpha_1 = \sqrt{1+k^2}$, (если $k = k$).

113. Сила, действующая на поршень, и здешнюю крышку цилиндра, равна $F_1 = F_2 = \rho S$ (рис. 316, а). На точку колеса А в горизонтальном направлении действует также сила F_3 , передаваемая от поршия через кривошипно-шатунный механизм.

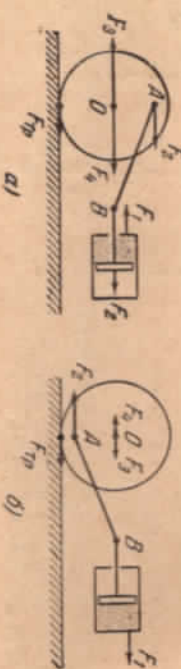


Рис. 316.

Сумма моментов сил, действующих на колесо, относительно его оси равна нулю. (Массой колеса мы пренебрегаем.) Следовательно, $F_{\text{тр}}R = F_3r$, где $F_{\text{тр}}$ — сила трения. Так как сумма сил, действующих на колесо, также равна нулю, то сила F_3 , действующая на ось со стороны подшипников поршня, равна $F_3 = F_{\text{тр}} + F_2$. По третьему закону Ньютона на поршень со стороны оси действует сила $F_4 = F_3$. Следовательно, сила тяги $F = F_4 - F_1 = F_{\text{тр}} = \rho S \frac{r}{R}$.

Во втором положении поршия и кривошипно-шатунного механизма пересекющие нас силы изображены на рис. 316, б. $F_{\text{тр}} = F_1 = F_2$ по тем же соображениям, что и в предыдущем случае.

$$\text{Сила тяги } F = F_1 - F_2 = F_{\text{тр}} = \rho S \frac{r}{R}.$$

Как и следовало ожидать, сила тяги равна силе трения, ибо сила трения — единственная внесенная сила, действующая на поршень.

114. Наиболее длинна выступающей части самого первого кирпича равна $l/2$.

Центр тяжести двух верхних кирпичей C_2 находится на расстоянии $l/4$ от края второго кирпича (рис. 317). Следовательно, на эту длину второй кирпич может быть выдвинут относительно третьего.

Центр тяжести трех верхних кирпичей C_3 определяется равенством моментов сил тяжести относительно C_3 : $P\left(\frac{l}{2} - x\right) = 2Px$.

Отсюда $x = \frac{l}{6}$, т. е. третий кирпич может выступать над четвер-

тим не более чем на $l/6$. Аналогично можно найти, что четвертый кирпич выступает над пятим на $l/8$ и т. д. Характер изменения длины выступающей части с увеличением числа кирпичей очевиден. Максимальное расстояние, на которое правый край первого кирпича может выступать над правым краем кирпича, служащего основанием, записывается в виде ряда:

$$L = \frac{l}{2} \left(1 + \frac{1}{2} + \frac{1}{3} + \frac{1}{4} + \dots \right).$$

При неограниченном увеличении числа кирпичей эта сумма стремится к бесконечности.

Действительно, сумма ряда $1 + \frac{1}{2} + \frac{1}{3} + \frac{1}{4} + \frac{1}{5} + \frac{1}{6} + \frac{1}{7} + \dots$

$$+ \frac{1}{8} + \dots$$

больше суммы ряда $1 + \frac{1}{2} + \frac{1}{3} + \frac{1}{4} + \frac{1}{5} + \frac{1}{6} + \frac{1}{7} + \dots$, а эта последняя сумма занедомо бесконечно велика в случае бесконечного числа членов.

Центр тяжести всех кирпичей проходит через правый край самого нижнего кирпича. Равновесие будет неустойчивым. Данная картина имела бы место в случае, если бы Земля была плоской.

115. В окружность радиуса r вписан правильный многоугольник (рис. 318).

Найдем далее момент (относительно оси AK) сил тяжести, приложенных к серединам сторон многоугольника AB, BC, CD, DE и т. д., считая, что сила тяжести действует перпендикулярно чертежу. Этот момент равен $\rho g (ABx_1 + BCx_2 + CDx_3 + DEx_4 + EFx_5 + FKx_6)$, где ρ — масса единицы длины проволоки.

Рассматривая подобие соответствующих треугольников, можно показать, что пропорции $ABx_1 : BCx_2 : CDx_3 : DEx_4 : EFx_5 : FKx_6$ и т. д. равны соответственно $AB:h, BC:h, CD:h$ и т. д., где h — апофема многоугольника.

Таким образом, момент равен $\rho gh (AB' + BC' + CD' + DE' + EF' + FK) = \rho gh 2r$.

Если число сторон безгранично возрастает, то величина h стремится к r , а момент к $2\rho rg$. С другой стороны, момент равен произведению веса проволоки $\pi r \rho g$ на расстояние x центра тяжести от оси AK . Итак, $2\rho rg = \pi r \rho g x$, откуда $x = \frac{2}{\pi} r$.

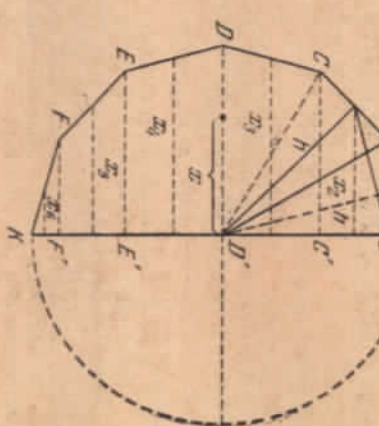


Рис. 318.

116. Разбиваем полукруг на треугольники и сегменты, как показано на рис. 319. Центр тяжести треугольника лежит, как известно, на пересечении медиан. В данном случае центр тяжести каждого треугольника находится на расстоянии $\frac{2}{3} h$ от точки O

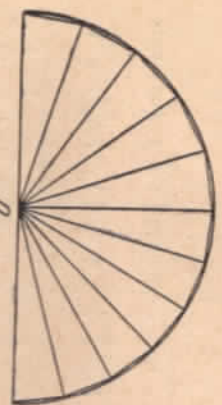


Рис. 319.

дует, что x — расстояние центра тяжести полукруга от точки O , равняется $x = \frac{2}{\pi} \frac{2}{3} r = \frac{4}{3\pi} r$.

117. Применив метод, изложенный в решении задач 115 и 116, можно показать, что центр тяжести находится в точке C , расположенной на расстоянии $CO = \frac{2 \sin \frac{\alpha}{2}}{a}$ от центра кривизны дуги (см. рис. 45).

118. Используя решения задач 115, 116, 117, можно показать, что центр тяжести находится в точке C , отстоящей от точки O на расстояние $CO = \frac{4}{3} \frac{\sin \frac{\alpha}{2}}{a} r$,

119. При определении положения центра тяжести, пластинку с вырезом формально можно рассмотривать как сплошную, если считать, что на нее наложен полукруг отрицательной массы, равной по величине массе вырезаемой части.

Момент сил тяжести положительной и отрицательной масс относительно оси AB равен

$$\rho g \left(2r^2 \frac{r}{2} - \frac{\pi r^2}{2} \frac{4}{3\pi} r \right) = \frac{1}{3} r^3 \rho g,$$

если сила тяжести действует перпендикулярно чертежу (см. рис. 47). ρ — масса единицы площади пластины (см. решение задачи 116); на расстояние $x = OC$ от центра ее тяжести до оси AB .

$$\text{Следовательно, } x \rho g \left(2r^2 - \frac{\pi r^2}{2} \right) = \frac{1}{3} r^3 \rho g.$$

$$\text{Отсюда } x = \frac{2}{3(4-\pi)} r.$$

§ 6. Работа и энергия

120. Работа силы не зависит от массы того тела, на которое действует данная сила. Сила в $3 kF$ совершил работу $A = F \cdot h = 15 kFh$. Эта работа пойдет на увеличение потенциальной энергии ($5 kFh$) и кинетической энергии ($10 kFh$) груза.

$$121. k = 0,098 \frac{kF \cdot c_m}{\partial F}.$$

122. Прежде всего нужно найти силу давления воздуха на одно из полушарий. Представим себе, что его основание закрыто плоской крышкой — диском радиуса R . Тогда, если из получившегося сосуда откачать воздух, сила давления на плоскую крышку будет $F_1 = \rho S = \rho \pi R^2$. Очевидно, такова же будет и сила давления воздуха на полушарие. В противном случае силы взаимно не уравновесятся, и сосуд должен будет вечно лежать в сторону более уравненной. Чисто логичней должно быть равно F_1/F , так как другое подушарие может быть просто привязано к столбу. Натянутая веревка создаст точно такую же силу, как и упряжка лошадей, тянущая с другой стороны.

123. Изменение количества движения тела равно импульсу силы тяжести. Так как сила, действующие на камень и Землю, равны и действуют одинаковое время, то равны и изменения количества движения этих тел.

Изменение кинетической энергии тела равно работе силы тяжести. Силы равны, но путь, проходимые камнем и Землей, обратно пропорциональны их массам. Именно поэтому закон сохранения энергии можно записать в форме, не учитывающей изменения кинетической энергии Земли: $\frac{mv^2}{2} + W = \text{const}$, где m — масса камня, а W — потенциальная энергия взаимодействия.

124. По закону сохранения энергии

$$m_1 g h = \frac{m_1 v_1^2}{2},$$

где m_1 — масса копра, h — высота падения копра, v_1 — скорость копра перед ударом.

Ввиду кратковременности удара сила сопротивления не может заметно изменить общего количества движения системы.

Так как удар неупругий,

$$m_1 v_1 = (m_1 + m_2) v_2,$$

где m_2 — масса снаряд, v_2 — скорость копра и снаряда в первый момент после удара.

Механическая энергия копра и снаряда расходуется на работу против сопротивления грунта F :

$$\frac{(m_1 + m_2) v_2^2}{2} + (m_1 + m_2) g S = FS,$$

где S — глубина погружения снаряда в грунт.

$$\text{Очевидно, } F = \frac{m_1}{m_1 + m_2} \cdot \frac{h}{S} m_1 g + m_1 g + m_2 g = 32500 kF.$$

125. В результате неупругого удара линейная скорость ящика с находящейся в нем пулей в первый момент будет равна $u = \frac{mu}{M+m}$, где u — скорость пули. Угол отклонения α на основании закона сохранения энергии связан со скоростью u соотношением

$$\frac{(M+m)u^2}{2} = \frac{m^2v^2}{2(M+m)} = (M+m)L(1 - \cos\alpha)g.$$

Отсюда

$$v = 2 \sin \frac{\alpha}{2} \frac{M+m}{m} \sqrt{Lg}.$$

126. Ввиду кратковременности взрыва вспышки горизонтальные силы (сила трения) не могут за время взрыва заметно изменить общего количества движения системы. До взрыва и сразу после него оно остается равным нулю.

Следовательно, $m_1v_1 + m_2v_2 = 0$.

Отсюда $\frac{v_1}{v_2} = -\frac{m_2}{m_1}$.

Так как тележки в конце концов останавливаются, их начальные кинетические энергии тратятся на работу против сил трения:

$$\frac{m_1v_1^2}{2} = km_1gS_1, \quad \frac{m_2v_2^2}{2} = km_2gS_2.$$

Отсюда $\frac{v_1^2}{v_2^2} = \frac{S_1}{S_2}$, следовательно, $S_2 = 2 \cdot M$.

127. Обозначим через v скорость тела и тележки после прекращения их относительного движения. На основании закона сохранения количества движения

$$(M+m)v = Mv_0. \quad (1)$$

Тележка теряет кинетическую энергию ввиду того, что сила трения f , действующая на тележку, совершает отрицательную работу

$$\frac{Mv_0^2}{2} - \frac{Mu^2}{2} = fS,$$

где S — путь, пройденный тележкой. Тело приобретает кинетическую энергию за счет того, что сила трения, действующая на тело, совершила положительную работу

$$\frac{mu^2}{2} = fs.$$

Здесь s — путь, пройденный телом.

Изменение кинетической энергии системы

$$\frac{Mv_0^2}{2} - \left[\frac{Mu^2}{2} + \frac{mu^2}{2} \right] = f(S-s), \quad (2)$$

как легко видеть, равняется силе трения, умноженной на относительное перемещение тела вдоль тележки.

Из уравнений (1) и (2) следует, что

$$\frac{Mv_0^2}{2} = \frac{mMu^2}{2f(M+m)}.$$

Так как $S - s < l$, то $l > \frac{mMu_0^2}{2f(M+m)}$.

Учитывая, что $f = kmg$, $l > \frac{2kg(M+m)}{M+m^2}$.

128. В результате сгорания второй порции скорость v ракеты увеличивается на величину Δv . По закону сохранения количества движения (так как сгорание происходит мгновенно)

$$(M+m)v = M(v + \Delta v) + m(v - u),$$

где m — масса первой порции топлива, M — масса ракеты без топлива, u — скорость истечения газов относительно ракеты.

Приращение скорости ракеты $\Delta v = \frac{m}{M}u$ не зависит от скорости v ракеты перед сжиганием второй порции. Напротив, приращение кинетической энергии ракеты (без топлива)

$$\Delta E_k = \frac{M(v + \Delta v)^2}{2} - \frac{Mv^2}{2} = mu \left(\frac{m}{2M}u + v \right)$$

будет тем больше, чем больше v .

Высота полета ракеты определяется полученной ею энергией. Поэтому вторую порцию топлива вытолкнет сжечь в момент, когда скорость ракеты наибольшая, т. е. непосредственно вслед за первой порцией. При этом наибольшая часть механической энергии, выделенная при сгорании топлива, будет сообщена ракете, а механическая энергия продуктов сгорания минимизана.

129. Достаточно рассмотреть последовательное сгорание двух порций топлива. Пусть вначале масса ракеты с топливом равна $M+2m$.

После сгорания первой порции скорость ракеты $v = \frac{mu_1}{M+m}$, где u_1 — скорость газов относительно ракеты. Начальная скорость ракеты принимается равной нулю.

Приращение скорости ракеты после сгорания второй порции $\Delta v = \frac{mu_2}{M}$, где u_2 — новое значение скорости газов относительно ракеты.

При сгорании первой порции выделялась механическая энергия $\Delta E_1 = \frac{(M+m)v^2}{2} + \frac{mu_1^2}{2}$. При сгорании второй порции выделяется энергия

$$\Delta E_2 = \frac{M(v + \Delta v)^2}{2} + \frac{m(v - u_2)^2}{2} - \frac{(M+m)v^2}{2}.$$

По условию задачи $\Delta E_1 = \Delta E_2$. Отсюда

$$u_1^2 \left(\frac{m^2}{2(M+m)} + \frac{m}{2} \right) = u_2^2 \left(\frac{m^2}{2M} + \frac{m}{2} \right).$$

Следовательно, $u_1 > u_2$; скорость газов относительно ракеты уменьшается. Это связано с уменьшением массы ракеты в процессе сгорания топлива.

130. Оба склона можно разбить на множество склонов угломо-малых наклонных плоскостей с различными углами наклона. Рассмотрим одну из них (рис. 320).

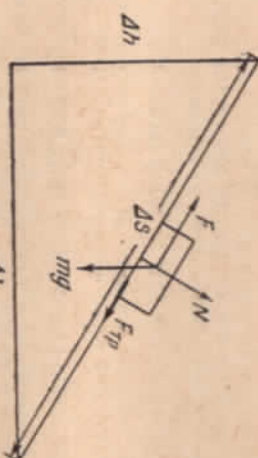


Рис. 320.

Работа по подъему тела на такой наклонной плоскости равна работе против силы тяжести mgh плюс работа против силы трения $F_{\text{тр}}\Delta S$.

Но $F_{\text{тр}} = kmg \cos \alpha$ и $\Delta S = \frac{\Delta l}{\cos \alpha}$. Отсюда $F_{\text{тр}}\Delta S = kmg\Delta l$.

Общая работа $\Delta A = mgh + k\Delta l$. Если рассмотреть все наклонные плоскости и сложить элементарные работы, то общая работа будет равна

$$A = \sum \Delta A = mg(\sum \Delta h + k \sum \Delta l) = mgh + kmgl.$$

Работа определяется только высотой горы h и длиной l ее осно-вания.

131. Сила, приложенная к рукоятке, будет минимальна, если она составляет с ней прямой угол. Обозначив через F значение искомой силы, на основании «золотого» правила механики будем иметь: $2\pi RF = Ph$. Отсюда $F = \frac{Ph}{2\pi R}$.

132. По определению, коэффициент полезного действия $\eta = \frac{A_1}{A_1 + A_2}$, где $A_1 = PH$ — работа по поднятию груза P на высо-туп H , а A_2 — работа, совершаемая при этом против силы трения. Так как сила трения способна удержать груз в равновесии, то рабо-ба этой силы не может быть меньше, чем работа A_1 . Минимальное значение работы силы трения $A_2 = A_1$. Следовательно, $\eta \leq 50\%$.

133. За время подъема человека по лестнице шар опустится на некоторую высоту h . Следовательно, работа, совершенная че-ловеком, пойдет на увеличение потенциальной энергии человека на величину $mgh(l-h)$ и на увеличение потенциальной энергии шара на величину mgh (на шар без человека действует подъемная сила mg , направления вверх); отсюда

$$A = mg(l-h) + mgh = mgl.$$

Этот результат можно получить сразу, рассчитывая работу че-века в системе, связанной с лестницей. Если человек поднимается со скоростью v относительно лест-ницы, то относительно Земли он имеет скорость $v - v_1$, где v_1 — скорость шара во время подъема.

По закону сохранения количества движения $(v - v_1)m = Mv_1$. Отсюда

$$v_1 = \frac{m}{M+m} v.$$

134. Для того чтобы проплыть за единицу времени вдвое боль-ше количество воды, нужно сообщить воде большей массе воды вдвое большую скорость. Работа мотора идет на сообщение воде кинетической энергии $\frac{mv^2}{2}$. Поэтому мощность мотора должна быть увеличена в восемь раз.

135. 1) На подъем воды из ямы затрачивается работа

$$A_1 = \rho g \frac{H}{2} S \cdot \frac{3}{4} H = \frac{3}{8} \rho g SH^2,$$

где ρ — плотность воды. На сообщение воде кинетической энергии затрачена работа

$$A_2 = \frac{1}{2} \rho \frac{H}{2} S v^2.$$

Скорость v , с которой вытекает вода из трубы на поверхность земли, определяется из соотношения $\frac{H}{2} S = \pi R^2 v$.

Полная работа равна

$$A = \frac{3}{8} \rho g SH^2 + \frac{1}{16} \rho \frac{H^3 S^3}{\pi^2 R^4 v^2},$$

2) Работа, затраченная на подъем воды, во втором случае мень-ше A_1 на величину $\Delta A'_1 = \rho g S_1 h \left(H - \frac{h}{2} \right)$. Работа, затраченная на сообщение воде кинетической энергии, равна

$$A'_2 = \frac{1}{2} \rho \left(\frac{HS}{2} - hs_1 \right)^3,$$

Полная работа $A' = A_1 - \Delta A'_1 + A'_2$.

138. Проще всего решить задачу в системе координат, связанной с лестницей. Человек проходит относительно лестницы расстояние $t = \frac{h}{\sin \alpha} + vt$, где vt — путь, пройденный лестницей. При этом он должен совершить работу $A = \left(\frac{h}{\sin \alpha} + vt \right) mg \sin \alpha$, так как во время подъема сила mg была приложена на пути l и состояла с ним угол $90^\circ - \alpha$.

Часть работы $mg h$ идет на увеличение потенциальной энергии человека, другая часть работы $mg t \sin \alpha$ вместе с работой мотора приносящего лестницу в движение, идет на преодоление силы трения.

137. Зависимость упругой силы от величины деформации изображена на рис. 321. Работа силы при растяжении (или сжатии) пружины на малую величину Δx изображается площадью заштрихованного прямоугольника $\Delta A = F \Delta x$. Полная работа при растяжении или сжатии пружины на величину l , равную ее потенциальной энергии W , изображается площадью треугольника OBG :

$$A = W = \frac{kl^2}{2}.$$

Напомним, что с помощью аналогичных рассуждений получают обычно выражение для пути при равноускоренном движении:

138. Человек, действуя силой F на пружину, совершает работу $A_1 = -FL$. Одновременно на пол вагона со стороны человека действует сила трения F . Работа этой силы $A_2 = FL$. Следовательно, полная работа, совершенная человеком в системе координат, связанной с Землей, равна нулю, так же как и в системе,

139. В системе поезда совершаемая работа равна потенциальной энергии растянутой пружины (см. задачу 137). $A = \frac{kl^2}{2}$, так как сила трения между человеком и полом вагона в этой системе не совершает работы.

В системе, связанной с Землей, работа человека по растяжению пружины равна произведению средней силы $\frac{kl}{2}$ на пройденный путь $L = l$, т. е. $A_1 = \frac{kl}{2}(L - l)$. На пол вагона человек действует с той же средней силой $\frac{kl}{2}$. Ее работа $A_2 = \frac{kl}{2}L$. Полная работа в данной системе координат $A = A_1 + A_2 = \frac{kl^2}{2}$ та же, что и в системе погона.

140. На основании законов сохранения количества движения и энергии можно записать следующие уравнения:

$$\begin{aligned} m_1 v_1 + m_2 v_2 &= m_1 v'_1 + m_2 v'_2, \\ \frac{m_1 v_1^2}{2} + \frac{m_2 v_2^2}{2} &= \frac{m_1 v'_1^2}{2} + \frac{m_2 v'_2^2}{2}, \end{aligned}$$

где v'_1 и v'_2 — скорости шаров после соудара.

Решая-данную систему уравнений, получим:

$$v'_1 = \frac{(m_1 - m_2)v_1 + 2m_2 v_2}{m_1 + m_2}; \quad v'_2 = \frac{(m_2 - m_1)v_2 + 2m_1 v_1}{m_1 + m_2}.$$

1) Если второй шар до удара покончился ($v_2 = 0$), то

$$v'_1 = \frac{(m_1 - m_2)v_1}{m_1 + m_2}; \quad v'_2 = \frac{2m_1 v_1}{m_1 + m_2}.$$

При $m_1 > m_2$ первый шар продолжает двигаться в том же направлении, что и до удара, но с меньшей скоростью.

Если $m_1 < m_2$, то первый шар отскакивает после удара назад.

Второй шар будет двигаться в ту же сторону, в которую двигалась до удара первый шар.

2) Если $m_1 = m_2$, то $v'_1 = \frac{2m_1 v_1}{2m} = v_2$ и $v'_2 = \frac{2m_1 v_1}{2m} = v_1$. Шари при ударе обменяются скоростями.

141. В результате упругого соударения левый брускок притирается к стенке, так как пружина не деформирована.

Обозначим через u_1 и u_2 скорости левого и правого брусков в произвольный момент времени, а через x абсолютное удаление пружины в тот же момент времени.

На основании законов сохранения количества движения и энергии имеем:

$$m(u_1 + u_2) = mv,$$

$$\frac{mu_1^2}{2} + \frac{mu_2^2}{2} + \frac{kx^2}{2} = \frac{mv^2}{2},$$

$$kx^2 = m[v^2 - (u_1^2 + u_2^2)].$$

Заменив в последнем уравнении v через $u_1 + u_2$, получим:

$$kx^2 = 2mu_1 u_2.$$

Следовательно, $u_1 u_2 = \frac{kx^2}{2m}$ и $u_1 + u_2 = v$.

Из двух последних выражений видно, что u_1 и u_2 будут иметь один и тот же знак — оба бруска движутся в одну сторону.

Величина x^2 будет иметь максимальное значение тогда, когда прохождение скоростей u_1 и u_2 будет максимальным. Следовательно, для ответа на второй вопрос, поставленный в задаче, нужно найти максимальное значение произведения $u_1 u_2$ при условии, что сумма $u_1 + u_2$ постоянна и равна v .

Рассмотрим очевидное неравенство $(u_1 - u_2)^2 \geq 0$, или $u_1^2 - 2u_1u_2 + u_2^2 \geq 0$. Приведим к правой и левой частям неравенства $4u_1u_2$. Тогда $u_1^2 + 2u_1u_2 + u_2^2 \geq 4u_1u_2$ или $(u_1 + u_2)^2 \geq 4u_1u_2$.

Так как $u_1 + u_2 = v$, то $4u_1u_2 \leq v^2$.

Следовательно, наибольшее значение u_1u_2 равно $v^2/4$, и оно

достигается при $u_1 = u_2 = \frac{v}{2}$.

Расстояние между брусками в этот момент равно

$$l \pm x_{\max} = l \pm v \sqrt{\frac{m}{2k}}.$$

142. Нижняя пластина приподнимается, если действующая на нее сила упругости больше ее веса: $kx_2 > m_2g$. Здесь x_2 — деформация пружины в момент, когда она максимально растянута. (Положение c на рис. 322. Показано a соответствует недеформированной пружине.)

Для того чтобы пружина растянулась на x_2 , ее необходимо скатать на величину x_1 (положение b рис. 322), которая может быть найдена на основе закона сохранения энергии:

$$\frac{kx_1^2}{2} = \frac{kx_2^2}{2} + m_2g(x_1 + x_2).$$

Отсюда

$$x_1 > \frac{2m_2g}{k} + \frac{m_2g}{k}.$$

Чтобы скатать пружину на x_1 , необходимо приложить силу, удовлетворяющую равенству $F + m_1g = kx_1$.

Следовательно, искомая сила $F > m_1g + m_2g$.

143. В системе отсчета, связанной с телом, скорость шарика равна $v + u$. После удара в той же системе отсчета скорость шарика будет $-(v + u)$. Скорость шарика после удара относительно неподвижной системы отсчета равна

$$-(v + u) - u = -(v + 2u).$$

Кинетическая энергия после удара $\frac{m}{2}(v + 2u)^2$.

Кинетическая энергия до удара $\frac{m}{2}v^2$.

Изменение кинетической энергии равно $2mu(v + u)$.

Теперь посчитаем работу упругих сил, действующих на шарик во время удара. Пусть соударение длится τ сек; предполагаем, для простоты, что во время удара упругая сила постоянна (результат, вообще говоря, не зависит от этого предположения). Так как

в результате удара количество движения изменилось на величину $2m(v + u)$, то упругая сила равна

$$F = \frac{2m(v + u)}{\tau}.$$

Работа этой силы

$$A = FS = Fvt = \frac{2m(v + u)v\tau}{\tau} = 2m(v + u)u,$$

Как легко видеть, эта работа равна изменению кинетической энергии.

144. 1) До момента, когда веревка натягивается, камни падают свободно:

$$S_1 = \frac{gt^2}{2} \text{ и } S_2 = \frac{g(t - \tau)^2}{2}.$$

Момент натяжения веревки определяется из условия $t = S_1 - S_2$. Отсюда $t = 3$ сек, $S_1 = 44,1$ м, $S_2 = 4,9$ м. Время отсчитывается с момента падения первого камня. При натяжении веревки происходит упругий удар, и камни обретают скорости v_1 (см. задачу 140). В момент удара $v_1 = gt = 29,4$ м/сек, $v_2 = g(t - \tau) = 9,8$ м/сек.

Время падения первого камня t_1 (после того как веревка натягивается) находится из условия

$$h - S_1 = v_1 t_1 + \frac{gt_1^2}{2}.$$

Время падения второго камня t_2 — из условия

$$h - S_2 = v_2 t_2 + \frac{gt_2^2}{2}.$$

Отсюда $t_1 \approx 1,6$ сек, $t_2 \approx 1,8$ сек.

Первый камень падает 4,6 сек, второй 2,8 сек.

2) В случае неупругого удара веревкой камней после ее натяжения разлетаются (неупругий удар): $v = \frac{v_1 + v_2}{2} = 19,6$ м/сек.

Время падения камней после того, как веревка натягивается, определяется уравнением:

$$h - S_1 = vt_1' + \frac{gt_1'^2}{2} \text{ и } h - S_2 = vt_2' + \frac{gt_2'^2}{2}.$$

S_1 и S_2 те же, что и в первом случае.

Отсюда $t_1' \approx 1,2$ сек, $t_2' \approx 3,3$ сек.

Первый камень падает 4,2 сек, второй 4,3 сек.

145. Если отклонить один правый шар, то после удара слева отскочит крайний левый шар на угол, равный углу отклонения правого шара.

Если отклонить одновременно два шара и отпустить их, то после удара слева отскочат два крайних левых шара. Если отклонить три правых шара, отскочат три левых и т. д.

При ударе первого шара о второй первый шар остановится, передав свое количество движения второму шару (см. решение задачи 140); второй передаст это же количество движения третьему, третий — четвертому и т. д. У крайнего левого шара нет «сестер» слева, поэтому шар отскочит (если нет тренажа и потерян энергии) на тот же угол, на который был отклонен крайний правый шар.

При отклонении одновременно двух правых шаров они передадут свое количество движения цепочке не одновременно, а поочереди, через очень малый (невидимый на взгляд) промежуток времени. Таким образом цепочка шаров получит по одни «двойной» импульс, а два, которые бегут распространяться по цепочке с некоторым временным запралом. Крайний левый шар отскочит, получив «первую порцию» количества движения. Следом за ним отскочится его «сосед», получив следующую порцию количества движения, переданную ему от крайнего правого шара.

„при отменении права выбора целиком полути при следующих один за другим через очень малые промежутки времени порции количества движния соответствующего первого „шарона“

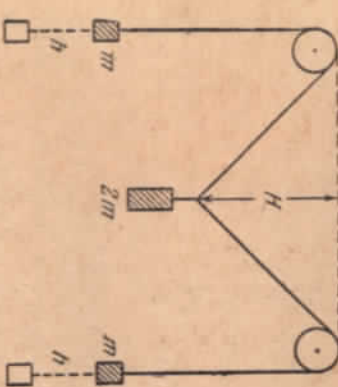
Если отложить в первом приеме
отпустить четыре шара, то
отскочат слева также четыре
шара, а два останутся цепо-
движими.

146. Ударяющий шарик отскочит назад, следующие шарики до стального останутся неподвижными. Стальной шарик и все последующие падут

длится вено, причем скоро
рост их будут различна.

Наиболее быстро будет
лигаться крайний левый шар-
тир. Следующий будет ли-
гаться медленнее и т. д. Шар-

Pic 323



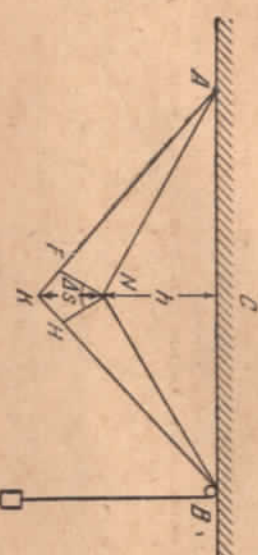
147. Пусть груз $2m$ опустится поднимется на высоту h (рис. 323).

На основании закона сохранения энергии $2mgH + \frac{2mv_1^2}{2} + \frac{2mv_2^2}{2} = 2mgH$, или $v_1^2 + v_2^2 = 2g(H - h)$, где v_1 — скорость груза m , а v_2 — скорость груза массы $2m$. По мере спускания груза $2m$ его скорость v_2 приближается к скорости v_1 , так как углы между участками пути, пересекнутыми через блоки, срашиваются к нулю. В пределе $v_2 \approx v_1$. Одновременно $H - h \approx l$.

Следовательно, предельное значение скорости грузов равно

$$\sqrt{g_1} = a$$

148. Скорости грузов равны, если пути Δs , пройденные ими за равные малые промежутки времени, одинаковы. Эти пути однаковы при таком значении угла AB , при котором опускается груза m_1 на $\Delta s = Nk$ (рис. 324) будет сопровождаться увеличением



PAGE 324

длины участка нити ANB также на величину Δs . Поэтому приведение скоростей $HK = BK - BN = \frac{\Delta s}{2}$ и $FK = AK - AN = \frac{\Delta s}{2}$

Треугольники NHK и NFK тем ближе к прямоугольным, чем меньше мы выберем отрезок ΔS . При $\Delta S \rightarrow 0$ углы NHK и NFK стремятся к прямым, а углы KNH и KNF к 30° . Следовательно скорости будут равны при $\angle ANB = 120^\circ$.

$$m_1gh = 2(2 - \sqrt{3})m_2gh + \frac{m_1 + m_2}{2}v^2.$$

$$v^2 = 2gh \frac{m_1 - 2(2 - \sqrt{3})m}{1}$$

卷之三

Грузы будут совершать колебания около положения равновесия, которому соответствует значение угла $\angle ANB = 2 \arccos \frac{m_1}{2m_2} \approx 149^\circ$. Углу $\angle ANB = 120^\circ$ соответствует максимальное отклонение от положения равновесия.

149. Так как проскальзывание доски по каткам и катков по горизонтальной поверхности отсутствует, то расстояние оси катков во время движения останется постоянным. Поэтому движение доски будет поступательным. Доска будет перемещаться в горизонтальном направлении и одновременно двигаться винтом катков. Если катки сместятся на некоторое расстояние l , то каждая точка доски (в частности, ее центр тяжести A) пройдет вдоль горизонтали то же расстояние l и одновременно переместится

на это же расстояние вдоль катков: $AB = BC = l$ (рис. 325). (Последнее становится особенно очевидным, если рассмотреть движение катков в системе координат, перемещающейся вместе с катками.) В результате центр тяжести лоси будет двигаться под прямой AC , наклоненной к горизонту под углом $\alpha/2$, так как

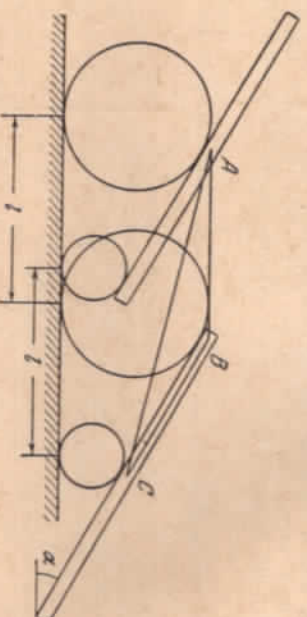


Рис. 325.

треугольник ABC равнобедренный. Движение будет равноускоренным. Доска приобретет кинетическую энергию за счет уменьшения потенциальной $\frac{mv^2}{2} = mgl \sin \alpha$, или $v^2 = 2gl \sin \alpha$. С другой стороны, при равноускоренном движении $v^2 = 2aS$, где $S = AC = 2l \cos \frac{\alpha}{2}$. Следовательно, ускорение $a = \frac{v^2}{2S} = g \sin \frac{\alpha}{2}$.

150. Подсчитаем разность потенциальных энергий для двух положений цепочки: цепочка полностью лежит на столе и частичка цепочки длины x свешивается со стола. Эта разность равна весу $\frac{M}{2l} x g$ свешивающейся части, умноженной на $x/2$, поскольку цепочка однородна, и центр тяжести свешивающейся конца находится на расстоянии $x/2$ от края стола.

На основании закона сохранения энергии имеем: $\frac{Mv^2}{2} = \frac{Mg}{4l} x^2$

или $v = \sqrt{\frac{gx^2}{2l}}$. Ускорение в этот же момент времени можно

найти из второго закона Ньютона: $Ma = \frac{M}{2l} gx$. Следовательно,

$$a = \frac{gx}{2l}.$$

Для поиска реакции края стола найдем первоначально напряжение цепочки в точке соприкосновения со столом. Оно равно изменению количества движения лежащей на столе части цепочки

$$F = \frac{M}{2l} (2l - x)a - \frac{M}{2l} tv = \frac{Mg}{2l^2} (l - x)x.$$

Рассмотрим теперь очень малый элемент цепочки, соприкасающийся с углом стола. На этот малый элемент цепочки действуют три силы (рис. 326). Так как рассматриваемый элемент длины цепочки сколь угодно мал, сумма трех сил, действующих на него, должна быть равна нулю. Следовательно, сила реакции равна

$$N = F \sqrt{2} = \sqrt{2} \frac{M(l-x)x}{2l^2} x.$$

При $x > l$ цепочка перестает соприкасаться с углом стола.

151. Обозначим через v скорость тележки. Горизонтальная составляющая скорости маятника относительно тележки равна $v \cos \beta$ (рис. 327). Так как тележка движется, скорость маятника относительно рельсов равна $v + u \cos \beta$. В горизонтальном направлении на систему внесите силы не действующие. Поэтому на основании закона сохранения количества движения имеем:

$$m(v + u \cos \beta) + Mv = 0, \quad (1)$$

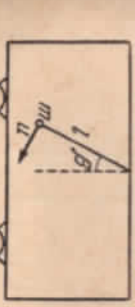


Рис. 327.

Пифагора квадрат скорости маятника относительно рельсов равен $(v + u \cos \beta)^2 + u^2 \sin^2 \beta$.

Используя закон сохранения энергии, получаем второе уравнение, связывающее скорость v и u :

$$\frac{m}{2} [(u \cos \beta + v)^2 + u^2 \sin^2 \beta] + \frac{M}{2} v^2 = mgl (\cos \beta - \cos \alpha). \quad (2)$$

Из уравнений (1) и (2) можно найти

$$v^2 = \frac{2m^2 gl}{(M+m)} \cdot \frac{(\cos \beta - \cos \alpha) \cos^2 \beta}{(M+m \sin^2 \beta)}.$$

В частном случае при $\beta = 0$ (считая $\frac{m}{M} \ll 1$)

$$v^2 = 2 \frac{m^2}{M^2} gl (1 - \cos \alpha)$$

или

$$v = 2 \frac{m}{M} \sin \frac{\alpha}{2} \sqrt{gl}.$$

152. Обозначим через v скорость клина, а через u_x и u_y горизонтальную и вертикальную составляющие скорости u бруска относительно неподвижной системы отсчета (рис. 328).

На основании законов сохранения количества движения и энергии можно написать:

$$-Mv + mu_x = 0, \quad \frac{Mv^2}{2} + \frac{m}{2}(u_x^2 + u_y^2) = mgh.$$

Заметим, что угол α с горизонтальной плоскостью составляет не абсолютная скорость бруска u (под абсолютной скоростью в данном случае понимаем скорость относительно неподвижной

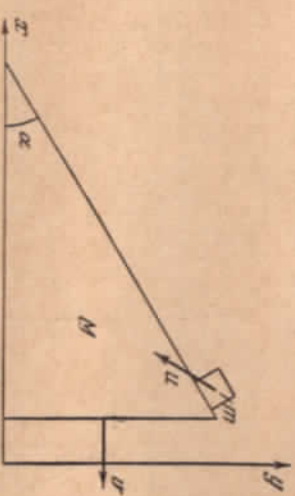


Рис. 328.

горизонтальной плоскости), а относительная скорость $u_{\text{от}}$, т. е. скорость бруска относительно движущегося клина.

Из треугольника скоростей (рис. 329) следует, что $\frac{u_y}{v+u_x} = \operatorname{tg} \alpha$. Решая линейное уравнение относительно v , получим:

$$\begin{aligned} v &= \sqrt{\frac{2mg h}{M+m \left[\left(\frac{M}{m} \right)^2 + \left(\frac{M}{m} + 1 \right)^2 \operatorname{tg}^2 \alpha \right]}} \\ &= \sqrt{\frac{2}{m+M \operatorname{tg}^2 \alpha} \frac{mg \operatorname{tg}^2 \alpha}{h}}. \end{aligned}$$

Рис. 329.

Абсолютная скорость бруска в тот же момент времени равна

$$u = \sqrt{u_x^2 + u_y^2} = \sqrt{2gh} \sqrt{1 - \frac{1}{1 + \frac{M}{m} + \frac{m}{M} \left(1 + \frac{M}{m} \right)^2 \operatorname{tg}^2 \alpha}},$$

В случае, когда масса клина много больше массы бруска, и стремится, как и следовало ожидать, к величине $\sqrt{2gh}$.

153. Скорость стержня относительно движущегося клина направлена под углом α к горизонту. Если к этой относительной скорости прибавить скорость клина, то в результате получим

абсолютную скорость стержня u (рис. 330). Очевидно, что отношение скоростей равно

$$\frac{u}{v} = \operatorname{tg} \alpha.$$

Из закона сохранения энергии следует: $\frac{Mv^2}{2} + \frac{mu^2}{2} = mgh$. Исключая из этих двух уравнений u , получим выражение для v :

$$v = \sqrt{\frac{2mg h}{M+m \operatorname{tg}^2 \alpha}}.$$

Тогда для относительной скорости стержни мы можем написать

$$u_{\text{от}} = \frac{1}{\cos \alpha} \sqrt{\frac{2mg h}{M+m \operatorname{tg}^2 \alpha}}.$$

Скорость стержня

$$\begin{aligned} u &= \operatorname{tg} \alpha \sqrt{\frac{2mg h}{m+M \operatorname{tg}^2 \alpha}} \\ &= \sqrt{\frac{2}{m+M \operatorname{tg}^2 \alpha} \frac{mg \operatorname{tg}^2 \alpha}{h}}. \end{aligned}$$

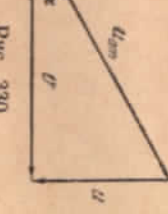


Рис. 330.

§ 7. Кинематика криволинейного движения

154. Ведущий шкив вращается с угловой скоростью $\omega_1 = 2\pi n_1$, а ведомый со скоростью $\omega_2 = 2\pi n_2$. Скорость приводного ремня $v = \omega_1 r_1 = \omega_2 r_2$.

$$\text{Отсюда } \frac{r_1}{r_2} = \frac{\omega_2}{\omega_1} = \frac{n_2}{n_1}.$$

Искомый диаметр $D_1 = D_2 \frac{n_2}{n_1} = 100$ м.м.

155. 1) Обозначим через L — на длину гусеницы. Тогда $l = \frac{L - 2\pi R}{2}$ — расстояние между осями колес.

В поступательном движении участают $n_1 = \frac{l}{a} = \frac{L - 2\pi R}{2a}$ звеньев. Такое же число звеньев находится в покое относительно Земли. Во вращательном движении участвуют $n_2 = \frac{2\pi R}{a}$ звеньев.

2) Время движения трактора $t_0 = \frac{S}{v}$. За полный оборот гусеницы звено пройдет поступательно путь l , двигаясь со скоростью $2v$. Время движения звена за один оборот $\frac{l}{2v}$. Всего гусеница

делает $N = \frac{S}{L}$ оборотов. Следовательно, время поступательного движения звена $t_1 = \frac{NL}{v_0}$. Столько же времени звено покится.

Зависимо будет участвовать во вращательном движении время

$$t_2 = t_0 - \frac{NL}{v} = \frac{2S + 2\pi R N - NL}{2v}.$$

При условии $S \gg L$ можно считать число оборотов звена N .

156. Время полета молекулы между цилиндрами $t = \frac{R-r}{v}$. За это время цилиндры повернутся на угол ωt и, следовательно,

$$l = R \omega t = \omega R \frac{R-r}{v}.$$

157. Обозначим искомый радиус через R и угловую скорость движения трактора по дуге через ω . Тогда

$$v_1 = \omega \left(R - \frac{d}{2} \right), \quad v_0 = \omega \left(R + \frac{d}{2} \right)$$

(рис. 331). Отсюда $\frac{v_1}{v_0} = \frac{R - \frac{d}{2}}{R + \frac{d}{2}}$ и $R = \frac{d}{2} \frac{v_0 + v_1}{v_0 - v_1} = 6$ м.

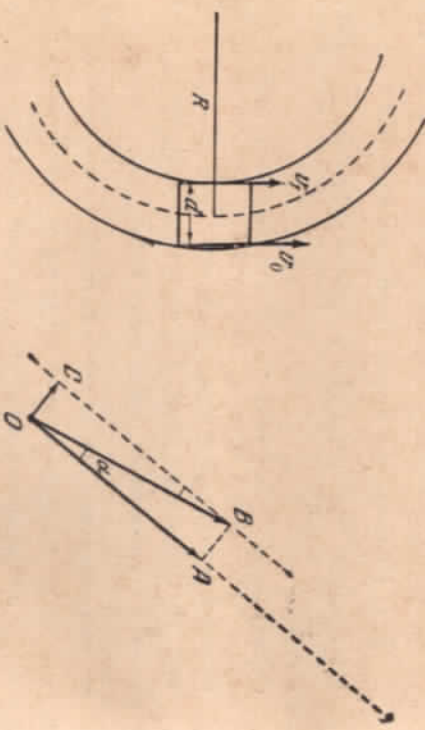


Рис. 331.

158. Первично наблюдатель находится на полюсе (точка O , рис. 332). Земная ось проходит через точку O перпендикулярно чертежу. OA (параллельное BC) — направление на звезду. Гора

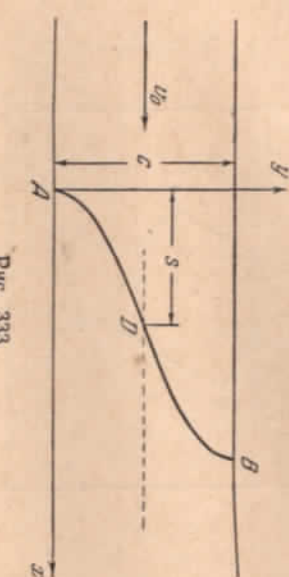


Рис. 333.

находится справа от точки A . $\alpha = \omega \Delta t$ — угол, на который повернется земной шар за время Δt , ω — угловая скорость вращения Земли. Чтобы видеть звезду, наблюдатель должен за это время пробежать расстояние $OC \approx OA \omega \Delta t$. Скорость наблюдателя $v = \frac{OC}{\Delta t} = OA \omega = 0,7 \frac{m}{sek}$.

159. Точки A направления лодки примем за начало отсчета системы координат. Направление осей указано на рис. 333. Движение лодки в направлении, перпендикулярном течению, происходит

с постоянной скоростью u . Поэтому лодка будет находиться на расстоянии y от берега через время $t = \frac{y}{u}$ после отправления. Рассмотрим движение лодки до середины реки ($y \leq \frac{c}{2}$). На расстоянии y от берега скорость течения равна $v = \frac{2v_0 c}{c} y$. Подставляя $y = ut$ в выражение для скорости течения, получим $v = \frac{2v_0 u t}{c}$.

Из последнего соотношения следует, что движение лодки в направлении, параллельном берегам, происходит с постоянным ускорением $a = \frac{2v_0 u}{c}$. Лодка достигнет середины реки за время $T = \frac{c}{2u}$. За это же время она будет спесена вниз по течению на расстояние $s = \frac{a T^2}{2} = \frac{v_0 c}{4u}$. При движении от середины реки (точка D) лодка противоположного берега будет спесена дополнительно еще на расстояние s . Таким образом, искомое расстояние равно $\frac{v_0 c}{2u}$. При движении лодки до середины реки $x = \frac{at^2}{2} = \frac{v_0 u}{c} t^2$, а $y = ut$.

Из этих соотношений определяем траекторию лодки от A до D : $y^2 = \frac{ct}{u} x$ (парабола). Вторая половина траектории (DB) имеет тот же характер, что и первая.

160. Из соображений симметрии очевидно, что в любой момент времени черепахи будут располагаться в углах квадрата, сторона которого все время увеличивается (рис. 334). Скорость каждой черепахи можно разложить на радиальную (направленную к центру)

координата и скорость тела в любой момент времени определяются следующими выражениями:

$$x = v_0 x t, \quad (1) \quad v_x = v_{0x}, \quad (3)$$

$$y = v_0 y t - \frac{gt^2}{2}, \quad (2) \quad v_y = v_{0y} - gt. \quad (4)$$

Здесь $v_{0x} = v_0 \cos \alpha$ и $v_{0y} = v_0 \sin \alpha$ — проекции начальной скорости на оси x и y . Уравнения (1), (2), (3), (4) позволяют ответить на все вопросы, поставленные в условии задачи.

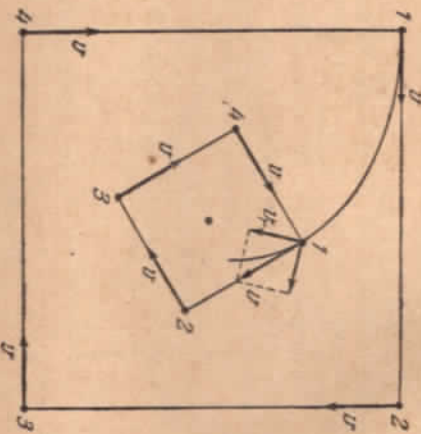


Рис. 334.

и перпендикулярную ей. Радиальная скорость, т. е. скорость приближения к центру, будет равна $v_r = \frac{v}{\sqrt{2}}$. Каждой черепахе предстоит пройти до центра расстояние $l = \frac{a}{\sqrt{2}}$.

Следовательно, черепахи встретятся в центре квадрата через время $t = \frac{l}{v_r} = \frac{a}{v}$.

161. Корабль B движется по направлению к кораблю A со скоростью v . Расстояние AB сокращается со скоростью $v(1 - \cos \alpha)$ (рис. 335). Следовательно, сумма расстояний $S = AB + AC$ остается для движущихся кораблей постоянной. В начальный момент точка C совпадала с A и потому $S = AB = a$. Через достаточно большое время точка C будет совпадать с B . При этом $AB = AC = \frac{S}{2} = \frac{a}{2}$. Корабли будут двигаться на расстоянии 1,5 км друг от друга.

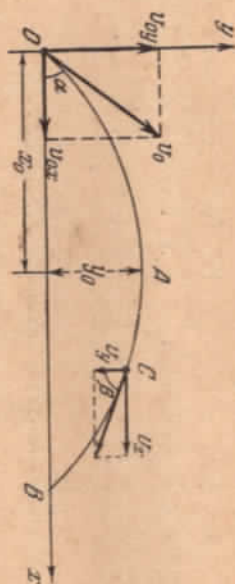


Рис. 335.

Время полета T определяется уравнением (2). При $y = 0$ $v_0 \sin \alpha T - \frac{gt^2}{2} = 0$. Отсюда $T = \frac{2v_0 \sin \alpha}{g}$.

Дальность полета $L = v_0 \cos \alpha T = \frac{v_0^2 \sin 2\alpha}{g}$. Максимальное значение L принимает при $\alpha = 45^\circ$:

$$L_{\max} = \frac{v_0^2}{g}.$$

Высота, на которой будет находиться тело спустя время τ , равна $h = v_0 \sin \alpha \tau - \frac{gt^2}{2}$.

Скорость тела в момент времени τ равна $v = \sqrt{v_x^2 + v_y^2}$, где $v_x = v_0 \cos \alpha$; $v_y = v_0 \sin \alpha - gt$. Отсюда $v = \sqrt{v_0^2 + g^2 \tau^2 - 2v_0 g \tau \sin \alpha}$. v составляет с вертикалью угол β , определяемый равенством $\operatorname{tg} \beta = \frac{v_0 \sin \alpha - gt}{v_0 \cos \alpha}$.

163. Координаты тела x и y меняются с течением времени по закону

$$y = v_0 \sin \alpha \cdot t - \frac{gt^2}{2}, \quad (1)$$

$$x = v_0 \cos \alpha \cdot t. \quad (2)$$

Исключив из этих выражений время, мы получим уравнение траектории $y = -\frac{g}{2v_0^2 \cos^2 \alpha} x^2 + (\lg \alpha \cdot x)$. Это уравнение параболы.

Обозначая через x_0 и y_0 координаты вершины параболы (точка A на рис. 336), можно записать уравнение траектории в форме $y - y_0 = k(x - x_0)^2$, где

$$k = -\frac{g}{2v_0^2 \cos^2 \alpha}, \quad y_0 = \frac{v_0^2 \sin^2 \alpha}{2g}$$

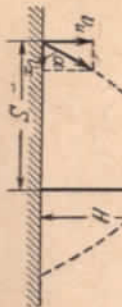


Рис. 337.

через точку с координатами H и S . Поэтому (см. решение задачи 163)

$$H = -\frac{g}{2v_0^2 \cos^2 \alpha} S^2 + \lg \alpha \cdot S.$$

Отсюда

$$\begin{aligned} v_0^2 &= \frac{gS^2}{2 \cos^2 \alpha (\lg \alpha \cdot S - H)} = \frac{gS^2}{(S \sin 2\alpha - H \cos 2\alpha) - H} = \\ &= \frac{gS^2}{\sqrt{S^2 + H^2} \sin(2\alpha - \lg \alpha) - H}, \end{aligned}$$

где $\lg \alpha = H/S$. Наименьшее значение скорости

$$v_0 = \sqrt{\frac{gS^2}{V^2 + H^2 - H}} = \sqrt{g(H + V^2 + H^2)}$$

достигается при

$$\alpha = \frac{\psi}{2} + \frac{\pi}{4} = \arctg \frac{H + V^2 + H^2}{S} = \arctg \frac{S}{\sqrt{H^2 + S^2} - H}$$

(рис. 337).
165. Координаты и скорости тела в любой момент времени относительно системы отсчета, изображенной на рис. 338, определяются теми же уравнениями, что и в задаче 162.

В момент падения тела в воду его координата $y = -H$. Поэтому время полета T определяется уравнением

$$-H = v_0 \sin \alpha T - \frac{gT^2}{2}.$$

Отсюда

$$T = \frac{v_0 \sin \alpha \pm \sqrt{v_0^2 \sin^2 \alpha + 2gH}}{g}.$$

Так как $T > 0$, следует оставить знак плюс. Расстояние от берега

$$L = v_0 \cos \alpha T = \frac{v_0^2 \sin 2\alpha}{2g} + \frac{v_0 \cos \alpha}{g} \sqrt{v_0^2 \sin^2 \alpha + 2gH}.$$

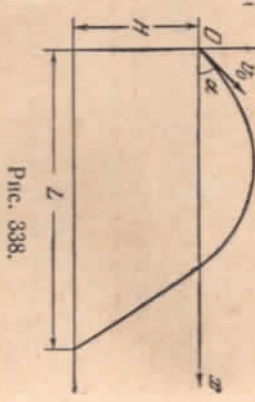


Рис. 338.

Тело окажется на высоте h над водой, спустя время $\tau = \frac{v_0 \sin \alpha \pm \sqrt{v_0^2 \sin^2 \alpha + 2g(H-h)}}{g}$. Если $|h| < |H|$, то физический смысл имеет только знак плюс. При $h \geq H$ имеют смысл оба решения. Тело движется во время падения окажется на одночасие над водой.

Конечную скорость v проще всего найти с помощью закона сохранения энергии

$$\frac{mv_0^2}{2} + mgh = \frac{mv^2}{2},$$

Отсюда

$$v = \sqrt{v_0^2 + 2gH}.$$

Рис. 339.

166. В системе отсчета, изображенной на рис. 339, координаты камня в любой момент времени определяются следующими уравнениями:

$$\begin{aligned} x &= v_0 \cos \alpha \cdot t, \\ y &= h_0 + v_0 \sin \alpha \cdot t - \frac{gt^2}{2}. \end{aligned}$$

В момент падения камня $y = 0$ и $x = S$, где S — дальность полета камня. Решая эти уравнения относительно угла α , получим:

$$\tan \alpha = \frac{v_0^2}{gS} \left(1 \pm \sqrt{1 + \frac{2gh_0}{v_0^2} - \frac{g^2 S^2}{v_0^4}} \right).$$

Это выражение имеет смысл при

$$1 + \frac{2gh_0}{v_0^2} - \frac{g^2 S^2}{v_0^4} \geq 0.$$

Отсюда $S < \frac{v_0 \sqrt{v_0^2 + 2gh_0}}{g}$. Максимальное значение $S_{\max} = \frac{v_0 \sqrt{v_0^2 + 2gh_0}}{g}$. При меньших S каждому значению S соответствуют два значения угла α , разность между которыми тем меньше, чем ближе значение S к максимальному.

Следовательно, при максимальной дальности полета

$$\lg \alpha = \frac{v_0^2}{g S_{\max}} = \frac{v_0}{\sqrt{v_0^2 + 2gh_0}} = \frac{1}{\sqrt{3}}, \quad \alpha = 30^\circ.$$

167. Составляющие скоростей тел вдоль x и y в любой момент времени определяются так:

$$v_{1x} = v_0 \sin \alpha_1 - gt, \quad v_{1y} = v_0 \sin \alpha_2 - gt,$$

$$v_{2x} = -v_0 \cos \alpha_1, \quad v_{2y} = -v_0 \cos \alpha_2.$$

Пусть u — скорость второго тела относительно первого. Тогда

$$u_y = v_0 \sin \alpha_1 - gt - v_0 \sin \alpha_2 + gt = v_0 (\sin \alpha_1 - \sin \alpha_2),$$

$$u_x = v_0 (\cos \alpha_1 + \cos \alpha_2).$$

Следовательно, скорость u равна

$$u = \sqrt{u_x^2 + u_y^2} = 2 \cos \left(\frac{\alpha_1 + \alpha_2}{2} \right) v_0.$$

Тела движутся друг относительно друга с постоянной скоростью. По прошествии времени τ расстояние между ними будет:

$$S = 2v_0 \cos \left(\frac{\alpha_1 + \alpha_2}{2} \right) \tau.$$

168. Путь S , пройденный бомбой по горизонтальному направлению, равен $S = \sqrt{L^2 - H^2} = v \cos \alpha \cdot t$, где t — время падения бомбы. Пройденный по вертикали путь $H = v \sin \alpha \cdot t + \frac{gt^2}{2}$

(рис. 340). Исключив время из этих уравнений, находим α :

$$\lg \alpha = -\frac{v^2}{gS} \pm \sqrt{\left(\frac{v^2}{gS}\right)^2 + \frac{2Hv^2}{gS^2} - 1}.$$

Имеет смысл решение со знаком плюс. Знак минус соответствует $\alpha < 0$, т. е. случаю сбрасывания бомбы в момент, когда самолет летит вверх.

169. Удобнее всего решать эту задачу в системе отсчета, связанный с равномерно движущимися автомашинами.

В этой системе дорога движется назад со скоростью $v = 50 \text{ км/ч}$, автомашин находитась в покое друг относительно друга, а их колеса вращаются. Линейная скорость точек на окружности колеса и линейная скорость зажатого камня также равны v . Камень проходит наибольшее расстояние, если он выпадет в момент, когда его скорость составляет с горизонтом угол 45° . Найдем это расстояние. Пренебрегая тем обстоятельством, что в момент вылета камень находится несколько выше уровня шоссе, получим $t = \frac{v^2 \sin 2\alpha}{g} = \frac{v^2}{g} = 19.6 \text{ м}$. Расстояние между машинами должно быть не меньше 19.6 м.

170. Решение задачи значительно упростится, если оси кординат направить вдоль наклонной плоскости и перпендикулярно ей (рис. 341).

Тогда составляющие ускорения шарика на оси x и y будут соответственно равны $a_x = g_x = g \sin \alpha$, $a_y = g_y = -g \cos \alpha$. Скорость шарика в момент первого соударения с наклонной плоскостью будет равна $v_0 = \sqrt{2gh}$. Начальная скорость шарика после первого соударения равна v_0 и образует с осью y угол α (рис. 341).

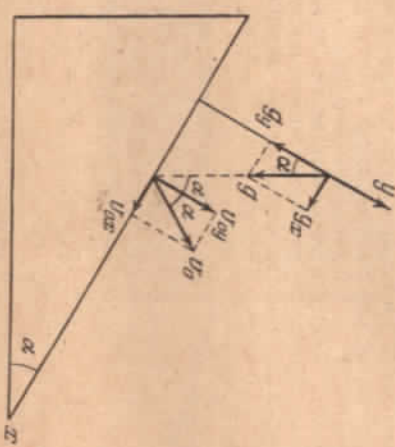


Рис. 341.

Расстояние между точками первого и второго соударений шарика с плоскостью равно $t_1 = v_0 \sin \alpha \cdot t_1 + \frac{g \sin \alpha \cdot t_1^2}{2}$, где t_1 — время полета. Это время определяется уравнением

$$v_0 \cos \alpha \cdot t_1 - \frac{g \cos \alpha \cdot t_1^2}{2} = 0.$$

Отсюда $t_1 = \frac{2v_0}{g}$ и $t_1 = 8h \sin \alpha$. Скорость шарика в момент второго соударения определяется равенствами:

$$v_{1x} = v_{0x} + a_x t_1 = v_0 \sin \alpha + g \sin \alpha \cdot t_1 = 3v_0 \sin \alpha,$$

$$v_{1y} = v_{0y} + a_y t_1 = v_0 \cos \alpha - g \cos \alpha \cdot t_1 = -v_0 \cos \alpha.$$

После окончания процесса соударения эти скорости равны

$$v_{2x} = v_{1x}, \quad v_{2y} = -v_{1y}.$$

Расстояние между точками второго и третьего соударений равно

$$t_2 = 3v_0 \sin \alpha \cdot t_2 + \frac{g \sin \alpha \cdot t_2^2}{2},$$

где t_2 — время полета шарика. Так как начальная скорость вдоль оси y та же, что и при первом соударении, то $t_2 = t_1$. Поэтому $I_2 = 16h \sin \alpha$.

Аналогично можно показать, что расстояние между следующими точками $I_3 = 24h \sin \alpha$.

Следовательно, отношение $I_1 : I_2 : I_3 \dots = 1 : 2 : 3$ и т. д.

171. Движение тела можно рассматривать как наложение движений по окружности радиуса R в горизонтальной плоскости и падения по вертикали.

Соответственно скорости тела в данный момент v можно представить как геометрическую сумму двух составляющих: $v_1 = v \cos \alpha$ — направленной горизонтально и $v_2 = v \sin \alpha$ — параллельной вертикалью (рис. 342).

Здесь α — угол, образованный винтовой линией желоба с горизонтальной линией.

Ускорение тела при криволинейном движении равно геометрической сумме тангенциального и нормального ускорений. Нормальное ускорение, соответствующее движению по окружности, $a_{1n} = \frac{v_1^2}{R} = \frac{v^2 \cos^2 \alpha}{R}$.

Рис. 342. Движение по вертикали прямоилинейно, поэтому $a_{2n} = 0$.

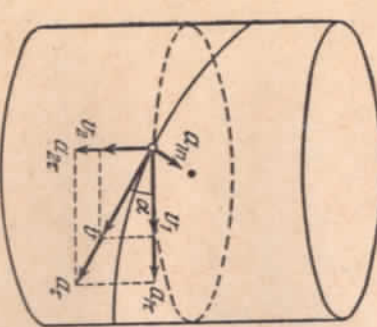
Искомое ускорение $a = \sqrt{a_{1t}^2 + a_{2t}^2 + a_{1n}^2}$, где a_{1t} и a_{2t} — тангенциальные ускорения, соответствующие движению по окружности и вдоль вертикали. Полное тангенциальное ускорение a_t , очевидно, равно $a_t = \sqrt{a_{1t}^2 + a_{2t}^2}$.

a_t можно найти, масштабно развернув поверхность цилиндра, на которую навит винтовой желоб, в плоскость. При этом желоб превратится в наклонную плоскость с высотой nh и длиной оси, равной $a_t = \sqrt{a_{1t}^2 + a_{2t}^2}$.

Для определения a_{1n} найдем v из закона сохранения энергии: $\frac{mv^2}{2} = mghn$. Следовательно, $v^2 = 2ghn$ и $a_{1n} = \frac{v^2}{h^2 + 4\pi^2 R^2}$. Подставив найденные ускорения a_t и a_{1n} в выражение для искомого ускорения, находим:

$$a = \frac{g h \sqrt{h^2 + 4\pi^2 R^2 + 64\pi^4 n^2 R^2}}{h^2 + 4\pi^2 R^2}.$$

172. Движение шарика можно рассматривать по обыкновению как результат сложения движений по вертикали (равнотяжелое движение) и горизонтали (равномерное движение). Проще всего решить задачу, построив график зависимости координаты шарика вдоль горизонтали от времени для преломленных зра-



$$\text{окружности}, a_{1n} = \frac{v_1^2}{R} = \frac{v^2 \cos^2 \alpha}{R}.$$

Рис. 343.

штриховка на рис. 343 соответствует движению шарика от M к N , а горизонтальная — от N к L . Области пересечения штриховок соответствуют неопределенности в направлении горизонтальной скорости.

1) Непосредственно из графика видно, что направление скорости шарика по горизонтали после того, как он один раз отскочил от платформы N , будет неопределенным при времени падения $OK < t < OL$ или $t > LB$ ($OK = 0,15$ сек; $OL = 0,2$ сек; $AB = 0,225$ см).

Следовательно, $10 \text{ см} < H < 20 \text{ см}$ или $H > \frac{g t^2}{2} \approx 26 \text{ см}$.

2) Шарик может попасть в любую точку основания, на котором покоятся платы, если время падения шарика $t > AF = 0,3$ сек. Следовательно, $H_{\min} = 44 \text{ см}$.

173. 1) За время полного оборота T диск пройдет путь, равный длине окружности диска, т. е. $S = 2\pi r$, где r — радиус диска. Следовательно, поступательная скорость любой точки диска $v_0 = \frac{2\pi r}{T} = v$. С другой стороны, линейная скорость вращения относительно центра O точек, лежащих на ободе диска, равна $v_1 = \omega r$, где ω — угловая скорость вращения. Так как $\omega = \frac{2\pi}{T}$, то $v_1 = \frac{2\pi r}{T} = v_0$, что и требовалось доказать.

2) Скорость точек обода относительно наблюдателя складывается из двух скоростей: скорости поступательного

движения скорости 267 см/сек и 200 см/сек (рис. 343). Нижняя ломаная соответствует максимальной скорости, а верхняя — минимальной. С течением времени, как видно из графика, неопределенность координаты шарика x , даваемая отрезком горизонтальной прямой, защищенной между линиями графика, увеличивается. Вертикальная

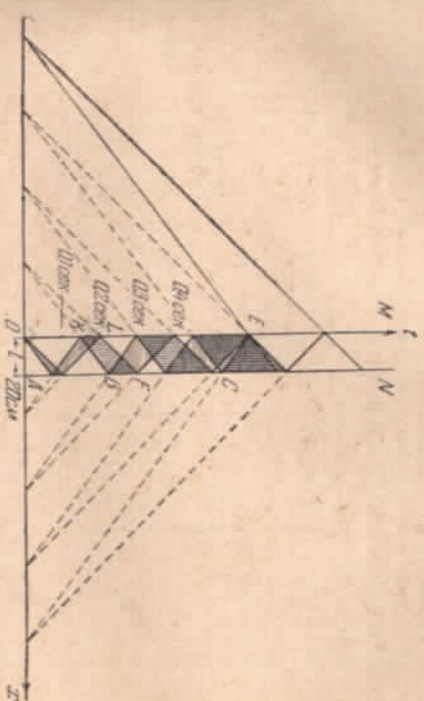


Рис. 343.

и скорости вращательного движений. Для точки A суммарная скорость будет равна $2v$.

Для точек B и D суммируемые скорости равны по абсолютной величине, и их сумма составляет $\sqrt{2}v$ (рис. 344, а).

Для точки C суммарная скорость относительно неподвижного наблюдателя равна нулю, так как скорости поступательного движения и вращательного движения равны по абсолютной величине и направлены в противоположные стороны.

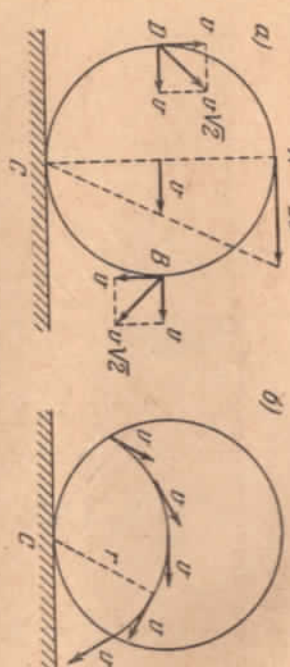


Рис. 344.

3) Мгновенные скорости точек диаметра AC возрастают прямо пропорционально расстоянию от точки C . Поэтому движение диска в данный момент времени можно рассматривать как вращение вокруг точки соприкосновения диска с плоскостью. Ось, проходящая через точку C перпендикулярно плоскости диска, постепенно изменяется мгновенной осью вращения. Она перемещается при движении диска, проходя все время через точку соприкосновения диска с плоскостью.

Следовательно, в данный момент времени все точки диска, отстоящие от точки C на одно и то же расстояние, будут иметь одинаковую суммарную скорость относительно неподвижного наблюдателя. Точки, находящиеся на расстоянии радиуса диска от мгновенной оси (точки C), будут иметь ту же по абсолютной величине скорость, что и скорость оси, т. е. v (рис. 344, б).

174. Угол между соседними спицами переднего колеса равен $\varphi = \frac{2\pi}{N_1}$. Колесо будет казаться зрителю невращающимся, если за время съемки двух соседних калюв $\tau = 1/24$ сек колесо повернется на угол $\alpha = k\varphi$, где k — целое положительное число. С другой стороны, угол поворота колеса за время τ равен $\alpha = \omega\tau$, где ω — угловая скорость колеса. Следовательно, переднее колесо будет казаться невращающимся, если $\omega = \frac{2\pi k}{N_1 \tau}$. При этом скорость повозки $v = \omega r = \frac{2\pi kr}{N_1 \tau}$. Она будет иметь наибольшее значение $v_{\max} = \frac{2\pi r}{N_1 \tau} = 8,8$ м/сек.

Задние колеса также будут казаться невращающимися, если

$$\frac{2\pi k_1 r}{N_1 \tau} = \frac{2\pi k_2 R}{N_2 \tau}.$$

Отсюда при $k_1 = k_2 = 1$ $N_2 = \frac{N_1 R}{r} = 9$.

175. 1) Спицы кажутся вращающимися против часовой стрелки, если за время τ (см. задачу 174) колесо повернется на угол β_1 , удовлетворяющий условию $k\varphi > \beta_1 > k\varphi - \frac{\varphi}{2}$, где $k = 1, 2, 3, \dots$

Последовательные положения спиц колеса для данного случая

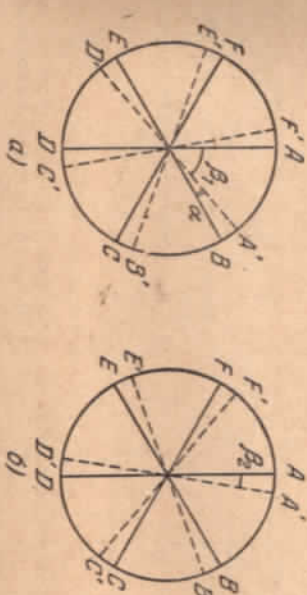


Рис. 345.

изображены на рис. 345, а. Зритею кажется, что каждая спица повернулась на угол $\alpha < \frac{\varphi}{2}$ против часовой стрелки. Возможны значения угловой скорости заключены соответственно в интервале

$$\frac{k\varphi}{\tau} > \omega_1 > \frac{(2k-1)\varphi}{2\tau}.$$

Так как число спиц передних и задних колес одинаково, то, для того чтобы колесо казалось вращающимися против часовой стрелки, скорость повозки должна удовлетворять неравенствам:

$$\frac{k\varphi r}{\tau} > v > \frac{k\varphi r}{\tau} - \frac{\varphi r}{2\tau}, \quad (1)$$

$$\frac{k\varphi R}{\tau} > v > \frac{k\varphi R}{\tau} - \frac{\varphi R}{2\tau}. \quad (2)$$

$R = 1,5r$, поэтому второе неравенство можно переписать следующим образом:

$$1,5 \frac{k\varphi r}{\tau} > v > \frac{1,5k\varphi r}{\tau} - \frac{1,5\varphi r}{2\tau}.$$

Оба неравенства, совместные лишь при $k = 1$, дают допустимое значение скорости повозки в виде

$$\frac{\varphi r}{\tau} > v > 0,75 \frac{\varphi r}{\tau},$$

Или, так как $\varphi = \frac{2\pi}{6}$, $8,8 \text{ м/сек} > v > 6,6 \text{ м/сек}$.

2) Стены заднего колеса будут казаться врашающимися по часовой стрелке, если за время τ колесо повернется на угол β_2 , удовлетворяющий условию $(2k - 1) \frac{\varphi}{\tau} > \beta_2 > (k - 1) \varphi$ (рис. 345, б).

Отсюда для скорости повозки вытекает неравенство

$$1,5 \frac{(2k - 1) \varphi r}{2\tau} > v > \frac{1,5(k - 1) \varphi r}{\tau}.$$

Одновременно должно быть удовлетворено неравенство (1). При $k = 1$ оба неравенства совместны, если $0,75 \frac{\varphi r}{\tau} > v > 0,5 \frac{\varphi r}{\tau}$; при $k = 2$ они

совместны при условии $\frac{2\varphi r}{\tau} > v > 1,5 \frac{\varphi r}{\tau}$. Если $k > 2$, то неравенства несовместны. Следовательно,

$$6,6 \text{ м/сек} > v > 4,4 \text{ м/сек}$$

$$17,6 \text{ м/сек} > v > 14,2 \text{ м/сек}.$$

176. Через точку C (рис. 346) проходит мгновенная ось вращения (см. задачу 173). Поэтому точка A имеет относительно бруска скорость, равную $v_A = v \frac{R+r}{r}$.

Точка B имеет скорость $v_B = v \frac{R-r}{r}$.

Мгновенную скорость, равную скорости оси катушки, имеют точки, расположенные на окружности радиуса r , центром которой является точка C .

177. Траектории точек A , B и C изображены на рис. 347. Точка B описывает кривую, называемую обобщенной циклоной; точки A и C описывают удлиненную и укороченную циклоиды.

178. Линейная скорость точек на окружности вала $v_1 = \omega \frac{d}{2}$.

Линейная скорость точек обоймы $v_2 = \omega \frac{D}{2}$. Так как шарики катятся без скольжения, такова же будут и мгновенные скорости тех точек шарика, которые в данный момент соприкасаются с валом

и обоймой. Но мгновенную скорость любой точки шарика можно рассматривать как сумму двух скоростей: скорости движения его

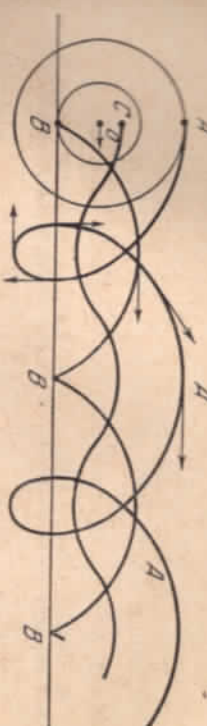


Рис. 347.

и центра v_0 и линейной скорости пращающегося движения вокруг центра. Вращение шарика будет происходить с некоторой угловой скоростью ω_0 (рис. 348).

Поэтому

$$v_1 = v_0 - \omega_0 r,$$

$$v_2 = v_0 + \omega_0 r.$$

Отсюда

$$v_0 = \frac{1}{2} (v_1 + v_2) = \frac{1}{4} (\omega d + \Omega D).$$

В этом выражении каждая из угловых скоростей может быть как положительной (вращение по часовой стрелке), так и отрицательной (вращение против часовой стрелки).

При $\Omega = 0$ $v_0 = \frac{\omega d}{4}$.

179. Так как конус катится без скольжения, то точки образующих OA (рис. 349) должны быть неподвижны. Из этого условия определяется скорость Ω вращения конуса вокруг собственной оси,

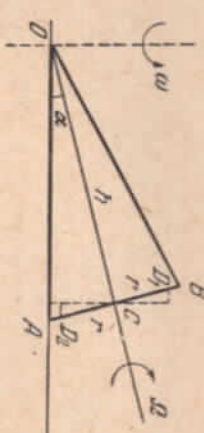


Рис. 349.

Для точки A это условие дает: $\frac{\omega h}{\cos \alpha} = \Omega h \operatorname{tg} \alpha$. Отсюда $\Omega = \frac{\omega}{\sin \alpha}$. Скорость произвольной точки D_1 , диаметра AB основания

колеса слагается из двух скоростей:

$$v_1 = \omega (h \cos \alpha - r \sin \alpha) + \frac{r_0}{\sin \alpha},$$

где r — расстояние от центра осиования C до данной точки, Для точки D_2 , лежащей ниже центра C , будем иметь:

$$v_2 = \omega (h \cos \alpha + r \sin \alpha) - \frac{r_0}{\sin \alpha}.$$

Крайняя нижняя точка имеет скорость, равную нулю, а крайняя верхняя $v = 2oh \cos \alpha$. В местах сцепления колесных шестерен E и C , а также шестерен E и D линейные скорости должны быть одинаковы. Так как шестерни E вращаются вокруг оси A со скоростью ω , а сама ось вращается в другой плоскости со скоростью Ω , то для сцепления колес E и C имеет место равенство

$$r_1 \omega_1 = r_{\theta} + r_1 \Omega.$$

Для сцепления колес E и D аналогичное равенство имеет вид:

$$r_1 \omega_2 = -r_{\theta} + r_1 \Omega.$$

Отсюда

$$2\Omega = \omega_1 + \omega_2,$$

$$2\omega = \frac{f_1}{r} (\omega_1 - \omega_2).$$

При определенной скорости Ω приводимого по вращение двигателем колеса B угловые скорости передних колес автомобиля могут отличаться друг от друга на величину от нуля до 2Ω .

§ 8. Динамика криволинейного движения

181. На основании второго закона Ньютона

$$\frac{(M+m) u^2}{L} = T - (M+m) g, \text{ где } u = 2 \sin \frac{\alpha}{2} \sqrt{Lg}$$

(см. задачу 125).

Отсюда

$$T = (M+m) g \left(4 \sin^2 \frac{\alpha}{2} + 1 \right).$$

$$132. T_1 = 10m\omega^2 l; \quad T_2 = 9m\omega^2 l; \quad T_3 = 7m\omega^2 l; \quad T_4 = 4m\omega^2 l.$$

133. Расстояния от центра тяжести до масс m_1 и m_2 равны соответственно

$$x = \frac{m_2}{m_1 + m_2} l \quad \text{и} \quad y = \frac{m_1}{m_1 + m_2} l.$$

Обозначим через u скорость центра тяжести, а через ω угловую скорость вращения. Тогда $u + \omega x = v_1$ и $u - \omega y = v_2$.

$$\omega = \frac{v_1 - v_2}{l}, \quad u = \frac{m_1 v_1 + m_2 v_2}{m_1 + m_2}.$$

232

184. Скорость вращения замедлится. Платформа сообщает снаряду дополнительное количество движения по касательной к траектории конца ствола пушки. По третьему закону Ньютона вылетающий из ствола снаряд будет оказывать давление на внутреннюю часть ствола, направленное против вращения.

185. В момент соприкосновения тела с горизонтальной поверхностью пушка, а горизонтальная составляющая скорости тела будут иметь значения: $v_h = \sqrt{2gh} \sin \alpha$ и $v_r = \sqrt{2gh} \cos \alpha$. В случае абсолютно упругого удара пушка оставается без изменения знака, а горизонтальная составляющая остается без изменения. Траектория тела будет представлять собой отрезки парабол (рис. 350), причем $h = H \cdot \sin^2 \alpha$, а $t = 2H \sin 2\alpha$.



Рис. 350.

Если удар абсолютно неупругий, то вертикальная составляющая скорости станет равной нулю, и тело будет двигаться равномерно по горизонтальной плоскости со скоростью $v = \sqrt{2gh} \cos \alpha$.

186. Со стороны земли на мотоцикла действуют две силы (рис. 351): N — реакция опоры и F — сила трения. Сумма этих сил T направлена вдоль мотоцикла. (В противном случае относительного центра тяжести O действовал бы момент сил, опрокидывающий мотоцикл.)

На центр тяжести тела, таким образом, действует результатирующая сила $F = T + P$, где P — вес мотоциклиста. И так как $F = T \cos \alpha = f$, то центростремительное ускорение мотоциклиста сообщает только сила трения f .

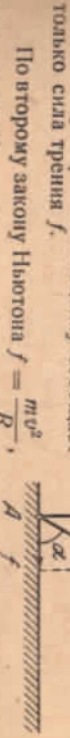


Рис. 351.

По второму закону Ньютона $f = \frac{mv^2}{R}$, причем $f \leq kmg$. Как видно из рис. 351,

$$\frac{mg}{f} = \frac{1}{\tan \alpha}.$$

Минимальное значение R из данной системы уравнений равно $\frac{v^2}{g^2} = \frac{R}{k}$, при этом $\tan \alpha = \frac{R}{v^2} \approx 33.3$ и, следовательно, $\alpha \approx 73^\circ 20'$.

187. Рассмотрим промежуточное положение стержня, когда он отклонился от вертикали на угол α . По закону сохранения энергии

$$MgR = MgR \cos \alpha + \frac{M\omega^2 R^2}{2},$$

где R — расстояние от конца стержня до центра тяжести шара.

Отсюда угловая скорость ω выражается следующим образом:

$$\omega = 2 \sin \frac{\alpha}{2} \sqrt{\frac{g}{R}}.$$

При данном α она тем меньше, чем больше R . Следовательно, стержень упадет скорее, если он поставлен на конец B .

188. По второму закону Ньютона $m\omega^2 R = mg \cos \alpha - N$, где N — сила, с которой деформированный стержень действует на шар.

В момент преобразования движения стержня на пол деформации стержня исчез и $N = 0$.

Как показано в задаче 187,

$$\omega = 2 \sqrt{\frac{g}{R} \sin \frac{\alpha}{2}}.$$

Подставляя это значение ω в уравнение движения, находим: $\cos \alpha = \frac{2}{3}$. Отсюда $\alpha = 48^\circ 10'$. Чтобы стержень не проскользнул, необходимо выполнение условия $N \sin \alpha \leq kN \cos \alpha$ (рис. 352). Следовательно, $k \geq \frac{1}{2} \tan \alpha$. Отсюда $k \geq \frac{\sqrt{5}}{2}$.

189. Если $k > \frac{\sqrt{5}}{2}$, то стержень не проскользнет до тех пор, пока N не станет равным нулю, т. е. до тех пор, пока $\alpha < \arccos \frac{2}{3}$.

При $\alpha > \arccos \frac{2}{3}$ уравнение $m\omega^2 R = mg \cos \alpha - N$ дает $N < 0$. Это означает, что если бы конец стержня был прикреплен к земле, то стержень был бы растянут. При неакрепленном стержне шар начнет падать свободно с момента, когда угол α достигнет значения $\alpha_0 = \arccos \frac{2}{3}$.

В этот момент $v = \omega R = \sqrt{\frac{2}{3} g R}$ составляет угол α_0 с горизонтом, а высота шара над землей $CD = \frac{2}{3} R$ (рис. 353). Используя законы свободного падения, находим искомое расстояние

$$AB = AD + DB = R \frac{5\sqrt{5} + 4\sqrt{23}}{27} \approx 1,12R.$$

Рис. 352.

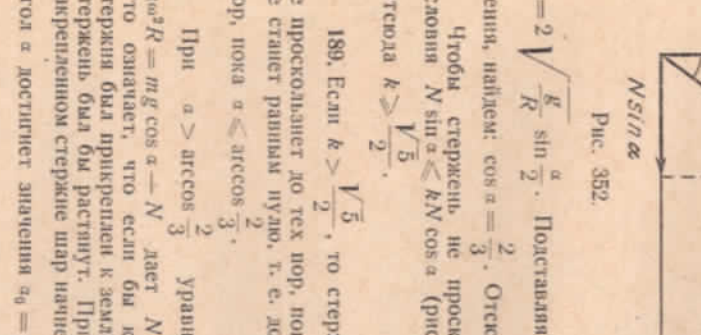


Рис. 352.

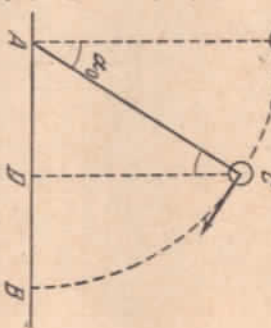


Рис. 353.

190. На участке ADB (рис. 354) бусинка движется под действием силы тяжести. Для того чтобы она, покинув проволоку в точке A , попала в точку B , необходимо, чтобы проийденный ею по гибкой проволоке путь был равен $2R \sin \alpha$. Для этого скорость бусинки в точке A должна удовлетворять условию

$$\frac{2\mu^2 \sin \alpha - \cos \alpha}{g} = 2R \sin \alpha.$$

$$(см. задачу 162). Отсюда \mu^2 = \frac{gR}{\cos \alpha}.$$

Бусинка будет иметь в точке A скорость v , если в ей сообщена скорость u , равная по закону сохранения энергии:

$$v = \sqrt{u^2 + 2gR(1 + \cos \alpha)} =$$

$$= \sqrt{gR \left(2 + 2 \cos \alpha + \frac{1}{\cos \alpha} \right)}.$$

191. Пусть выреза нет. Тогда в точке C (рис. 355)

$$mg = \frac{mv^2}{R}.$$

$$(1)$$

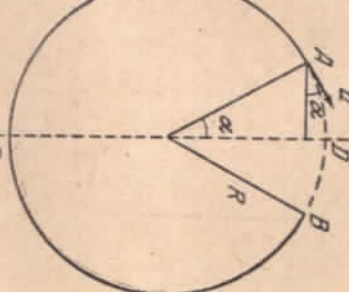


Рис. 354.

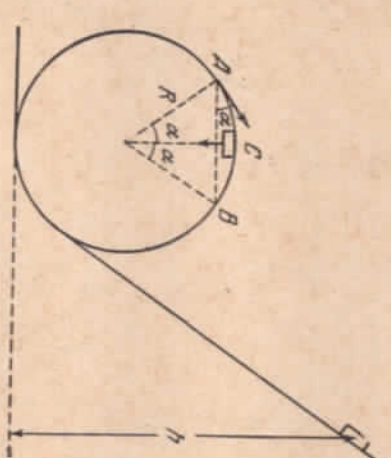


Рис. 355.

По закону сохранения энергии

$$mg h = mg \cdot 2R + \frac{mv^2}{2}.$$

$$(2)$$

Из (1) и (2) получаем $h = \frac{5}{2} R$. Скорость в точке A определяется

из закона сохранения энергии

$$\frac{5}{2}R = \frac{mv_A^2}{2} + mgR(1 + \cos\alpha). \quad (3)$$

Тело, брошенное под углом α к горизонту, пролетит по горизонтали расстояние

$$AB = \frac{v_A^2 \sin 2\alpha}{g}. \quad (4)$$

С другой стороны,

$$AB = 2R \cdot \sin \alpha.$$

Из (4) и (5) следует:

$$v_A^2 = \frac{Rg}{\cos \alpha}.$$

Подставляя это значение в (3), получим:

$$mg \frac{5}{2}R = \frac{mgR}{2 \cos \alpha} + mgR + mgR \cos \alpha.$$

Отсюда $\cos \alpha = \frac{3 \pm 1}{4}$ и, следовательно, $\alpha_1 = 0$, $\alpha_2 = 60^\circ$.

Нетрудно убедиться, что если $\alpha > 60^\circ$, тело упадет внутрь петли; если $\alpha < 60^\circ$, тело вылетит наружу.

192. Рассмотрим силы, действующие на нить, перекинутую через левый гвоздь (рис. 356). Вертикальные составляющие сил натяжения T , действующих на тела, равны mg , если нить закреплена

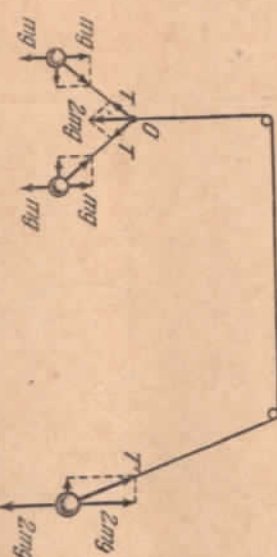


Рис. 356.

на гвозде. На узел (точку O) по третьему закону Ньютона действуют те же силы T . Их сумма направлена вертикально вниз и равна $2mg$.

В случае одного вращающегося тела вертикальная составляющая натяжения нити T' равна $2mg$ (если тело не опускается вниз). Но само натяжение нити $T' > 2mg$ (рис. 356). Следовательно, наша система не будет в равновесии. Правый груз перегиб.

193. Направление ускорения совпадает с направлением resultantной силы. Вина ускорение направлено при крайних верхних положениях B и C шарика (рис. 357). Вине ускорение направлено при крайнем нижнем положении A и горизонтально при положении D и L , определяемых углом α .

Найдем α . По второму закону Ньютона произведение массы на центростремительное ускорение равно сумме проекций сил на направление радиуса вращения:

$$\frac{mv^2}{l} = T - mg \cos \alpha.$$

С другой стороны, как видно из

рис. 357, $T = \frac{mg}{\cos \alpha}$. На основа-

нии закона сохранения энергии имеем:

$$\frac{mv^2}{2} = mg l \cos \alpha.$$

Из этих уравнений находим, что $\cos \alpha = \frac{1}{\sqrt{3}}$ и, следовательно, $\alpha \approx 54^\circ 45'$.

194. Обозначим через α угловую скорость стержня в момент прохождения стержня через вертикаль. На основании закона сохранения энергии имеем:

$$\frac{\omega^2}{2} (m_1 r_1^2 + m_2 r_2^2) =$$

$$= g(l - \cos \alpha)(m_1 r_1 + m_2 r_2)$$

или

$$\omega = 2 \sin \frac{\alpha}{2} \sqrt{\frac{g}{m_1 r_1^2 + m_2 r_2^2}},$$

отсюда

$$v_1 = \omega r_1 = 2r_1 \sin \frac{\alpha}{2} \sqrt{\frac{g}{m_1 r_1^2 + m_2 r_2^2}},$$

Рис. 358.

195. Равнодействующая сил, приложенных к шарику $F = mg / g \alpha$, должна создавать центростремительное ускорение $a = \omega^2 r$, где $r = l \sin \alpha$ (рис. 358). Отсюда

$$mg / g \alpha = m \omega^2 l \sin \alpha.$$

Это уравнение имеет два решения:

$$\alpha_1 = 0,$$

$$\alpha_2 = \arccos \frac{g}{\omega^2 l}.$$

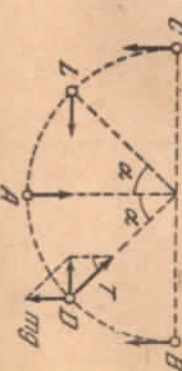


Рис. 358.

Во втором случае имеют место оба решения: $\alpha_1 = 0$, (при этом шарик находится в состоянии неустойчивого равновесия) и $\alpha_2 = 60^\circ$.

В первом случае имеет место только решение $\alpha_1 = 0$.

196. Силу F , действующую со стороны стержня на груз m , разложим на взаимно перпендикулярные составляющие T и N (рис. 359).

Спроектируем силы на вертикаль и горизонталь и запишем уравнения Ньютона для этих направлений:

$$m\omega^2 l \sin \varphi = T \sin \varphi - N \cos \varphi,$$

$$m\omega^2 l \sin \varphi = T \cos \varphi + N \sin \varphi.$$

Из этих уравнений определим T и N :

$$T = m(\omega^2 l \sin^2 \varphi + g \cos \psi),$$

$$N = m(g - \omega^2 l \cos \varphi) \sin \varphi.$$

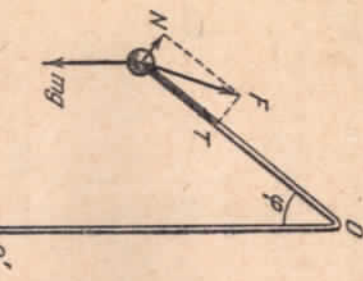


Рис. 359.

197. Действующие на бусинку силы изображены на рис. 360, f — сила трения, mg — вес, N — сила нормальной реакции.

Уравнения Ньютона для проекции сил на горизонтальное и вертикальное направления имеют вид:

$$\frac{f \sin \varphi}{f \cos \varphi} \mp N \cos \varphi = m\omega^2 l \sin \varphi,$$

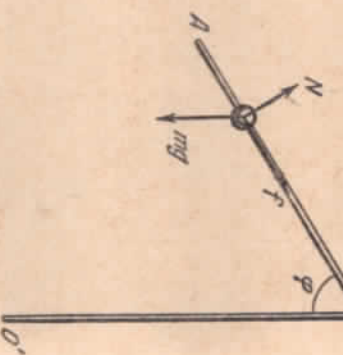
$$f \cos \varphi \pm N \sin \varphi - mg = 0.$$


Рис. 360.

198. На рис. 361 изображены силы, действующие на грузы T_1 и T_2 — напряжения нитей. Запишем уравнения Ньютона для каждого на горизонтальное и вертикальное направления.

Для первого груза:

$$T_1 \cos \varphi - T_2 \cos \psi - mg = 0,$$

$$T_1 \sin \varphi - T_2 \sin \psi = m\omega^2 l \sin \varphi,$$

238

Для второго груза:

$$m\omega^2 l (\sin \varphi + \sin \psi) = T_2 \sin \psi, \quad (2)$$

$$T_2 \cos \psi = mg.$$

Исключив из системы уравнений (1) и (2) T_1 и T_2 , приходим к уравнению:

$$a \sin \varphi = 2 \lg \varphi - \lg \psi, \quad a (\sin \varphi + \sin \psi) = \lg \psi,$$

где $a = \frac{\omega^2 l}{g}$.

Из этих уравнений вытекает, что $2 \lg \varphi - \lg \psi < \lg \psi$ и, следовательно, $\varphi < \psi$.

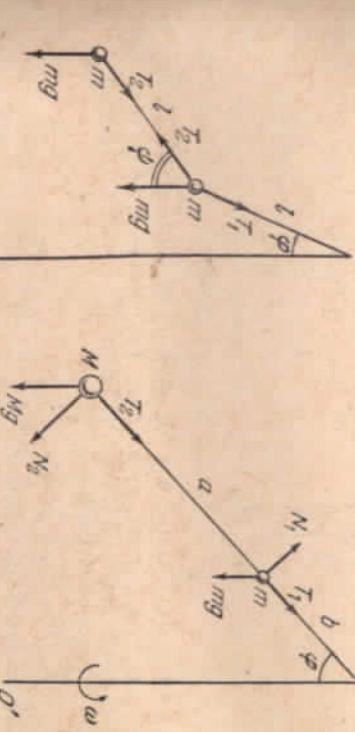


Рис. 361.

Рис. 362.

199. Действующие на грузы силы изображены на рис. 362. T_1 , N_1 и T_2 , N_2 — составляющие сил, действующих со стороны стержня на грузы m и M .

N_1 и N_2 направлены в противоположные стороны, так как сумма моментов сил, действующих на стержень, относительно точки O равна нулю вследствие невесомости стержня: $N_1 b - N_2 (b + a) = 0$. Уравнение движения масс m и M для проекций на горизонтальное и вертикальное направления имеет вид

$$m\omega^2 b \sin \varphi = T_1 \sin \varphi - N_1 \cos \varphi, \quad T_1 \cos \varphi + N_1 \sin \varphi = mg,$$

$M\omega^2 (b + a) \sin \varphi = T_2 \sin \varphi + N_2 \cos \varphi, \quad T_2 \cos \varphi - N_2 \sin \varphi = Mg$,

Исклучив из системы неизвестные T_1 , T_2 , N_1 и N_2 , найдем:

$$1) \varphi = 0, \quad 2) \cos \varphi = \frac{g}{\omega^2} \frac{mb + M(a+b)}{mb^2 + M(a+b)^2}.$$

Первое решение справедливо при любых угловых скоростях вращения, второе при $\omega > \sqrt{\frac{g}{mb^2 + M(a+b)^2}}$ (см. решение задачи 195).

200. В состоянии равновесия $m_0 x = kx$, где x — расстояние тела от оси.

Остается ясно, что при любом х пружина сообщает телу необходиимое для прращения центростремительное ускорение. Поэтому после толчка тело будет двигаться с постоянной скоростью до упора А или до тех пор,

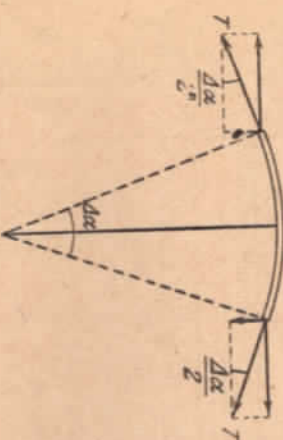


Рис. 363

Так как угол Δx мал, то $\sin \frac{\Delta x}{2} \approx \frac{\Delta x}{2}$, отсюда $T = m/r^2 = 9,2 \text{ кН}$.

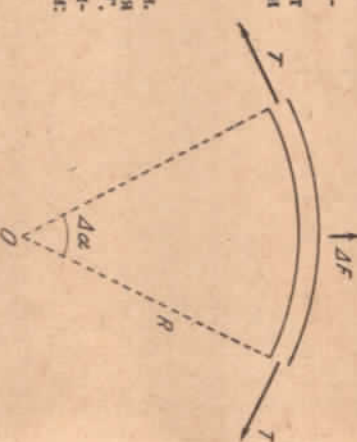
Растянутые стеки трубы сообщают жидкости, протекающей по этому элементу, ускорение v^2

$a = \frac{F}{m}$, по пропорции
кону Ньютона на элемент
трубы со стороны жидкости
будет действовать сила

где ρ — плотность жидкости.
Сила ΔF уравновешивается

стами натяжения кольца L . Из условия равновесия, учитывая, что Δx мало, имеем:

Следовательно, искомая



Plc. 364

203. Разобьем стержень на n участков одинаковой длины и рассмотрим произвольный участок номера i (рис. 365). Ускорение различных точек этого участка будет неодинаково, поскольку разстояния точек до оси вращения различны. Однако если разность $r_{i+1} - r_i$ мала, то мы можем считать, что ускорение i -участка равно $\omega^2 \frac{r_{i+1} + r_i}{2}$, и это тем точнее, чем меньше длина участка.

На i - участок действует упругая сила T_{i+1} со стороны леворучного участка $i+1$ и сила T_i со стороны участка $i-1$.

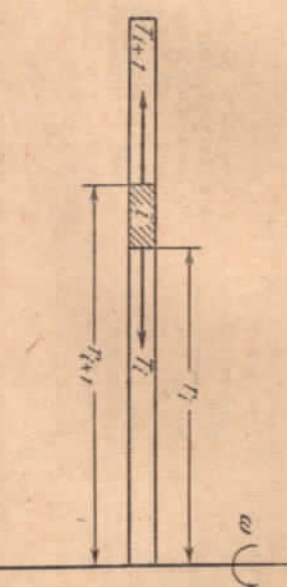


Рис. 365

Так как масса i - участка равна $\frac{m}{l} (r_{i+1} - r_i)$, то на основании второго закона Ньютона можно написать:

$$T_l - T_{l+1} = \frac{m}{I} (r_{l+1} - r_l) \omega^2 \frac{r_{l+1} + r_l}{2}$$

$$T_{l+1} - T_l = -\frac{m\omega^2}{2I}(r_{l+1}^2 - r_l^2)$$

показания для участков от
а $r_0 = x$;

$$T_n - T_{n-1} = -\frac{m\omega^2}{2I}(r_n^2 - r_{n-1}^2),$$

$$T_{k+1} - T_x = -\frac{m\omega^2}{2I}(r_{k+1}^2 - x^2).$$

Запишем уравнения движения для участков от k до l включительно, считая, что $r_{n+1} = l$, а $r_k = x$:

$$-T_n = -\frac{m\omega^2}{2I}(l^2 - r_n^2),$$

В первом уравнении этой системы учтено, что упругая сила на конец стержня не действует, т. е. $\bar{T}_{n+1} = 0$. Сложив уравнения

системы, получим, что некомое напряжение $I_x = \frac{1}{2}(I^z - x^y)$.

204. В неподвижной относительно оси системы отсчета сила тяжести не совершает работы, так как она все время перпендикулярна скорости шарика. В движущейся системе эта

сила совершает работу, отличную от нуля, и за счет ее меняется кинетическая энергия шарика.

205. Участок обруча AB массы m обладает в начальном положении энергией $mg2R + \frac{m(2v)^2}{2}$. При движении кинетическая и потенциальная энергии участка AB начинают уменьшаться. Уменьшение энергии происходит за счет работы силы упругой деформации обруча, равнодействующая которых дает центростремительную силу, направленную всегда к центру. Скорость участка AB составляет тупой угол α с силой F (рис. 366). Поэтому работа силы $A_1 = F \Delta S \cos \alpha$ противодействия F , следовательно, уменьшается кинетическая энергия участка массы m .

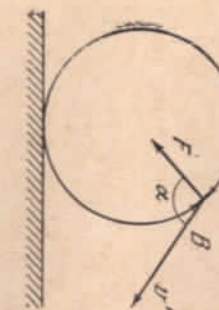


Рис. 366.

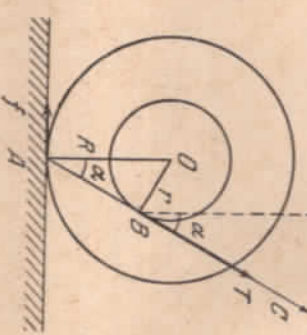


Рис. 367.

После того, как участок AB проходит крайнее нижнее положение, работа силы F , как легко видеть, станет положительной и энергия участка AB начнет возрастать.

206. Проведем из точки A , являющейся «мгновенной осью вращения» (см. задачу 173), касательную к внутренней окружности катушки (рис. 367).

Если направление штифта будет совпадать с направлением касательной AC , то момент сил, врашающих катушку относительно мгновенной оси, будет равен нулю. Поэтому покоящаяся катушка не начнет поворачиваться вокруг мгновенной оси, и, следовательно, поступательное движение катушки будет отсутствовать.

Значение угла α , при котором происходит изменение направления движения катушки, определяется из треугольника AOB : $\sin \alpha = \frac{r}{R}$. Если наклон штифта больше α , катушка покатится вправо, если меньше, то влево, при условии, что нет проскальзывания. Если каток не катится, то катушка останется неподвижной. В противном случае при $\sin \alpha = \frac{r}{R}$ она начнет вращаться на месте против часовой стрелки вокруг точки O .

207. Рассмотрим весь обруч в равных малых участках масса Δm каждого. Рассмотрим для симметричных (относительно центра) участков. Все частицы обруча участвуют одновременно в двух движении — поступательном со скоростью v и вращательном со ск

остью $v_1 = \omega R$. Реактирующая скорость v_2 верхнего участка обруча найдется как геометрическая сумма скоростей v и v_1 (рис. 368):

$$v_2^2 = v^2 + v_1^2 - 2vv_1 \cos \alpha.$$

Для симметричного участка

$$v_3^2 = v^2 + v_1^2 - 2vv_1 \cos \alpha.$$

Суммарная кинетическая энергия обоих участков

$$\Delta E = \frac{\Delta mv_2^2}{2} + \frac{\Delta mv_3^2}{2} =$$

$$= \Delta mv^2 + \Delta m\omega^2 R^2.$$

Так как это выражение имеет место для любых двух участков, то для всего обруча можно записать:

$$E = \frac{Mv^2}{2} + \frac{MR^2\omega^2}{2}.$$

Если обруч катится без проскальзывания, то $v = \omega R$ и, следовательно, $E = Mv^2$.

$$208. E = \frac{g}{2Pv^2} (\pi r + I).$$

209. Цилиндр из более плотного материала, очевидно, будет проскальзывать кинетической энергией обеих цилиндров в конце пути будет больше у полого цилиндра, так как частички его масса дальше отстоят от центра и, следовательно, имеют большие скорости.

Поэтому при скатывании без проскальзывания с наклонной пло- скости полый цилиндр приобретет меньшую скорость, чем сплошной. Полные кинетические энергии обеих цилиндров в конце пути одинаковы, что возможно только при различных скоростях, так как при одинаковых скоростях энергии поступательного движения равны, а энергии вращательного движения сплошного цилиндра обязательно меньше, чем полого.

210. При движении катушки сила трения не совершает работы, так как нет проскальзывания кабеля и катушки. Следовательно, кинетическая энергия системы не изменяется: $\frac{P}{g} v^2 + PR = \frac{P - p_x}{g} u^2 + (P - p_x) R$, где u — искомая скорость. Отсюда $u = \sqrt{\frac{Pv^2 + PRg}{P - p_x}}$. И оказывается равной бесконечности при $P = p_x$ вследствие того, что мы не учитывали массу катушки.

Количество движения уменьшается в результате действия силы трения, направленной в сторону, противоположную движению.

211. Так как сила трения постоянна, движение будет равно-

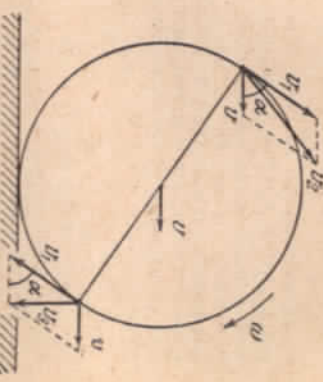


Рис. 368.

Развиваемая силой трения мощность равна fv , где $v = \omega r$ — мгновенная скорость той точки шкива, к которой приложена сила f . Работа за время t равна средней мощности, умноженной на время t :

$$A = f \frac{\omega_0 r + \omega r}{2} t.$$

Изменение кинетической энергии шкива равно этой работе:

$$\frac{mr^2}{2} (\omega_0^2 - \omega^2) = \frac{frt}{2} (\omega_0 + \omega).$$

$$\text{Отсюда } \omega = \omega_0 - \frac{fr}{mr}.$$

212. Сила трения f постоянна, поэтому изменение количества движения обруча за время t ratio $mv = ft$. В случае качения без проскальзывания скорость точки обруча, к которой приложена сила трения, равна нулю.

Приравнивая работу сил трения разности кинетических энергий, имеем:

$$\frac{m\omega_0^2 r^2}{2} - mv^2 = f \frac{\omega_0 r + 0}{2} t$$

(см. задачу 207).

Решая уравнения относительно v , найдем:

$$v = \frac{\omega_0 r}{2}.$$

213. Уравнения, выражющие изменение количества движения и кинетической энергии обруча, имеют вид:

$$m(v_0 - v) = ft,$$

$$\frac{mv_0^2}{2} - mv^2 = f \frac{v_0 + 0}{2} t,$$

где $v = \omega r$ — скорость центра обруча при качении без проскальзывания.

Решая эти уравнения относительно v , имеем:

$$v = \frac{v_0}{2}.$$

Следовательно, искомая величина $\omega = \frac{v_0}{2r}$.

214. Уравнения, выражающие изменение количества движения и кинетической энергии обруча, имеют вид:

$$m(v_0 - v) = ft,$$

$$\frac{mv_0^2}{2} + \frac{m\omega_0^2 r^2}{2} - \frac{mv^2}{2} - \frac{m\omega^2 r^2}{2} = f \frac{(v_0 + \omega_0 r) + (v + \omega r)}{2} t,$$

где v — скорость центра обруча в любой последующий момент времени.

Решая данную систему уравнений, найдем:

$$v = v_0 - \frac{f}{m} t, \quad \omega = \omega_0 - \frac{ft}{mr}.$$

Если $v_0 < \omega_0 r$, то в момент времени $t = \frac{mv_0}{f}$ обруч останавливается, пропадая при этом с угловой скоростью $\omega = \omega_0 - \frac{v_0}{r}$.

Затем обруч начнет двигаться в обратную сторону с проскальзыванием. Спустя некоторое время проскальзывание прекратится и обруч будет катиться без проскальзывания влево с поступательной скоростью $v = \frac{\omega_0 r - v_0}{2}$ (см. задачу 213).

Если же $v_0 > \omega_0 r$, то через $t = \frac{mv_0}{f}$ обруч перестанет пропадать, перелетев вправо с поступательной скоростью $v = v_0 - r\omega_0$. В дальнейшем вращение обруча будет происходить в обратную сторону, и спустя некоторое время обруч будет катиться без проскальзывания вправо; его угловая скорость

$$\omega = \frac{v_0 - r\omega_0}{2r}.$$

Заметим, что, как показывает опыт, обруч тормозится и при отсутствии проскальзывания. Мы не получим данного результата, так как не учитывали специфического трения качения. Так как обручи не проскальзывают, то v_0 — скорость центра тяжести обрущей, и v , скорость груза, связаны соотношением

$$v_0 = v \frac{R}{R-r}.$$

Пусть груз опустится на высоту h . Считая, что в начальный момент система покоялась, из закона сохранения энергии имеем:

$$mgh = \frac{mv^2}{2} + Mv_0^2$$

(см. задачу 207).

Из последнего соотношения находим скорость груза:

$$v = \sqrt{\frac{2mgh}{m + 2M \left(\frac{R}{R-r} \right)^2}}.$$

Отсюда ускорение груза

$$a = \frac{mg}{m + 2M \left(\frac{R}{R-r} \right)^2}.$$

Груз движется вниз с ускорением a под действием двух сил: силы тяжести mg и натяжения нити T .

Искомое натяжение нити T равно

$$T = m(g - a) = \frac{2mMg\left(\frac{R}{R-r}\right)^2}{m + 2M\left(\frac{R}{R-r}\right)^2}.$$

Так как центр тяжести обруча движется с ускорением, равным $a \frac{R}{R-r}$, под действием силы T и силы трения F , то на основании второго закона Ньютона для силы F получаем равенство

$$F = T - Ma \frac{R}{R-r}$$

или

$$F = \frac{Mmg\left(\frac{R}{R-r}\right)^2\left(2 - \frac{R-r}{R}\right)}{m + 2M\left(\frac{R}{R-r}\right)^2} = \frac{Mmg\left(1 + \frac{r}{R}\right)}{m\left(1 - \frac{r}{R}\right)^2 + 2M}.$$

Значение силы трения покоя не может превышать величины kMg . Поэтому проскальзывание наступит тогда, когда

$$\frac{Mmg\left(\frac{R}{R-r}\right)^2\left(1 + \frac{r}{R}\right)}{m + 2M\left(\frac{R}{R-r}\right)^2} > kMg,$$

или

$$k < \frac{1 + \frac{r}{R}}{\frac{2}{m} + \left(1 - \frac{r}{R}\right)^2}.$$

216. Центр тяжести катушки не будет перемещаться, если натяжение нити удовлетворяет равенству

$$T = Mg \sin \alpha.$$

Для определения натяжения нити T найдем ускорение груза массы m . Пусть груз опустился на h . Так как центр тяжести катушки по условию должен оставаться в покое, то изменение потенциальной энергии равно mgh . Если v — скорость движения груза массы m , то скорость точек катушки, отстоящих на расстояние R от оси вращения, равна $v \frac{R}{r}$. Следовательно, кинетическая энергия системы равна

$$E = \frac{mv^2}{2} + \frac{Mv^2}{2} \cdot \frac{R^2}{r^2}.$$

Из закона сохранения энергии следует:

$$\left(m + M \frac{R^2}{r^2}\right) \frac{v^2}{2} = mgh,$$

246

или

$$v = \sqrt{\frac{2mgh}{m + M \frac{R^2}{r^2}}}.$$

Отсюда ускорение груза

$$a = \frac{m \frac{g}{r^2}}{m + M \frac{R^2}{r^2}},$$

Эти ускорение груза, находим натяжение нити:

$$T = m(g - a) = mg \frac{M \frac{R^2}{r^2}}{M \frac{R^2}{r^2} + m}.$$

Таким образом, для $\sin \alpha$ получаем выражение

$$\sin \alpha = \frac{1}{\frac{m}{M} + \frac{r^2}{R^2}}.$$

Центр тяжести катушки может поколиться только в том случае, если

$$\frac{M}{m} + \frac{r^2}{R^2} \geq 1.$$

217. Если скорость лоски равна v , то скорость центра тяжести каждого катка $v/2$ (см. задачу 173). Кинетическая энергия системы (лоски и обоих катков) равна

$$\frac{Mv^2}{2} + \frac{2mv^2}{4} = \frac{M+m}{2} v^2.$$

Приравнивая кинетическую энергию работе силы Q на пути S , получим:

$$\frac{M+m}{2} v^2 = QS, \quad v = \sqrt{\frac{2QS}{M+m}}.$$

(рис. 369). (Сила трения работы не совершают, так как проскальзывание отсутствует.)

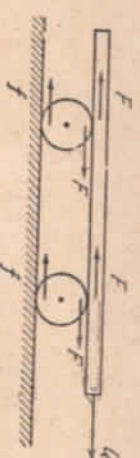


Рис. 369.

Из выражения для скорости движения лоски следует, что ускорение ее равно

$$a = \frac{Q}{M+m}.$$

Для определения силы трения, действующей со стороны катка на доску, напишем уравнение движения лоски: $Ma = Q - 2F$.

Поставим в это уравнение значение ускорения a , получим:

$$F = \frac{mQ}{2(M+m)}.$$

Так как скорость центра тяжести катка в два раза меньше скорости доски, то и ускорение центра тяжести катка будет в два раза меньше ускорения доски. Поэтому уравнение движения центра тяжести катка будет иметь вид:

$$m \frac{a}{2} = F - f.$$

Из этого уравнения вытекает, что $f = 0$.

218. Предположим для определенности, что $m_1R > m_2r$. В этом случае первый груз будет опускаться, а второй подниматься. Пусть первый груз опустится на h . Тогда второй груз поднимется на $\frac{r}{R}h$.

Убыль потенциальной энергии при этом будет равна

$$m_1gh - m_2gh \frac{r}{R} = gh \left(m_1 - m_2 \frac{r}{R} \right).$$

Если абсолютное значение скорости первого груза v , то скорость второго груза будет равна $v \frac{r}{R}$.

Все точки первой ступени блока имеют скорость v , а все точки второй ступени блока имеют скорость $v \frac{r}{R}$. Кинетическая энергия системы будет

$$\frac{m_1 + M_1}{2} v^2 + \frac{m_2 + M_2}{2} \frac{r^2}{R^2} v^2 = \left(m_1 - m_2 \frac{r}{R} \right) gh.$$

Из закона сохранения энергии следует:

$$\frac{m_1 + M_1}{2} v^2 + \frac{m_2 + M_2}{2} \frac{r^2}{R^2} v^2 = \left(m_1 - m_2 \frac{r}{R} \right) gh,$$

или

$$v = \sqrt{\frac{2 \left(m_1 - m_2 \frac{r}{R} \right) gh}{\left(m_1 + M_1 \right) + \left(m_2 + M_2 \right) \frac{r^2}{R^2}}}.$$

Огосуди ускорение первого груза

$$a_1 = \frac{m_1 - m_2 \frac{r}{R}}{\left(m_1 + M_1 \right) + \left(m_2 + M_2 \right) \frac{r^2}{R^2}} g.$$

Из соотношения $\frac{a_1}{a_2} = \frac{R}{r}$, где a_2 — ускорение второго груза, находим:

$$a_2 = \frac{\left(m_1 - m_2 \frac{r}{R} \right) g \frac{r}{R}}{\left(m_1 + M_1 \right) + \left(m_2 + M_2 \right) \frac{r^2}{R^2}}.$$

Натяжение нитей T_1 и T_2 на основании второго закона Ньютона равны:

$$T_1 = \frac{M_1 + m_2 \frac{r}{R} + \frac{r^2}{R^2} (m_2 + M_2)}{m_1 + M_1 + (m_2 + M_2) \frac{r^2}{R^2}} m_1 g,$$

$$T_2 = \frac{m_1 + M_1 + \frac{r}{R} \left(m_1 + M_2 \frac{r}{R} \right)}{m_1 + M_1 + (m_2 + M_2) \frac{r^2}{R^2}} m_2 g.$$

Сила F , с которой система действует на ось блока, равна

$$F = T_1 + T_2 + (M_1 + M_2) g.$$

219. Пусть путь, пройденный центром тяжести цилиндра за время t , равен S , а скорость центра тяжести к этому моменту превысила радиус v (см. рис. 370). Тогда на основании закона сохранения энергии имеем:

$$Mv^2 = MgS \sin \alpha.$$

Отсюда скорость равна

$$v = \sqrt{gS \sin \alpha},$$

а ускорение $a = \frac{g \sin \alpha}{2}$.

Скорость центра тяжести цилиндра и угловая скорость его вращения будут равны:

$$v = \frac{g \sin \alpha}{2} t, \quad \omega = \frac{g \sin \alpha}{2R} t.$$

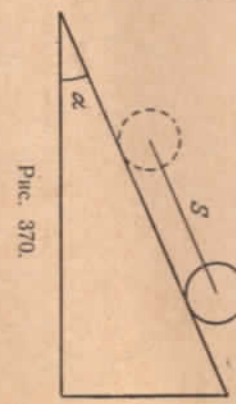


Рис. 370.

§ 9. Закон всемирного тяготения

220. По второму закону Ньютона $m_i g = F$, где m_i — инертиная масса — величина, характеризующая способность тел приобретать то или иное ускорение под влиянием определенной силы.

С другой стороны, по закону всемирного тяготения $F = \gamma \frac{m_g M_g}{R^2}$, где коэффициент пропорциональности γ — так называемая гравитационная постоянная, а m_g и M_g — гравитационные массы взаимодействующих тел. Гравитационная масса определяет силу гравитационного притяжения и в этом смысле может быть названа «гравитационным зарядом».

Заранее не очевидно, что $m_i = m_g$. Однако лишь при выполнении этого равенства (достаточно и пропорциональности) ускорение силы тяжести одинаково для всех тел, так как при постановке силы тяготения во второй закон Ньютона массы m_i и m_g можно сократить, и $G = 1/R^2$.

Только сила тяготения сообщает всем телам одинаковые ускорения, не зависящие от их масс.

221. Ускорение силы тяжести $g = \gamma \frac{M}{R^2}$ (см. задачу 220). Принимая $g = 982 \text{ см/сек}$, найдем $\gamma = 6.68 \cdot 10^{-8} \text{ см}^3 \text{ г}^{-1} \text{ сек}^{-2}$.

222. Тела внутри космического корабля перестают оказывать давление на его стеки, если они будут иметь такое же ускорение, как и корабль. Однако ускорение в данном участке пространства всем телам независимо от их массы может сообщить только сила тяготения. Следовательно, необходимо, чтобы двигатель корабля был выключен и сопротивление внешней среды отсутствовало. Движение же корабля может происходить в любом направлении по отношению к направлению силы тяготения.

223. Сила тяжести сообщает одинаковое ускорение мантии и рамки. Никаких деформаций за счет тяготения нет. Поэтому относительное движение мантии и рамки в системе не возникает. Поэтому относительное движение мантии и рамки в системе не возникает.

Сила тяжести сообщает мантии и рамке, чтобы двигатель корабля был выключен и сопротивление внешней среды отсутствовало. Движение же корабля может происходить в любом направлении по отношению к направлению силы тяготения.

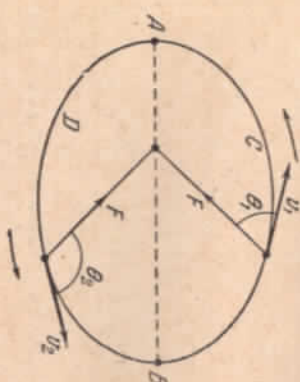


Рис. 371.

вращается с постоянной угловой скоростью до тех пор, пока достигнет рамки.

224. На участке BCA (рис. 371) сила тяготения совершает положительную работу (угол θ_1 острый). И, следовательно, скорость планеты возрастает. В точке A скорость достигает своего максимального значения.

На участке ADB сила тяготения совершает отрицательную работу (угол θ_2 тупой), и, следовательно, при движении по этому участку скорость планеты убывает, достигая минимального значения в точке B .
225. Чтобы спутник двигался по замкнутой орбите (окружности радиуса $R + h$), на него должна действовать сила, направленная к центру. Этой силой в данном случае является сила притяжения Земли. По второму закону Ньютона

$$\frac{mv^2}{R+h} = \gamma \frac{mM}{(R+h)^2},$$

где M — масса Земли, $R = 6370 \text{ км}$ — радиус земного шара, γ — гравитационная постоянная.

На поверхности Земли

$$\gamma \frac{mM}{R^2} = mg.$$

Следовательно,

$$v = \sqrt{\frac{gR^2}{R+h}} \approx 7.5 \frac{\text{км}}{\text{сек}}.$$

226. Под влиянием сопротивления атмосферы спутник постепенно с течением времени приближается к Земле. Радиус его орбиты уменьшается.

Так как в верхних слоях сопротивление мало, то за один оборот это уменьшение радиуса незначительно. Считая орбиту приближенно круговой, можно записать:

$$\frac{mv^2}{R} = \gamma \frac{mM}{R^2},$$

где R — радиус орбиты. Отсюда

$$v = \sqrt{\frac{\gamma M}{R}}, \text{ т. е. скорость спутника}$$

изменяется при уменьшении R .

Наглядно этот результат можно пояснить следующим образом. Вследствие сопротивления атмосферы движение спутника, например, на круговую орбиту (пунктир на рис. 372), будет в действительности происходить по некоторой спирали (сплошная линия на рис. 372). Поэтому проекция силы тяготения F на направление движения v сила сопротивления атмосферы f) и при работе силы F (больше силы сопротивления атмосферы f) и при этом уменьшается, но потенциальная энергия при приближении к Земле убывает быстрее, чем полная. За счет этого кинетическая энергия растет.

Следует подчеркнуть, что в плотных слоях атмосферы из-за большой величины силы сопротивления мы не можем даже приближенно рассматривать движение спутника как вращение по окружности, иначе мы будем несправедливы.

227. Если бросить контейнер против движения спутника A , то он начнет двигаться по некоторому эллипсу 2 , расположенному внутри орбиты спутника (рис. 373). Первое обращение контейнера будет немногим отличаться от периода обращения спутника B . Поэтому они могут встретиться в точке соприкосновения орбит только после совершения большого числа оборотов.

Контейнер нужно бросить в направлении движения спутника A . Он начнет двигаться по эллипсу 3 . Скорость и нужно подобрать так, чтобы за время одного оборота контейнера спутник B также сделал один оборот и доподлинно прошел путь AB . Это вполне возможно, так как первое обращение по эллипсу 3 несколько больше периода обращения по круговой орбите 1 . Контейнер встретится со спутником в точке соприкосновения орбит 3 и 1 .

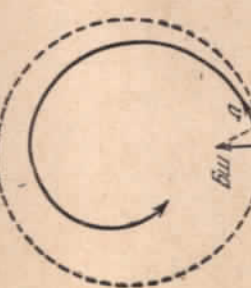


Рис. 373.

228. Считая приближенно орбиту Земли круговой, для силы тяготения можно записать выражение $F = m_0 \omega^2 R$, где m — масса

Земли, а $\omega = \frac{2\pi}{T}$ — угловая скорость Земли ($T = 365$ дней). С другой стороны, согласно закону тяготения $F = \gamma \frac{mM}{R^2}$, где M — масса

Солнца. Отсюда

$$\gamma \frac{mM}{R^2} = m_0 \omega^2 R,$$

$$\text{или} \\ M = \frac{\omega^2 R^3}{\gamma} \approx 2 \cdot 10^{33} \text{ г.}$$

229. Поскольку как Луна, так и спутник движутся в поле тяжести Земли, применим третий закон Кеплера:

$$\frac{T_1^2}{T_2^2} = \frac{(h + H + 2R_0)^3}{8R^3}$$

(рис. 374). Отсюда

$$h = 2R \left(\frac{T_1}{T_2} \right)^{2/3} - H - 2R_0 = 220 \text{ км.}$$

230. Так как масса шарика больше массы воды в том же объеме, то поле тяготения больше вблизи шарика, чем вдали от него. Соответственно поле после шарика, дополнительно сила давления жидкости, действующая на пузырек слева, будет несколько меньше, чем сила, действующая справа. С другой стороны, сила тяготения между воздухом в пузырьке и шариком больше силы притяжения между воздухом и выделенным объемом воды (объем a на рис. 375).

Так как масса воздуха в пузырьке очень мала, то решающим оказывается действие первого фактора. Пузырек будет отталкиваться от шарика. Движение железного шарика, напротив, будет определяться тем, что сила притягивается тем, что сила притяжения между воздухом в пузырьке и шариком много меньше силы притяжения между шариком и выделенным объемом воды (рис. 375, объем b).

Вычисление силы проводится путем следующих рассуждений. В однородной среде (воде) имеется сфера с почти полным отсутствием массы (пузырек) и сфера с избыточной массой (шарик). Формально это можно рассматривать как наличие отрицательной и положительной масс.

Сила взаимодействия между сферами в жидкости равна силе взаимодействия в пустоте отрицательной массы, равной массе пузырька, и положительной массы, равной массе железного шарика, превышающей массу воды в том же объеме.

Следовательно,

$$F = -\gamma \frac{m_1(m_2 - m_1)}{R^2},$$

Здесь m_1 — масса воды в сфере радиуса r , m_2 — масса железного шарика.

231. Вблизи пузырька поле тяготения меньше, чем в однородной жидкости. Жидкость соответственно ската здесь меньше. Поэтому в участок жидкости возле одного пузырька устремляется другой, и наоборот. Пузырьки будут притягиваться.

Два пузырька в однородной жидкости, массы которых пре-брежнею малы, можно рассматривать формально как отрицательные массы, наложенные на положительную массу m среди в объеме пузырька:

$$F = \gamma \frac{(-m)(-m)}{R^2} = \gamma \frac{m^2}{R^2}.$$

232. Если бы шар был сплошным, то сила тяготения $F_1 = \gamma \frac{Mm}{R^2}$, где $M = \frac{4}{3} \pi R^3 \rho$ — масса шара без полости. Наличие полости эквивалентно появлению силы отталкивания $F_2 = \gamma \frac{m'm}{S^2}$,

где $m' = \frac{4}{3} \pi r^3 \rho$, а S — расстояние между центром полости и материальной точкой.

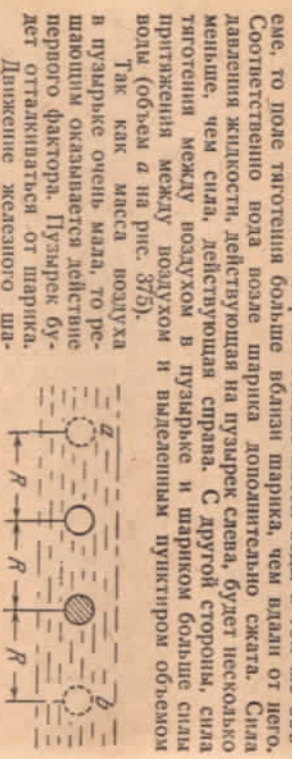


Рис. 375.

Искомая сила F является геометрической суммой сил F_1 и F_2 (рис. 376). По теореме косинусов

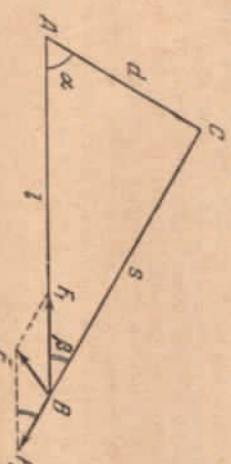


Рис. 376.

$$F = \sqrt{F_1^2 + F_2^2 - 2F_1F_2 \cos \beta} = \\ = \frac{4}{3} \pi \gamma m \rho \sqrt{\frac{R^6}{R^2} + \frac{r^4}{(R^2 - d^2)^2} - \frac{2R^3 r^3 \cos \beta}{R(R^2 - d^2)}} \approx 5.8 \cdot 10^{-4} F,$$

суммой сил притяжения, создаваемых отдельными элементами сферы. Малые элементы α_1 и α_2 (рис. 377) вырезаются из сферы конусами

с вершиной в точке A , которые получаются при вращении обра-
зующей BC вокруг оси S_1S_2 . Площади элементов равны соответ-
ственно $\frac{(AS_1)^2 \omega_1}{\cos \alpha_1}$ и $\frac{(AS_2)^2 \omega_2}{\cos \alpha_2}$, а их массы $\frac{(AS_1)^2 \omega_1}{\cos \alpha_1}$ и $\frac{(AS_2)^2 \omega_2}{\cos \alpha_2}$,
где ω — телесный угол, под которым видна оба элемента из точки
 A ; ρ — поверхностная плотность сферы (масса, приходящаяся на
единицу поверхности); $\angle \alpha_1 = \angle \alpha_2$, так как треугольник S_1OS_2 равно-
бедренный. Сила притя-
жения, созданная эле-
ментами, соответственно

$$F_1 = \gamma \frac{m(AS_1)^2 \omega_1}{(AS_1)^2 \cos \alpha_1} = \gamma \frac{m \omega_1^2}{\cos \alpha_1}$$

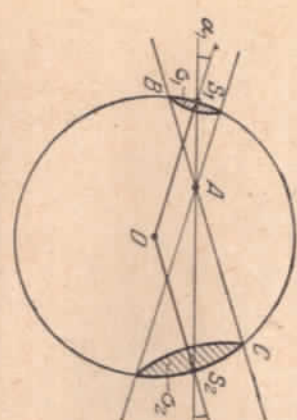


Рис. 377.

соответствующих элементов сферы, убеждаемся, что все они по-
парно компенсируют друг друга.

Следовательно, сила притяжения, которая действует со сто-
роны сферы на тело, помещенное внутри нее, равна нулю.

Заметим, что данный результат справедлив и для сферы ко-
нической толщины; так, ее можно разбить на сколь угодно тонкие

сферические оболочки, для каждой из которых справедливо дока-
занное выше утверждение.

243. Сила притяжения равна силе, с которой тело массы m пригивается к шару радиуса r и плотности ρ . Внешние слои толщи-
Земли не оказывают, как доказано в задаче 233, на тело никакого
действия.

Поэтому искомая сила

$$F = \gamma \frac{4\pi}{3} \rho r^3 m = \gamma \frac{4\pi}{3} \rho mr^3.$$

Эта сила убывает пропорционально r по мере приближения к цен-
тру Земли.

§ 10. Гидро- и аэростатика

235. Уровень воды не изменится, так как количество вытес-
ненной воды остается тем же.

236. Равновесие не нарушится, так как согласно закону Пас-
каля давление на дно сосуда будет всюду одинаковым.

237. 1) Так как кусок льда плавает, вес воды, вытесненной им,
равен весу самого льда или получившейся из него воды. Поэтому

воды, образовавшаяся после таяния льда, займет объем, равный
объему погруженной части куска, и, следовательно, уровень воды
не изменится.

2) Объем погруженной части куска с камнем больше суммы
объемов камня и воды, получившейся после таяния льда. Следо-
вательно, уровень воды в стакане понизится.

3) Вес вытесненной воды равен весу льда (вес воздуха в пу-
зырьке можно не принимать во внимание). Поэтому, как и в слу-
чае 1), уровень воды не изменится.

238. Вес тела, погруженного в жидкость, в первом случае
равен $P_1 = (d - d_1) V$; во втором случае $P_2 = (d - d_2) V$, где V —
объем тела.

Отсюда

$$d = \frac{P_2 d_1 - P_1 d_2}{P_2 - P_1}.$$

239. Только в небольших волнах лед может удерживаться
на песчаной помехе береговой кромки. В центре большого озера
он обязательно плавает. Относительная плотность льда и воды равно
0,9. Следовательно, 0,9 всей толщины льда находится в воде. Рас-
стояние от поверхности льда до воды равно 1 м.

240. После снятия камня коробка стала легче на вес камня, и
следовательно, объем вытесненный ею водой уменьшился на вели-
чину $V_1 = P/d_1$, где P — вес камня, d_1 — удельный вес воды. При
погружении в воду камень вытесняет объем воды, равный своему
объему $V_2 = P/d_2$, где d_2 — удельный вес вещества камня. Так как
 $d_2 > d_1$, то $V_1 > V_2$. Следовательно, уровень воды в чаше понизится.

241. В обоих случаях работа насосов одинакова, так как одно
и то же количество перекачанной воды поднимается на один и
тот же высоту.

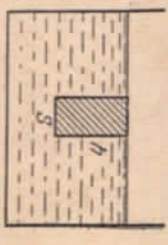
242. Г-образная фигура устойчиво стоит на дне пустого сосуда,
так как перпендикуляр, опущенный из центра тяжести фигуры,
не выходит за пределы площин опоры. По мере налиивания воды
в сосуд будет расти выталкиваемая сила, действующая на прямо-
угольник (предполагается, что вода имеет возможность подтекать
под фигуру). При глубине воды в сосуде, равной 0,5, сумма мо-
ментов сил, стремящихся повернуть тело по часовой стрелке, будет
превышать сумму моментов сил, стремящихся по-
перервать тело против часовой стрелки. При

дальнейшем заполнении сосуда фигура упадет.

243. Длина трубы x найдется из условия
 $d_x = d_0(x - h)$, выраженного равенством ла-
ганий на глубине нижнего конца трубы. Здесь

$$x = \frac{d_0 h}{d_0 - d} = 50 \text{ см.}$$

Рис. 378.



244. Выделим внутрь жидкости столбик высотой h (рис. 378).
Уравнение движения этого столбика имеет вид: $ma = mg - \rho S$,
где $m = \rho S h$ — масса жидкости, а ρ — давление на глубине h .

245. В соответствии с решением задачи 244 выталкивания сила может быть записана следующим образом: $F = \rho V (g - a)$, где V — объем погруженной части тела. Уравнение движения падающего тела массы M имеет вид: $Ma = Mg - \rho V (g - a)$.

Отсюда $V = \frac{M}{\rho}$, как и в неподвижном сосуде. Тело не испытывает на глубине h равнодействующей силы $\rho_1 = \rho g h$.

С другой стороны, если бы бак двигался ускоренно, а сила тяжести отсутствовала, то давление в точке A было бы равно $P_2 = \rho a l$. Именно такое давление, в соответствии со вторым законом Ньютона, сообщило бы столику жидкости длины l требуемое ускорение a .

При ускоренном движении бака в поле тяжести возникает как в жидкости одинаково по всем направлениям. Поэтому давление P_1 и P_2 складываются, и результатирующее давление в точке A $P = \rho (g h + a l)$.

247. Используя закон сохранения энергии и закон Архимеда, приходим к уравнению

$$mgx = \left(\frac{4}{3} \pi R^3 \rho - m \right) gh,$$

где ρ — плотность воды, а x — искомая высота.

Отсюда

$$x = \frac{\left(\frac{4}{3} \pi R^3 \rho - m \right) h}{m}.$$

248. Если уровень воды в сосудах одинаков, то и уровень ртути до того, как положили кусочек дерева, будет одинаков.

Внесение в сосуд кусочка дерева совершенно равносильно добавлению количества воды, которое вытесняется этим кусочком, т. е. количества воды, равного ему по весу. Следовательно, если сечение сосудов одинаковое, уровень воды и ртути в обоих сосудах будут совпадать.

Если же сечения не одинаковы, то вода будет стоять выше, а ртуть ниже в том сосуде, сечение которого меньше. Это произойдет потому, что добавление одинаковых по весу (и по объему) количеств воды в сосуды с разным сечением приведет к различному увеличению давления на поверхность ртути.

249. После опускания кубика во второй сосуд уровень ртути в обоих сосудах повысится на величину x и займет положение AB (рис. 379).

Необходимая высота столба воды во втором сосуде определяется равенством давлений, например, на уровне CD :

$$(y + x) \rho_1 g = h \rho_2 g,$$

где ρ_1 — плотность ртути, ρ_2 — плотность воды. У можно найти, используя соотношение объемов ртути:

$$(x + y) S_1 = V_2,$$

где V_1 — объем ртути, вытесненный кубиком, после вливания воды.

256

Если вода целиком покрывает кубик, то по закону Архимеда $V_0 \rho_0 g = V_2 \rho_2 g + (V_0 - V_2) \rho_0 g$, где ρ_0 — плотность железа. Решая уравнение, получим $h = \frac{\rho_1 (\rho_0 - \rho_2) V_0}{\rho_2 (\rho_1 - \rho_2) S_1}$.

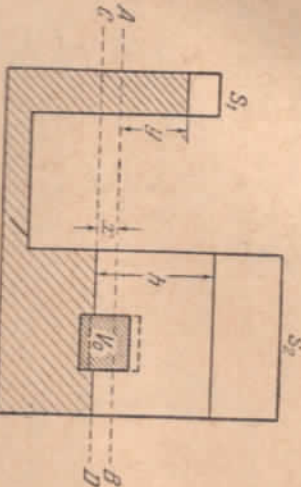


Рис. 379.

Если же вода не покрывает кубик, то закон Архимеда записывается в виде $V_0 \rho_0 g = V_2 \rho_2 g + h S_2 \rho_0 g$, где $S = V_0^{2/3}$ — площадь грани кубика. В этом случае искомая высота $h = \frac{\rho_2 (S_1 + V_0^{2/3})}{\rho_0 V_0}$.

Первое решение справедливо при $S_1 < \frac{\rho_1 (\rho_0 - \rho_2)}{\rho_2 (\rho_1 - \rho_0)} V_0^{2/3}$, второе при $S_1 > \frac{\rho_1 (\rho_0 - \rho_2)}{\rho_2 (\rho_1 - \rho_0)} V_0^{2/3}$.

250. Из равенства моментов относительно точки A (рис. 380) действующих на доску сил, имеем:

$$P_1 \left(l - a - \frac{x}{2} \right) \cos \alpha =$$

$$= P \left(\frac{l}{2} - a \right) \cos \alpha,$$

Рис. 380.



где $P_1 = S x d_0$, а $P = S l d$, S — площадь попечного сечения доски, d_0 — удельный вес воды.

Отсюда

$$x = (l - a) \pm \sqrt{(l - a)^2 - \frac{d}{d_0} l (l - 2a)},$$

Так как $x < l - a$, то имеет смысл только одно решение:

$$x = (l - a) - \sqrt{(l - a)^2 - \frac{d}{d_0} l (l - 2a)}.$$

251. Давление на «живо» сосуда равно $\rho g h$. Сила, с которой защтрихованная часть жидкости (рис. 381) лежит на стол, равна $\rho g h \pi (2Rh \lg \alpha - h^2 \lg^2 \alpha)$. По третьему закону Ньютона такая же сила действует на жидкость. Условие равновесия жидкости в момент, когда сосуд перестает давить на стол, имеет вид:

$$P + P_1 = \rho g h \pi (2Rh \lg \alpha - h^2 \lg^2 \alpha),$$

где P_1 — вес защтрихованной части жидкости (усеченный конус минус объем цилиндра):

$$P_1 = \frac{\rho g h}{3} (\pi R^2 + \pi (R - h \lg \alpha)^2 + \pi R (R - h \lg \alpha)) - \rho g h \pi (R - h \lg \alpha)^2.$$

Рис. 381.

$$\rho = \frac{P}{\pi g h^2 \lg \alpha \left(R - \frac{h \lg \alpha}{3} \right)}.$$

252. Движение жидкости в сифоне обеспечивается силами сцепления между элементами жидкости. Жидкость в длинном колене перевешивает жидкость в коротком колене, что и приводит к ее перекачке. На основании этого можно было бы предположить, что с помощью сифона можно перекачивать воду через стеки любой высоты. Однако это не так. При высоте погружения в 10 м давление внутри жидкости на этой высоте становится равным нулю. При этом пузырьки воздуха, всегда имеющиеся в воде, начнут расширяться и поднятой столб будет разорван. Действие сифона прекратится.

253. Сначала прибор будет действовать, как сифон. Вода будет выливаться через узкую трубку в поддон. Затем через А проскочит пузырек воздуха и разделит в верхнем колене жидкость на две части. Жидкость после этого перестанет выливаться.

254. Давление воды (неподвижного под поршнем) каждого пасока меньше атмосферного на величину $\rho g (H + h)$, где ρ — плотность воды. Поэтому, чтобы удержать поршень, нужно тянуть его вперед с силой $F = \rho g (H + h) S$, где S — площадь поршина.

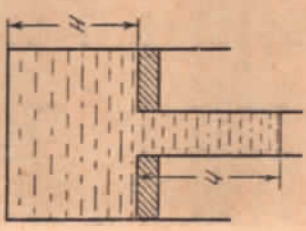
Следовательно, с большей силой необходимо тянуть те поршины, площадь которых больше.

255. Давление на дно равно $P = \rho g (H + h)$ (рис. 382). С другой стороны, так как сосуд цилиндрический, $\rho = \frac{P}{\pi R^2}$.

Высоту h можно определить, приведенная друг другу силы, действующие на поршни:

$$\rho g h \pi (R^2 - r^2) = P,$$

Рис. 382.



$$H = \frac{1}{\pi R^2} \left(m - \frac{P}{g} \frac{r^2}{R^2 - r^2} \right) \approx 10 \text{ см}.$$

Рис. 383.

256. Чтобы жидкость не выливалась, сосуду должно быть сообщено такое ускорение, при котором поверхность жидкости займет положение изображенное на рис. 383. Максимальный объем жидкости равен $\frac{bcS}{2l}$. Масса всей системы равна $M + \frac{bcS}{2l} \rho$. Необходимое ускорение определяется из условия, что сумма сил, действующих на малый элемент жидкости массы dm у поверхности, направлена горизонтально (рис. 383).

По второму закону Ньютона $\Delta ma = \Delta mg \lg \alpha$. Следовательно, искомая сила $F = (M + \frac{bcS}{2l} \rho) g \frac{b}{c}$.

257. В нижней половине камеры заполняются более плотным воздухом. В верхней половине он покидает камеру. Движение постепенно параллелизуется, и машина будет работать лишь до тех пор, пока разности давлений между половинами сосуда будут достаточно для поднятия воды по трубке в верхнюю половину сосуда.

258. В данном случае колесо не симметрично и давление воздуха на правую часть колеса больше, чем на левую. Избыточная сила $F = (\rho_1 - \rho_2) S$, где S — площадь попечечного сечения камеры. Вес же заполненных водой камер может превышать $P = \rho g Sh$. Так как $h < \frac{\rho_1 - \rho_2}{\rho g}$, то $F > P$.

Колесо начнет вращаться против часовой стрелки. Поэтому поление воздухом. Колесо будет вращаться против часовой стрелки до тех пор, пока уменьшающаяся разность давлений не станет недостаточной для того, чтобы поднять воду на высоту h .

259. В цилиндрическом сосуде дно лио отпадет во всех трех случаях, так как сила длины на дно сосуда спереди будет каждый раз равна 1 кг . В сосуде, суживающемся спереди, лио отпадет только при наливании масла, так как уровень масла здесь будет выше, чем в цилиндрическом сосуде. В сосуде, расширяющемся спереди, лио отпадет при наливании ртути, которая будет стоять выше, чем в цилиндрическом сосуде, а также при опускании гирь, вес которой распределяется в данном случае на меньшую площадь, чем в остальных двух случаях.

Показания весов увеличиваются, если средняя плотность взлетающего тела меньше плотности равновесок.

Показания весов уменьшаются, если средняя плотность тела больше плотности равновесок.

В случае, если разности и тело имеют одинаковую среднюю плотность, равновесие весов не нарушится.

261. Человек не достиг своей цели, так как, увеличив пытающую силу, он вместе с тем более значительно увеличила вес наружного воздуха.

262. Истинный вес тела

$$P = P_1 + d_0 \left(V - \frac{P_1}{d_1} \right) \approx 801,16 \text{ г.}$$

Допущенная относительная ошибка в процентах равна

$$\frac{P - P_1}{P} \cdot 100\% \approx 0,14\%.$$

263. При изменении атмосферного давления архимедова сила, действующая на барометра со стороны воздуха, меняется как из-за изменения плотности воздуха, так и из-за изменения объема барометра при изменении уровня ртути в их открытых частях.

При учете всех условий задачи барометры имеют не только одинаковый вес, но и одинаковый объем. Поэтому для каждого из них изменение выталкивающей силы из-за первой причины одинаково. Изменение же объемов будет различно. В U-образном барометре для изменения разности уровней ртути на определенную величину уровень ртути в каждом колене должен измениться только на половину этой величины. В чашечном барометре уровень ртути в чаше является неизменчивым, а в трубке — практически на всю величину изменения уровня. При этом, насколько изменится объем ртути в трубке, настолько же он должен измениться и в чаше.

Следовательно, для чашечного барометра изменение объема бутылки больше, чем для U-образного (при одинаковых диаметрах трубок). При попытке давления объем чашечного барометра станет меньше объема U-образного, объем Архимеда, действующий на чашечный барометр, также станет меньше, и поэтому он перестанет.

264. Нормальное атмосферное давление равно приблизительно $1 \text{ кг}/\text{см}^2$. Значит, вес атмосферного столба воздуха площадью 1 см^2 равен 1 кг . Зная поверхность земного шара, можно подсчитать вес всей атмосферы Земли.

Поверхность Земли $S = 4\pi R^2$, где $R = 6370 \text{ км}$ — средний радиус Земли.

$$\text{Вес атмосферы } P \approx 4\pi R^2 \cdot 1 \frac{\text{кг}}{\text{см}^2} \approx 5 \cdot 10^{15} \text{ Т.}$$

265. В случае, когда человек станет на матрас, его вес распределится на меньшую площадь (площадь ступней), чем в случае, когда он лежит. Поэтому состояние равновесия наступит в первом случае при большем давлении воздуха в матрасе, чем во втором.

266. Рассмотрим первоначально накачанную воздухом камеру (рис. 384, a, изображающей камеру в разрезе). Для равновесия участков камеры AB и CD необходимо, чтобы напряжение растянутых стенок камеры T уравновешивало избыточное давление внутри камеры P .

Теперь рассмотрим сильы, действующие на участки камеры AB и CD в том случае, когда камера падет на нагруженное колесо (рис. 384, б). В верхней части камеры распределение силь, действующих на участок AB , существенным образом не меняется. Внизу положение будет теперь иным. На участок CD будет действовать

и поэтому избыточное давление воздуха в камере уравновешивает как силу натяжения, так и вес колеса и части автомобиля.

Итак, обод не падает вниз, так как он поддерживается избыточное давление уравновешивающееся натяжением стенок камеры и никакой же частиги оно уравновешивает как уменьшающееся натяжение стеклом, так и силу, приложенную к колесу.

267. Сила на единицу длины, с которой растянута стена цилиндрической части котла в направлении, перпендикулярном оси котла O_1O_2 , равна

$$f_1 = \frac{2Rl}{2l} p = pR,$$

где $2Rl$ — площадь сечения котла $ABC'D$, а p — давление внутри котла (рис. 385); $2Rl\rho$ — сила, действующая на половину цилиндра (см. задачу 122).

Максимальное значение силы, приходящейся на единицу длины сферических линий, можно найти по формуле

$$f_2 = \frac{\pi R^2}{2\pi R} \rho = \frac{\rho R}{2} = \frac{f_1}{2}.$$

Следовательно, сферические линии могут выдерживать вдвое большее давление, чем цилиндрическая часть котла, при одинаковой толщине стенок. Чтобы прочность котла была одинаковой во всех частях, толщина линий может быть в два раза меньше толщины цилиндрических стенок, т. е. 0,25 см на единицу длины сечения котла, была наименьшей. Эта сила

уравнит силу со стороны обода, равной нагрузке, приложенной к колесу (вес колеса и четверть веса автомобиля).

Под влиянием этой дополнительной силы камера сплющивается, и угол между силами натяжения резины T увеличивается. Суммарная сила натяжения, действующая на участок CD , уменьшается,

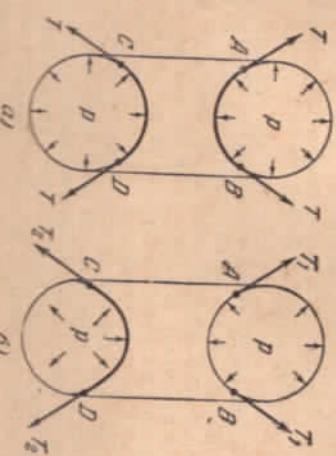


Рис. 384.

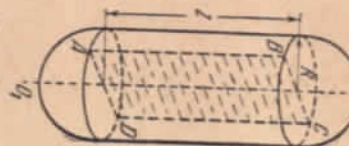


Рис. 385.

$f = \frac{\rho S}{l}$, где S — площадь сечения котла, l — периметр сечения, ρ — давление пара.

Сила f будет минимальной, если отношение площади сечения к периметру сечения минимально.

Как известно, это отношение имеет минимальное значение для круга. Известно также, что сечение сферы любой плоскостью дает круг. Поэтому наивыгоднейшая форма котла в смысле прочности — это сфера.

269. «Потолок» стратостата определяется не максимальной высотой, на которую может подняться стратостат, а той высотой, при спуске с которой обеспечивается «безопасная» скорость приземления. Как известно, оболочку стратостата заполняют легким газом (водородом или гелием) только частично, так как по мере подъема стратостата заполнение его оболочки газом расширяется, вытесняя из оболочки воздух. Это позволяет поддерживать постоянную силу примерно постоянной. На некоторой высоте газ заполняет весь объем оболочки. Однако и после этого подъемная сила стратостата продолжает возрастать за счет вытекающей из нижнего отверстия оболочки газа. При этом вес стратостата уменьшается. Только после утечки некоторого количества газа из оболочки стратостат достигнет «потолока».

Для спуска стратостата необходимо дополнительную выпустить некоторое количество газа через верхний клапан оболочки. Для плавного спуска подъемная сила должна быть лишь немного меньше веса стратостата. На малой высоте скорость снижения оказывается слишком большой, так как объем газа уменьшается, а количество его будет меньшим, чем при подъеме. Сбросыванием балласта достигают уменьшения скорости снижения.

§ 11. Гидро- и аэродинамика

270. Обозначим через h расстояние от уровня воды до верхнего отверстия, через x — искомое расстояние от сосуда до точки

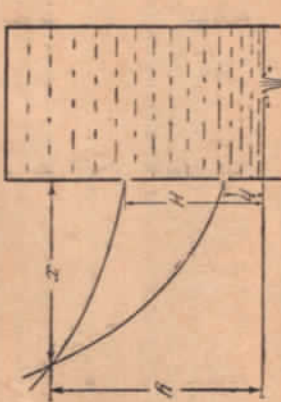


Рис. 386.

пересечения струй по горизонтали и через y — расстояние от уровня воды в сосуде до той же точки (рис. 386).

262

Точка пересечения струй будет оставаться на одном месте, если уронить волны в сосуде не изменяется. Для этого необходимо, чтобы $Q = St_1 + St_2$, где $v_1 = \sqrt{2gh}$ и $v_2 = \sqrt{2g(H+h)}$ — скорости истечения струй из отверстий.

На основании законов кинематики

$$x = v_1 t_1 = v_2 t_2 \quad \text{и} \quad y = h + \frac{gt_1^2}{2} = h + H + \frac{gt_2^2}{2},$$

где t_1 и t_2 — времена «падения» воды от отверстий до точки пересечения струй.

Отсюда

$$x = \frac{1}{2} \left(\frac{Q^2}{2gS^2} - H^2 \frac{2gS^2}{Q^2} \right) = 120 \text{ см},$$

$$y = \frac{1}{2} \left(\frac{Q^2}{2gS^2} + H^2 \frac{2gS^2}{Q^2} \right) = 130 \text{ см}.$$

271. Скорость истечения воды из отверстия $v = \sqrt{2gh}$. Импульс $\rho \Delta t = \Delta m$, где $\Delta t = \rho S v \Delta t$ — масса воды, вытекающей за время Δt . Следовательно, $F = \rho S v^2 = 2\rho g h S$. Давление у дна $p = \rho g h$, и поэтому $F = 2\rho S$. Такая же сила действует со стороны струи на сосуд. Таким образом, вода действует на стенку с отверстием с силой $2\rho S$ меньшей, чем на противоположную, а ее на ρS , как могло бы показаться на первый взгляд. Это связано с уменьшением давления на стенку с отверстием вследствие большей скорости течения воды у этой стени.

Сосуд придет в движение, если $kQ < 2\rho S$ или

$$k < \frac{2\rho g h S}{Q}.$$

272. По второму закону Ньютона обязательно должно иметь место равенство $\rho S_0 v = 2\rho S$. Следовательно, при истечении жидкости через трубку площадь поперечного сечения струи должна уменьшиться в два раза:

$$S = \frac{S_0}{2}.$$

Это сжатие струи объясняется следующим образом.

Крайние струйки жидкости, подходящие к трубке сперху, не могут вследствие инерции обогнуть край трубки, вилотную прилегая к стенкам, и стремятся к центру струи. Под давлением частиц, идущих ближе к центру струи, линии тока выпрямляются, и суживающаяся струя жидкости течет вдоль трубы.

273. Препятствия разбрасывают волны, мы тем самым считаем, что струи о стенку абсолютно неупруги. По второму закону Ньютона изменение количества движения воды за время Δt равно $\Delta m v = F \Delta t$, где $\Delta m = \rho \frac{\pi d^2}{4} v \Delta t$ — масса воды, протекшая за время Δt через поперечное сечение трубы.

$$F = \frac{\rho \pi d^2}{4} v^2 \approx 8 I_s.$$

263

ния не меняется по величине, но меняется по направлению.

За единицу времени через потерченое сечение J вертикального колена трубы проходит масса $\rho S v_1$, которая привносит с собой количество движения $p_1 = \rho S v_1$, где v_1 — вектор скорости течения газа

в вертикальном колене, численно равный заданной скорости v .

За то же время через сечение J уносится количество движения $p_2 = \rho S v_2$, где v_2 — вектор скорости в горизонтальном колене, также численно равный v .

Изменение количества движения равно импульсу силы F , действующей со стороны трубы на газ: $F = \rho S v^2 \sqrt{2}$.

По третьему закону Ньютона с той же силой газ действует на трубу. Эта сила направлена в сторону, противоположную изгибу трубы.

275. Начальная скорость воды относительно лопасти $v = \sqrt{2gh} - \omega R$. Поэтому за единицу времени о лопасть ударяет масса воды $m = \rho S (\sqrt{2gh} - \omega R)$. Скорость воды относительно лопасти после удара равна 0, поэтому изменение количества движения пода за единицу времени равно mv . По второму закону Ньютона искомая сила

$$F = \rho S (\sqrt{2gh} - \omega R)^2,$$

276. В первый момент судно начнет двигаться вправо, так как давление на правый борт уменьшается на величину $2\rho S$, где ρ — давление на глубине пробоя h , а S — ее площадь (см. задачу 271). После того, как струя пода достигнет противоположной стени, на эту стенку начнет действовать сила $F = \rho S v^2$, где v — скорость струи относительно судна (см. задачу 273). F несколько больше $2\rho S$, так как $v > \sqrt{2gh}$ из-за того, что судно движется навстречу струе. В результате движение начнет замедляться.

277. Скорость течения жидкости в трубке постоянна по всему сечению в силу малой скимаемости жидкости и неразрывности струи. Эта скорость равна $v = \sqrt{2gh}$. Скорость жидкости в сосуде очень мала и практически равна нулю, так как площадь сосуда во много раз больше площади сечения трубы.

Следовательно, на границе сосуда — трубка должен быть скакок давления, который мы обозначим через $p_1 - p_2$. Работа си давления включает изменение скорости от пули до $\sqrt{2gh}$.

На основании закона сохранения энергии

$$\frac{\Delta m v^2}{2} = (p_1 - p_2) S \Delta h,$$

где S — площадь сечения трубы, Δh — высота малого элемента жидкости и $\Delta m = \rho S \Delta h$ — масса этого элемента.

Следовательно,

$$\frac{\rho v^2}{2} = p_1 - p_2 = \rho g \Delta h.$$

На-за постоянства скорости течения давление в трубке меняется по закону

$$p = p_0 - \rho g (h - x),$$

где p_0 — атмосферное давление, а x — расстояние, отсчитываемое от верхнего конца трубы.

Изменение давления по высоте изображено на рис. 388. По оси ординат отложено давление, по оси абсцисс — расстояние от поверхности жидкости до сосуда.

278. Вытекающая из трубы пода за малый промежуток времени Δt увеличение количества движения $\Delta p = \rho S v^2 \Delta t$, где $v = \sqrt{2gh}$ — скорость вытекающей струи (см. задачу 277). По второму закону Ньютона $F \Delta t = 2\rho g H \Delta t$. Иная же сторона будет действовать со стороны вытекающей струи на сосуд с водой. Следовательно, в начальный момент показания весов уменьшатся на $2\rho g H S$.

279. В первый момент, пока струя еще не достигла чашки, равновесие нарушится. Чашка струя качнется вверх, так как вытекшая из сосуда вода перестает оказывать давление на лицо сосуда.

Однако после того, как струя достигнет чашки, равновесие восстанавливается. Рассмотрим элемент струи массы Δm . Падая на чашку, он сообщает ей в вертикальном направлении импульс $\Delta m \sqrt{2gh}$, где h — высота края над чашкой. С другой стороны, этот элемент, покинув сосуд, перестает оказывать давление на его лицо и на чашку в течение времени падения $t = \sqrt{\frac{2h}{g}}$. Это эквивалентно понижению импульса силы, действующей на сосуд вертикально вверх во время падения элемента жидкости. Среднее же время падения значение этого импульса равно

$$\Delta m g \sqrt{\frac{2h}{g}} = \Delta m V \sqrt{2gh}.$$

Таким образом, с каждым элементом жидкости Δm связано в среднем за время падения понижение давления двух равных и противоположно направленных импульсов силы. Так как струя течет непрерывно, весы будут находиться в равновесии.

В момент, когда струя прекращается, чашка качнется вниз, так как последние элементы жидкости, падая на чашку, действуют

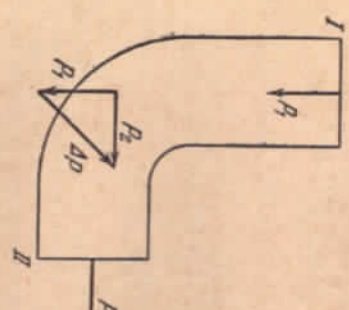


Рис. 387.

275. Начальная скорость воды относительно лопасти $v = \sqrt{2gh} - \omega R$. Поэтому за единицу времени о лопасть ударяет масса воды $m = \rho S (\sqrt{2gh} - \omega R)$. Скорость воды относительно лопасти после удара равна 0, поэтому изменение количества движения пода за единицу времени равно mv . По второму закону Ньютона искомая сила

$$F = \rho S (\sqrt{2gh} - \omega R)^2,$$

276. В первый момент судно начнет двигаться вправо, так как давление на правый борт уменьшается на величину $2\rho S$, где ρ — давление на глубине пробоя h , а S — ее площадь (см. задачу 271).

После того, как струя пода достигнет противоположной стени, на эту стенку начнет действовать сила $F = \rho S v^2$, где v — скорость струи относительно судна (см. задачу 273). F несколько больше $2\rho S$, так как $v > \sqrt{2gh}$ из-за того, что судно движется навстречу струе. В результате движение начнет замедляться.

277. Скорость течения жидкости в трубке постоянна по всему сечению в силу малой скимаемости жидкости и неразрывности струи. Эта скорость равна $v = \sqrt{2gh}$. Скорость жидкости в сосуде очень мала и практически равна нулю, так как площадь сосуда во много раз больше площади сечения трубы.

Следовательно, на границе сосуда — трубка должен быть скакок давления, который мы обозначим через $p_1 - p_2$. Работа си давления включает изменение скорости от пули до $\sqrt{2gh}$.

На основании закона сохранения энергии

$$\frac{\Delta m v^2}{2} = (p_1 - p_2) S \Delta h,$$

где S — площадь сечения трубы, Δh — высота малого элемента жидкости и $\Delta m = \rho S \Delta h$ — масса этого элемента.

Следовательно,

$$\frac{\rho v^2}{2} = p_1 - p_2 = \rho g \Delta h.$$



Рис. 388.

на нее с силой, превышающей их вес, а уменьшение давления на дно сосуда прекратится.

280. На основании закона сохранения энергии можно написать:

$$\frac{Mv^2}{2} = mg h,$$

где M — масса воды в трубе, останавливающейся при закрытии клапана K_2 , m — масса воды, поднявшейся при этом на высоту h .

Отсюда

$$\frac{\rho \pi d^2}{4} \cdot \frac{v^2}{2} = \rho V_0 g h,$$

где V_0 — объем массы m .

За 2 сек в среднем поднимается объем

$$V_0 = \frac{l \pi d^2 v^2}{8gh} = 1,7 \cdot 10^{-3} \text{ м}^3.$$

За час работы тарана поднимется

$$V = 1,7 \cdot 10^{-3} \cdot 30 \cdot 60 \approx 3 \text{ м}^3.$$

281. Давление в обтекающей крышу воздушном потоке меньше, чем в покоящемся воздухе. Это пассивное давление неподвижного воздуха под крышей и вызывает описание явления.

282. За счет большой скорости течения газа в струе давление внутри струи меньше атмосферного. Силу шарика будет поддерживать давлением, а с боковой статическим атмосферным давлением.

283. При течении воздуха между дисками скорость его убывает по мере приближения к краям дисков. У краев она минимальна. Давление в струе газа тем меньше, чем больше его скорость. Поэтому давление между дисками меньше атмосферного. Атмосферное давление прижимает нижнюю пластинку к верхней, и течение газа прекращается. После этого статическое давление газа снова оттоливает пластинку, и процесс повторяется.

284. В потоке текущей жидкости давление уменьшается с увеличением скорости течения. Скорость течения в сосуде значительно меньше скорости течения в трубе, и, следовательно, давление воды в сосуде больше, чем в трубе. На горшке сосуд — труба — скорость течения увеличивается, а давление уменьшается; вследствие этого шарик, помещенный на сетку, оказывается притянутым к ней и не всплывает.

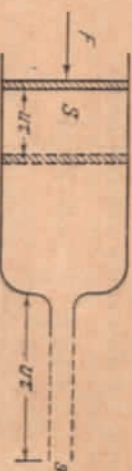


Рис. 389.

285. За промежуток времени τ поршень переместится на расстояние vt (рис. 389). При этом сила F совершила работу $A = Fvt$. Масса жидкости, вытекающей за время τ , равна ρSvt . Скорость

излечения жидкости v определяется из соотношения $Su = sv$. Известно кинетической энергией жидкости за время τ равно

$$\rho Su \left(\frac{v^2}{2} - \frac{u^2}{2} \right).$$

Это изменение энергии должно равняться работе силы F :

$$Fvt = \rho Su \left(\frac{v^2}{2} - \frac{u^2}{2} \right),$$

Искомая отсюда v , находим:

$$v^2 = \frac{2P}{S\rho} \cdot \frac{1}{1 - \frac{u^2}{S^2}},$$

$$\text{Если } s \ll S, \text{ то } v = \sqrt{\frac{2P}{S\rho}}.$$

286. При решении задачи 285 мы считали, что скорость любого элемента жидкости, находящегося в насосе, постоянна. Изменение скорости от u до v происходит при выходе жидкости из насоса. Однако это имеет место не сразу, после того, как сила начнет действовать на поршень. Необходимо некоторое время, за которое проходит установившуюся скорость. При $s \rightarrow S$ это время стремится к бесконечности, и поэтому скорость, приобретаемая жидкостью под действием постоянной силы, оказывается бесконечно большой.

287. Введем систему координат, изображенную на рис. 390. Скорость истечения жидкости по формуле Торричелли $V = \sqrt{2gy}$, где y — толщина слоя воды в верхнем сосуде. Исследование нескимиаемости воды $sv = Sv$; где v — скорость опускания верхнего уровня воды, s — его площадь, а S — площадь отверстия.

Если принять, что сосуд имеет осевую симметрию, то $S = \pi x^2$, где x — горизонтальный координата стенки сосуда.

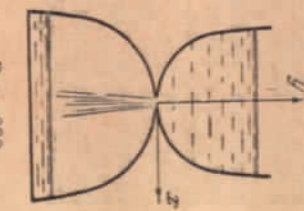


Рис. 390.

Так как по условию уровень воды должен опускаться с постоянной скоростью. Отсюда форма сосуда определяется уравнением

$$y = kx^4,$$

$$k = \frac{\pi^2 v^2}{2gS^2},$$

288. В горизонтальном сечении давление в зависимости от расстояния до оси r изменяется по закону

$$p = p_0 + \frac{\rho \omega^2}{2} r^2,$$

где p_0 — давление на оси сосуда, а ρ — плотность жидкости.

Деформация сжатия жидкости будет наибольшей у стенок сосуда, в то время как деформации растяжения вращающегося стакана (задача 283) максимальны у оси.

289. На расстоянии r от оси вращения наблюдается давление $p = \frac{\rho \omega^2}{2} r^2$ (см. решение задачи 288). С другой стороны, это давление определяется превышением уровня жидкости в данном участке по сравнению с уровнем на оси: $p = \rho g h$ (рис. 391).

Рис. 391.

$$h = \frac{\omega^2}{2g} r^2.$$

Это уравнение параболы. Соответственно поверхность жидкости во вращающемся сосуде принимает форму параболоид вращения.

290. Размешивание придает частичкам волны в стакане некоторую угловую скорость ω . Распределение давления в жидкости будет примерно таким, какое получено в решении задачи 288. Избыточное давление внутри жидкости уравновешивает давление, вызванное превышением уровня жидкости у края стакана (см. задачу 289).

После того, как размешивание прекращено, вследствие трения о дно скорость вращения жидкости у дна начнет уменьшаться, причем тем значительнее, чем дальше элемент жидкости находится от оси.

Теперь уже избыточное давление, вызванное вращением, не уравновесит вес столба жидкости у краев сосуда. Вследствие этого возникнет циркуляция жидкости, изображенная схематически на рис. 392. Поэтому капилляры в центре дна стакана.

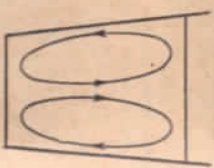


Рис. 392.

ГЛАВА II

ТЕПЛОДА. МОЛЕКУЛЯРНАЯ ФИЗИКА

§ 12. Тепловое расширение твердых и жидких тел

291. $\Delta t \approx 420^\circ \text{C}$.

292. Большая прочность железобетонных конструкций возможна только благодаря тому, что коэффициент расширения бетона очень близок к коэффициенту расширения железа.

яд. Количество тепла, переданного в единицу времени от одного тела к другому, пропорционально разности температур этих тел. При большой разности температуры термометр и окружающих его предметов изменение объема ртутиной втулки термометра близко к температуре тела.

294. При окажании шкалы от t_1 до $t_0 = 0^\circ \text{C}$ цена каждого деления уменьшается. Поэтому высота столба ртути, отсчитанная по шкале, имеющей температуру $t_0 = 0^\circ \text{C}$, будет иметь иное значение, равное $H = H_1(1 + \alpha'_t)$. Высоты столбов ртути при различных температурах и одинаковых давлениях обратно пропорциональны плотностям:

$$\frac{H_0}{H_1} = \frac{\rho}{\rho_0} = \frac{1}{1 + \alpha'_t}.$$

Отсюда

$$H_0 = \frac{H_1(1 + \alpha'_t)}{1 + \beta t_1} \approx H_1(1 + \alpha'_t - \beta t_1).$$

295. Можно предварительно охладить термометр в холодильнике и встрихнуть.

Если холодаильника нет, то нужно подержать термометр под мышкой некоторое время, пальцем его и сразу же встрихнуть. Термометр покажет температуру тела.

296. Разность длии линеек при температуре t_1 , равной

$$l'_0(1 + \alpha_1 t_1) - l''_0(1 + \alpha_2 t_1) = l.$$

$$l'_0(1 + \alpha_1 t_2) - l''_0(1 + \alpha_2 t_2) = \pm l.$$

При температуре t_2 эта разность

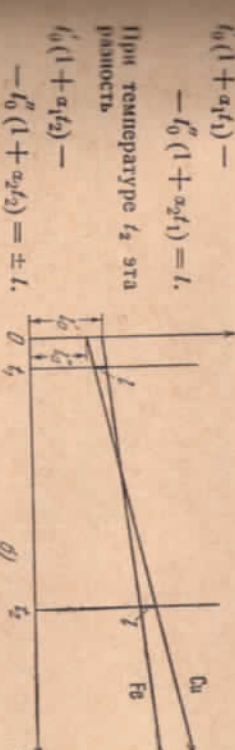


Рис. 393.

Линия линеек соответствует случаю, когда разность длиек остается неизменной (см. рис. 393, a). Знаку минус соответствует зависимость длии линеек от температуры, изображенной на рис. 393, б.

В первом случае система уравнений приводит к следующим результатам:

$$l'_{0(1)} = \frac{\alpha_2}{\alpha_2 - \alpha_1} l = 6,8 \text{ см}; \quad l''_{0(1)} = \frac{\alpha_1}{\alpha_2 - \alpha_1} l = 4,8 \text{ см}.$$

Во втором случае

$$l'_{0(2)} = \frac{2 + \alpha_1(t_1 + t_2)}{(t_2 - t_1)(\alpha_2 - \alpha_1)} l = 208,5 \text{ см}; \quad l''_{0(2)} = \frac{2 + \alpha_1(t_1 + t_2)}{(t_2 - t_1)(\alpha_2 - \alpha_1)} l = 206 \text{ см}.$$

При $t = 0^\circ\text{C}$ длина железной линейки должна быть больше медной.

297. Возможная схема попыска изображена на рис. 394, 1 и 2 — стержни с малым коэффициентом линейного расширения α_1 (например, сталь), а 3 — стержни с большим коэффициентом расширения α_2 (например, пинкое или латунь). Длина стержней можно подобрать так, что длина маятника не будет изменяться с температурой. Для этого необходимо, чтобы $\alpha_1(t_1 + t_2) = \alpha_2 l_3$.

298. При нагревании баллона объем его полости увеличивается по тому же закону, что и объем стекла: $v = v_0(1 + \beta t)$, где β — коэффициент объемного расширения стекла. Если через ρ_0 и ρ_1 обозначить плотности ртути при температурах t_0 и t_1 , то можно записать: $\rho_0 = v_0 \rho_0$ и $\rho_1 = v_1 \rho_1$, причем

$$\rho_1 = \frac{\rho_0}{1 + \beta_1 t_1}.$$

Данная система уравнений даст для β следующее выражение:

$$\beta = \frac{m_1(1 + \beta_1 t_1) - m_0}{m_0 t_1} \approx 3 \cdot 10^{-5} \frac{1}{\text{град}}.$$

Линейный коэффициент расширения $\alpha = \frac{\beta}{3} \approx \frac{1}{3 \cdot 10^{-5} \text{ град}}$.



Рис. 394.

299. Пусть маятник часов, идущих точно, совершил N колебаний в сутки. Тогда при температуре t_1 маятник часов станет делать N колебаний за $n - 5$ сек (где $n = 86400$ — число секунд в сутках), а при температуре t_2 за $n + 10$ сек. Периоды колебаний будут соответственно равны:

$$T_1 = \frac{n - 5}{N} \text{ и } T_2 = \frac{n + 10}{N}.$$

Отсюда отношение периодов $\frac{T_1}{T_2} = \frac{n - 5}{n + 10} \approx 1 - \frac{15}{n}$.

С другой стороны, учитывая, что период колебаний маятника

$$T = 2\pi \sqrt{\frac{l}{g}}, \text{ получаем}$$

$$\frac{T_1}{T_2} = \sqrt{\frac{1 + \alpha t_1}{1 + \alpha t_2}} \approx \sqrt{1 + \alpha(t_1 - t_2)} \approx 1 + \frac{\alpha}{2}(t_1 - t_2).$$

Приведенная выражения для отношения периодов, найдем:

$$\alpha \approx \frac{30}{(t_2 - t_1)n} \approx 2,3 \cdot 10^{-5} \frac{1}{\text{град}}.$$

§ 13. Закон сохранения энергии. Теплопроводность

300. По закону сохранения энергии выделившееся тепло равно общему кинетической энергии:

$$Q = \frac{Mv_0^2}{2} - \frac{(M+m)v^2}{2},$$

где v — скорость тележки, после того как на нее опустят кирпич. Эта скорость находится из закона сохранения количества движения: $v = \frac{Mv_0}{M+m}$.

В механических единицах $Q = \frac{Mmv_0^2}{2(M+m)}$. В тепловых единицах $Q = J/2(M+m)$, где J — термический эквивалент работы.

301. На основании закона сохранения энергии

$$mgl = \frac{mv^2}{2} + \frac{k(l - l_0)^2}{2} + Q,$$

где l — длина шнуря в момент, когда шайба покидает его. С другой стороны, можно записать:

$$mgl = \frac{mv^2}{2} + A_1 + A_2,$$

где $A_1 = f/l_0$ — работа силы трения, действующей на шайбу (шайба относительно шнуря проходит путь l_0), а $A_2 = f(l - l_0)$ — работа силы трения, действующей на шнур. Следовательно,

$$Q = A_1 + A_2 - \frac{k(l - l_0)^2}{2}.$$

Используя закон Гука

$$f = k(l - l_0),$$

$$Q = fl_0 + \frac{f^2}{2k}.$$

Работа A_1 целиком идет на выделение тепла. Работа же $A_2 = \frac{f^2}{k}$ превращается в тепло только наполовину. За счет другой половины возникает потенциальная энергия $\frac{k(l - l_0)^2}{2}$.

302. Электрический ток совершает работу $A = wr$. За счет этой работы от холодильного шкафа будет отдано количество тепла $Q_2 = q\lambda + qct$, где c — теплоемкость воды, а λ — теплота плавления льда. Количество тепла, выделяемое в комнате, по закону сохранения энергии будет равно

$$Q_1 = A + Q_2 = wr + qct + q\lambda,$$

так как энергия тока в конечном счете превращается в тепло.

303. Температура в комнате повысится. Количество выделяемого в единицу времени тепла будет равно мощности, потребляемой холодильником, так как в конечном счете энергия электрического тока переходит в тепло, а тепло, отбираемое у холодильного шкафа, опять возвращается в комнату.

304. Более выгодно использовать холодильник, забирающий тепло от наружного воздуха и выделяющий его в комнате.

В этом случае тепло, выделяемое в комнате в единицу времени, равно $w + Q_3$, где w — мощность, потребляемая холодильником, а Q_3 — тепло, отнятое от наружного воздуха в единицу времени (см. задачу 302).

Только дорогоизна и сложность оборудования препятствуют в настоящее время использованию подобного рода тепловых насосов для отопления.

305. При растворении кристаллической решетки соли разрушается. Этот процесс требует затраты некоторого количества энергии, которое заимствуется из растворителя.

Во втором случае часть межмолекулярных связей кристаллической решетки уже разрушена при измельчении кристалла. Поэтому растворения во втором сосуде требуется меньшая энергия, и вода после нагревания во втором сосуде будет обладать более высокой температурой.

Эффект будет, правила, крайне неизлечимым.

306. Количество тепла, отданное охлаждавшейся водой, равно $m_2 c (t_2 - 0)$, где 0 — конечная температура.

Холодная вода получает тепло $m_1 c (0 - t_1)$.

Тепло, полученное калориметром, равно $q (0 - t_1)$.

На основании закона сохранения энергии

$$m_1 c (0 - t_1) + q (0 - t_1) = m_2 c (t_2 - 0).$$

Отсюда

$$0 = \frac{(m_1 t_1 + m_2 t_2) c + qt_1}{(m_1 + m_2) c + q} \approx 4^\circ \text{C},$$

307. Мощность, затрачиваемая на нагревание воды в калориметре,

$$N_j = \frac{DVcdJ}{\tau},$$

¹¹⁶ D — плотность воды, c — удельная теплоемкость воды, $f = 4,18 \text{ дж/кал}$ — механический эквивалент тепла. Искомое,

$$Q = \frac{N - N_1}{N} = 1 - \frac{DVcdJ}{N\tau} \approx 5\%.$$

$$308. Q = \frac{k}{d} (T_1 - T_0) St \approx 9331 \text{ ккал.}$$

309. Количество тепла Q , проходящего через первую пластину в одну секунду, равно $Q = k_1 \frac{T_2 - T_1}{d_1} S$, где S — площадь пластины. Поскольку процесс является стационарным, также же количество тепла проходит через вторую пластину: $Q = k_2 \frac{T_0 - T_2}{d_2} S$. (см. задачу 309), при $d_1 = d_2 = d$ найдем:

$$Q = \frac{2k_1 k_2}{k_1 + k_2} \frac{T_0 - T_1}{2d} S.$$

Следовательно, коэффициент теплопроводности стекла

$$k = \frac{2k_1 k_2}{k_1 + k_2}.$$

311. Количество тепла, проходящего в одну секунду через конусчатые сечения брусков с коэффициентами теплопроводности k_1 и k_2 , равно, соответственно,

$$Q_1 = \frac{k_1}{d} (T_1 - T_0) S \quad \text{и} \quad Q_2 = \frac{k_2}{d} (T_1 - T_0) S.$$

Количество тепла, проходящее через два бруска, помягко плюшь сечения которых $2S$, равно

$$Q = Q_1 + Q_2 = \frac{k_1 + k_2}{2} \frac{T_1 - T_0}{d} \cdot 2S.$$

Отсюда вытекает, что коэффициент теплопроводности стекла

$$k = \frac{k_1 + k_2}{2}.$$

312. Коэффициенты теплопроводности стенок A и B равны:

$$k_A = \frac{k_1 + k_2}{2}, \quad k_B = \frac{2k_1 k_2}{k_1 + k_2}$$

(см. решения задач 310 и 311). Из очевидного неравенства $(k_1 - k_2)^2 > 0$ вытекает, что

$$(k_1 + k_2)^2 > 4k_1 k_2.$$

Отсюда

$$\frac{k_1 + k_2}{2} > \frac{2k_1 k_2}{k_1 + k_2}, \quad \text{т. е. } k_A > k_B.$$

313. Количество тепла, поступающего от нагревателя через дио кастриоли в воду, равно

$$Q = \frac{k}{d} (T - T_1) S = m\lambda,$$

где T_1 — температура кипения воды, λ — удельная теплота парообразования.

Отсюда

$$T = T_1 + \frac{m\lambda d}{kS}.$$

§ 14. Свойства газов

314. Снимаемый с ручки колпачок действует, как насос. Под ним возникает разрежение пространство, высасывающее чернила из пипетки. Отверстие служит для поддержания постоянного давления под колпачком.

315. Считая, что температура остается постоянной, применяем к объему воздуха под ртутью закон Бойля — Мариотта:

$$(\rho_0 - p_1)(l - 748 \text{ м.м.}) = (\rho_0 - p_2)(l - 736 \text{ м.м.}).$$

Отсюда $l = 764 \text{ м.м.}$

316. В положении равновесия $f - P - F = 0$, где f — выталкивющая сила: $f = dh_1 S$, где d — удельный вес полы, h_1 — высота столба воздуха в пробирке после погружения. В данном случае выталкивющая сила создается разностью давлений на запаянной конец трубы снизу и сверху: $f = p_1 S - (p_0 + dh) S$, где p_1 — давление воздуха в трубке после погружения. По закону Бойля — Мариотта $\rho_0 d S = p_1 h_1 S$. Из данной системы уравнений имеем:

$$F = \frac{S}{2} [V(p_0 + dh)^2 + 4\rho_0 dl] - (p_0 + dh) = P = 8.65 \text{ Г.}$$

317. Первоначально, за счет понижения уровня воды в сосуде, давление ρ воздуха будет уменьшаться приблизительно изотермически. Так будет происходить до тех пор, пока суммарное давление на уровне нижнего конца трубы не станет равным атмосферному давлению p_0 : $\rho + \rho g h = p_0$, где h — высота столба жидкости в сосуде над уровнем нижнего конца трубы. С этого момента в сосуд начнут проскальзывать пузырьки воздуха. Давление на уровне нижнего конца трубы будет оставаться равным атмосферному, а давление $\rho = p_0 - \rho g h$ — линейно расти с понижением уровня воды. При этом скорость вытекания жидкости из сосуда будет постоянной.

274

Зависимость ρ от Q изображена на рис. 395. Незначительные колебания давления при прокалывании отдельных пузырьков воздуха на рис. 395 не учтены.

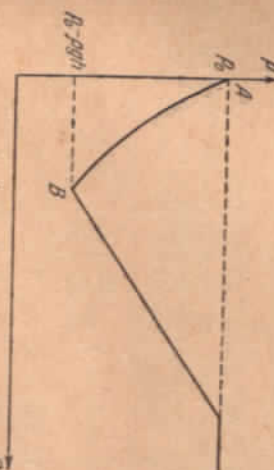


Рис. 395.

318. При откачке воздуха из сосуда после одного качания давление в сосуде становится равным $\rho_1 = \frac{\rho_0 V}{V + v_0}$. После второго качания $\rho_1 V = \rho_2 (V + v_0)$ и, следовательно, $\rho_2 = \rho_0 \left(\frac{V}{V + v_0} \right)^2$ и т. д.

После n качаний давление в сосуде будет равно

$$\rho' = \rho_0 \left(\frac{V}{V + v_0} \right)^n.$$

При нагнетании воздуха в сосуд после n качаний устанавливается давление

$$\rho = \rho' + \frac{\rho_0 n v_0}{V} = \rho_0 \left\{ \left(\frac{V}{V + v_0} \right)^n + \frac{n v_0}{V} \right\}.$$

$\rho > \rho_0$ при любом n по той причине, что во время нагнетания при каждом качании насос захватывает воздух, имеющий давление ρ_0 , и при откачке удаляются объемы воздуха v_0 при давлениях, меньших ρ_0 .

319. Применив закон Бойля — Мариотта к двум объемам газа в закрытой трубке, получим:

$$\begin{aligned} \rho \frac{L-l}{2} S &= p_1 \left(\frac{L-l}{2} - \Delta l \right) S, \\ \rho \frac{L-l}{2} S &= p_2 \left(\frac{L-l}{2} + \Delta l \right) S, \\ p_1 &= p_2 + dL. \end{aligned}$$

Здесь ρ — давление при горизонтальном положении трубки, p_1 и p_2 — давления в нижней и верхней частях трубки при вертикальном ее положении с закрытыми концами, d — удельный вес ртути, S — поперечное сечение трубки.

Отсюда первоначальное давление в трубке

$$p = d \frac{l}{2} \left(\frac{l_0}{\Delta l} - \frac{\Delta l}{l_0} \right).$$

Здесь для краткости введено обозначение $l_0 = \frac{L-l}{2}$.

Если открыть один из концов трубы при ее горизонтальном положении, то выделение газа в трубке станет равным атмосферному.

По закону Бойля — Маркотта $p l_0 S = d l_1 S$ (здесь H — атмосферное давление), откуда

$$l_1 = \frac{l_0}{2H} \left(\frac{l_0}{\Delta l} - \frac{\Delta l}{l_0} \right).$$

Столбик ртути переместится на расстояние

$$\Delta l_1 = l_0 - l_1 = \frac{l_0}{2H} \left[\frac{2H}{l} - \left(\frac{l_0}{\Delta l} - \frac{\Delta l}{l_0} \right) \right].$$

Для того чтобы ртуть не выливалась из трубы, необходимо условие

$$\frac{l_0}{\Delta l} < \sqrt{\left(\frac{H}{l} \right)^2 + 1} + \frac{H}{l}.$$

При открывании верхнего конца вертикально расположенной трубы

$$p l_0 S = d(H+l) l_2 S.$$

Отсюда

$$\Delta l_2 = l_0 - l_2 = \frac{l_0}{2(H+l)} \left[\frac{2H}{l} - \left(\frac{l_0}{\Delta l} - \frac{\Delta l}{l_0} \right) + 2 \right].$$

Ртуть не выливается из трубы, если

$$\frac{l_0}{\Delta l} < \sqrt{\left\{ \frac{2(H+l)}{l} \right\}^2 + 1} + \frac{2(H+l)}{l}.$$

При открывании нижнего конца

Отсюда

$$\Delta l_3 = l_0 - l_3 = \frac{l_0}{2(H-l)} \left[\frac{2H}{l} - \left(\frac{l_0}{\Delta l} - \frac{\Delta l}{l_0} \right) - 2 \right].$$

При этом, чтобы столбик ртути не был выдвинут из трубы, должно выполняться условие

$$\frac{l_0}{\Delta l} < \sqrt{\frac{4(H-l)^2}{l^2}} + 1 + \frac{2(H-l)}{l}.$$

320. Так как для одной грамм-молекулы любого газа при количестве одного моля, $C = \frac{pV}{T} = 0,082 \frac{\text{д.ам.} \cdot \text{град}}{\text{моль} \cdot \text{град}}$. Эта постоянная обычно обозначается R и называется универсальной

газовой постоянной. Значения R в различных системах единиц

$$R = 0,018 \frac{\text{кг} \cdot \text{м}}{\text{моль} \cdot \text{град}} = 8,3 \cdot 10^7 \frac{\text{моль} \cdot \text{град}}{\text{ккал} \cdot \text{град}} = 1,986 \frac{\text{ккал}}{\text{моль} \cdot \text{град}}.$$

321. При фиксированном давлении и температуре объем, занимаемый газом, пропорционален его массе. Одной грамм-молекуле массы m — объем V_m . Очевидно, что

$V_m = V \frac{\mu}{m}$, где μ — молекулярный вес, выраженный в граммах.

Поставим это выражение в уравнение состояния для одной грамм-молекулы, будем иметь:

$$pV = \frac{m}{\mu} RT.$$

322. При испытании притяжения между молекулами давление должно увеличиться. Для доказательства этого видим наслажденно внутри газа или жидкости два слоя I и II (рис. 396). Молекулы, проникающие в слой I в слой II вследствие теплового движения, сталкиваются с молекулами слоя II , и в результате на этот слой действуют силы давления p_I , зависящие от температуры. Силы притяжения, действующие на слой II со стороны молекул слоя I в противоположном направлении, результатирующее давление слоя I на слой II $p = p_I - p_t$, где p_I — давление, обусловленное внутренними силами притяжения. Испытание сил притяжения p_I увеличивает давление, пока превратилась бы в идеальный газ. Давление между молекулами можно найти по уравнению состояния идеального газа:

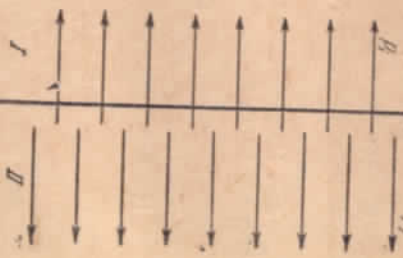


Рис. 396.

323. При испытании сил взаимодействия между молекулами превратилась бы в идеальный газ. Давление можно найти по уравнению состояния идеального газа:

$$p = \frac{m}{\mu} RT \approx 1370 \text{ атм.}$$

324. Возделем цилиндрическим объем газа, прилегающий к стенке цилиндра со стороны газа. На основании третьего закона Ньютона давление внутри сосуда.

Любому быть обязательно равно давлению на другое основание цилиндра, падаюю поверхность цилиндра, падающую на стенку цилиндра. Так как объем находятся в равновесии, то давление на газ со стороны стеки

равно давлению на другое основание цилиндра. На основании третьего закона Ньютона давление внутри сосуда.

325. Давление в газе зависит от сил взаимодействия между молекулами (см. задачу 322). Силы же взаимодействия молекул газа друг с другом и молекул газа и стеки различны. Поэтому давлений внутри газа и у стеки сосуда (см. задачу 324) может осуществиться потому только за счет разницы в концентрациях.

326. Вследствие постоянства объема

$$\frac{p_2}{p_1} = \frac{T_2}{T_1}, \quad \text{или} \quad \frac{p_2 - p_1}{p_1} = \frac{T_2 - T_1}{T_1} = 0,004.$$

Отсюда

$$T_1 = \frac{T_2 - T_1}{0,004} = 250^\circ \text{K}.$$

327. На основании закона Архимеда $mg + P = dV$, где d — удельный вес волны, а V — объем шара, уравнение состояния дает:

$$(p_0 + dh)V = \frac{n}{\mu} RT.$$

Исключая из этого уравнения V , находим:

$$m = \frac{P_0(p_0 + dh)}{dRT - \mu g(p_0 + dh)} \approx 0,666 \text{ з.}$$

Равновесие будет неустойчивым, служить термометром не может, так как при любой температуре давления справа и слева на капельку будут уравновешены.

Если же трубка вертикальна, то давление газа в нижнем патрубке будет больше давления в верхнем шарике на постоянную величину. При изменении объема давление с ростом температурырастет тем быстрее, чем больше начальное давление. Для поддержания постоянства разностей давлений в шариках капелька начнет перемещаться вверх. Устройство может служить термометром.

329. Так как массы газа в обеих полонинах цилиндра одинаковы и поршень находится в равновесии, то

$$\frac{V_2}{V_1} = \frac{T_2}{T_1}.$$

Отсюда

$$T_2 = \frac{V_2}{V_1} T_1 = 330^\circ \text{K}.$$

Применяя закон Борля — Маркотта к объему газа, температура которого не меняется, имеем:

$$p = \frac{p_0 V_0}{V_1} = 1,05 \text{ atm.}$$

330. В разных объемах различных газов при одинаковых внешних условиях содержится одинаковое число молекул (закон Аточного). Поэтому $V_1 : V_2 : V_3 : V_4 = N_1 : N_2 : N_3 : N_4$, где V_i — объем соответствующего газа, N_i — число молекул этого газа.

278

Масса некоторого количества газа пропорциональна числу его молекул и молекулярному весу газа:

$$m_1 : m_2 : m_3 : m_4 = N_1 \mu_1 : N_2 \mu_2 : N_3 \mu_3 : N_4 \mu_4.$$

С другой стороны, обозначая через $n_i = \frac{V_i}{V}$, 100% относительный объем данного газа в процентах, имеем:

$$n_1 : n_2 : n_3 : n_4 = \frac{V_1}{V} : \frac{V_2}{V} : \frac{V_3}{V} : \frac{V_4}{V} = \frac{N_1}{N} : \frac{N_2}{N} : \frac{N_3}{N} : \frac{N_4}{N}.$$

Если характеризовать процентный состав воздуха величинами $n'_i = \frac{m_i}{m} \cdot 100\%$ (состав по весу), то на основании предыдущих соотношений

$$n'_1 : n'_2 : n'_3 : n'_4 = \frac{m_1}{m} : \frac{m_2}{m} : \frac{m_3}{m} : \frac{m_4}{m} =$$

$$= \frac{N_1 \mu_1}{N} : \frac{N_2 \mu_2}{N} : \frac{N_3 \mu_3}{N} : \frac{N_4 \mu_4}{N} = n_1 \mu_1 : n_2 \mu_2 : n_3 \mu_3 : n_4 \mu_4.$$

Отсюда

$$n'_i = \frac{n'_1 + n'_2 + n'_3 + n'_4}{n_1 \mu_1 + n_2 \mu_2 + n_3 \mu_3 + n_4 \mu_4} n_i \mu_i,$$

учитывая, что $n'_1 + n'_2 + n'_3 + n'_4 = 100\%$, получим:

$$n'_i = \frac{n_i \mu_i \cdot 100\%}{n_1 \mu_1 + n_2 \mu_2 + n_3 \mu_3 + n_4 \mu_4}.$$

Следовательно,

$$n'_1 = 75,52\%; \quad n'_2 = 23,15\%; \quad n'_3 = 1,28\%; \quad n'_4 = 0,05\%.$$

331. Для какого газа можно написать уравнение состояния?

$$p_1 V = \frac{n_1}{\mu_1} RT,$$

$$p_2 V = \frac{n_2}{\mu_2} RT,$$

$$p_3 V = \frac{n_3}{\mu_3} RT,$$

$$p_4 V = \frac{n_4}{\mu_4} RT,$$

Отсюда

$$(p_1 + p_2 + p_3 + p_4) V = \left(\frac{n_1}{\mu_1} + \frac{n_2}{\mu_2} + \frac{n_3}{\mu_3} + \frac{n_4}{\mu_4} \right) RT,$$

С другой стороны, для смеси газов $pV = \frac{m}{\mu} RT$, где $m = m_1 + m_2 + m_3 + m_4$, а μ — искомый молекулярный вес.

По закону Дальтона $p = p_1 + p_2 + p_3 + p_4$. Следовательно,

$$\mu = \frac{m_1 + m_2 + m_3 + m_4}{\mu_1 + \mu_2 + \mu_3 + \mu_4} = \frac{n'_1 + n'_2 + n'_3 + n'_4}{\mu_1 + \mu_2 + \mu_3 + \mu_4} = 28,966,$$

где $n'_i = \frac{m_i}{m} \cdot 100\%$ — процентный состав воздуха по весу.

Результат, полученный в предыдущей задаче, позволяет найти μ по изотоничному составу воздуха по объему:

$$\mu = \frac{\mu_1 n_1 + \mu_2 n_2 + \mu_3 n_3 + \mu_4 n_4}{n_1 + n_2 + n_3 + n_4} = 28,966.$$

332. На основании уравнения Клапейрона

$$\mu = \frac{mRT}{pV} = \frac{pRT}{p} = 72 \frac{\text{эрг}}{\text{моль}}.$$

Искомая формула C_5H_{12} (один из изомеров пентана).

333. При скжатии газа в теплоизолированной оболочке работа, совершаемая внешними силами, идет на увеличение внутренней энергии газа. При этом его температура растет. Давление в газе будет возрастать как за счет уменьшения объема, так и за счет

увеличения его температуры. При изотермическом скжатии давление растет только за счет уменьшения объема.

Следовательно, в первом случае давление увеличивается на большую величину, чем во втором.

334. Запись p от V изображена на рис. 398. Наибольшая работа, равная заштрихованной на рис. 398 площади, совершена при изотермическом процессе ($I-2$).

На участке $I-2$ температура не меняется. На участке $2-3$ температура уменьшается в два раза. В дальнейшем давление, поглощая тепло, изобара (рис. 399). Газ нагревается при постоянном давлении, теплорадиатор, теплоподача, теплоприемник падает, тепло выделяется.

$3-I$ — изотерма. Газ уменьшает объем при постоянной температуре. Давление растет. Газ не нагревается, хотя внешние силы совершают над ним работу. Следовательно, на этом участке газ отдает тепло.

в. Количества тепла, которое выделяется при горении горючего в час,

$$Q_1 = \frac{r \rho V_0^4}{RT},$$

где $r = 16 \frac{\text{моль}}{\text{моль}}$ — масса моля газа, $T = t + 273^\circ \text{K}$ — его температура. Количество тепла, полученное водой в час,

$$Q_2 = \frac{\pi D^2}{4} vpc (t_2 - t_1) 3600,$$

где $v = 1 \frac{\text{эрг}}{\text{моль}} \cdot \text{сек}^2$ — плотность воды,

$t = 1 \frac{\text{кал}}{\text{град} \cdot \text{с}}$ — удельная теплоемкость.

По условию задачи

$$\frac{Q_2}{Q_1} = v_t = 0,6.$$

Решая полученную систему уравнений, найдем:

$$t_2 = t_1 + \frac{r \rho V_0^4 \eta}{900 \pi D^2 vpc RT} \approx 93^\circ \text{C}.$$

337. В начальном состоянии $p_1 V = \frac{m}{\mu_1} RT_1$, где μ_1 — молекулярный вес озона. В конечном состоянии $p_2 V = \frac{m}{\mu_2} RT_2$, где μ_2 — молекулярный вес кислорода. Уравнение теплового баланса дает:

$$\frac{m}{\mu_1} q = \frac{c_V}{\mu_2} m (T_2 - T_1).$$

Решив данную систему уравнений, найдем:

$$\frac{p_2}{p_1} = \frac{q}{c_V T_1} + \frac{\mu_1}{\mu_2} = 10.$$

338. Ввиду линейной зависимости давления от объема можно записать: $p = aV + b$.

Постоянные a и b находятся из условия задачи:

$$a = \frac{p_1 - p_2}{V_1 - V_2} \approx -0,5 \frac{\text{амп}}{\text{дм}},$$

$$b = \frac{p_2 V_1 - p_1 V_2}{V_1 - V_2} \approx 20 \text{ атм}.$$

Поставляя выражение для p в уравнение состояния идеального газа $\rho V = \frac{m}{\mu} RT = \text{const}$, найдем:

$$aV^2 + bV = \text{const } T.$$

График зависимости T от V (см. рис. 400) представляет собой параболу. Кривая достигает максимума при $V_{\max} = -\frac{b}{2a} \approx 20$ л.

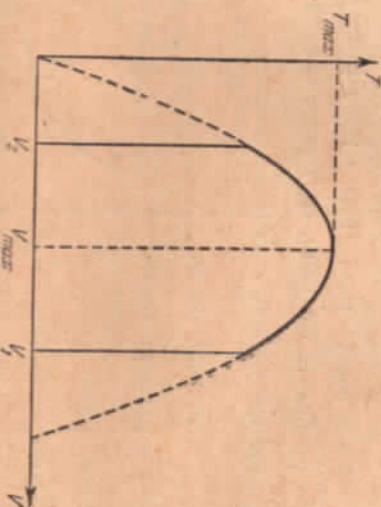


Рис. 400.

когда корни квадратного уравнения (1) совпадают. При этом

$$P_{\max} = aV_{\max} + b = \frac{b}{2} \approx 10 \text{ atm.}$$

Следовательно,

$$T_{\max} = \frac{P_{\max} V_{\max}}{mR} \approx 450^\circ \text{K.}$$

339. Энергия единицы объема газа $u_1 = CT\rho$, где ρ — плотность воздуха. Согласно уравнению состояния идеального газа $\frac{pV}{T} = mR$ (B — постоянная). Так как $\rho = \frac{m}{V}$, то отсюда $pT = \frac{\rho}{B}$. Следовательно, $u_1 = \frac{C}{B}\rho$ определяется только давлением. Энергия всего воздуха в комнате также определяется только давлением. Давление же в комнате равно атмосферному и не меняется при нагревании воздуха. Поэтому не меняется и энергия воздуха в комнате. Нагревать воздух частично вытекает через шели паружу, что обеспечивает постоянство энергии несмотря на нагревание. Только в геометрически закрытой комнате энергия возрастала бы с нагреванием.

340. На основании уравнения состояния исходная масса газа

$$\Delta m = \frac{\mu \rho V}{R} \frac{T_2 - T_1}{T_1 T_2} \approx 1,3 \text{ кг.}$$

341. Пусть первоначально пробирка находится у дна в состоянии устойчивого равновесия. По мере нагревания давление воздуха в ней n , соответственно, вытакивающая сила возрастает. При

некоторой температуре T_1 пробирка начинает испаряться. Так как давление жидкости убывает по мере удаления от дна, то объем воздуха в пробирке n , следовательно, испаряющая сила пропадает, возрастает. Пробирка быстро достигнет поверхности воды. При дальнейшем увеличении температуры пробирка будет плавать у поверхности. Если температуру уменьшить, то пробирка не начнет тонуть при температуре T_1 . Дело в том, что у нее имеется большой запас плавучести, вызванной увеличением испаряющей силы вытакивающей силы при испарении пробирки. Только при некоторой температуре $T_2 < T_1$ пробирка начнет тонуть. При этом испаряющая сила будет падать из-за того, что воздух в пробирке по мере погружения в воду будет занимать меньший объем. Пробирка достигнет дна очень быстро.

Зависимость положения пробирки h (по отношению к дну канула) от температуры T изображена на рис. 401.

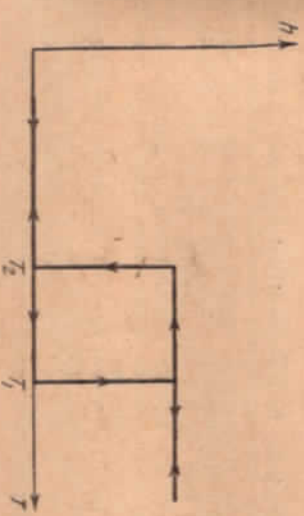


Рис. 401.

При $T < T_2$ пробирка обязательно будет находиться на дне, при $T > T_1 - T_2$ у поверхности. Если $T_2 < T < T_1$, то пробирка будет либо у дна, либо у поверхности в зависимости от того, каковы были предшествующие значения температуры.

342. Газ расширяется при некотором постоянном давлении ρ , которое создается поршнем. В этом случае работа $A = p(V_2 - V_1)$ где V_1 и V_2 — начальная и конечная объемы газа. Используя уравнение состояния, выражим произведение ρV через температуру T . Тогда

$$A = \frac{m}{\mu} R(T_2 - T_1) \approx 33,9 \text{ кДж.}$$

343. Сообщаемое газу тепло идет на нагревание газа и на совершение механической работы. Согласно закону сохранения энергии

$$Q = \frac{m}{\mu} C_V(T_2 - T_1) + \frac{m}{\mu} R(T_2 - T_1) = \\ = \frac{m}{\mu}(T_2 - T_1)(C_V + R) \approx 354,6 \text{ кал.}$$

§ 15. Свойства жидкостей

344. «Труда не сжечь» сказать воздуха в том смысле, что для этого нужно совершить большую работу.

Вода мало сжимаема, и при повышении давления внутри неё до трех атмосфер нужно небольшое уменьшение объема.

345. Максимальный термометр можно осуществить следующим образом. Над столбиком жидкости горизонтально расположенного

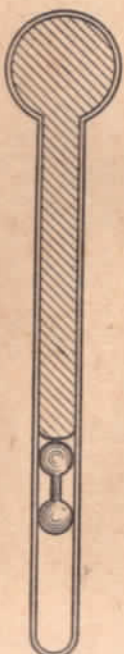


Рис. 402.

термометра (рис. 402) поместить небольшое не смачиваемое жидкостью тело, которое может свободно перемещаться вдоль термометра. Положение тела указывает максимальную температуру, так как при расширении жидкости тело будет перемещаться вдоль трубки, а при сжатии останется на месте.

Для этого смачиваемое жидкостью термометра тело нужно поместить внутрь жидкости.

346. При растяжении упругой резиновой пленки сила натяжения зависит от величины деформации пленки. Сила же поверхностного натяжения определяется только свойствами жидкости и не меняется с увеличением ее поверхности.

347. Поверхностное натяжение чистого белана меньше, чем поверхности натяжение белана, в котором растворен жир. Поэтому при смачивании беланом краев птицы оно стягивается к центру. При смачивании же самого птица оно будет расстегиваться по ткани.

348. В утолщении поверхности имеем слое почвы образуются капилляры типа изображенных на рис. 401. Они сужаются сверху, и вода в них поднимается вверх. С поверхностью почвы разрушает указанную структуру капилляров, и пластина лучше сохраняется в земле.

349. Внутри кожи имеется большое количество капилляров, внутри капилляра постоянного сечения капелька смачивающей жидкости будет находиться в равновесии. Нагревание жидкости уменьшает поверхностное напряжение. Поэтому жидкость пятится в сторону холодной части капилляра.

Мазь будет втягиваться внутрь кожи при нагревании ее снаружи. 350. Жир расправляется, и капиллярные силы перемещают его на поверхность холодной ткани, подложенной под kostюм (см. задачу 349).

351. Часть полена в тени холоднее. Поэтому капиллярные силы перемещают воду в этом направлении.

352. Гидростатическое давление должно уравновешиваться капиллярами давлением: $\rho gh = \frac{4\pi}{d^2}$. Отсюда $h = 30 \text{ см}$.

353. На участок пленки $abcd$ по вертикали действуют следующие силы: вес, поверхностное натяжение F_{ab} , приложенное к линии ab , и поверхностное натяжение F_{cd} приложенное к cd . Равнение возможно только в том случае, если $F_{ab} = F_{cd}$ на величину, равную весу рассматриваемого участка пленки.

Равнение сил поверхностного натяжения обясняется различной концептацией мыла в поверхностных слоях пленки.

354. Выталкиваемая сила уравновешивает вес кубика mg и силу поверхностного натяжения $\frac{4\pi}{d^2}$, т. е. $d^2 \lambda \rho g = mg + 4\pi a$, где x — ячейкое расстояние. Отсюда

$$x = \frac{mg + 4\pi a}{d^2 \lambda \rho g} \approx 2,3 \text{ см.}$$

Сила поверхностного натяжения вносит поправку около 0,1 см.

355. Жидкость поднимается на высоту $h = \frac{2\pi}{\rho g r}$. Потенциальная энергия столбика жидкости

$$W = \frac{mg h}{2} = \frac{2\pi a^2}{\rho g}.$$

Сила поверхностного натяжения совершает работу $A = 2\pi r ah = \frac{4\pi a^2}{\rho g r}$. Полоцина этой работы идет на увеличение потенциальной энергии, а другая половина на выделение тепла. Следовательно,

$$Q = \frac{2\pi a^2}{\rho g}.$$

356. Давление внутри жидкости в точке, находящейся выше некоторого уровня на расстояние h , меньше давления на этом уровне на величину ρgh . На уровне жидкости в сопла давление равно нулю. Следовательно, давление на высоте h относительно (жидкость растянута) и равно $\rho = -\rho gh$.

357. Сила притяжения, действующая на молекулу у поверхности сию со стороны всех остальных молекул, дает равнодействующую, направленную вниз. Однако со стороны ближайших соседей на молекулу действуют силы отталкивания. Благодаря этому молекулы находятся в равновесии.

В результате действия как сиа притяжения, так и сил отталкивания плотность жидкости в поверхностном слое меньше, чем внутри. В самом деле, на молекулу I (рис. 404) действует сила

Рис. 404.



Рис. 403.

358. Сила поверхностного натяжения вносит поправку около 0,1 см.

359. Жир расправляется, и капиллярные силы перемещают его на поверхность холодной ткани, подложенной под kostюм (см. задачу 349).

отталкивания со стороны молекулы 2 и става притяжения исся оставшихся молекул (3, 4, ...). На молекулу 2 действуют силы отталкивания со стороны 3 и 4 и сила притяжения со стороны лежащих в глубине молекул. В результате расстояние l_{-2} должно быть больше расстояния $2-3$ и т. д.

Указанная схема рассуждений является весьма грубой (например, не учитывается тепловое движение и т. д.), но дает качественно правильный результат.

Увеличение поверхности жидкости сопровождается возникновением новых участков разреженного поверхностного слоя. При этом должна быть совершена работа против сил притяжения молекулами. Эта работа представляет собой потерю энергии на пеличину, способную уравновесить давление участка.

338. Необходимо давление жидкости сопровождается возникновением новых участков разреженного поверхностного слоя. При этом должна быть совершена работа против сил притяжения молекулами. Эта работа представляет собой потерю энергии на пеличину, способную уравновесить давление участка.

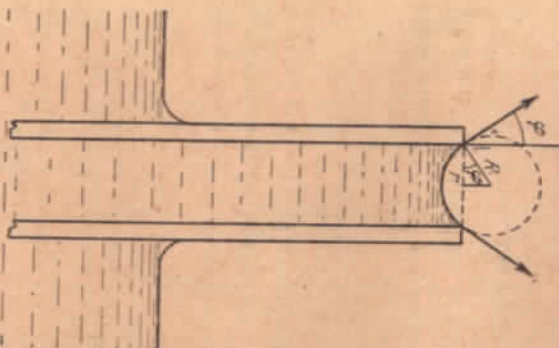


Рис. 405.

столбика воды, оставшегося в трубке, будет равна $l + h$, если $l < h$.
361. 1) Силы поверхностного натяжения могут удержать и даже не будет выпливаться из кипидара.
2) Вода не выпливается из кипидара.

смачивающей жидкости он будет иметь форму полусфера.
3) Вода выпливается не будет. Мениск выпуклый. Кривизна его меньше, чем во втором случае.
4) Вода не выпливается. Мениск плоский.
5) Вода не выпливается. Мениск выпуклый.

362. Внутри мыльного пузыря радиуса R давление P превышает атмосферное на величину удвоенного капиллярного давления, т. е. как пленка пузыря двойная: $P = p_0 + \frac{4\sigma}{R}$.

Давление внутри пузыря радиуса R вместе с давлением участка пленки между пузырями должно уравновесить давление внутри внешнего пузыря. Следовательно, $\frac{4\sigma}{R} + \frac{4\sigma}{R_x} = \frac{4\sigma}{r}$, где R_x — радиус участка пленки АВ. Отсюда $R_x = \frac{Rr}{R+r}$.

Силы поверхности натяжения в любой точке поверхности пузыря превышают силу поверхности натяжения уравновешиваются силами гидростатического давления, так как гидростатическое давление (см. задачу 356).

364. Если тела смачиваются водой, то форма поверхности воды придет вид, изображенный на рис. 406, а. Между спицами выше уровня MN вращение крест не может пройти.

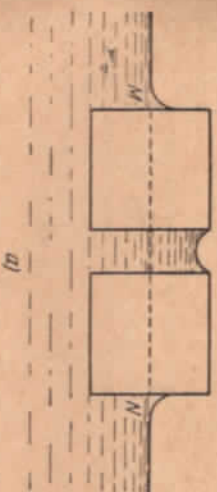
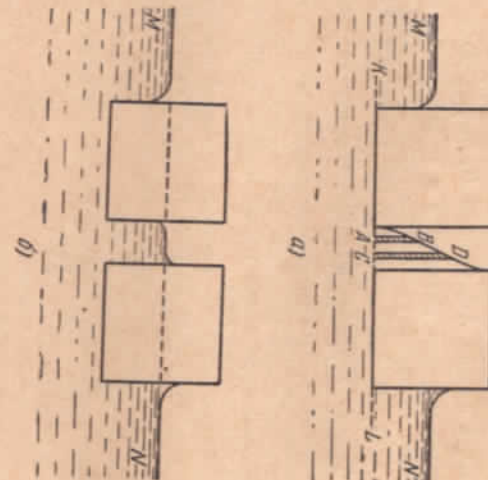


Рис. 406.

Уровни MN вода растянута капиллярами снизу и давление внутри ее меньше атмосферного. Спинки сближаются, так как давление на них с боков равно атмосферному.

Для не смачиваемых водой спиц форма поверхности изображена на рис. 406, б. Давление между спинками равно атмосферному, а с боков ниже уровня MN больше атмосферного.

Приближенні спірек в постепенім случаю заданим країнми углам соответствуют две различные формы поверхности (рис. 407).
Давление на уровне KL должно быть везде одним и тем же. В частности, давление столбиков AB и CD разной высоты должно быть одинаковым. Но это невозможно, так как положение столбиков можно выбрать с таким расчетом, чтобы их поверхности



пк. 407.

одинаковой формой. Тогда дополнительное давление поверхности, одинаково, а гидростатическое давление различно. Следовательно, при сближении спичек поверхность воды между ними будет стремиться к горизонтальной форме (рис. 407, б). В этом случае как видно из рисунка, давление между спичками на уровне MN равно атмосферному. Давление же слева на первую спичку равно атмосферному и ниже уровня MN . На вторую спичку давление справа меньше атмосферного выше уровня MN . В результате спички будут отталкиваться.

§ 16. Взаимные превращения жидких и твердых тел

центров кристаллизации, при этом проходит только при наличии частичек. Когда масса волны велика, то в ней всегда найдется хотя бы один такой центр, а этого уже достаточно, чтобы замерзла вся вода. Если же масса волны разработана на мельчайшие капли, то лишь в сравнительно небольшом числе капель будут иметься центры кристаллизации и замерзнут только эти капли.

$$C = \frac{Q_1 \left(\frac{c_2}{2c_1} + \frac{\lambda}{c_1 \Delta x} + \frac{1}{2} \right) - Q_2}{\frac{c_2}{c_1} \frac{\Delta t}{\Delta x} - \frac{\Delta t}{2} + \frac{\lambda}{c_1}} = 150 \frac{K \text{as}}{z \mu \text{rad}},$$

FIG. 71. m_1 и c_1 — масса и теплопроводность льда, C — теплопроводность калориметра, c_2 — теплоемкость воды, $\Delta t = 2^\circ\text{C}$.
Ось охоложения

$$m_1 c_1 (t_1 - 0) = m_2 c_2 (0 - t_2) + (m_2 - m_1) \lambda$$

Зад. Количество тепла, которое может быть выделено водой при охлаждении ее до 0°C , равно 4000 кал. Для нагревания льда до 0°C требуется 12000 кал. Следовательно, лед может погреться только за счет тепла, выделяющегося при замерзании воды. Для нагревания ледяных 8000 кал должно замерзнуть 100 г воды.
В результате в калориметре образуется сеть из 500 г воды и 500 г льда, находящихся при температуре 0°C .
370. Конечная температура содержимого сосуда $\theta = 0^{\circ}\text{C}$. Уравнение теплового баланса имеет вид:

371. 1) Несколько массы льда t можно найти из уравнения $m_1 = Mc(-t)$. Отсюда $m = 100 \text{ г.}$
 2) Уравнение теплового баланса записывается в данном случае следующим образом: $Mh = Mc(-t)$. Отсюда $t = -80^\circ\text{C}$.

372. Температура плавления льда при сжатии до давления 1000 atm не изменится на $\Delta t = 8,8^\circ\text{C}$. Лед будет плавиться до тех пор, пока не произойдет охлаждение до $-8,8^\circ\text{C}$. При этом поглощается количество тепла $Q = m_1 h$, где m_1 — масса растянутого льда, h — удельная теплота плавления. На основании уравнения теплового баланса $m_1 = mc \Delta t$, где c — теплоемкость льда.

$$m_1 = \frac{cm}{\lambda} n_{5,6,2}$$

366. Количество тепла, получаемое в единицу времени водой льдом, примерно одинаково, так как разность температур воды кипятого подогрева примерно такая же, как и льда и воздуха. На 15 мин вода получила 200 калорий. Следовательно, лед за 10 час получила 8000 кал. Отсюда $\lambda = 80$ кал/з.

получил 8000 кал. Отсюда $\lambda = 80$ кал/367, $v = 2464$ м/сек.

366. Количество тепла, получаемое в единицу времени волой и льдом, примерно одинаково, так как разность температур волы и компатного воздуха примерно такая же, как и льда и воздуха. Из 15 мин вола получила 2000 калорий. Следовательно, дед за 10 час получила 8000 кал. Отсюда $\lambda = 80 \text{ кал}/\text{с}^2$.

получил 8000 кал. Отсюда $\lambda = 80$ кал/367, $v = 2464$ м/сек.

19 В. В. Буховец и др.

§ 17. Упругость и прочность

$$373. F = \frac{SE(R-r)}{r} = 60 \text{ кг}.$$

374. При нагревании стержня с закрепленными концами на t градусов в нем возникает упругая сила F , равная по закону Гука

$$F = \frac{SE\Delta l}{l} = SEst,$$

где E — модуль Юнга, а α — его коэффициент расширения.

Если постепенно освобождать один из концов стержня, то длина его увеличится на $\Delta l = l\alpha t$. При этом сила будет линейно уменьшаться от F до нуля, так как ее среднее значение будет равно $F/2$.

Искомая работа $A = \frac{F}{2} \Delta l = \frac{1}{2} SEL^2t^2$.

375. Напряжение проволоки $T = \frac{Mg}{2 \sin \alpha}$. Из закона Гука следует, что $T = \frac{\Delta l}{2l} ES$.

Так как $\Delta l = 2 \left(\frac{l}{\cos \alpha} - l \right)$, то $T = \frac{1 - \cos \alpha}{\cos \alpha} SE = \frac{Mg}{2 \sin \alpha}$.

При малых углах $\sin \alpha \approx \alpha$, а $\cos \alpha = 1 - 2 \sin^2 \frac{\alpha}{2} \approx 1 - \frac{\alpha^2}{2}$. Учитывая это, получим:

$$\alpha = \sqrt[3]{\frac{Mg}{SE}},$$

376. Нагретый на Δl стержень в свободном состоянии удлинился бы на $\Delta l' = l_0 \alpha \Delta l$, где l_0 — первоначальная длина стержня. Чтобы вставить нагретый стержень между стенками, его придется на Δl . По закону Гука

$$\Delta l = \frac{lF}{ES},$$

Отсюда следует, что $\frac{F_0}{F_{\text{ж}}} = 2$.

Таким образом, $\frac{F_0}{F_{\text{ж}}}$ нагрузки приходится на бетон, а $\frac{1}{2}$ — на железо.

380. Под действием сжимающей силы F трубка укорачивается на $\frac{Fl}{S_u E_u}$, а под действием растягивающей силы F болт удлиняется на величину $\frac{Fl}{S_c E_c}$.

Сумма $\frac{Fl}{S_c E_c} + \frac{Fl}{S_u E_u}$ равна пересечению гайки вдоль болта

$$\frac{Fl}{S_c E_c} + \frac{Fl}{S_u E_u} = h.$$

Отсюда

$$F = \frac{h}{l} \frac{S_c E_c S_u E_u}{S_c E_c + S_u E_u}.$$

381. Так как коэффициент теплового расширения меди α_m больше, чем у стали α_c , то увеличение температуры вызывает сжатие медной пластины и растяжение стальных. Вследствие симметрии относительные удлинения всех трех пластин одинаковы. Обозначив через F силу сжатия, действующую на медную пластину со стороны обеих стальных, для относительного удлинения медной пластины имеем: $\frac{\Delta l}{l} = \alpha_m t - \frac{F}{S_c E_c}$.

На стальную пластину со стороны медной действует растягивающая сила $F/2$. Приведя относительные удлинения пластинок, получим:

$$F = \frac{\alpha_1 l_1 + \alpha_2 l_2}{\frac{l_1}{E_1} + \frac{l_2}{E_2}} St.$$

С этой силой стержни действуют друг на друга.

378. Из симметрии симметрии очевидно, что удлинение проволок будет одинаковым. Обозначим это удлинение через Δl . На основании закона Гука напряжение стальной проволоки $F_c = \frac{\Delta l}{l} SE_c$ и медной $F_m = \frac{\Delta l}{l} SE_m$.

Отсюда вытекает, что отношение напряжений равно отношению соответствующих модулей Юнга:

$$\frac{F_m}{F_c} = \frac{E_m}{E_c} = \frac{1}{2}.$$

При равновесии $2F_m + F_c = mg$.

Следовательно, $F_m = \frac{mg}{4} = 25 \text{ кг}$ и $F_c = 2F_m = 50 \text{ кг}$.

379. На основании закона Гука имеем:

$$F_0 = \frac{\Delta l}{l} S_0 E_0 \text{ и } F_{\text{ж}} = \frac{\Delta l}{l} S_u E_u.$$

Отсюда следует, что $\frac{F_0}{F_{\text{ж}}} = 2$.

Таким образом, $\frac{F_0}{F_{\text{ж}}}$ нагрузки приходится на бетон, а $\frac{1}{2}$ — на железо.

380. Под действием сжимающей силы F трубка укорачивается на $\frac{Fl}{S_u E_u}$, а под действием растягивающей силы F болт удлиняется на величину $\frac{Fl}{S_c E_c}$.

Сумма $\frac{Fl}{S_c E_c} + \frac{Fl}{S_u E_u}$ равна пересечению гайки вдоль болта

$$\frac{Fl}{S_c E_c} + \frac{Fl}{S_u E_u} = h.$$

Отсюда

$$F = \frac{h}{l} \frac{S_c E_c S_u E_u}{S_c E_c + S_u E_u}.$$

381. Так как коэффициент теплового расширения меди α_m больше, чем у стали α_c , то увеличение температуры вызывает сжатие медной пластины и растяжение стальных. Вследствие симметрии относительные удлинения всех трех пластин одинаковы. Обозначив через F силу сжатия, действующую на медную пластину со стороны обеих стальных, для относительного удлинения медной пластины имеем: $\frac{\Delta l}{l} = \alpha_m t - \frac{F}{S_c E_c}$.

На стальную пластину со стороны медной действует растягивающая сила $F/2$. Приведя относительные удлинения пластинок, получим:

$$F = \frac{\alpha_1 l_1 + \alpha_2 l_2}{\frac{l_1}{E_1} + \frac{l_2}{E_2}} St.$$

С этой силой стержни действуют друг на друга.

382. При приведении кольца в нем возникает напряжение $T = \frac{m v^2}{2 \pi r}$ (см. задачу 201). Для тонкого кольца $m = 2 \pi r S p$, где S — поперечное сечение кольца. Следовательно, $\frac{T}{S} = p v^2$.

Отсюда максимальное значение скорости $v = \sqrt{\frac{P}{\rho}} \approx 41 \frac{m}{cм/с}$.

383. Первоначально со стороны растянутого болта на каждую гайку действует упругая сила F_0 . Груз $P < F_0$ не в состоянии увеличить длину той части болта, которая находится между гайками, и, следовательно, изменить его патление. Поэтому на силу, действующую на верхнюю гайку со стороны бруска, не будет меняться до тех пор, пока

$$P < F_0.$$

На нижнюю гайку со стороны верхней части болта действует сила F_0 , а со стороны нижней части — сила P . Так как гайка находится в равновесии, то сила, действующая на нее со стороны бруска, $F = F_0 - P$. Таким образом, действие груза $P < F_0$ сводится только к уменьшению давления нижней гайки на бруск.

Зависимость действующих на гайки сил от величины груза P изображена на рис. 408.

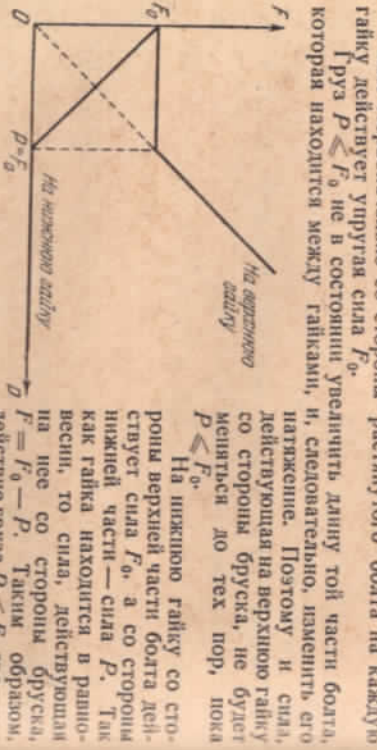


Рис. 408.

При $P > F_0$ длина болта увеличивается и сила, действующая на нижнюю гайку со стороны бруска, исчезает. На верхнюю гайку будет действовать сила P .

Зависимость действующих на гайки сил от величины груза P изображена на рис. 408.

§ 18. Свойства паров

384. В калориметре будет 142 г воды и 108 г пара при температуре 100°C .

385. Сам воздух пар невидим. Мы можем наблюдать только облако мельчайших капель, возникающих после конденсации. При выключении газа исчезают струи нагретого воздуха, ранее обтекавшие чайник. При этом выходящий из чайника водяной пар охлаждается и конденсируется.

386. На основании уравнения состояния идеального газа $\rho = \frac{m}{V} = \frac{p_i}{RT}$. Если давление выражать в мм рт. ст. , а объем в м^3 , то $R = \frac{760 \cdot 0,0224}{273} \frac{\text{мм рт. ст.} \cdot \text{м}^3}{\text{град. мол.}}$.

Отсюда $\rho = 1,06 p \frac{273}{T}$. При температурах, близких к комнатным, приближенно $\rho \approx p \frac{2}{M^3}$.

387. На первый взгляд кажется, что уравнение состояния идеального газа не может дать значений плотности или удельного объема насыщенных паров, близких к действительным. Однако это не так. Достаточно подсчитать плотность пара по формуле $\rho = \frac{m}{V} = \frac{p_i}{RT}$ и срав-

нить полученные значения с приведенными в таблице II, то обнаружится хорошее совпадение.

Объясняется это следующим образом. Давление идеального газа является прямо пропорционально температуре при постоянном объеме для и, следовательно, при постоянной плотности. Изображены же на рис. 146 зависимости давления насыщенных паров от температуры соответствует постоянному объему насыщенного пара и жидкости, с которой он находится в равновесии. При возрастании температуры плотность пара увеличивается, так как жидкость частично переходит в пар. При этом малому изменению объема, который занимает пар, соответствует значительное увеличение его массы. Отношение давления к плотности оказывается, приближенно, пропорциональным температуре, как и в случае идеального газа.

Уравнение Капенгера — Менделеева дает в основном правильную зависимость между p , V и T для взятого пары вплоть до значений этих параметров, которые соответствуют началу конденсации. Но оно неспособно описать процесс перехода пара в жидкость и, в частности, указать, при каких значениях p , V и T начнется этот переход.

388. При 30°C давление насыщенных паров $p = 31,82 \text{ мм рт. ст.}$ Согласно уравнению состояния идеального газа

$$V = \frac{m}{\mu} \frac{RT}{p} \approx 296 \text{ л.}$$

389. При медленном увеличении температуры давление водяных паров в комнате можно считать неизменным.

Влажности $A_0 = 10\%$ соответствует давление паров $p = \frac{A_0 p_0}{100}$, где $p_0 = 12,79 \text{ мм рт. ст.}$ — давление насыщенных паров при 15°C . При температуре 25°C давление насыщенных паров $p_1 = 23,76 \text{ мм рт. ст.}$ Следовательно, искомая относительная влажность

$$A = \frac{p}{p_1} \cdot 100\% = \frac{A_0 p_0}{100 p_1} = 5,4\%.$$

390. По условиям задачи относительная влажность и на улице, и в комнате близка к 100 %. Однако давление насыщенных паров на улице гораздо меньше, чем в комнате, так как температура воздуха в комнате выше, а для выравнивания давлений за счет проникновения паров сквозь шелк наружу требуется значительное время. Поэтому при открывании форточки пары начнут быстро проникать из комнаты наружу, и белые пасочки быстрее.

391. 1) Уровни воды сравняются, как у сообщающихся сосудов. Полные пары в левом сосуде будут частично конденсироваться, а в правом сосуде часть воды испарится.

2) Уровни сравняются в результате перетекания паров из одного сосуда в другой.

При данной температуре давление насыщенных паров одинаково в обоих сосудах у поверхности жидкости и убывает одинаковым образом с высотой. Поэтому давление паров на олию и том же уровне в сосудах не одинаково, что и приводит к перетеканию пара и последующей конденсации его в сосуде с низким уровнем воды.

392. При $t_2 = 30^\circ\text{C}$ давление паров оказалось равным давлению ρ_0 насыщенных паров ($\rho_{20} = 31,8 \text{ мм рт. ст.}$) только при давлении воздуха в 10 атм.

При изотермическом уменьшении давления воздуха в 10 раз объем его увеличится также в 10 раз. Следовательно, при атмосферном давлении и температуре 30°C давление водяного пара было равно $p = 3,18 \text{ мм рт. ст.}$ Из уравнения Клапейрона вытекает, что при температуре $t_1 = 10^\circ\text{C}$ давление пара $\rho_1 = p \frac{T_1}{T_2}$, где

$$T_1 = 283^\circ\text{K}, \quad T_2 = 303^\circ\text{K}.$$

Искомая относительная влажность равна

$$A = \frac{\rho_1}{\rho_0} \cdot 100\% = \frac{p}{\rho_0} \frac{T_1}{T_2} \cdot 100\% \approx 32,6\%,$$

где $\rho_0 = 9,2 \text{ мм рт. ст.}$ — давление насыщенных паров при $t_1 = 10^\circ\text{C}$.

393. Давление $p = 6,5 \text{ мм рт. ст.}$ — это давление насыщенных водяных паров при $t = 5^\circ\text{C}$. Резкое падение давления свидетельствует о том, что вся вода перешла в пар. Объем пара, откачанный насосом до полного испарения воды, $V = 3600 \text{ л}$.

На основании уравнения состояния Клапейрона — Менделесова искомая масса воды

$$m = \frac{\rho V \mu}{RT} \approx 23,4 \text{ г.}$$

394. На нагревание воды до 100°C необходимо количество тепла $Q_1 = mc\Delta t = 3000 \text{ кал}$. Следовательно, на парообразование будет затрачено $Q_2 = Q - Q_1 = 2760 \text{ кал}$. Количество воды, перешедшей в пар, равно $m_1 = \frac{Q_2}{\lambda} = 5,1 \text{ л}$.

По уравнению состояния идеального газа это количество пара займет объем $V = \frac{m_1}{\mu} \cdot \frac{RT}{p}$. Пренебрегая уменьшением объема занятого водой, найдем высоту поднятия поршия: $h = \frac{V}{S} = 17 \text{ см}$.

ГЛАВА III

ЭЛЕКТРИЧЕСТВО И МАГНЕТИЗМ

§ 19. Электростатика

$$395. F = \frac{q^2}{r^2} = 918 \text{ кг.}$$

Сила очень велика. Сообщить телу небольших размеров заряд в один кулон невозможно, так как электростатические силы отталкивания настолько велики, что заряд не сможет удержаться на месте.

396. Шарики расположатся в углах равностороннего треугольника со стороной $\frac{\sqrt{3}}{2} l$. Сила, действующая со стороны любых двух шариков на третий, равна $F = \frac{4q^2}{l^2 \sqrt{3}}$.

Шарик будет находиться в состоянии равновесия, если $\operatorname{tg} \alpha = \frac{l}{mg}$ ($\alpha = 30^\circ$). Отсюда $q = \frac{l}{2} \sqrt{mg} \approx 100 \text{ ед. СГЭ}$.

397. Так как нити не отклоняются от вертикали, то кулоновская сила отталкивания уравновешивается силой притяжения между шариками по закону всемирного тяготения.

Поэтому в вакууме

$$\frac{q^2}{r^2} = \gamma \frac{p^2 V^2}{r^2}$$

и в керосине (учитывая результаты задачи 230)

$$\frac{q^2}{r^2} = \gamma \frac{(p - p_0)^2 V^2}{r^2},$$

где V — объем шариков.

Отсюда

$$p = \frac{p_0 V^2}{\sqrt{\varepsilon - 1}} \approx 2,74 \text{ з/см}^3.$$

398. Условия равновесия подвешенного шарика дают для обоих рассматриваемых случаев уравнения:

$$T_1 \sin \alpha_1 - \frac{Qq}{2a^2} \cdot \frac{\sqrt{2}}{2} = 0,$$

$$T_1 \cos \alpha_1 + \frac{Qq}{2a^2} \cdot \frac{\sqrt{2}}{2} - \frac{Qq}{a^2} - mg = 0,$$

$$T_2 \sin \alpha_2 - \frac{Qq}{2a^2} \cdot \frac{\sqrt{2}}{2} = 0,$$

$$T_2 \cos \alpha_2 + \frac{Qq}{2a^2} \cdot \frac{\sqrt{2}}{2} - mg = 0,$$

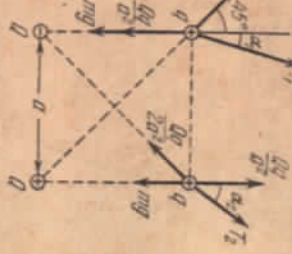


Рис. 409.

Изложая неизвестные из данной системы уравнений, получим:

$$\operatorname{csg} \alpha_1 - \operatorname{csg} \alpha_2 = \operatorname{csg} \alpha_1 - \operatorname{csg} 2\alpha_1 = 2(2\sqrt{2} - 1).$$

$$\operatorname{csg} \alpha_1 = 2(2\sqrt{2} - 1) \pm \sqrt{35 - 16\sqrt{2}}$$

Следовательно, $\alpha_1 = 70^\circ 56'$, $\alpha_2 = 15^\circ 52'$ при $mg > \frac{Qq}{a^2} \left(1 - \frac{V^2}{4} \right)$

$$\text{и } \alpha_1 = 82^\circ 04', \alpha_2 = 164^\circ 08' \text{ при } mg < \frac{Qq}{a^2} \left(1 - \frac{V^2}{4} \right).$$

399. При равномерном движении капельки на нее действуют: сила тяжести P , выталкивающая сила воздуха (сила Архимеда) F , сила электростатического поля eE и сила трения о воздух $kv = k \frac{S}{t}$. Все силы уравновешены. Следовательно,

$$P = F = eE + k \frac{S}{t} = 0,$$

$$P = F + eE = k \frac{S}{t_2} = 0,$$

$$P = F - k \frac{S}{t} = 0,$$

где e — заряд капли, E — напряженность электрического поля, S — расстояние, проходимое каплей.

Решив уравнения, получим:

$$t = \frac{2t_1 t_2}{t_1 - t_2},$$

400. Можно, воспользовавшись явлением электростатической индукции.

Нужно поднести к данному заряженному телу проводник на изолированной подставке и кратковременно заземлить его. Тогда на проводнике остается заряд, противоположный по знаку данному, а однотипный с ним уйдет в землю.

Заряд с проводника можно снять, введя проводник внутрь металлической полости. Эту операцию можно повторить много раз, получив заряд любой величины.

На аналогичном принципе основано устройство электростатической машины.

401. Энергия возникает за счет механической работы, которую необходимо совершить при перемещении проводника от разноименного с ним заряженного тела, к которому накапливается заряд.

402. Могут в том случае, если заряд одного из шариков много больше другого. Силы притяжения, обусловленные индуцированными зарядами, могут превысить силы отталкивания.

403. Так как $Q \gg q$, то взаимодействием между отдельными элементами кольца можно пренебречь. Выделим малый элемент кольца длины $R\Delta\alpha$ (рис. 410). Со стороны заряда Q на него действует сила $\Delta F = \frac{Qq}{R^2}$, где $\Delta q = \frac{q_{\Delta\alpha}}{2\pi}$. Сила напряжения кольца может быть найдена как геометрическая сумма напряжений концов T уравновешивающих ΔF . Из условия равновесия, учитывая, что $\Delta\alpha$ мало, имеем:

$$\Delta F = 2T \sin\left(\frac{\Delta\alpha}{2}\right) \approx T \Delta\alpha,$$

искомая сила является натяжением $T = \frac{Qq}{2\pi R^2}$.

404. Рассмотрим случай разноименных зарядов $q_1 > 0$; $q_2 < 0$. Напряженности, созданные зарядами q_1 и q_2 , равны соответственно $E_1 = \frac{q_1}{r_1^2}$ и $E_2 = \frac{q_2}{r_2^2}$. Как видно из

$$E^2 = E_1^2 + E_2^2 - 2E_1 E_2 \cos\varphi,$$

рис. 411,

$$\cos\varphi = \frac{r_1^2 + r_2^2 - d^2}{2r_1 r_2}.$$

Следовательно,

$$E = \sqrt{\frac{q_1^2}{r_1^4} + \frac{q_2^2}{r_2^4} - \frac{q_1 q_2}{r_1^2 r_2^2} (r_1^2 + r_2^2 - d^2)}.$$

Если заряды одинакового, то

$$E = \sqrt{\frac{q_1^2}{r_1^4} + \frac{q_2^2}{r_2^4} + \frac{q_1 q_2}{r_1^2 r_2^2} (r_1^2 + r_2^2 - d^2)}.$$

405. Каждый заряд создает в точке D напряженность поля $E_1 = \frac{q}{a^3}$. Полная напряженность будет суммой трех векторов (рис. 412).

Горизонтальные составляющие этих векторов в сумме дают нуль, так как они равны по величине и составляют друг с другом угол по 120° . Сам векторы образуют с вертикалью угол $90^\circ - \alpha$, где α — угол между ребром тетраэдра и высотой h треугольника ABC .

Вертикальные составляющие одинаковы и равны — каждая $\frac{q}{a^2} \sin \alpha$. Из $\triangle ADE$ очевидно, что $\sin \alpha = \frac{h}{\sqrt{\frac{3}{2}}} = \sqrt{\frac{2}{3}}$. Отсюда искомая напряженность поля

$$E = \sqrt{\frac{2}{3}} \frac{q}{a^2}.$$

406. Напряженность поля E в произвольной точке A на оси колца может быть найдена как геометрическая сумма напряже-

постей, составляемых отдельными малыми элементами заряженного кольца (рис. 413).

Суммируя векторы напряженности в точке A , следует учитывать только составляющие, направленные вдоль оси кольца. Составляющие векторов напряженности, направленные перпендикулярно оси, при сложении дают нуль вследствие симметрии.

Следовательно, напряженность поля в точке A равна

$$E = \frac{Q}{R^2 + r^2} \cos \alpha = \frac{Qr}{(R^2 + r^2)^{3/2}}.$$

407. Напряженность поля в произвольной точке A на оси кольца равна

$$E = \frac{Q}{R^2 + r^2} \cos \alpha = \frac{Q}{R^2} \sin^2 \alpha \cdot \cos \alpha \quad (1)$$

(см. задачу 406).

Очевидно, что E достигает максимума при тех же значениях угла α , что и выражение

$$\frac{2E^2 R^4}{Q^2} = 2 \sin^4 \alpha \cos^2 \alpha =$$

$$= 2 \cos^2 \alpha (1 - \cos^2 \alpha) (1 - \cos^2 \alpha) \quad (2)$$

представляет собой произведение трех положительных сомножителей:

$$a = 2 \cos^2 \alpha, \quad (3)$$

$$b = 1 - \cos^2 \alpha, \quad (4)$$

$$c = 1 - \cos^2 \alpha, \quad (5)$$

сумма которых постоянна ($a + b + c = 2$), причем $b = c$. Это произведение $abc = ab^2$ будет наибольшим в том случае, если сомножители равны

$$a = b = c = \frac{2}{3} \quad (6)$$

и, следовательно,

$$abc = ab^2 = \frac{8}{27}. \quad (7)$$

Докажем это. Пусть

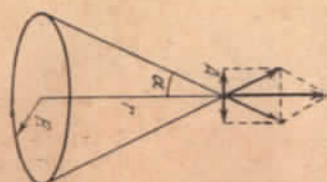
$$a = \frac{2}{3} + 2d,$$

где d — некоторое число, которое может лежать, как вытекает из (3), в пределах

$$-\frac{1}{3} < d < \frac{2}{3}. \quad (8)$$

Тогда на основании (4)

$$b = \frac{2}{3} - d.$$



Прописание

$$ab^2 = \left(\frac{2}{3} + 2d\right)\left(\frac{2}{3} - d\right)^2 = \frac{8}{27} + 2d^2(d-1)$$

имеет максимум, как вытекает из (8), при $d = 0$. Следовательно,

$$d = \frac{2}{3} \text{ и } \cos \alpha = \frac{\sqrt{3}}{3}.$$

Наибольшая напряженность поля будет в точках, отстоящих от центра кольца на расстояние $r = \frac{\sqrt{2}}{2} R$. Это значение напряженности поля равно

$$E_{\max} = \frac{2V\sqrt{3}}{9} \frac{Q}{R^2},$$

408.

$$E_B = \frac{2\pi}{S} (Q_1 - Q_2), \quad E_C = \frac{2\pi}{S} (Q_1 + Q_2),$$

$$E_A = -\frac{2\pi}{S} (Q_1 + Q_2).$$

Напряженность считается положительной, если она направлена слева направо.

409. Заряды на поверхности другой пластины равны $+ \frac{Q}{2}$ и $- \frac{Q}{2}$. Лишь в этом случае электрическое поле внутри пластины будет равно нулю, как это должно быть при равновесии зарядов.

410. Молекула будет притягиваться к заряженному цилинду. Сила притяжения равна

$$F = 2\pi q \left(\frac{1}{r} - \frac{1}{r+\lambda} \right) = \frac{2\pi q\lambda}{r(r+\lambda)}.$$

В этом выражении мы можем преобразовать величиной λ ($0 \sim 10^{-8}$ см) по сравнению с r (r не может быть меньше радиуса цилиндра). Окончательно для F получаем выражение

$$F = \frac{2\pi q\lambda}{r^2}.$$

411. В начальный момент силы, действующие на обе молекулы, одинаковы. При приближении к цилиндру сила F_1 , действующая на молекулу с постоянным электрическим моментом, растет пропорционально $1/r^2$.

$$F_1 = \frac{2\pi q\lambda}{r^2}$$

(см. задачу 410). Сила F_2 , действующая на «упругую» молекулу, растет быстрее, пропорционально $1/r^3$ за счет непрерывного увеличения электрического момента этой молекулы $\left(F_2 = \frac{4\pi q^2 r^2}{kr^3}\right)$.

Массы молекул одинаковы, поэтому ускорение второй молекулы при приближении к цилиндру нарастает быстрее, чем у первой, и она быстрее достигает поверхности цилиндра.

412. Ввиду очень малой толщины пластины мы можем считать, что заряд распределен равномерно на двух поверхностях, площадь каждой из которых равна ab . Таким образом, поверхностная плотность заряда $\sigma = \frac{q}{2ab}$. Поле внутри металла будет равно нулю, вине металла напряженность равна

$$E = 4\pi \frac{q}{2ab} = \frac{2\pi q}{ab}.$$

413. Индуцированные отрицательные заряды на поверхности проволинка распределены таким образом, что результатирующее поле внутри проволинки от положительного точечного заряда и индуцированных отрицательных зарядов равно нулю. (Индуцированные положительные заряды уходят на удаленные края пластины, и их поле можно будет пренебречь.) Это распределение индуцированных зарядов не зависит от толщины пластины.

Поместим слева от пластины на том же расстоянии d заряд $-q$. Ясно, что на левой стороне пластины индуцированное положительные заряды распределены таким же образом, как и отрицательные на правой стороне пластины. От того, что мы поместили слева от пластины заряд $-q$, электрическое поле справа от пластины не изменится. Таким образом, справа от пластины электрическое поле от заряда $+q$ и отрицательных индуцированных зарядов совпадает с полем, создаваемым зарядами $+q$ и $-q$.

Если толщина пластины очень мала по сравнению с d , то мы можем пластинику считать бесконечно тонкой, а в таком случае поле, создаваемое индуцированными зарядами, вне пластины равно нулю.

Итак, мы показали, что поле справа от пластины, созданное зарядом $+q$ и индуцированными отрицательными зарядами, равно полю, созданному точечными зарядами $+q$ и $-q$.

Поскольку напряженность поля в точке нахождения заряда $+q$ от индуцированных отрицательных зарядов равна напряженности поля от точечного заряда $-q$, находящегося на расстоянии $2d$ от $+q$, то искомая сила притяжения равна $F = \frac{q^2}{4d^2}$.

414. Ввиду того, что a и b много больше c и d , мы можем считать пластинику бесконечно большой. Учитывая, что напряженность поля от нескольких зарядов равна сумме напряженностей, создаваемых каждым из этих зарядов, и воспользовавшись результатами решения задач 412 и 413, получаем значение искомой силы

$$F = \frac{2\pi qQ}{ab} - \frac{Q^2}{4d^2}.$$

Знак $+$ соответствует силе отталкивания, знак $-$ силе притяжения.

Положительно заряженная пластина будет притягивать точечный положительный заряд, если

$$\frac{Q^2}{4d^2} > \frac{2\pi qQ}{ab}$$

или

$$\frac{Q}{d^2} > \frac{8\pi q}{ab}.$$

415. Пределенная величина заряда, который можно сообщить шару, определяется равенством

$$E_0 = \frac{Q}{R^2}.$$

Потенциал при этом будет равен $V = \frac{Q}{R} = E_0 R = 30000 R$ в, если радиус шара выражать в сантиметрах.

416. Если заряженное тело поместить в центр сферы, то очевидно, на внешней поверхности сферы появится дополнительный заряд $-q$, распределенный равномерно по поверхности, а на внутренней поверхности — заряд $+q$. Потенциал V_R на расстоянии R от центра сферы будет равен

$$V_R = \frac{Q-q}{R}.$$

При перемещении тела внутри сферы поле вне сферы изменяться не будет. Сделавательно, потенциал будет равен V_R при любом положении заряженного тела внутри сферы.

417. Корпус и стержень, соединенные проводом, будут иметь равные потенциалы. Поэтому листочки не будут отклоняться.

После удаления соединительного провода и заземления стержня оба листочка отклонятся, так как между стержнем и корпусом возникнет разность потенциалов. Появление этой разности потенциалов очевидно из условия равенства нулю работы электростатического поля при перемещении заряда по замкнутому пути $ABCDEF$, изображенному на рис. 415 пунктиром. Работа на участке AC равна нулю, причем работа на пути AB равна работе на пути BC , взятой с обратным знаком. Разности потенциалов между землей и корпусом равны разности потенциалов между корпусом и стержнем.

418. При сообщении корпусу электрометра положительного, к примеру, заряда шарик стержня электрометра вследствие электростатической индукции зарядится положительно, а конец стержня — отрицательно. Между корпусом и стержнем возникнет разность потенциалов, и поэтому оба листочка будут отклоняться. Потенциалы

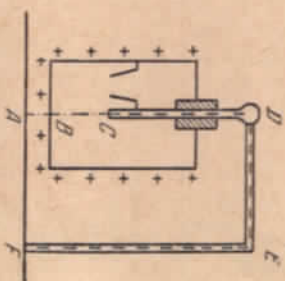


Рис. 415.

корпуса и стержня положителью земли, причем потенциал корпуса выше (потенциал земли можно считать нулем).

При соединении стержни с землей разность потенциалов между стержнем и корпусом, как можно показать, используя макет, дает 417 метром, увеличивается. Следовательно, листочки отклонятся на больший угол.

419. Электрометр измеряет разность потенциалов между двумя телом и землей. Так как поверхность проводника эквивалентна телу, то в первом случае листочки отклоняются на один и тот же угол при любом положении шарика (если емкость соединительного провода преобъектимо мала).

Во втором случае отклонение листочек определяется потенциалом шарика относительно земли в тот момент, когда мы приводим его от соединения с электрометром. Этот потенциал зависит от заряда шарика, его размеров и расположения окружающих предметов. При изменении расположения предметов потенциал меняется только с изменением заряда шарика. В момент соединения шарика с ветерком он приобретает потенциал нулевого, но его заряд будет зависеть от того, какого участка поверхности мы коснулись. Если мы коснемся внутренней поверхности ветерка, то заряд шарика будет равен нулю, если внешней, то заряд, очевидно, не равен нулю.

Во время первого заряда шариком его потенциал непрерывно меняется, так как меняется его положение относительно окружающих предметов. В результате данного метром мы измерим распределение заряда на поверхности металла, но не его потенциал.

420. Ответ вытекает из решения задачи 419.

Во втором случае потенциал шарика, а следовательно, и показания электрометра определяются величиной заряда, участка которого шариком с поверхностью исследуемого проводника. При контакте с проводником потенциал шарика имеет одинаковое значение независимо от точки касания. Однако емкость шарика зависит от формы участка поверхности (в частности, от его кривизны), с которой шарик приводится в соприкосновение. Соответственно и заряд, переходящий на шарик, определяется кривизной участка соприкосновения.

421. Потенциал всех точек шара одинаков. Для решения задачи достаточно найти потенциал одной точки. Проще всего найти потенциал центра шара. Он равен потенциалу, созданному в центре шара точечным зарядом: $U = \frac{q}{d}$, плюс потенциал, созданный зарядами, возникающими на поверхности шара вследствие электростатической индукции. Но этот последний потенциал равен нулю, так как суммарный заряд на сфере равен нулю и все элементы заряда находятся на равном расстоянии от центра.

Следовательно, потенциал шара $U = \frac{q}{d}$.

422. Энергия заряженного шара равна работе, которую могут совершить заряды, находящиеся на шаре, если они покинут его и удалятся на бесконечное большое расстояние.

Пусть заряды стекают с шара постепенно. Тогда первый заряд $+q_1$ ($q_1 \ll Q$), удалвшись в бесконечность, произведет ра-

боту, равную $q_1 \varphi_1$, где $\varphi_1 = \frac{Q}{C} = \frac{Q}{R}$ — первоначальный потенциал шара. Следующие заряды производят меньшую работу, так как постепенно теряет заряд и его потенциал уменьшается. Работа последнего заряда $q_n \varphi_n = 0$, потому что потенциал незаряженного шара равен нулю. Средний потенциал шара равен $\varphi = \frac{Q}{2R}$. Учитывая это на первоначальный заряд, получим энергию заряженного шара:

$$W = Q\varphi = \frac{Q^2}{2R}.$$

(Эта энергия называется собственной.)

Тот же результат можно получить, используя график: намечено потенциала шара при уменьшении заряда. График будет представлять собой прямую линию, проходящую под некоторым углом к оси зарядов, а работа будет численно равна площади, ограниченной графиком и осью.

423. Энергия заряженного шара $W = \frac{Q^2}{2R} = \frac{RU^2}{2}$, где R — радиус шара, а U — его потенциал (см. задачу 422).

При разделе эта энергия выделяется в форме тепла. Выражая энергию в калориях, получим: $W = 0,13 \text{ ккал}$. Следовательно, $\frac{q_1}{r_1} - \frac{q_2}{r_2} = \mathfrak{E}$, где q_1 и q_2 — заряды шариков. Согласно закону сохранения заряда $q_1 + q_2 = 0$. Отсюда

$$q_1 = -q_2 = \frac{\mathfrak{E} r_1 r_2}{r_1 + r_2}.$$

По закону Кулона

$$F = \frac{\mathfrak{E}^2 r_1^2 r_2^2}{R^2 (r_1 + r_2)^2} \approx 0,0044 \text{ дин.}$$

425. Пусть первоначально заряды шариков были q_1 и q_2 . Тогда работа $A_1 = \frac{q_1 q_2}{l}$, где l — расстояние между шариками. Заряды шариков после соединения стали одинаковыми: $q = \frac{q_1 + q_2}{2}$, а работа $A_2 = \frac{(q_1 + q_2)^2}{4l}$. Нетрудно видеть, что $A_2 > A_1$. Кроме того,

Однако полный запас энергии шариков по закону сохранения энергии должен быть одинаков в обоих случаях. Так как работа A_1 и, соответственно, A_2 представляет собой потенциальную энергию второго шарика в поле первого в первом и во втором случаях, то

$$A_1 + W_1 = A_2 + Q + W_2,$$

где $W_1 = \frac{q_1^2}{2r} + \frac{q_2^2}{2r}$ — собственная энергия шариков до соединения.

$W_2 = \frac{q^2}{2r} + \frac{q^2}{2r}$ — собственная энергия шариков после пересечения зарядов (см. задачу 422).

Энергия, выделившаяся в форме тепла, равна

$$Q = W_1 - W_2 + A_1 - A_2 = \frac{(q_1 - q_2)^2}{4} \left(\frac{1}{r} - \frac{1}{l} \right).$$

426. Предположим, что радиус оболочки увеличился на δ , где δ — сколь угодно малая величина. Тогда растягивающая сила совершит работу $A = 4\pi R^2 f \delta$, где f — сила, приходящаяся на единицу площади. Эта работа совершается за счет уменьшения электростатической энергии. Вначале электростатическая энергия равна $\frac{Q^2}{2R}$, после растяжения $\frac{Q^2}{2(R+\delta)}$. Изменение энергии

$$\frac{Q^2}{2R} - \frac{Q^2}{2(R+\delta)} = \frac{Q^2}{2} \frac{\delta}{R(R+\delta)}$$

равно работе A , т. е.

$$4\pi R^2 f \delta = \frac{Q^2 \delta}{2R(R+\delta)}.$$

Учитывая, что величина δ сколь угодно мала, получаем для силы следующее выражение:

$$f = \frac{Q^2}{8\pi R^4} = 2\pi \sigma^2.$$

Здесь через $\sigma = \frac{Q}{4\pi R^2}$ обозначена плотность электричества, т. е. заряд, приходящийся на единицу площади.

Можно определить некоторую силу и непосредственно. Рассмотрим на сфере малую площадку s (рис. 416).

Найдем напряженность E_1 электрического поля на рассматриваемой площадке, созданную всеми зарядами, за исключением зарядов, находящихся на самой площадке. Для определенности рассмотрим случай, когда сфера несет положительный заряд.

Обозначим через E_2 напряженность электрического поля, создаваемого зарядами, находящимися на рассматриваемой площадке. Так как внутри сферы результатирующая напряженность равна нулю, то $E_1 = E_2$.

Результатирующая напряженность на сфере $E_1 + E_2 = \frac{Q}{R^2}$. Следовательно, $2E_1 = \frac{Q}{R^2} = 4\pi\sigma$. Отсюда $E_1 = 2\pi\sigma$.

Для того чтобы определить силу, действующую со стороны всех зарядов, не находящихся на площадке, на заряд, находящийся на площадке, надо напряженность E_1 умножить на величину

электрического заряда площадки as :

$$F = E_1 as = 2\pi\sigma^2 s.$$

Сила, приходящаяся на единицу площади, будет равна $f = 2\pi\sigma^2$. находясь на равных расстояниях a от него (рис. 417). Сумма сил, действующих на заряд $-Q$, также равна нулю:

$$\frac{Q^2}{4a^2} - \frac{Qq}{a^2} = 0.$$

Отсюда $q = \frac{Q}{4}$. Расстояние a может быть любым. Равновесие неустойчиво, так как при смещении заряда $-Q$ плоскость OO_1 на расстояние x явно сила притяжения

$$F_q = \frac{Q^2}{4(a+x)^2},$$

действующая со стороны заряда q , меньшее силы отталкивания

$$F_Q = \frac{Q^2}{(2a+x)^2}$$

и заряд $-Q$ уходит еще дальше от положения равновесия. При смещении заряда $-Q$ вдоль OO_1 на заряду q $F_q > F_Q$ для $x \ll a$, и система не возвращается к положению равновесия.

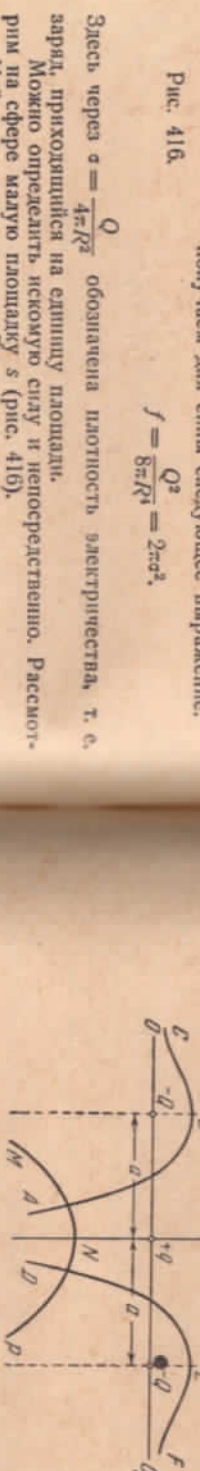


Рис. 417.

Также нарушает равновесие, как нетрудно видеть, произвольное перемещение заряда q .

Потенциальная энергия заряда $-Q$ в поле двух других зарядов равна

$$W_1 = -Q \left(\frac{q}{y} - \frac{Q}{a+y} \right) = \frac{Q^2}{4} \cdot \frac{3y-a}{y(a+y)},$$

где y — расстояние между зарядом q и одним из зарядов $-Q$. Зависимость W_1 от y при $0 < y < \infty$ изображена кривой ABC для одного заряда q при неподвижных зарядах $-Q$ равна

$$W_2 = q \left(\frac{-Q}{a-z} - \frac{Q}{a+z} \right) = -\frac{Q^2}{2} \cdot \frac{a}{a^2 + z^2},$$

где z — смещение заряда q от положения равновесия. При изменении z от 0 до a энергия меняется в соответствии с кривой MNP (рис. 417).

Характерно, что максимумы всех трех потенциальных кривых соответствуют положению зарядов при равновесии. Именно с этим связано неустойчивость равновесия.

423. Работа, совершаемая полем индуцированных отрицательных зарядов при перемещении заряда $+q$, равна работе, совершаемой полем заряда $-q$ (см. задачу 413). Работа, совершаемая при перемещении как заряда $+q$, так и заряда $-q$, равна $\frac{q^2}{2d}$. Следовательно, искомая кинетическая энергия заряда, равная работе перемещения только одного заряда, будет $\frac{q^2}{4d}$.

429. Докажем сначала, что напряженность электрического поля во всех точках, лежащих на плоскости сечения OO' , направлена перпендикулярно этой плоскости.

Для доказательства возьмем произвольную точку в плоскости сечения и две малые площадки, произвольно, но симметрично расположенные на цилинре относительно сечения OO' . Легко видеть, что результатирующая напряженность поля, созданная зарядами на этих площадках, будет направлена вдоль оси цилиндра (рис. 418).

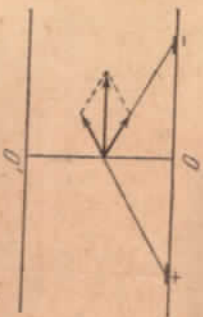


Рис. 418.

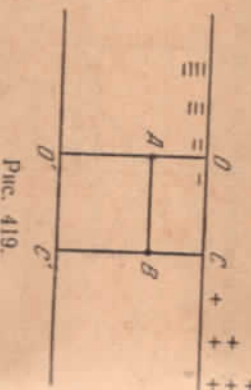


Рис. 419.

Так как для каждого элемента найдется симметрично расположенный относительно плоскости сечения другой элемент, то из этого следует, что напряженность, создаваемая всеми элементами, будет параллельна оси цилиндра.

Покажем теперь, что напряженность будет одинакова во всех точках, которые отстоят от оси цилиндра на одно и то же расстояние.

Пусть A и B — две такие точки (рис. 419). Напряженность поля внутри цилиндра не изменится, если, помимо имеющегося заряда, каждому квадратному сантиметру поверхности цилиндра сообщить один и тот же дополнительный отрицательный заряд, чтобы плотность зарядов в точке C была равна нулю. Это очевидно из того факта, что поле внутри бесконечного, равномерно заряженного цилиндра равно нулю.

В этом случае распределение плотности зарядов на поверхности цилиндра (рис. 419) будет иметь тот же самый вид, что и на рис. 152. Следовательно, напряженность в точках A и B одинакова,

остается показать, что напряженность поля в точках, отстоящих на разные расстояния от оси цилиндра, одинакова.

Для доказательства рассмотрим контур $BKL'D$ (рис. 420). Как известно, работа по замкнутому контуру в случае электростатического поля равна нулю. Работа на участках KL и DB равна нулю, поскольку напряженность поля перпендикулярна пути, работа на участке BK равняется $-E_B l$, а на участке LD равна $E_D l$ (по локальному выше $E_B = E_K$, $E_D = E_L$). Следовательно, $-E_B l + E_D l = 0$, т. е. $E_B = E_D$.

Таким образом, доказано, что напряженность электрического поля внутри цилиндра будет одинаковой во всех точках и эта напряженность направлена вдоль оси цилиндра. Заметим, что подобное распределение заряда на поверхности проводника возникает при прохождении по нему постоянного тока.

430. Понятие электромкости может быть введено потому, что отношение заряда, сообщенного проводнику, к тому приращению потенциала, которое вызвано этим зарядом, не зависит от величины заряда. Точно так же для сосуда отношение количества жидкости, наливаемой в сосуд, к понижению уровня в нем должно быть величиной постоянной. Это будет справедливо для любого сосуда, площадь поперечного сечения которого постоянна.

431. Рассчитать точно электромкость человеческого тела невозможно вследствие очень сложной формы тела. Тем не менее по норме величина емкости тела можно.

Найдем, какую электромкость имел бы человеческий тело, если бы человек имел форму шара. Следует ожидать, что это и даст приближенное значение емкости тела. Так как средний удельный вес человеческого тела $d \approx 1 \text{ г/см}^3$, то радиус шара, вес которого равен весу человека, найдется из уравнения

$$\frac{4}{3} \pi R^3 d = 60000 \text{ г.}$$

Очевидно, учитывая, что емкость шара равна его радиусу, находим:

$$C = \sqrt[3]{\frac{3 \cdot 6 \cdot 10^4}{4\pi}} \approx 25 \text{ см.}$$

Измерения дают близкую величину: $C \approx 30 \text{ см.}$

432. Электрометр будет показывать \pm д. с. гальванического элемента независимо от величины емкости конденсатора.

433. 1) $U = 4E_B \cdot d = 8.4 \cdot 10^4 \text{ в.}$
2) На каждый «воздушный» конденсатор можно поставить напряжение $U_1 = E_B \cdot d = 2.1 \cdot 10^4 \text{ в.}$
При этом заряд на конденсаторе будет $Q = C_1 U_1 = \frac{S U_1}{4 \pi d}$. При последовательном соединении заряд всех конденсаторов одинаков.

Следовательно, напряжение на конденсаторе со стеклом будет

$$U_2 = \frac{Q}{C_2} = \frac{U_1}{\varepsilon}$$

напряжение не больше, чем $U = 3U_1 + U_2^2 = 6.6 \cdot 10^4$ в, то все четыре конденсатора будут пробиты. Последним пробьется конденсатор со стеклянным диэлектриком.

Если напряжение будет больше, чем $6.6 \cdot 10^4$ в, то все четыре конденсатора будут пробиты. Последним пробьется конденсатор со стеклянным диэлектриком.

434. Работа сил электростатического поля при перемещении заряда по замкнутому контуру равна нулю. Поэтому

$$\mathfrak{E}_1 - U_1 + \mathfrak{E}_2 - U_2 = 0.$$

Заряды на конденсаторах одинаковы, ибо сумма зарядов, находящихся как на верхнем, так и на нижнем проводниках, равна нулю. Следовательно, $q = C_1 U_1 = C_2 U_2$.

Отсюда

$$U_1 = \frac{C_2}{C_1 + C_2} (\mathfrak{E}_1 + \mathfrak{E}_2) = 17.5 \text{ кв.}$$

$$U_2 = \frac{C_1}{C_1 + C_2} (\mathfrak{E}_1 + \mathfrak{E}_2) = 7.5 \text{ кв.}$$

а заряд батареи равен Q . Найдя ёмкость батареи значит найти

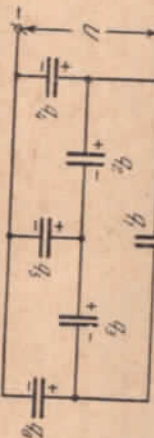


Рис. 421.

емкость такого конденсатора, который имел бы при напряжении U тот же заряд Q на пластинках, что и батарея. Следовательно,

$$C_0 = \frac{Q}{U}$$

причём

$$Q = q_1 + q_2 + q_3 = q_1 + q_5 + q_6$$

(рис. 421), а $U = U_4 = \frac{q_4}{C}$. Работа сил электростатического поля при обходе по замкнутому контуру равна нулю. Отсюда

$$\frac{q_1}{C} - \frac{q_2}{C} - \frac{q_3}{C} = 0, \quad \frac{q_5}{C} - \frac{q_6}{C} + \frac{q_6}{C} = 0,$$

Кроме того, проводник, соединяющий второй, третий и пятый конденсаторы, электронейтрален. Следовательно,

$$q_3 + q_5 - q_2 = 0.$$

решая эти уравнения, получим:

$$q_1 = q_2 = q_5 = q_6 = \frac{q_4}{2}, \quad q_3 = 0.$$

Следовательно, $C_0 = 2C$.

436. Пусть батарея конденсаторов заряжена. Тогда точки 1, 2, 3 будут иметь одинаковый потенциал и их можно будет соединить между собой. Так же можно соединить точки 4, 5, 6 (рис. 155). В результате получим эквивалентную схему, изображенную на рис. 422.

Ёмкость отдельных участков $3C, 6C, 3C$. Общая ёмкость найдется из формулы

$$\frac{1}{C_0} = \frac{2}{3C} + \frac{1}{6C}.$$

Отсюда $C_0 = 1.2C$.

437. При пробое искровых промежутков происходит автоматическое переключение параллельного соединения конденсаторов на последовательное. При этом напряжение между соответствующими обкладками конденсаторов растет, так как ёмкость системы падает.

Действительно, из-за большого сопротивления проводников AB и CD можно преиспользовать токами, протекающими по ним за время разряда, и рассмотреть их как изолаторы, через которые конденсаторы не разряжаются.

Эквивалентная схема после пробоя первого искрового промежутка изображена на рис. 423.

В результате пробоя первого промежутка разность потенциалов на втором промежутке будет равна сумме напряжений на первом и втором конденсаторах, т. е.

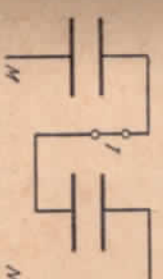


Рис. 423.

увеличится вдвое. Вследствие этого начнется пробой второго промежутка.

В момент пробоя n -го промежутка напряжение на нем достигнет величины $V = nV_0$.

Сопротивления проводников AB и CD должны быть большими, чтобы при временах последовательного соединения пластин конденсаторов при про-

бое промежутков конденсаторы не успевали разряжаться через эти проводники.

438. Да, будет. Каждая из пластин обладает определенной, обычно небольшой ёмкостью относительно земли (близи краев пла-

стин силовые линии искривляются и достигают земли).

Эквивалентная схема изображена на рис. 424.

Ёмкость пластины конденсатора относительно земли изображена

в виде малых ёмкостей C_1 и C_2 .

При замыкании левой пластины нейтрализуется часть заряда, находящегося на ней. Это же произойдет при замыкании правой пластины. Конденсатор будет разряжаться тем медленнее, чем больше емкость конденсатора по сравнению с емкостью пластин относительно земли.

439. Начальное состояние системы изображено эквивалентной схемой (рис. 425, а). Полный заряд конденсатора $Q + q$. Следовательно заряд $+Q$ оканчивается на другой пластине конденсатора. Следовательно линии заряда $+q$ и $-q$ оканчиваются или начинаются из земли. Так как $C \gg C_1 = C_2$, то $Q \gg q$. При замыкании конденсатора C_2 заряд $-q$ неизменяется. Равнота потенциалов между пластинами конденсатора C должна оставаться равной приближительно U , так как $q \ll Q$. Работа по перемещению заряда вдоль контура $ABCDA$ равна нулю. Следовательно, напряжение на конденсаторе C_1 должно стать равным $\approx U$, заряды на нем станут равны $+2q$ и $-2q$. На пластинках конденсатора C заряды будут $+Q - q$ и $-Q + q$ соответственно (рис. 425, б).

При отсоединении от земли конденсатора C распределение зарядов, а следовательно, и потенциала не изменится. При замыкании конденсатора C_1 произойдет перераспределение зарядов, изображенное на рис. 425, в. Только в этом случае получаются

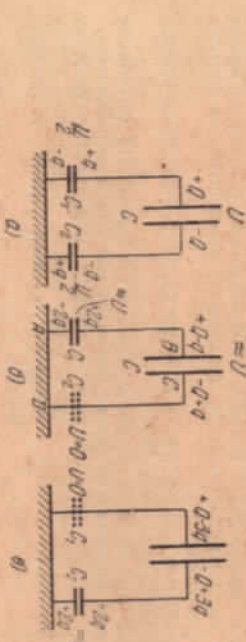


Рис. 425.

требуемые потенциалы относительно земли: левой пластине 0 , а правой $\approx U$. При поочередном заземлении пластин разность потенциалов между пластинами будет постепенно падать за счет уменьшения заряда.

440. Не изменится. При попарном заземлении пластин будут происходить те же процессы, что и при отсутствии батареи (см. задачу 439). Единственное различие в том, что разность потенциалов между пластинами все время поддерживается постоянной. Следовательно,

$$W_0 = \frac{1}{2} (C_1 U_1^2 + C_2 U_2^2).$$

После соединения

$$W = \frac{1}{2} \frac{Q^2}{C_1 + C_2} = \frac{1}{2} \frac{(C_1 U_1 + C_2 U_2)^2}{C_1 + C_2},$$

легко показать, что $W_0 > W$. Разность энергий

$$W_0 - W = \frac{C_1 C_2}{C_1 + C_2} (U_1^2 + U_2^2 - 2U_1 U_2) > 0;$$

при $U_1 = U_2$, $W_0 - W = 0$, а при $C_1 = C_2$ и $U_2 = 0$ $W_0 = 2W$. При Электростатическая энергия уменьшилась вследствие того, что при соединении этих конденсаторов проводниками заряды перешли с одного конденсатора на другой. В проводниках, соединяющих конденсаторы, выделось при этом тепло. Количество выделенного тепла не будет зависеть от сопротивления соединительных проводов. При малом сопротивлении проводов в них будут протекать большие токи, и наоборот.

$$442. \text{ Вследствие поляризации диэлектрика напряженность в точках } A \text{ и } C \text{ увеличится, а в точке } B \text{ уменьшится.}$$

$$443. E = \frac{\epsilon S}{\pi R} = 50,2 \text{ ед. СГЭ.}$$

444. Емкости, а следовательно, и заряды шариков при погружении их в керосин увеличиваются в π раз:

$$q'_1 = \pi q_1, \quad q'_2 = \pi q_2.$$

Сила же взаимодействия зарядов в диэлектрике уменьшается в π раз. Следовательно,

$$F = \frac{q'_1 q'_2}{\pi R^2} = \frac{\pi q_1 q_2}{R^2} = \frac{\epsilon \epsilon_0 r_1 r_2^2}{R^2 (r_1 + r_2)^2} \approx 0,0088 \text{ дин.}$$

Сила взаимодействия возрастает в π раз, в то время как для шариков, откаченных от батареи, она уменьшилась бы в π раз.

$$445. \text{ В результате перемещения пластин величина заряда на конденсаторе увеличится на}$$

$$\Delta Q = Q_2 - Q_1 = \frac{\epsilon S}{4\pi} \left(\frac{1}{d_2} - \frac{1}{d_1} \right).$$

При этом батарея совершила работу

$$A = \epsilon \Delta Q = \frac{\epsilon^2 S}{4\pi} \left(\frac{1}{d_2} - \frac{1}{d_1} \right),$$

Электростатическая энергия конденсатора увеличится на

$$\Delta W = W_2 - W_1 = \frac{\epsilon Q_2}{2} - \frac{\epsilon Q_1}{2} = \frac{\epsilon^2 S}{8\pi} \left(\frac{1}{d_2} - \frac{1}{d_1} \right).$$

При сближении пластин была совершена механическая работа A . На основании закона сохранения энергии $A = A_1 + \Delta W$.

$$\text{Следовательно, } A_1 = A - \Delta W = \frac{\epsilon^2 S}{8\pi} \left(\frac{1}{d_2} - \frac{1}{d_1} \right).$$

За счет работы батареи произошло увеличение электростатической энергии конденсатора и была совершена механическая работа A .

446. Рассмотрим для простоты диэлектрик в форме однородного сильно вытянутого параллелепипеда (рис. 426), разложим поле E_0 , в которое помешан диэлектрик, на составляющие, направленные вдоль стержня и перпендикулярно ему. Эти составляющие вызовут повышение связанных зарядов на поверхностях AB , CD , BC и AD . Поле связанных зарядов между концами AD , BC и AB , DC ослабляет составляющую поля E_0 внутри

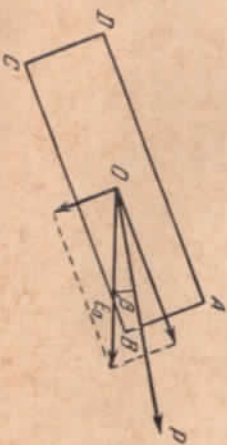


Рис. 426.

диэлектрика, причем составляющая, перпендикулярная стержню, ослабляется сильнее, так как связанные заряды на поверхностях AD и BC расположены близко друг к другу и их поле подобно однородному полю плоского конденсатора, в то время как заряды на поверхностях малой площине разделены далеко друг от друга. Поэтому полное поле внутри диэлектрика не будет совпадать по направлению с полем E_0 . Следовательно, возникающие линии будут ориентированы не вдоль E_0 , а вдоль некоторого направления $O'D$, составляющего угол β с E_0 . (Это относится как к обоям, так и к дипольным молекулам.) В электрическом отношении (полюсов, влияющий угол β с полем E_0). В этом поле он будет поворачиваться до тех пор, пока не установится вдоль поля. Поле связанных зарядов является внутренней силой и не может вызвать поворота диэлектрика.

447. а) Емкость конденсатора будет равна емкости параллельно соединенных конденсаторов, из которых один заполнен диэлектриком, а другой нет, т. е.

$$C = \frac{eS}{4\pi d} + \frac{S(l-l_1)}{4\pi d} = \frac{S}{4\pi d} \left\{ 1 + (e-1) \frac{l_1}{l} \right\}.$$

б) Электрическое поле между обкладками конденсатора не изменяется, а следовательно, не изменится и емкость, если верхнюю поверхность диэлектрика покрыть бесконечно тонким слоем проводника. Поэтому искомая емкость будет равна емкости двух последовательно соединенных конденсаторов:

$$C = \frac{C_0 C_1}{C_0 + C_1}, \text{ где } C_0 = \frac{S}{4\pi(d-d_1)} \text{ и } C_1 = \frac{eS}{4\pi d_1}.$$

Следовательно,

$$C = \frac{eS}{4\pi \{d_1 + e(d-d_1)\}}.$$

448. Предположим для простоты рассуждений, что две параллельные металлические пластины, несущие заряды $+Q$ и $-Q$, помещены в жидкий диэлектрик. Напряженность электрического поля между пластинами $E = \frac{4\pi Q}{eS}$. Напряженность поля, созданная каждой пластиной, будет равна

$$E_1 = E_2 = \frac{2\pi Q}{eS}.$$

Определим силу, действующую со стороны, например, первой пластины на вторую. Для этого надо напряженность поля, созданную первой пластиной, умножить на величину заряда, находящегося на второй пластине. Таким образом,

$$F = \frac{2\pi Q^2}{eS}.$$

Предположим, что первая пластина закреплена, а вторая может очень медленно перемещаться (изменением механической энергии диэлектрика пренебрежим). Работа, которую может совершить электрическое поле при перемещении пластины до непосредственного соприкосновения, будет равна произведению силы F (сила F постоянна) на величину перемещения d , т. е.

$$A = F \cdot d = \frac{2\pi Q^2 d}{eS}.$$

Эта работа совершиается за счет удалки электрической энергии конденсатора. Таким образом, электрическая энергия будет равна

$$W = \frac{2\pi Q^2 d}{eS} = \frac{Q^2}{2C}, \text{ или } W = \frac{QU}{2},$$
где U — разность потенциалов. Полученная формула справедлива для любых диэлектриков.

449. Напряженность поля внутри полости складывается из E и той напряженности, которая создается зарядами, возникшими на поверхности полости вследствие поляризации диэлектрика (рис. 427).

В первом случае влияние поляризационных зарядов ничтожно мало и $E_1 = E$. Во втором случае действие зарядов на поверхностях полости полностью компенсируется действием зарядов, находящихся на поверхности диэлектрика, примыкающих к металлическим обкладкам конденсатора. Поэтому эта искомая напряженность равна той напряженности, которая была бы, если бы диэлектрик совсем удалить, т. е.

$$E_2 = eE.$$

451. Энергия конденсатора в случае, когда диэлектрик внутри на расстояние x внутрь конденсатора, будет равна

$$W_1 = \frac{Q^2}{2C} = \frac{SU^2}{8\pi d} \cdot \frac{1}{1 + (\epsilon - 1) \frac{x}{l}},$$

так как $C = \frac{S}{4\pi d} \left\{ 1 + (\epsilon - 1) \frac{x}{l} \right\}$, а $Q = \frac{S}{4\pi d} U$ (см. задачу 447).

Если x увеличится на δ , то энергия уменьшится и будет равна

$$W_2 = \frac{SU^2}{8\pi d} \cdot \frac{1}{1 + (\epsilon - 1) \frac{x + \delta}{l}}.$$

Разность энергий

$$W_1 - W_2 = \frac{SU^2}{8\pi d} \cdot \frac{(e - 1) \frac{\delta}{l}}{\left\{ 1 + (\epsilon - 1) \frac{x + \delta}{l} \right\} \left\{ 1 + (\epsilon - 1) \frac{x}{l} \right\}}$$

будет равна работе искомой силы F на пути δ . На этом пути значение силы, вообще говоря, изменяется, но если δ взять достаточно малым, то можно написать

$$W_1 - W_2 = F\delta.$$

Отсюда следует, что

$$F = \frac{SU^2}{8\pi dl} \cdot \frac{\epsilon - 1}{\left\{ 1 + (\epsilon - 1) \frac{x}{l} \right\}^2},$$

если пренебречь δ в знаменателе.

Надо отговориться, что в то время как при полномете энергии считали, что поле внутри конденсатора однородно, и пренебрегали краевыми эффектами, для физического объяснения силы, действующей на диэлектрик, обязательно надо принять во внимание неоднородность поля у краев.

452. Энергия конденсатора в случае, когда диэлектрик вставлен на расстояние x внутрь конденсатора, будет равна

$$W_1 = \frac{1}{2} U^2 C = \frac{1}{2} U^2 \frac{S}{4\pi d} \left\{ 1 + (\epsilon - 1) \frac{x}{l} \right\}.$$

Если x увеличится на δ , то энергия конденсатора увеличится на

$$W_2 - W_1 = \frac{U^2 S}{8\pi d} (\epsilon - 1) \frac{\delta}{l}.$$

Заряд на обкладках конденсатора при перемещении диэлектрика на расстояние δ увеличится при этом на

$$Q_2 - Q_1 = \frac{US}{4\pi d} (\epsilon - 1) \frac{\delta}{l}.$$

Работа, совершаемая батареей при перемещении такого конденсатора электростатиста, будет равна

$$A = (Q_2 - Q_1) U = \frac{U^2 S}{4\pi d} (\epsilon - 1) \frac{\delta}{l}.$$

Эта работа частично идет на приращение электростатической энергии конденсатора, а частично — на втягивание диэлектрика. Объясним, как и в предыдущей задаче, через F силу, с которой втягивается диэлектрик в конденсатор. Тогда на основании закона сохранения энергии имеем: $A = W_2 - W_1 + F\delta$, т. е.

$$\frac{U^2 S}{4\pi d} (\epsilon - 1) \frac{\delta}{l} = \frac{U^2 S}{8\pi d} (\epsilon - 1) \frac{\delta}{l} + F\delta.$$

Отсюда

$$F = \frac{U^2 S}{8\pi d l} (\epsilon - 1).$$

В этом случае, как мы видим, сила постоянна и не зависит от x .

453. На керосин в левом колене, кроме веса, направлению поля, действуют электростатические силы, направленные поверх. При этом те и другие силы приложены ко всем элементам объема жидкости. В результате гидростатическое давление в керосине будет ослабляться, как если бы его удельный вес уменьшился. Поэтому постоянная сила, действующая на шарик в левом колене, будет такой же, как и в правом, несмотря на то что шариков здесь больше.

453. Напряженность поля в диэлектрике будет равна

$$E = \frac{U}{d} = \frac{Q}{Cd} = \frac{4\pi Q}{\epsilon S} = \frac{4\pi}{\epsilon} \sigma_0,$$

$$\text{где } \sigma_0 = \frac{Q}{S}.$$

Эта напряженность со-

Рис. 428.

зывается свободными зарядами, находящимися на пластинках конденсатора, и связанными зарядами, возникшими вследствие поляризации диэлектрика. Связанные заряды находятся на поверхности диэлектрика. Обозначим плотность этих зарядов через σ_1 (рис. 428). Напряженность поля, создаваемого связанными зарядами, равна $E_0 = 4\pi\sigma_0$, а напряженность поля, созданного связанными зарядами, $E_1 = 4\pi\sigma_1$.

Таким образом, разделяющая напряженность $E = E_0 - E_1 =$

$$= 4\pi (\sigma_0 - \sigma_1) = \frac{4\pi\sigma_0}{\epsilon}.$$

Из последнего соотношения находим величину $\sigma_1 = \frac{\epsilon - 1}{\epsilon} \sigma_0$.

Для определения силы, действующей, например, на верхнюю поверхность диэлектрика, надо подсчитать напряженность поля на этой поверхности, созданную всеми зарядами за исключением

зарядов, находящихся на самой поверхности. Эта напряженность будет равна

$$E_0 - \frac{E_1}{2} = 4\pi\sigma_0 - 2\pi\sigma_1 = 2\pi\sigma_0 \frac{\epsilon + 1}{\epsilon}$$

Сила, действующая на верхнюю поверхность диэлектрика, будет направлена вверх и равна

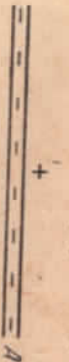
$$F = 2\pi\sigma_0 \frac{\epsilon + 1}{\epsilon} \cdot \frac{\epsilon - 1}{\epsilon} \sigma_0 S.$$

Такая же сила будет действовать на нижнюю поверхность диэлектрика.

Таким образом, диэлектрик будет растягиваться и на единицу площади диэлектрика будет действовать сила, равная

$$f = 2\pi\sigma_0 \frac{\epsilon^2 - 1}{\epsilon^2}.$$

454. Вследствие того, что под действием поля произошла полная ориентация молекул в слое толщиной λ около положительного заряда, пластины будут находиться концами «стапелей», имеющими



только отрицательные электрические заряды, а около отрицательного заряда, а около отрицательной пластины — концы «стапелей», имеющих положительный электрический заряд (рис. 429).

На расстоянии, большем чем λ от пластин, внутри диэлектрика количество отрицательных зарядов внутри пластины — и положительных зарядов одинаково.

Рис. 429.

Напряженность поля внутри диэлектрика, создаваемого зарядами, находящимися в слоях A и B , равна $E_1 = E_0 - 4\pi q\lambda/n$.

Надо заметить, что ориентирующее действие поля будет всегда препятствовать дальнейшему тепловому движению, которое в расчетах не принималось.

455. Обозначим полную напряженность поля в диэлектрике через E . Расстояние λ , на которое раздвинулись заряды в каждой молекуле, определяется из соотношения $k\lambda = qE$. Как и при решении задачи 454, получаем:

$$E_1 = 4\pi\sigma_1 = 4\pi q\lambda n = 4\pi \frac{q^2 n}{k} E,$$

$$E = E_0 - E_1 = E_0 - 4\pi \frac{q^2 n}{k} E.$$

Диэлектрическая проницаемость ϵ определяется из соотношения $E = \frac{E_0}{\epsilon}$.

$$\text{Отсюда } \epsilon = 1 + 4\pi \frac{q^2}{k} n.$$

456. При различении в молекуле зарядов $+q$, $-q$ на расстояние λ совершается работа $\frac{k\lambda^2}{2}$ (см. задачу 137).

Энергия, запасенная в диэлектрике,

$$W_1 = \frac{k\lambda^2}{2} N,$$

где $N = S/n = Vn$ — число молекул в объеме V диэлектрика, находящегося между пластинами конденсатора. Таким образом,

$$W_1 = n \frac{k\lambda^2}{2} V.$$

Так как $\lambda = \frac{qE}{k}$, то $W_1 = n \frac{q^2 E^2}{2k} V$. Выражая $\frac{nq^2}{k^2}$ через $\epsilon \left(\frac{\epsilon - 1}{4\pi} \right) = \frac{q^2 n}{k}$, получаем для W_1 значение

$$W_1 = \frac{\epsilon - 1}{8\pi} E^2 V.$$

Эту полную энергию W можно представить в виде суммы чисто электростатической энергии конденсатора равна

$$W = \frac{Q^2}{2C} = \frac{\epsilon - 1}{8\pi} E^2 V.$$

И энергию, запасенную в диэлектрике,

$$W_1 = \frac{\epsilon - 1}{8\pi} E^2 V.$$

§ 20. Постоянный электрический ток

457. При прохождении по проводнику постоянного тока электрическое поле внутри проводника постоянно и направлено вдоль него. Работа электрического поля при перемещении заряда вдоль замкнутого контура $abcd$ (рис. 430) равна нулю. Участки ad и bc будем считать сколь угодно малыми, так что работой на них можно пренебречь. Следовательно, работа вдоль ab равна работе вдоль dc . Поэтому тангенциальная составляющая поля вблизи поверхности проводника должна равняться

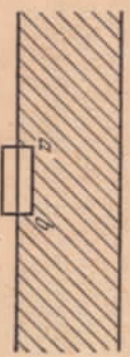


Рис. 430.

Увеличение наклона линий вблизи закругления объясняется тем, что тангенциальная составляющая поля у поверхности проводника

в случае проводника постоянного сечения постоянна (см. задачу 457), а нормальная составляющая убывает по мере приближения к закруглению, так как разность потенциалов между соответствующими участками, лежащими на противоположных сторонах дуги, уменьшается.

459. Применив закон Ома к участкам цепи AB , имеем:

$$\frac{I}{V} = \frac{1}{r} + \frac{1}{IR}.$$

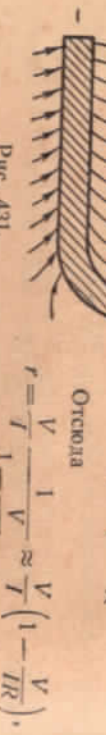


Рис. 431.

так как $\frac{V}{IR} = 0.008 \ll 1$; окончательно $r = 20.16 \text{ ом}$.

460. Уменьшение чувствительности гальванометра в n раз означает, что через него течет ток I_1 , в n раз меньший, чем ток в оставшейся части цепи до разветвления. Следовательно, ток I_2 через шунг составляет $\frac{n-1}{n}$ тока I в оставшейся части цепи. Поэтому

$$\frac{r}{R} = \frac{I_1}{I_2} = \frac{1}{n-1}.$$

Отсюда $r = \frac{R}{n-1} \approx 204 \text{ ом}$.

461. Искомая ошибка $P = \frac{V_0 - V}{V_0}$, где V_0 — напряжение на сопротивлении R до включения вольтметра, а V — напряжение после включения вольтметра.

По закону Ома $V_0 = IR$ и $V = I \frac{RR_0}{R+R_0}$, R_0 — сопротивление вольтметра. Следовательно,

$$P = \frac{R/R_0}{1 + \frac{R}{R_0}}$$

определяется только отношением сопротивлений участка цепи и вольтметра. При $R_0 \gg R$ ошибкой можно пренебречь.

462. До включения амперметра $I_0 = \frac{V}{R}$; после включения $I = \frac{V}{R+R_0}$, где R_0 — сопротивление амперметра. Ошибка

$$P = \frac{I_0 - I}{I_0} = \frac{1}{1 + \frac{R}{R_0}}.$$

При $R_0 \ll R$ ошибкой можно пренебречь.

318

463. При последовательном соединении сопротивление цепи

$$R = R_{01} + R_{02} + \alpha_1 R_{01} t + \alpha_2 R_{02} t.$$

С другой стороны, можно написать $R = R_0(1 + \alpha't)$, где $R_0 = R_{01} + R_{02}$, а α' — некоторый температурный коэффициент. Отсюда

$$\alpha' = \frac{R_{02}\alpha_1 + R_{01}\alpha_2}{R_{01} + R_{02}},$$

или

$$R = \frac{R_{01}R_{02}}{R_{01}(1 + \alpha_1 t) + R_{02}(1 + \alpha_2 t)} = R_0(1 + \alpha''t).$$

При параллельном соединении

$$R_0 = \frac{R_{01}R_{02}}{R_{01} + R_{02}}.$$

Опускаем члены, пропорциональные произведению температурных коэффициентов, как малые, получим:

$$\alpha'' = \frac{R_{02}\alpha_1 + R_{01}\alpha_2}{R_{01} + R_{02}}.$$

464. Точки A и C имеют одинаковые потенциалы, так как соответствуют проводом, сопротивлением которого можно пренебречь, так же одинаковы потенциалы точек B и D . Поэтому концы сопротивлений A, C и соответствующие B, D можно считать соединенными вместе. Таким

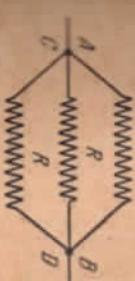


Рис. 432.

образом, сопротивления AB , CB и CD соединены параллельно. Соответствующая эквивалентная схема представлена на рис. 432.

Полное сопротивление равно $R/3$.



Рис. 433.

465. Вследствие симметрии очевидно, что ток в проводнике $l-7$ равен току в проводнике $7-4$, ток $2-7$ равен току $7-3$, ток $6-7$ и $1-6$ сложателльно, сопротивление шестигранника не изменится, если отсоединить проводники $2-7$, $7-3$, $6-7$ и $5-7$ от центра (рис. 433). Сопротивление же этой схемы, которая эквивалентна исходной, легко вычислить. Сопротивление верхней части схемы равно $\frac{1}{3}R$. Таково же сопротивление нижней части.

Полное сопротивление R_x найдется из соотношения

$$\frac{1}{R_x} = \frac{1}{2R} + \frac{6}{8R}.$$

$$\text{Отсюда } R_x = \frac{4}{5}R.$$

319

2, 3 и 6 равны. Точно так же равны потенциалы вершин куба (рис. 166).

Поэтому вершины 2, 3, 6 и 4, 5, 7 мы можем соединить проводниками, лишенными сопротивления, — «шпинами». Сопротивление куба от этого не изменится. Таким образом, шина соединена друг с другом шестью проводниками: 2—7, 2—4, 3—5, 3—4, 6—7 и 6—5. Сопротивление схемы (рис. 434) равно некоторому сопротивлению куба:

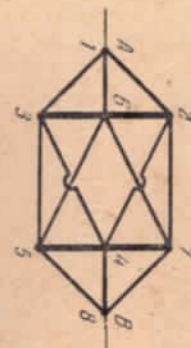


Рис. 434.

$$R_x = \frac{R}{3} + \frac{R}{6} + \frac{R}{3} = \frac{5}{6} R.$$

467. Сопротивление участка CD равно $R_{CD} = \frac{R_{10}}{R_2 + \rho} = 40$ ом.

Сопротивление всей цепи $R_{AB} = R_1 + R_{CD} = 100$ ом. Ток $I = \frac{U}{R_{AB}} = 1,2$ а. Падение напряжения на участке CD равно $U_1 = IR_{CD} = 48$ в.

468. Сопротивление между точками A и B

$$R_{AB} = \frac{1}{\frac{2}{r_a + r_b} + \frac{1}{r_c}} = \frac{(r_a + r_b)r_c}{r_a + r_b + 2r_c},$$

где

$$r_a = \rho \frac{a}{S}, \quad r_b = \rho \frac{b}{S}, \quad r_c = \rho \frac{\sqrt{a^2 + b^2}}{S}.$$

Рис. 435.

Сопротивление между точками C и D найдем, рассмотрев токи, текущие в ветвях цепи (см. рис. 435). Из соображенний симметрии очевидно, что токи в проводниках DB и AC , а также AD и BC равны, соответственно, друг другу, причем ток в проводнике AD равен $i_1 + i_2$, так как сумма сил токов в узле A равна нулю.

На участке DAC

$$(i_1 + i_2)r_a + i_1r_b = U_{DC},$$

и на участке $DABC$

$$2(i_1 + i_2)r_a + i_2r_c = U_{DC}.$$

$$I_1 = \frac{r_a + r_c}{2r_ar_b + r_ar_c + r_b r_c} U_{DC},$$

$$I_2 = \frac{r_b - r_a}{2r_ar_b + r_ar_c + r_b r_c} U_{DC}.$$

Некоторое сопротивление

469. Если ток через гальванометр не идет, то потенциалы точек C и D одинаковы, и ток I_1 через сопротивление R_x равен тому через сопротивление R_0 , а ток I_2 идет по охороде AB одинаков во всех сечениях.

По закону Ома

$$I_1 R_x = I_2 I_1 \frac{\rho}{S} \quad \text{и} \quad I_1 R_0 = I_2 I_2 \frac{\rho}{S},$$

ρ — удельное сопротивление, S — поперечное сечение реохорда.

Отсюда $\frac{R_x}{R_0} = \frac{I_1}{I_2}$.



Рис. 436.

470. Между точками C и D необходимо включить такое сопротивление r , чтобы сопротивление последней ячейки (рис. 436) было равно R . В этом случае последнюю ячейку можно будет заменить сопротивлением r , затем то же сделать с предпоследней ячейкой и т. д. Тогда общее сопротивление цепочки не будет зависеть от числа ячеек и будет равно R . Для r можно составить уравнение:

$$\frac{(2R + r)R}{3R + r} = r.$$

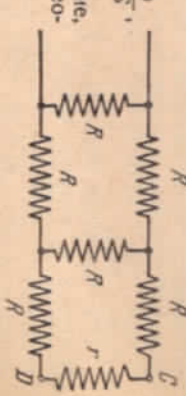


Рис. 437.

471. Последняя ячейка представляет собой делитель напряжения, уменьшающий потенциал n -й точки по сравнению с $(n-1)$ -й в k раз. Следовательно, $U_n = \frac{U_{n-1}}{R_1 + R_2} R_2 = \frac{U_{n-1}}{k}$, или

$$\frac{R_2}{R_1} = k - 1 \quad (\text{см. рис. 437}).$$

Соотношение $U_1 = \frac{U_{l-1}}{k}$ должно выполняться для любой ячейки. Поэтому сопротивление всей последней ячейки, двух последних, трех последних и т. д. также должно равняться R_2

(см. задачу 470). Степола

$$\begin{aligned} \frac{1}{R_1} &= \frac{1}{R_2} + \frac{1}{R_1 + R_3}, \\ R_4 &= \frac{R_3(R_1 + R_3)}{R_1} = R_3 \frac{k}{k - 1}, \end{aligned}$$

Окончательно

$$R_1 : R_2 : R_3 = (k - 1)^2 : k : (k - 1),$$

472. Использовать только приборы, действие которых основано, например, на отклонении проводника с током в магнитном поле, нельзя. Угол, на котором отклоняется стрелка в таком приборе, пропорционален силе протекающего через него тока. Определение разности потенциалов с помощью такого рода приборов, так же как и любых токовых приборов, основано на законе Ома: ток, протекающий через вольтметр, пропорционален приложенной разности потенциала. Для проверки закона Ома, следовательно, необходимо электростатический вольтметр, наряду с амперметром обычного типа.

473. Обозначим через q_1 и q_2 заряды на первом и втором конденсаторах к моменту времени t . q_1 и q_2 связаны соотношениями

Так как

$$C_1 = \frac{S}{4\pi(d_0 + vt)}, \quad \text{а} \quad C_2 = \frac{S}{4\pi(d_0 - vt)},$$

то

$$\frac{q_1}{q_2} = \frac{d_0 - vt}{d_0 + vt}.$$

Отсюда вытекает, что

$$q_1 = Q \frac{d_0 - vt}{2d_0} \quad \text{и} \quad q_2 = Q \frac{d_0 + vt}{2d_0}.$$

Убыль заряда на первом конденсаторе равна увеличению заряда на втором конденсаторе. Сила тока

$$I = -\frac{\Delta q_1}{\Delta t} = \frac{\Delta q_2}{\Delta t} = \frac{Qv}{2d_0}.$$

Ток будет течь в направлении от положительно заряженной пластины первого конденсатора к положительно заряженной пластине второго конденсатора.

474. Силы притяжения, действующие между пластинами конденсаторов, равны соответственно:

$$F_1 = 2\pi \frac{q_1}{S} q_1 = \frac{\pi}{2} \frac{Q^2}{S} \frac{(d_0 - vt)^2}{d_0^2}$$

и для первого конденсатора (см. задачу 473).

Так как пластины первого конденсатора раздвигаются, силы электростатического поля совершают отрицательную работу A_1 . Во втором конденсаторе эти силы совершают положительную работу A_2 , работа ΔA , совершаемая полем при перемещении единой из пластин на малое расстояние dx , равна

$$\Delta A = \Delta A_1 + \Delta A_2 = (F_2 - F_1) dx = \frac{2\pi Q^2}{S} \frac{x}{d_0} \Delta x,$$

если $x = vt$. Таким образом, работа на малом участке пропорциональна перемещению x , как и в случае растяжения пружины. Следовательно, полная работа может быть найдена методом, примененным при решении задачи 137:

$$A = \frac{\pi Q^2 a^2}{S d_0^2}.$$

Работу A можно подсчитать и другим способом. Так как сопротивление соединительных проводов равно нулю, количество выделившегося тепла также равно нулю. Поэтому изменение электростатической энергии двух конденсаторов будет равно работе электромагнитного поля.

К моменту времени t энергии первого и второго конденсаторов будут иметь соответственно значения:

$$W_1 = \frac{q_1^2}{2C_1} = \frac{\pi}{2} \frac{Q^2}{S d_0^2} (d_0 - vt)^2 (d_0 + vt)$$

и

$$W_2 = \frac{q_2^2}{2C_2} = \frac{\pi}{2} \frac{Q^2}{S d_0^2} (d_0 + vt)^2 (d_0 - vt).$$

Полная энергия

$$W = W_1 + W_2 = \pi \frac{Q^2}{S d_0} (d_0^2 - a^2).$$

Следовательно, энергия за время t уменьшилась на величину $\Delta W = \frac{\pi Q^2}{S d_0} a^2$. Это изменение будет равно работе A электростатического поля.

475. При трении одежды о сиденье стула происходит электризация. Тело экспериментатора и сиденье образуют своеобразный конденсатор. Когда экспериментатор встает, емкость этого конденсатора резко уменьшается, и вследствие этого резко возрастает разность потенциалов между стулом (т. е. «землей») и телом экспериментатора. Очевидно, для этого необходимо, чтобы тело было хорошо изолировано от земли (резиновая подушка).

В момент касания стопа разность потенциалов между рукояткой и землей выравнивается. Образуется электрический ток, чистою часть которого отвечается в гальванометру. Для отсчета занчина необходимо, чтобы сопротивление между одним из концов катушки гальванометра и землей было меньше

чем сопротивление между другим концом и землей.

Схематическая путь тока изображена на рис. 438. O — обмотка гальванометра, K — ключ, R условно обозначает очень большое, но конечное сопротивление между одним из концов обмотки и землей.

Обрат гальванометра наблюдается, несмотря на колоссальное сопротивление цепи, виду большой разности потенциалов, возникшей при уменьшении емкости.

476. Очевидно, имеется определенная асимметрия, имеющая место при работе гальванометра, когда один из концов катушки подключен к земле, а другой — к проводнику, имеющему конечную емкость. Схема, поясняющая путь тока, представлена на рис. 439. O — обмотка гальванометра, P_1 и P_2 — проводники, отходящие от концов обмотки, 3 — земля, R_1 , R_2 и R_3 схематически изображают очень низкие сопротивления, возникающие из-за неидеальности изолации; $R_3 \gg R_1 + R_2$. Пунктир изображает путь тока в случае, если заряженное отрицательно тело поднесено к проводнику P_2 . Если тело поднесено к проводнику P_1 , то путь тока изображается точками. Видно, что в обоих случаях ток через обмотку гальванометра течет в одну сторону.

Эта задача иллюстрирует наличие проводимости у всех тел. При работе с чувствительными приборами это обстоятельство становится существенным.

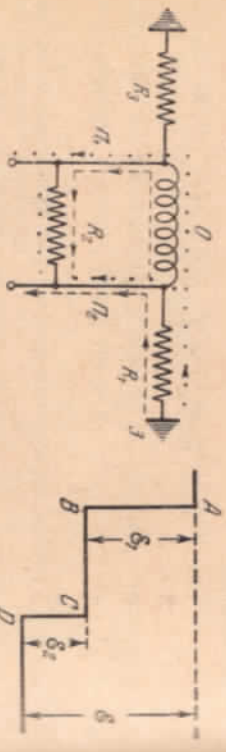


Рис. 439.

477. На рис. 440 точка A изображает потенциал положительного (медиального) электрода, а точка D — отрицательного (цинкового).

Схематическая путь тока изображена на рис. 438. O — обмотка гальванометра, K — ключ, R условно обозначает очень большое, но конечное сопротивление между одним из концов обмотки и землей.

Обрат гальванометра наблюдается, несмотря на колоссальное сопротивление цепи, виду большой разности потенциалов, возникшей при уменьшении емкости.

Рис. 438.

бать, если сопротивление изоляции между одним из концов катушки и землей меньше, чем между землей и другим концом. Кроме того, нужно учесть, что сопротивление между землей и другим концом от катушки гальванометра, несмотря на хорошую изоляцию, отлично от бесконечности.

Схема, поясняющая путь тока, приведена на рис. 439. O — обмотка гальванометра, P_1 и P_2 — проводники, отходящие от концов обмотки, 3 — земля, R_1 , R_2 и R_3 схематически изображают очень низкие сопротивления, возникающие из-за неидеальности изолации; $R_3 \gg R_1 + R_2$. Пунктир изображает путь тока в случае, если заряженное отрицательно тело поднесено к проводнику P_2 . Если тело поднесено к проводнику P_1 , то путь тока изображается точками. Видно, что в обоих случаях ток через обмотку гальванометра течет в одну сторону.

Эта задача иллюстрирует наличие проводимости у всех тел. При работе с чувствительными приборами это обстоятельство становится существенным.

$$I = \frac{\mathcal{E}}{R + r}.$$

Так как линия, изображающая потенциала (изолированная линия $ABCDA$), замкнута, то сумма падений напряжения должна равняться сумме скачков потенциала:

$$\mathcal{E}_1 + \mathcal{E}_2 = IR + Ir.$$

Потенциалы проводников, соединяющих элементы, одинаковы, но тот же равен нулю.

478. При замыкании цепи появляется падение напряжения *) в резисторе $CuSO_4$, заряжается положительно за счет поступающих из него положительных ионов Cu . Потенциал электролита изображен линией BC . $AB = \mathcal{E}_1$ и $CD = \mathcal{E}_2$ изображают скачки потенциала на границах электролита — электролит. Э. д. с., равная разности потенциалов на концах разомкнутого элемента, равна

$$\mathcal{E} = \mathcal{E}_1 + \mathcal{E}_2.$$

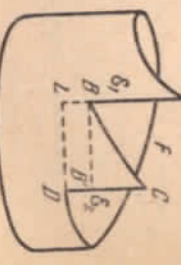


Рис. 441.

*) Электролит $ZnSO_4$ цинковый электрод заряжается отрицательно в результате выделения положительных ионов Zn , а медный электрод $CuSO_4$ заряжается положительно за счет поступающих из него положительных ионов Cu . Потенциал электролита изображен линией BC . $AB = \mathcal{E}_1$ и $CD = \mathcal{E}_2$ изображают скачки потенциала на границах электролита — электролит. Э. д. с., равная разности потенциалов на концах разомкнутого элемента, равна

$$I = \frac{\mathcal{E}_1 - \mathcal{E}_2}{r_1 + r_2}; V_{BA} = \mathcal{E}_1 - Ir_1 = \mathcal{E}_2 + Ir_2 = \frac{\mathcal{E}_1 r_2 + \mathcal{E}_2 r_1}{r_1 + r_2}.$$

$$c) I = 0; V_{BA} = \mathcal{E}_1 = \mathcal{E}_2.$$

Равноть потенциалов между проводниками существует, но ток не может проходить.

*) Электролит $ZnSO_4$ цинковый электрод заряжается отрицательно в результате выделения положительных ионов Zn , а медный электрод $CuSO_4$ заряжается положительно за счет поступающих из него положительных ионов Cu . Потенциал электролита изображен линией BC . $AB = \mathcal{E}_1$ и $CD = \mathcal{E}_2$ изображают скачки потенциала на границах электролита — электролит. Э. д. с., равная разности потенциалов на концах разомкнутого элемента, равна

$\mathcal{E} = \mathcal{E}_1 + \mathcal{E}_2.$

479. Соответствующие распределения потенциала изображены на рис. 442, a , σ , b , c .

Так как линия, изображающая потенциалы, то сумма падений напряжения должна равняться сумме скачков потенциала:

*) Электролит $ZnSO_4$ цинковый электрод заряжается отрицательно в результате выделения положительных ионов Zn , а медный электрод $CuSO_4$ заряжается положительно за счет поступающих из него положительных ионов Cu . Потенциал электролита изображен линией BC . $AB = \mathcal{E}_1$ и $CD = \mathcal{E}_2$ изображают скачки потенциала на границах электролита — электролит. Э. д. с., равная разности потенциалов на концах разомкнутого элемента, равна

480. На участках BA и DC химические силы, вызывающие реакции между электродами и электролитом, совершают положительную работу (см. рис. 441). Эта работа равна сумме скачков потенциала на данных участках, т. е. э. д. с., так как в равненесном состоянии химические силы, действующие в прилегающем к электроду слое электролита, равны электростатическим.

Вследствие того, что в других участках цепи силы независимо от статического происхождения не действуют, работа, совершаемая этими силами при перемещении единичного положительного заряда вдоль замкнутого контура, также равна э. д. с. батареи. (Работа электростатических сил по замкнутому контуру равна нулю.)

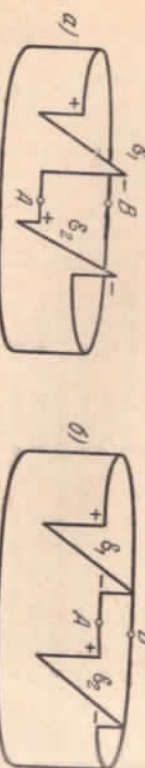


Рис. 442.

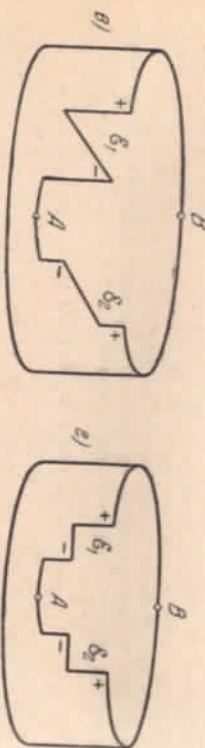


Рис. 443.

481. На каждый моль прореагировавших в элементе вещества выделяется энергия $W = 106\,000 - 56\,000 = 50\,000 \text{ кал} \approx 2 \cdot 10^{12} \text{ эрг}$. За счет этой энергии электрический ток совершает работу $A = Q\mathfrak{E}$, где \mathfrak{E} — э. д. с. элемента, а Q — количество перенесенного электричества. Так как медь и цинк двухвалентны, заряды их ионов по величине равны удвоенному заряду электрона. Один моль вещества содержит $6,02 \cdot 10^{23}$ атомов. Следовательно, $Q = 2 \cdot 4,8 \cdot 10^{-10} \cdot 6,02 \cdot 10^{23}$ ел. СГСЭ.

$$\text{Отсюда } \mathfrak{E} = \frac{W}{Q} \approx 3,5 \cdot 10^{-3} \text{ СГСЭ} = 1,05 \text{ в.}$$

482. Отношение сил токов, текущих через элементы, $\frac{i_1}{i_2} = \frac{r_2}{r_1}$, так как э. д. с. элементов одинакова. По закону Фараоля массы растворившегося цинка пропорциональны токам:

$$\frac{m_1}{m_2} = \frac{i_1}{i_2} = \frac{r_2}{r_1} \approx 1,625.$$

483. Каждый атом цинка, переходящий в раствор в виде иона Zn^{2+} , отдает во внешнюю цепь два электрона, несущие заряд $q = 2e =$

$= 3,2 \cdot 10^{-19} \text{ к.}$ В то же время ионы меди Cu^{++} осаждаются на внешней пластине в виде нейтральных атомов, вследствие чего потенциал расторва $CuSO_4$ падает. Для поддержания постоянной концентрации необходимо растворять кристаллы $CuO \cdot 5H_2O$ в количестве, компенсирующем уход ионов Cu^{++} в раствор.

По условиям задачи через элемент прошел заряд $Q = 2880 \text{ к.}$ Это соответствует переходу в раствор $n = \frac{Q}{q} = 9 \cdot 10^{21}$ атомов цинка, что составляет около 0,98 г цинка. Соответственно из раствора выпадают столько же атомов меди (около 0,95 г), и для восстановления концентрации раствора $CuSO_4$ придется растворить 3,73 г кристаллов медного купороса.

484. При растворении цинка положительные ионы Zn^{++} переносятся в раствор, а обособлившиеся электроны по проволоке передаются столько же атомов меди (около 0,95 г), и для восстановления концентрации раствора $CuSO_4$ придется растворить 3,73 г кристаллов медного купороса.

485. Э. д. с. батареи уменьшится почти в два раза и будет пропорционально радиусу э. д. с. одного элемента, составленного крайними пластинами, от которых отходят провода батареи. Две средние пластины образуют «внутренний» элемент, круговорот зарядов в котором происходит даже при разомкнутой внешней цепи, так как ионы имеют возможность передвигаться (ввиду отсутствия перегородки) от одной пластины к другой внутри электролита. Поэтому «внешний» элемент» почти ничего не прибавляет к действию батареи.

486. С каждой из половины угольного стержня придается замкнуть гальванический элемент. Вместим противоположным элементом служит сопротивление половины угольного стержня и контакта, состоящее из протяжения цинкового стержня и контакта с никелем — углем (см. эквивалентную схему на рис. 443).

Когда цинковый стержень стоит вертикально, токи i_1 и i_2 в обеих половинах угольного стержня равны ивольтметр показывает нуль. Если стержень наклонить, то покажет пульс. Если стержень повернуть сопротивление одного из элементов уменьшится, а другого — увеличится. Токи i_1 и i_2 не будут равны друг другу, и между контактами угольного стержня возникнет разность потенциалов, которую и покажет вольтметр.

487. Так как $r \ll R$, то ионе внутри сферы практически отсутствует и тока на внутреннюю поверхность сферы нет. Следовательно, масса выделяется меди

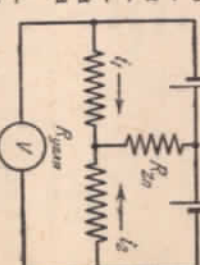


Рис. 443.

488. Дело в том, что при электролизе происходит поляризация фенолов и каждая ванна приобретает э. д. с., направленную вправо.

против тока, идущего от конденсатора. Вследствие этого конденсатор не может разрядиться целиком, чем больше мы вольтажи, тем больше суммарная з. д. с. поляризации и, следовательно, тем больше заряда остается на конденсаторе. Энергия греющего газа будет всегда меньше энергии заряженного конденсатора.

489. При электролизе воды электроны поляризуются и подчиняют з. д. с. поляризации ξ_p , направленной против з. д. с. батареи. Поэтому электролит идет лишь в том случае, когда з. д. с. батареи больше ξ_p .

При прохождении через электролит заряда Q батарея совершает работу против з. д. с. поляризации $A = \xi_p Q$. За счет этой работы происходит разложение воды с образованием греющего газа. На основании закона сохранения энергии химическая энергия греющего газа W , выделившегося при прохождении заряда Q , равна $\xi_p Q$.

Согласно закону Фарadays выделение одного грамма водорода на катоде сопровождается прохождением количества электричества

$$Q = m \cdot \frac{n}{A} F = 96,500 \text{ к.}$$

Следовательно, $\xi_p = \frac{W}{Q} \approx 1,5 \text{ в.}$

Э. д. с. батареи должна равняться $1,5 \text{ в.}$

490. Определение концентрации ионов есть результат динамического равновесия: количество ионов, возникающих вследствие электролитической диссоциации, равно убыли числа ионов вследствие обратного процесса — рекомбинации (ионов, противоположных знаков, столкнувшись, могут образовать нейтральную молекулу).

Близкии электролиты концентрация ионов падает, и это равновесие нарушается. Число ионов, возникших вследствие диссоциации, больше числа рекомбинировавших ионов. Именно этот процесс поставляет ионы в электролит. Процесс проходит вплоть до стационарного состояния. Внутри электролита динамическое равновесие не нарушается.

491. За секунду к катоду прибывает и на нем выделяется $n_{+v}S$ положительных ионов (S — площадь катода). Одновременно удаляется $n_{-v}S$ отрицательных ионов. В промежутке между отрицательных ионов динамическое равновесие между нейтральными молекулами и ионами, на которые они распадаются, нарушается (см. задачу 490). Вновь возникает $n_{-v}S$ отрицательных ионов, и столько же положительных ионов. Положительные ионы выделяются также на катоде, и в результате количество положительных ионов, выделившихся на катоде в секунду, будет равно полному току.

492. При изменении температуры на ΔT сила тока меняется на ΔI . На основании закона Ома $\Delta I = \frac{\alpha \Delta T}{R+r}$ ($\alpha = 50 \cdot 10^{-6} \text{ в/град}$).

Минимальное значение тока, регистрируемое гальванометром, $\Delta I = 10^{-9} \text{ а.}$ Следовательно, минимальное изменение температуры, которое можно зафиксировать,

$$\Delta t = \frac{\Delta I (R+r)}{a} = 5 \cdot 10^{-4} \text{ grad.}$$

493. Наибольший теоретически возможный коэффициент излучения действия термобатареи

$$\eta = \frac{\xi q}{Q} = \frac{T_1 - T_2}{T_1},$$

Q — количество тепла, поглощаемое в единицу времени горячими сплавами, q — протекающий в единицу времени по цепи заряд I_1 и T_1 — абсолютные температуры сплава. По закону Фарadays имеем $I = \frac{A}{n} \cdot \frac{q}{F}$. Подставив значение q из первого уравнения, имеем:

$$n = \frac{\Lambda Q}{n F \xi} \cdot \frac{T_1 - T_2}{T_1} \approx 1,7 \cdot 10^{-4} \text{ з.}$$

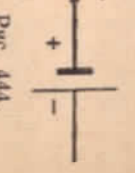


Рис. 444

494. Если ток течет в направлении, указанном на рис. 444 (аккумулятор разряжается), то $V = \xi - IR$. Если же ток течет в противоположном направлении (аккумулятор заряжается), то $V = \xi + IR$ (см. ответ к задаче 479, б).

495. При включении вольтметра, согласно закону Ома, $V = \xi - \frac{\xi r}{R_1 + r}$, где r — внутреннее сопротивление элемента.

Для второй цепи

$$I = \frac{\xi}{R + R_2 + r}.$$

Отсюда

$$\xi = \frac{IV(R_1 - R - R_2)}{R_1 I - V} = 2,1 \text{ в.}$$

496. Внутреннее сопротивление гальванического элемента невелико, а электростатической машины громадно. Это сопротивление плектротов (десетки и сотни миллионов ом).

497. В первый момент после замыкания ключа K возникает разность потенциалов как между пластинами конденсатора C_1 , так и между пластинами конденсатора C_2 . Ток в цепи будет идти до тех пор, пока конденсатор C_1 не зарядится. После этого разность потенциалов на конденсаторе C_1 станет равной з. д. с. батареи, а разность потенциалов между пластинами второго конденсатора станет равной нулю.

498. Для двух элементов

$$I = \frac{\xi_1 + \xi_2}{r_1 + r_2 + R},$$

где ξ и r — з. д. с. и внутренне сопротивления элементов, R — внешнее сопротивление.

Для одного элемента (например, первого)

$$I_1 = \frac{\xi_1}{r_1 + R}.$$

По условию задачи $I < I_1$, т. е.

$$\frac{\mathcal{E}_1 + \mathcal{E}_2}{r_1 + r_2 + R} < \frac{\mathcal{E}_1}{r_1 + R}.$$

Отсюда необходимо, чтобы

$$\frac{\mathcal{E}_2}{r_2} < \frac{\mathcal{E}_1}{R + r_1}.$$

499. На основании закона Ома

$$I_1 \left(2r \frac{l}{L} + \rho + R \right) = \mathcal{E}_1,$$

$$I_2 \left(2r \frac{l}{L} + \rho + \frac{2r \left(1 - \frac{l}{L} \right) R}{2r \left(1 - \frac{l}{L} \right) + R} \right) = \mathcal{E}_2,$$

$$I_3 = \mathcal{E}_2,$$

где l — расстояние от батареи до места повреждения, а ρ — внутреннее сопротивление батареи. Из данной системы уравнений находим:

$$R = \frac{\mathcal{E}_1}{I_1} - \frac{\mathcal{E}_2}{I_2} \pm \sqrt{\left(\frac{\mathcal{E}_1}{I_1} - \frac{\mathcal{E}_2}{I_2} \right) \left(\frac{\mathcal{E}_1}{I_1} - \frac{\mathcal{E}_2}{I_2} + 2r \right)} = (4 \pm 3) \text{ о.м.}$$

Значение $R = 1$ о.м. должно быть отброшено, так как при этом получается, что место повреждения удалено от батареи на 5,9 к.м. Действительно, при $R = 1$

$$I = L \frac{L \mathcal{E} - I_1 L \rho - I_1 L R}{2r I_1} = 5,9 \text{ к.м.}$$

Искомое сопротивление $R = 7$ о.м.

500. На участке $A\mathcal{E}_2 B$ $V_A - V_B = \mathcal{E}_2 - I_1 r_2$, где $I_1 = \frac{\mathcal{E}_1 + \mathcal{E}_2}{r_1 + r_2 + R}$,

r_1 и r_2 — внутренние сопротивления элементов. Согласно условию задачи потенциал точки A ниже потенциала точки B . Поэтому $u_1 = V_B - V_A > 0$.

Для другой схемы

$$u_2 = V'_B - V'_A = (\mathcal{E}_2 + I_2 r_2),$$

где

$$I_2 = \frac{\mathcal{E}_1 - \mathcal{E}_2}{r_1 + r_2 + R}.$$

Решая данную систему уравнений, находим:

$$u_2 = \frac{2\mathcal{E}_1 \mathcal{E}_2 + u_1 (\mathcal{E}_1 - \mathcal{E}_2)}{\mathcal{E}_1 + \mathcal{E}_2} = +1,86 \text{ в.}$$

501. В данном случае потенциал точки A при замкнутом ключе выше потенциала точки B , так как при разомкнутом ключе $V_B > V_A$. Поэтому $\mathcal{E}_2 - I_1 r_2 = u_1$. Остальные уравнения имеют тот же вид, что и при решении задачи 500.

Следовательно,

$$u_2 = \frac{2\mathcal{E}_1 \mathcal{E}_2 - u_1 (\mathcal{E}_1 - \mathcal{E}_2)}{\mathcal{E}_1 + \mathcal{E}_2} \approx +1,57 \text{ в.}$$

502. Претполагая (принадольно), что токи направлены так, как указано на рис. 445, можно на основе закона Ома записать:

$$U_{AB} = \mathcal{E}_1 - I_1 r_1,$$

$$U_{AB} = \mathcal{E}_2 - I_2 r_2,$$

$$U_{AB} = I_3 R.$$

Так как при в одной точке цепи не проходит плавления заряда, $I_1 + I_2 = I_3$.

Решая эту систему уравнений, находим токи I_1 , I_2 и I_3 :

$$I_1 = \frac{5}{4} a, \quad I_2 = \frac{1}{4} a, \quad I_3 = \frac{3}{2} a.$$

Получившиеся положительные значения токов говорят о правильности первоначально выбраных направлений токов.

503. При $I_2 = 0$, $I_1 = I_3$, $U_{AB} = \mathcal{E}_2$ и по-прежнему $U_{AB} = \mathcal{E}_1 - I_1 r_1$. Отсюда

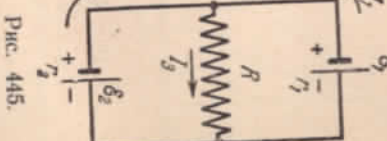
$$R = \frac{\mathcal{E}_1 r_1}{\mathcal{E}_1 - \mathcal{E}_2} = 1 \text{ о.м.}$$


Рис. 445.

Если ток I_2 направлен против \mathcal{E}_2 , то система уравнений примет вид:

$$U_{AB} = \mathcal{E}_1 - I_1 r_1$$

$$U_{AB} = \mathcal{E}_2 + I_2 r_2$$

$$U_{AB} = I_3 R$$

$$I_1 = I_2 + I_3.$$

Отсюда

$$I_2 = \frac{\mathcal{E}_1 - \mathcal{E}_2 - \mathcal{E}_2 \frac{r_1}{R}}{r_1 + r_2 + \frac{r_1 r_2}{R}},$$

Наше условие выполняется, если $I_2 > 0$. Следовательно, должно иметь место неравенство

$$\mathcal{E}_1 - \mathcal{E}_2 - \mathcal{E}_2 \frac{r_1}{R} > 0,$$

или

$$R > \frac{\mathcal{E}_2 r_1}{\mathcal{E}_1 - \mathcal{E}_2} = 1 \text{ о.м.}$$

внутри отдельных групп соединить аккумуляторы последовательно, а сами группы параллельно или же, наоборот, внутри группы параллельно, а через N групп последовательно.

Обозначим через N полное число аккумуляторов, а через n число

аккумуляторов внутри отдельной группы, в первом случае имеем:

$$I_1 = \frac{n \cdot \mathfrak{E}_0}{R + \frac{rn^2}{N}} = \frac{\mathfrak{E}_0}{\frac{R}{n} + \frac{rn}{N}},$$

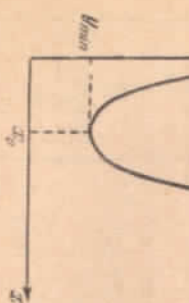


Рис. 446.

так как в. д. с. одной группы равна $n \cdot \mathfrak{E}_0$, сопротивление группы rn , а число групп N/n . Поэтому

$$I_1 \text{ достигает максимума, если } \frac{R}{n} + \frac{rn}{N} = \text{минимум.}$$

Минимум выражения типа $a \cdot x + \frac{b}{x}$ может быть найден так. Запиши

$$y = a \cdot x + \frac{b}{x} \quad (1)$$

графически изображается кривой рис. 446, имеющей минимум в точке x_0 , в которой корни квадратного уравнения (1) совпадают. Поэтому

$$x_0 = \sqrt{\frac{b}{a}}.$$

Следовательно,

$$n = \sqrt{\frac{RN}{r}} = 4$$

$$\text{и} \quad I_{1\max} = \frac{\mathfrak{E}_0}{2} \sqrt{\frac{N}{Rr}} = 20 \text{ а.}$$

Во втором случае

$$I_2 = \frac{N}{n \cdot \mathfrak{E}_0} = \frac{N \cdot \mathfrak{E}_0}{R + \frac{rn^2}{n^2}} = \frac{N \cdot \mathfrak{E}_0}{nR + \frac{rn^2}{n}}.$$

Ток достигает максимума при

$$n = \sqrt{\frac{rN}{R}} = 6. \text{ Следовательно,}$$

$I_{2\max} = \frac{\mathfrak{E}_0}{2} \sqrt{\frac{N}{Rr}} = I_{1\max}$.

Таким образом, получить ток, превышающий 20 а, невозможно. Способ переключения очевиден из рис. 447.

Температура в калориметре остается равной 0°C . Поэтому $0.24 \frac{a^2}{R} t = m\lambda$. Отсюда $t = \frac{m\lambda R}{0.24 a^2} = 5 \text{ мин.}$

507. При комнатной температуре $t_0 \approx 20^\circ\text{C}$ (т. е. в момент включения) лампочка потребляет мощность $W_0 = \frac{U^2}{R_0}$; R_0 — сопротивление нити при температуре t_0 . При температуре $t = 2500^\circ\text{C}$ потребуется мощность $W = \frac{U^2}{R}$, где $R = R_0 (1 + \alpha(t - t_0))$. Отсюда искомая мощность

$$W_0 = W (1 + \alpha(t - t_0)) \approx 600 \text{ вт.}$$

508. Мощность, потребляемая прибором в первый момент, во много раз больше номинальной (см. задачу 507), так как сопротивление ходовой нагревательной спиралью мало. Соответственно велик падение напряжения на проводах, идущих от магистрали в квартиру. По мере нагревания спирали потребляемая мощность падает, приближаясь к номинальной.

509. Допустимое падение напряжения на подводящих проводах $\Delta U = IR_0 = I_b$, где I — максимально допустимый ток. Отсюда максимальная мощность

$$W = IU = \frac{\Delta U \cdot U}{R_0} = 1680 \text{ вт.}$$

510. Так как чайник во всех случаях включается в один и ту же электрическую сеть, удобнее применять формулу для количества выделяемого тепла в форме $Q = 0.24 \frac{U^2}{R} t$. Отсюда $R = 0.24 \frac{U^2}{Q} t$. Тут как U и Q один и те же для всех случаев, последнее равенство можно перенести в виде $R = at$, где $a = 0.24 \frac{U^2}{Q}$.

Обозначая через R_1 и R_2 сопротивления обмоток, имеем: $I_1 = at_1$ и $R_2 = at_2$. При параллельном соединении обмоток

$$R_a = \frac{R_1 R_2}{R_1 + R_2} = \frac{at_1 t_2}{a(t_1 + t_2)} = at_a.$$

При последовательном соединении

Отсюда

$$R_b = R_1 + R_2 = a(t_1 + t_2) = at_b.$$

$$t_a = \frac{t_1 t_2}{t_1 + t_2}, \quad t_b = t_1 + t_2.$$

511. 1) $t_a \approx 57 \text{ мин.}$, 2) $t_b = 3 \text{ мин. } 30 \text{ сек}$ (см. решение задачи 510).

512. При прохождении постоянного тока разность потенциалов не изменяется. При разрядке конденсатора разность потенциалов изменяется от U до нуля.

513. При вычислении потерь тепла в проводах линии высокого напряжения по формуле $Q = 0.24 \frac{U^2}{R} t$ величина U есть разность потенциалов на концах линии (падение напряжения на проводах), но не напряжение на вторичной обмотке повышающего трансформатора. Эта разность потенциалов невелика (в отличие от напряжения на обмотке трансформатора) и уменьшается с уменьшением тока по линии тока.

514. В соответствии с условиями задачи $r = \frac{Ir}{\mathcal{E}} \cdot 100$, где \mathcal{E} — электродвижущая сила батареи, $I = \frac{W}{U}$ — сила тока в цепи. Учитывая, что $\mathcal{E} = 2U + Ir$, получим:

$$r = \frac{2pU^2}{W(100 - p)} \text{ о.м.}$$

515. Выделяющаяся на внешнем сопротивлении R мощность $W = IU$. В данном случае $U = \mathcal{E} - Ir$ и, следовательно, $I = \frac{\mathcal{E} - U}{r}$.

Таким образом,

$$W = \frac{\mathcal{E}U - U^2}{r}.$$

Отсюда

$$U = \frac{\mathcal{E}}{2} \pm \sqrt{\frac{\mathcal{E}^2}{4} - WR}.$$

$U_1 = 9 \text{ в}$ или $U_2 = 1 \text{ в}$.

Недолизнанность результата связана с тем, что одна и та же мощность может быть выделена на различных внешних сопротивлениях R , причем какому R соответствует свой ток

при $U_1 = 9 \text{ в}$, $I_1 = 1 \text{ а}$

$$R_1 = \frac{W}{I_1^2} = 9 \text{ о.м.}$$

при $U_2 = 1 \text{ в}$, $I_2 = 9 \text{ а}$

$$R_2 = \frac{W}{I_2^2} = 1/8 \text{ о.м.}$$

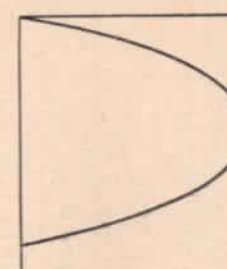


Рис. 448.

Графическая зависимость x от U имеет форму параболы, причем какому x соответствуют два значения U : При данном x мы имеем квадратное уравнение относительно U , x достигает максимума, когда оба корня уравнения совпадают. Следовательно, при максимальном x дисперсионный коэффициент должен быть равен нулю: $x_{\max} = \frac{\mathcal{E}^2}{4}$.

Отсюда

$$U = \frac{\mathcal{E}}{2} \text{ и } W_{\max} = \frac{\mathcal{E}^2}{4r} = 25 \text{ см.}$$

334

При этом

$$I = \frac{\mathcal{E}}{2r}, \text{ а } R = \frac{W_{\max}}{I^2} = \frac{\mathcal{E}^2 \cdot 4r^2}{4r\mathcal{E}^2} = r,$$

т. е. внешнее сопротивление равно внутреннему. № 17. По определению коэффициент полезного действия η есть отношение полезной мощности к всей мощности, выделяемой виткулятором:

$$\eta = \frac{IU}{I\mathcal{E}} = \frac{U}{\mathcal{E}},$$

то $U = \frac{\mathcal{E}R}{R+r}$ — разность потенциалов на внешнем сопротивлении R . Следовательно,

$$\eta = \frac{R}{r+R}.$$

В задаче 515 $\eta_1 = 90\%$; $\eta_2 = 10\%$.

В задаче 516 $\eta = 50\%$. $\eta \rightarrow \frac{1}{2}$ при $R \rightarrow \infty$, то при этом выделяемая полезная мощность $W = \frac{\mathcal{E}^2 R}{(R+r)^2}$ (как и полная) стремится к нулю (рис. 449).

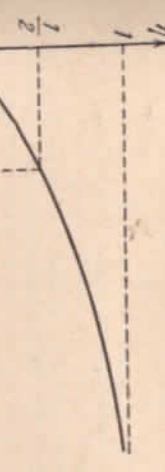


Рис. 449.

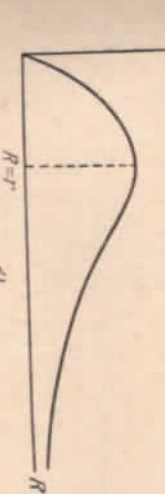


Рис. 448.

№ 18. $\eta_1 = \frac{R}{R+r} = 0.6$, где r — внутреннее сопротивление источника тока (см. задачу 517). Отсюда

$$\eta_{12} = \frac{6R}{6R+r} = 0.9,$$

в процентах $\eta_{12} = 90\%$.

519. По закону Ома $U = \mathfrak{E} + Ir$. Следовательно, $I = \frac{U - \mathfrak{E}}{r}$. Полезная мощность, расходуемая на зарядку аккумулятора равна

$$W_1 = \mathfrak{E}I = \frac{U\mathfrak{E} - \mathfrak{E}^2}{r}.$$

Количество тепла, выделенного в единицу времени

$$W_2 = I^2r = \frac{(U - \mathfrak{E})^2}{r}.$$

Полный расход мощности

$$W = IU = W_1 + W_2.$$

520. Полезная мощность

$$W_1 = \frac{\mathfrak{E}(U - \mathfrak{E})}{r}$$

(см. задачу 519). Выделяемое в единицу времени тепло

$$W_2 = \frac{(U - \mathfrak{E})^2}{r}.$$

Обычно при зарядке $U - \mathfrak{E} \ll \mathfrak{E}$. Следовательно, $W_1 \gg W_2$. На изменение тепла расходуется небольшая часть мощности (задача 521). За 1 сеc через поперечное сечение A проводника проходит все те электроны, которые содержатся в объеме $S \cdot v \cdot 1$ (рис. 450).

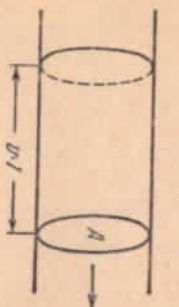


Рис. 450.

На изменение тепла расходуется небольшая часть мощности (задача 521). За 1 сеc через поперечное сечение A проводника проходит все те электроны, которые содержатся в объеме $S \cdot v \cdot 1$ (рис. 450).

Следовательно, сила тока

$$I = S \cdot v \cdot 1 \cdot n \cdot e (e — заряд электрона),$$

Остюда $v = \frac{I}{Sne} \approx 10^{-4}$ см/сек.

522. Электроны в металле можно считать свободными. Перераспределение электронов внутри бруска затягивается, когда возникает вследствие перераспределения заряда трепеское поле, которое может быть написано в виде

Таким образом, искомое напряжение определяется соотношением $ma = eE$ (m и e — масса и заряд электрона).

Отсюда $E = \frac{m}{e} a$.

Боковые поверхности бруска, перпендикулярные движению, будут заряжены: передняя поверхность положительно, а задняя — отрицательно.

Плотность зарядов равна

$$\sigma = \frac{E}{4\pi} = \frac{1}{4\pi} \frac{m}{e} a$$

523. Свободные электроны вращаются вместе с цилиндром. Следовательно, электрон, находящийся на расстоянии r от оси,

имеет ускорение $a = \omega r$. Это ускорение может воспринять только поле действием электрического поля, направленного вдоль радиуса от центра цилиндра и равного $E = \frac{m\omega^2 r}{e}$. Здесь e и m — заряд и масса заряда.

Равность потенциалов $U = \frac{1}{2} \frac{m}{e} \omega^2 R^2$, так как средняя сила действующая на единичный заряд при перемещении его от оси к поверхности цилиндра, равна $\frac{1}{2} \frac{m}{e} \omega^2 R$.

§ 21. Электрический ток в газах и вакуме

524. Электроны при тлеющем разряде выбиваются положительными ионами из катода. Возникают же эти ионы при соударениях электронов с атомами газа. В области темного катодного пространства ионизированные практически не происходят. Поэтому анод должен быть расположен за областью катодного падения потенциала. В противном случае разряд не будет происходить.

525. Для того чтобы в трубке происходил разряд, необходимо поместить анод за областью катодного падения потенциала (см. задачу 524). Но в этом случае электроны, приходящие к аноду, при соударениях с молекулами газа теряют энергию и не будут испытывать рентгеновских лучей при попадании на анод. Отсюда возникла необходимость двух электролов. Анод расположен в области тлеющего свечения и служит для поддержания разряда. Антикатод и область катодного падения подвергается ионизированию электронами, не потерявшиими своей энергии. В трубках с подогревом катодом имеется один электрод, содержащий функции анода и антикатода.

526. Попадающие на антракатод электроны по проводнику стекают на анод. Если этот провод убрать, то антикатод постепенно будет заряжаться отрицательно и тормозить электроны. Через некоторое время после включения рентгеновская трубка перестает работать.

527. По началу разряда напряжение на счетчике равно \mathfrak{E} , а с. с. источника \mathfrak{E} . В момент разряда по цепи идет ток и напряжение между катушкой и пинько становится равным $U = \mathfrak{E} - IR$. Сопротивление R очень велико, и падение напряжения IR настолько ничтожно, что разряд прекращается.

528. По закону Ома искомое падение напряжения $U = IR$, где I — сила тока в цепи. Ток опиакон во всех сечениях внутри конденсатора. На положительную пластину этот ток обусловлен только отрицательными ионами, а на отрицательную — только положительными. Через проницаемое сечение пиньки конденсатора проходит некоторая доля положительных, так и отрицательных ионов.

$I = enSd$, где e — заряд электрона, а S — площадь пластины. Для плоского конденсатора $Sd = 4\pi Cd^2$. Следовательно, $U = en \cdot 4\pi Cd^2 R \approx 1,4 \cdot 10^{-11}$.

529. При охлаждении отрицательного угла дуга погаснет, так как горячее дуги обеспечивается сильной термоэлектронной эмиссией

с катодом, которая прекращается при охлаждении. Охлаждение подложечного угла не будет влиять на работу дуги.

530. При размыкании контактов регулятора может возникнуть электрическая дуга, так как ток в утюге достигает значительной силы, а расстояние между контактами мало. В случае переменного тока дуга неустойчива и сразу же гаснет. Постоянный ток вызывает к горению контактов и выходит, утюг из строя.

531. Один электрон-вольт $1 \text{ эв} = 1.6 \cdot 10^{-12} \text{ эрл}$.

532. Не совпадает. Касательные к траектории дают направление скорости частицы, а касательные к спиральной линии дают направление силы, действующей на частицу, и, следовательно, направление ускорения.

Только в поле, спиральные линии которого — прямые, траектория частицы совпадает с спиральной линией, если начальная скорость этой частицы направлена по спиральной линии.

533. В момент приближения заряда к пластине вследствие электростатической индукции заряды пластины, одинаковые с летящим уходящим в землю, а заряды противоположного знака склоняются на поверхности пластины. Через гальванометр проходит импульс тока

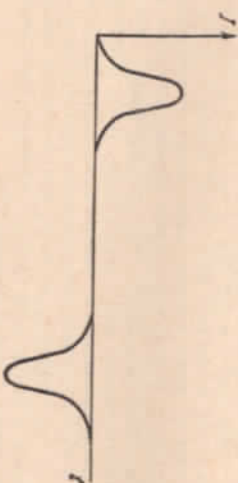


Рис. 451.

(рис. 451). При движении заряда над пластиной ток через гальванометр не идет. Когда заряд удаляется от пластины, возникает ток противоположного направления.

534. На суживающейся части трубы возникнут положительные индуцированные заряды. Под влиянием их электрон начнет ускоряться. Кинетическая энергия электрона будет увеличиваться за счет уменьшения потенциальной энергии системы электрон — труба.

535. Полная энергия электрона равна сумме кинетической и потенциальной энергии.

При приближении к кольцу потенциальная энергия электрона в поле кольца уменьшается, и за счет этого растет кинетическая энергия. Пройдя сквозь кольцо, электрон удаляется от него. При этом потенциальная энергия электрона увеличивается, а скорость постепенно уменьшается до нуля.

536. Работа по перемещению заряда $-q$ пропорциональна радиусу потенциалов между точкой O и весьма удаленной от кольца точкой A , лежащей на оси (рис. 186). Потенциал на бесконечности принимаем равным нулю. Потенциал точки A , если расстояние $OA \gg R$, мы можем считать равным нулю. Потенциал

в точке O находится суммированием потенциалов, созданных отдельными малыми элементами колца: $U_0 = \sum \frac{\Delta q}{R} = \frac{q}{R}$.

Используя закон сохранения энергии $\frac{mv^2}{2} = \frac{q^2}{R}$, находим:

$$v = \sqrt{\frac{2q^2}{mR}}.$$

537. Как всегда, считаем потенциал на бесконечности равным нулю. Тогда потенциалы пластин равны соответственно $+\frac{U}{2}$ и $-\frac{U}{2}$, причем $U = \frac{Q}{C}$. Потенциалы в точках первоначального положения электрона соответственно равны: 0 , $+\frac{U}{4}$, $-\frac{U}{4}$. Начальные значения полной энергии электрона равны:

$$1) \frac{mv_0^2}{2}, \quad 2) \frac{mv_0^2}{2} - \frac{eU}{4} \quad \text{и} \quad 3) \frac{mv_0^2}{2} + \frac{eU}{4}.$$

Конечные скорости v_1 , v_2 , v_3 определяются на основании закона сохранения энергии:

$$1) \frac{mv_0^2}{2} = \frac{mv_1^2}{2}, \quad \text{отсюда} \quad v_1 = v_0;$$

$$2) \frac{mv_0^2}{2} - \frac{eU}{4} = \frac{mv_2^2}{2},$$

$$3) \frac{mv_0^2}{2} + \frac{eU}{4} = \frac{mv_3^2}{2},$$

$$v_2 = \sqrt{\frac{mv_0^2 - \frac{eU}{2C}}{m}}; \quad v_3 = \sqrt{\frac{mv_0^2 + \frac{eU}{2C}}{m}}.$$

Рис. 452.

В первом случае конечная скорость равна начальной, во втором случае меньше ее, а в последнем больше. По всем случаям скорость первоначально растет (во время движения внутри конденсатора), а затем начинает убывать. Апод достигает электронов с энергией от 80 эв до 74 эв, так как вольтметр показывает существование падение напряжения в 6 в. Энергия электронов у анода определяется только прошедшей ими частью потенциалов и не зависит от потенциала сетки. Потенциал сетки изменяет распределение скоростей электронов в промежуточных точках пути и влияет на число электронов, достигающих анода. На основании закона Ома

$$\mathcal{E} = I_a R_a + U_a \quad (\text{рис. 452}).$$

$$\text{Сила тока} \quad I_a = AU_a + BU_a^2,$$

Огибающая

$$I_a = \frac{\xi}{R_a} + \frac{(AR_a + 1) - \sqrt{(AR_a + 1)^2 + 4\xi BR_a}}{2BR_a^2} = 5 \text{ мА.}$$

Второй корень квадратного уравнения не имеет физического смысла, так как соответствует $U_a < 0$.

540. Система уравнений, определяющих токи i_1 и i_2 , имеет вид:

$$\begin{aligned} i &= i_1 + i_2, \\ i_1 &= A_1 U_a + B_1 U_{a'}^2, \\ i_2 &= A_2 U_a + B_2 U_{a'}^2, \\ U_a &= \xi - iR. \end{aligned}$$

Отсюда

$$U_a = \frac{-(A_1 + A_2)R - 1 + \sqrt{(A_1 R + A_2 R + 1)^2 + 4\xi(B_1 + B_2)R}}{2(B_1 + B_2)R} = 60 \text{ в.}$$

Оригинальное значение U_a отбрасывается, как не соответствующее смыслу задачи. Исходные токи равны:

$$i_1 = \frac{1}{(B_1 + B_2)R} [B_1 \xi + (A_1 B_2 - A_2 B_1) RU_a - B_1 U_a] = 22.2 \text{ мА,}$$

$$i_2 = \frac{1}{(B_1 + B_2)R} [B_2 \xi + (A_2 B_1 - A_1 B_2) RU_a - B_2 U_a] = 37.8 \text{ мА.}$$

541. При потенциале сетки $\xi_2 = -6$ в ток, протекающий через лампу, $I_2 = \frac{U_2}{R}$, а при потенциале сетки $\xi_1 = -3$ в $I_1 = \frac{U_1}{R}$.

Следовательно, увеличение потенциала сетки на $\xi_1 - \xi_2 = 3$ в вызывает увеличение анодного тока лампы на

$$I_1 - I_2 = \frac{1}{R} (U_1 - U_2) = 3.5 \text{ мА.}$$

Так как сеточная характеристика лампа в рассматриваемой области предполагается линейной, то увеличение потенциала сетки относительно катода еще на 3 в (от -3 в до нуля при замыкании накоротко сетки и катода) вызывает увеличение анодного тока еще на 3.5 мА.

Тогда падение напряжения на сопротивлении R увеличится еще на $U_1 - U_2 = 3$ в, т. е. достигнет $U_0 = U_1 + (U_1 - U_2) = 130$ в, а разность потенциалов между анодом и катодом лампы будет равна $\xi - U_0 = 120$ в.

542. Первый дипол начинает проводить ток только при $U_a > 0$, т. е. при $V > \xi_1$, второй — при $V > \xi_2$ и третий — при $V > \xi_3$. Поэтому график зависимости полного тока от напряжения представляет собой ломаную линию (рис. 453):

$$I = 0 \text{ при } V < \xi_1,$$

$$I = k(V - \xi_1) + k(V - \xi_2) \text{ при } \xi_1 < V < \xi_2,$$

$$I = k(V - \xi_2) + k(V - \xi_3) + k(V - \xi_3) \text{ при } \xi_3 < V.$$

Подобные схемы иногда используются в радиоустройствах для получения заданной функциональной зависимости тока от напряжения.



Рис. 453.

543. На рис. 454 A и B — управляющие пластини, MN — экран, O — начало системы координат находится в точке O .

При движении между пластинами A и B в направлении оси y электрон перемещается равнокоренно с ускорением $\frac{d^2y}{dt^2} = \frac{eU}{md}$, где U — разность потенциалов между A и B . Расстояние t вдоль оси x он проходит за время $t_1 = \frac{L}{v_r}$; v_r — горизонтальная составляющая скорости электрона, определяемая из уравнения

$$\frac{mv_x^2}{2} = eU_0.$$

Рис. 454.

На время t_1 электрон отклоняется в направлении оси y на величину $\frac{at_1^2}{2} = \frac{eU_0^2}{2dmv_x^2}$. Движение электрона вне пластин происходит с постоянной скоростью и длится в течение времени $t_2 = \frac{L}{v_r}$. Скорость вдоль y равна $v_y = at_1$. Отклонение в области вне пластин

$$y_2 = v_y t_2 = \frac{eUL}{dmv_x^2}.$$

Полное отклонение

$$y = y_1 + y_2 = \frac{eUL}{dmv_x^2} \left(\frac{L}{2} + L \right) \approx \frac{eULL}{dmv_x^2} = \frac{UIL}{2U_0 d}.$$

Чувствительность

$$q = \frac{y}{U} = \frac{IL}{2U_0 d}.$$

§ 22. Магнитное поле тока. Действие магнитного поля на ток и движущийся заряд

544. Если ток выражать в амперах, то числовое значение коэффициента $k = 0,1$. Так как $1a = 3 \cdot 10^9$ а. СГЭ, при замерении тока в единицах СГЭ истинное значение коэффициента будет $k = \frac{1}{3 \cdot 10^{10}}$. Размерность коэффициента найдем непосредственно из формулы напряженности H :

$$[k] = \frac{[H][I]}{[l]}$$

Учитывая, что $[H] = [E]$, а $[E] = \frac{[F]}{[q]} = \varepsilon^{\frac{1}{2}} \cdot c \cdot M^{-\frac{1}{2}} \cdot e \cdot \varrho^{-1}$, $[I] = c \cdot M$, $[l] = \varepsilon^{\frac{1}{2}} \cdot c \cdot M^{\frac{1}{2}} \cdot e \cdot \varrho^{-2}$, получим $[k] = c \cdot \varrho/c \cdot M$.

Если вместо k новую постоянную c , так что $k = \frac{1}{c}$, то с равна скорости света в вакууме.

545. Напряженность поля, созданного первой обмоткой, равна

$$H_1 = \frac{0,4\pi I N_1}{2\pi R} = 400 \text{ з.}$$

Вторая обмотка создает напряженность

$$H_2 = \frac{0,4\pi I N_2}{2\pi R} = 200 \text{ з.}$$

Так как поля H_1 и H_2 направлены в противоположные стороны, то искомое поле $H = H_1 - H_2 = 200$ з.

546. Проводник BC не создает поля в точке M , лежащей на продолжении BC . Согласно данному в узлании правилу магнитное поле от любых элементов проводника BC должно быть перпендикулярно линии BM . Поэтому наличие отличного от нуля поля в M противоречит бы симметрии задачи, ибо все направления, перпендикулярные BM , равноправны.

Так как напряженность поля пропорциональна силе тока, то без проводника BD $H_1 = kI$. Поля от проводников AB и BD складываются. Следовательно, после присоединения проводника BD

$$H_2 = kI + \frac{kI}{2}.$$

Отсюда $\frac{H_2}{H_1} = \frac{3}{2}$.

547. В произвольной точке линии AB любой малый элемент тока проводника ACB создает магнитное поле, перпендикулярное плоскости чертежа (см. задачу 546). Симметричный ему элемент проводника ADB создает такое же поле, но направленное в противоположную сторону. Поле от двух любых симметрично расположенных элементов, поэтому, будет равно нулю. Следовательно, равно нулю, так как прямолинейные участки проводника также создают поле на AB .

в. В основном поле соленоида будет сосредоточено внутри спиральной обмотки и на магнитную стрелку действовать не будет. Однако одностороннюю обмотку одновременно можно рассматривать как один виток большого радиуса, который создает магнитное поле, распределенное по поверхности тора.

Магнитная стрелка расположена вдоль оси тора. Направление ее полюсов может быть определено по правилу буравчика. Ток, протекающий по трубе, можно рассматривать как сумму из двух напряженностей одинаковых прямолинейных токов, радиусометрию изображающих по поверхности трубы. Напряженность магнитного поля в любой точке пространства можно представить как сумму напряженностей полей, создаваемых различными токами.

На рис. 455 изображено поперечное сечение трубы, вдоль которой проходит ток. Сравним напряженности магнитных полей H_1 и H_2 , создаваемых в точке A токами I_1 и I_2 , проходящими через малые дуги S_1 и S_2 . Длина дуг равна $S_1 = \frac{aR_1}{\cos \varphi_1}$ и $S_2 = \frac{aR_2}{\cos \varphi_2}$, где R_1 и R_2 — радиусы до точки A . Но, как видно из чертежа, $\varphi_1 = \varphi_2$. Следовательно, $\frac{S_1}{R_1} = \frac{S_2}{R_2}$. Ток по трубе распределен равномерно, поэтому $\frac{I_1}{R_1} = \frac{S_1}{R_1}$, откуда $\frac{I_1}{R_1} = \frac{I_2}{R_2}$.

Напряженности магнитных полей, создаваемых в точке A токами I_1 и I_2 , равны:

$$H_1 = k \frac{I_1}{R_1} = k \frac{I_2}{R_2} = H_2$$

и направлены в противоположные стороны.

Так как для каждого элемента поперечного сечения трубы можно подобрать соответствующий элемент, полноту компенсации можно достичь, если суммарное магнитное поле первого элемента в точке A то результатом действия всех элементов, находящихся в трубе, будет равно нулю. Продолжение тока в трубе, соответствующее полюсу J , то есть току, текущему по объему, соответствует противоположному направлению. Суммарный ток в указанном объеме будет равен нулю, а это соответствует наличию полости в сплошном проводнике.

Поле, созданное сплошным током плотности J в произвольной точке полости A , равно $H_1 = k \cdot 2\pi / JR$ (рис. 456). Здесь R — расстояние от оси проводника до точки A . (Предполагается, что ток течет к нам.)

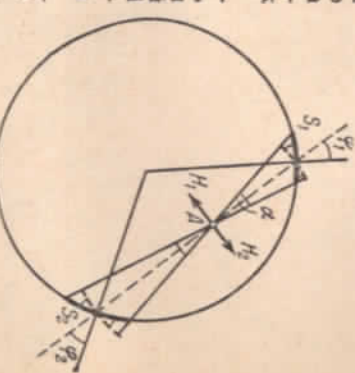


Рис. 455.

В той же точке ток, текущий по ободу, соответствующий полости, в обратном направлении, создает поле $H_2 = k \cdot 2\pi/J$. Контактное поле видно из рис. 456, полная напряженность поля

$$H = \sqrt{H_1^2 + H_2^2 - 2H_1H_2 \cos \alpha},$$

Очевидно,

$$\cos \alpha = \frac{R^2 + r^2 - d^2}{2Rr},$$

Отсюда напряженность $H = k \cdot 2\pi/Jd$ одинакова для всех точек полости.

551. $\triangle AOC \sim \triangle BAD$ (рис. 455), так как эти треугольники имеют по одному равному углу, а стороны, заключающие эти углы, пропорциональны.

Рис. 456.

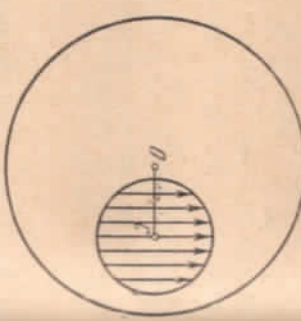
Значит, $\angle AOC = \angle BAD$. Но $R \perp H_1$, и следовательно, $H \perp d$. Напряженность магнитного поля в любой точке полости перпендикулярна линии, соединяющей центра прополоника и полости. Соответствующее распределение линий изображено на рис. 457.

$$552. k = \frac{1}{c}, \text{ где } c \text{ — скорость света в вакууме.}$$

553. Нет, не будет. Между отдельными элементами тока существуют силы притяжения. В результате плотность тока несколько увеличивается к оси проволоника. Эффект весьма неизучителен.

554. Во время удара молнии по трубе кратковременно протекал ток очень большой силы. При этом отдельные элементы тока, текущего по трубки, с большой силой притягивались друг к другу. Эти силы и превратили трубку в круглый стержень.

Рис. 457.



стержень.

555. Токи в соседних витках параллельны и текут в одну сторону. Поэтому витки притягиваются друг к другу. В то же время токи в противоположных участках витков направлены в разные стороны. Следовательно, противоводействие участков отталкивается.

Витки обмотки будут стремиться увеличиться по диаметру, а расстояние между ними вдоль оси соленоида будет сокращаться.

$$556. \alpha = \frac{HnS}{k}.$$

557. Пол влиянием магнитного поля колесо повернется таким образом, что спиральные линии поля станут перпендикулярными плоскости колеса и будут образовывать с направлением тока правильную спираль.

559. При этом натяжение колеса станет максимальным. Применим метод испытаний при решении задачи 403, получим:

$$F = kIH = 5 \text{ дин.}$$

560. На элемент колеса dI действует сила $dF = kIH dI$ (рис. 458). Разложим ее составляющие dF_1 и dF_2 . dF_1 лежит в плоскости колеса, а $dF_2 = dF \sin \alpha$ нормальна к плоскости колеса. Равновесствующая сила dF_1 , действующая на отдельную единицу колеса, равна нулю. Эти силы парно расправляют колесо. Поляризация силы dF_2 , действующая на колесо, равна сумме сил $kIH \sin \alpha$.

$$F = \sum kIH \sin \alpha \cdot dI = kIH \cdot 2\pi R \sin \alpha \approx 273 \text{ дин.}$$

Рис. 458.

560. Силы, действующие на стороны BC и AD , перпендикулярны перемещению этих сторон, поэтому эти силы не совершают работы.

Силы, действующие на стороны AB и CD , постоянны, состоящие прямой угол с направлением поля и численно равны $f = kHla$ (рис. 459).

Некоторая работа будет равна умноженному произведению силы перемещения стороны AB или CD в направлении силы на 180° равно b .

Следовательно, $A = 2kHlab$.

560. Считая, что все электроны движутся со скоростью v , для силы тока имеем следующее выражение (см. задачу 521):

$$I = nSev.$$

Подставив значение I в выражение для F , получаем:

$$F = kHnSev \sin \alpha.$$

Так как в куске проводника содержится $N = Sln$ электронов, то сила, действующая на один электрон, равна $f = kHev \sin \alpha$.

Сила f носит название силы Лоренца.

Направление силы Лоренца определяется правилом левой руки (правило пересекающихся линий): направление поля пересекается ладонью, четыре пальца направлена направление движения зарядов, или вдоль движения положительно заряженной частицы, большой палец показывает направление силы Лоренца.

561. Сила Лоренца всегда перпендикулярна скорости частицы и потому не совершает работы. Кинетическая энергия, а значит, и абсолютное значение скорости частицы остаются постоянными.

562. Действующая на электрон сила $f = kevH$. Если H направлено в зрачках, а заряд в системе СГСЭ, то $k = \frac{1}{c}$ (см. задачу 560). Эта сила постоянна по величине и перпендикулярна скорости v . Поэтому ускорение электрона также постоянно по величине и остается все время перпендикулярным скорости. Скорость изменяется только по направлению.

Движение с постоянной по величине скоростью при наличии постоянного ускорения, перпендикулярного скорости, есть равномерное движение по окружности.

На основании второго закона Ньютона $\frac{mv^2}{R} = \frac{e}{c} vH$. Следовательно, электрон будет вращаться по окружности радиуса $R = \frac{mc}{eH}$.

563. Разложим скорость электрона на составляющие: v_{\parallel} — параллельную H , и v_{\perp} — перпендикулярную H (рис. 460). v_{\parallel} не меняется ни по величине, ни по направлению, так как сила Лоренца не действует на частицу, имеющую скорость вдоль поля. v_{\perp} меняется по направлению точно так же, как и в задаче 562.

Таким образом, на радиальном поступательное движение вдоль H накладывается вращение по окружности в плоскости, перпендикулярной H . В результате возникает движение по винтовой линии с постоянным шагом $h = v_{\parallel} \tau$, где τ — время одного оборота электрона по окружности радиуса $R = \frac{mc \sin \alpha}{eH}$.

$$\text{Так как } \tau = \frac{2\pi R}{v_{\perp}} = \frac{2\pi mc}{eH}, \text{ то } h = \frac{2\pi mc}{eH} v_{\parallel} \cos \alpha.$$

564. Вследствие действия силы Лоренца (см. задачу 560) электриона будут перемещаться к краю ленты, а другой положительный заряд, а другой положительный заряд, внутри ленты возникнет дополнительное электрическое поле, напряженность E которого направлена перпендикулярно тому. Перемещение электронов продолжается до тех пор, пока сила Лоренса не будет уравновешена силой, действующей на электрон со стороны электрического поля E : $eE = kevH$. Отсюда $E = kuv$. Разность потенциалов $\varphi_A - \varphi_B = Ea = kvHa$ или, так как

$$I = nevS, \quad \varphi_A - \varphi_B = kHa \frac{I}{neS}.$$

$$565. \varphi_A - \varphi_B \approx 23 \text{ мсб.}$$

566. Сила Лоренса (см. задачу 560) действует как на свободные электроны, так и на положительные ионы, находящиеся в узлах кристаллической решетки, поскольку и те и другие движутся в магнитном поле. Сила f , действующая на свободные электроны,

приводит правило левой руки будет направлена так, как это показано на рис. 461. Электроны относительно решетки смещаются, одна боковая сторона параллелепипеда заряжается отрицательным зарядом, другая — положительным. В бруске возникает электрическое поле, и, когда напряженность этого поля будет достаточно велика, то оно будет отталкивать соединение $H = kuv$, перемещение электронов относительно решетки прекратится.

Несколько напряженность E

$$E = kuv.$$

Плотность зарядов σ находится в соотношении $4\pi r^2 = E$.

$$E = \frac{4\pi r^2}{\epsilon k} = kuv.$$

Следовательно, $\sigma = \frac{1}{4\pi} kuv$.

567. Для того чтобы электростатическое поле не возникло, необходимо при вращении цилиндра не должны перемещаться относительно кристаллической решетки. Это перемещение будет отсутствовать, если действующая на электрона сила Лоренса равна kev , т. е. $mv^2 = kevH$.

Так как $v = \omega r$, то $H = \frac{mv}{ek}$.

Поле должно быть направлено в сторону поступательного движения буравчика, рукоятка которого вращается в том же направлении, что и цилиндр.

§ 28. Электромагнитная индукция. Переменный ток

568. Направление напряженности электрического поля указано на рис. 462. При движении контура поток магнитной индукции, проходящий площадь $ABCD$, убывает. Следовательно, в соответствии с правилом Ленца индукционный ток будет течь в направлении пасовской стрелки.

570. При движении железного стержня происходит изменение магнитного потока, пронизывающего катушку, что вызывает появление в цепи электродвигущей силы индукции. В соответствии с правилом Ленца при вхождении стержня в катушку полный ток в катушке уменьшается, а при выходе увеличивается.

График изменения тока имеет вид, указанный на рис. 463.

571. Скорость изменения потока магнитной индукции постоянна, и следовательно, постоянной будет сила, действующая на катушку во второй катушке. Если катушка включена в замкнутую цепь, то по ней будет текти постоянный ток. Как известно, постоянный ток, он устанавливается не сразу. Время

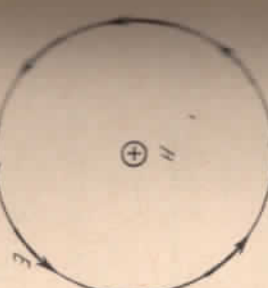


Рис. 462.

Рис. 463.

установления определяется коэффициентом самондукции, который катушки и ее сопротивлением.

572. Да, изменяется, Э. д. с. индукции пропорциональна скорости изменения потока магнитной индукции, а величина потока магнитной индукции в железном сердечнике не изменяется пропорционально току. Зависимость более сложная.

573. Согласно закону Фарadays

$$\mathcal{E}_I = 10^{-8} \frac{\Delta \Phi}{\Delta t} = 10^{-8} kS.$$

Э. д. с. индукции численно равна работе, совершающейся при перемещении единичного положительного заряда вдоль витка.

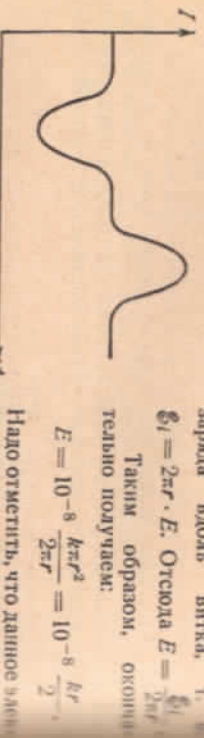


Рис. 463.

Надо отметить, что данное электрическое поле создается не электрическими зарядами, а магнитными полями, напоминавшими во времена Майера полем. Напомним, что речь идет о количестве протекшего электричества в кулонах, а не о зарядах.

574. Разобьем кольцо на $n = \frac{b-a}{\delta}$ колечек ширины δ каждое. Рассмотрим кольцо радиуса h , внутренний радиус которого a и внешний $b + \delta$. Если δ мало по сравнению с x , то сопротивление такого кольца можно выразить формулой

$$R = \rho \frac{2\pi x}{\delta h}.$$

Величина э. д. с. индукции, действующей в этом кольце ($|d\Phi|$) условим, что $\delta \ll x$, равна

$$\mathcal{E} = 10^{-8} \frac{\Delta \Phi}{\Delta t} = 10^{-8} \pi x^2 k,$$

Сила тока, текущего по такому кольцу,

$$\Delta I = \frac{\mathcal{E}}{R} = 10^{-8} \frac{\pi x^2 k \delta h}{\rho 2\pi x} = 10^{-8} \frac{k \delta h x}{2\rho}.$$

Для того чтобы найти силу тока, текущего по всему кольцу, надо найти, чему равняется сумма следующего вида:

$$I = 10^{-8} \frac{k \delta h}{2\rho} (a + (a + \delta) + (a + 2\delta) + \dots + [a + (n - 1)\delta]).$$

Изложение в скобках представляет собой арифметическую прогрессию. Поэтому

$$I = 10^{-8} \frac{k h}{2\rho} (b - a) \frac{2a + b - a - \delta}{2}.$$

Этот результат будет тем точнее, чем меньше величина δ . Полагая δ равнущимся к нулю, получим:

$$I = 10^{-8} \frac{k h}{4\rho} (b^2 - a^2).$$

575. На основании закона электромагнитной индукции и закона Ома для количества электричества, прошедшего через гальванометр, имеем:

$$I = 10^{-8} \frac{k h}{4\rho} (b^2 - a^2),$$

$$\Delta Q = I \Delta t = 10^{-8} \frac{\Delta \Phi}{R},$$

$$Q = \frac{10^{-8}}{R} (\Phi - \Phi_0).$$

Так как начальный магнитный поток $\Phi_0 = HS_0$, а конечный $\Phi = 0$, то количество протекшего электричества в кулонах будет равно

$$Q = \frac{10^{-8}}{R} HS_0, \text{ если } R \text{ измеряется в ванах, и } H \text{ в эрстедах.}$$

576. В контуре ABCD действует э. д. с. индукции $\mathcal{E}_1 = 10^{-8} ka^2$, в э. д. с. индукции $\mathcal{E}_2 = 10^{-8} k \frac{a^2}{2}$, $\delta_1 = \frac{\delta}{2}$.

Простейшая эквивалентная схема с гальваническими элементами, заменяющими э. д. с. индукции, для нашей цепи имеет вид,

изображенная на рис. 464.
На основании закона Ома

$$I_{1ar} = \mathcal{E}_1 - I_{1,3ar} = I_{2,2ar} - \mathcal{E}_2.$$

Несколько сохранения заряда $I_1 = I_1 + I_2$. Из данной системы уравнений легко найти все три тока:

$$I_1 = \frac{\mathcal{E}_1 + 2\mathcal{E}_2}{22ar}, \quad I_2 = \frac{2\mathcal{E}_1 + 8\mathcal{E}_2}{22ar}, \quad I_3 = \frac{2\mathcal{E}_1 - 3\mathcal{E}_2}{11ar}.$$

Упрощенное выражение для \mathcal{E}_1 и \mathcal{E}_2 , будем иметь:

$$I_1 = \frac{10^{-8} ka}{r} \cdot \frac{7}{22}, \quad I_2 = \frac{10^{-8} ka}{r} \cdot \frac{3}{11}, \quad I_3 = \frac{10^{-8} ka}{r} \cdot \frac{1}{22}.$$

577. Наиболее неудовлетворителен 3-й способ, так как токи в них перекрывают в плоскостях витков обмотки, не встречаются в одинаковых направлениях. Помимо этого, избавиться от большей части вихревых токов, однако не от всех, так как в оном слое обмотки автогенератора фактически имеется много витков вокруг сердечника

Наилучшим является 2-й способ, который и применяется на практике.

578. Разность потенциалов между любыми точками колца должна быть равной нулю. В противном случае мы пришли к противоречию, применения закона Ома к короткому и длинному участкам колца. Кроме того, что очевидно из сопротивлений симметрии

честное поле внутри колца равно нулю. Ток возникает вследствие наличия э. д. с. индукции, распределенной равномерно вдоль колца

$$I = \frac{e_l}{r} = \frac{\mathcal{E}_l}{R},$$

где e_l и \mathcal{E}_l — э. д. с. индукции на коротком и длинном участках колца, а r и R — соответственно сопротивления участков.

Несмотря на отсутствие разности потенциалов между точками A и B , электрометр обнаружит разность потенциалов между точками A и корпусом.

Дело в том, что в проводниках AC и BD ток равен нулю, следовательно, в каждой точке этих проводников стороннее электростатическое поле индукционного происхождения уравновешивается напряженностью электростатического поля, возникшего вследствие перераспределения зарядов в проводниках под влиянием э. д. с. индукции. Работа электростатических сил при перемещении по замкнутому контуру $ACDBA$ равна нулю. На участке AB электростатическое поле отсутствует. При перемещении заряда по проводникам AC и BD работа противоточных сил равна э. д. с. индукции в этих проводниках и имеет противоположный знак.

Следовательно, для равенства работы электростатических сил вдоль замкнутого контура необходимо, чтобы разность потенциалов между точками C и D равнялась э. д. с. индукции в проводниках AC и BD и совпадала с ней по знаку. Так как э. д. с. индукции в замкнутом контуре $ACDBA$ равна нулю (так как поле не пронизывает этот контур), то на участке AB э. д. с. индукции равна по величине и противоположна по знаку э. д. с. в проводниках AC и BD , если пренебречь работой стороны снаружи контура по сравнению с работой в проводниках AC и BD .

Поэтому электрометр показает разность потенциалов, приблизительно равную э. д. с. на участке AB .

579. В отличие от задачи 578 разность потенциалов $U_A - U_B$ не равна нулю.

Запишем закон Ома для всех трех участков проводника, обозначив токи на участках ADB , AKB и ACB через I_1 , I_2 , I_3 в соответствии э. д. с. индукции — через \mathcal{E}_1 , \mathcal{E}_2 , \mathcal{E}_3 :

$$I_1 = \frac{\mathcal{E}_1 + U_A - U_B}{R_1}, \quad I_2 = \frac{\mathcal{E}_2 + U_B - U_A}{R_2}, \quad I_3 = \frac{\mathcal{E}_3 + U_A - U_B}{R_3},$$

В силу сохранения заряда $I_1 = I_1 + I_3$. Складывая для первых уравнений, будем иметь:

$$I_1 R_1 + I_2 R_2 = \mathcal{E}_1 + \mathcal{E}_2 = \mathcal{E}.$$

Вычитая первое уравнение из третьего, получим:

$$I_3 R_3 - I_1 R_1 = \mathcal{E}_3 - \mathcal{E}_1.$$

Из э. д. с. индукции в контуре $ACBDA$ равна нулю, так как он не пронизывается магнитным полем. Следовательно,

$$\mathcal{E}_1 = \mathcal{E}_3 \text{ и } I_3 R_3 - I_1 R_1 = 0.$$

Система уравнений дает следующее значение искомого тока:

$$I_3 = \frac{\mathcal{E} R_1}{R_1 R_2 + R_2 R_3 + R_1 R_3}.$$

Из этого уравнения при отсутствии сопротивлений R_1 и R_2 можно найти:

$$I_1 = \frac{\mathcal{E} R_3}{R_1 R_2 + R_2 R_3 + R_1 R_3}, \quad I_2 = \frac{\mathcal{E} (R_1 + R_3)}{R_1 R_2 + R_2 R_3 + R_1 R_3},$$

$$I_3 = \frac{\mathcal{E} R_1}{R_1 R_2 + R_2 R_3 + R_1 R_3}, \quad I_1 = 0, \quad I_2 = \frac{\mathcal{E}}{R_2} = I_3.$$

$$U_A - U_B = - \frac{\mathcal{E} R_1^2 R_2}{(R_1 + R_2)(R_1 R_2 + R_2 R_3 + R_1 R_3)},$$

в этом случае

$$U_A - U_B = - \frac{\mathcal{E} R_1}{R_1 + R_2},$$

причем $U_A - U_B = -\mathcal{E}_1$ (так как на участке ADB $I_1 = 0$), где \mathcal{E}_1 — э. д. с. индукции на участке ADB .

Через электромагнит необходимо пропускать переменный ток I , чтобы индукция в нем была равна нулю. Причем ток должен медленно нарастать, так как это момент металлический предмет будет слабо отталкиваться от индукции в нем индукционного тока, и очень быстро убывать, ибо при этом в соответствии с правилом Леннающий значительная сила притяжения, пропорциональная скопление изменения тока.



Рис. 465.

Взаимная зависимость тока от времени изображена на

рис. 465. При этом стала притяжения возникает также в момент выключения постоянного тока в электромагните.

В обоих случаях равновесие устанавливается, если момент действия лежащих со стороны магнитного поля на индукционный ток в колце, равен нулю или отсутствует индукционный ток. Это

будет лишь в том случае, когда плоскость кольца расположена вдоль силовых линий поля (индукционный ток равен нулю), либо же тогда, когда плоскость кольца строго перпендикулярна силовым линиям (момент сил равен нулю).

В соответствии с правилом Ленца в нарастающем магнитном поле устойчиво будет первое положение кольца, а второе будет неустойчивым.

В убывающем магнитном поле, напротив, равновесие будет устойчивым при наличии прямого угла между плоскостью кольца и силовыми линиями и неустойчивым, когда плоскость кольца параллельна силовым линиям.

583. Пусть скорость движения проводника в каком-то момент времени равна v . Тогда э. д. с. (в вольтах) в этот же момент времени будет равна $\mathcal{E} = 10^{-8} Hl v$, а сила тока $I = \frac{1}{R} \cdot 10^{-8} Hl v$. Вследствие действия магнитного поля на проводник с током возникнет сила f , препятствующая свободному падению проводника

$$f = 10^{-9} \frac{H^2 l^2 v}{R}.$$

Следовательно, в рассматриваемый момент времени ускорение определяется из соотношения

$$ma = mg - f = mg - 10^{-9} \frac{H^2 l^2 v}{R}.$$

Легко видеть, что ускорение a по мере увеличения скорости $f = mg$, ускорение станет равным нулю. Продолжив начатое этого момента, будет двигаться с постоянной скоростью v_h , равной

$$v_h = \frac{mgR \cdot 10^9}{H^2 l^2}$$

584. Э. д. с. индукции, возникающей в проводнике (измеренная в вольтах), $\mathcal{E} = 10^{-8} Hl v$. Заряд на обкладках конденсатора находится из соотношения

$$Q = \mathcal{E}C = 10^{-8} Hl v C.$$

Текущий в цепи ток

$$I = \frac{\Delta Q}{\Delta t} = 10^{-8} Hl C \frac{\Delta v}{\Delta t} = 10^{-8} Hl Ca,$$

где a — искомое ускорение.

Вследствие взаимодействия этого тока с магнитным полем получится сила F , действующая на подвижный проводник. На основании правила Ленца эта сила будет направлена в сторону, противоположную силе F .

По величине $F_1 = kIHl = 10^{-9} H^2 l^2 a C$, если C измерено в фардах. Искомое ускорение может быть найдено из соотношения $ma = F - F_1$.

Ответы

$$a = \frac{F}{m + 10^{-9} H^2 l^2 C}$$

Максимальная постоянная

работа силы F на пути S пойдет на приращение кинетической энергии проводника и на увеличение электростатической энергии конденсатора.

Пусть магнит первоначально расположен так, как показано на рис. 466. Его северный конец находится на расстоянии R_1 от

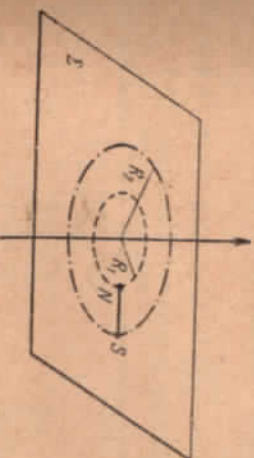


Рис. 466.

точек в южной — на расстоянии R_2 , причем длина магнита $l = R_2 - R_1$. Будет перемещать магнит в плоскости Σ вокруг провода, изменяя расстояния R_1 и R_2 неизменными до тех пор, пока магнит не займет прежнее положение, совершив один оборот. Так при этом перемещении суммарное изменение потока магнитом индукции через путь, ограниченный прямым проводом и замыкающими его проводниками, равно нулю, то и количество индуцированных от магнита, равно нулю, то и количество индуцированного электричества, протекшего по контуру, равно нулю. На основе закона сохранения энергии работа сил магнитного поля должна быть равна нулю:

$$2\pi R_1 H_1 m - 2\pi R_2 H_2 m = 0,$$

где m — магнитный заряд полюса, а H_1 и H_2 — напряженности магнитного поля на расстояниях R_1 и R_2 от провода. Следовательно, $\frac{H_1}{H_2} = \frac{R_2}{R_1}$, что возможно только при $H \sim \frac{1}{R}$.

Но так как согласно условию напряженность магнитного поля пропорциональна времени: $H = 0,4\pi \frac{N}{t} R$, то э. д. с. самодвижения равна

$$\mathcal{E}_t = 10^{-8} \cdot 0,4\pi \frac{N^2}{t} kS \quad (S = \pi r^2)$$

и направлена против тока. Напряжение на зажимах катушки \mathcal{E}_l должно быть равно

$$U = 4\pi \cdot 10^{-9} S \frac{N^2}{L} k + kRl.$$

В этом случае $I = \frac{U - \mathcal{E}_l}{R} = kt$.

587. При $R = 0$, т. е. самоиндукции \mathcal{E}_l остается постоянной, как напряжение на зажимах катушки $U = \mathcal{E}_l = \mathcal{E}$. Из решения задачи 586 следует, что при постоянной \mathcal{E}_l ток изменяется пропорционально времени: $I = kt$, причем $k = \frac{10^6 \mathcal{E}}{4\pi \cdot 10^{-9} SN^2}$. Следовательно,

$I = \frac{10^6 \mathcal{E}}{4\pi \cdot 10^{-9} SN^2} t$. Если сопротивление конечно, а не равно нулю, ток будет возрастать по такому же закону до тех пор, пока падение напряжения IR на сопротивлении R будет пренебрежимо мало и

сравнению с \mathcal{E}_l . 588. Работа батареи за время t будет равна $A = \mathcal{E}_l Q$, где Q — количество электричества, прошедшее за время t по соленоиду.

Ток в катушке возрастает пропорционально времени: $I = \frac{10^6 \mathcal{E}}{4\pi \cdot 10^{-9} SN^2} t$

(см. решение задачи 587). Поэтому Q будет равно произведению средней силы тока

$$\frac{I_u + I_k}{2} (I_u = 0)$$

на время t , или же численно равно площади заштрихованного треугольника (см. рис. 467):

$$Q = \frac{I \mathcal{E} \tau^2}{8\pi \cdot 10^{-9} S N^2} 10^9.$$

Отсюда работа, выраженная в эргах, будет равна

$$A = \frac{I \mathcal{E} \tau^2}{8\pi \cdot 10^{-9} S N^2} 10^{16} эрг.$$

Эта работа идет на увеличение энергии магнитного поля. Мы можем записать, что $A = W$, где W — энергия магнитного поля. Учитывая, что $H = 0,4\pi \frac{N}{L} I$, и подставляя выражение для тока, энергию мы можем представить в виде

$$W = \frac{1}{8\pi} H^2 S l$$

(W — в эргах, H — в эрстедах, l — в сантиметрах). Так как сопротивление кольца равно нулю, то и суммарная электродвижущая сила в нем всегда должна быть равна нулю.

Ее может быть только в том случае, если изменение полного магнитного потока, произвращающего кольцо, равно нулю. Следовательно, изменение внешнего магнитного потока Φ_0 равно по величине и противоположно по знаку изменению магнитного потока, создаваемого индукционным током: $\Delta\Phi_0 = LlI$. Учитывая, что поток Φ_0 меняется от 0 до $\pi r^2 H_0$, а индукционный ток меняется при этом от 0 до I , получим: $\pi r^2 H_0 = LI$.

Следовательно, $I = \frac{\pi r^2 H_0}{L}$.

Магнитный поток через кольцо не может изменяться (см. задачу 580). Следовательно, $\Phi = \pi r^2 H$. Вычад этот поток создается внешним магнитным полем, а после его выключения — индукционным в кольце током.

589. Э. д. с. самоиндукции $\mathcal{E}_l = -L \frac{\Delta I}{\Delta t}$, если \mathcal{E}_l выражено в вольтах, а I — в амперах.

Следовательно, $L = 10^{-9} \frac{4\pi N^2 \mu S}{I}$.

590. $\Phi = N_1 S_l u H_2$, где N_1 — число витков первой обмотки, H_2 — магнитное поле, созданное в сердечнике второй обмоткой. Примложение $H_2 = \frac{4\pi N_2 I}{l}$, где l — периметр сердечника.

Следовательно, $M = \frac{4\pi \mu S N_1 N_2}{l}$.

На время τ , или же численно равно площади заштрихованного треугольника (см. рис. 467), индукция в диске смешена по фазе относительно начального тока в электромагните на $\pi/2$. С другой стороны, сдвиг фаз между э. д. с. и током в диске равен $\pi/2$, если $L_o \gg R$. В нашем случае R мало и это непременно выполняется. В результате получается, что ток Фуко также смешен по фазе на π по отношению к току в электромагните. Токи противоположны по направлению и будут отталкиваться, следовательно, диск отойдет и лягь, на которой он подведен.

К этому же результату можно прийти другим путем. Если индукцией сопротивлением диска можно пренебречь по сравнению с индукцией, то полный поток магнитной индукции через диск может не будет меняться. Для сверхпроводника (см. задачу 589) изменение потока струго равно нулю! А это означает, что поле в диске направлено всегда против поля электромагнита.

Следовательно, диск будет отталкиваться.

591. Если самоиндукцией проводников можно пренебречь, то при переходе заряда $+Q$ с одной пластины на другую (и соответственно заряда $-Q$ для другой пары пластин) будет выделено количество тепла $\Delta W = \mu dQ$, где d — разность потенциалов между пластинами, соединенными проводниками, в некоторый момент времени.

Перенос заряда ΔQ ведет к изменению разности потенциалов у обоих конденсаторов на величину $\Delta\varphi = \frac{\Delta Q}{C}$. Следовательно,

$$\Delta W = uC\Delta\varphi.$$

Уменьшение разности потенциалов между пластинами у одного конденсатора на φ сопровождается увеличением на ту же величину разности потенциалов у другого конденсатора. Поэтому

$$u = (U - \varphi) - \varphi = U - 2\varphi,$$

где U — начальная разность потенциалов между пластинами заряженного конденсатора, а φ — величина, на которую уменьшилась эта разность потенциалов в данный момент. Так как φ меняется от нуля до $U/2$, то график зависимости напряжения u от φ имеет вид, изображенный на рис. 468 пунктирной линией. Зависимость произведения uC от φ изображена сплошной линией AB . Количеством тепла $\Delta W = uC\Delta\varphi$ представляет собой на рис. 468 площадь треугольника со средней линией ab , соответствующей среднему потенциалу на данном интервале $\Delta\varphi$.

Полное количество выделившегося тепла W изображено плавкой треугольником OAB . Оно равно погрею электростатической энергии:

$$W = UC \cdot \frac{U}{2} \cdot \frac{1}{2} =$$

$$= \frac{U^2 C}{4} = \frac{Q^2}{4C} = \frac{W_0}{4},$$

и не зависит от величины сопротивления проводников.

Однако считать сопротивление равным нулю или очень малым нельзя, так как в этом случае недопустимо преувеличение самой величины постоянной величины переменного тока, которая выражается в виде количества тепла, что и переменный, за равное с ним временным количеством тепла, выделенном за период:

$$Q = 0.24I_0^2 R \frac{T}{8} + 0.24I_0^2 R \frac{T}{8} = 0.24I_0^2 R \frac{T}{4}.$$

С другой стороны, $Q = 0.24I_{\text{эфф}}^2 RT$.

$$\text{Отсюда } I_{\text{эфф}} = \frac{I_0}{2}.$$

596. Когда по цепи пропускают переменный синусoidalный ток, амперметр постоянного тока будет показывать нуль, так как стрелка взвешивает инерционность подвижных частей амперметра и не может следовать за быстрым изменением мгновенных значений

переменного тока. Тепловой амперметр показывает эффективную величину переменного тока $I_t = \frac{I_0}{\sqrt{2}}$.

Если по цепи одновременно протекают постоянный и переменный токи, амперметр постоянного тока покажет среднее значение суммы, равное величине постоянного тока $I_1 = 6A$.

Ток, протекающий через тепловую амперметр, равен

$$I = I_1 + I_0 \sin \omega t.$$

Из вытекает в среднем за секунду тепло

$$Q = kI^2 R = kR(I_1^2 + 2I_1 I_0 \sin \omega t + I_0^2 \sin^2 \omega t).$$

Линия ab изображает усреднение по времени. Среднее значение за период часты $2I_1 I_0 \sin \omega t$ равно нулю, а среднее значение

$$I_0^2 \sin^2 \omega t = I_0^2 \frac{1 - \cos 2\omega t}{2} = \frac{I_0^2}{2} = I_2^2,$$

т. е. равно квадрату эффективной величины переменного тока. Следовательно,

$$Q = kR(I_1^2 + I_2^2).$$

На другой стороне, количество выделенного за секунду в амперметре тепла Q связано с эффективной силой тока I , протекающего через амперметр, выражением $Q = kI^2 R$. Следовательно, тепловой амперметр переменного тока покажет значение

$$I = \sqrt{I_1^2 + I_2^2} = 10 A.$$

Но $I_2 = 0$. Так как $R = 0$, то ток I отстает по фазе от напряжения U на $\pi/2$. Графики $U = U_0 \sin \omega t$, $I = I_0 \sin \left(\omega t - \frac{\pi}{2} \right)$ и мгновенной мощности $W = IU$ изображены на рис. 469. Знак W меняется

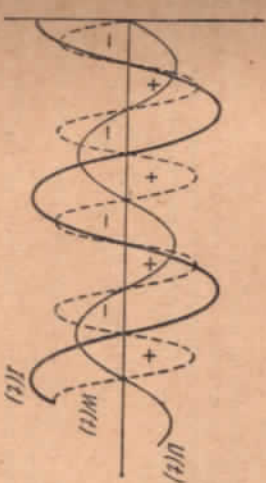


Рис. 469.

как раз в четверть периода. Положительному значению W соответствует поступление энергии от источника в катушку. При отрицательном W энергия из катушки поступает обратно в источник.

В среднем за период катушки не потребляет мощности; средняя мощность равна нулю.

598. Индуктивное сопротивление дросселя много больше его омического сопротивления: $L_{\text{до}} \gg R$. Преимущество дросселя перед обычным сопротивлением состоит в том, что на индуктивном сопротивлении дросселем гораздо экономичнее лампы с последовательно включенными омическими сопротивлениями.

599. Если $L_{\text{до}} \gg R$, то сдвиг фаз между током и напряжением велик и потребляемая сетью мощность не может быть большой величиной. Включение конденсаторов уменьшает этот сдвиг фаз, так как ток через конденсатор определяется напряжением на участке AC рисунка.

600. а) Так как коэффициент потребляемой мощности уменьшается, то падение напряжения на участке AC рисунка не течет. Следовательно, падение напряжения на участке AC рисунка не течет.

б) В случае, когда между точками B и C приложено первое падение напряжения на участке BC , сечение проводника переменной магнитный поток, который наводит на участке AC с. д. с. индукции. Так как $L_{\text{до}} \gg R$, то амплитуда напряжения U_2 между точками A и B будет равна $2U_1$ (появляющийся автогенератор).

601. При прохождении по проводнику переменного тока коэффициент выделенного тепла равен $W = I_{\text{эфф}}^2 R t$. Выражение же для количества выделенного тепла $W = \frac{U_{\text{эфф}}^2}{R} t$ справедливо только тогда, когда имеет место закон Ома в обычной форме: $I = \frac{U}{R}$.

У обмотки трансформатора велико индуктивное сопротивление. Поэтому закон Ома в обычной форме и, следовательно, выражение $W = \frac{U_{\text{эфф}}^2}{R} t$ не имеют места. Количество выделенного тепла мало, так как мала сила тока и мало омическое сопротивление обмотки.

602. Напряжение на зажимах первичной обмотки U_1 при изображении ее омическим сопротивлением может быть представлена как алгебраическая сумма с. д. с. самоиндукции этой обмотки и с. д. с. индукции, возбуждаемой в ней током, текущим во второй обмотке:

$$U_1 = L_1 \frac{\Delta I_1}{\Delta t} - M \frac{\Delta I_2}{\Delta t}.$$

Знак минус возникает вследствие того, что токи I_1 и I_2 имеют противоположные фазы.

Если токи меняются по законам $I_1 = I_{01} \sin \omega t$ и $I_2 = I_{02} \sin(\omega t + \pi)$,

$$\frac{\Delta I_1}{\Delta t} = \omega I_{01} \cos \omega t \quad \text{и} \quad \frac{\Delta I_2}{\Delta t} = \omega I_{02} \cos \omega t.$$

Так как напряжение U_1 смешено по фазе относительно тока I_1 на $\pi/2$, то можно записать $U_1 = U_1 \cos \omega t$.

Найдем выражение для U_1 на $L_{10} \cos \omega t$, будем иметь:

$$\frac{U_{01}}{L_{10}} = I_{01} - \frac{M}{L_1} I_{02},$$

то есть ток холостого хода, если омическое сопротивление катушки не учитывать.

Приобретая током холостого кат. получим:

$$\frac{I_{01}}{I_{02}} = \frac{M}{N_1}.$$

Используя выражения для коэффициента самоиндукции и единичной индукции из задачи 591 и 592, получим:

$$\frac{I_{01}}{I_{02}} = \frac{N_2}{N_1}.$$

603. Положительные полуволны тока зарядят конденсатор до максимального напряжения городской сети, равного $127\sqrt{2} \text{ в} = 180 \text{ в}$. Тогда диод заперт (не проводит ток), к нему приложено напряжение тока (с амплитудой 180 в) plus такое же напряжение заряженного конденсатора. Изменение потенциала наоль цепи в этот момент времени изображено на рис. 470.

Если выпрямитель работает без нагрузки, то конденсатор может расчитываться на пробивное напряжение, не меньшее 180 в. Диод — на напряжение, не меньшее 360 в.

$$U_a = \frac{U}{2} \sin \omega t - IR.$$

Таким образом, диод имеет при $U_a > 0$ и не имеет при $U_a < 0$. За четверть периода ток не идет в течение промежутка времени $0 \leq t \leq t_1$

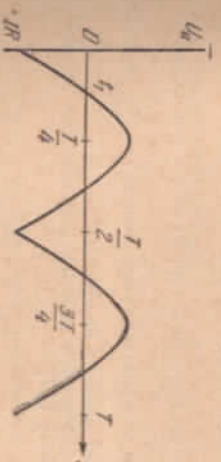


Рис. 470.

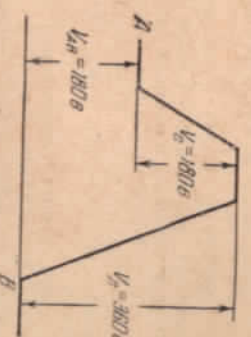


Рис. 471.

При $t_1 = \frac{T}{2} \arcsin \frac{2IR}{U}$, ток I_1 определяется уравнением $\frac{U}{2} \sin \omega t_1 - IR = 0$.

в последующие четверти периода. Всего за период ток не изменился.

$$\frac{27}{\pi} \arcsin \frac{2I/R}{U} = 0,465T.$$

§ 24. Электрические машины

605. Если частота перемещения тока остается прежней, то это означает, что остается прежним число оборотов двигателя и генератора. Поэтому не изменяется и э. д. с. генератора.

При большем внешнем сопротивлении в цепи потребует меньший ток и, значит, будет выделяться меньшая мощность. Следовательно, мощность двигателя, приводящего генератор, должна быть уменьшена.

606. Работа, совершаемая полем по перемещению проводников с током (обмотки якоря), не равна полной работе поля. Кроме работы по перемещению проводников, магнитное поле совершают работу по торможению электронов в проводнике, что приводит к повышению в обмотке якоря э. д. с. индукции. Первая работа нарушена полем якоря, а вторая отрицательна. Полная работа нарушена полем якоря равна нулю.

Электродвижущая сила источника, создающего в якоре мотора ток, совершает положительную работу, компенсирующую отрицательную работу магнитного поля по торможению электронов. Двигатель совершает работу, по существу, за счет энергии источника, питающего мотор.

607. Мощность, потребляемая мотором, $W = IU$; $U = \mathcal{E}_t + IR$, где \mathcal{E}_t — э. д. с. индукции, возникающей в якоре.

$$W = I\mathcal{E}_t + I^2R.$$

Здесь I^2R — джоулево тепло, выделяемое в обмотках, а $I\mathcal{E}_t$ — работа, против э. д. с. индукции. Она равна механической мощности W , развиваемой мотором.

Эта мощность $W_1 = \frac{U\mathcal{E}_t - \mathcal{E}_t^2}{R}$, так как $I = \frac{U - \mathcal{E}_t}{R}$. Далее выражение имеет максимум при $\mathcal{E}_t = \frac{U}{2}$ (см. решение задачи 510).

Следовательно, максимальное значение $W_1 = \frac{U^2}{4R} = 180$ д. Мощность в 200 дж. мотор развить не может.

608. Для серийного мотора развивается максимальная мощность (см. задачу 607)

$$W_{\max} = \frac{U^2}{4(R_1 + R_2)}.$$

Потребляемая мотором мощность

$$W = UI = U \frac{U - \mathcal{E}_t}{R_1 + R_2} = \frac{U^2}{2(R_1 + R_2)},$$

так как $\mathcal{E}_t = \frac{U}{2}$.

Поглощаемая мощность

$$W = UI = U \left(\frac{U - \mathcal{E}_t}{R_1} + \frac{U}{R_2} \right) = \frac{U^2 (2R_1 + R_2)}{2R_1 R_2}.$$

Следовательно,

$$\eta = \frac{1}{2} \frac{1}{1 + 2 \frac{R_1}{R_2}},$$

или $\eta = 50\%$. Обозначим через I длину, а через d ширину витка (рис. 472). Тогда I , действующая на проводник длина I , равна $F = kIH$. При мощности

$$W = 2kIH\omega = kHS\omega,$$

где ток I определяется из выражения

$$I = \frac{U - \mathcal{E}_t}{R},$$

Рис. 472.

$I = 10^{-8} H S \omega$. Потомательно W записывается в следующей форме:

$$W = kHS \frac{U}{R} \omega = 10^{-8} k \frac{H^2 S^2}{R} \omega^3.$$

Причины максимального значения

$$W_{\max} = \frac{kU^2}{4R} \cdot 10^8 = \frac{U^2}{4R} \text{ дж.}$$

При $\omega = \frac{U}{2HS} \cdot 10^8$. При этом

$$\mathcal{E}_t = \frac{U}{2} \text{ и } I = \frac{U}{2R}. \quad \text{В единицу времени батарея совершает рабо-}$$

боту $\frac{U^2}{2R}$. Из этого количества половина превращается в механическую мощность, другая же по-

запаса графическая зависимость W от ω выдается в виде тепла (см. задачу 607). На рис. 473

$$610. M = \frac{kHSU}{R} - \frac{k10^{-8}H^2S^2}{R} \text{ об.}$$

Момент будет равен нулю тогда, когда $\omega = \frac{U \cdot 10^8}{HS}$ (см. рис. 471)

При этом $I = 0$, так как $\mathcal{E}_i = U$.

611. Характер зависимости W от H изображен на рис. 472 (см. решение задачи 609). Мощность достигает максимального значения при $H = \frac{U}{2S_{\text{нн}}} \cdot 10^8$. При этом $\mathcal{E}_i = \frac{U}{2}$ и $W_{\text{max}} = \frac{U^2}{4R}$

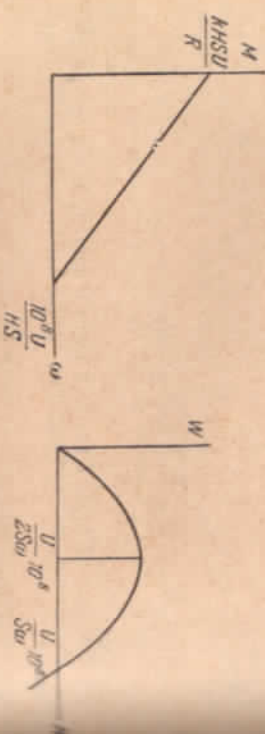


Рис. 472.

612. Вращающий момент M достигает своего максимального значения $M_{\text{max}} = 10^7 \frac{U^2}{4R_{\text{ко}}} \text{ дин} \cdot \text{см}$ при $H = 10^8 \cdot \frac{U}{2S_{\text{нн}}}$.
613. Мощность шунтового мотора, так же как и сервомотора

$$W = \frac{U\mathcal{E}_i - \mathcal{E}_i^2}{R},$$

Рис. 473.

где R — сопротивление якоря (см. задачу 607). Мощности $W = 160 \text{ кВт}$ соответствуют два значения \mathcal{E}_i : $\mathcal{E}_1 = 80 \text{ в}$, $\mathcal{E}_2 = 40 \text{ в}$. То или иное значение определяется конструктивными особенностями мотора.

По закону Фарadays якоря \mathcal{E}_i прямо пропорционально числу витков якоря и их индукции, а H — напряженности магнитного поля статора, прямо пропорциональна току. Исключив \mathcal{E}_i из этих уравнений, получим

$$n = \frac{U}{kH} - \frac{2\pi MR}{k^2H^2},$$

зависимость n от H изображена на рис. 475.

$$\text{Если } H < H_0 = \frac{2\pi MR}{kU}, \text{ то } n < 0.$$

Рис. 475.

Значение n , при котором якорь не будет вращаться, называется критической скоростью вращения якоря. Для шунтового мотора эта напряженность не зависит от статором. Для якоря можно записать: $\mathcal{E}_i = a_1i$, где a — постоянная величина, определяемая конструкцией двигателя и приложенным напряжением. По данным задачи получаем: $a_1 = 8$ и $a_2 = 4$, \mathcal{E}_i может принимать 120 вольт. Следовательно, максимальное число оборотов n равно 15 об/сек., либо $n_2 = 30 \text{ об/сек.}$

Следовательно, максимальное число оборотов n равно 15 об/сек., если напряжение на статоре поддерживается постоянным, то при заданной скорости вращения якоря э.д.с. индукции и якоря совершило не зависит от того, приводят ли якорь мотора за собой действия магнитного поля статора на ток в якоре, или же индукция якоря поддерживается с помощью механического привода.

Напоминаем, что мотором мощность $W = M \omega$. В нашем случае $\omega = 100 \text{ об.} \cdot \text{с.}$ Индукции \mathcal{E}_i определяется из уравнения

$$W = \frac{U\mathcal{E}_i - \mathcal{E}_i^2}{R}$$

из решения задачи 607). Отсюда $\mathcal{E}_i = \frac{U}{2} \pm \sqrt{\frac{U^2}{4} - WR}$ имеет два значения $\mathcal{E}_1 = 80 \text{ в}$, $\mathcal{E}_2 = 40 \text{ в}$. Э.д.с. генератора также будет равна \mathcal{E}_i или \mathcal{E}_2 , а потому значение I определяется при одинаковом значении произведения $I\mathcal{E}_i$, а именно $I\mathcal{E}_1 = I\mathcal{E}_2$.

Неизвестность W является результатом связи с тем, что одна и та же мощность мотора получается при одинаковом значении произведения $I\mathcal{E}_i$ и при двух различных значениях I и \mathcal{E}_i .

То есть значение \mathcal{E}_i , а следовательно, и тока определяется теми конструктивными особенностями мотора: числом витков, их конфигурацией и т. д.

614. Механическая мощность, развиваемая мотором, равна

$$M \cdot 2\pi n = \frac{U\mathcal{E}_i - \mathcal{E}_i^2}{R}$$

из решения задачи 607).

Из условия задачи 607, якорь $\mathcal{E}_i = kHn$, где k — коэффициент пропорциональности, определяемый числом витков обмотки якоря и их индукции, а H — напряженность магнитного поля статора, прямо пропорциональна току.

Из полученных из этих уравнений, исключив \mathcal{E}_i , из них

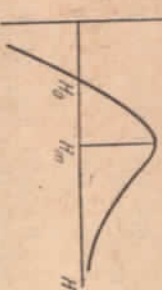


Рис. 476.

Число оборотов n , определяемое из решения задачи 516, число оборотов $n = \frac{U}{kH}$, т. е. обратно пропорционально увеличению H . Следовательно, если $H > H_0$, то при увеличении тока в обмотках статора число оборотов растет, а при $H > H_m$ число оборотов падает.

В случае, когда мотор работает без нагрузки ($M = 0$), число оборотов $n = \frac{U}{kH}$, т. е. обратно пропорционально увеличению H . Следовательно, если ток в якоре мотора: $I = \frac{\mathcal{E}_i - \mathcal{E}_o}{r}$,

Разность потенциалов U на клеммах двигателя равна в любой момент ξ_t , так как сопротивление обмотки равно нулю.

Следовательно, мощность $W = IU = \frac{\xi \xi_t - \xi_0^2}{r}$ определяется в. д. с. сети, ее сопротивлением и ξ_t .

617. Пусть напряжение на концах обмотки O_1 меняется по закону $U_{01} = \xi_0 \sin \omega t$. Тогда напряжение $U_{02} = \xi_0 \sin(\omega t - 120^\circ)$ и разность потенциалов U_{12} равна разности напряжений на обмотках O_1 и O_2 , т. е.

$$U_{12} = \xi_0 \sin \omega t - \xi_0 \sin(\omega t - 120^\circ) = \\ = 2\xi_0 \sin 60^\circ \cos(\omega t - 60^\circ) = \xi_0 \sqrt{3} \sin(\omega t + 30^\circ).$$

Так как $\sin 60^\circ = \frac{\sqrt{3}}{2}$ и $\cos(\omega t - 60^\circ) = \sin(\omega t + 30^\circ)$.

Следовательно, амплитуда линейного напряжения в $\sqrt{3}$ больше амплитуды фазового напряжения.

618. При равенстве сопротивлений нагрузки токи I_1 , I_2 и I_3 равны по амплитуде и сдвинуты по фазе на $\frac{2}{3}\pi$. Поэтому

$$I_1 + I_2 = I_0 \sin \omega t + I_0 \sin\left(\omega t + \frac{2}{3}\pi\right) = I_0 \sin\left(\omega t + \frac{\pi}{3}\right) \\ I_1 + I_2 + I_3 = I_0 \sin\left(\omega t + \frac{\pi}{3}\right) + I_0 \sin\left(\omega t + \frac{4}{3}\pi\right) = \\ = 2I_0 \sin\left(\omega t + \frac{5}{6}\pi\right) \cos \frac{\pi}{2} = 0.$$

619. Магнитные поля H_1 , H_2 и H_3 можно записать в следующем виде:

$$H_1 = H_0 \sin \omega t, \quad H_2 = H_0 \sin\left(\omega t + \frac{2}{3}\pi\right), \quad H_3 = H_0 \sin\left(\omega t + \frac{4}{3}\pi\right).$$

Выберем оси координат x и y , как показано на рис. 220. И найдем сумму проекций напряженности полей на эти оси:

$$H_x = H_0 \sin \omega t + H_0 \sin\left(\omega t + \frac{2}{3}\pi\right) \cos \frac{2}{3}\pi + \\ + H_0 \sin\left(\omega t + \frac{4}{3}\pi\right) \cos \frac{1}{3}\pi = \\ H_y = H_0 \sin\left(\omega t + \frac{2}{3}\pi\right) \sin \frac{2}{3}\pi + H_0 \sin\left(\omega t + \frac{4}{3}\pi\right) \sin \frac{4}{3}\pi.$$

Процедя несложные преобразования, будем иметь:

$$H_x = \frac{3}{2} H_0 \sin \omega t \quad \text{и} \quad H_y = \frac{3}{2} H_0 \cos \omega t.$$

Эти значения проекций будут иметь место только в том случае, если вектор, изображающий магнитное поле, вращается с некоторой угловой скоростью ω в направлении часовой стрелки.

600. При условиях, указанных в задаче, токи в катушках I_1 — I_2 в $\frac{1}{3}$ -спиральке по фазе почти на $\pi/2$. Соответственно смешены фазы на ту же величину, сдвигаемые или магнитные поля: они образуют, и пространстве между катушками существуют поля:

$$H_1 = H_0 \sin \omega t,$$

перпендикулярное по вертикали, и

$$H_2 = H_0 \sin\left(\omega t + \frac{\pi}{2}\right) = H_0 \cos \omega t,$$

параллельное по горизонтали.

Это означает (см. задачу 619), что в пространстве возникает промежуточное магнитное поле. Это поле при сносе вращения уменьшает подпор.

На самом принципе основано устройство одифазных асинхронных электромоторов.

ГЛАВА IV

КОЛЕБАНИЯ И ВОЛНЫ

§ 25. Механические колебания

601. Вертикальная составляющая силы натяжения T равна $F = T \cos \alpha$ (рис. 477). Для конического маятника $F = mg$, так как он не обладает ускорением в вертикальной плоскости.

В случае математического маятника при максимальном отклонении его от положения равновесия эта сила F разделяется на силу натяжения, перпендикулярную к траектории груза, и силу тяжести $mg \cos \alpha$.

При отклонении на угол α натяжение нити конического маятника будет больше.

Высота

$$T_0 = 2\pi \sqrt{\frac{l}{g}}$$

находится из условия колебаний маятника $T_1 = 2\pi \sqrt{\frac{g}{k}}$, число колебаний за сутки $N_1 = 24 \cdot 60 \cdot 60 \cdot \frac{1}{T_1} = \frac{k}{T_1}$. Следовательно, на высоте h над землей частота останется та же, что и на земле, если на время

$$\Delta t_1 = N_1 (T_1 - T_0) = k \left(1 - \frac{T_0}{T_1}\right).$$



Рис. 477.

Число периодов $\frac{T_0}{T_1} = \sqrt{\frac{g_1}{g}} = \sqrt{\frac{R+h}{R}}$, как вытекает из закона всемирного тяготения. Отсюда

$$\Delta t_1 = \frac{kh}{R+h} \approx \frac{kh}{R} \approx 2,7 \text{ сек.}$$

Если часы опущены в шахту, то отношение ускорений $\frac{g_1}{g} = \frac{R-h}{h}$, так как $g_1 = \gamma \frac{4\pi}{3} R^3 \frac{1}{R^2} = \gamma \frac{4\pi}{3} (R-h)^3 / (R-h)$ (см. задачу 234).

Следовательно,

$$\frac{T_0}{T_2} = \sqrt{\frac{g_2}{g}} = \sqrt{\frac{R-h}{R}} \approx 1 - \frac{h}{2R}.$$

Часы в этом случае отстанут на время

$$\Delta t_2 = k \left(1 - \frac{T_0}{T_2} \right) = \frac{kh}{2R} \approx 1,35 \text{ сект.}$$

623. Каждая половина стержня с шариком на конце представляет собой математический маятник длины $d/2$, совершающий колебания в поле тяготения большого шара. Математический маятник в поле тяготения Земли имеет период малых колебаний $T_0 = 2\pi \sqrt{\frac{l}{g}}$. По закону всемирного тяготения $mg = \gamma \frac{mM}{R^2}$ следовательно,

$$T_0 = 2\pi \sqrt{\frac{LR^2}{lM_1}},$$

где $\gamma = 6,67 \cdot 10^{-8} \text{ си}^2/\text{с} \cdot \text{сек}^2$ — гравитационная постоянная, M_1 — масса Земли, R — расстояние маятника от центра Земли.

Соответственно в поле тяготения большого шара период малых колебаний математического маятника длины $l = \frac{d}{2}$ будет равен

$$T = 2\pi \sqrt{\frac{dL^2}{27M}} \approx 5,4 \text{ часа.}$$

624. Период колебаний математического маятника равен

$$T = 2\pi \sqrt{\frac{l}{g'}},$$

где g' — ускорение свободного падения в соответствующей системе координат. В нашем случае

$$g' = \sqrt{g^2 + a^2},$$

где g — ускорение свободного падения относительно Земли. Таким образом,

$$T = 2\pi \sqrt{\frac{l}{\sqrt{g^2 + a^2}}}.$$

625. $T = 2\pi \sqrt{\frac{l}{g \pm a}}$. Плюс надо брать, если ускорение лодки направлено вверх; минус — при ускорении, направленном вниз.

366

626. Колебания кубика в чаше вполне аналогичны колебаниям математического маятника, только вместо натяжения нить на кубик действует реакция опоры. Следовательно, искомый период колебаний

$$T = 2\pi \sqrt{\frac{R}{g}}.$$

627. При $M \gg m$ ускорение чаши $a = \frac{F}{M} = g$. Следовательно (см. задачу 626),

$$T = 2\pi \sqrt{\frac{R}{g+a}} = 2\pi \sqrt{\frac{RM}{F}}.$$

При $F = 0$, т. е. при свободном падении чаши, $T = \infty$ — колебания прекращают. При $F = Mg$ $T = 2\pi \sqrt{\frac{R}{g}}$.

628. Колебания кубика называют периодическое смещение чаши горизонтальной плоскости. Следовательно, период колебаний чаши уменьшится, так как в системе координат, связанной с чаши, появится дополнительное перенесенное ускорение, направленное вправо (см. задачу 624).

629. Сначала движение центра обруча с движением конца винтового маятника радиуса $R-r$. Предположим, что при угле φ_0 обруч и маятник покоятся. На основании закона сохранения энергии для кинетической энергии обруча с концом маятника зависимости от угла φ имеем следующие выражения:

$$v_0 = \sqrt{g(R-r)(\cos \varphi_0 - \cos \varphi)},$$

$$v_w = \sqrt{2g(R-r)(\cos \varphi_0 - \cos \varphi_0)},$$

(записано для кинетической энергии обруча, катящегося без скольжения, см. в задаче 207.)
Из этих выражений следует, что

$$v_0 = \frac{v_w}{\sqrt{2}}.$$

Что же центр обруча движется в $\sqrt{2}$ раз медленнее маятника, период движения центра обруча будет в $\sqrt{2}$ раз больше, чем период движения математического маятника длины $R-r$. Таким образом, для искомого периода имеем выражение

$$T = 2\pi \sqrt{\frac{2 \frac{R-r}{g}}{g}}.$$

Нетрудно показать, что при $r \rightarrow 0$ $T = 2\pi \sqrt{\frac{2R}{g}}$, хотя на первый взгляд показалось, что при $r=0$ должно иметь место равенство

$$T = 2\pi \sqrt{\frac{R}{g}}.$$

Это связано с тем, что при $r \rightarrow 0$ энергия вращательного движения обруча исчезает.

630. Пусть стержень первоначально отклонен от положения равновесия на угол α . В тот момент, когда стержень будет отклоняться с вертикалью угол β , угловая скорость ω_1 стержня на один единиц времени сохранения энергии будет равна

$$\omega_1 = \sqrt{\frac{2g(m_1l_1 + m_2l_2)}{m_1l_1^2 + m_2l_2^2}} (\cos \beta - \cos \alpha).$$

Рассмотрим теперь математический маятник длины l . В этом случае при тех же углах α и β

$$\omega_2 = \sqrt{\frac{2g}{l}} (\cos \beta - \cos \alpha).$$

Подберем l таким образом, чтобы $\omega_1 = \omega_2$. Для этого надо подобрать, чтобы

$$l = \frac{m_1l_1^2 + m_2l_2^2}{m_1l_1 + m_2l_2}.$$

Угловая скорость характеризует изменения угла β в течение времени. Так как $\omega_1 = \omega_2$, то периоды колебаний двух маятников равны. Для математического маятника

$$T = 2\pi \sqrt{\frac{l}{g}}.$$

Следовательно, искомый период равен

$$T = 2\pi \sqrt{\frac{m_1l_1^2 + m_2l_2^2}{m_1l_1 + m_2l_2} \cdot \frac{1}{g}}.$$

631. Данная задача решается тем же методом, что и задача 630. Пусть, полукольцо первоначально отклонено от положения равновесия на угол α . При движении все точки полукольца имеют один и ту же линейную скорость. Кинетическая энергия равна $\frac{mv^2}{2}$.

Изменение потенциальной энергии при повороте полукольца на угол $\alpha - \varphi$ равно

$$mg \frac{2}{\pi} r (\cos \varphi - \cos \alpha),$$

так как центр тяжести находится на расстоянии $\frac{2}{\pi} r$ от точки M (см. задачу 115).

Приравнивая изменение кинетической энергии изменению потенциальной, находим для выражение следующего вида:

$$\omega = \sqrt{\frac{2g}{\left(\frac{\pi r}{2}\right)^2}} (\cos \varphi - \cos \alpha).$$

Отсюда вытекает, что математический маятник, имеющий длину $\frac{2r}{\pi}$, будет иметь тот же период колебаний, что и полукольцо.

Таким образом, искомый период равен

$$T = 2\pi \sqrt{\frac{\pi r}{2g}}.$$

632. В положении равновесия пружина будет растянута на величину l , которая определяется из соотношения $kl = mg$. Покажем, что в начальный момент времени груз покончится, а пружина по сравнению с равновесным положением изменится на x_0 . Если теперь систему представить самой себе, то груз будет колебаться около положения равновесия с амплитудой $|x_0|$. В случае невесомого блока ($M = 0$) период колебаний

$$T_0 = 2\pi \sqrt{\frac{m}{k}}.$$

Обозначим через x смещение груза, отсчитываемое от положения равновесия. Скорость груза в зависимости от x может быть найдена из закона сохранения энергии:

$$\frac{k(x_0 + l)^2}{2} - mgx_0 = \frac{mv^2}{2} + \frac{k(x + l)^2}{2} - mgx.$$

Учитывая, что $mg = kl$, находим:

$$v = \sqrt{\frac{k(x_0^2 - x^2)}{m}}.$$

Если $M \neq 0$, то закон сохранения энергии записывается в форме

$$\frac{k(x_0 + l)^2}{2} - mgx_0 = \frac{(m+M)v^2}{2} + \frac{k(x + l)^2}{2} - mgx.$$

Из этого следует, что

$$v = \sqrt{\frac{k(x_0^2 - x^2)}{M+m}}.$$

Таким образом, во втором случае ($M \neq 0$) груз движется так, что если бы его масса по сравнению с первым случаем увеличилась бы на M .

Следовательно, искомый период

$$T = 2\pi \sqrt{\frac{m+M}{k}}.$$

633. При смещении бутылки относительно положения равновесия на величину x действующая на бутылку сила окажется равной $-d_0Sx$, где d_0 — удельный вес волны. Знак минус означает, что эта направлена против смещения x . Согласно второму закону Ньютона колебания бутылки определяются уравнением $ma = -d_0Sx$. Это уравнение совершено аналогично уравнению для колебания

гружа на пружине: $ma = -kx$. Так как для груза $\omega = \frac{2\pi}{T} = \sqrt{\frac{k}{m}}$

то частота колебаний будет

$$\omega = \frac{\omega_0}{2\pi} = \frac{1}{2\pi} \sqrt{\frac{d_0 S}{m}} \approx 2.5 \frac{1}{\text{сек.}}$$

634. Уравнение движения ртути имеет вид:

$$ma = -dS2x$$

где x — смещение уровня ртути от положения равновесия. Уравнение движения имеет ту же форму, что и в случае колебаний груза на пружине. Поэтому (см. задачу 632)

$$T = 2\pi \sqrt{\frac{m}{2dS}} \approx 1.54 \text{ сек.}$$

635. Действующая на тело сила $F = \sqrt{\frac{4}{3}\pi r^2 mg}$, где r — расстояние от центра Земли (см. задачу 234). Учитывая, что $g = \sqrt{\frac{4\pi}{3}} R$, можно придать этому выражению следующую форму:

$$F = mg \frac{r}{R}.$$

Здесь R — радиус Земли. Уравнение движения тела имеет вид:

$$ma = -\frac{mg}{R} r = -kr.$$

Сила пропорциональна смещению от положения равновесия и направлена к центру Земли. Следовательно, тело будет совершать гармонические колебания с частотой

$$\omega = \sqrt{\frac{k}{m}} = \sqrt{\frac{g}{R}},$$

Остается период колебаний

$$T = 2\pi \sqrt{\frac{R}{g}}.$$

Тело достигнет центра Земли за время

$$\tau = \frac{T}{4} = \frac{\pi}{2} \sqrt{\frac{R}{g}} \approx 21 \text{ мин.}$$

Интересно, что время τ совершенно не зависит от того, на каком расстоянии от центра Земли тело начнет свое движение. Важно только, чтобы это расстояние было много больше радиуса тела.

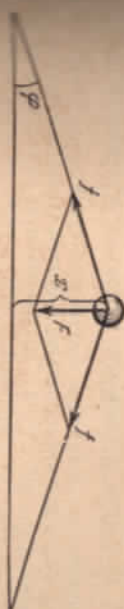


Рис. 478.

Пользовавшись формулой

$$T = 2\pi \sqrt{\frac{m}{k}},$$

получим для искомой величины следующее выражение:

$$T = 2\pi \sqrt{\frac{mL}{4f}},$$

637. Период колебаний груза на пружине

$$T = 2\pi \sqrt{\frac{m}{k}},$$

638. Коэффициент упругости пружины, равный отношению силы, пропорциональной удлинению пружины, к этому удлинению: $k = \frac{F}{x}$. При последовательном соединении двух одинаковых пружин, имеющих силой F_1 ,

$$k_1 = \frac{F}{x_1} = \frac{F}{2x} = \frac{k}{2},$$

т. е. каждая из пружин увеличивает свою длину на x . При параллельном соединении одинаковых пружин сила F_1 , необходимая для увеличения длины каждой из пружин на x_1 , должна быть в два раза больше F_1 .

Следовательно, $k_2 = \frac{F_1}{x_1} = \frac{2F}{x} = 2k$.

При последовательном соединении

$$T_1 = 2\pi \sqrt{\frac{m}{k_1}} = 2\pi \sqrt{\frac{2m}{k}},$$

при параллельном

$$T_2 = 2\pi \sqrt{\frac{m}{2k}}.$$

Остается $\frac{T_1}{T_2} = 2$. Период уменьшится в 2 раза.

639. Сила F , действующая на отклоненный от положения равновесия груз, равна $F = 2f \sin \varphi$ (рис. 478). Так как угол φ мал, то можно считать, что $F = \frac{4fx}{l}$ или $F = kx$, где $k = \frac{4f}{l}$.

638. Отклоним оба маятника от вертикали в одну и ту же сторону на одинаковый угол. Пружина при таком отклонении не будет деформирована. Легко сообразить, что отпущенные из этого положения маятники будут колебаться в фазе с частотой

$$\omega = \sqrt{\frac{g}{l}}$$

углы колебания маятников будут происходить в противофазе. Пружина будет деформироваться. Для того чтобы подсчитать частоту этих колебаний, найдем силу, подвешивающую маятник в положении равновесия. При отклонении на угол φ сила, действующая на пружину, пружина на массу m , равна $2kl \sin \varphi$. Сумма проекций этой силы тяжести и силы упругости на касательную к окружности, называемая «восстанавливающей» силой P_1 , будет равна

$$P_1 = mg \sin \varphi + 2kl \sin \varphi \cos \varphi$$

(рис. 479). Так как при малых углах $\cos \varphi \approx 1$, то

$$P_1 = (mg + 2kl) \sin \varphi \text{ или } P_1 = m \left(g + \frac{2kl}{m} \right) \sin \varphi.$$

Для математического маятника «восстанавливающая» сила равна $mg \sin \varphi$. При этом частота колебаний при малых углах φ определяется формулой $\omega = \sqrt{\frac{g}{l}}$. И на

шем случае роль g играет величина $g + \frac{2kl}{m}$.

Следовательно,

$$\omega = \sqrt{\frac{g + \frac{2kl}{m}}{l}}.$$

Период колебаний

$$T_2 = 2\pi \sqrt{\frac{l}{g + \frac{2kl}{m}}}.$$



Рис. 479.

639. Можно, постепенно раскачивая дверь с частотой, равной собственной частоте колебаний двери. При резонансе амплитуда колебаний может достигать больших значений.

640. На остановии закона сохранения энергии имеем:

$$\frac{\omega^2}{2}(ml^2 + Mr^2) = Mgra - mgl(1 - \cos \alpha),$$

где ω — угловая скорость прращения блока. Отсюда

$$\omega = \sqrt{\frac{2(Mgra - 2mgl \sin^2 \frac{\alpha}{2})}{ml^2 + Mr^2}}.$$

Необходимым условием возникновения колебательного режима является равенство пулю угловой скорости при некотором значении $\alpha = \alpha_0$. При этом $Mgra = 2mgl \sin^2 \frac{\alpha_0}{2}$, или, введя обозначения

$kl = Ml$, получим $\frac{da}{d\alpha} = \sin^2 \frac{\alpha}{2}$. Каждому значению a соответствует определенное максимальное отклонение от положения равновесия α , которое определяется линиям трансцендентным уравнением.

Решение этого уравнения проще всего осуществляется графически. Для этого нужно построить кривую $y = \sin^2 \frac{\alpha}{2}$ (рис. 480). Для этого нужно построить кривую $y = \sin^2 \frac{\alpha}{2}$ (рис. 480).



Рис. 480.

Когда пересечение этой кривой с прямой $y = \frac{da}{2}$ даст точку A , требуется значение a при данном α . (Значение α , соответствующее пересечению этой прямой с другой ветвью кривой $y = \sin^2 \frac{\alpha}{2}$, недостаточно при заданных в задаче начальных условиях.)

Очевидно, что наше уравнение имеет решение, отличное от нуля, только при a_0 , меньшем некоторого предельного значения a_0 , которое определяется из условия, что прямая $y = \frac{a_0^2}{2}$ касается кривой $y = \sin^2 \frac{\alpha}{2}$ в точке C .

Как видно из рис. 480, $a_0 \approx 133^\circ$. Следовательно, $a_0 = \frac{2CD}{a_0} \approx 0.1$.

Колебания возможны при $\frac{Mr}{mI} < a_0 \approx 0.73$.

§ 26. Электрические колебания

641. Без постоянного магнита было бы удачение частоты колебаний. В этом случае при прохождении через катушку током синусоидального тока катушка совершила бы два полных колебания за один период колебаний тока, так как градиент напряженности магнитного поля H , создаваемого этим током, имел бы вид, указанного на рис. 481, а, а сила тяжения мембрани не зависела бы от знака H .

При наличии постоянного магнита, создающего направленастость магнитного поля, проинтегрирующей напряжение, имеет вид, изображенный на рис. 481, б.

Поэтому одно колебание одному колебанию мембрани, и звук будет значительно меньше исказаться.

642. Собственная частота колебаний $\omega = \frac{1}{\sqrt{LC}}$, если L выражено в герцах, а C в фардах. Как показано в задаче 641 для соленоида $L = 10^{-9} \frac{4\pi N^2 S_1}{l} 2\pi$. Емкость конденсатора $C = \frac{S_2}{4\pi d} \cdot 9 \cdot 10^{11} \phi$.

Отсюда

$$\omega = 3 \cdot 10^6 \sqrt{\frac{ld}{N^2 S_1 S_2}} = 3 \cdot 10^6 \frac{1}{\text{сек}},$$

643. Частота собственных колебаний контура определяется формулой Томсона

$$\omega = \frac{1}{\sqrt{LC}}.$$

а) Если в катушке находится медный сердечник, то при первых изменениях магнитного поля катушки в нем возникают индукционные токи (токи Фуко), магнитное поле которых будет ослаблять магнитное поле катушки.

б) Продолжает к уменьшению индуктивности катушки и, следовательно, к увеличению частоты ω .

в) Если instead в катушку сердечник из феррита, то магнитная индукция I катушки, а частота ω уменьшится.

644. В системе возникнут песяхахающие (если преобрести пропадают потерями энергии на излучение электромагнитных колебаний. В момент, когда заряд распределен поровну между конденсаторами, энергия электростатического поля минимальна. Полная энергия колебаний, по проходил переход энергии из одной формы в другую.

645. Смещение электронного луча под влиянием поля записывается следующим образом:

$$x = \frac{IL}{2dV} V_{01} \cos \omega t = a \cos \omega t$$

на экране 643). Вдоль горизонтали (ось y) смещение луча равно

$$y = \frac{IL}{2dV} V_{02} \cos (\omega t - \varphi) = b \cos (\omega t - \varphi).$$

Для получения траектории нужно исключить из данных уравнений t . После несложных преобразований будем иметь:

$$\frac{x^2}{a^2} + \frac{y^2}{b^2} - \frac{2xy}{ab} \cos \varphi = \sin^2 \varphi,$$

если $b = \frac{\pi}{2}$, то $\frac{x^2}{a^2} + \frac{y^2}{b^2} = 1$. Это уравнение эллипса.

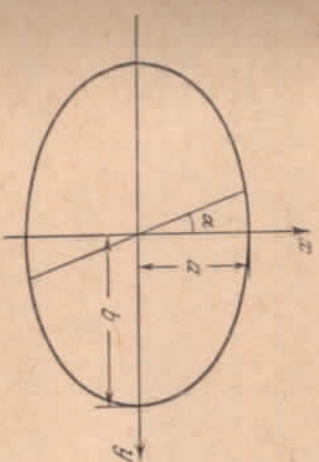


Рис. 482.

Если $\varphi = \pi$, то $x = -\frac{a}{b} y$, т. е. колебания луча проходят по прямой, составляющей с осью x угол α , определяемый равенством $\frac{b}{a} = \frac{b}{a}$ (см. рис. 482).

646. Зависимость напряжения от времени изображена на рис. 483. Напряжение на конденсаторе (кривая Oa) возрастает в тех пор, пока не достигнет V_r . В этот момент лампа зажигается.

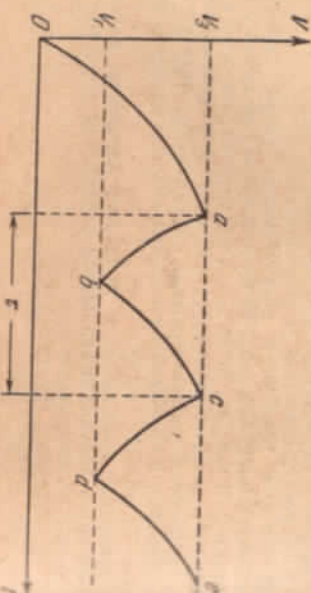


Рис. 483.

и конденсатор разряжается через лампу (кривая ab), пока напряжение не падает до V_r . После этого процесс повторяется. Помимо так называемые релаксационные колебания, период которых равен τ .

Ток зарядки и разрядки конденсатора не является постоянным, так как зависит от напряжения на конденсаторе (умножение с ростом напряжения). Поэтому Oa , ab , bc и т. д. не являются прямолинейными.

647. При увеличении емкости время зарядки конденсатора возрастет и разрядки до V_r увеличится. Следовательно, напряжение R вызовет уменьшение тока зарядки конденсатора и, следовательно, также приведет к увеличению периода.

648. Когда заряд на пластинках конденсатора достигнет максимального значения, пластины следует развинуть. Чтобы при этом силы притяжения между пластинами, при этом нужно прервать работу. Эта работа идет на увеличение энергии конура. Когда заряд равен нулю, пластины следует сжинуть до прежней положения. При этом энергия в контуре не изменится.

§ 27. Волны

649. Напряжение струны нужно увеличить в четыре раза.

650. $v = v_0 n$, где $n = 1, 2, 3, 4, \dots$, а

$$v_0 = \frac{1}{ld} \sqrt{\frac{T}{\rho}} = 2 \frac{1}{c\varepsilon}$$

651. В трубе должно укладываться целое число полуволн

$$\frac{\lambda}{2} k = l \quad (k = 1, 2, 3, \dots)$$

Конические частоты

$$v_k = \frac{c}{\lambda} = \frac{k c}{2l} = k \cdot 50 \frac{1}{\text{сек}}$$

($v_0 = 300 \text{ м/сек}$ — скорость звука в воздухе).

Получите камертон усиливается в момент, когда частота колебаний воздушного столба в сосуде совпадает с частотой камертона. Собственные частоты колебаний воздушного столба в трубе, закрытой с одного конца, $v_k = \frac{2k+1}{4} \cdot \frac{c}{l}$,

$l = \text{длина трубы, а } c = 340 \text{ м/сек} — \text{скорость звука. } k \text{ принимают } 0, 1, 2, 3, \dots$ Следовательно, возможные положения воды в сосуде, определяемые расстоянием от поверхности до верхнего края сосуда, равны

$$l_k = \frac{2k+1}{4} \cdot \frac{c}{v} \quad (k = 0, 1, 2, \dots)$$

$l_0 = 1 \text{ м}$ поможет два положения уровня воды: $l_0 = 25 \text{ см}$ и $l_1 = 12.5 \text{ см}$.

652. Рассмотрим ряд последовательных положений пули, летящей вдоль оси KL : K, F, E, D, B, A (рис. 484). В каждой точке пули огибает сию притяжения между пластинами, при этом пулю переворачивает. Эта работа идет на увеличение энергии конура. Когда заряд равен нулю, пластины следует сжинуть до прежней

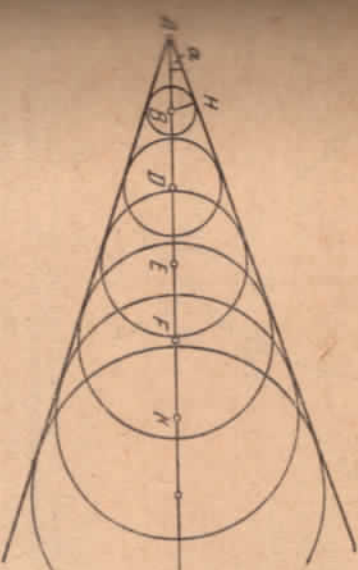


Рис. 484.

виде сферического импульса, причем, так как скорость пули v

и скорость звука c , эти импульсы появляются только позади пули. В момент, когда пуля находится в точке A , отдельные импульсы изображены на рис. 484 кругами разных радиусов. Огибающая сфер — волновой фронт — представляет собой коническое сечение конуса. Конус движется вперед со скоростью пули. Угол отверстия конуса определяется соотношением

$$\sin \alpha = \frac{BH}{AB} = \frac{ct}{vt} = \frac{c}{v}$$

654. Находящегося в точке B человека (рис. 485) воспринимается звуковая волна, испущенная в тот момент, когда самолет проходил в некоторой точке D (см. решение задачи 653). Решение

Искомое расстояние

$$AB = \frac{BC}{\sin \alpha} = BC \cdot \frac{v}{c},$$

где v — скорость самолета, а c — скорость звука. Отсюда $AB = 0$.

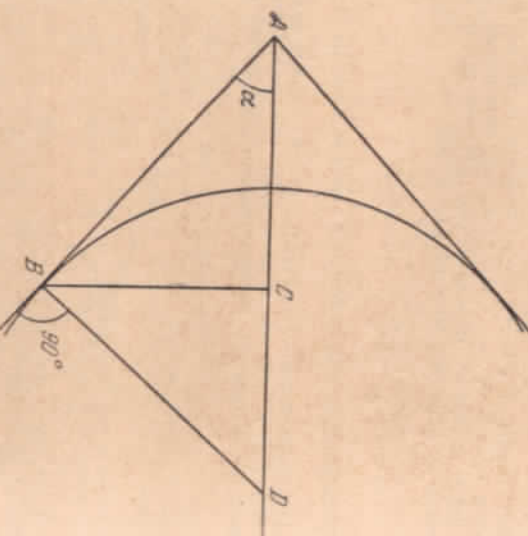


Рис. 485.

655. Обычно скорость ветра на высоте больше, чем у земли. Поэтому волновые поверхности, которые в неподвижном воздухе имели вид сфер с центром в точке расположения источника волны (пунктирные линии на рис. 486), изменяют свою форму. В верхней части ветра скорость волны больше, чем против ветра. Примордальные формы волновых поверхностей изображены на рис. 486 сплошными линиями.

Распространение звука происходит в направлении, перпендикулярном в каждой точке волновым поверхностям. Поэтому ветер не достигает наблюдателя у поверхности земли. При распространении по ветру звук отклоняется к земле (кривая AC) и достигает наблюдателя.

Но сферы для этих волн «прозрачны», и отражение волн от поверхности происходит. Распространяются же короткие волны практически

такой, так как на наземных препятствиях (дома и пр.) они не поглощают дифракции.

Для того чтобы по положению отраженного импульса на электронно-лучевой трубки можно было судить о расстоянии до щели, необходимо, чтобы отраженный импульс пришел не

Ветер

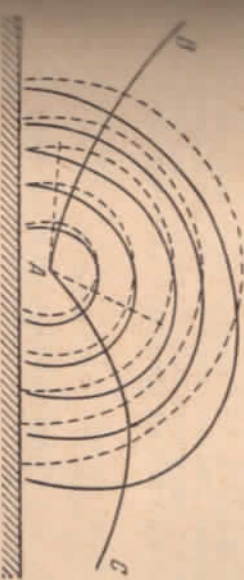


Рис. 486.

чем через время τ , и не позднее, чем через время $T = \frac{1}{f}$, иначе псылки прямого импульса. Следовательно, минимальное расстояние до щели

$$l = \frac{c\tau}{2} = 120 \text{ м.}$$

Минимальное расстояние

$$L = \frac{cT}{2} \approx 90 \text{ км.}$$

656. Ораженная от края волна достигает приемной антенны с опозданием $\tau = \frac{AB}{c} = 10^{-5}$ сек. Скорость электронного луча $v = \frac{l}{\Delta t} = \frac{1}{10^{-5}}$ м/сек — время, в течение которого луч прочерчивает одну строку. (Время обратного хода τ преобразует.)

Смещение изображений $\Delta l = v\tau \approx 7,8$ см.

Изменение частоты C выбранта при его погружении в керосин увеличивается в $\frac{1}{2}$ раз, частота собственных колебаний контура пропорциональна $\frac{1}{\sqrt{C}}$. Следовательно, частота колебаний уменьшилась в $\frac{1}{2}$ раз. В пустоте частота собственных колебаний выбранта $\omega_0 = \frac{c}{2l}$, а в диэлектрике $\omega = \frac{c}{2\sqrt{C}}$.

669. Освещенность на краю стола

$$E = \frac{I \cos \varphi}{l^2} = \frac{I}{R^2} \cos \varphi \sin^2 \varphi,$$

где I — сила света лампы, R — радиус стола, φ — угол падения лучей (рис. 488).

Максимальное значение E достигается при угле φ , удовлетворяющем уравнению

$$1 - \sin^2 \varphi = \frac{1}{2} \sin^2 \varphi,$$

т. е. при $\varphi = \arcsin \sqrt{\frac{2}{3}}$ (см. задачу 407).

Лампа должна быть повешена над столом на высоте

$$h = \frac{\sqrt{2}}{2} R \approx 0.71 R.$$

670. Папиросная бумага рассеивает во все стороны попадающие на нее световые лучи. Если бумага находится на некотором расстоянии от текста и текста, то расходящиеся пучки света, отраженного от белых участков страны (между буквами), перекрываются на стороне папиросной бумаги, обращенной к тексту (рис. 489).

В результате бумага окажется освещенней приблизительно равномерно, и вследствие рассеяния ее света прочитать текст будет нельзя.

Если бумага непосредственно наложена на текст, то освещенность прилегающей

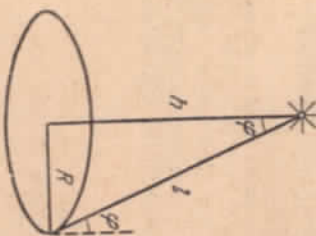


Рис. 488.

Рис. 489.

к тексту стороны бумаги не будет равномерной. Соответственно интенсивность рассеянного света будет различной в различных участках листа бумаги. Это и позволяет прочесть текст.

§ 29. Основные законы оптики

671. Тень будет исходить одинаково отчетливо только от точечного источника. Отдельные участки протяженного источника создают тени, накладывающиеся друг на друга. При этом тень будет иметь тем более резко очерченную границу, чем меньше расстояние от предмета до поверхности, на которой образуется тень, так как при этом расстояния между границами теней от различных участков источника будут панильшими. Именно поэтому ноги дают более резкую тень, чем голова.

672. Карандаш нужно расположить параллельно лампе и возможно ближе к столу. При этом тени, создаваемые отдельными участками лампы, будут почти точно накладываться друг на друга. Если карандаш перпендикулярен лампе, то тени от отдельных участков лампы настолько сдвинуты друг относительно друга, что заметной тени не возникнет.

673. Явление можно наблюдать в том случае, если угловое расстояние между ветвями меньше углового диаметра солнечного диска. Предположим для определенности, что никакой ветви тоньше, чем верхняя.

Чтобы понять, почему освещенность внутри тени меняется так, как сказано в условии, представим себе, что мы смотрим на Солнце попарно из различных участков тени.



Рис. 490.

В стороне от тени солнечный диск виден целиком. При положении глаза в участке тени A (рис. 235) глаз находится в полутиени от никакой ветви. Перед солнечным диском видна только эта ветвь (рис. 490, a). Так как она заслоняет часть солнечного диска, освещенность этой точки будет меньше. Переместив глаз дальше в положение B (рис. 235), мы увидим, что вторая ветвь частично загораживает солнечный диск (рис. 490, b). Поэтому освещенность будет еще меньше. При дальнейшем перемещении глаз заимет положение C (рис. 235), при котором обе ветви наклоняются друг на друга (рис. 490, c). Теперь перекрыта вся часть солнечного диска, стала меньше и, соответственно, освещенность больше. Как виден солнечный диск из участков D и E , изображено на рис. 490, d и e. Этим и объясняется большая яркость центральной полосы тени по сравнению с соседними участками.

674. Как видно из рис. 491, $H = b \sin \alpha$, а $\sin \alpha = \frac{a}{b}$, так как $DE = b$ — диаметр попечного сечения светового конуса Y поверхности земли. При угловых размерах солнечного диска β получим $L = \frac{b}{\beta}$.

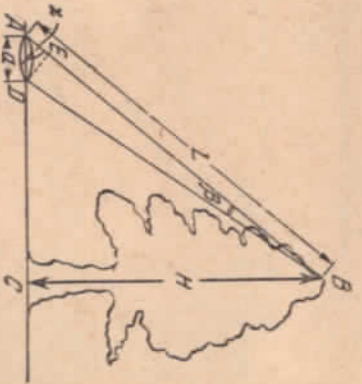


Рис. 491.

Следовательно, $H = \frac{1}{\beta} \cdot \frac{b^2}{a} = 9$ м.

675. Если «развернуть» ход лучей в перископе так, как показано на рис. 492, то искомое отношение ширины призмы a/b можно найти из подобия треугольников:

$$\frac{a}{b} = \frac{L+t}{t}.$$

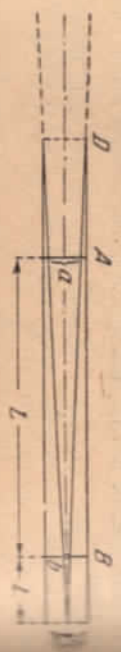


Рис. 492.

676. Высота зеркала должна быть равна половине расстояния от пола до линии горизонта. Рассстояние нижнего края зеркала от пола должно быть равно половине расстояния от глаз человека до его ступней (рис. 493).

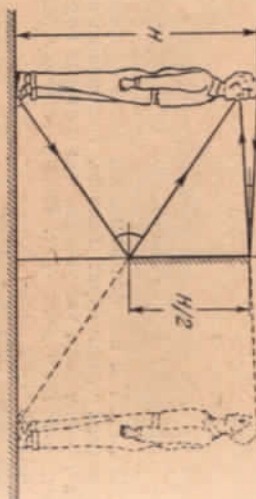


Рис. 493.

677. Пусть h — высота предмета, а α — угол падения лучей на зеркало (рис. 494).

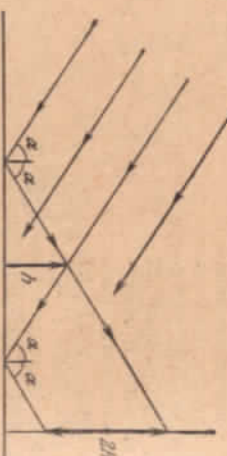


Рис. 494.

Если экран находится на расстоянии $t > h \operatorname{tg} \alpha$ от предмета, то на экране будут видны две тени, прямая и переворнутая, с одинаковыми основаниями. Общая длина тени будет равна $2h$. Тень будет

если Солнцем выделяется по контрасту с оставшими участками земли, освещенными прямыми и отраженными лучами. Если экран расположены ближе, то длина тени меньше $2h$, при этом на ней будут участки, не освещенные прямыми, ни отраженными лучами.

678. Точечный источник света дает «зайчик», форма которого определяется формой зеркала. Солнце имеет конечные размеры. Каждый малый участок сферической поверхности дает сплошное изображение, которое переносит форму зеркала. Эти пятна от разных участков зеркала перекрываются друг на друга и дают более или менее размытую картину.

Если же перед зеркалом лежат на зеркало лучи от различных участков Солнца, мало ли что они падают друг на друга. Ограженный пучок мы видим так, как если бы мы смотрели на него из точки, расположенной под поверхностью воды на эту точку, равно расстоянию объекта фотокамеры от воды. Итак, изображение прямой AB будет видно целиком только при расположении глаза внутри защищированной области на рис. 495.

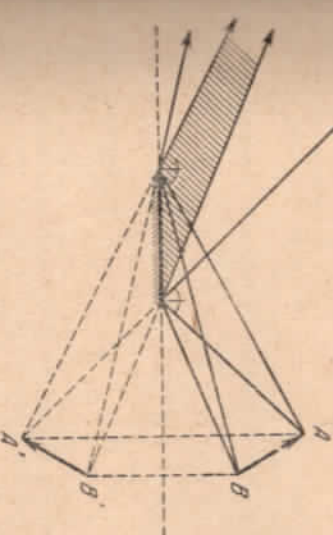


Рис. 495.

679. При движении зеркала MN по направлению к стене положение «зайчика» AB на стенае, как неизвестно видно из рисунка, неизменно (S_1 и S_2 — изображения источника S при разных положениях зеркала MN и $M'N'$).

Позиция «зайчика» также не будет меняться, оставаясь все время одинаковой размером зеркала.

680. Если преобразовать потерян при отражении, то освещенность «зайчика» будет всегда в 4 раза меньше, чем освещенность стены. В то же время освещенность зеркала меняется ввиду изменения расстояния от лампы до зеркала и изменения угла падения луча. При маленьком зеркале наибольшая освещенность будет при

расстоянии зеркала от стены $I = \frac{\sqrt{2}}{2} d$, где d — расстояние от источника света до той точки стены, к которой приближается зеркало.

683. При повороте зеркала на угол α отраженный луч повернется на 2α , так как угол падения возрастает на α и угол отражения тоже возрастает на α . Следовательно, угловая скорость вращения отраженного луча $v = 4\pi n k \approx 62.8 \text{ м/сек}$.

684. а) Луч, отраженный от первого зеркала, составляет с направлением падающим угол 2α , где α — угол падения. За время t зеркало повернется на угол ωt , и новый угол падения станет равным $\alpha + \omega t$. Таким же будет и угол отражения. Следовательно, угол между лучом падающим и лучом отраженным увеличится на $2\omega t$, т. е. на ракеный луч повернется на угол $2\omega t$.

Ввиду этого угла падения на второе зеркало, если бы оно не вращалось, составлял бы $\beta + 2\omega t$, где β — угол падения при новых движущих дисках. Но за время t зеркало также поворачивает на угол ωt , поэтому угол падения становится равным $\beta + 3\omega t$. Таким образом, угол отражения, после двух отражений, лежит на верхности зеркала. После трех отражений угол повернется на $3\omega t$, после четырех — на $(2l - 1) \cdot 2\omega t$. Таким образом, его угловая скорость будет $\Omega = (2l - 1) \cdot 2\omega$.

б) Изображение в зеркале, удаляющееся от источника со скоростью v , будет удаляться от источника со скоростью $2v$, а изображение второго зеркала со скоростью $3v$. Поэтому, второе изображение движется со скоростью $3v$ относительно первого зеркала и со скоростью $4v$ относительно источника. Скорость прямого изображения относительно источника будет $6v$, а скорость Ω равна $2\pi v$.

685. а) При повороте первого зеркала на угол ωt отраженный луч повернется на угол $2\omega t$ (см. решение задачи 684). Следовательно, угловая скорость вращения «зайчика» по окружности $v = 4\pi n k$.

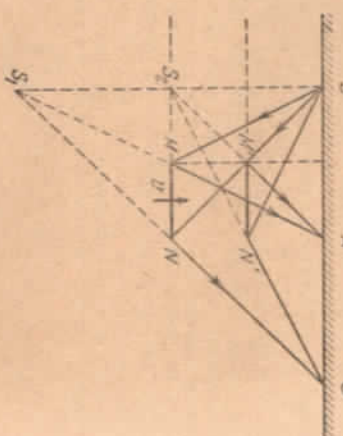


Рис. 496

$$\begin{aligned}\Omega &= 0, & \text{если } n &\text{ четное,} \\ \Omega &= 2\omega, & \text{если } n &\text{ нечетное.}\end{aligned}$$

686. Первое изображение удалается от источника со скоростью $2v$, второе изображение — от первого зеркала со скоростью $-v$, третье изображение относительно второго зеркала со скоростью $-v$.

Повторяется неподвижным по отношению к источнику.

Протолкнутое рассуждение далее, найдем, что искомая линейная скорость n -го изображения будет равна нулю, если n четное, и 2ω , если n нечетное.

Однако изображение от зеркала ON луч образует с падающим лучом OL угол φ (см. рис. 240), не зависящий от угла падения L . Действительно, как видно из треугольника ABC $\varphi = 180^\circ - 2(\frac{1}{2}\pi + r)$, т. е. $\varphi = 180^\circ - 2\alpha = 60^\circ$. При вращении зеркала направление падающего луча не меняется.

Следовательно, если попавший на зеркало OM луч отразится и попадет из рис. 497, на котором изображены два крайних положения зеркала, то он обязательно попадет в приемник. Как несложно видеть из рис. 497, на котором изображены два крайних положения зеркала, при которых луч попадает в приемник (OM и ON'), это происходит на прохождении $\frac{1}{6}$ оборота.

Любую $\frac{1}{n}$ часть целики луча попадет в приемник за время $\frac{1}{n}$ одного оборота, а также и за достаточно большой промежуток времени.

Чтобы так как в глаз будут попадать лучи, дающие изображение только малых участков картины (см. рис. 498, на котором изображен ход лучей от крайних участков картины A и B).

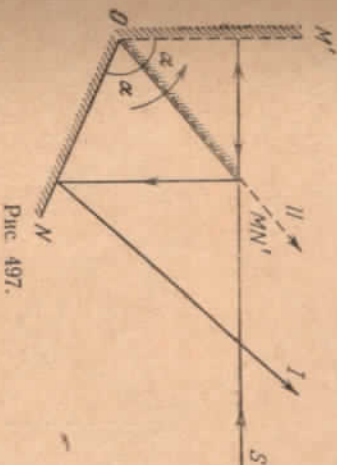


Рис. 497

688. 4 м².

689. Из равенства треугольников SOA , SOB , $S_1''OA$, $S_1''OB$ следует (рис. 499), что источник света S , его изображение в зеркале OB и изображение S_1'' в зеркале OA лежат на окружности с центром в точке O . $\angle S_1''OS = \angle SOS_1' = \varphi$. Минный источник отражается в зеркале AO , давая изображение S_2' , лежащее на той же окружности на расстоянии 2φ дуговых градусов от источника S . Точно так же образуется изображение S_2'' минного источника в зеркале OB .

Продолжая построение дальше, получаем третий изображения S_3 и S_3'' , отстоящие от источника на 3φ градусов, четвертые S_4 и S_4'' (отстоящие на 4φ градусов) и т. д.

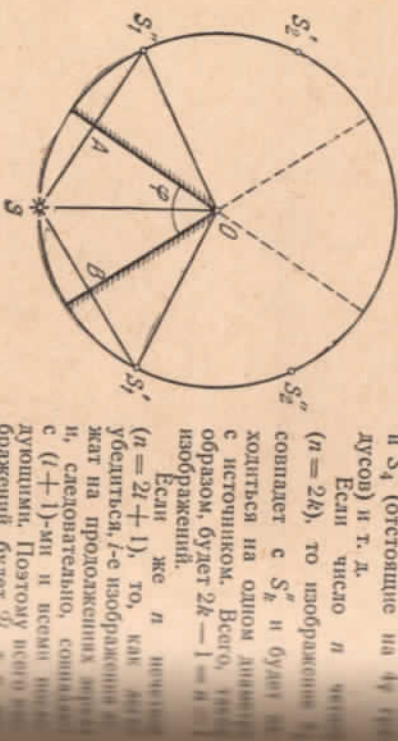


Рис. 499.

Вательно первые, вторые, третьи и т. д. изображения источника убедиться, что изображения S_1'' , S_2'' , S_3'' , S_4'' и т. д. лежат на окружности с центром в точке O . Если a — целое число, то изображения либо попадут в точки C и D пересечения

388

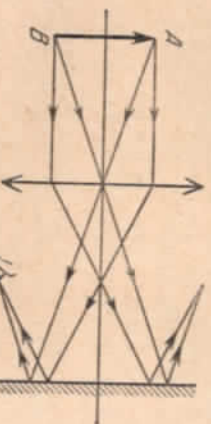


Рис. 498.

поверхности с продолжением зеркал, либо совпадут с точкой P , изометрически противоположной источнику. В том и в другом случае число изображений будет равно $a + 1$.

Если же a не целое, например $a = 2l \pm \xi$, где $\xi < 1$, l — целое число, то появление l -е изображения будет на дуге CFD , а $(l+1)$ -е изображение пойдет как первое, так и второго зеркала, изометрически противоположно, дальнейшее отражений не будет. Число общее изображений будет равно $2l$.

690. Построим изображение точки B в зеркале bd (рис. 501). Далее строим изображение B_1 в зеркале cd . Тогда изображение B_1 в зеркале ab — изображение B_2 . В зеркале ab — изображение B_3 . Соединим точки A и B_3 — точка пересечения ab и линии AB_3 . Из B_3 проекцию B_3C . Точку D пересечения этой линии с ac соединим с B_3 . Согласим с B_3 , а F с B .

Можно утверждать, что ломаная линия $ACDEFB$ есть искомая прямая линия. Действительно, так как ΔB_3CB , равнобедренный, то есть изображение лука AC .

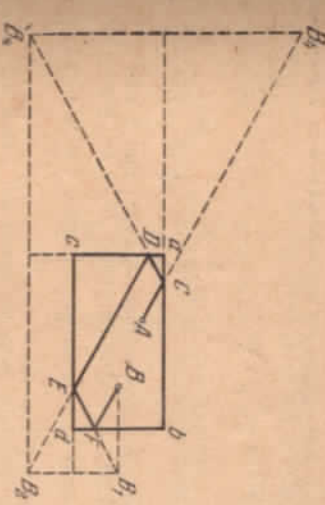


Рис. 501.

Аналогично можно убедиться, что DE есть отражение CD в b , а EF — в d .

Данное решение задачи не является единственным, так как изображение луча не обязательно направлять на зеркало ab . Так, коэффициент отражения света от поверхности воды убывает с уменьшением угла падения.

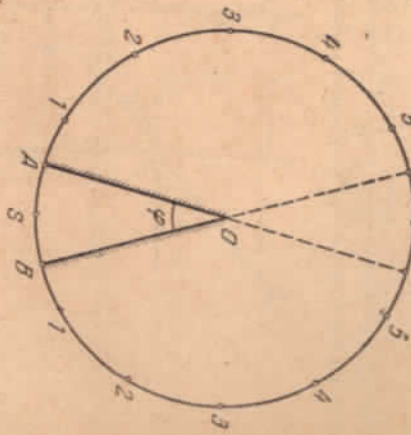


Рис. 500.

Если наблюдатель смотрит вину, то в его глаз попадают лучи отраженные под малыми углами. Лучи, отраженные от участков у горизонта, попадают в глаз под большими углами.

693. Согласно закону преломления $\frac{\sin i}{\sin r} = n$ (рис. 502), по вы-

ходе из пластики $\frac{\sin r}{\sin i_1} = \frac{1}{n}$. Перемножая эти выражения, нахо-

дим: $\sin i = \sin i_1$, т. е. выходящий из пластики луч CD параллелен

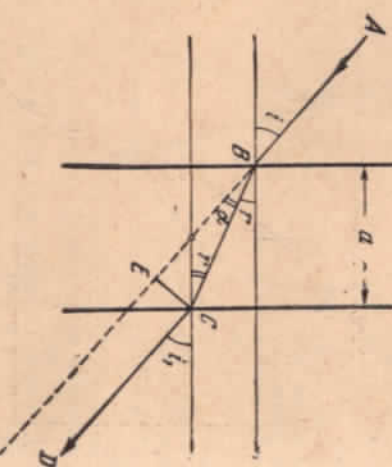


Рис. 502.

падающему AB . Как видно из чертежа, $\alpha = i - r$. Искомое сини-

чие луча $x = EC = BC \sin(i - r)$.

Так как $BC = \frac{d}{\cos r}$, то

$$x = \frac{d \sin(i - r)}{\cos r} = d \sin i \left(1 - \frac{\cos i}{\sqrt{n^2 - \sin^2 i}} \right).$$

Максимальное смещение, равное d , будет при $i \rightarrow 90^\circ$, а угол падения лука на грани AC и BC равен 45° . Для полного внутреннего отражения необходимо, чтобы $\sin i > \frac{1}{n}$.

Отсюда $n > \sqrt{2} \approx 1.4$.

Для того чтобы луч полностью отразился от грани BC , необходимо чтобы угол α был больше предельного.

Следовательно, $\sin \alpha > \frac{n_2}{n_1}$, где n_2 — показатель преломления

воды.

Отсюда $\alpha > 62^\circ 30'$. Это явление не что иное, как мираж, который часто наблюдается в пустынях.

390

Нагретый слой воздуха, непосредственно прилегающий к асфальту, имеет показатель преломления меньший, чем у пластины и бетона. Вследствие этого происходит полное внутреннее отражение и асфальт кажется столь же хорошо отраженным светом, как поверхность воды.

694. Разобьем пластину на множество тонких пластинок столь тонкой, чтобы в пределах каждой пластины можно было считать показатель преломления постоянной величиной (рис. 503).



Рис. 503.

Преимущество преломления n_0 , а выходит из пластины в среду с показателем преломления n_3 .

Тогда согласно закону преломления

$$\frac{\sin \alpha}{\sin \beta} = \frac{n_1}{n_0},$$

$$\frac{\sin \beta}{\sin \gamma} = \frac{n_2}{n_1},$$

$$\frac{\sin \gamma}{\sin \delta} = \frac{n_3}{n_2},$$

$$\dots$$

$$\frac{\sin \varphi}{\sin \xi} = \frac{n_2}{n_{n-1}},$$

$$\frac{\sin \xi}{\sin \chi} = \frac{n_3}{n_{n-1}},$$

$$\dots$$

$$\frac{\sin \alpha}{\sin \chi} = \frac{n_3}{n_0}.$$

Перемножив эти равенства, получим:

$$\frac{\sin \alpha}{\sin \chi} = \frac{n_3}{n_0}.$$

Следовательно, угол, под которым луч выходит из пластины,

$$x = \arcsin \left(\frac{n_0}{n_s} \sin \alpha \right)$$

зависит только от угла падения луча на пластину и от показателя преломления сред по обеим сторонам пластины. В частности, если $n_s = n_0$, то $x = \alpha$.

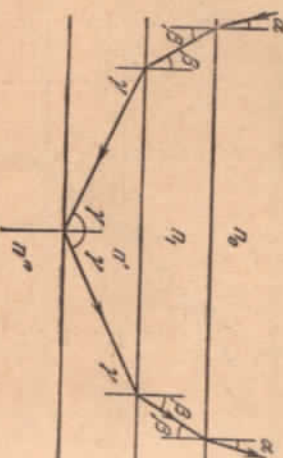


Рис. 504.

Вообще угол θ наклона луча к вертикали связан с показателем преломления n в любой точке пластины соотношением $n \sin \theta = \text{const} = n_0 \sin \alpha$. Если где-либо внутри пластины показатель преломления достигнет значения $n = n_0 \sin \alpha$, то произойдет полное внутреннее отражение. В этом случае луч выйдет из пластины в среду под тем же углом α , под которым он вошел в пластину (рис. 698). Минимальное количество волн, определяемое уравнением (рис. 505), можно найти из треугольника MNF . $NF = x = h \approx x \lg r$. Из закона преломления

$$\sin r = \frac{\sin i}{n}.$$

Следовательно,

$$x = \frac{b}{1 - \lg r} = \frac{b \sqrt{n^2 - \sin^2 i}}{\sqrt{n^2 - \sin^2 i} - \sin i} \approx$$

$\approx 27 \text{ см}$.

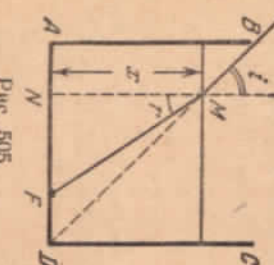


Рис. 505.

$$= x \lg^2 \approx 43.2 \text{ дм}$$

для C (закон пучков). Они кажутся глазу выходящими из точки C (рис. 506). Так как Δl и Δr весьма малы, то можно записать:

$$AD = AC \cdot \Delta r = \frac{H}{\cos r} \Delta r,$$

$$AD' = AC' \cdot \Delta l = \frac{h}{\cos i} \Delta l,$$

Приравнивая значения AB из треугольников ABD и ABD' ,

$$\frac{H}{\cos^2 r} \Delta r = \frac{h}{\cos^2 i} \Delta l.$$

Используя закон преломления, можно найти отношение $\frac{\Delta l}{\Delta r}$. Действительно,

$$\frac{\sin l}{\sin r} = n \quad \text{и} \quad \frac{\sin(l + \Delta l)}{\sin(r + \Delta r)} = n.$$

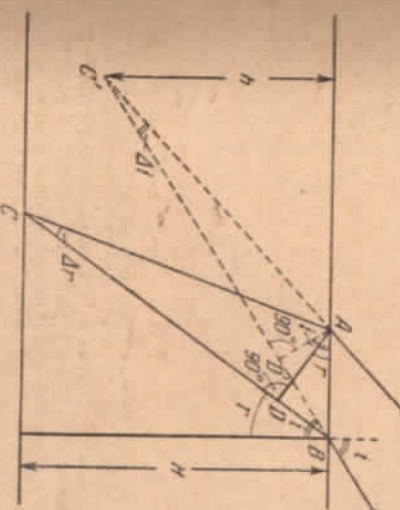


Рис. 506.

Учитывая, что Δl и Δr малы, имеем:

$$\sin \Delta l \approx \Delta l, \quad \sin \Delta r \approx \Delta r, \quad \cos \Delta l \approx \cos \Delta r \approx 1.$$

Нашему последнее равенство можно переписать так:

$$\sin l + \cos l \cdot \Delta l = n \sin r + n \cos r \cdot \Delta r.$$

Из этого $\frac{\Delta l}{\Delta r} = n \frac{\cos r}{\cos i}$. Подставляя данное выражение в соотношение, связывающее H и h , находим:

$$h = \frac{H \cos^2 i}{n \cos^2 r} = \frac{H}{n} \cdot \frac{\cos^2 i}{\left(1 - \frac{\sin^2 i}{n^2}\right)^{\frac{1}{2}}}.$$

Из $i = 0$ $h = \frac{H}{n}$, т. е. глубина кажется уменьшенной в n раз. Вместо l h убывает. Примерная зависимость кажущейся глубины h от угла i изображена на рис. 507. Глаз наблюдает находящийся над 100 , $\varphi = 120^\circ$.

и β существует очевидная связь: $2\alpha + \beta = 180^\circ$, $\alpha = 2\beta$.

702. Ход луча в прямые изображен на рис. 508. Между углами α и β существует очевидная связь: $2\alpha + \beta = 180^\circ$, $\alpha = 72^\circ$, $\beta = 36^\circ$. Отсюда $\alpha = 72^\circ$, $\beta = 36^\circ$.

703. Чтобы не произошло полного внутреннего отражения на грани BN , необходимо, чтобы $\sin \beta < \frac{1}{n}$. Как видно из чертежа, $\beta = \alpha - r$. Следовательно, чем боль-

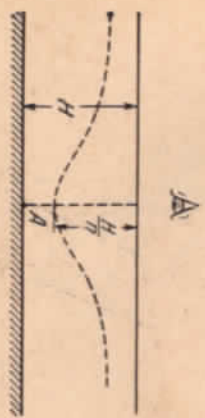


Рис. 507.

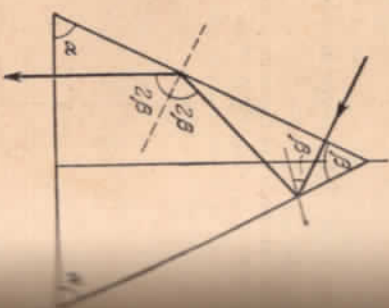


Рис. 508.

ше r , тем больше допустимое значение α . Максимальное r определяется условием: $\sin r = \frac{1}{n}$ (угол падения 90°).

Отсюда $\alpha_{\max} = 2 \arcsin \frac{1}{n} \approx 83^\circ 40'$.

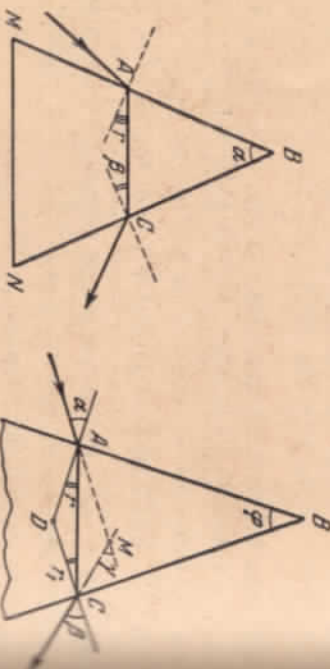


Рис. 509.

Рис. 510.

703. Рассматривая треугольники ABC , AMC и ADC (рис. 510), нетрудно убедиться, что $r + r_1 = \varphi$; $\gamma = \alpha + \beta - \varphi$. По закону преломления

$$\frac{\sin \alpha}{\sin r} = n, \quad \frac{\sin r_1}{\sin \beta} = \frac{1}{n}.$$

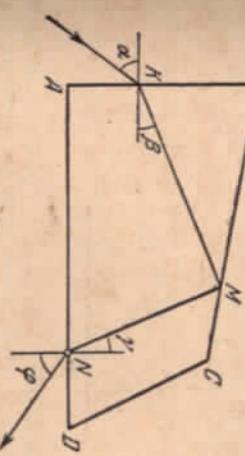


Рис. 511.

704. По условию задачи луч падающий и луч, прошедший по прямому углу, взаимно перпендикуляры. Следовательно, $\angle \varphi = \angle \alpha$, $\angle \gamma = \angle \beta$ (рис. 511). Сумма углов четырехугольника $AKMN$

$$h = \sin \beta \sqrt{\left\{ \frac{\sin \alpha}{\sin \beta \sin (\alpha + \beta - \gamma)} + \operatorname{tg}(\alpha + \beta - \gamma) \right\}^2 + 1}.$$

При полученной системе уравнений, находим, что

$$\varphi = \alpha + \beta - \gamma$$

$$\frac{1}{f_1} = \left(\frac{n}{n_1} - 1 \right) \left(\frac{1}{R_1} + \frac{1}{R_2} \right).$$

§ 30. Линзы и сферические зеркала

704. $n = 1.5$.

705. $f = 2R$.

706. Выпуклая поверхность имеет радиус кривизны $R_1 = 6$ см, вогнутая — $R_2 = 12$ см. По закону преломления в первом случае фокусное расстояние определяется по формуле

Так как в пустоте фокусное расстояние линзы равно f , то

$$\frac{1}{R_1} + \frac{1}{R_2} = \frac{1}{(n-1)f}. \quad \text{Отсюда } f = \frac{(n-1)f}{n-1} = 90 \text{ см.}$$

Во втором случае искомое фокусное расстояние

$$f_2 = \frac{(n-1)f}{\frac{n}{n_1}-1} = -102 \text{ см.}$$

Линза будет рассеивающей.

710. Как показано в решении задачи 709,

$$-f = \frac{n_2(n_1-1)}{D(n_1-n_2)}.$$

Отсюда

$$n_2 = \frac{f D n_1}{f D + 1 - n_1} \approx 1.67.$$

711. Изображение будет в $m+1$ раз меньше самого предмета

712. Лампочку нужно отодвинуть от линзы на 2 м.

713. Очевидно, что одно из изображений будет минимум. Но этому, обозначая через a_1 и a_2 расстояния от источника к линзе, а через b_1 и b_2 расстояния от линзы до изображения, имеем:

$$\frac{1}{a_1} - \frac{1}{b_1} = \frac{1}{f}, \quad \frac{1}{a_2} + \frac{1}{b_2} = \frac{1}{f},$$

причем по условиям задачи $a_1 + a_2 = l$; $b_1 = b_2$. Решая систему уравнений, получим:

$$a_1 = \frac{l \left(1 \pm \sqrt{1 - \frac{2f^2}{l^2}} \right)}{2}.$$

Линза должна поместиться на расстоянии 6 см от одного источника и 18 см от другого.

714. Применив к обоим случаям формулу линзы, получим

$$\frac{1}{a_1} + \frac{1}{b_1} = \frac{1}{f}, \quad \frac{1}{a_2} + \frac{1}{b_2} = \frac{1}{f}.$$

По условию задачи

$$a_2 = a_1 + l; \quad \frac{b_1}{a_1} = k_1 = 3$$

(увеличение в первом случае);

$$\frac{b_2}{a_2} = k_2 = 2$$

(увеличение во втором случае).

Отсюда $f = \frac{k_1 k_2}{k_1 - k_2} l = 9 \text{ см.}$

Чл. 1) Ход лучей в данном случае изображен на рис. 512, а. Из-за обратимости световых пучков, можно точку B рассматривать как источник света, а точку A — как изображение.

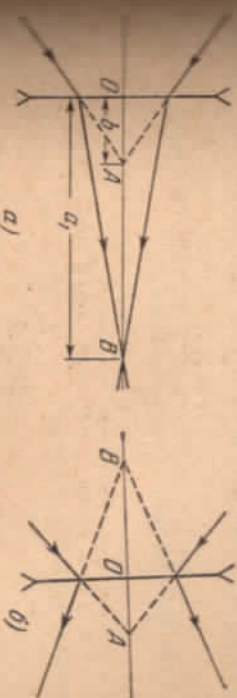


Рис. 512

Тогда по формуле линзы

$$\frac{1}{a_1} - \frac{1}{b} = -\frac{1}{f}.$$

Отсюда $f = \frac{a_1 b}{a_1 - b} = 20 \text{ см.}$

715. Ход лучей изображения (точка A) и источник (точка B) являются минимумами, изображение (точка A) и источник (точка B) являются максимумами.

$$-\frac{1}{a_2} - \frac{1}{b} = -\frac{1}{f}.$$

Отсюда $f = \frac{a_2 b}{a_2 + b} = 12 \text{ см.}$

716. На основании формулы линзы

$$\frac{1}{a} + \frac{1}{d-a} = \frac{1}{f},$$

где a — расстояние между линзой и лампочкой. Отсюда

$$a^2 - ad + df = 0.$$

Решая данное уравнение, получим:

$$a = \frac{d}{2} \pm \sqrt{\frac{d^2}{4} - df}.$$

Следовательно, возможны два положения линзы: на расстоянии $a_1 = 70 \text{ см}$ от лампочки и на расстоянии $a_2 = 30 \text{ см}$.

При $f' = 26 \text{ см}$ отчетливого изображения на экране не будет при любых положениях линзы, так как для получения изображения необходимо, чтобы $d > 4f$.

717. В первом случае $\frac{h_1}{H} = \frac{b_1}{a_1}$, где a_1 и b_1 — расстояния от предмета и изображения до линзы. Во втором случае соответственно $\frac{h_2}{H} = \frac{b_2}{a_2}$.

Как вытекает из решения задачи 716, $a_1 = b_2$ и $b_1 = a_2$. Следовательно,

$$H = \sqrt{h_1 h_2}.$$

718. На основании формулы зеркала

$$\frac{1}{a} - \frac{1}{b} = \frac{1}{f},$$

Линейное увеличение зеркала

$$\frac{H}{h} = \frac{b}{a},$$

Угловые размеры изображения в выпуклом зеркале по условию

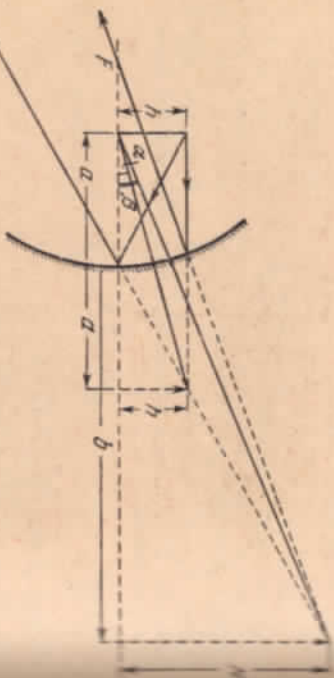


Рис. 513.

задачи в 1,5 раза большие угловых размеров изображения в выпуклом зеркале: $\beta = 1,5\alpha$ (рис. 513). Очевидно, что

$$\operatorname{tg} \alpha = \frac{h}{2a}, \quad \text{а} \quad \operatorname{tg} \beta = \frac{H}{a+b}.$$

При $h \ll 2a$ α и β малы. Для малых углов

$$\frac{H}{a+b} \approx 1,5 \frac{h}{2a}.$$

Используя из уравнений неизвестные $\frac{H}{h}$ и b , найдем: $f = \frac{3}{2} a$.

Следовательно, $R = 2f = 3a = 6$ м.

719. Искомое построение изображено на рис. 514. Продолжим AB до пересечения с фокальной плоскостью линзы NN' . Пучок

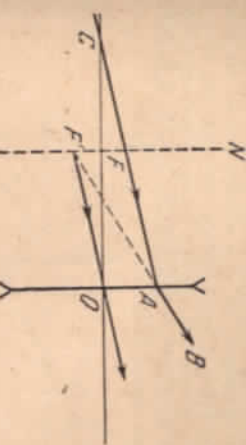


Рис. 514.

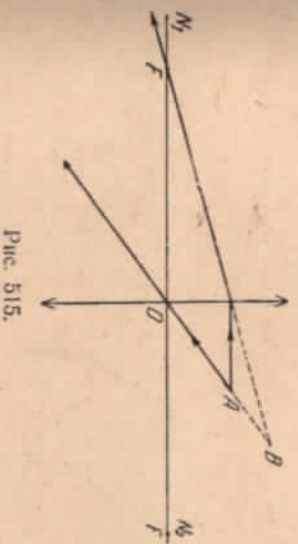


Рис. 515.

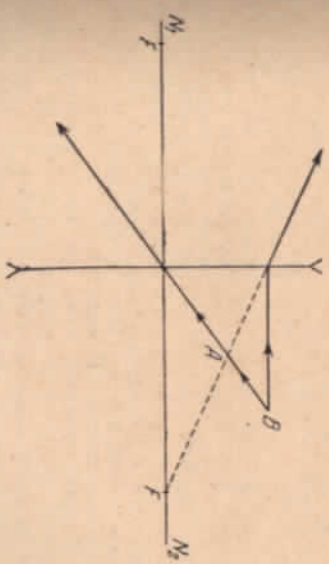


Рис. 516.

параллельных лучей после преломления в линзе идет таким образом, что продолжения преломленных лучей должны пересекаться в F' . Луч $F'O$ не преломляется. Следовательно, до линзы луч CA , проходящий в точку A , идет параллельно $F'O$.

720. Если A — источник, а B — изображение, то линза собирает свет, Положение оптического центра линзы O и ее фокусом F находится построением, изображенном на рис. 515.

Если B — источник, а A — изображение, то линза рассеивает свет. Соответствующее построение дано на рис. 516.

721. Центр линзы O — точка пересечения прямых SS' и N_1N_2 . Фокусы легко находятся построением лучей, параллельных оптической оси (рис. 517).

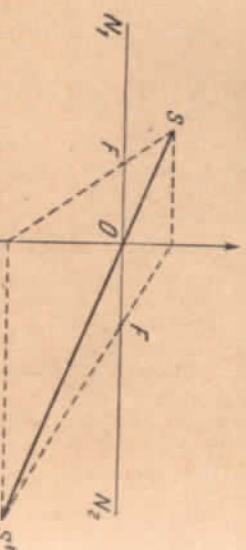


Рис. 517.

722. Опустив перпендикуляр BO на прямую N_1N_2 , находим точку O — оптический центр линзы (рис. 518). Проводим побочную оптическую ось DO , параллельную лучу AB . Продолжим прямую DO до пересечения с DO в точке E , лежащей в фокальной пястости f .

Опустив из E перпендикуляр на N_1N_2 , находим точку F — один из главных фокусов линзы. Используя свойство обратимости лучей, аналогичным образом можно найти другой главный фокус F' .

723. Изображение S'_1 может быть действительным или мнимым. В обоих случаях для нахождения положения источника проекции производим луч ADS'_1 и параллельную ему побочную оптическую ось BOC (рис. 519). Сосединние прямими точками пересечения H и H' получим точку P (рис. 520). Эта точка и будет являться положением зеркала.

Оптический центр C зеркала, очевидно, может быть найден как точка пересечения луча SS'' с осью NN' . Фокус изображения S'_1 , должен пройти через фокус f (также на оптической оси зеркала) и через S'_1 .

Рис. 518.

(побочией оси с фокальными плоскостями) с точкой D , находим S'_2 (если изображение S'_1 мнимое).

724. Воспользовавшись тем, что луч, падающий на зеркало в его полосе, отражается симметрично относительно главной оптической оси с фокальными плоскостями) с точкой S'_1 и провели луч SS'' до пересечения с осью в точке P (рис. 520). Эта точка и будет являться положением зеркала.

Оптический центр C зеркала, очевидно, может быть найден как точка пересечения луча SM , параллельного оси, который, отразившись, должен пройти через фокус f (также на оптической оси зеркала) и через S'_1 .

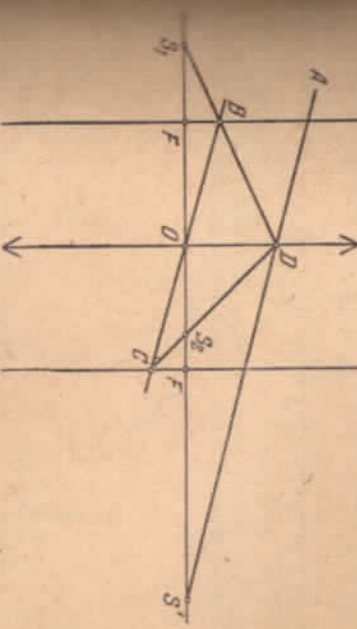


Рис. 519.

725. а) Построим, как и в решении задачи 724, луч BAC , падающий в точку C (оптический центр зеркала) (рис. 521, а). Полюс P зеркала, построим с помощью симметричной точки A' ход

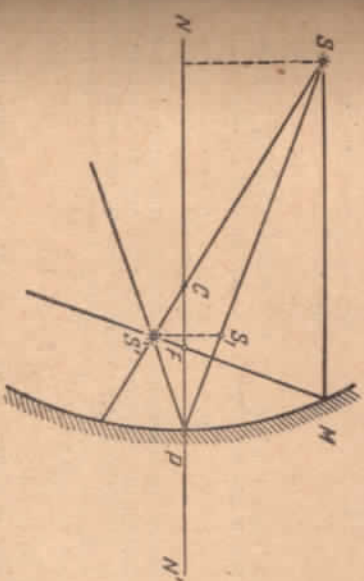


Рис. 520.

б) Аналогичным построением находим центр зеркала C и полюс P (рис. 521, б). Луч BM , отразившись, пойдет параллельно зеркалу AB (рис. 522). Сосединие прямыми точками пересечения с побочией оси с фокальными плоскостями) с точкой D , находим S'_2 (если изображение S'_1 мнимое).

от экрана на расстоянии в 3 раза большем, чем первый источник. Поэтому освещенность должна увеличиться на $\frac{1}{9}$ той освещенности, которая была раньше:

$$E_a = 2,5 \text{ лк.}$$

6) Вогнутое зеркало расположено так, что источник S лежит в его фокусе. Лучи после отражения от зеркала идут параллельным пучком. Освещенность по оси пучка параллельных лучей одинакова и равна освещенности, создаваемой точечным источником в ближайшей к нему точке зеркала. Полная освещенность

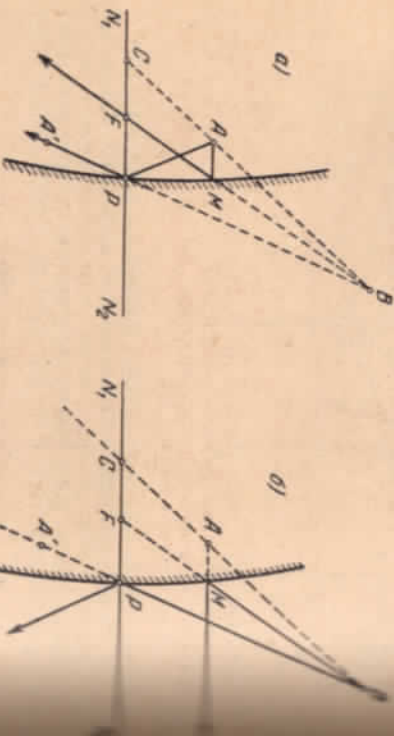


Рис. 521.

в центре экрана равна сумме освещенностей, созданных единичным источником в центре экрана и отраженными лучами:

$$E_b = 2 \cdot 2,25 \text{ лк} = 4,5 \text{ лк.}$$

в) Минимое изображение точечного источника в выпуклом зеркале находится на расстоянии $2,5r$ от зеркала (r — расстояние от экрана до источника). Световой поток Φ , послываемый этим источником, равен световому потоку истинного источника, падающему на зеркало:

$$I_{1\Phi_1} = I_{2\Phi_2}.$$

Так как телесный угол ω_1 потока, падающего на зеркало от источника S (рис. 522), вчетвере раза меньше телесного угла ω_2 источника, лежащего на экране, то сила света I_2 минимого источника в четырех раза меньше силы света источника S . Поэтому минимий источник создает в центре экрана освещенность в $4 \cdot (2,5)^2 = 25$ раз меньшую, чем первичный источник. Следовательно, $E_c = 2,34 \text{ лк.}$

727. Каждый участок линзы создает полное изображение несущего лежащей на двойном фокусном расстоянии. Ход лучей изображен на рис. 524.

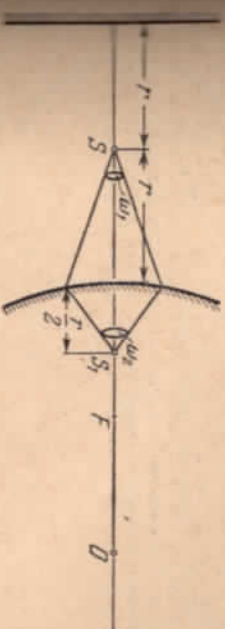


Рис. 522.

728. Для доказательства равенства видимых размеров солнечного диска у самого горизонта и высоко над ним нужно спроектировать солнечный диск в том же другом случае на лист бумаги с помощью длиннофокусной линзы. При этом линза и лист должны быть перпендикулярны солнечным лучам. Линза должна быть длиннофокусной, так как размеры изображения пропорциональны изображенному расстоянию.

Проверяя размеры изображений, можно убедиться, что они

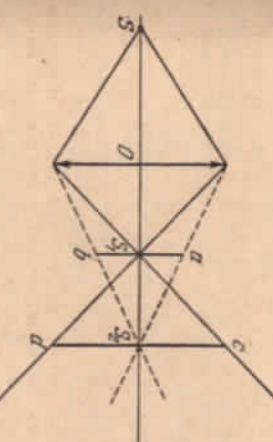


Рис. 523.

729. Зеркало нужно поставить посередине между фокусом и линзой, лежащей на двойном фокусном расстоянии. Ход лучей изображен на рис. 524.

§ 31. Оптические системы и оптические приборы

731. Рассеивающую линзу следует расположить на расстоянии $d = f = R$ от линзы 25 см от собирающей. Тогда фокусы рассеивающей и собирающей линз будут совпадать. На рис. 525 изображен ход лучей.

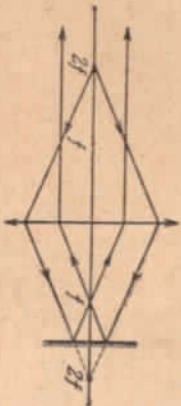


Рис. 525.

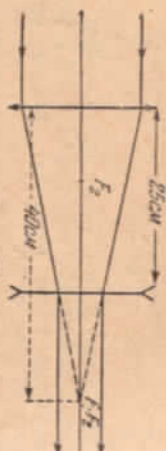


Рис. 524.

732. Изображение $A'B'$ предмета в сферическом зеркале будет находиться на расстоянии b_1 (рис. 526) от зеркала, определяемое по формуле зеркала:

$$\frac{1}{a_1} - \frac{1}{b_1} = -\frac{2}{R}.$$

Отсюда $b_1 = 8$ см. Расстояние AA' равно 48 см. Следовательно пластину нужно поместить на расстоянии 24 см от предмета A .

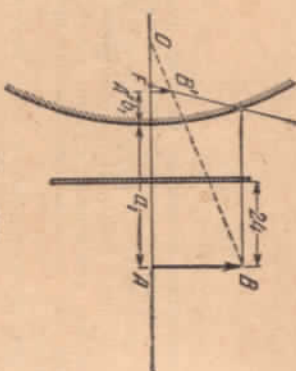


Рис. 526.

6) Зеркало находится на расстоянии $d = f = R$ от линзы (рис. 528).

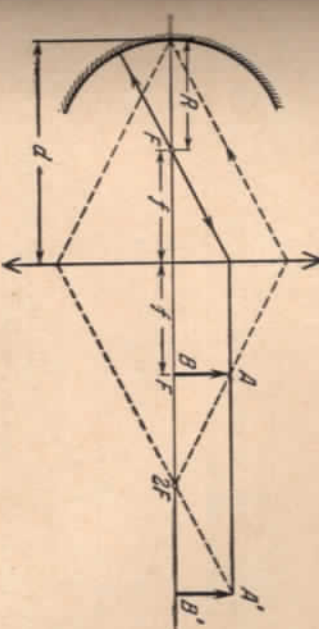


Рис. 528.

Изображение предмета $A'B'$, также в натуральную величину,

будет обратным и минимум при любом положении предмета.

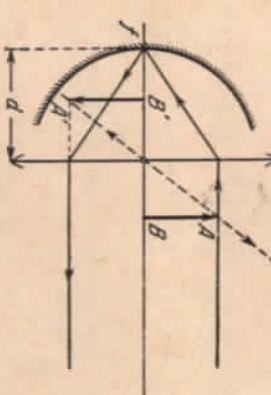


Рис. 529.

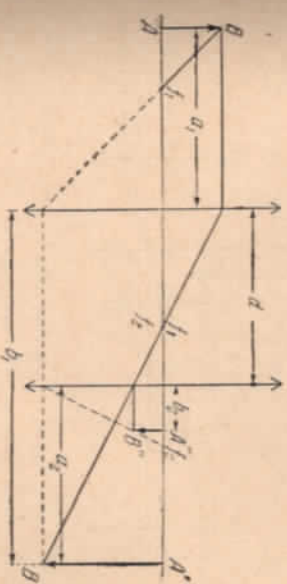


Рис. 529.

733. Возможны два случая.
а) Зеркало находится на расстоянии $d = f + R$ от линзы. Тогда луч, параллельного оптической оси системы, а также изображение предмета AB приведены на рис. 527. Изображение $A'B'$ (прямое действительное) получается в натуральную величину при линзе

б) зеркало находится на расстоянии $d = f - R$ от линзы. Первые линзы при отсутствии второй дают изображение

$A'B'$, находящееся на расстоянии $b_1 = 60$ см от линзы, расположение находитсѧ по формуле линзы

$$\frac{1}{a_1} + \frac{1}{b_1} = \frac{1}{f},$$

Изображение $A'B'$ является «минимум» по отношению ко второй линзе. Следовательно,

$$-\frac{1}{a_2} + \frac{1}{b_2} = \frac{1}{f_2},$$

где $a_2 = b_1 - d = 30$ см.

Отсюда $b_2 = 7,5$ см.

735. Из решения предыдущей задачи следует, что в случае двух собирающих линз, находящихся на некотором расстоянии друг от друга, справедливо равенство

$$\frac{1}{a_1} + \frac{1}{b_2} = \frac{1}{f_1} + \frac{1}{f_2} + d \left(\frac{a_1 - f_1}{a_1 b_2 f_1 f_2} \right).$$

В нашем случае рассеивающая линза расположена выпуклую к изображаемой ($d = 0$), поэтому

$$\frac{1}{a_1} + \frac{1}{b_2} = -\frac{1}{f_1} + \frac{1}{f_2} = \frac{1}{f},$$

где f — искомое фокусное расстояние системы.

$$\text{Отсюда } f = \frac{f_1 f_2}{f_1 - f_2}.$$

736. На вторую линзу падает световой пучок, выходящий из точки, расположенной на расстоянии $a_2 = 5$ см от линзы. Продолжения световых лучей, преломленных этой линзой, пересекаются как всплеск из формулы линзы, на расстоянии $b_2 = 4$ см от нее (рис. 530). Эта точка как раз совпадает с фокусом третьей линзы

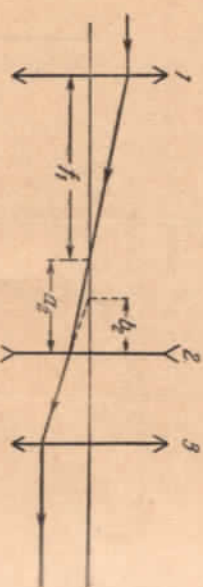


Рис. 530.

Причем лучи, вышедшие из системы, пойдут параллельными лучами. Данная система является телескопической. На рис. 531 изображено изображение предмета S на пластинке S' за линзой S .

Следовательно, $H = H' + d \left(1 - \frac{1}{n} \right) = 85$ см.

Линия BE кажется выходящим из точки S' ; S' — минор изображения S в пластинке. Таким образом, расстояние между изображением предмета и пластинке и линзой $f' = d - SS'$.

Следовательно $SS' = AD = d - DC$. Учитывая угол падения на пластинку α , имеем:

$$DC = \frac{BC}{i} = \frac{d \cdot r}{i} = \frac{d}{n}.$$

То есть так $\frac{i}{r} \approx n$.

Следовательно, $SS' = d \left(1 - \frac{1}{n} \right) = 4$ см. До помещения пла-

стинки экран находился на расстоянии $b = \frac{af}{a-f} = 120$ см, после

помещения — на расстоянии $b' = \frac{a'f}{a'-f} = 180$ см. Экран нужно поместить на 60 см.

737. Без зеркала изображение предмета $A'B'$ получится на расстоянии $b = \frac{af}{a-f} = 180$ см от линзы (рис. 532). После отражения в зеркале изображение займет положение $A''B''$ и будет находиться на расстоянии $H' = b - l = 80$ см от оптической оси.

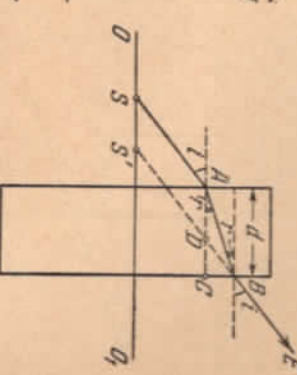


Рис. 531.

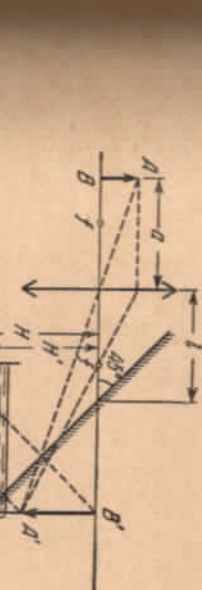


Рис. 532.

Слой воды толщины d сместит изображение на расстояние $H - H' = d \left(1 - \frac{1}{n} \right)$, где n — показатель преломления воды. Это

вытекает непосредственно из решения задачи 737.

Следовательно, $H = H' + d \left(1 - \frac{1}{n} \right) = 85$ см.

739. Возможны два случая:

1) Оптическая ось линзы перпендикулярна передней грани клина. Лучи, отраженные от передней грани, проходят линзу, давая изображение точечного источника, совпадающее с самим источником. Лучи, отраженные от задней грани, отклоняются на угол φ (рис. 533), определяемый равенством $\frac{\sin \varphi}{\sin 2x} = n$. Ввиду малости углов $\varphi \approx 2x$.

Второе изображение источника получится на расстоянии $d = f \cdot \varphi = f \cdot \frac{2x}{\tan \varphi}$.

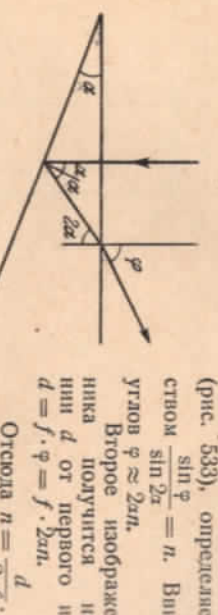


Рис. 533.

2) Оптическая ось линзы параллельна задней поверхности клина. Лучи, отраженные от задней поверхности, отклоняются на угол $\psi = 2x$ и дают изображение, отстоящее от источника на расстояние $d_1 = 2xf$ (рис. 534).

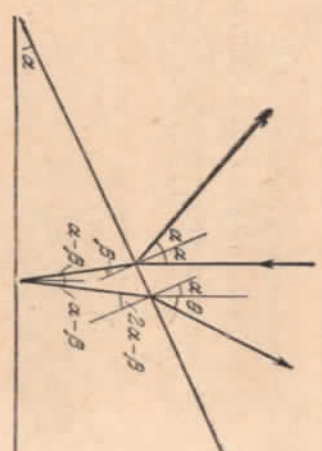


Рис. 534.

Лучи, отраженные от задней поверхности, отклоняются на угол ψ , определяемый из уравнений:

$$\frac{\sin \alpha}{\sin \beta} = n, \quad \frac{\sin(\alpha + \beta)}{\sin(2x - \beta)} = n.$$

При малых углах $\theta = 2x(n-1)$. Поэтому второе изображение будет находиться от источника на расстоянии $d_1 = 2x(n-1)f$. Полное расстояние между изображениями $d = d_1 + d_2 = 2nf$.

Отсюда $n = \frac{d}{2nf}$, как и в случае 1.

740. Так как изображение, совпадающее с источником, обозначено в результате отражения от части зеркала, не попадает жирностью, то очевидно, что источник расположен в центре изо-

брам. О. Найдем положение другого изображения (точка А на рис. 535). По закону преломления

$$\frac{\sin \alpha}{\sin \beta} = n \approx \frac{a}{b}, \quad \frac{\sin \varphi}{\sin \theta} = n \approx \frac{\varphi}{\theta}.$$

Но поло из чертежа, $\theta = \beta + 2\gamma$, где $\gamma \approx \alpha - \beta$ — угол падения преломленного луча на зеркало, и $(R - l - h) \operatorname{tg} \varphi \approx (R - h) \operatorname{tg} \alpha$.

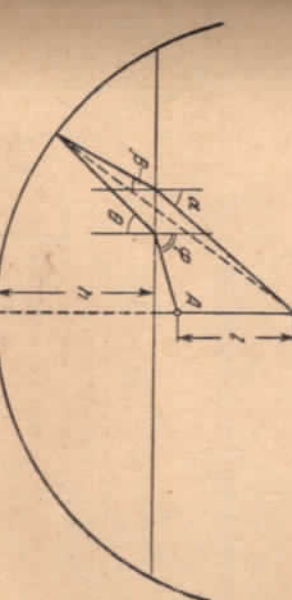


Рис. 535.

Преобразим h по сравнению с R , из полученной системы уравнений:

$$n = \frac{2R - l}{2(R - l)} = 1.6.$$

741. Получаемое в системе изображение $A'''B'''$ показано на рис. 536. F_1 и F_2 — фокусы линз и зеркала. $A'B'$ — изображение, даваемое линзой в случае, если ее поверхность не посеребрена. Изображение $A''B''$, даваемое зеркалом, можно проверить, учитывая, что луч BO после прохождения линзы и отражения от зеркальной поверхности пойдет по пути OB'' , причем $\angle BOA = \angle B''OA$. Луч BC выходит из линзы параллельно оптической оси системы и после отражения идет через F_2 .

Оражение от зеркала лучи преломляются в линзе еще раз и дают изображение $A'''B'''$. Точка B''' лежит на пересечении лучей OB'' и CD . Луч OB'' проходит через оптический центр линзы после отражения и потому не преломляется. Луч CD строится следующим образом. После первого преломления в линзе и отражения от BC попадет в направление F_2 и преломится в линзе еще раз, преломленный в задаче 723: через оптический центр O проводится до пересечения с фокальной плоскостью линзы луч OD , параллельный CF_2 . Тогда, соединив C и D , получим искомый луч.

Так как лучи преломляются в линзе дважды, фокусное расстояние f системы может быть найдено из соотношения (см. задачу 735)

$$\frac{1}{f} = \frac{1}{l_1} + \frac{1}{l_2} + \frac{1}{l_1},$$

где $f_1 = \frac{R}{2}$ — фокусное расстояние зеркала,

$$f = \frac{f_1 f_2}{f_1 + 2f_2} = 2.5 \text{ см.}$$

Отсюда расстояние b до изображения $A'''B'''$ находится по формуле

$$\frac{1}{a} + \frac{1}{b} = \frac{1}{f},$$

Следовательно, $b = \frac{af}{a-f} = 3 \text{ см.}$

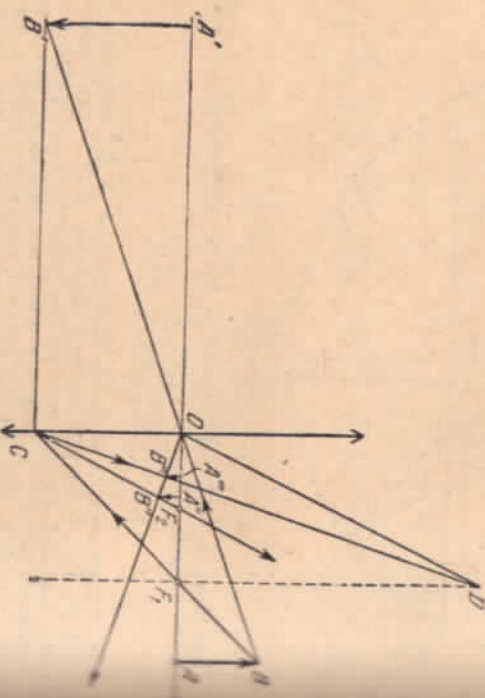


Рис. 536.

742. Фокусное расстояние тонкой линзы $f = \frac{r}{n-1}$, где $r = \frac{1}{2}R$ — радиус сферической поверхности.

Пусть лучи, параллельные оптической оси сферической поверхности, падают на нее из воздуха (рис. 537). Преломившись на этой поверхности, луч NK отклоняется на угол $\alpha - \beta$ от оптической оси. Как видно из рис. 537, a , $O\rho \cdot \operatorname{tg} \alpha = F_1 P \operatorname{tg} (\alpha - \beta)$.

По закону преломления $\frac{\sin \alpha}{\sin \beta} = n$.

Ввиду малости рассматриваемых углов отсюда вытекает, что Следовательно,

$$f_1 = \frac{n}{n-1} r = nf.$$

Если же параллельные лучи падают из стекла (рис. 537, б), то аналогичное рассмотрение приводит к уравнению:

$$\frac{\sin \alpha}{\sin \beta} = \frac{1}{n}, \quad r \operatorname{tg} \alpha = f_2 \operatorname{tg} (\beta - \alpha).$$

Отсюда $f_2 = \frac{r}{n-1} = f$.

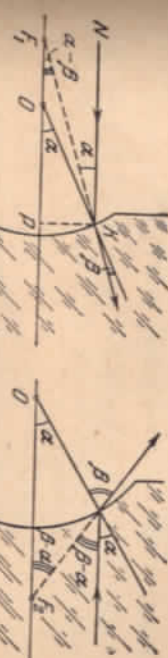


Рис. 537.

743. Возможны два случая: фокус находится вне шара и внутри шара. Рассмотрим сначала первый случай. Ход луча, падающего на шар под углом i , изображен на рис. 538.

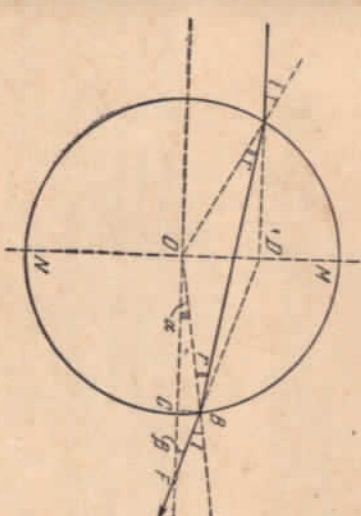


Рис. 538.

Учитывая, что углы i и r малы в соответствии с условием задачи, имеем:

$$BC = R \sin \alpha = R \sin (2r - i) \approx R (2r - i) \approx \frac{Ri}{n} (2 - n).$$

Очевидно, что фокус лежит вне шара при $n < 2$. Если $n = 2$, то фокус лежит на поверхности шара.

Расстояние

$$CF = BC \cdot \operatorname{csg} \beta \approx \frac{BC}{\beta}, \quad \beta \approx 2(i - r) \approx \frac{2i(n - 1)}{n},$$

как нетрудно определить с помощью рис. 538.

Искомое расстояние

$$f = R + CF = \frac{Rn}{2(n - 1)},$$

Ход луча при $n > 2$ изображен на рис. 539.

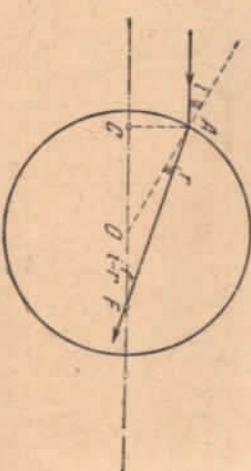


Рис. 539.

Искомое расстояние

$$f' = OF \approx CF - R.$$

Как видно из рис. 539,

$$CF = AC \operatorname{csg}(i - r) \approx \frac{AC}{i - r} \approx \frac{Ri}{i - r}.$$

Отсюда

$$f' = \frac{R}{n - 1}.$$

744. Продолжим луч BF до пересечения с продолжением луча падающего на шар параллельно оптической оси (рис. 538). Нетрудно видеть, что отрезок DO , соединяющий точку пересечения с центром шара, образует с направлением падающего луча прямой угол. (Треугольник ODF прямоугольный, так как

$$OF \cdot \beta \approx \frac{R}{2} \cdot \frac{n}{n - 1} \cdot \frac{2i(n - 1)}{n} = Ri \quad (\text{см. задачу 743}).$$

Следовательно, главные плоскости шара MN совпадают и проходят через его центр.

745. Фокусное расстояние шара

$$f = \frac{R}{2} \cdot \frac{n}{n - 1} = 15 \text{ см}$$

(см. задачи 743 и 744). Используя формулу линзы, что допустимо, так как главные плоскости совпадают, находим расстояние от шара

до линзы до изображения:

$$b = \frac{af}{a - f} = -15 \text{ см}.$$

Изображение мнимое и находится перед шаром. 746. Тонкую стенку сферической колбы можно рассматривать как рассеивающую линзу с фокусным расстоянием

$$f_1 = \frac{1}{(n - 1)\left(\frac{1}{R_1} - \frac{1}{R_2}\right)} \approx \frac{R^2}{(n - 1)\Delta R}.$$

Пройдя две такие линзы, расположенные на расстоянии $2R$ одна от другой (рис. 540), лучи, параллельные главной оптической

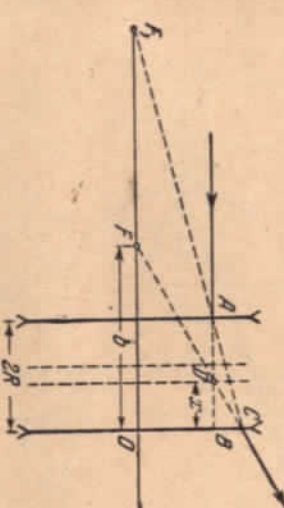


Рис. 540.

оси (диаметру колбы), проходят таким образом, что их продолжения пересекутся в фокусе F системы на расстоянии b от второй линзы, причем по формуле линзы

$$\frac{1}{f_1 + 2R} - \frac{1}{b} = -\frac{1}{f_2}.$$

Отсюда

$$b = \frac{f_1(f_1 + 2R)}{2(f_1 + R)}.$$

Точка D пересечения отрезка AB (продолжение падающего луча) и отрезка CF (продолжение луча преобразованного) лежит на главной плоскости системы, находящейся на расстоянии x от второй линзы.

Из подобия треугольников ACB и F_1CO , а также треугольников DGB и FCO следует, что

$$\frac{x}{b} = \frac{2R}{2R + f_1}.$$

Главная плоскость лежит от второй линзы на расстоянии

$$x = \frac{2Rb}{2R + f_1} = \frac{f_1 R}{f_1 + R}.$$

Следовательно, фокусное расстояние системы

$$f = b - x = \frac{f_1^2}{2(f_1 + R)} \approx \frac{f_1}{2} = \frac{R^2}{2(n-1)\Delta R},$$

В силу симметрии данной оптической системы положения второго фокуса и другой главной плоскости очевидны.

747. Как видно из рис. 541, угол преломления

$$r = \angle OAB = \angle ABO = \angle OBC = \angle OCB,$$

В точке A луч поворачивает на угол $i - r$, в точке B на угол $a \angle BAD = \angle BCD = i - r$.

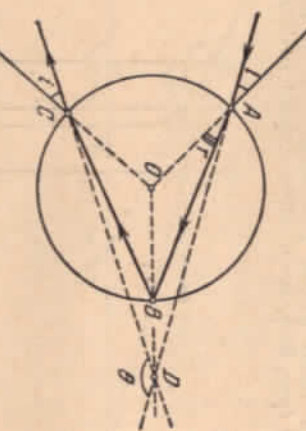


Рис. 541.

$\pi - 2r$ и в точке C на угол $i - r$. Следовательно, полный угол отклонения луча от первоначального направления

$$\theta = i - r + \pi - 2r + i - r = \pi + 2i - 4r.$$

Угол r можно найти из соотношения $\frac{\sin i}{\sin r} = n$.

748. При падении на капельку параллельного пучка лучей луч, имеющий видок диаметра, имеет угол падения $i = 0^\circ$, а лучи, лежащие выше и ниже его, имеют углы падения, принимающие все возможные значения от 0 до 90° .

1) Используя результаты предыдущей задачи и закон преломления, можно найти значения θ для различных i :

Таблица III

i	0	i	90°
0°	180°	55°	$138^\circ 20'$
20°	$160^\circ 24'$	60°	$137^\circ 56'$
40°	$144^\circ 40'$	65°	$138^\circ 40'$
50°	$139^\circ 40'$	70°	$140^\circ 44'$

414

- 2) График зависимости θ от i изображен на рис. 542.
3) Наименьшее значение угла отклонения приближено равнозначно $\theta_{\min} = 138^\circ$. Лучи, вышедшие из капли, идут приблизительно

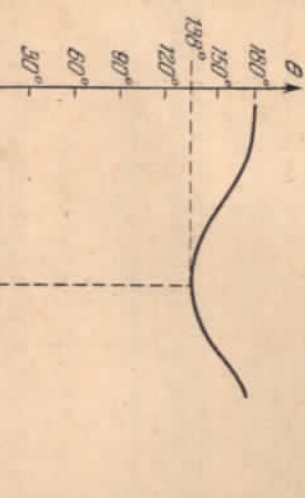


Рис. 542

параллельно именно при $\theta = \theta_{\min}$ так как при этом, как видно из таблицы и графика, θ меняется наиболее медленно при изменении i . Примерный ход лучей в капле изображен на рис. 543.



Рис. 543.

749. По формуле линзы

$$\frac{1}{a} + \frac{1}{b} = \frac{1}{f}.$$

Увеличение

$$k = \frac{b}{a} = \frac{b-f}{f} = 24 \text{ раза.}$$

750. Колленсор должен давать действительное изображение источника на объективе размером с объектив. Следовательно, применение формулы линзы и выражение, определяющее ее увеличение, можем записать два уравнения:

$$\frac{1}{x} + \frac{1}{y} = \frac{1}{f}, \quad \frac{d}{D_0} = \frac{x}{y}.$$

Здесь x — расстояние от источника света до колленсора, а y — расстояние от колленсора до объектива. По условию задачи $x+y=l$. Исключая x и y из полученных выражений, найдем фокусное расстояние:

$$f = \frac{dlD_0}{(d+D_0)^2} = 7,1 \text{ см.}$$

Диаметр колленсора будет наименьшим, если диаметр ракорда $D \approx 11 \text{ см}$.

751. Матовое стекло нужно, во-первых, для того, чтобы фиксировать плоскость, в которой получается изображение, и, во-вторых, для увеличения угла зрения. Прозрачное стекло употребляется при рассматривании изображения, даваемого фотообъективом, в микроскопе. Для этого на прозрачном стекле наносят черту, которая фиксирует плоскость изображения, и добиваются резкого изображения в микроскопе этой черты и прилегающего к ней участка картины, даваемой объективом. Матовое стекло в этом случае применено быть не может, так как в микроскопе будут видны все искажения, обусловленные структурой матовой поверхности.

752. 1) Фонари будут казаться одинаково яркими, так как освещенность сетчатки глаза $E = \frac{BS}{b^2}$ одинакова для обоих фонарей. (Здесь B — яркость фонари, S — площадь входного отверстия зрачка, b — расстояние от хрусталика до сетчатки.)

2) Изображение более удаленного предмета лежит ближе к облективу, чем изображение близкого предмета. Поэтому удаленный фонляр создает большую освещенность на фотографии и изображение его на фотографии будет более ярким.

753. Освещенность фотопластики

$$E \sim \frac{S}{b^2} \sim A \frac{(a-f)^2}{a^2},$$

где $A = \frac{d^2}{f^2}$ — светосила объектива, f — фокусное расстояние, a — расстояние от объектива до фотографируемого предмета (то же задало 752). Отсюда очевидно, что у короткофокусного аппарата выдержка должна быть меньше.

754. Расстояния между Солнцем и Землей и Солнцем и Луной практически равны. Поэтому, если бы Луна и стена имели одинаковые коэффициенты отражения, то яркость их казалась бы одинаковой. Следовательно, можно считать, что поверхность Луны состоит из тених пород.

755. В воздухе внешняя выпуклая роговая оболочка глаза собирает лучи и создает изображение на сетчатке. Хрусталик только помогает ей в этом.

Показатель преломления жидкости внутри глаза очень близок к показателю преломления воды. Поэтому в воде роговица почти не преломляет свет и глаз становится крайне дальнозорким.

В маске преломляющие свойства роговицы целиком скрываются.

756. Рассматривая удаленные предметы, находящиеся на расстоянии a_2 так же, как видел бы предметы, находящиеся на расстоянии $a_2 = 60 \text{ см}$, без очков.

Поэтому для человека, вооруженного очками (см. решение задачи 735),

$$\frac{1}{a} + \frac{1}{b} = \frac{1}{f} + \frac{1}{f_0},$$

где $a = \infty$,
для человека без очков

$$\frac{1}{a_2} + \frac{1}{b} = \frac{1}{f}.$$

Здесь b — глубина глаза, $\frac{1}{f}$ — наименьшая оптическая сила глаза, $\frac{1}{f_0}$ — оптическая сила очков. Предполагается, что очки пришли к глазу.

Отсюда $f_0 = -a_2$.

Определим теперь положение ближней точки аккомодации глаза, вооруженного очками:

$$\frac{1}{a_1} + \frac{1}{b_1} = \frac{1}{f_1}, \quad \frac{1}{a_3} + \frac{1}{b_1} = \frac{1}{f_1} + \frac{1}{f_0}.$$

Отсюда

$$\frac{1}{a_3} = \frac{1}{a_1} + \frac{1}{f_0} = \frac{1}{a_1} - \frac{1}{a_2}.$$

и следовательно, $a_3 = 15 \text{ см}$.

757. Надев чужие очки, дальнозоркий видит резко только очень удаленные предметы. Следовательно, расстояние a_2 пальчика зрения глаза дальнозоркого определяется из уравнения

$$\frac{1}{a_1} - \frac{1}{a_2} = D_1,$$

где a_1 — очень большое расстояние ($a_1 \rightarrow \infty$), D_1 — оптическая сила очков дальнозоркого.

Оптическую силу D_2 очков, исправляющих дефект зрения дальнозоркого, можно найти по формуле

$$\frac{1}{a_0} - \frac{1}{a_2} = D_2,$$

где $a_0 = 0,25 \text{ м}$ — расстояние наилучшего зрения нормального глаза.

Расстояние a_3 наилучшего зрения близорукого глаза определяется из уравнения

$$\frac{1}{a_0} - \frac{1}{a_3} = D_1.$$

Если же близорукий наделет очки дальнозоркого, то расстояние наилучшего зрения, т. е. минимальное расстояние a , на котором близорукой сможет без напряжения читать мелкий шрифт, можно определить по формуле

$$\frac{1}{a} - \frac{1}{a_3} = D_2,$$

решив эти 4 уравнения, получим: $a = 12,5$ см.

758. При рассматривании предмета высотой l с расстоянием D угол зрения φ_1 определяется выражением

$$\varphi_1 = \frac{l}{D}.$$

Если рассматривать тот же предмет в лупу, то

$$\varphi_2 = \frac{l'}{b+r} = \frac{l'}{L},$$

где l' — высота изображения (рис. 544).

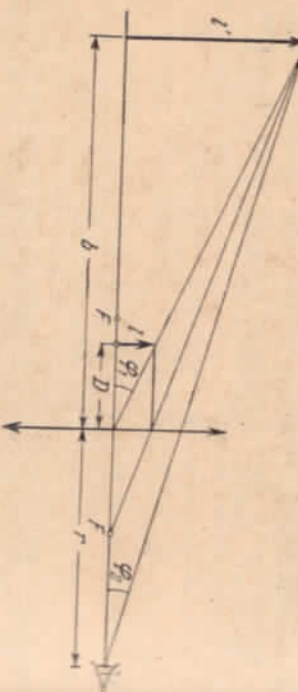


Рис. 544.

Угловое увеличение

$$N = \frac{\varphi_2}{\varphi_1} = \frac{l'D}{lL} = k \frac{D}{L},$$

где $k = \frac{l'}{l} = \frac{b}{D} = \frac{f+b}{f}$ — линейное увеличение, определяемое по формуле линзы (f — фокусное расстояние).

Следовательно,

$$N = \frac{D}{f} \cdot \frac{b+f}{L} = \frac{D}{f} \cdot \frac{L-r+f}{L}.$$

1) При $L = \infty$ $N = \frac{D}{f}$.

2) При $L = D$ $N = \frac{D}{f} + 1 - \frac{r}{f}$.

759. Увеличение трубы $N = \frac{f_1}{f_2}$, где f_1 — фокусное расстояние объектива, а f_2 — фокусное расстояние окуляра.

Так как у установленной на бесконечность трубы расстояние между объективом и окуляром равно $f_1 + f_2$, то

$$\frac{D}{d} = \frac{f_1 + f_2}{b}.$$

Здесь b — расстояние от окуляра до изображения диафрагмы. По формуле линзы

$$\frac{1}{f_1 + f_2} + \frac{1}{b} = \frac{1}{f_2}.$$

Исключая из этих уравнений b , находим:

$$\frac{D}{d} = \frac{f_1}{f_2} = N.$$

760. Резкие изображения удаленных предметов будут получаться при трех различных положениях собирающей линзы. Ее можно поместить перед рассеивающей линзой или за ней.

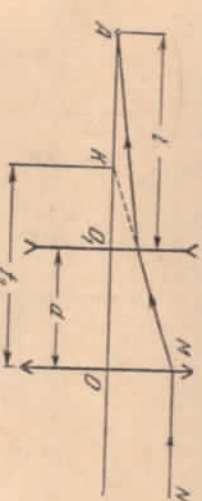


Рис. 545.

Для первого расположения расстояния d между линзами можно найти, рассматривая точку K как минное изображение точки A на рассеивающей линзе (рис. 545):

$$-\frac{1}{f_2-d} + \frac{1}{f} = -\frac{1}{f_1}.$$

Луч MN параллелен оптической оси системы.

Отсюда

$$d = f_2 - \frac{f_1 f}{f_1 + f} = 35 \text{ см.}$$

Для второго расположения (собирательная линза за рассеивающей) ход лучей изображен на рис. 546. Рассматривая точку A как

сматривая точку E как минное изображение точки O_1 , можно написать:

$$\frac{1}{d_1} - \frac{1}{x_1} = -\frac{1}{f_1}.$$

Используя подобие треугольников ABE и O_1PE и учитывая, что $O_1P = d_1 \operatorname{tg} \varphi$, получим:

$$\frac{D_1}{l+x_1} = \frac{d_1 \operatorname{tg} \varphi}{x_1} \approx \frac{d_1 \varphi}{x_1},$$

Изъявив x_1 из данных уравнений, найдем: $D_1 = 0,72$ см.

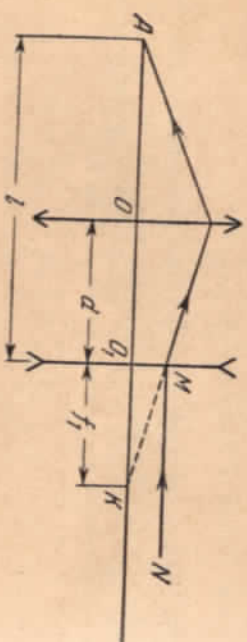


Рис. 546.

изображение K в собирающей линзе, применим формулу линзы

$$\frac{1}{f_1+d} + \frac{1}{l-d} = \frac{1}{f_2}.$$

Отсюда

$$d = \frac{l-f_1}{2} \pm \frac{l+f_1}{2} \sqrt{1 - \frac{4f_2}{l+f_1}}.$$

Расстояние между линзами может быть $d_2 = 35$ см или $d_3 = 5$ см.

761. Пусть луч, излучающийся от одного из концов диаметра видимого диска Луны, направлена вдоль оптической оси системы. Ониладут изображение на оптической оси в точке A , отстоящей на расстояние $l = 45$ см от рассеивающей линзы (рис. 547).

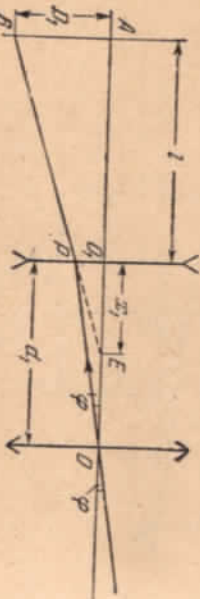


Рис. 547.

Лучи, излучающиеся от другого конца диаметра, составляют с первыми лучами по условию угла φ . Пройдя систему, они дают изображение (точка B), лежащее в плоскости, перпендикулярной оптической оси и отстоящей от рассеивающей линзы на то же расстояние l .

Для нахождения диаметра изображения $D_1 = AB$ рассмотрим ход луча, проходящего через оптический центр первой линзы. При первом расположении через оптический центр первой линзы, перед рассеивающей, на расстоянии $d_1 = 35$ см. В этом случае, рас-

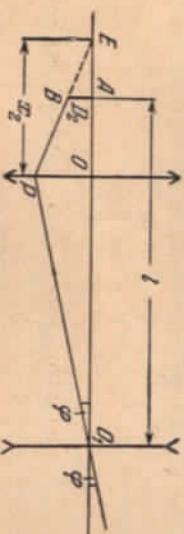


Рис. 548.

Для второго расположения линз ($d_2 = 35$ см) ход лучей изображены на рис. 548. Величину изображения Луны D_1 можно найти по уравнению:

$$\frac{D_1}{D_2} = \frac{d_2 \operatorname{tg} \varphi}{x_2} \approx \frac{d_2 \varphi}{x_2},$$

(рассматривая треугольники EOP , EAB и OPO_1),

$$\frac{1}{d_2} + \frac{1}{x_2} = \frac{1}{f_2}$$

(рассматривая E как изображение O_1). Отсюда $D_1 \approx 0,011$ см.

Для третьего расположения ($d_3 = 5$ см) ход лучей будет несколько иным (рис. 549) по сравнению с изображением на рис. 548.

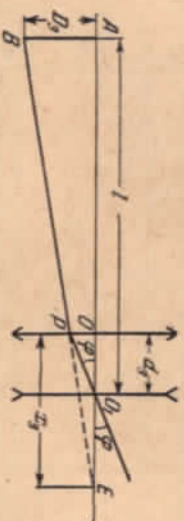


Рис. 549.

Уравнения для определения D_3 записутся по аналогии с предшествующими случаями так:

$$\frac{D_3}{D_2} = \frac{d_3 \operatorname{tg} \varphi}{x_3} \approx \frac{d_3 \varphi}{x_3}, \quad \frac{1}{d_3} - \frac{1}{x_3} = \frac{1}{f_2}.$$

Отсюда $D_3 = 0,18$ см.

762. Из формулы линзы

$$\frac{1}{a} + \frac{1}{b} = \frac{1}{F_{\text{об}}}$$

следует, что увеличение объектива

$$k_1 = \frac{b}{a} = \frac{F_{\text{об}}}{a - F_{\text{об}}},$$

где b — расстояние от изображения до объектива.

Действительное обратное увеличение изображение предмета, даваемое объективом, рассматривается через окуляр, как через лучи, причем минное изображение, даваемое этой лупой, расположается от глаза на расстоянии начального зрения $D = 25$ см.

По формуле луны

$$\frac{1}{a_1} - \frac{1}{D} = \frac{1}{F_{\text{ок}}},$$

где a_1 — расстояние изображения, даваемого объективом, до окуляра.

$$k_2 = \frac{D}{a_1} = \frac{D + F_{\text{ок}}}{F_{\text{ок}}},$$

Полное увеличение микроскопа

$$k = k_1 k_2 = \frac{F_{\text{об}} (D + F_{\text{ок}})}{(a - F_{\text{об}}) F_{\text{ок}}} = 180 \text{ раз.}$$

ГЛАВА VI

ФИЗИЧЕСКАЯ ОПТИКА

§ 32. Интерференция света

763. Нет. Наличие минимумов освещенности в интерференционной картине означает, что световая энергия не поступает в данное участки пространства.

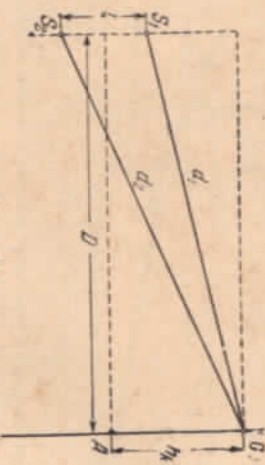
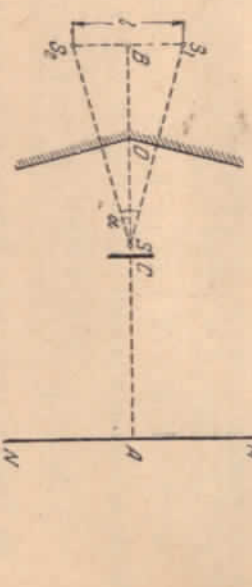


Рис. 550.

Рис. 551.



расстояние между изображениями S_1 и S_2 источника S в плоских зеркалах (рис. 551). l можно определить из треугольника $S_1 S_2 B$:

$$\frac{l}{2} = 2b \frac{\alpha}{2} \text{ или } l = 2b\alpha,$$

Следовательно,

$$\Delta h = \frac{\lambda(a+b)}{2b\alpha}.$$

766. В второй когерентный источник получается в оптике Лютца путем отражения лучей от зеркала AO . При отражении происходит изменение фазы на π (потеря полуволны), поэтому в точке O , где должна была бы наблюдаваться световая полоса, произоходит гашение колебаний — минимум освещенности. По сравнению с задачей 764 вся картина окажется сдвинутой на ширину световой (или темновой) полосы.

767. Усиление освещенности на экране получается, когда разность хода $d_2 - d_1 = k\lambda$, где $k = 0, 1, 2, \dots$ — целые числа (рис. 550).

По теореме Пифагора

$$d_2^2 = D^2 + \left(h_k + \frac{l}{2} \right)^2,$$

$$d_1^2 = D^2 + \left(h_k - \frac{l}{2} \right)^2,$$

Отсюда

$$d_2^2 - d_1^2 = (d_2 + d_1)(d_2 - d_1) = 2h_k l,$$

В соответствии с условием задачи $d_2 + d_1 \approx 2D$. Следовательно, $d_2 - d_1 = kl \approx \frac{2h_k l}{2D}$. Расстояние k -й светлой полосы от центра экрана $h_k = \frac{klD}{l} = kD$. Расстояние между полосами $\Delta h = h_{k+1} - h_k = \frac{\lambda D}{l}$ (см. задачу 764). В данном случае $D = AB \approx a + b$, а $l = S_1 S_2 =$

хода, есть окружность с центром в точке A (рис. 552). Следовательно, интерференционные полосы будут представлять собой концентрические окружности.

В случае $l = n\lambda$ в точке A будет наблюдаться усиление освещенности (интерференционный максимум n -го порядка). Ближайшая

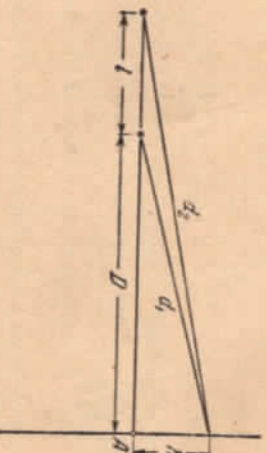


Рис. 552.

световая интерференционная полоса (окружность) ($n - 1$)-го порядка находится от точки A на расстоянии, определяемом из уравнения

$$d_2 - d_1 = \sqrt{(nl + D)^2 + h_{n-1}^2} - \sqrt{D^2 + h_{n-1}^2} = (n - 1)\lambda.$$

Приняв во внимание условия задачи $\lambda \ll D$, $\lambda \ll l$, получим:

$$h_{n-1} \approx \sqrt{\frac{2D(D + nl)}{n}} = \sqrt{\frac{2D\lambda}{n} \left(\frac{D}{l} + 1 \right)}.$$

768. Разность хода лучей для k -го светового кольца

$$d_2 - d_1 = \sqrt{(2nl)^2 + r_k^2} - \sqrt{(nl)^2 + r_k^2} = kl\lambda.$$

Отсюда

$$r_k = \frac{\lambda}{2k} \sqrt{(9n^2 - k^2)(n^2 - k^2)}.$$

769. Для создания второго конгруэнтного источника, расположенного ближе к экрану, чем первый, можно использовать полуоправочную пластину с отверстием. На основании принципа Гюйгенса отверстие можно рассматривать как вторичный источник. На экране получается интерференционная картина.

Если расстояние между источниками велико, то для получения интерференционной картины необходимо располагать источником, дающим волны, очень близкие к монохроматическим. На экране получается интерференционная картина из вещества с показателем преломления n_2 , отклоняющей лучи на угол

$$N = \frac{4ab\omega^2(n - 1)^2}{(a + b)\lambda} \approx 5.$$

770. Чтобы найти искомое расстояние Δh , нужно предварительно изчислить расстояние l между минимиами источниками S_1 и S_2 , расположеннымими на пересечении продолжений лучей, проходящих через грани призмы.

Для этого проще всего рассмотреть ход луча, падающего на грани призмы нормально (рис. 553).

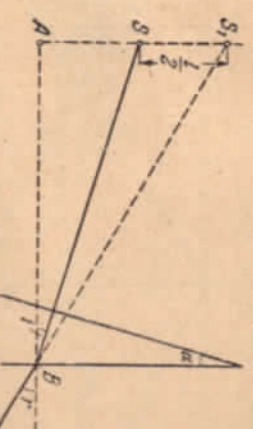


Рис. 553.

источника можно считать лежащими на том же расстоянии от призмы, что и источник S . Как видно из рис. 553, $l = a$ и $SA = ab$. По закону преломления $r \approx na$. Рассматривая треугольник AS_1B , можно записать:

$$\frac{l}{2} + ab \approx abn.$$

Отсюда

$$l = 2ab(n - 1).$$

Используя решение задачи 764, находим:

$$\Delta h = \frac{\lambda D}{l} = \frac{\lambda(a + b)}{2ab(n - 1)} = 0,15 \text{ см.}$$

771. $N = \frac{L}{\Delta h}$, где L — ширина интерференционной картины. Как видно из рис. 256, $L = \frac{b}{a}l$.

Используя результаты предыдущей задачи, получим:

$$N = \frac{4ab\omega^2(n - 1)^2}{(a + b)\lambda} \approx 5.$$

772. Бипримма, изготовленная из вещества с показателем преломления n_2 , отклоняет лучи на угол

$$\varphi_1 = \left(90^\circ - \frac{\theta}{2}\right)(n_2 - 1),$$

где θ — показатель преломления среды, из которой падают лучи. Для биприммы, находящейся в воздухе,

$$\varphi_2 = \left(90^\circ - \frac{\theta}{2}\right)(n_2 - 1).$$

Такого луча в действительности нет, но можно построить его, масленно продолжив верхнюю призму вниз. Все преломленные призмой лучи от точечного источника можно считать склоняющимися в точке, в такой прием вполне допустим. Так как преломляющий угол призмы мал (призма тонкая), то минимы изображения S_1 и S_2

В случае эквивалентности бипризм $\varphi_1 = \varphi_2$. Отсюда

$$\delta = \beta \frac{n_2 - n_1}{n_2 - 1} + 180^\circ \frac{n_1 - 1}{n_2 - 1}.$$

Для заданных в условии величин $\delta \approx 179^\circ 37'$,

$$D = \frac{Nabf\lambda}{adl + abN\lambda - bfN\lambda} = 15 \text{ см.}$$

Максимально возможное число полос находит из условия

$$adl + Nabf - bfN\lambda = 0$$

(при этом $D \rightarrow \infty$). Следовательно,

$$N_{\max} = \frac{adl}{bf\lambda - ab\lambda} = 5.$$

Число полос получается конечным, так как по мере удаления экрана одновременно с увеличением размеров участка экрана, на

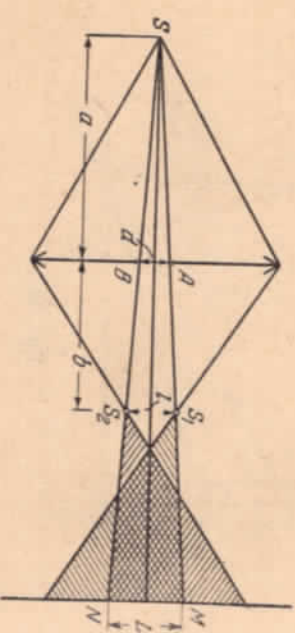


Рис. 554.

773. Ход лучей в системе изображен на рис. 554. S_1 и S_2 — изображения источника S в половинках линзы. Очевидно, что

$$b = \frac{fa}{a-f},$$

Из подобия треугольников SAB и SS_1S_2 можно найти расстояние l между S_1 и S_2 :

$$l = \frac{ad}{a-f}.$$

Расстояние между соседними интерференционными полосами на экране

$$\Delta h = \frac{\lambda(D-b)}{l} = \frac{\lambda}{ad}(Da-Df-a\lambda) = 10^{-2} \text{ см}$$

(см. задачу 764).

Источное число интерференционных полос

$$N = \frac{L}{\Delta h} = \frac{d(D+a)}{a \cdot \Delta h} = 25.$$

774. Расстояние между минимумами источников S_1 и S_2 можно найти методом, изложенным в решении задачи 773 (рис. 555).

$$\Delta h = \frac{\lambda(Df - Da + a\lambda)}{da},$$

Число полос на экране

$$N = \frac{L}{\Delta h},$$

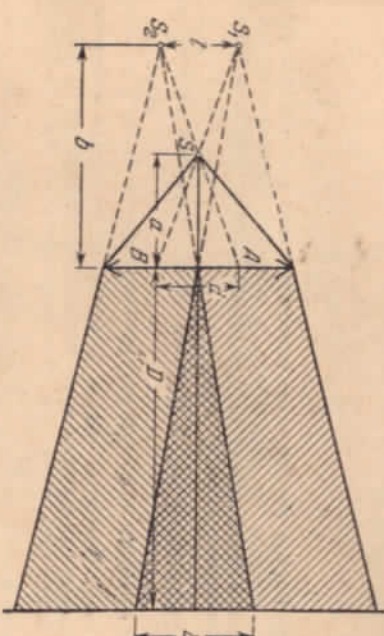


Рис. 555.

котором возникает интерференционная картина, расчет расстояние между полосами.

775. Расстояние между интерференционными полосами не будет зависеть от положения экрана только в том случае, если источник расположен в фокальной плоскости линзы. Это непосредственно вытекает из выражения

$$\Delta h = \frac{\lambda}{ad}(Df - Da + a\lambda),$$

которое получено при решении задачи 774. При $a = f$

$$\Delta h = \frac{\lambda f}{d} = 10^{-2} \text{ см}$$

при любом D .

Ход лучей для данного случая изображен на рис. 556. Как видно из этого рисунка, число интерференционных полос будет максимальным, когда экран занимает положение AB . Расстояние экрана

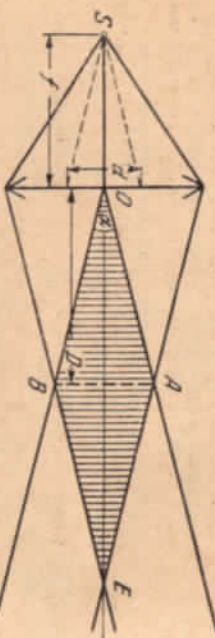


Рис. 556.

до линзы можно найти из треугольника OAB , учитывая, что угол $\alpha \approx \frac{d}{f}$, а $AB = R$:

$$D = \frac{Rf}{d} = 2 \text{ м.}$$

76. Внутри стекла длина световой волны уменьшается в n раз, так как частота не изменяется, а скорость уменьшается в n раз. Вследствие этого между когерентными волнами в пучках возникает дополнительная разность хода.

На расстоянии d_1 в первом пучке уложится $k_1 = \frac{d_1 n}{\lambda}$ длины волн, а в нижнем на том же расстоянии уложится $k_2 = \frac{d_2 n}{\lambda} + \frac{d_1 - d_2}{\lambda}$ длины волн. Световые волны в любой точке экрана окажутся дополнительно сдвинутыми друг относительно друга на $k_1 - k_2$ длины волн. Вследствие этого вся интерференционная картина сместится вверх на $k_1 - k_2 = \frac{(d_1 - d_2)}{\lambda} (n - 1) = 100$ полос.

Процесс смещения можно наблюдать в момент введения пластины. После того как пластина введена, интерференционная картина на экране будет иметь прерывистый вид.

77. Толщина линзы слишком велика. Интерференция имеет место только в случае тонких пленок. Воздушная прослойка вблизи сочленения линзы и стекла является тонкой.

78. Нет, не изменится. Разность хода между волнами, встречающимися на экране, от источников S и S_1 или S и S_2 велика. В этих условиях спектр различных порядков, соответствующий спектральному интервалу источника, падающего друг на друга подобно тому, как это имеет место при отражении волн от границ толстой пленки.

Если ширму убрать, то это приведет только к наложению на интерференционную картину от источников S_1 и S_2 некоторое изменение освещенности.

79. При наблюдении колец в отраженном свете интенсивность интерферирующих пучков примерно одинакова.

В проходящем же свете интенсивность одного пучка, не испытавшего отражений, значительно превышает интенсивность второго пучка, испытавшего два отражения. В результате максимумы и минимумы возникнут на фоне равномерной освещенности, полного гашения света не произойдет, и вся картина будет менее контрастной, чем в отраженном свете.

780. При отсутствии контакта радиус пятого кольца определяется уравнением $\frac{r_1^2}{R} + 2d = 5\lambda$. Если пыль удалить, то радиус этого кольца определяется равенством $\frac{r_2^2}{R} = 5\lambda$. Отсюда $d = \frac{r_2^2 - r_1^2}{2R} = 1,8 \cdot 10^{-4} \text{ см.}$

$$781. r_k = \sqrt{\left(\frac{1}{R_2} - \frac{1}{R_1}\right)^2 + \frac{k\lambda}{d}}.$$

782. Для уменьшения коэффициента отражения необходимо, чтобы лучи I и 2 (рис. 557), отраженные от внешней и внутренней

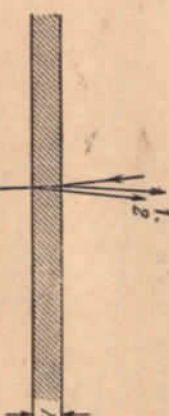


Рис. 557.

поверхностей пленки, нанесенной на оптическое стекло, гасят друг друга.

Гашение будет иметь место при условии

$$2h \cdot n = (2k+1) \frac{\lambda}{2}, \quad (1)$$

где $k = 0, 1, 2, \dots$. Отсюда минимальная толщина пленки $h_{\min} = \frac{\lambda}{4n}$.

Условие (1) не может быть выполнено для всех длин волн. Поэтому обычно n выбирают таким образом, чтобы гасилась средняя часть спектра. Нанесенная пленка имеет толщину, превышающую h_{\min} в нечетное число раз, так как более толстые пленки изготовить проще, чем тонкие (в четверть длины волны).

783. Для наблюдения интерференционной картины необходимо, чтобы максимум k -го порядка, соответствующий длине волны λ ,

не перекрывался с максимумом $(k+1)$ -го порядка, соответствующим длине волны $\lambda + \Delta\lambda$, где $\Delta\lambda = 100 \text{ \AA}$.

Это будет иметь место при условии $(\lambda + \Delta\lambda) k < \lambda (k+1)$. Отсюда $k < \frac{\lambda}{\Delta\lambda}$.

Максимально допустимая толщина прослойки h_{\max} удовлетворяет уравнению

$$2h_{\max} = (\lambda + \Delta\lambda) k_{\max},$$

где $k_{\max} = \frac{\lambda}{\Delta\lambda}$. Если в качестве λ выбрать длину волны, соответствующую середине видимого участка спектра ($\lambda = 5000 \text{ \AA}$), то

$$h_{\max} \approx 1,3 \cdot 10^{-3} \text{ см.}$$

Если вместо воздушной прослойки взять тонкую пленку, имеющую показатель преломления n , то максимальная толщина должна быть в n раз меньше, чем у воздушной прослойки.

784. При интерференции лучей I и 2 (рис. 558), отраженных от различных граней клина, условие минимума запишется следующим образом: $2hn = k\lambda$ ($k = 0, 1, 2$). Так как угол α мал, то $h \approx \lambda x$.

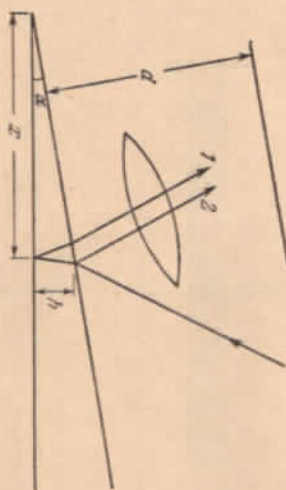


Рис. 558.

Следовательно, расстояние между интерференционными полосами на самом деле $\Delta x = \frac{\lambda}{2n\alpha}$.

Согласно формуле увеличения линзы $\frac{\Delta x}{\Delta l} = \frac{a}{b}$, где a — расстояние от экрана до линзы, а b — от линзы до клина. Так как $b = d - a$, то по формуле линзы $\frac{1}{a} + \frac{1}{d-a} = \frac{1}{f}$. Исключая из данной выражений a и b , находим искомое значение угла α :

$$\alpha = \frac{\lambda}{2n\Delta l} \quad d \neq \sqrt{d^2 - 4fd}.$$

Решение этой задачи не однозначно. Это связано с тем, что четкое изображение на экране при фиксированных d и f можно получить при двух положениях линзы.

§ 33. Дифракция света

785. Радиус первой зоны Френеля можно найти из треугольников ADE и DEB (рис. 559):

$$r_1^2 = a^2 - (a - x)^2 = \left(b + \frac{\lambda}{2}\right)^2 - (b - x)^2,$$

Так как длина волны мала, то $x = \frac{b\lambda}{2(a+b)}$.

Следовательно, $r_1^2 = 2ax - x^2$.

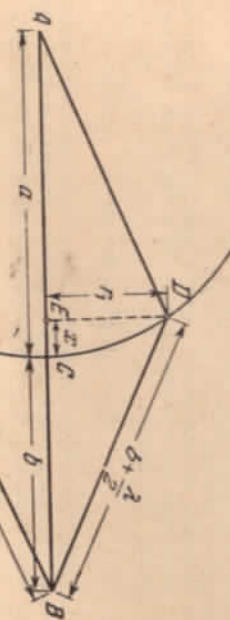


Рис. 559.

Пренебрегая малой величиной x^2 , окончательно получим:

$$r_1 = \sqrt{\frac{ab\lambda}{a+b}}.$$

Аналогичным образом можно найти радиусы последующих зон Френеля. Для зоны номера k

$$r_k = \sqrt{\frac{abk\lambda}{a+b}},$$

786. Плоской волне соответствует расстояние от точечного источника до фронта волны $a \rightarrow \infty$. Искомые радиусы зон:

$$r_k = \lim_{a \rightarrow \infty} \sqrt{\frac{abk\lambda}{a+b}} = \sqrt{kb\lambda}.$$

(см. решение задачи 785).
787. Для решения задачи необходимо подсчитать число k зон Френеля, указывающихся в отверстиях диаметров D и D_1 .

Используя результаты задачи 785, имеем:

$$\sqrt{\frac{k(ab)}{a+b}} = \frac{D}{2}.$$

Отсюда легко найти, что $k = 3$ (нечетное число). При диаметре отверстия 5,2 мм и нем укладывается приблизительно $\frac{1}{4}$ зоны (четное число). Следовательно, увеличение отверстия приведет к уменьшению освещенности в точке B .

788. Темное пятно на оси пучка при открытых четырех зонах Френеля окружено светлыми и темными кольцами. Суммарная освещенность экрана при увеличении отверстия возрастает, но распределение световой энергии по экрану меняется таким образом, что в центре будет минимум.

789. Искомая освещенность будет максимальна в том случае, когда в диафрагме укладывается одна зона Френеля. Учитывая решение задачи 786, имеем:

$$D = 2\sqrt{b\lambda} = 0,2 \text{ см.}$$

790. Дифракция будет заметна, если в отверстии укладывается небольшое число зон Френеля, т. е. радиус отверстия будет того же порядка (или меньше), что и радиус первой зоны Френеля:

$$\sqrt{\frac{ab}{a+b}} \lambda \gg R,$$

где R — радиус отверстия.

При $a = b$ имеем: $\frac{ab}{a+b} \geq 2R^2$.

791. На рис. 560 построены зоны Френеля, позволяющие определить интенсивность света в точке B . Освещенность в точке B

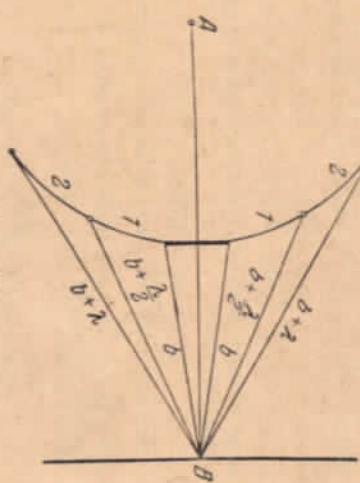


Рис. 560.

состоится первой и последующими зонами Френеля. Если размеры экрана не препятствуют значительного радиуса первой центральной зоны, определяемого по формуле задачи 785, то в точке B общая

только возникает светлое пятно с освещенностью, мало отличающейся от той освещенности, которая имела бы место в отсутствие экрана.

792. Приблизительно 3 м.

793. Зоны Френеля в линии случае удобно выбрать в виде полосок, параллельных краям шели. В направлении φ будет наблюдаться минимум, если в шели AB (рис. 561) укладываются четное число зон. (На рис. 561 изображено четыре зоны

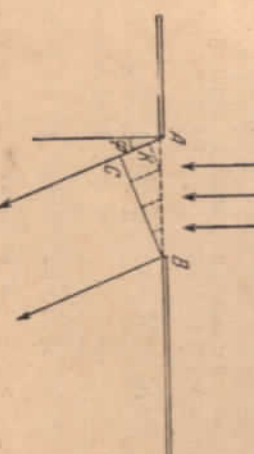


Рис. 561.

Френеля) $b = 2k\lambda$, где λ — ширина зоны Френеля, $k = 1, 2, 3, \dots$ АК представляет собой разстояние между крайними лучами, посыпаемыми одной зоной:

$$AK = x \sin \varphi = \frac{\lambda}{2}.$$

Отсюда

$$x = \frac{\lambda}{2 \sin \varphi},$$

следовательно, в направлении φ будет наблюдаться минимум, если $b \sin \varphi = k\lambda$.

794. Лучи, падающие на отверстие камеры от удаленного точечного источника, падут приблизительно параллельно. Если бы

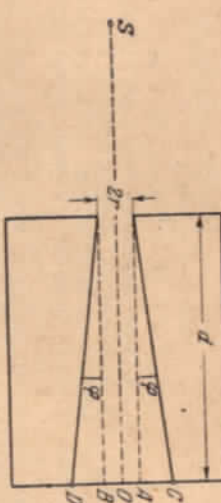


Рис. 562.

не было дифракции, то размеры светового пятна были бы равны $AB = 2r$ (рис. 562). Вследствие дифракции размеры пятна увеличиваются до DC . Расстояние OC определяется углом φ , дающим направление на первый минимум (темное кольцо). Согласно

указано $2r \sin \varphi \approx \lambda$. Следовательно, радиус пятна

$$OC = r + AC = r + d \sin \varphi \approx r + \frac{d\lambda}{2r},$$

Эта величина достигает минимума (см. решение задачи 504) при $r = \frac{\lambda d}{2r}$. Оптимальные размеры отверстия $r = \sqrt{\frac{\lambda d}{2}}$.

795. Углы, определяющие направления на максимумы второго и третьего порядков, удовлетворяют уравнениям:

$$d \sin \varphi_4 = 2\lambda \text{ и } d \sin \varphi_3 = 3\lambda.$$

Отсюда

$$\lambda = d(\sin \varphi_3 - \sin \varphi_4) = 2d \cos \frac{(\varphi_2 + \varphi_3)}{2} \sin \frac{(\varphi_3 - \varphi_2)}{2} \approx \\ \approx d(\varphi_3 - \varphi_2) = dz \approx 1,7 \cdot 10^{-5} \text{ см}$$

796. Максимальному k соответствует $\sin \varphi = 1$. Следовательно,

$$k = \frac{d}{\lambda} = 4.$$

797. Чтобы возник спектр первого порядка, необходимо условие $d > \lambda$. Следовательно, искомый период решетки не может быть меньше 0,02 см.

798. Направление на первый максимум определяется выражением $d \sin \varphi = \lambda$. Экран расположжен в фокальной плоскости линзы. Считая угол φ малым, имеем: $l = f\varphi$. Отсюда $\lambda = \frac{dl}{f} = 5 \cdot 10^{-5}$ см.

799. В волне длина всех волн уменьшается в n раз (n — показатель преломления воды). Следовательно, угол φ , определяющий направление на максимумы, и расстояния от центра дифракционной картины до максимумов, соответствующих различным дли нам волн, также уменьшаются в n раз, так как по условию угол φ мал, и $\sin \varphi \approx \varphi$.
800. Спектры разных порядков будут соприкасаться при условии $k\lambda_2 = (k+1)\lambda_1$. Отсюда

$$k = \frac{\lambda_1}{\lambda_2 - \lambda_1} = 5.$$

Следовательно, частично перекрывающиеся могут только спектры шестого и седьмого порядков. Но данная решетка (см. задачу 796) может дать для данного интервала длии волн спектр только четвертого порядка. Поэтому спектры в нашем случае перекрываются не будут.

801. При наклонном падении лучей на решетку под углом θ (рис. 563) разность хода между волнами, идущими от краев соседних щелей,

$$\delta = BD - AC = d \sin \varphi - d \sin \theta.$$

Эти волны, складываясь, усиливают друг друга при

$$d(\sin \varphi - \sin \theta) = k\lambda,$$

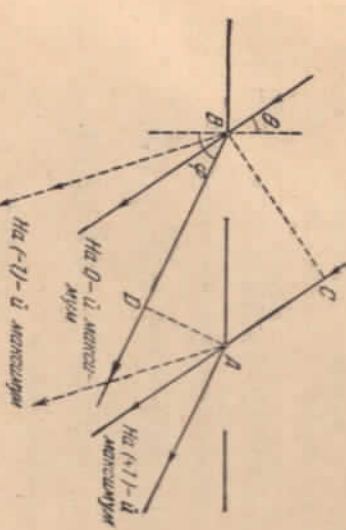


Рис. 563.

Наибольший порядок спектра будет при $\varphi = -90^\circ$. Тогда $d\left(-1 - \frac{1}{2}\right) = k\lambda$. Отсюда $k = -6$. Может наблюдаться спектр шестого порядка. Знак минус указывает на то, что спектр лежит левее центрального.

802. Как вытекает из формулы $d(\sin \varphi - \sin \theta) = k\lambda$ (см. решение задачи 801), минимальное значение периода решетки будет при скользящим падении лучей: $\theta = 90^\circ$. В этом случае $d \approx \frac{\lambda}{2}$. Следовательно, период решетки должен удовлетворять неравенству $d > \frac{\lambda}{2}$.

803. В общем случае, как показано в решении задачи 801, искомое условие имеет вид:

$$d(\sin \varphi - \sin \theta) = k\lambda.$$

Его можно переписать в форме

$$2d \cdot \cos \frac{\varphi + \theta}{2} \sin \frac{\varphi - \theta}{2} = k\lambda.$$

Если $d \gg k\lambda$, то $\varphi \approx 0$. При этом $\cos \frac{\varphi + \theta}{2} \approx \cos \theta$, а $\sin \frac{\varphi - \theta}{2} \approx \frac{\varphi - \theta}{2}$. Следовательно, условие, определяющее направления на главные максимумы, примет вид:

$$d \cos \theta, (\varphi - \theta) \approx k\lambda.$$

Постоянная решетки как бы уменьшилась и стала равной $d \cos \theta$ вместе с d . Углы $\varphi - \theta$ отчитываются от направления падающего света.

где $k = 1, 2, 3, \dots$ для максимумов, лежащих правее центрального ($k = 0$), и $k = -1, -2, -3, \dots$ для максимумов, лежащих левее центрального.

§ 34. Дисперсия света и цвета тел

804. Как показано в задаче 703, угол падения α , преломляющий угол β_Φ и показатель преломления n связаны с углом β , под которым луч выходит из призмы, выражением

$$n = \sin \beta \sqrt{\left(\frac{\sin \alpha}{\sin \beta \sin \varphi} + \operatorname{ctg} \varphi\right)^2 + 1}.$$

Отсюда для $\sin \beta$ получаем следующее уравнение:

$$\sin^2 \beta (1 + \operatorname{ctg}^2 \varphi) + 2 \sin \beta \cdot \frac{\sin \alpha}{\sin \varphi \operatorname{tg} \varphi} + \frac{\sin^2 \alpha}{\sin^2 \varphi} - n^2 = 0$$

или

$$2 \sin^2 \beta + \sqrt{2} \sin \beta + \frac{1}{2} - n^2 = 0.$$

Решая это уравнение, найдем:

$$\sin \beta = \frac{-1 \pm \sqrt{4n^2 - 1}}{2\sqrt{2}},$$

физический смысл имеет решение со знаком плюс. Для красных лучей $\sin \beta_k \approx 0.26$. Следовательно, $\beta_k \approx 15.6^\circ$. Для фиолетовых $\sin \beta_\Phi \approx 0.31$ и $\beta_\Phi \approx 18.6^\circ$. Искомый угол $\theta = \beta_\Phi - \beta_k \approx 3^\circ$.

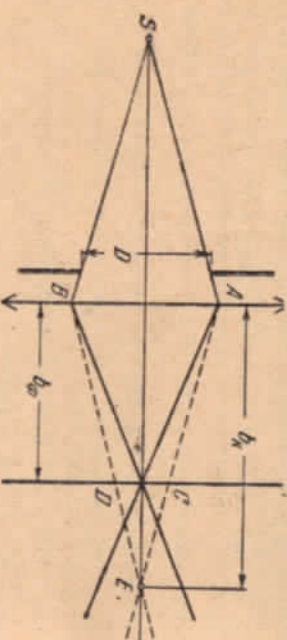


Рис. 564.

805. Для красных лучей фокусное расстояние линзы

$$f_k = \frac{R}{2(n_k - 1)} \approx 27 \text{ см.}$$

для фиолетовых — $f_\Phi = 25 \text{ см.}$

По формуле линза изображение, даваемое красными лучами, будет расположено на расстоянии $b_k = \frac{af_k}{a-f_k} = 58.7 \text{ см}$, фиолетовыми — $b_\Phi = 50 \text{ см.}$

На экране (рис. 564) изображение источника будет иметь форму пятна, края которого окрашены в красный цвет.

Диаметр пятна d можно найти из подобия треугольников ABE и CDE :

$$d = D \frac{b_k - b_\Phi}{b_k} \approx 0.15 \text{ см.}$$

806. Солнечные лучи, падающие на капли дождя, можно считать параллельными. По выходе из капли после однократного отражения на внутренней поверхности капли луч рассяляется по всем направлениям. Линии лучей, испытавшие наибольшее отклонение, дают приблизительно параллельно. Поэтому именно эти лучи, падая в газ, вызывают наибольшее зрительное впечатление. Эти лучи идут, так сказать, с наибольшей «животностью». Остальные лучи рассеиваются во все стороны. Для параллельных лучей угол отклонения, как показано в задаче 748, равен 138° . Следовательно, угол между падающими от Солнца лучами и направлением на радиус составляет 42° (для красного света) (рис. 565).

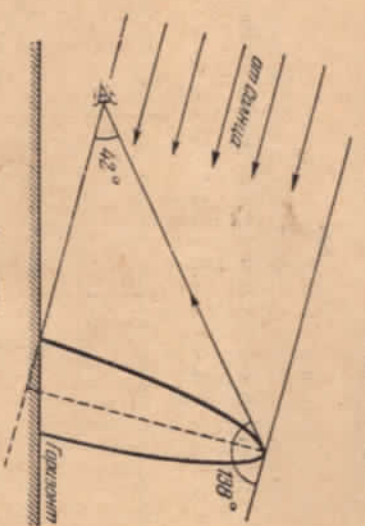


Рис. 565.

В глаз попадает свет от тех капель, которые находятся в направлении, составляющем угол 42° с линией, проведенной через глаз и Солнце. Для фиолетовых лучей этот угол составляет примерно 40° .

807. Первая (основная) радуга наблюдается благодаря лучам, испытавшим одно отражение погоды капель воды. При преломлении наиболее сильно отклоняются от первоначального направления фиолетовые лучи (см. задачу 747) ($\angle 0$ растет с ростом n , так как r уменьшается), поэтому внешняя дуга будет красной, а внутренняя — фиолетовой.

Вторая радуга назана лучами, испытавшими два отражения внутри капелек. Примерный ход луча изображен на рис. 566. Направление на радугу составляет, как можно показать, 51° с линией, соединяющей глаз и Солнце. Чередование цветов при двух преломлениях и двух отражениях получается обратным: внешняя дуга будет фиолетовой, а внутренняя — красной.

После двух отражений интенсивность света оказывается сильно ослабленной, вследствие чего вторая радуга блещет гораздо менее ярко, чем первая.

808. Географическая широта Москвы, т. е. угол между плоскостью экватора и нормалью к поверхности земного шара, $\varphi = 56^\circ$.

Солнце в этот момент стоит в зените над северным тропиком (широта $\alpha = 23.5^\circ$). Следовательно, угол между направлением на Солнце и горизонтом (рис. 567)

$$\beta = 90^\circ - \varphi + \alpha = 57^\circ 30'$$

Радуга может быть видна только в том случае, когда

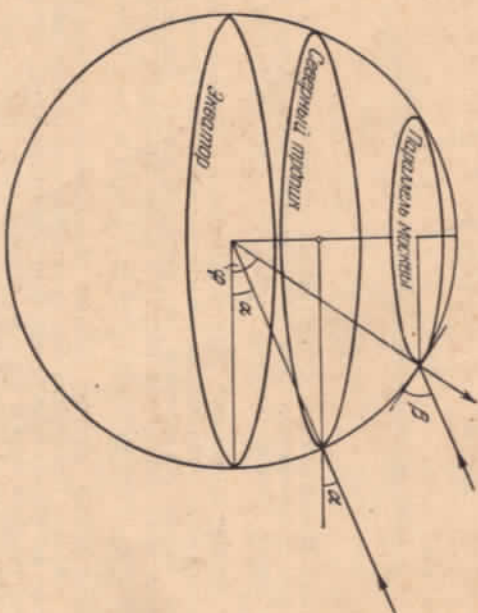


Рис. 567.

Солнце в этот момент стоит в зените над северным тропиком (широта $\alpha = 23.5^\circ$). Следовательно, угол между направлением на Солнце и горизонтом (рис. 567)

$$\beta = 90^\circ - \varphi + \alpha = 57^\circ 30'$$

Радуга может быть видна только в том случае, когда

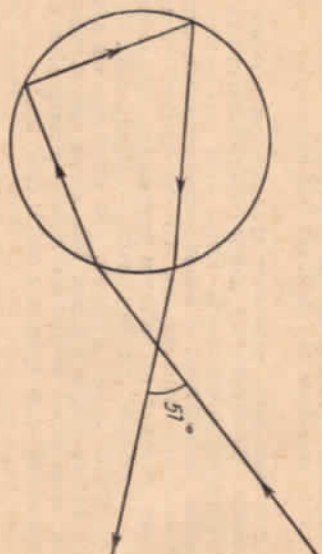


Рис. 568.

809. Наш глаз получает опущение того или иного цвета, когда его чувствительные элементы раздражаются световой волной определенной частоты. Частота же световых волн не меняется при переходе из одной среды в другую.

810. Необходимо смотреть через зеленое стекло. При этом на письмо будет видна черной на зеленом фоне бумаги, так как красный свет на письме отсутствует, не пропускается зеленым стеклом.

При рассматривании через красное стекло красная письмена не будет видна на красном фоне бумаги.

811. Объектив преимущественно отражает крайние части видимого спектра: красную и фиолетовую (см. задачу 782). От смешения этих цветов возникает спрепникоый оттенок.

812. Цвета радуги являются чистыми спектральными цветами (см. задачу 806), так как по длине направлению виден лишь луч вполне определенной длины волны. Цвета тонких пленок, наборот, получаются из-за гашения (полного или частичного) лучей некоторого спектрального интервала в результате интерференции. Цвет пленки будет дополнительным к цвету этого спектрального интервала.

813. Под действием силы тяжести мыльная вода стекает в нижнюю часть пленки, которая всегда тоньше, чем верхняя. Следовательно, полосы, которые указывают геометрическое место точек одинаковой толщины, должны быть расположены горизонтально. Голубой (сине-зеленый) оттенок получается при исключении из полного спектра его длинноволновой (красно-оранжевой) части спектра (см. задачу 812). При гашении средней (зелено-голубой) части спектра оставшиеся лучи придают пленке пурпурный (малиновый) оттенок, а при вычитании из сплошного спектра его коротковолновой (сине-фиолетовой) части пленка выглядит желтой. Если разность хода взаимно гасящихся лучей составляет одно и то же число полуволн во всех трех случаях, то вверху должна быть желтая полоса, за тем пурпурная и внизу голубая.

814. Днем рассеянный пейзаж голубой свет поглощается желтоватому свету самой Луны. Это смешение цветов воспринимается глазом как белый цвет. После захода Солнца голубой свет поглощается и Луна принимает желтоватый оттенок.

815. На темном фоне мы видим дым вследствие того, что он рассеивает падающие на него сверху солнечные лучи. Частицы дыма рассеивают синий свет гораздо сильнее, чем красный или желтый. Поэтому цвет дыма кажется синим.

На фоне светлого неба дым виден в проходящем свете. Дым кажется желтоватым, так как синий свет рассеивается во все стороны и только длиноволновой участок спектра белого света достаточно сильно поглощается.

816. Тонкая пленка воды, покрывающей влажный предмет, отражает падающий белый свет по одному определенному направлению. Поверхность предмета уже не рассеивает белый свет во все стороны, и господствующим становится его собственный цвет. Рассеянный свет не падает на отраженный от предмета, и поэтому цвет кажется более насыщенным.

высота Солнца над горизонтом не превышает 42° (см. рис. 565). Следовательно, наблюдать радугу в указанное время нельзя.

*Борис Борисович Букснеров,
Владимир Дмитриевич Красенков,
Геннадий Борисович Мякишев,
Владимир Петрович Шадиков*

Сборник задач по элементарной физике

М., 1968 г., 440 стр. с ил.

*Редакторы Е. М. Новодворская, Н. А. Радеска
Техн. редактор А. П. Колесникова*

Корректор З. В. Альбонкова

*Печать с матриц. Полиграфо к печати 24/VII 1968 г.
бумага 84Х108/2. Форм. печ. л. 13,75. Условия печ.
л. 23,10. Уч.-изд. л. 24,20. Тираж 250 000 экз. Т-00656.
Цена книги 78 коп. Знак № 1227.*

Издательство «Наука»

*Главная редакция
физико-математической литературы.*

Москва, В-71, Ленинский проспект, 15.

*Ленинградская типография № 2
имени Евгения Соколовой Государственного
Комитета по печати при Совете Министров СССР,
Измайловский проспект, 20.*